

関西社会経済研究所資料

08-07

関西マクロ計量モデルの構造とその活用

2008年版

2008年11月

財団法人 関西社会経済研究所

| | |
|--------------------------------------|----|
| 本 編 | |
| 第1章 はじめに | 8 |
| 第2章 関西経済の概況 | 9 |
| 第3章 データの出所と作成方法..... | 10 |
| 3-1 支出ブロック | 11 |
| 3-2 所得分配ブロック | 11 |
| 3-3 労働ブロック | 12 |
| 3-4 産業連関ブロック | 12 |
| 第4章 モデルの構造と推計結果..... | 13 |
| 4-1 実質支出ブロック | 18 |
| 4-1-1 家計最終消費支出(実質) | 18 |
| 4-1-2 民間住宅投資(実質)..... | 19 |
| 4-1-3 民間企業設備投資(実質・2次産業) | 19 |
| 4-1-4 民間企業設備投資(実質・3次産業) | 19 |
| 4-1-5 輸出(実質)..... | 20 |
| 4-1-6 関西外への移出(実質)..... | 20 |
| 4-1-7 関西内への移出(実質) | 21 |
| 4-1-8 移出計・移輸出計(実質) | 21 |
| 4-1-9 輸入・関西域外からの移入(実質) | 22 |
| 4-1-10 関西域内からの移入(実質) | 23 |
| 4-1-11 移入計・移輸入計(実質) | 23 |
| 4-1-12 県内総生産(実質) | 24 |
| 4-2 名目支出ブロック | 24 |
| 4-2-1 県民総所得(名目) | 24 |
| 4-3 所得分配ブロック | 24 |
| 4-3-1 雇用者報酬(県内ベース) | 25 |
| 4-3-2 雇用者報酬(県民ベース) | 25 |
| 4-3-3 固定資本減耗 | 25 |
| 4-3-4 賃金・俸給 | 26 |
| 4-3-5 雇主の現実社会負担 | 26 |
| 4-3-6 雇主の帰属社会負担(家計)／無基金雇用者社会給付 | 26 |
| 4-3-7 財産所得(家計・受取) | 26 |
| 4-3-8 現物社会移転以外の社会給付(家計・受取) | 26 |
| 4-3-9 現金による社会保障給付(家計・受取／政府・支払) | 27 |
| 4-3-10 営業余剰・混合所得(家計・受取) | 27 |

| | | |
|--------|------------------------------|----|
| 4-3-11 | 財産所得(家計・支払) | 27 |
| 4-3-12 | 所得・富等に課される経常税(家計負担分) | 28 |
| 4-3-13 | 社会負担(家計・支払) | 28 |
| 4-3-14 | 雇用者の社会負担(家計・支払) | 28 |
| 4-3-15 | 家計可処分所得 | 29 |
| 4-3-16 | 家計貯蓄 | 29 |
| 4-3-17 | 財産所得(一般政府・受取) | 29 |
| 4-3-18 | 生産・輸入品に課される税(一般政府・受取) | 29 |
| 4-3-19 | 所得・富等に課される経常税(一般政府・受取) | 30 |
| 4-3-20 | 所得・富等に課される経常税(法人企業負担分) | 30 |
| 4-3-21 | 社会負担(一般政府・受取) | 30 |
| 4-3-22 | 雇主の強制的現実社会負担 | 30 |
| 4-3-23 | 雇用者の強制的(現実)社会負担 | 30 |
| 4-3-24 | 財産所得(一般政府・支払) | 31 |
| 4-3-25 | 現物社会移転以外の社会給付(一般政府・支払) | 31 |
| 4-3-26 | 政府可処分所得 | 31 |
| 4-3-27 | 政府貯蓄 | 31 |
| 4-3-28 | 公債費 | 32 |
| 4-3-29 | 政府プライマリーバランス | 32 |
| 4-3-30 | 地方債発行残高 | 33 |
| 4-3-31 | 財産所得(非企業部門・純受取) | 33 |
| 4-3-32 | 企業所得(法人企業の分配所得受払後) | 33 |
| 4-3-33 | 法人企業所得 | 33 |
| 4-3-34 | 個人企業所得 | 33 |
| 4-4 | 労働ブロック | 34 |
| 4-4-1 | 就業者数(産業別) | 34 |
| 4-4-2 | 雇用者数(産業別) | 34 |
| 4-5 | 産業連関ブロック | 34 |
| 4-5-1 | 県内最終需要(最終需要項目別・IOベース) | 34 |
| 4-5-2 | 県別・行部門別県内最終需要(IOベース) | 35 |
| 4-5-3 | 県別輸出(IOベース) | 35 |
| 4-5-4 | 行部門別輸出(IOベース) | 36 |
| 4-5-5 | 県別域外への移出(IOベース) | 36 |
| 4-5-6 | 行部門別域外への移出(IOベース) | 36 |
| 4-5-7 | 行部門別最終需要(IOベース) | 37 |
| 4-5-8 | 県別産業別産出額(IOベース) | 37 |

| | |
|--|-----------|
| 4-5-9 県別産業別産出額(SNAベース) | 38 |
| 4-5-10 県別産業別域内移出(中間財・IOベース) | 38 |
| 4-5-11 県別域内移出(中間財・IOベース) | 39 |
| 4-5-12 県別産業別域内移入(中間財・IOベース) | 39 |
| 4-5-13 県別域内移入(中間財・IOベース) | 40 |
| 4-5-14 県別産業別域内移出(最終財・IOベース) | 40 |
| 4-5-15 県別域内移出(最終財・IOベース) | 41 |
| 4-5-16 県別域内移入(最終財・IOベース) | 41 |
| 4-5-17 県別域内移出(IOベース) | 43 |
| 4-5-18 県別域内移入(IOベース) | 44 |
| 4-5-19 県別・部門別県内需要(IOベース) | 44 |
| 4-5-20 県別部門別輸入(IOベース) | 44 |
| 4-5-21 県別輸入(IOベース) | 45 |
| 4-5-22 県別部門別域外から移入(IOベース) | 45 |
| 4-5-23 県別域外から移入(IOベース) | 45 |
| 第5章 モデルの性能と評価 | 46 |
| 5-1 ファイナルテスト | 46 |
| 5-2 産業連関ブロックからみた波及の特性：影響力係数と感応度係数 | 50 |
| 5-3 乗数テスト | 51 |
| (1) 大阪の公共投資増加：初年度(公共投資実施年度)の影響 | 52 |
| (2) 大阪の公共投資増加：次年度以降の影響 | 53 |
| (3) 大阪の公共投資増加：まとめ | 54 |
| (4) その他の県の公共投資増加 | 63 |
| (5) 累積の影響 | 64 |
| 第6章 シミュレーション：大阪湾岸大型設備投資 | 65 |
| 6-1 投資スケジュールの想定と前提条件 | 66 |
| 6-2 シミュレーション結果 | 68 |
| (1) GRPと雇用への影響 | 68 |
| (2) 財政への影響 | 75 |
| 第7章 おわりに | 78 |
| 資料編 | 80 |
| 1. 変数リスト | 81 |
| 2. 方程式・定義式リスト | 87 |
| 2-1 実質支出ブロック | 87 |
| (1) 家計最終消費支出（実質）：1980－2004 | 87 |

| | |
|---------------------------------------|-----------|
| (2) 対家計民間非営利団体最終消費支出（実質） | 88 |
| (3) 民間最終消費支出（実質） | 88 |
| (4) 政府最終消費支出（実質） | 88 |
| (5) 民間住宅投資（実質）：1980－2004..... | 89 |
| (6) 民間住宅資本ストック推移式（実質） | 90 |
| (7) 民間企業設備投資（実質・2次産業）：1980－2004 | 91 |
| (8) 民間企業資本ストック推移式（実質・2次産業） | 92 |
| (9) 民間企業設備投資（実質・3次産業）：1980－2004 | 93 |
| (10) 民間企業資本ストック推移式（実質・3次産業） | 94 |
| (11) 民間企業設備投資（実質・全産業） | 94 |
| (12) 総固定資本形成（実質・公的） | 95 |
| (13) 輸出（実質）：1980－2004 | 95 |
| (14) 関西域外への移出（実質）：1981-2004 | 95 |
| (15) 関西域内への移出（実質）：1981-2004 | 96 |
| (16) 移出（実質） | 96 |
| (17) 移輸出（実質） | 96 |
| (18) 輸入（実質）：1981-2004..... | 96 |
| (19) 関西域外からの移入（実質）：1980-2004..... | 97 |
| (20) 関西域内からの移入（実質）：1980-2004..... | 97 |
| (21) 移入（実質） | 97 |
| (22) 移輸入（実質） | 97 |
| (23) 県内総生産（実質） | 98 |
| 2-2 名目支出ブロック | 98 |
| (1) 家計最終消費支出（名目） | 98 |
| (2) 対家計民間非営利団体消費支出（名目） | 99 |
| (3) 民間最終消費支出（名目） | 99 |
| (4) 政府最終消費支出（名目） | 100 |
| (5) 家計住宅投資（名目） | 100 |
| (6) 民間企業設備投資（名目・1次産業） | 100 |
| (7) 民間企業設備投資（名目・2次産業） | 101 |
| (8) 民間企業設備投資（名目・3次産業） | 101 |
| (9) 民間企業設備投資（名目・全産業） | 101 |
| (10) 総固定資本形成（名目・公的） | 102 |
| (11) 輸出（名目） | 102 |
| (12) 移出（名目） | 102 |
| (13) 移輸出（名目） | 103 |

| | |
|--|-----|
| (14) 輸入（名目） | 103 |
| (15) 移入（名目） | 103 |
| (16) 移輸入（名目） | 104 |
| (17) 県内総生産（名目） | 104 |
| (18) 県民総所得（名目） | 104 |
| 2-3 所得分配ブロック | 105 |
| (1) 雇用者報酬（県内ベース・1次産業） | 105 |
| (2) 雇用者報酬（県内ベース・2次産業） | 105 |
| (3) 雇用者報酬（県内ベース・3次産業） | 106 |
| (4) 雇用者報酬（県内ベース・全産業） | 106 |
| (5) 雇用者報酬（県民ベース） | 106 |
| (6) 固定資本減耗（1次産業） | 107 |
| (7) 固定資本減耗（2次産業）：1990－2004 | 107 |
| (8) 固定資本減耗（3次産業）：1990－2004 | 108 |
| (9) 固定資本減耗（全産業） | 110 |
| 2-3-1 家計 | 110 |
| (1) 営業余剰・混合所得（家計・受取） | 110 |
| (2) 賃金・俸給 | 110 |
| (3) 雇主の現実社会負担 | 111 |
| (4) 雇主の帰属社会負担（家計）／無基金雇用者社会給付（家計） | 111 |
| (5) 財産所得（家計・受取） | 111 |
| (6) 現物社会移転以外の社会給付（家計・受取） | 113 |
| (7) 現金による社会保障給付（家計・受取／政府・支払）：1990-2004 | 113 |
| (8) 財産所得（家計・支払）：1990-2004 | 114 |
| (9) 所得・富等に課される経常税（家計負担分）：1990-2004 | 115 |
| (10) 社会負担（家計・支払） | 117 |
| (11) 雇用者の社会負担（家計・支払）：1990-2004 | 117 |
| (12) 家計可処分所得 | 118 |
| (13) 家計貯蓄 | 119 |
| 2-3-2 政府 | 119 |
| (1) 財産所得（一般政府・受取）：1990-2004 | 119 |
| (2) 生産・輸入品に課される税（一般政府・受取）：1990-2004 | 121 |
| (3) 所得・富等に課される経常税（一般政府・受取） | 122 |
| (4) 所得・富等に課される経常税（法人企業負担分）：1990-2004 | 122 |
| (5) 社会負担（一般政府・受取） | 124 |
| (6) 雇主の強制的現実社会負担 | 124 |

| | |
|-----------------------------|-----|
| (7) 雇用者の強制的（現実）社会負担 | 124 |
| (8) 財産所得（一般政府・支払）：1990-2004 | 125 |
| (9) 現物社会移転以外の社会給付（一般政府・支払） | 126 |
| (10) 政府可処分所得 | 126 |
| (11) 政府貯蓄 | 127 |
| (12) 公債費：1986-2004 | 127 |
| (13) 政府プライマリーバランス：1990-2004 | 129 |
| (14) 地方債発行残高：1990-2004 | 130 |
| 2-3-3 その他 | 132 |
| (1) 財産所得（非企業部門） | 132 |
| (2) 企業所得（法人企業の分配所得受払後） | 132 |
| (3) 法人企業所得 | 133 |
| (4) 個人企業所得 | 133 |
| 2-4 労働ブロック | 133 |
| (1) 就業者数（県内・1次産業） | 133 |
| (2) 就業者数（県内・2次産業） | 134 |
| (3) 就業者数（県内・3次産業） | 134 |
| (4) 雇用者数（県内・1次産業） | 134 |
| (5) 雇用者数（県内・2次産業） | 135 |
| (6) 雇用者数（県内・3次産業） | 135 |
| 2-5 産業連関ブロック | 136 |
| (1) 県内最終需要（最終需要項目別・IOベース） | 136 |
| (2) 県別・行部門別県内最終需要（IOベース） | 137 |
| (3) 県別輸出（IOベース） | 160 |
| (4) 行部門別輸出（IOベース） | 161 |
| (5) 県別域外への移出（IOベース） | 161 |
| (6) 行部門別域外への移出（IOベース） | 162 |
| (7) 行部門別最終需要（IOベース） | 163 |
| (8) 県別産業別產出額（IOベース） | 166 |
| (9) 県別産業別產出額（SNAベース） | 178 |
| (10) 県別産業別域内移出（中間財・IOベース） | 179 |
| (11) 県別域内移出（中間財・IOベース） | 190 |
| (12) 県別産業別域内移入（中間財・IOベース） | 190 |
| (13) 県別域内移入（中間財・IOベース） | 201 |
| (14) 県別産業別域内移出（最終財・IOベース） | 202 |
| (15) 県別域内移出（最終財・IOベース） | 218 |

| | |
|----------------------------------|-----|
| (16) 県別域内移入(最終財・IOベース) | 219 |
| (17) 県別域内移出(IOベース) | 234 |
| (18) 県別域内移入(IOベース) | 235 |
| (19) 県別・部門別県内需要 (IOベース) | 235 |
| (20) 県別部門別輸入 (IOベース) | 239 |
| (21) 県別輸入 (IOベース) | 240 |
| (22) 県別部門別域外からの移入 (IOベース) | 241 |
| (23) 県別域外からの移入 (IOベース) | 241 |
| 3. MAPE一覧 | 243 |
| 4. シミュレーション結果詳細：大阪湾岸大型設備投資 | 246 |
| (1) GRPと雇用への影響 | 246 |
| (2) 財政への影響 | 253 |
| 5. 県民経済計算の用語と概念の説明 | 256 |

第1章 はじめに

1947年に地方自治法が公布されて以来、わが国の行政区域は国、都道府県、市町村の三層構造をとってきた。それから60年以上を経て、交通手段の発達やIT化の進展により生活経済圏が拡大しているにもかかわらず、行政区域の三層構造は変化していない。

市町村では2000年頃から合併が行われて行政区域が拡大されているものの、都道府県の行政区域は戦後の状態がほとんどそのまま踏襲されている。

全国を47都道府県単位で区割りを行ってきたのは、行政部門だけに限らない。例えば、テレビ局や新聞などのマスコミ、地方銀行や信用金庫などの金融機関、商工会議所などの民間部門も都道府県単位で設置してきた。しかし、従来本社が置かれている都道府県内での活動が主であった民間部門でも、都道府県の枠を超えて活動および連携を行うことが多くなっている。

公的部門・民間部門に共通した動きとして、経済的な連携の強い地域を一つの単位としてインフラ整備や観光などの施策を行おうとする動きが強くなっている。近年、広く検討されるようになった道州制の導入¹などはその一例であろう。

ところが、新しい経済活動が活発になるにつれて、現状と制度のギャップによる弊害が現れてきている。それは、地域の現状を反映した数字が存在しないという問題である。地域経済の現状分析や将来の見通しを行う場合は、生活経済圏を反映した統計に基づいた議論が必要であるにもかかわらず、現状では旧来の都道府県単位のデータを利用するしかない。その理由として、公的部門の施策や統計データの収集が既存の行政区域を基準としてなされているため、刻一刻と変わっていく地域の現状を必ずしも反映しきれていないことが挙げられる²。

しかし、現実問題として現在の生活経済圏を反映させたシステムへ全ての行財政制度を急速に移行させることは難しい。現時点で地域のデータ分析を行う場合は、既存の統計情報を利用せざるを得ない。また、システム変更が伴わない以上、既存の行政区域での統計や経済分析も依然として必要とされている。

このような移行期の状況を鑑み、本稿では関西地域において、既存の行政区域と実際の生活経済圏に即した区域の両方のデータ分析が可能な分析ツールを開発することを試みた。データ分析が可能なツールは複数あるが、マクロモデルは複合的な経済への波及を数量的に把握できること、また複数年にわたる経済効果の試算が可能であるなどの長所を持つ。

さらに、域内の府県単位での財・サービスの移動を把握するために、マクロモデルと地域間産業連関表との連結を試みた。産業連関表は、表の数値そのものが統計として価値を

¹ 実は、関西地域では、府県レベルでの連携が比較的早くから議論されてきた。木下和夫監修「関西経済連合会事務局編の『広域行政の経済効果』(1968)は、関西地域で広域行政を実施した場合の行財政の効率性について、福井県を含む関西2府5県および大阪市を中心とする大都市圏を対象として実証している。

² 例えば、県民ベースと県内ベースの統計値に大きな乖離が生じるなどの弊害がある。

有するうえ、定量的に経済波及効果が算出でき、かつ産業部門ごとの内訳も出せる利便性の高い経済分析ツールである。2000年表では全ての都道府県で域内産業連関表が整備されており、基礎統計としての利用価値も高い。

マクロモデルの対象地域は福井県、滋賀県、京都府、大阪府、兵庫県、奈良県、和歌山県の関西2府5県で、ケインズ・レオンシェフ型の需要決定モデルである。地域間産業連関表を連結しているため、域内の府県間の財・サービスの移動の状況についても捉えることが可能という特色を持つ。

2章では、地域マクロモデルの対象とした関西地域の概況について、中長期的な動きを交えながら述べる。3章では使用したデータの概略について述べる。4章では、マクロモデルの概要について大阪府を例にして説明する。5章では、ファイナルテスト及び2府5県にそれぞれ1兆円ずつ公共投資を行った場合のテストシミュレーションを行い、関西マクロモデルの構造的な特色を明らかにする。6章では、大阪湾岸に立地する4つの大型の民間設備投資の初期投資の経済波及効果を試算し、より具体的な考察を行い、今後の課題をまとめる。

第2章 関西経済の概況

日本経済は、バブル崩壊後の長い不況期を経て2002年以降回復局面に転じ、2007年ごろまでゆるやかな景気回復を続けた。関西経済も雇用・設備・債務の「3つの過剰」を解消し、同じく景気回復に転じたものの、他地域と異なる背景や要因もいくつか指摘できる。

ひとつは、バブル崩壊の影響が、関東、東海の都市圏と比べて大きかった点である。関西の地価の上昇は関東圏に遅れて始まり、かつ上昇率が速かったため、地価下落に転じたときの速度も速く、負の影響も強く受けた。そこに、企業本社の東京一極集中と工場の海外シフトによる「空洞化」があいまって、関西の相対的な地位低下は急激に進んだ。

ところが、2002年以降、世界経済の拡大に関西はいち早く対応し、アジア向けの輸出に力をいれることによって、全国を上回る景気回復が始まった。同時に、工場三法の撤廃などの規制緩和や、先端技術のブラックボックス化などの影響によって、大阪湾岸地域を中心に大型工場の立地が増加し始めた。特に、2007年から2008年にかけて相次いで公表された、シャープ堺、IPSアルファテクノロジ姫路、パナソニック尼崎、住友金属和歌山製鉄所の設備投資は、全国でも有数の規模であり大きな注目を集めた。

もっとも、関西経済が今後も磐石であるとは言い切れない。関西経済のネックのひとつに、人口減少および高齢化の速度が全国平均より速いという点があげられる。関西は大学をはじめとする高等教育機関が充実しているため、15歳から25歳人口は流入増であるが、企業の東京への一極集中によって、25歳から65歳までの働き盛りの人口層が他地域へ流出するという傾向が20年来続いているためである。また、自治体の財政基盤が他地域と比べ

て脆弱であり、財政再建団体に転落寸前の自治体の割合も高い。

このような問題を抱える中、関西経済は将来どのような経路をたどっていくのか、魅力ある地域となるためには、どのような取組が必要であるのか、その根拠となる数字を具体的に示すことが必要である。次章以降で展開される関西マクロモデルによる分析は、ひとつのヒントとなろう。

第3章 データの出所と作成方法

関西マクロモデルの構築にあたって利用した統計情報のうち、中心となったものは各府県の「県民経済計算年報」である。その他、必要に応じて政府統計および民間統計を利用した。

県民経済計算の統計表は各府県で共通のフォームが規定されている(表 3-1)。ただし、2004 年度版からは 1995 年度以前のデータについては遡及改訂がなされなくなっている。直前の 2003 年度版では 1990 年度まで遡及改訂がされているため、1990 年度から 1995 年度までは 2003 年度版のデータを 1996 年度の比率で接続した値を利用する。1989 年以前のデータは 68SNA の最新年度のデータを 1990 年度の比率で接続した値を利用する。

90 年以前の値は 68SNA、90-95 年は 2003 年度版(1995 年基準)、96-04 年は 2004 年度版(2000 年基準)である。

表 3-1 県民経済計算の構成

| |
|-----------------------|
| 1 主要系列表 |
| (1)経済活動別県内総生産 |
| (2)県民所得(分配) |
| (3)県内総支出(名目) |
| (4)県内総支出(実質) |
| (5)県内総支出(デフレーター) |
| 2 県内総生産と総支出勘定 |
| 3 県民可処分所得と使用勘定 |
| 4 制度部門別所得支出勘定 |
| (1)非金融法人企業 |
| (2)金融機関 |
| (3)一般政府 |
| (4)対家計民間非営利団体 |
| (5)家計(個人企業を含む) |
| 5 付表 |
| (1)経済活動別県内総生産および要素生産 |
| (2)産業別就業者数・雇用者数 |
| 6 関連指標 |

3-1 支出ブロック

支出ブロックのデータは、1975年から2004年まで収集した。

当ブロックのデータは「県民経済計算」の1 主要系列表の(3)県内総支出(名目)、(4)県内総支出(実質)、(5)県内総支出(デフレーター)から取得した。これらのデータは、内閣府が47都道府県の県民経済計算をまとめて出版したものからではなく、各府県のオリジナルの県民経済計算から入手する必要がある。これは、前者に県民経済計算のデータのすべてが掲載されているわけではないためである。

資本ストックは、ベンチマークの資本ストックに投資額を積み上げることにより作成した。用いたデータは、内閣府「民間企業資本ストック」、経済産業省「工業統計表」、「県民経済計算」である。

ただし、内閣府「民間資本ストック」の値は全国値のみであるので、ベンチマークを作成するために、別の統計値を利用して県別・産業別に按分する。具体的には、製造業については、1970年から1975年までの工業統計の新設投資額の累積の比率で1975年の「民間企業資本ストック」を按分して作成した。これらの作業は、民間企業資本ストックの中分類に基いて行った。非製造業については、1970年から1975年までの県民経済計算の産出額の累積の比率で1975年の「民間企業資本ストック」を按分して作成した。これは民間企業資本ストックの大分類に基いて行った。なお、除却率は全国の値を7府県一律に適用した。最後に、中分類の産業部門を3産業別に集計して府県別民間資本ストックを作成した。

住宅ストックは総務省「土地・住宅統計調査」を利用し、1978年のベンチマークを作成したものに「県民経済計算」の民間充当投資を積み上げた。

3-2 所得分配ブロック

分配ブロックのデータは1990年から2004年まで収集した。

当ブロックは大別して家計部門中心のデータと政府部門中心のデータに分類される。前者は「県民経済計算」の1 主要系列表の(2)県民所得(分配)および4 制度部門別所得支出勘定の家計(個人企業含む)部門からデータを取得した。後者は「県民経済計算」の1 主要系列表の(2)県民所得(分配)および4 制度部門別所得支出勘定の一般政府部門からデータを取得した。

県外からの所得(雇用者報酬)および県外からの所得(財産所得)は3 県民可処分所得と使用勘定から取得した。産出額、固定資本減耗、雇用者報酬は5付表の(1)経済活動別県内総生産および要素生産から取得した。

地方債発行額、地方債償還額、地方債残高は総務省「都道府県別決算状況の調」「市町村別決算状況の調」から、それぞれ府県別および府県別市町村の値を取得し、合算して使用した。

3-3 労働ブロック

労働ブロックのデータは 1990 年から 2004 年まで収集した。

当ブロックは、大別して県別の就業者数と雇用者数に分類される。どちらも「県民経済計算」の付表(2)に掲載される「産業別就業者数」および「産業別雇用者数」の県内(従業地ベース)の値を利用する。公表されているデータでは、11 産業別であるが、マクロモデルに利用する際には 4 産業別の値に集計して利用した。すなわち、第一次産業を(1)農林水産業、第二次産業を(2)鉱業と(3)製造業、(4)建設業、第三次産業を(5)卸売り・小売業から(10)サービス業、その他・公務を(11)公務として集計した。

3-4 産業連関ブロック

産業連関ブロックのデータは、関西社会経済研究所作成の「関西地域間産業連関表(2000 年表)」を利用する。関西地域間産業連関表は福井県を含む関西 2 府 5 県を対象としており、関西の府県間の財・サービスの移出入が推計されている地域間表である。産業部門は 100 部門である。関西マクロモデルと接続するにあたっては、100 部門を 4 部門に集約して利用している。

第4章 モデルの構造と推計結果

本モデルは、有効需要項目の総和が地域のGRPを決定するケインズ＝レオンチエフ型のモデルであり、支出、分配、産業連関(IO)の各ブロックから構成される。

図4-1 モデル全体の構造

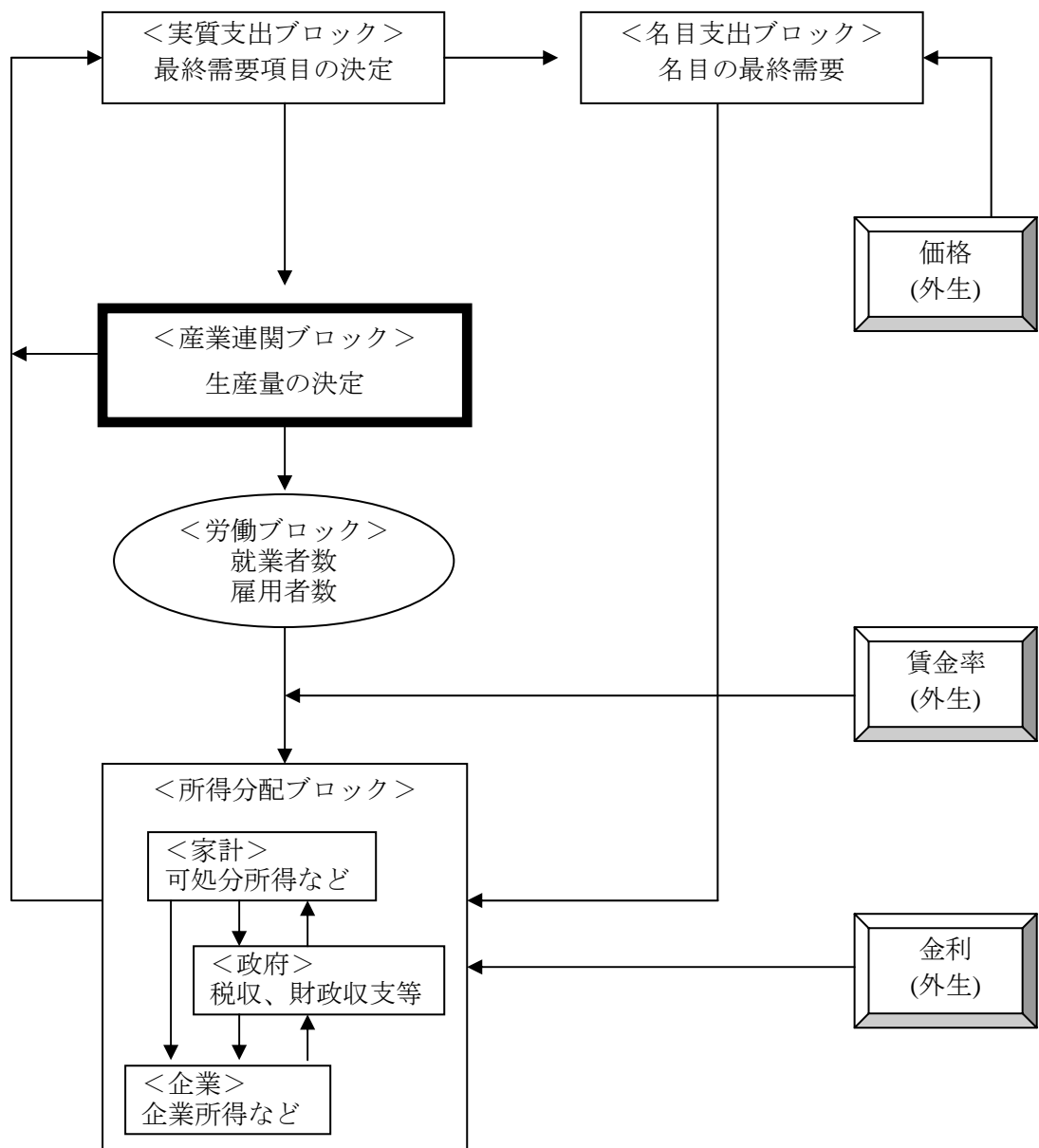


図4-1は、モデルの全体像をフローチャートで示したものである。まず、実質の最終需要が産業連関ブロックを経由して生産量に変換され、生産量は更に就業者数を決定する。就業者数は雇用者報酬を決定し、名目の最終需要ブロックから求められた県民所得と共に分配ブロック引き渡される。分配ブロックにおいては、家計、一般政府、企業の各部門間での所得が再分配され、ここで決定された所得が消費等の最終需要にフィードバックされる。

以下、支出を除く各ブロックの構造を図により確認していこう。図4-2は産業連関ブロックの構造を示したものである。支出ブロックで決定された県別の各最終需要項目は、IOベースの最終需要に変換された後、各行、すなわち各地域・各産業に対する最終需要に配分される(図の【1】)。この最終需要ベクトルにレオンチェフ逆行列を乗じることにより、地域別産業別の生産量が得られる(図の【2】)。生産量はSNAベースの生産量に変換され(図の【5】)、これが分配ブロックにおける就業者数等を決定する。一方、生産量に投入係数を乗じることで、中間財の取引額(中間投入)が決定される。ここから得られる関西域内県間の中間財の取引額が、最終財の取引額と一緒にになって、支出ブロックにおける域内他県との移出入額にフィードバックされる。

域外からの移輸入については、他の最終需要項目とは反対に、まず産業連関ブロックでIOベースの移輸入が県別産業別に決定され、それを集計したものが支出ブロックにおいて域外からの移輸入に変換されるという手順を採用している³。なお、産業連関ブロックにおける移輸入は、当該業部門に対する県内需要に移輸入係数を乗じることで決定されている。

図4-3は、所得分配ブロックにおける、家計を中心とした所得の再分配過程を示したものである。産業連関ブロックを経由して決定された雇用者数が、雇用者報酬を決定している。家計の所得分配は、この雇用者報酬を主たる起点として、租税、社会保険、財産所得等による再分配を得て行われる。また、図4-4は、一般政府を中心にみた所得分配のフロー図である。これらの所得分配の過程は、4-3で詳しく説明をおこなっている。

³ ここでの移輸入係数とは、正確には、対角ブロック(自地域間取引)の各産業の需要に占める移入額、輸入額の比率のことを指す。地域間表においては、地域内表と異なり、非対角ブロックに(域外からの)移輸入は含まれていないことに注意する必要がある。

図 4-2 産業連関プロックの構造

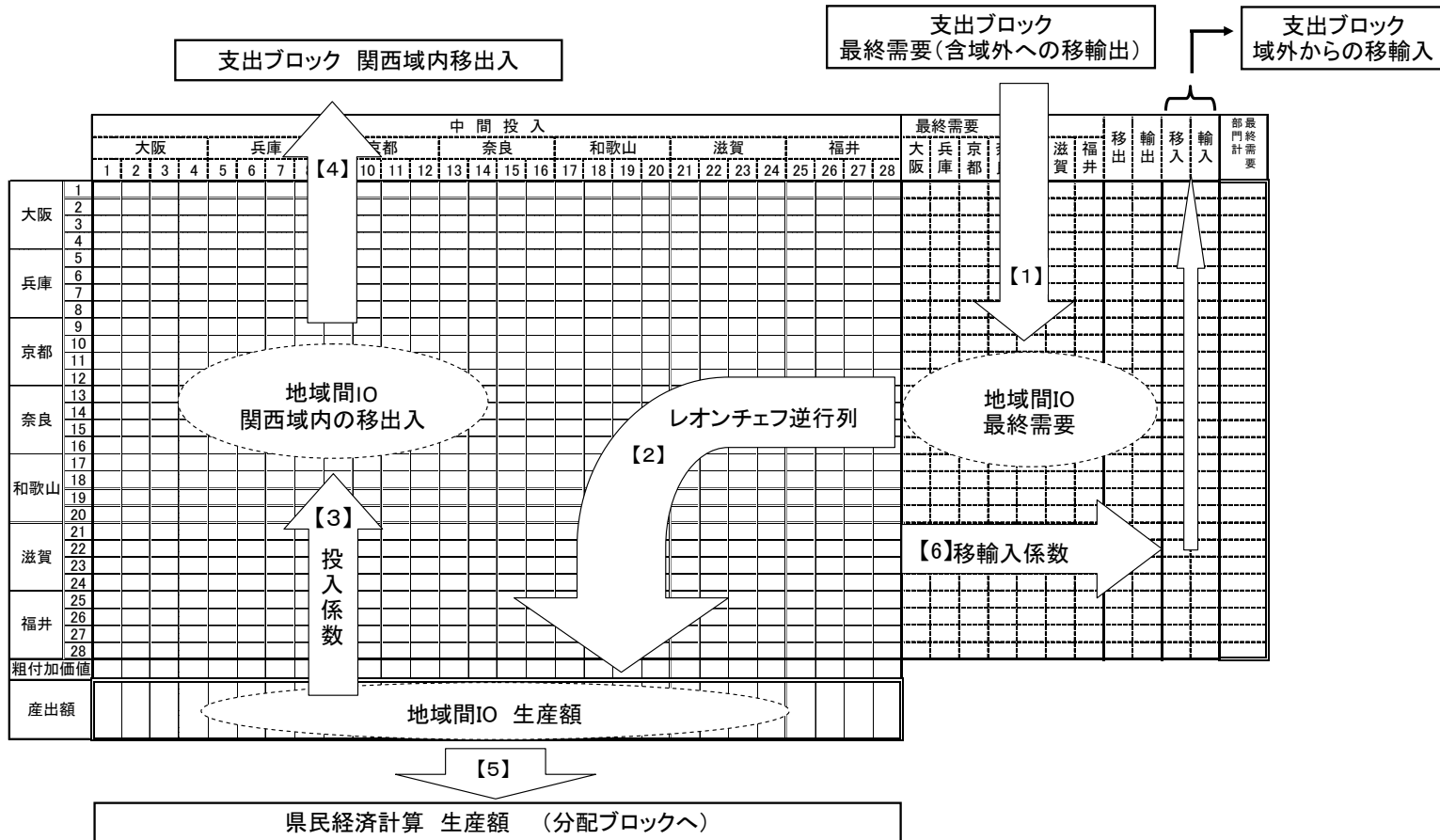


図 4-3 分配ブロックの構造：家計を中心に

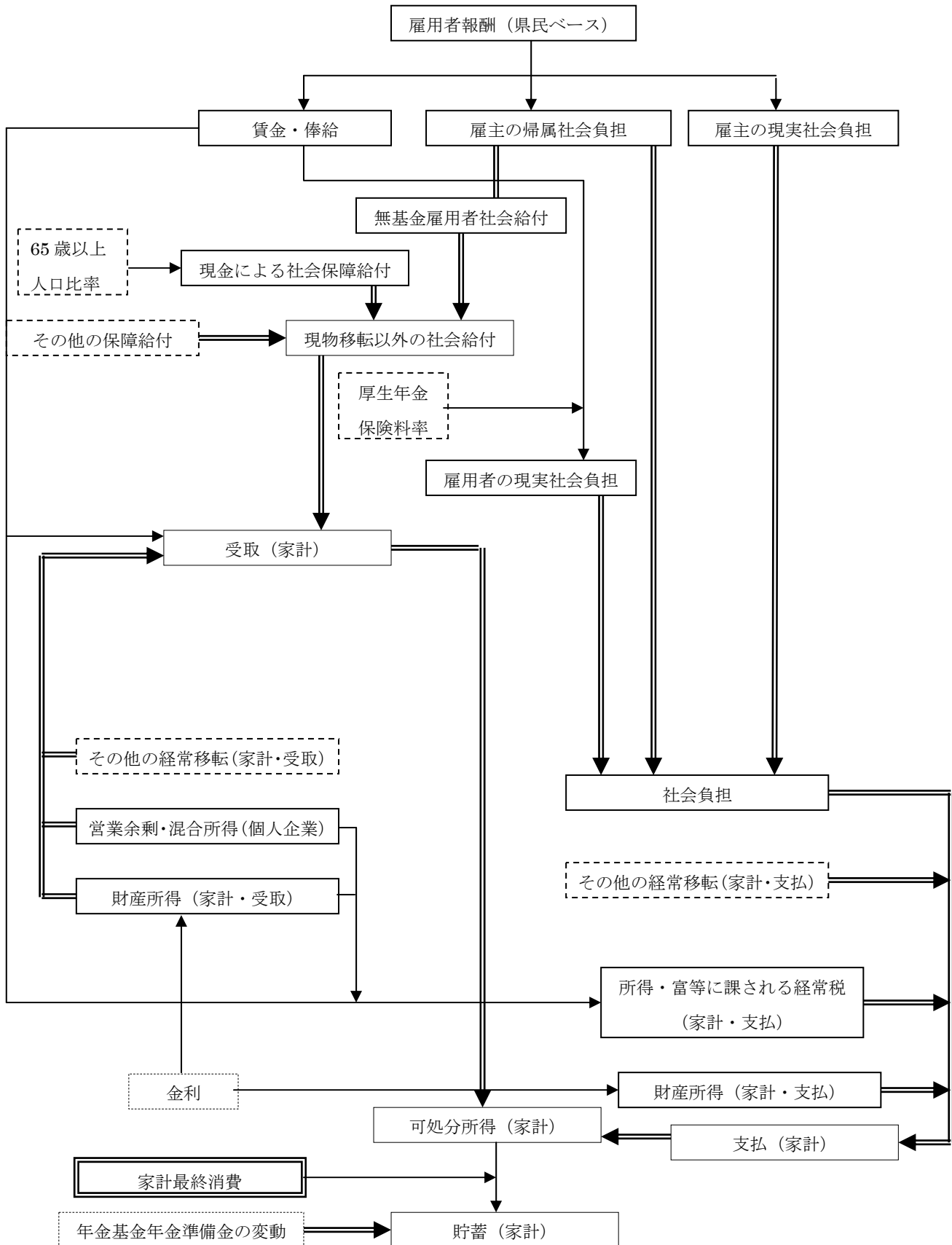
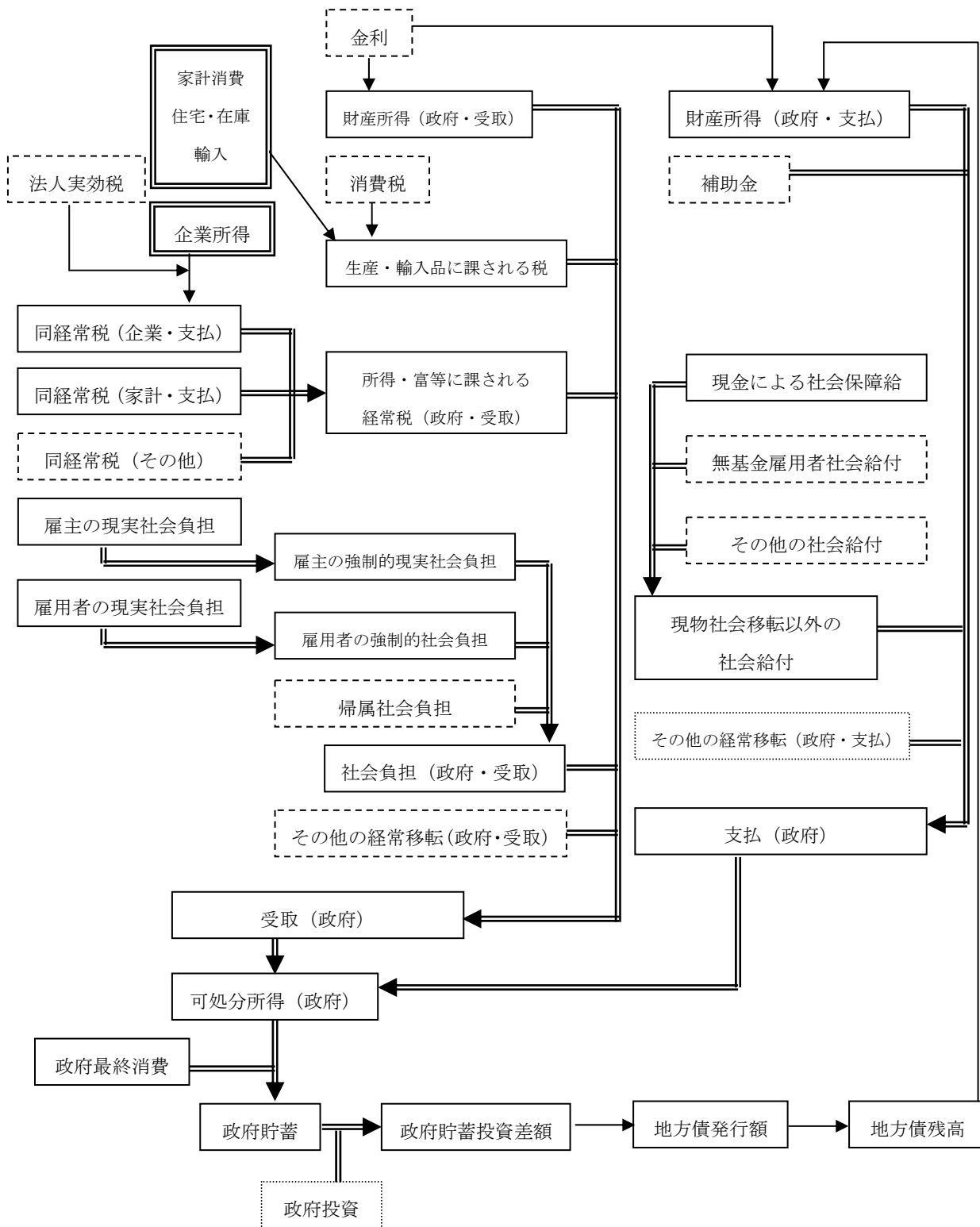


図 4-4 分配ブロックの構造：一般政府を中心に



以下の各節では、ブロックごとにモデルを構成する方程式および定義式の説明をおこなう。理解を容易にするため、それぞれの説明で推計結果等を例示しているが、これらは、特に断りのない限り、大阪に関するものである。方程式・定義式の全リストについては、資料編を参照されたい。

4-1 実質支出ブロック

本ブロックでは、県別に実質最終需要の各項目が決定され、その合計が各県のGRPとなる。対家計民間非営利団体消費、政府最終消費、民間企業設備投資(1次産業)、公的固定資本形成、在庫投資は外生としている。各最終需要項目は、産業連関ブロックにおいて県別・産業別の生産額に変換される。移入・輸入については、決定の仕組みが他と異なるが、これについてはのちに詳述する。

4-1-1 家計最終消費支出(実質)

実質家計最終消費支出は、実質可処分所得と自己ラグにより説明した。推計結果から得られた短期および長期⁴の可処分所得弹性値は下の表のようになる。短期の弾力性は 0.06 から 0.64 までかなりのバラつきがある。一方、長期のそれは 0.44 から 0.92 の間の値をとっている。

$$\begin{aligned} \text{LOG(OSA_CPH)} = & 1.92993 + 0.0925 \text{ LOG(OSA_YDHV / OSA_PCPH * 100)} + 0.7921 \text{ LOG(OSA_CPH(-1))} \\ & (3.399) \quad (2.133) \quad (24.203) \\ & - 0.0468 (\text{D80} + \text{D81}) - 0.0312\text{D89} - 0.0347\text{D97} \\ & (-4.487) \quad (-2.787) \quad (-3.043) \\ & \underline{\text{ADJ.R2} = 0.9891 \quad \text{SER} = 0.0108 \quad \text{DW} = 2.0326} \end{aligned}$$

家計消費の所得弾力性

| | 大阪 | 兵庫 | 京都 | 奈良 | 和歌山 | 滋賀 | 福井 |
|----|--------|--------|--------|--------|--------|--------|--------|
| 短期 | 0.0926 | 0.5368 | 0.0684 | 0.6449 | 0.1725 | 0.1689 | 0.1662 |
| 長期 | 0.4453 | 0.9225 | 0.6210 | 0.7965 | 0.6854 | 0.8633 | 0.8871 |

⁴長期の限界消費性向 Cl は、推定式の所得弾力性の計数を α 、消費の自己ラグの計数を β とすると $Cl = \alpha / (1 - \beta)$ と表せる。

4-1-2 民間住宅投資(実質)

民間住宅投資は、所得要因として実質可処分所得、コスト要因として実質金利、さらにストック調整原理を採用して前期末住宅ストックを説明変数に採用した。ただし、福井の前期末住宅ストックについては、符号条件を満たさなかったため、説明変数から除外した。

推計結果は概ね良好である。説明変数の弹性値は、実質可処分所得が 0.83 から 2.51、実質金利が 0.021 から 0.047 の間の値をとっている。

$$\begin{aligned} \text{LOG(OSA_IPH)} &= -12.2516 + 1.7862 \text{ LOG(OSA_YDHV / OSA_PIPH / 100)} \\ &\quad (-3.463) \quad (6.726) \\ &- 0.036 \text{ LOG(JPN_RGB} - (\text{OSA_PIPH}/\text{OSA_PIPH}(-1) - 1)*100) - 0.2127 \text{ LOG(OSA_KPH}(-1)) \\ &\quad (-3.768) \quad (-2.475) \\ &- 0.2482 \text{ D84} - 0.2014 \text{ (D91 + D92)} \\ &\quad (-3.101) \quad (-3.248) \\ \underline{\text{ADJ.R2 = 0.8363}} \quad \underline{\text{SER = 0.0759}} \quad \underline{\text{DW = 1.555}} \end{aligned}$$

4-1-3 民間企業設備投資(実質・2次産業)

実質民間企業設備投資(2次産業)は、規模要因・能力要因として2次産業の実質産出額、コスト要因として実質金利を説明変数として用い、これにストック調整原理を仮定した。

実質産出額と実質金利の弹性値を求めるとき、まず実質産出額については、最小が和歌山の 0.833、最大が滋賀の 1.585 であり、弹性値は概ね 1 の近傍に分布している。一方、実質金利については、最小が和歌山の 0.001、最大は大阪の 0.1 であり、県によりかなりのばらつきがある。

$$\begin{aligned} \text{LOG(OSA_IPF2)} &= 2.2243 + 1.4347 \text{ LOG (OSA_X2)} - 0.1007 ((\text{JPN_RGB} - (\text{OSA_PIPF}/\text{OSA_PIPF}(-1)-1)*100)) \\ &\quad (0.9383) \quad (12.805) \quad (-5.625) \\ &- 0.7174 \text{ OSA_KPF2}(-1) - 0.4567 \text{ D80} - 0.1683 \text{ (D95+D96+D97)} \\ &\quad (-7.250) \quad (-4.592) \quad (-4.388) \\ \underline{\text{ADJ.R2 = 0.9066}} \quad \underline{\text{SER = 0.0578}} \quad \underline{\text{DW = 2.1599}} \end{aligned}$$

4-1-4 民間企業設備投資(実質・3次産業)

3次産業の設備投資は、2次産業以上に安定しない。実質金利は、全ての県で符号条件を満たさないか有意でなかったため、説明変数から除外している。同様の理由で、奈良、和

歌山、滋賀から前期資本ストックを除いている。実質產出の弹性値は、大阪 3.53、兵庫 2.89、京都 2.41、奈良 1.04、和歌山 1.38、滋賀 0.95、福井 1.08 であった。(自己ラグを説明変数に加えた奈良、滋賀の弹性値は長期のもの。)

$$\begin{aligned} \text{LOG(OSA_IPF3)} &= -35.9342 + 3.5329\text{LOG(OSA_X3)} - 0.6177\text{OSA_KPF3(-1)} \\ &\quad (-11.927) \quad (12.805) \quad (-6.393) \\ &+ 0.1402(\text{D86+D87+D88}) + 0.1172(\text{D02+D03+D04}) \\ &\quad (4.921) \quad (3.381) \\ &\underline{\text{ADJ.R2 = 0.9790}} \quad \underline{\text{SER = 0.0449}} \quad \underline{\text{DW = 2.1607}} \end{aligned}$$

4-1-5 輸出(実質)

輸出については、各県別に推定するのではなく、まず関西全体で輸出関数を推定し、それを産業連関表上の関西輸出額ベクトルの構成比により各県に配分するという方法を採用した。理由は、県別の輸出関数の推計に堪えうるほど、県別輸出データの信頼性が高くはないこと、そもそも経済規模の小さな県の海外との取引を明示的に推計すること自体に無理があると考えたことによる。

説明変数には、日本以外の「その他世界」の実質輸出額、およびその他世界の輸出価格と関西輸出価格の比(相対価格)を用いた。

$$\begin{aligned} \text{LOG(KIN_EA)} &= 14.67535 + 0.44809(\text{LOG(ROW_XGVD/ROW_PXGD)}C \\ &\quad (69.60842) \quad (5.601376) \\ &+ 0.000538(\text{ROW_PXGD} * \text{JPN_FXS/KIN_PEA}) + 0.748259(\text{AR}(1)) \\ &\quad (0.379832) \quad (5.98411) \\ &\underline{\text{ADJ.R2 = 0.958474}} \quad \underline{\text{SER = 0.048201}} \quad \underline{\text{DW = 1.960725}} \end{aligned}$$

$$\text{OSA_EA} = \text{OSA_REA} \times \text{KIN_EA}$$

$$\text{HYO_EA} = \text{HYO_REA} \times \text{KIN_EA}$$

$$\text{KYO_EA} = \text{KYO_REA} \times \text{KIN_EA}$$

$$\text{NRA_EA} = \text{NRA_REA} \times \text{KIN_EA}$$

$$\text{WAK_EA} = \text{WAK_REA} \times \text{KIN_EA}$$

$$\text{SGA_EA} = \text{SGA_REA} \times \text{KIN_EA}$$

$$\text{FKI_EA} = \text{FKI_REA} \times \text{KIN_EA}$$

4-1-6 関西外への移出(実質)

関西外への移出の扱いも、輸出と同様に、まず関西全体での域外への移出を推計し、それを産業連関表上で各府県に配分するという方法を探っている。関西全体の域外への移出関数はごく簡便に、域外の実質 GRP を説明変数としており、その弾性値は約 0.66 であった。

$$\begin{aligned} \text{LOG(KIN_EDNK)} &= 4.0825 + 0.6641 \text{ LOG(NKIN_GRP)} \\ &\quad (5.873) \quad (18.778) \\ &+ 0.0949(\text{D86+D87+D88+D89+D90+D91+D92+D93+D94+D95+D96}) - 0.0765(\text{D02+D03+D04}) \\ &\quad (7.267) \quad (-3.462) \\ \underline{\text{ADJ.R2 = 0.9555}} \quad \underline{\text{SER = 0.0295}} \quad \underline{\text{DW = 1.5829}} \end{aligned}$$

$$\begin{aligned} \text{OSA_EDNK} &= \text{OSA_REDNK} \times \text{KIN_EDNK} \\ \text{HYO_EDNK} &= \text{HYO_REDNK} \times \text{KIN_EDNK} \\ \text{KYO_EDNK} &= \text{KYO_REDNK} \times \text{KIN_EDNK} \\ \text{NRA_EDNK} &= \text{NRA_REDNK} \times \text{KIN_EDNK} \\ \text{WAK_EDNK} &= \text{WAK_REDNK} \times \text{KIN_EDNK} \\ \text{SGA_EDNK} &= \text{SGA_REDNK} \times \text{KIN_EDNK} \\ \text{FKI_EDNK} &= \text{FKI_REDNK} \times \text{KIN_EDNK} \end{aligned}$$

4-1-7 関西内への移出(実質)

関西内への移出は、産業連関ブロック内において、地域内他県への中間財と最終財の販売額の合計として決定される(詳細は産業連関ブロックを参照)。産業連関ブロックで決定される移出額は IO ベースのものであり、支出ブロックでは、これに調整係数を乗じて SNA ベースの移出額に変換する。

$$\begin{aligned} \text{OSA_EDK} &= \text{OSA_REDK} \times \text{OSA_EDKIO} \\ \text{HYO_EDK} &= \text{HYO_REDK} \times \text{KIN_EDKIO} \\ \text{KYO_EDK} &= \text{KYO_REDK} \times \text{KIN_EDKIO} \\ \text{NRA_EDK} &= \text{NRA_REDK} \times \text{KIN_EDKIO} \\ \text{WAK_EDK} &= \text{WAK_REDK} \times \text{KIN_EDKIO} \\ \text{SGA_EDK} &= \text{SGA_REDK} \times \text{KIN_EDKIO} \\ \text{FKI_EDK} &= \text{FKI_REDK} \times \text{KIN_EDKIO} \end{aligned}$$

4-1-8 移出計・移輸出計(実質)

OSA_ED = OSA_EDK + OSA_EDNK
 OSA_E = OSA_EA + OSA_ED
 HYO_ED = HYO_EDK + HYO_EDNK
 HYO_E = HYO_EA + HYO_ED
 KYO_ED = KYO_EDK + KYO_EDNK
 KYO_E = KYO_EA + KYO_ED
 NRA_ED = NRA_EDK + NRA_EDNK
 NRA_E = NRA_EA + NRA_ED
 WAK_ED = WAK_EDK + WAK_EDNK
 WAK_E = WAK_EA + WAK_ED
 SGA_ED = SGA_EDK + SGA_EDNK
 SGA_E = SGA_EA + SGA_ED
 FKI_ED = FKI_EDK + FKI_EDNK
 FKI_E = FKI_EA + FKI_ED

4-1-9 輸入・関西域外からの移入(実質)

移出および域外からの移入は、まず関西全体の値を求め、それを産業連関表の列構成比で各県に配分するという方式を採ったが、輸入および域外からの移入の決定はこれとは反対に、産業連関ブロックにおいて求めた IO ベースの輸入額・移入額を調整係数により SNA ベースに変換して決定される。産業連関ブロック内での輸入額・移入額は、県別・産業別に県内需要の一定割合として求められるが、これについては産業連関ブロックで説明する。

OSA_MA= OSA_RMA×OSA_MAIO
 OSA_MDNK= OSA_RMDNK×OSA_MDNKIO
 HYO_MA= HYO_RMA × HYO_MAIO
 HYO_MDNK= HYO_RMDNK × HYO_MDNKIO
 KYO_MA= KYO_RMA × KYO_MAIO
 KYO_MDNK= KYO_RMDNK × KYO_MDNKIO
 NRA_MA= NRA_RMA × NRA_MAIO
 NRA_MDNK= NRA_RMDNK × NRA_MDNKIO
 WAK_MA= WAK_RMA × WAK_MAIO
 WAK_MDNK= WAK_RMDNK × WAK_MDNKIO
 SGA_MA= SGA_RMA × SGA_MAIO
 SGA_MDNK= SGA_RMDNK × SGA_MDNKIO

$$\begin{aligned} \text{FKI_MA} &= \text{FKI_RMA} \times \text{FKI_MAIO} \\ \text{FKI_MDNK} &= \text{FKI_RMDNK} \times \text{FKI_MDNKIO} \end{aligned}$$

4-1-10 関西域内からの移入(実質)

関西内からの移入は、産業連関ブロック内での、地域内他県からの中間財と最終財の購入額の合計として決定される(詳細は産業連関ブロックを参照)。産業連関ブロックで決定される移出額は IO ベースのものであり、支出ブロックでは、これに調整係数を乗じて SNA ベースの移出額に変換する。

$$\begin{aligned} \text{OSA_MDK} &= \text{OSA_RMDK} \times \text{OSA_MDKIO} \\ \text{HYO_MDK} &= \text{HYO_RMDK} \times \text{KIN_MDKIO} \\ \text{KYO_MDK} &= \text{KYO_RMDK} \times \text{KIN_MDKIO} \\ \text{NRA_MDK} &= \text{NRA_RMDK} \times \text{KIN_MDKIO} \\ \text{WAK_MDK} &= \text{WAK_RMDK} \times \text{KIN_MDKIO} \\ \text{SGA_MDK} &= \text{SGA_RMDK} \times \text{KIN_MDKIO} \\ \text{FKI_MDK} &= \text{FKI_RMDK} \times \text{KIN_MDKIO} \end{aligned}$$

4-1-11 移入計・移輸入計(実質)

$$\begin{aligned} \text{OSA_MD} &= \text{OSA_MDK} + \text{OSA_MDNK} \\ \text{OSA_M} &= \text{OSA_MA} + \text{OSA_MD} \\ \text{HYO_MD} &= \text{HYO_MDK} + \text{HYO_MDNK} \\ \text{HYO_M} &= \text{HYO_MA} + \text{HYO_MD} \\ \text{KYO_MD} &= \text{KYO_MDK} + \text{KYO_MDNK} \\ \text{KYO_M} &= \text{KYO_MA} + \text{KYO_MD} \\ \text{NRA_MD} &= \text{NRA_MDK} + \text{NRA_MDNK} \\ \text{NRA_M} &= \text{NRA_MA} + \text{NRA_MD} \\ \text{WAK_MD} &= \text{WAK_MDK} + \text{WAK_MDNK} \\ \text{WAK_M} &= \text{WAK_MA} + \text{WAK_MD} \\ \text{SGA_MD} &= \text{SGA_MDK} + \text{SGA_MDNK} \\ \text{SGA_M} &= \text{SGA_MA} + \text{SGA_MD} \\ \text{FKI_MD} &= \text{FKI_MDK} + \text{FKI_MDNK} \\ \text{FKI_M} &= \text{FKI_MA} + \text{FKI_MD} \end{aligned}$$

4-1-12 県内総生産(実質)

県内総生産は、最終需要支出項目の合計から移輸入を控除したものとして決定される。

$$\text{OSA_GRP} = \text{OSA_CP} + \text{OSA_IPH} + \text{OSA_IPF} + \text{OSA_IG} + \text{OSA_CG} + \text{OSA_J} + \text{OSA_E} - \text{OSA_M} + \text{OSA_SDP}$$

$$\text{HYO_GRP} = \text{HYO_CP} + \text{HYO_IPH} + \text{HYO_IPF} + \text{HYO_IG} + \text{HYO_CG} + \text{HYO_J} + \text{HYO_E} - \text{HYO_M} + \text{HYO_SDP}$$

$$\text{KYO_GRP} = \text{KYO_CP} + \text{KYO_IPH} + \text{KYO_IPF} + \text{KYO_IG} + \text{KYO_CG} + \text{KYO_J} + \text{KYO_E} - \text{KYO_M} + \text{KYO_SDP}$$

$$\text{NRA_GRP} = \text{NRA_CP} + \text{NRA_IPH} + \text{NRA_IPF} + \text{NRA_IG} + \text{NRA_CG} + \text{NRA_J} + \text{NRA_E} - \text{NRA_M} + \text{NRA_SDP}$$

$$\text{WAK_GRP} = \text{WAK_CP} + \text{WAK_IPH} + \text{WAK_IPF} + \text{WAK_IG} + \text{WAK_CG} + \text{WAK_J} + \text{WAK_E} - \text{WAK_M} + \text{WAK_SDP}$$

$$\text{SGA_GRP} = \text{SGA_CP} + \text{SGA_IPH} + \text{SGA_IPF} + \text{SGA_IG} + \text{SGA_CG} + \text{SGA_J} + \text{SGA_E} - \text{SGA_M} + \text{SGA_SDP}$$

$$\text{FKI_GRP} = \text{FKI_CP} + \text{FKI_IPH} + \text{FKI_IPF} + \text{FKI_IG} + \text{FKI_CG} + \text{FKI_J} + \text{FKI_E} - \text{FKI_M} + \text{FKI_SDP}$$

4-2 名目支出ブロック

支出変数の名目値は、実質支出ブロックで得られた実質値に価格・デフレーターを乗じることにより求める。本モデルでは、価格変数は全て外生としていることから、名目支出は実質支出のミラー・イメージとなる。

以下では、県民総所得の決定式のみを示す。他の決定式については、資料編の方程式・定義式リストを参照されたい。

4-2-1 県民総所得(名目)

名目国内総生産に、海外からの所得(雇用者報酬、財産所得)の純受取を加えたものが県民総所得となる。海外からの所得の純受取は、外生としている。

$$\text{OSA_GNIV} = \text{OSA_GRPV} + \text{OSA_NREIWV} + \text{OSA_NREIPV}$$

4-3 所得分配ブロック

所得分配ブロックでは、租税、社会保障、財産所得等の移転を通じて、主体(家計・政府・企業)間での所得の再分配がおこなわれる。その大まかな流れは、以下の通りである。

まず、名目支出ブロックで、県全体の所得(県民総所得)が決まる。一方、産業連関ブロックで各地域・部門の産出額が決まり、これが労働ブロックの就業者数・雇用者数、さらには家計の主たる収入源である雇用者報酬を決定する。家計による税および社会保障負担は、

この雇用者報酬の大きさに左右される。企業の所得は、財産所得などの受け渡しを経て、県民所得からの残差により決定される。企業、家計の所得は、税金の課税ベースとなり政府の収入を決定する。政府の収支は、地方債の発行額、更にはその残高を決定する。

4-3-1 雇用者報酬(県内ベース)

県内ベースの雇用者報酬は、産業別に、雇用者数に「雇用者一人当たり雇用者報酬」を乗じて求められる。「雇用者一人当たり雇用者報酬」は、狭義の賃金率に相当し、本モデルではこれを外生としている。したがって、雇用者報酬の大きさは、専ら雇用者数に依存することになる。ただし、公務・非営利は外生変数である。

県内における雇用者報酬の総額は、各産業の雇用者報酬の合計として決定される。

$$OSA_YWTDV1 = OSA_WAGE1 * OSA_LE1$$

$$OSA_YWTDV2 = OSA_WAGE2 * OSA_LE2$$

$$OSA_YWTDV3 = OSA_WAGE3 * OSA_LE3$$

$$OSA_YWTDV = OSA_YWTDV1 + OSA_YWTDV2 + OSA_YWTDV3 + OSA_YWTDV4$$

4-3-2 雇用者報酬(県民ベース)

県民ベースの雇用者報酬は、県内ベースの雇用者報酬に県外からの雇用者報酬の純受取りを加えたものとして定義される。

$$OSA_YWTM = OSA_YWTDV + OSA_NREIWV$$

4-3-3 固定資本減耗

固定資本減耗は2次産業と3次産業を内生変数とし、過去の名目設備投資の累積額、または名目値に換算した資本ストックで説明した。

$$OSA_CFCA2 = 607882.3 + 0.0431 (OSA_IPFV2(-5) + OSA_IPFV2(-4) + OSA_IPFV2(-3) + OSA_IPFV2(-2))$$

$$(13.940) \quad (7.971)$$

$$+ OSA_IPFV2(-1)) - 56069.1(D99+D00+D01+D02)$$

$$(-3.244)$$

$$\underline{ADJ.R2 = 0.9026 \quad SER = 25731.9 \quad DW = 1.9247}$$

$$OSA_CFCA3 = -186797.8 + 0.1001 (OSA_KPF3(-1) * OSA_PIPF3/100) - 165177.0 (D99 + D00 + D01+D02)$$

| | | |
|--|----------|----------|
| (-0.811) | (23.126) | (-2.780) |
| + 289529.2 D04 | | |
| (3.155) | | |
| <u>ADJ.R2 = 0.9783 SER = 80886.1 DW = 1.644</u> | | |

OSA_CFCA = OSA_CFCA1 + OSA_CFCAA2 + OSA_CFCA3 + OSA_CFCA4

4-3-4 賃金・俸給

4-3-5 雇主の現実社会負担

4-3-6 雇主の帰属社会負担(家計)／無基金雇用者社会給付

雇用者報酬は、「賃金・俸給」、「雇主の現実社会負担」、「雇主の帰属社会負担」から構成されている。雇主の現実社会負担とは、年金、健康保険、雇用保険等の雇主の負担であり、雇主の帰属社会負担とは、退職一時金および社会保障基金によらない業務災害補償などの雇主の負担を指す。

雇用者報酬の項目を構成する上記の 3 項目は、それぞれ雇用者報酬の一定割合として決定される。なお、雇主の帰属社会負担は、同時に、「現物社会移転以外の社会給付」の細項目である「無基金雇用者社会給付」ともなる。

OSA_YWV = OSA_RYWV * OSA_YWTV

OSA_SCEAV = OSA_RSCEAV * OSA_YWTV

OSA_SCEIV = OSA_RSCEIV * OSA_YWTV

4-3-7 財産所得(家計・受取)

家計による財産所得の受取は、賃金・俸給と金利により説明している。賃金・俸給は、家計の経済規模を反映するための変数である。

| | | |
|--|----------|----------|
| LOG(OSA_YPRRHV) = -19.485 + 2.0389 LOG(OSA_YWV) + 0.2315JPN_RGB - 0.1310 D94 | | |
| (-6.503) | (11.317) | (34.150) |
| <u>ADJ.R2 = 0.9893 SER = 0.0471 DW = 2.1628</u> | | |

4-3-8 現物社会移転以外の社会給付(家計・受取)

現物社会移転以外の社会給付は、現金による社会保障給付、年金基金による社会給付、

無基金雇用者社会給付、社会扶助給付から構成されることから、モデル中ではこれら 4 項目の合計として決定する。これらのうち、ウェイトの小さい年金基金による社会給付と社会扶助給付は外生としている。無基金雇用者社会給付は、雇主の帰属社会負担と同一のものであり、これは既に 4-3-6 で決定されている。

$$\text{OSA_SBHV} = \text{OSA_SBCAV} + \text{OSA_SBHFV} + \text{OSA_SCEIV} + \text{OSA_SBHAV}$$

4-3-9 現金による社会保障給付(家計・受取／政府・支払)

現金による社会保障給付とは、国民年金、厚生年金、雇用保険、児童手当等の給付のことを指す。ここでは、主として年金の受け取りを念頭に、家計最終消費デフレーターで実質化した給付額を 65 歳以上人口で説明するという定式化をおこなった。なお、ここで決定される家計の受取項目である現金による社会保障給付は、同時に、政府による支払い項目にも計上されている。

$$\text{LOG(OSA_SBCAV/ OSA_PCPH} \times 100) = 1.0437 + 0.9797 \text{ LOG(OSA_POP65)}$$

(1.723) (22.638)

$$- 0.0907 (\text{D90+ D91 + D92}) - 0.0786 \text{D04}$$

(-4.729) (-3.191)

ADJ.R2 = 0.9975 SER = 0.0122 DW = 2.165

4-3-10 営業余剰・混合所得(家計・受取)

家計の営業余剰・混合所得は、個人企業所得の一定割合として定義式により決定される。

$$\text{OSA_OPEICV} = \text{OSA_ROPEICV} * \text{OSA_YEICV}$$

4-3-11 財産所得(家計・支払)

家計による財産所得の支払は、そのほとんどが利払いからなることから、金利によって説明した。一部の府県については自己ラグを加えて説明変数に加えている。

$$\text{LOG(OSA_YPRPHV)} = 14.1781 + 0.084 \text{JPN_RGB} - 0.1019 \text{D04}$$

(720.2) (15.391) (-2.533)

ADJ.R2 = 0.9507 SER = 0.0379 DW = 1.9304

4-3-12 所得・富等に課される経常税(家計負担分)

家計が負担する所得・富等に課される経常税とは、家計によるいわゆる直接税の負担分であるが、これは賃金・俸給と財産所得の受取により説明した。以下に、各府県に関する税収の所得(賃金・俸給+財産所得)弾性値を示す。推計式が線形の府県については、2000年の値から弾性値を計算した。

各県の弾性値は、概ね 1 から 2 の間の値をとっているが、最大の県(福井 : 2.893)と最小の県(滋賀 : 0.873)の間には、大きな開きがある。

$$\text{OSA_TDHV} = -2052668 + 0.2322 (\text{OSA_YWV} + \text{OSA_YPRRHV})$$

(-6.826) (15.049)

$$-417852(\text{D94}+\text{D95}+\text{D96}+\text{D97}+\text{D98}+\text{D99}) + 239092\text{D04}$$

(-7.562) (1.995)

$$\underline{\text{ADJ.R2} = 0.96707} \quad \underline{\text{SER} = 99382.0} \quad \underline{\text{DW} = 2.3126}$$

所得・富等に課される経常税(家計負担分)の所得弾性値

| 大阪 | 兵庫 | 京都 | 奈良 | 和歌山 | 滋賀 | 福井 |
|-------|-------|-------|-------|-------|-------|-------|
| 1.892 | 1.921 | 1.661 | 0.999 | 1.664 | 0.873 | 2.893 |

4-3-13 社会負担(家計・支払)

社会負担は、雇主の現実社会負担、雇用者の社会負担、帰属社会負担、その他の社会負担⁵の合計として定義される。これらのうち、雇主の現実社会負担と帰属社会負担は、家計の受取で既に決定されている。

$$\text{OSA_SCHV} = \text{OSA_SCEAV} + \text{OSA_SCHAV} + \text{OSA_SCEIV} + \text{OSA_SCHOV}$$

4-3-14 雇用者の社会負担(家計・支払)

雇用者の社会負担とは、雇用者自らによる年金、健康保険、雇用保険等の社会保険料の負担分である。雇用者の社会負担は、社会保険料率と賃金・俸給、65歳以上人口比率により説明した。

$$\text{LOG}(\text{OSA_SCHAV}) = 6.9578 + 0.4873 \text{LOG}(\text{JPN_RSR} / 100 * \text{OSA_YWV}) + 3.1205(\text{KIN_POP65}/\text{KIN_POP})$$

⁵ 受取項目中の雇主の現実社会負担と支払項目中のそれは、ごくわずかであるが一致しない。ここでは、両者の差を「その他の社会負担」として定義している。

$$\begin{array}{ccc}
 & (14.480) & (14.303) \\
 & + 0.0339 D04^6 & \\
 & (2.1799) & \\
 \hline
 \text{ADJ.R2} & = 0.9892 & \text{SER} = 0.0123 \quad \text{DW} = 1.6612
 \end{array}$$

4-3-15 家計可処分所得

家計可処分所得は、所得支出勘定の受取項目の合計から、支払い項目の合計を差し引くことにより得られる。

$$\begin{aligned}
 \text{OSA_YDHV} = & \text{OSA_OPEICV} + \text{OSA_YWTV} + \text{OSA_YPRRHV} + \text{OSA_SBHV} + \text{OSA_TRANRHV} \\
 & - (\text{OSA_YPRPHV} + \text{OSA_TDHV} + \text{OSA_SCHV} + \text{OSA_TRANPHV})
 \end{aligned}$$

4-3-16 家計貯蓄

家計貯蓄は、家計可処分所得に年金基金年金準備金の変動を加え、家計最終消費支出を差し引いたものである。

$$\text{OSA_SHV} = \text{OSA_YDHV} - \text{OSA_CPHV} + \text{OSA_PFNDHV}$$

4-3-17 財産所得(一般政府・受取)

一般政府による財産所得の受取は、金利と政府最終消費支出により説明している。後者は経済規模を反映させるために用いたが、一部の府県では有意でないため除外している。

$$\begin{array}{ccc}
 \text{LOG(OSA_YPRRGV)} = & 54.245 & -0.0871(\text{JPN_RGB}) -2.6016(\text{LOG(OSA_CGV)}) \\
 & (3.162) & (-1.481) \quad (-2.368) \\
 & + 0.2002(\text{D94+D95+D96+D97+D98}) -0.3886(\text{D02+D03+D0409}) \\
 & (4.074) & (-5.708) \\
 \hline
 \text{ADJ.R2} & = 0.9235 & \text{SER} = 0.0794 \quad \text{DW} = 1.9487
 \end{array}$$

4-3-18 生産・輸入品に課される税(一般政府・受取)

生産・輸入品に課される税は、名目家計最終消費支出、名目住宅投資、名目在庫投資、名目輸入の合計、および、消費税率により説明している。消費税率はほとんどの府県で強く有意に効いている。

$$\text{LOG(OSA_TIV)} = 5.8973 + 0.5204 (\text{LOG(OSA_CPHV+OSA_IPHV+OSA_JV+OSA_MAV})$$

⁶ 社会保険料率は、厚生年金保険料率、政管健保保険料率、介護保険料率、雇用保険料率を足したものである。

$$\begin{aligned}
 & (3.674) \quad (5.465) \\
 + 0.0882 & (\text{JPN_RTC}) + 0.0371 (\text{D96-D97}) \\
 (20.004) & \quad (3.359) \\
 \underline{\text{ADJ.R2 =} 0.9802} \quad \underline{\text{SER =} 0.0140} \quad \underline{\text{DW =} 1.5214}
 \end{aligned}$$

4-3-19 所得・富等に課される経常税(一般政府・受取)

所得・富等に課される経常税は、家計負担分と法人企業負担分、その他の負担分から構成される⁷。

$$\text{OSA_TDV} = \text{OSA_TDHV} + \text{OSA_TDCV} + \text{OSA_TDOV}$$

4-3-20 所得・富等に課される経常税(法人企業負担分)

所得・富等に課される経常税の法人企業負担分は、法人企業所得と法人実効税率の積により説明した。

$$\begin{aligned}
 \text{LOG(OSA_TDCV)} &= 7.5933 + 0.4979(\text{LOG(OSA_YECV*JPN_RTDCV/100)} \\
 (9.205) & \quad (8.496) \\
 + 0.1876 & (\text{D90+D91}) - 0.2973 (\text{D02+D03+D0409}) \\
 (3.781) & \quad (-8.793) \\
 \underline{\text{ADJ.R2 =} 0.9557} \quad \underline{\text{SER =} 0.0511} \quad \underline{\text{DW =} 2.5911}
 \end{aligned}$$

4-3-21 社会負担(一般政府・受取)

一般政府の受取である社会負担は、雇主の強制的現実社会負担、雇用者の強制的社会負担、帰属社会負担の合計により定義される。ここでの帰属社会負担は、政府職員に対する退職金・公務災害補償費等のことであり、モデルでは外生としている。

$$\text{OSA_SCGV} = \text{OSA_SCEAMV} + \text{OSA_SCHAMV} + \text{OSA_SCEGIV}$$

4-3-22 雇主の強制的現実社会負担

4-3-23 雇用者の強制的(現実)社会負担

⁷ 家計負担分と法人企業負担分の合計が、政府の受取りに一致しないため、両者の差を「その他負担分」として事後的に定義した。

雇主の強制的現実社会負担とは、雇主の自発的現実社会負担(厚生年金基金等への支払)以外の現実社会負担のことである。これは、家計で決まる雇主の現実社会負担の一定割合として定義式により決定する。雇用者の強制的現実社会負担についても、雇用者の社会負担の一定割合として定義式により決定する。

$$\text{OSA_SCEAMV} = \text{OSA_RSCEAMV} * \text{OSA_SCEAV}$$

$$\text{OSA_SCHAMV} = \text{OSA_RSCHAMV} * \text{OSA_SCHAV}$$

4-3-24 財産所得(一般政府・支払)

一般政府の財産所得の支払は、地方債発行残高と金利により説明している。

$$\text{OSA_YPRPGV} = -82375.36 + 0.9731(\text{JPN_RGB}/100 * \text{OSA_KBONDV})$$

$$(-0.920) \quad (5.078754)$$

$$+ 0.9339((\text{OSA_YPRPGV}(-1)) - 87412.7(\text{D92}) + 84370.3(\text{D98}))$$

$$(13.103) \quad (-3.779) \quad (3.535)$$

$$\underline{\text{ADJ.R2} = 0.9693 \quad \text{SER} = 20679.6 \quad \text{DW} = 1.6050}$$

4-3-25 現物社会移転以外の社会給付(一般政府・支払)

現物社会移転以外の社会給付は、現金による社会保障給付、無基金雇用者社会給付、社会扶助給付⁸、その他の社会給付の合計として定義される。現金による社会保障給付と社会扶助給付は、家計の受取項目に同じものが計上されている。すなわち、これらは家計部門で決定されている。(ただし、社会扶助給付は外生)無基金雇用者社会給付は、政府の受取項目中の帰属社会負担と同一の変数である。

$$\text{OSA_SBGV} = \text{OSA_SBCAV} + \text{OSA_SCEGIV} + \text{OSA_SBHAV} + \text{OSA_SBGOV}$$

4-3-26 政府可処分所得

4-3-27 政府貯蓄

政府可処分所得は、所得支出勘定における政府の受取項目の合計から支払項目の合計を差し引いたものとして定義される。政府貯蓄は、政府可処分所得から政府最終消費支出を差し引いた残差として決定される。

⁸ 社会扶助給付は、家計の受取と政府の支払いと同一とした。実際のデータには、両者の間には若干の相違があるので、その差を「その他の社会給付」として定義した。

$$OSA_YDGV = OSA_YPRRGV + OSA_TIV + OSA_TDV + OSA_SCGV + OSA_TRANRGV$$

$$- (OSA_YPRPGV + OSA_SUBV + OSA_SBGV + OSA_TRANPGV)$$

$$OSA_SGV = OSA_YDGV - OSA_CGV$$

4-3-28 公債費

ここでの公債費には、償還費の他に利払い費が含まれている。地方債残高と金利により説明することを試みたが、推計結果は必ずしも良好ではない。一つの原因として、償還率が変動することが考えられる。一部の府県については、緊急避難的に、タイムトレンドを用いている。

$$\begin{aligned} \text{LOG(OSA_DEBTPV)} &= 12.543 + 0.000000000053((\text{TIME}) * (\text{OSA_KBONDV}(-1))) \\ &\quad (172.7) \quad (25.073) \\ &+ 0.00000000537((\text{JPN_RGB}(-6)) * (\text{OSA_KBONDV}(-7))) - 0.0935 (\text{D95+D96+D97+D98}) \\ &\quad (1.743) \quad (-5.1328) \\ \text{ADJ.R2} &= 0.9862 \quad \text{SER} = 0.9834 \quad \text{DW} = 1.8445 \end{aligned}$$

4-3-29 政府プライマリーバランス

プライマリーバランスは、地方債発行額から公債費を差し引いたものとして定義される。公債費は 4-3-28 で決定されているので、この式は、実質的には、地方債発行額の決定式である。

プライマリーバランスは、貯蓄投資差額(推計式では投資から貯蓄を引いたもの)により説明する。すなわち、投資が貯蓄を超過すれば、その資金の不足分は地方債の発行によりファイナンスされるということである。ただし、県民経済計算における貯蓄投資差額には、県・市町村の他に国の出先機関が含まれているため、貯蓄投資差額の係数は 1 より小さな値をとる。

$$OSA_BONDV - OSA_DEBTPV = -789706.7 + 0.461477(OSA_IGV - OSA_SGV)$$

$$(-9.169604) \quad (12.536)$$

$$-167824.7(\text{D00+D01+D02+D03}) - 286386.6(\text{D0409})$$

$$(-4.573713) \quad (-4.46995)$$

$$\text{ADJ.R2} = 0.943874 \quad \text{SER} = 60547.89 \quad \text{DW} = 2.146709$$

4-3-30 地方債発行残高

地方債発行残高は、本来であれば、前期末の残高に本期中の純増を加えたものとして定義される。純増は、新規発行額と償還額の差、および、前期末残高からの利息の発生分からなる。したがって、これらが厳密に特定できれば地方債残高は定義式であらわすことができるが、公債費の中に含まれる利払い費を正確に特定することは不可能であるため、定義式ではなく、プライマリーバランスと前期残高×(1+本期利子率)を説明変数として発行残高を推計した。

$$\text{OSA_KBONDV} = -88194.8 + 1.0357 (\text{OSA_BONDV}-\text{OSA_DEBTPV})$$

(-4.488) (30.347)

$$+ 1.027999((1+\text{JPN_RGB}/100)*(\text{OSA_KBONDV}(-1)))$$

(284.5)

ADJ.R2 =0.9997 SER = 40203.3 DW = 1.8299

4-3-31 財産所得(非企業部門・純受取)

非企業部門の財産所得の純受取は、政府、家計、対家計民間非営利団体の財産所得の受取から支払を差し引いたものとして定義される。対家計民間非営利団体にかかる財産所得は外生変数である。

$$\text{OSA_YPRNCV} = \text{OSA_YPRRGV} + \text{OSA_YPRRHV} + \text{OSA_YPRRNPV}$$

$$- (\text{OSA_YPRPGV} + \text{OSA_YPRPHV} + \text{OSA_YPRPNPV})$$

4-3-32 企業所得(法人企業の分配所得受払後)

企業所得は、県民総所得から他の部門へ分配された所得を差し引いた残差として定義している。具体的には、固定資本減耗、雇用者報酬、財産所得(非企業部門)、生産・輸入品に課される税(控除)補助金、以上を県民総所得から差し引いたものが企業所得となる。

$$\text{OSA_YEV} = \text{OSA_GNIV} - (\text{OSA_CFCA} + \text{OSA_YWTV} + \text{OSA_YPRNCV} + \text{OSA_TIV} - \text{OSA_SUBV})$$

4-3-33 法人企業所得

4-3-34 個人企業所得

法人企業所得と個人企業所得は、企業所得の一定割合として、定義式により決定する。

$$\begin{aligned} \text{OSA_YECV} &= \text{OSA_RYECV} * \text{OSA_YEV} \\ \text{OSA_YEICV} &= \text{OSA_RYEICV} * \text{OSA_YEV} \end{aligned}$$

4-4 労働ブロック

労働ブロックでは、部門別に就業者数と雇用者数を決定する。産業連関ブロックから与えられる実質産出額の一定割合としてまず就業者数が決まり、更に、就業者数の一定割合として雇用者数が決まる。雇用者数は、分配ブロックにおいて、雇用者報酬を決定する。

4-4-1 就業者数(産業別)

4-4-2 雇用者数(産業別)

$$\begin{aligned} \text{OSA_LN1} &= \text{OSA_X1} * \text{OSA_RLN1} \\ \text{OSA_LN2} &= \text{OSA_X2} * \text{OSA_RLN2} \\ \text{OSA_LN3} &= \text{OSA_X3} * \text{OSA_RLN3} \\ \text{OSA_LE1} &= \text{OSA_LN1} * \text{OSA_RLE1} \\ \text{OSA_LE2} &= \text{OSA_LN2} * \text{OSA_RLE2} \\ \text{OSA_LE3} &= \text{OSA_LN3} * \text{OSA_RLE3} \end{aligned}$$

4-5 産業連関ブロック

本モデルの中核を形成するのが、産業連関ブロックである。その主たる機能は、実質支出ブロックで決定される最終需要項目を地域別・部門別の産出に変換し、さらに地域間の取引額(関西圏内の移出入と関西圏外からの移輸入)を決定することにある。主に県民経済計算の値より作成された支出ブロック、所得分配ブロックからのデータは調整係数を用いて産業連関ブロックのデータに変換される。

4-5-1 県内最終需要(最終需要項目別・IOベース)

実質支出ブロックで決定された県別の最終需要項目は SNA ベースのものであるが、これをはじめに IO ベースに変換する。変換は、SNA ベースの最終需要に(両者の比率である)調整係数を乗じることにより行われるが、在庫投資については、差額を加えることにより

変換される。

```
OSA_CPIO = 1.1191 * OSA_CP  
OSA_CGIO = 0.9346 * OSA(CG  
OSA_IGIO = 1.0919 * OSA_IG  
OSA_IPHIO = 0.9822 * OSA_IPH  
OSA_IPF1IO = 0.9822 * OSA_IPF1  
OSA_IPF2IO = 0.9822 * OSA_IPF2  
OSA_IPF3IO = 0.9822 * OSA_IPF3  
OSA_JIO = -135290.7 + OSA_J
```

4-5-2 県別・行部門別県内最終需要(IOベース)

次に、IO ベースの最終需要項目を産業連関表上の各行部門(都道府県別・産業別)に配分し、その上で、都道府県ごとにそれぞれの輸出を除く最終需要項目を集計する(都道府県ごとに行和をとる。)

下に例示した OSA_FDIO1 とは、大阪による、第 1 行目の財(すなわち大阪の 1 次産業の財)への需要をあらわす。また、OSA_FDIO28 とは、大阪による、第 28 行目の財(すなわち福井の政府・非営利の財・サービス)への需要をあらわす。右辺の各最終需要にかかる係数は、当該最終需要項目の列構成比である。例えば、OSA_FDIO1 の右辺にある OSA_CPIO の係数 0.0112 は、大阪の民間最終消費の列の第 1 行目の要素の比率であり、これは、大阪の民間最終消費に占める大阪産の第 1 次産品の比率である。

```
OSA_FDIO1 = 0.0112 * OSA_CPIO + 0.0000 * OSA_CGIO + 0.0000 * OSA_IGIO + 0.0000 * OSA_IPHIO +  
0.1454 * OSA_IPF1IO + 0.0000 * OSA_IPF2IO + 0.0027 * OSA_IPF3IO - 0.0060 * OSA_JIO  
OSA_FDIO2 = 0.1356 * OSA_CPIO + 0.00158 * OSA_CGIO + 0.7707 * OSA_IGIO + 0.8937 * OSA_IPHIO +  
0.4117 * OSA_IPF1IO + 0.5383 * OSA_IPF2IO + 0.5943 * OSA_IPF3IO + 0.80499 * OSA_JIO  
...  
OSA_FDIO28 = 0.0000008641 * OSA_CPIO + 0.0000 * OSA_CGIO + 0.0000 * OSA_IGIO + 0.0000 *  
OSA_IPHIO + 0.0000 * OSA_IPF1IO + 0.0000 * OSA_IPF2IO + 0.0000 * OSA_IPF3IO + 0.0000 * OSA_JIO
```

4-5-3 県別輸出(IOベース)

輸出については、実質支出ブロックにおいて関西全体での輸出額を決定し、さらにそれを各県に配分した。産業連関ブロックでは、まず、実質支出ブロックの県別輸出額(SNA ベース)を IO ベースに変換する。

OSA_EAIO = 0.8544088 * OSA_EA

4-5-4 行部門別輸出(IOベース)

4-5-3 で決定された各県の輸出を更に、産業部門別に分割する。下の例の KIN_EAIO1 から KIN_EAIO4 までは、大阪の輸出を 1 次産業から公務・非営利までの 4 産業に分割したものである。同様に KIN_EAIO25 から KIN_EAIO28 は福井の輸出を分割したものである。

KIN_EAIO1 = 0.0000519 * OSA_EAIO

KIN_EAIO2 = 0.5025376 * OSA_EAIO

KIN_EAIO3 = 0.4962330 * OSA_EAIO

KIN_EAIO4 = 0.0011772 * OSA_EAIO

...

KIN_EAIO25 = 0.0013573 * FKI_EAIO

KIN_EAIO26 = 0.9441875 * FKI_EAIO

KIN_EAIO27 = 0.0544043 * FKI_EAIO

KIN_EAIO28 = 0.0000507 * FKI_EAIO

4-5-5 県別域外への移出(IOベース)

域外への移出についても、輸出と同様の扱いをした。まず、実質支出ブロックの県別域外への移出額(SNA ベース)を IO ベースに変換する。

OSA_EDNKIO = 1.0584129 * OSA_EDNK

4-5-6 行部門別域外への移出(IOベース)

4-5-5 の各県の域外への移出を産業別に分割する。

KIN_EDNKIO1 = 0.0006229 * OSA_EDNKIO

KIN_EDNKIO2 = 0.5784561 * OSA_EDNKIO

KIN_EDNKIO3 = 0.4070542 * OSA_EDNKIO

KIN_EDNKIO4 = 0.013866 * OSA_EDNKIO

4-5-7 行部門別最終需要(IOベース)

県内最終需要、移輸出、移輸入を行部門ごとに集計する。県内最終需要と移出・輸出は既に 4-5-5 までで決定されている。輸入と域外からの移入は、移出・移入とは反対に、産業連関ブロック内で決定されるが、これについては後述する。

```
KIN_FDIO1 = OSA_FDIO1 + HYO_FDIO1 + KYO_FDIO1 + NRA_FDIO1 + WAK_FDIO1 +
SGA_FDIO1 + FKI_FDIO1 + KIN_EAIO1 + KIN_EDNKIO1 - KIN_MAIO1 - KIN_MDNKIO1
. . .
KIN_FDIO28 = OSA_FDIO28 + HYO_FDIO28 + KYO_FDIO28 + NRA_FDIO28 + WAK_FDIO28 +
SGA_FDIO28 + FKI_FDIO28 + KIN_EAIO28 + KIN_EDNKIO28 - KIN_MAIO28 - KIN_MDNKIO28
```

4-5-8 県別産業別產出額(IOベース)

4-5-7 で得た最終需要ベクトルにレオンシェフ逆行列を乗じることで、県別産業別生産額を求める。OSA_XIO1 の右辺の各項にかかる係数は、レオンシェフ逆行列の 1 行目の要素である。同様に、OSA_XIO2 の各項にかかる係数は、レオンシェフ逆行列の 2 行目の要素である。

```
OSA_XIO1 = 1.0727766 * KIN_FDIO1 + 0.0155639 * KIN_FDIO2 + 0.0041569 * KIN_FDIO3 +
0.0037735 * KIN_FDIO4 + 0.0092198 * KIN_FDIO5 + 0.0016694 * KIN_FDIO6 + 0.000632 *
KIN_FDIO7 + 0.0006246 * KIN_FDIO8 + 0.0060495 * KIN_FDIO9 + 0.0015789 * KIN_FDIO10 +
0.0006193 * KIN_FDIO11 + 0.0006100 * KIN_FDIO12 + 0.0065249 * KIN_FDIO13 + 0.0016225 *
KIN_FDIO14 + 0.0006685 * KIN_FDIO15 + 0.0006281 * KIN_FDIO16 + 0.0104616 * KIN_FDIO17 +
0.0016173 * KIN_FDIO18 + 0.0006559 * KIN_FDIO19 + 0.0006126 * KIN_FDIO20 + 0.0124033 *
KIN_FDIO21 + 0.0013292 * KIN_FDIO22 + 0.0006648 * KIN_FDIO23 + 0.0006139 * KIN_FDIO24 +
0.0095159 * KIN_FDIO25 + 0.0012688 * KIN_FDIO26 + 0.0004427 * KIN_FDIO27 + 0.0005201 *
KIN_FDIO28
```

```
OSA_XIO2 = 0.2526466 * KIN_FDIO1 + 1.4375827 * KIN_FDIO2 + 0.1312140 * KIN_FDIO3 +
0.1501569 * KIN_FDIO4 + 0.0623243 * KIN_FDIO5 + 0.0984127 * KIN_FDIO6 + 0.0356435 *
KIN_FDIO7 + 0.0399776 * KIN_FDIO8 + 0.0432182 * KIN_FDIO9 + 0.1090793 * KIN_FDIO10 +
0.0380016 * KIN_FDIO11 + 0.0423873 * KIN_FDIO12 + 0.0499777 * KIN_FDIO13 + 0.1164654 *
KIN_FDIO14 + 0.0434828 * KIN_FDIO15 + 0.0436566 * KIN_FDIO16 + 0.0463472 * KIN_FDIO17 +
0.0881316 * KIN_FDIO18 + 0.0344995 * KIN_FDIO19 + 0.0376251 * KIN_FDIO20 + 0.0514458 *
KIN_FDIO21 + 0.0970195 * KIN_FDIO22 + 0.0416331 * KIN_FDIO23 + 0.0411860 * KIN_FDIO24
```

```

+ 0.0292970 * KIN_FDIO25 + 0.0691606 * KIN_FDIO26 + 0.0207433 * KIN_FDIO27 + 0.0308034 *
KIN_FDIO28
. . .

```

4-5-9 県別産業別産出額(SNAベース)

4-5-8 で求めた IO ベースの県別産業別生産額を SNA ベースに変換する。SNA ベースの県別産業別生産額は、労働ブロックにおいて、就業者数を決定することになる。

```

OSA_X1 = OSA_RX1 * OSA_XIO1
OSA_X2 = OSA_RX2 * OSA_XIO2
OSA_X3 = OSA_RX3 * OSA_XIO3
OSA_X4 = OSA_RX4 * OSA_XIO4
. . .
FKI_X1 = FKI_RX1 * FKI_XIO1
FKI_X2 = FKI_RX2 * FKI_XIO2
FKI_X3 = FKI_RX3 * FKI_XIO3
FKI_X4 = FKI_RX4 * FKI_XIO4

```

4-5-10 県別産業別域内移出(中間財・IOベース)

域内の移出または移入は、産業連関表上の非対角ブロックによりあらわされる。これらの決定式を一本で表現しようとすると、ページ数が何枚も必要になるほど長大となってしまうため、中間財と最終財の別に域内の移出・移入を求め、最後にそれらを合計するという手順を経ることとする。

はじめに、中間財の県別産業別移出額を求める。中間財の移出額は、産業連関表の内生部門の非対角ブロックを横方向に集計することにより求められる。下に示す例は、大阪府の一次産業の域内への中間財移出額をあらわしている。右辺の各項にかかる係数は、当該生産額の列の 1 行目の投入係数である。

```

OSA_EDKIO1_inter = + 0.00698724568307008 * HYO_XIO1 +
8.53603087478493E-05 * HYO_XIO2 + 2.67052851844113E-05 * HYO_XIO3 +
1.47576965583993E-05 * HYO_XIO4 + 0.00475908898646009 * KYO_XIO1 +
6.72713632585698E-05 * KYO_XIO2 + 2.33152794863491E-05 * KYO_XIO3 +
1.44139409523753E-05 * KYO_XIO4 + 0.00487253607475789 * NRA_XIO1 +

```

| | | | | | |
|----------------------|------------|---|----------------------|------------|---|
| 3.72654204362371E-05 | * NRA_XIO2 | + | 1.83916556549895E-05 | * NRA_XIO3 | + |
| 0.000014319295605937 | * NRA_XIO4 | + | 0.00837496705754164 | * WAK_XIO1 | + |
| 7.46879090467439E-05 | * WAK_XIO2 | + | 1.98370133626999E-05 | * WAK_XIO3 | + |
| 1.64652575885099E-05 | * WAK_XIO4 | + | 0.00983184395256014 | * SGA_XIO1 | + |
| 2.31706340434252E-05 | * SGA_XIO2 | + | 2.13374465772777E-05 | * SGA_XIO3 | + |
| 1.56437031397329E-05 | * SGA_XIO4 | + | 0.00780207876465882 | * FKI_XIO1 | + |
| 0.000063419513467244 | * FKI_XIO2 | + | 1.33638172147958E-05 | * FKI_XIO3 | + |
| 1.83363109046428E-05 | * FKI_XIO4 | | | | |

4-5-11 県別域内移出(中間財・IOベース)

4-5-10 で求めた中間財の県別産業別域内移出額を産業について統合し、県全体での中間財の域内移出額を求める。

$$\begin{aligned} \text{OSA_EDKIO_inter} &= \text{OSA_EDKIO1_inter} + \text{OSA_EDKIO2_inter} + \text{OSA_EDKIO3_inter} + \\ &\quad \text{OSA_EDKIO4_inter} \\ &\dots \\ \text{FKI_EDKIO_inter} &= \text{FKI_EDKIO1_inter} + \text{FKI_EDKIO2_inter} + \text{FKI_EDKIO3_inter} + \\ &\quad \text{FKI_EDKIO4_inter} \end{aligned}$$

4-5-12 県別産業別域内移入(中間財・IOベース)

次は、中間財の県別産業別移入額である。中間財の移入額は、産業連関表の内生部門の非対角ブロックを縦方向に集計することにより求められる。下に示す例は、大阪府の一次産業の域内から中間財移入額をあらわしている。右辺の各項にかかる係数は、大阪を除く各県・各産業の1列目の投入係数である。

$$\begin{aligned} \text{OSA_MDKIO1_inter} &= 0.000260611245832423 * \text{OSA_XIO1} + 0.0181577045467322 * \\ &\quad \text{OSA_XIO1} + 0.00207170972248531 * \text{OSA_XIO1} + 3.95262664468175E-07 * \text{OSA_XIO1} + \\ &\quad 7.43948508119023E-05 * \text{OSA_XIO1} + 0.00765388793225347 * \text{OSA_XIO1} + \\ &\quad 0.000837881138629896 * \text{OSA_XIO1} + 6.05651720300514E-06 * \text{OSA_XIO1} + \\ &\quad 0.000507060163802748 * \text{OSA_XIO1} + 0.0031968661738185 * \text{OSA_XIO1} + \\ &\quad 0.000119468128800723 * \text{OSA_XIO1} + 1.17342879226675E-07 * \text{OSA_XIO1} + \\ &\quad 0.00104231077366829 * \text{OSA_XIO1} + 0.00751006538911701 * \text{OSA_XIO1} + \\ &\quad 0.000253790154602254 * \text{OSA_XIO1} + 6.22915392507352E-06 * \text{OSA_XIO1} + \\ &\quad 0.00234545989946184 * \text{OSA_XIO1} + 0.00422234082806017 * \text{OSA_XIO1} + \end{aligned}$$

```

0.000242594972745538 * OSA_XIO1 + 8.16171848722863E-06 * OSA_XIO1 +
0.000663414939595575 * OSA_XIO1 + 0.00168593681485436 * OSA_XIO1 +
0.00228265290474601 * OSA_XIO1 + 2.41694070637102E-08 * OSA_XIO1

```

4-5-13 県別域内移入(中間財・IOベース)

4-5-12 で求めた中間財の県別産業別域内移入額を産業について統合し、県全体での中間財の域内移入額を求める。

```

OSA_MDKIO_inter = OSA_MDKIO1_inter + OSA_MDKIO2_inter + OSA_MDKIO3_inter +
OSA_MDKIO4_inter
• • •
FKI_MDKIO_inter = FKI_MDKIO1_inter + FKI_MDKIO2_inter + FKI_MDKIO3_inter + FKI_MDKIO4_inter

```

4-5-14 県別産業別域内移出(最終財・IOベース)

次は、最終財に関する県別産業別域内移出額である。これは省内最終需要の非対角ブロックを横方向に集計することで求められる。下に示す例は、大阪府の一次産業の域内への最終財移出額をあらわしている。右辺の各項にかかる係数は、当該最終需要項目の列の1行目の列構成比である。

```

OSA_EDKIO1_final = + 0.000155495294638591 * HYO_CPIO + 0 * HYO_CGIO + 0 * HYO_IGIO
+ 0 * HYO_IPHIO + 8.51360302799567E-05 * HYO_IPF1IO + 0 * HYO_IPF2IO +
1.33211006530589E-06 * HYO_IPF3IO - 0.00019617593107693 * HYO_JIO +
0.000137695825977947 * KYO_CPIO + 0 * KYO_CGIO + 0 * KYO_IGIO + 0 * KYO_IPHIO +
0.000350233591089634 * KYO_IPF1IO + 0 * KYO_IPF2IO + 5.66069647967742E-06 * KYO_IPF3IO
+ 0.000065632446763493 * KYO_JIO + 0.000113728656014385 * NRA_CPIO + 0 * NRA_CGIO + 0
* NRA_IGIO + 0 * NRA_IPHIO + 8.85777618424476E-05 * NRA_IPF1IO + 0 * NRA_IPF2IO +
1.32986255814513E-06 * NRA_IPF3IO - 4.49493632664975E-05 * NRA_JIO +
0.000326481425531904 * WAK_CPIO + 0 * WAK_CGIO + 0 * WAK_IGIO + 0 * WAK_IPHIO +
0.000157904312471705 * WAK_IPF1IO + 0 * WAK_IPF2IO + 2.49603283927414E-06 * WAK_IPF3IO
- 0.000265441505198917 * WAK_JIO + 0.000190055533414348 * SGA_CPIO + 0 * SGA_CGIO +
0 * SGA_IGIO + 0 * SGA_IPHIO + 0.000130513452064317 * SGA_IPF1IO + 0 * SGA_IPF2IO +
1.81514088693822E-06 * SGA_IPF3IO + 3.18152879134441E-05 * SGA_JIO + 0.000311365857267507
* FKI_CPIO + 0 * FKI_CGIO + 0 * FKI_IGIO + 0 * FKI_IPHIO + 0.000508095206469959 *
FKI_IPF1IO + 0 * FKI_IPF2IO + 7.05710069748459E-06 * FKI_IPF3IO + 0.000345264735655354 *

```

FKI_JIO

4-5-15 県別域内移出(最終財・IOベース)

4-5-14 で求めた最終財の県別産業別域内移出額を産業について統合し、県全体での最終財の域内移出額を求める。

$$\begin{aligned} \text{OSA_EDKIO_final} &= \text{OSA_EDKIO1_final} + \text{OSA_EDKIO2_final} + \text{OSA_EDKIO3_final} + \\ &\quad \text{OSA_EDKIO4_final} \\ &\dots \\ \text{FKI_EDKIO_final} &= \text{FKI_EDKIO1_final} + \text{FKI_EDKIO2_final} + \text{FKI_EDKIO3_final} + \\ &\quad \text{FKI_EDKIO4_final} \end{aligned}$$

4-5-16 県別域内移入(最終財・IOベース)

中間財の移入額は、県内最終需要の非対角ブロックを縦方向に集計することで求められる。下に示す例は、大阪府による域内からの最終財移入額をあらわしている。右辺の各項にかかる係数は、当該最終需要項目の列に関する、大阪以外の行、すなわち、5 行目から 28 行目までの列構成比である。

$$\begin{aligned} \text{OSA_MDKIO_final} = & + 9.11678465000631E-05 * \text{OSA_CPIO} + 0 * \text{OSA_CGIO} + 0 * \\ & \text{OSA_IGIO} + 0 * \text{OSAIPHIO} + 0.000729920379362377 * \text{OSAIPF1IO} + 0 * \text{OSAIPF2IO} \\ & + 0.00001376771824394 * \text{OSAIPF3IO} - 4.04232117279959E-05 * \text{OSAJIO} + \\ & 0.0222431515721327 * \text{OSACPIO} + 0.000400610711022036 * \text{OSACGIO} + \\ & 0.011989265739175 * \text{OSAIGIO} + 0.0408349556016933 * \text{OSAIPHIO} + \\ & 0.0188127752428147 * \text{OSAIPF1IO} + 0.0245960044947192 * \text{OSAIPF2IO} + \\ & 0.0271540883511326 * \text{OSAIPF3IO} + 0.109988492777549 * \text{OSAJIO} + \\ & 0.00940940121100262 * \text{OSACPIO} - 1.47249027626574E-05 * \text{OSACGIO} + \\ & 0.00231847401549791 * \text{OSAIGIO} + 5.54601446114323E-05 * \text{OSAIPHIO} + \\ & 0.00494843637177722 * \text{OSAIPF1IO} + 0.00508577641652848 * \text{OSAIPF2IO} + \\ & 0.0042569815316148 * \text{OSAIPF3IO} - 0.00195831933248775 * \text{OSAJIO} + \\ & 0.000348036966747939 * \text{OSACPIO} + 0.00257189351716643 * \text{OSACGIO} + 0 * \text{OSAIGIO} \\ & + 0 * \text{OSAIPHIO} + 0 * \text{OSAIPF1IO} + 0 * \text{OSAIPF2IO} + 0 * \text{OSAIPF3IO} + 0 * \\ & \text{OSAJIO} + 0.00002783840502868 * \text{OSACPIO} + 0 * \text{OSACGIO} + 0 * \text{OSAIGIO} + 0 * \end{aligned}$$

| | | | | | | | | | |
|----------------------|---|----------------------|---|----------------------|---|------------|---|------------|---|
| OSA_IPHIO | + | 0.000474143345010664 | * | OSA_IPF1IO | + | 0 | * | OSA_IPF2IO | + |
| 8.94326582174415E-06 | * | OSA_IPF3IO | - | 5.98707746013208E-06 | * | OSA_JIO | + | | |
| 0.00915708179578083 | * | OSA_CPIO | + | 0.000129637265000475 | * | OSA_CGIO | + | | |
| 0.00671731595563891 | * | OSA_IGIO | + | 0.0242365166530964 | * | OSA_IPHIO | + | | |
| 0.0111658292202118 | * | OSA_IPF1IO | + | 0.0145983132282671 | * | OSA_IPF2IO | + | | |
| 0.0161165967937182 | * | OSA_IPF3IO | + | 0.0452473533464171 | * | OSA_JIO | + | | |
| 0.013717389837161 | * | OSA_CPIO | - | 5.03923131940476E-06 | * | OSA_CGIO | + | | |
| 0.00116288312618563 | * | OSA_IGIO | + | 2.48940080182399E-05 | * | OSA_IPHIO | + | | |
| 0.00222117009574798 | * | OSA_IPF1IO | + | 0.00228281696304732 | * | OSA_IPF2IO | + | | |
| 0.0019108015877707 | * | OSA_IPF3IO | - | 0.00102628453819575 | * | OSA_JIO | + | | |
| 0.000749312376438249 | * | OSA_CPIO | + | 0.00511266162601586 | * | OSA_CGIO | + | 0 | * |
| + 0 | * | OSA_IPHIO | + | 0 | * | OSA_IPF1IO | + | 0 | * |
| + 0 | * | OSA_IPF2IO | + | 0 | * | OSA_IPF3IO | + | 0 | * |
| OSA_JIO | + | 0.0001717876966859 | * | OSA_CPIO | + | 0 | * | OSA_CGIO | + |
| + 0 | * | OSA_IGIO | + | 0 | * | OSA_IPHIO | + | | |
| OSA_IPHIO | + | 0.00133878641255876 | * | OSA_IPF1IO | + | 0 | * | OSA_IPF2IO | + |
| 2.52521160363074E-05 | * | OSA_IPF3IO | - | 0.000161996261465427 | * | OSA_JIO | + | | |
| 0.00458413904970908 | * | OSA_CPIO | + | 6.17078532748597E-05 | * | OSA_CGIO | + | | |
| 0.00828461979633268 | * | OSA_IGIO | + | 0.0187779177512291 | * | OSA_IPHIO | + | | |
| 0.0086510378418848 | * | OSA_IPF1IO | + | 0.0113104506324368 | * | OSA_IPF2IO | + | | |
| 0.0124867832021356 | * | OSA_IPF3IO | + | 0.0552008833089604 | * | OSA_JIO | + | | |
| 0.000830699652391807 | * | OSA_CPIO | - | 2.0276186123096E-07 | * | OSA_CGIO | + | | |
| 0.000170149790942058 | * | OSA_IGIO | + | 3.65382954556484E-06 | * | OSA_IPHIO | + | | |
| 0.00032601326855935 | * | OSA_IPF1IO | + | 0.000335061516031786 | * | OSA_IPF2IO | + | | |
| 0.000280458787190607 | * | OSA_IPF3IO | - | 0.000132197432486426 | * | OSA_JIO | + | | |
| 4.93433780728128E-06 | * | OSA_CPIO | + | 1.55073340746098E-05 | * | OSA_CGIO | + | 0 | * |
| OSA_IGIO | + | 0 | * | OSA_IPHIO | + | 0 | * | OSA_IPF1IO | + |
| + 0 | * | OSA_IPF2IO | + | 0 | * | OSA_IPF3IO | + | | |
| + 0 | * | OSA_JIO | + | 0.000473334322867071 | * | OSA_CPIO | + | 0 | * |
| + 0 | * | OSA_CGIO | + | 0 | * | OSA_IGIO | + | | |
| + 0 | * | OSA_IPHIO | + | 0.00128419921418219 | * | OSA_IPF1IO | + | 0 | * |
| 2.42224952883142E-05 | * | OSA_IPF3IO | - | 0.000240287704642226 | * | OSA_JIO | + | | |
| 0.00460037437908193 | * | OSA_CPIO | + | 2.62517527814624E-05 | * | OSA_CGIO | + | | |
| 0.00120829038735599 | * | OSA_IGIO | + | 0.00545397136317394 | * | OSA_IPHIO | + | | |
| 0.0025126594586498 | * | OSA_IPF1IO | + | 0.00328507530340339 | * | OSA_IPF2IO | + | | |
| 0.0036267364094803 | * | OSA_IPF3IO | - | 0.00927893209571738 | * | OSA_JIO | + | | |
| 0.000855147153903996 | * | OSA_CPIO | - | 5.53404509838946E-07 | * | OSA_CGIO | + | | |
| 6.50118333028204E-05 | * | OSA_IGIO | + | 1.41216957773247E-06 | * | OSA_IPHIO | + | | |
| 0.000126000957093216 | * | OSA_IPF1IO | + | 0.000129498016726958 | * | OSA_IPF2IO | + | | |
| 0.000108394593162964 | * | OSA_IPF3IO | - | 6.37088550536287E-05 | * | OSA_JIO | + | | |

```

0.000231371173288128 * OSA_CPIO + 9.82522565044845E-05 * OSA_CGIO + 0 *
OSA_IGIO + 0 * OSA_IPHIO + 0 * OSA_IPF1IO + 0 * OSA_IPF2IO + 0 * OSA_IPF3IO
+ 0 * OSA_JIO + 0.000415367461087677 * OSA_CPIO + 0 * OSA_CGIO + 0 * OSA_IGIO
+ 0 * OSA_IPHIO + 0.00173598361072436 * OSA_IPF1IO + 0 * OSA_IPF2IO +
3.27440278478442E-05 * OSA_IPF3IO - 0.000211361836238553 * OSA_JIO +
0.00578819938837155 * OSA_CPIO + 4.27336009729236E-05 * OSA_CGIO +
0.00270500093698321 * OSA_IGIO + 0.00931933341098003 * OSA_IPHIO +
0.00429344227978911 * OSA_IPF1IO + 0.00561328800501371 * OSA_IPF2IO +
0.00619709264003511 * OSA_IPF3IO + 0.0635217040519308 * OSA_JIO +
0.00045321807139805 * OSA_CPIO + 0.000187860696197859 * OSA_CGIO +
6.90749012677777E-05 * OSA_IGIO + 1.49494453403063E-06 * OSA_IPHIO +
0.000133386559984948 * OSA_IPF1IO + 0.000137088601345333 * OSA_IPF2IO +
0.000114748191097306 * OSA_IPF3IO - 0.000081361395073593 * OSA_JIO +
0.000359853089785785 * OSA_CPIO + 0.000534831300252477 * OSA_CGIO + 0 *
OSA_IGIO + 0 * OSA_IPHIO + 0 * OSA_IPF1IO + 0 * OSA_IPF2IO + 0 * OSA_IPF3IO
+ 0 * OSA_JIO + 0.000248144999848981 * OSA_CPIO + 0 * OSA_CGIO + 0 * OSA_IGIO
+ 0 * OSA_IPHIO + 0.000805748564903343 * OSA_IPF1IO + 0 * OSA_IPF2IO +
1.51979853292202E-05 * OSA_IPF3IO - 0.0001321805629092 * OSA_JIO +
0.00276425945794246 * OSA_CPIO + 8.87010892219213E-06 * OSA_CGIO +
0.00088687647437684 * OSA_IGIO + 0.00328066145804527 * OSA_IPHIO +
0.00151140966724625 * OSA_IPF1IO + 0.00197603163218299 * OSA_IPF2IO +
0.00218154690679333 * OSA_IPF3IO + 0.06159110155683 * OSA_JIO +
0.00429727205649233 * OSA_CPIO - 2.60440292497717E-08 * OSA_CGIO +
3.83210933056871E-05 * OSA_IGIO + 8.58045371012309E-07 * OSA_IPHIO +
0.000076559175103145 * OSA_IPF1IO + 7.86840161124695E-05 * OSA_IPF2IO +
6.58614095451532E-05 * OSA_IPF3IO - 3.55889608170948E-05 * OSA_JIO +
8.641921896166338E-07 * OSA_CPIO + 0 * OSA_CGIO + 0 * OSA_IGIO + 0 *
OSA_IPHIO + 0 * OSA_IPF1IO + 0 * OSA_IPF2IO + 0 * OSA_IPF3IO + 0 * OSA_JIO

```

4-5-17 県別域内移出(IOベース)

4-5-11 の域内への中間財移出額と 4-5-14 の最終財移出額の和により、域内への移出額が決定される。

$$\text{OSA_EDKIO} = \text{OSA_EDKIO_inter} + \text{OSA_EDKIO_final}$$

• • •

$$FKI_EDKIO = FKI_EDKIO_inter + FKI_EDKIO_final$$

4-5-18 県別域内移入(IOベース)

4-5-13 の域内からの中間財移入額と 4-5-16 の最終財輸入額の和により、域内からの移入額が決定される。

$$OSA_MDKIO = OSA_MDKIO_inter + OSA_MDKIO_final$$

...

$$FKI_MDKIO = FKI_MDKIO_inter + FKI_MDKIO_final$$

4-5-19 県別・部門別県内需要(IOベース)

4-1-5 および 4-1-6 で示したように、域外への移出および輸出については、まず関西全体で域外への移出および輸出を推計し、それを各府県に配分するという方法をとっている。これに対して、域外からの移入および輸入は、まず産業連関ブロック内で県別・部門別に決定し、それを支出ブロックにフィードバックさせている。

地域間産業連関表においては、域外からの移入および輸入は、中間財と最終財の自地域間取引(それぞれの対角ブロック)に含まれている。ここでは、域外からの移入と輸入は、自地域間取引に比例するものと想定する。そこでまず、域外からの移輸入を求める準備として、行部門ごとに自地域間取引を計算する。

$$\begin{aligned} KIN_DDIO1 &= 0.0649598636896207 * OSA_XIO1 + 0.00954166252163888 * OSA_XIO2 + \\ &0.0018820971083073 * OSA_XIO3 + 0.00158028810655122 * OSA_XIO4 + \\ &0.0112239023727008 * OSA_CPIO + 0 * OSA_CGIO + 0 * OSA_IGIO + 0 * OSA_IPHIO \\ &+ 0.145447518970148 * OSA_IPF1IO + 0 * OSA_IPF2IO + 0.00274342314186431 * \\ &OSA_IPF3IO - 0.00606022755117224 * OSA_JIO \end{aligned}$$

4-5-20 県別部門別輸入(IOベース)

上述したように、各県・各部門による輸入額は、当該県内需要の一定比率として定義する。4-5-22 の域外からの移入も同様の扱いをする。

$$KIN_MAIO1 = KIN_RMAIO1 * KIN_DDIO1$$

4-5-21 県別輸入(IOベース)

4つの部門の輸入額を合計することで、県全体の輸入額が求められる。4-5-23 の域外からの移入も同様の扱いをする。

```
OSA_MAIO = KIN_MAIO1 + KIN_MAIO2 + KIN_MAIO3 + KIN_MAIO4
```

```
    . . .
```

```
FKI_MAIO = KIN_MAIO25 + KIN_MAIO26 + KIN_MAIO27 + KIN_MAIO28
```

4-5-22 県別部門別域外から移入(IOベース)

```
KIN_MDNKIO1 = KIN_RMDNKIO1 * KIN_DDIO1
```

```
    . . .
```

```
KIN_MDNKIO1 = KIN_RMDNKIO1 * KIN_DDIO1
```

4-5-23 県別域外から移入(IOベース)

```
OSA_MDNKIO = KIN_MDNKIO1 + KIN_MDNKIO2 + KIN_MDNKIO3 + KIN_MDNKIO4
```

```
    . . .
```

```
FKI_MDNKIO = KIN_MDNKIO1 + KIN_MDNKIO2 + KIN_MDNKIO3 + KIN_MDNKIO4
```

第5章 モデルの性能と評価

5-1 ファイナルテスト

前章で示した構造からなるモデルの説明力を確認するために、1998年から2004年の期間について、平均絶対誤差率(MAPE; Mean Absolute Percentage Error)を計算する。(以下、平均絶対誤差率を MAPE と記す)表 5-1 は、すべての内生変数を対象とした、MAPE の分布を示したものである。

表 5-1 平均絶対誤差率の分布

| MAPE | 度数 | 相対度数 | 累積度数 | 累積相対度数 |
|---------|-------|------|-------|--------|
| 1%未満 | 420 | 32% | 420 | 32% |
| 1%～2% | 577 | 44% | 997 | 77% |
| 2%～3% | 90 | 7% | 1,087 | 83% |
| 3%～4% | 28 | 2% | 1,115 | 86% |
| 4%～5% | 46 | 4% | 1,161 | 89% |
| 5%～10% | 120 | 9% | 1,281 | 98% |
| 10%～15% | 8 | 1% | 1,289 | 99% |
| 15%以上 | 14 | 1% | 1,303 | 100% |
| 合計 | 1,303 | 100% | - | - |

1303 個の内生変数のうち、MAPE が 1%未満のものは 420 個で、これは全体の 32% を占める。1%以上 2%未満の変数は最も多い 577 個あり全体の 44%。累積でみると、MAPE が 2%未満の変数は 77% を占め、さらに、5%未満では 83% を占めていることが分かる。MAPE が 15%以上の変数も 14 個(全体の約 1%)存在するが、これらは主として政府貯蓄のように正負いずれの値もとり得る変数によるものである。

次に、主要な変数について MAPE の大きさを見ていこう。表 5-2 は、関西地域全体での主要変数に関する MAPE を示している。

表 5-2 主要変数の平均絶対誤差率：関西

| | | | | | |
|----------|------|---------|------|------------|-------|
| KIN_GRP | 1.1% | KIN_EA | 6.5% | KIN_TIV | 1.1% |
| KIN_CP | 0.5% | KIN_MA | 1.3% | KIN_BONDV | 11.2% |
| KINIPH | 4.4% | KIN_LE2 | 1.6% | KIN_KBONDV | 3.4% |
| KIN_IPF2 | 2.9% | KIN_LE3 | 1.0% | KIN_YDHV | 1.0% |
| KIN_IPF3 | 3.2% | KIN_TDV | 2.9% | KIN_GNIV | 1.1% |

まず GRP については、その MAPE は 1.1%と比較的小さい。GRP の構成項目別には、民間最終消費(KIN_CP)が 0.5%と誤差が小さい一方、民間住宅投資(KINIPH)の誤差は 4.4%とやや大きくなっている。雇用者数は、2 次産業(KIN_LE2)が 1.6%、3 次産業(KIN_LE3)が 1.0%であり誤差は小さいと言える。政府税収は直接税(KIN_TDV)が 2.9%、間接税(KIN_TIV)が 1.1%とその誤差は大きくなないが、地方債発行額(KIN_BONDV)は 11.2%と大きな誤差を示している。

次に主要変数の MAPE を県別に見ていく。表 5-3 から表 5-9 は、各県に関する主要変数の MAPE を示したものである。MAPE の大きさは県により異なるが、大まかに共通した傾向として以下のような点を挙げることができる。

- ・GRP の誤差率は、概ね 1%前後と安定している。これは、GRP の過半を占める民間最終消費の誤差率が(0.4%～2.4%とばらつきはあるものの)低いことによる。
- ・民間住宅投資、民間企業設備投資の誤差率は 5%を超えるケースが多く、小さくない。ただし、いずれの場合も、10%以下の範囲には収まっている。
- ・輸出の誤差率は 6.5%と大きい。ちなみに輸出については、関西全体で決定された輸出額を各県に一定割合として配分するという方式を採用しているため、すべての県で誤差率は等しくなっている。輸入および域外への移出、域外からの移入は概ね 1%台にある。
- ・産出額、雇用者数については、その誤差率は 1%台と低い。
- ・税収については、直接税の誤差率が 2.8%～6.8%、間接税の誤差率が 1.0%～4.7%に分布しており、直接税の方が誤差が大きい。
- ・地方債発行額は、誤差率が最大の大坂で 15.8%に達するなど、フィットが悪い。これに対して、地方債償還額は全ての県で 5%以下であり、あてはまりは必ずしも悪くない。
- ・家計可処分所得の誤差率は概ね 1%前後であり、これは民間最終消費の安定に寄与していると考えられる。

表 5-3 主要変数の平均絶対誤差率：大阪府

| | | | | | | | |
|----------|------|--------|------|---------|------|------------|-------|
| OSA_GRP | 1.2% | OSA_EA | 6.5% | OSA_X3 | 1.1% | OSA_BONDV | 15.8% |
| OSA_CP | 0.8% | OSA_ED | 1.5% | OSA_LE2 | 1.5% | OSA_KBONDV | 5.9% |
| OSA_IPH | 6.4% | OSA_MA | 1.6% | OSA_LE3 | 1.1% | OSA_DEBTPV | 4.7% |
| OSA_IPF2 | 6.0% | OSA_MD | 1.4% | OSA_TDV | 3.3% | OSA_YDHV | 1.1% |
| OSA_IPF3 | 3.9% | OSA_X2 | 1.5% | OSA_TIV | 1.0% | OSA_GNIV | 1.2% |

表 5-4 主要変数の平均絶対誤差率：兵庫県

| | | | | | | | |
|----------|------|--------|------|---------|------|------------|-------|
| HYO_GRP | 1.1% | HYO_EA | 6.5% | HYO_X3 | 0.8% | HYO_BONDV | 12.6% |
| HYO_CP | 0.7% | HYO_ED | 1.5% | HYO_LE2 | 1.8% | HYO_KBONDV | 2.6% |
| HYO_IPH | 8.5% | HYO_MA | 1.3% | HYO_LE3 | 0.8% | HYO_DEBTPV | 4.9% |
| HYO_IPF2 | 4.5% | HYO_MD | 1.1% | HYO_TDV | 3.6% | HYO_YDHV | 0.9% |
| HYO_IPF3 | 3.6% | HYO_X2 | 1.8% | HYO_TIV | 1.6% | HYO_GNIV | 1.0% |

表 5-5 主要変数の平均絶対誤差率：京都府

| | | | | | | | |
|----------|------|--------|------|---------|------|------------|------|
| KYO_GRP | 1.1% | KYO_EA | 6.5% | KYO_X3 | 0.8% | KYO_BONDV | 7.8% |
| KYO_CP | 0.4% | KYO_ED | 1.4% | KYO_LE2 | 1.8% | KYO_KBONDV | 1.4% |
| KYO_IPH | 4.0% | KYO_MA | 1.3% | KYO_LE3 | 0.8% | KYO_DEBTPV | 2.6% |
| KYO_IPF2 | 7.2% | KYO_MD | 1.2% | KYO_TDV | 6.1% | KYO_YDHV | 0.8% |
| KYO_IPF3 | 4.5% | KYO_X2 | 1.8% | KYO_TIV | 1.9% | KYO_GNIV | 1.0% |

表 5-6 主要変数の平均絶対誤差率：奈良県

| | | | | | | | |
|----------|------|--------|------|---------|------|------------|------|
| NRA_GRP | 1.1% | NRA_EA | 6.5% | NRA_X3 | 1.3% | NRA_BONDV | 4.8% |
| NRA_CP | 1.4% | NRA_ED | 1.4% | NRA_LE2 | 1.6% | NRA_KBONDV | 2.5% |
| NRA_IPH | 4.5% | NRA_MA | 1.6% | NRA_LE3 | 1.3% | NRA_DEBTPV | 3.5% |
| NRA_IPF2 | 6.8% | NRA_MD | 1.5% | NRA_TDV | 2.8% | NRA_YDHV | 1.1% |
| NRA_IPF3 | 5.9% | NRA_X2 | 1.6% | NRA_TIV | 1.9% | NRA_GNIV | 0.8% |

表 5-7 主要変数の平均絶対誤差率：和歌山県

| | | | | | | | |
|----------|------|--------|------|---------|------|------------|------|
| WAK_GRP | 0.8% | WAK_EA | 6.5% | WAK_X3 | 0.8% | WAK_BONDV | 6.0% |
| WAK_CP | 1.0% | WAK_ED | 1.3% | WAK_LE2 | 1.5% | WAK_KBONDV | 0.7% |
| WAK_IPH | 7.3% | WAK_MA | 1.0% | WAK_LE3 | 0.8% | WAK_DEBTPV | 1.9% |
| WAK_IPF2 | 6.4% | WAK_MD | 0.8% | WAK_TDV | 5.6% | WAK_YDHV | 0.7% |
| WAK_IPF3 | 8.0% | WAK_X2 | 1.5% | WAK_TIV | 2.9% | WAK_GNIV | 0.7% |

表 5-8 主要変数の平均絶対誤差率：滋賀県

| | | | | | | | |
|----------|------|--------|------|---------|------|------------|------|
| SGA_GRP | 1.3% | SGA_EA | 6.5% | SGA_X3 | 1.1% | SGA_BONDV | 8.0% |
| SGA_CP | 1.6% | SGA_ED | 1.5% | SGA_LE2 | 1.9% | SGA_KBONDV | 1.3% |
| SGA_IPH | 5.2% | SGA_MA | 1.8% | SGA_LE3 | 1.1% | SGA_DEBTPV | 1.3% |
| SGA_IPF2 | 7.2% | SGA_MD | 1.6% | SGA_TDV | 3.7% | SGA_YDHV | 1.1% |
| SGA_IPF3 | 1.2% | SGA_X2 | 1.9% | SGA_TIV | 1.2% | SGA_GNIV | 1.3% |

表 5-9 主要変数の平均絶対誤差率：福井県

| | | | | | | | |
|----------|------|--------|------|---------|------|------------|-------|
| FKI_GRP | 1.3% | FKI_EA | 6.5% | FKI_X3 | 1.6% | FKI_BONDV | 13.3% |
| FKI_CP | 2.3% | FKI_ED | 1.2% | FKI_LE2 | 2.0% | FKI_KBONDV | 4.5% |
| FKIIPH | 4.0% | FKI_MA | 2.0% | FKI_LE3 | 1.6% | FKI_DEBTPV | 3.9% |
| FKI_IPF2 | 5.4% | FKI_MD | 1.9% | FKI_TDV | 6.8% | FKI_YDHV | 1.3% |
| FKI_IPF3 | 8.1% | FKI_X2 | 2.0% | FKI_TIV | 4.7% | FKI_GNIV | 1.3% |

以上みてきたように、一部の変数については誤差の大きいものが残されているが、全体としては誤差率は概ね 10% の範囲に収まっており、本モデルは一応の現実説明力を持つと考えられる。

5-2 産業連関ブロックからみた波及の特性：影響力係数と感応度係数

はじめに、産業連関ブロックにおける県別・産業別生産誘発の特性を影響力係数と感応度係数により評価する。

影響力係数とは、当該部門における逆行列係数 b_{ij} の列和を全部門の列和の平均で除したものである。第 j 部門における逆行列の列和は、第 j 部門の最終財に対する需要が 1 単位増加したときに誘発される各部門の生産の合計をあらわす。影響力係数は、これを全列和の平均で割ることにより、第 j 部門の最終財への需要が誘発する生産の相対的な大きさを評価するものである。

$$\text{影響力係数} = \sum_{i=1}^n b_{ij} / \frac{1}{n} \sum_{j=1}^n \sum_{i=1}^n b_{ij}$$

一方、感応度係数は、当該部門における逆行列係数 b_{ij} の行和を全部門の行和の平均で除したものである。第 i 部門における逆行列の行和は、全部門の最終財に対する需要が 1 単位ずつ増加したときに誘発される第 i 部門の生産の大きさをあらわす。感応度係数は、これを全行和の平均で割ることにより、全ての部門の最終財への需要が一斉に増加した場合の第 i 部門への相対的な生産誘発の大きさを評価するものである。

$$\text{感応度係数} = \sum_{i=1}^n b_{ij} / \frac{1}{n} \sum_{i=1}^n \sum_{j=1}^n b_{ij}$$

図 5-1 は、本モデルで用いる 28 部門(=4 産業×7 県)について、影響力係数と感応度係数を散布図にしたものである。ここで 28 の部門は、「産業」および「地域」という二つの属性を持つが、図より、同じ産業に属することによる類似性は、地域によるそれよりも強いことが分かる。

具体的にみていくと、まず一次産業は、影響力係数、感応度係数ともに小さく、かつ、府県間の差が大きく表れない。影響力係数は 0.8 から 1.4 の間の値をとり、感応度係数は 0.23 から 0.36 の値をとる。

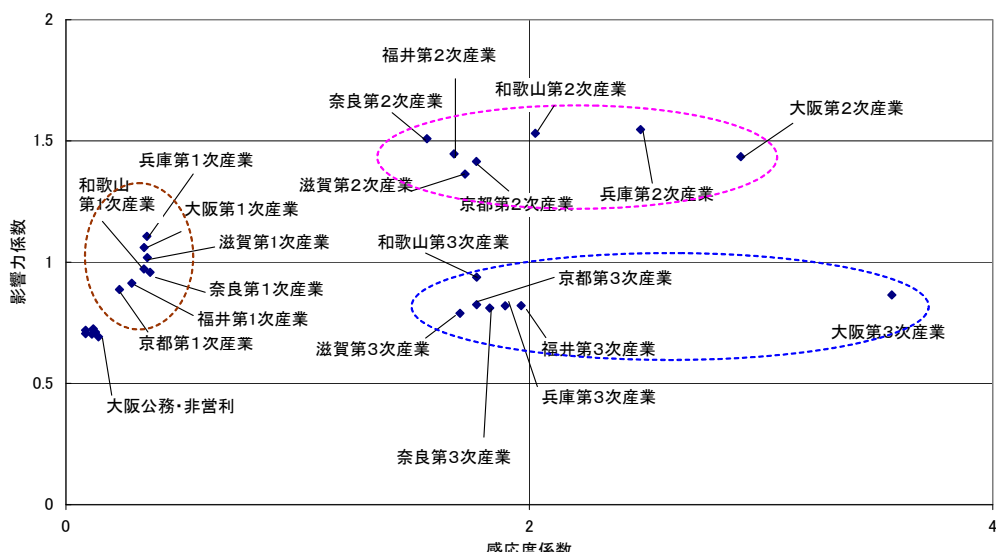
二次産業は影響力係数、感応度係数はいずれも一次産業の値に比べて高い。影響力係数は 1.5 近傍であるが、感応度係数は府県によって差がある。最も大きいものは大阪の 2.913、最も小さいものは奈良の 1.558 で 1.87 倍の差がある。また、いずれの府県も影響力係数、感応度係数とともに 1 を超えていることから、他部門に与える影響が大きく、かつ他部門から受ける影響も大きい産業と言える。

三次産業は、二次産業に比べて影響力係数、感応度係数ともに低い。ただし、大阪の感応度係数は例外で、7 府県の 28 産業中もっとも高く、3.564 である。最も小さいものは滋賀の 1.701 で大阪府とは 2.095 倍の差があるものの、1 を超えていることから他部門に与える影響も大きいといえる。また、影響力係数は 1 を下回るが感応度係数は 1 を上回るた

め、他部門に与える影響は小さいが、他部門から受ける影響は大きい産業であるといえる。

最後に、公務・非営利は、影響力係数、感応度係数ともに最も小さく、かつ、地域による差もほとんどない。

図 5-1 影響力係数と感応度係数



5-3 乗数テスト

以下では、地域間の生産波及とモデルの動学的特性を考察するためのシミュレーションをおこなう。具体的には、関西 2 府 5 県について、それぞれ 2000 年時点の公共投資を 1 兆円増加させるものとし、内生変数の 2000 年から 2011 年までの動きを追跡する⁹。

シミュレーションに先立ち、関西各府県の公共投資の大きさを確認しておこう。表 5-10 は、2000 年時点の各県の実質公的固定資本形成である。公共投資は関西全体では約 4.9 兆円で、県別には兵庫、大阪がいずれも約 1.4 兆円と最も大きい。第 3 位の京都は約 6740 億円と兵庫、大阪の半分程度であり、奈良、和歌山、滋賀、福井はいずれも 3000 億円台となっている。これらの数字に照らせば、1 兆円という額は、特に、奈良、和歌山など規模の小さな県にとっては「非現実的」な数字であるが、本節では、需要拡大の影響を平易に把握するという観点から、敢えてこのような数字を採用することとした。

⁹ 2005 年以降は標本外期間となるため、外生変数をあらかじめ設定しておく必要がある。これについては、第 6 章の説明を参照されたい。

表 5-10 関西各府県における公的固定資本形成(実質・2000 年度)

単位：10 億円

| 大阪 | 兵庫 | 京都 | 奈良 | 和歌山 | 滋賀 | 福井 | 関西 |
|-------|-------|-----|-----|-----|-----|-----|-------|
| 1,365 | 1,437 | 674 | 351 | 369 | 384 | 309 | 4,889 |

(1) 大阪の公共投資増加：初年度(公共投資実施年度)の影響

表 5-11 は、大阪府の公共投資を 2000 年度に 1 兆円増加させた場合における、主要変数の推移を示したものである。表の上段は基準解、中断は基準解からの乖離額、下段は基準解からの乖離率(=中段 ÷ 上段)をあらわしている。最右列については、上段が 2000 年度から 2011 年度までの基準解の平均値、中断は乖離額の累積値、下段は基準解の平均値に対する累積乖離額の比率である。われわれの主たる関心は表の中段と下段、すなわち、公共投資増加による内生変数の値が基準解からどの程度乖離するかということにある。

それでは、シミュレーションの結果をみていく。まず公共投資の実施年度、すなわち 2000 年度の変化をみると、大阪への公共投資を 1 兆円増加させることにより、大阪のGRP は 6,208 億円の増加、率にして 0.85% の増加を示す。GRP の増加に寄与する最終需要項目は、第三次産業の設備投資が 1,671 億円(率にして 4.59% の増加、以後、括弧内は基準解からの乖離率を示すものとする)と最大で、以下、二次産業設備投資の 563 億円(4.50%)、民間住宅投資の 377 億円(2.67%)、民間最終消費の 269 億円(0.13%)が続いている。設備投資の増加が大きいのは、本モデルでは産業別の生産額を設備投資関数の説明変数としているため、需要増加が引き起こす生産拡大の影響を直に受けるためである¹⁰。また、民間最終消費の増加が比較的小さいのは、消費関数に自己ラグを採用しているため、短期的には、可処分所得増加の影響が小さくなるためである。ところで、公共投資を 1 兆円増加させたにもかかわらず、GRP の増加額がそれに及ばないのは、移輸入の増加が著しいことによる。輸入の増加額は 1,332 億円(5.68%)、移入については 5,488 億円(3.87%)であり、輸入と移入を合わせた移輸入の増加は 6,820 億円に達している。地域モデルにおいては、特に移入のウエイトが大きいため、初期の(公共投資)需要増加およびその後の派生需要増加の双方の段階において、域外への「漏れ」が一国モデルに比して格段に大きく、それがためにGRP の増加が初期投資の増加を下回るという事態が発生する。

財政への影響をみると、税収は、需要の拡大とともに支出し、生産、所得の増大により増加しており、その額は初年度の大坂の直接税が 1,172 億円(2.77%)、間接税が 170 億円(0.44%)であり、合計 1,342 億円の増収となっている。一方で、莫大な公共投資を実施するためには、公債発行による資金調達が必要となり、(市町村を含む)大阪府下の自治体による

¹⁰ 現実の設備投資は、これほど生産の変化に過敏に反応することはないと想定される。設備投資関数の定式化については、今後、修正をおこなう必要があると考えている。

公債発行の増加額は、3,753 億円(56.8%)となっている¹¹。

他県のGRPは、程度の差はあれ、一様に増加している。大阪府による需要拡大が、大阪のみならず他県の生産をも誘発するためである。他県のGRPの増加額を大きい順に並べると、兵庫 519 億円(0.25%)、京都 201 億円(0.20%)、奈良 149 億円(0.38%)、滋賀 114 億円(0.19%)、和歌山 83 億円(0.24%)、福井 83 億円(0.24%)となっており、経済規模の大きい県ほどGRPの増加額も大きくなる傾向にある。ただし、奈良県などは増加率が 0.38%と突出しており、相対的には最も強い影響を受けていることが分かる¹²。

関西全体では、初年度のGRPの増加額は7,356 億円であり、率にして 0.85%の上昇を示している。増加額の内訳は、大阪が 6,208 億円、大阪以外の府県が 1,148 億円であり、他府県によるGRPの増加が全体の約 16%を占めている。

(2) 大阪の公共投資増加：次年度以降の影響

次に、時系列での推移をみていく。1兆円の公共投資は単年度限りであることから、2001 年度以降は、大阪のGRPの増加額は2000 年に比べて大きく低下する。ただし、初年度における生産、所得、需要の拡大効果は翌年以降も持続することから、GRP の増加はその幅を減衰させつつも 2008 年まで持続する。2009 年からは、基準解との差がマイナスに転じる。

大阪のGRPを構成する最終需要項目をみると、その動態は項目ごとに大きく異なる。まず民間消費は2001 年以降、緩やかに増加幅を減衰させつつも 2011 年までプラスの乖離を維持している。民間消費の増加額は、2000 年では 269 億円(0.13%)、2001 年では 218 億円(0.11%)、2002 年では 177 億円(0.09%)というように推移しており、公共投資実施年以降も増加の程度が急激には低下しないという特徴を持つ。これは先述したように、消費関数に自己ラグを用いているため、初年度のインパクトは他の需要項目に比して弱くなるが、所得増加の効果が長期的に持続することが原因である。一方、民間消費と対照的な動きを示すのが民間設備投資である。二次産業、三次産業の設備投資とともに、初年度の増加額こそ大きいが、次年度からは基準解との差はマイナスで推移している。これは、いわゆるストック調整原理が働くことにより、初年度の(設備投資増加による)資本ストックの急激な増大が、次年度以降の設備投資を抑制するためである。民間企業設備投資の基準解との差は2001 年以降 2011 年まで一貫してマイナスであるが、2005 年から 2006 年頃をピークとして、マイナス幅は縮小に転じている。輸入および移入の増加は、2001 年以降しばらくの間(輸入は 2004 年まで、移入は 2006 年まで)プラスを維持するが、それ以降はマイナスに転じている。

¹¹ 本モデルにおける公債発行額(OSA_BONDV)や公債費(OSA_DEBTPV)など財政関連のデータは、大阪府および大阪府内の市町村の両方を合わせたものである。以下、「大阪府下」という言葉は、府および市町村の両方を含むものとして用いる。他府県についても同様。

¹² これは大阪府による奈良県からの二次産業の移入が相対的に大きいためである。100 部門の地域間産業連関表で確認すると、奈良からの二次産業の移入の 80%強は電子計算機・同付属装置によって占められていた。

移輸入は、府内需要の大きさにより決定されるため、2001 年以降は、消費拡大の影響と投資の縮小の影響が相殺しあうことになり、基準解からの乖離は小幅にとどまっている。

財政については、直接税の増加幅は 2001 年度にいったん 9 億円(0.02%)まで減少し、その後は拡大が続き、2011 年度では 109 億円(0.34%)の增收となっている。間接税の増加幅は 2001 年度が 20 億円(0.05%)であり、その後増加幅は徐々に縮小していく。2011 年度の增收額は 2 億円(0.00%)まで縮小する。直接税と間接税で基準解からの乖離が逆方向に動くのは、雇用者報酬が減少することにより、家計の課税ベースが減少する一方で企業所得が上昇するためである¹³。地方債発行額の基準解からの乖離は、2001 年時点の 341 億円(6.56%)から拡大を続け、2011 年度では 1,096 億円(23.61%)に達している。地方債発行額の増加が拡大を続けるのは、政府貯蓄の減少幅が拡大しているためである。これは、地方債発行残高の膨張により、政府の財産所得の支払(利払い)が急増し、政府可処分所得の減少幅が拡大を続けることによる。したがって、地方債残高は増加を続け、2011 年には 8,263 億円まで積みあがる。公債費の基準解からの乖離は、地方債発行残高の増加により 2001 年の 307 億円(4.21%)から 2011 年の 798 億円(8.86%)まで一貫して上昇している。

関西全体でみると、GRP の乖離幅は 2001 年時点の 203 億円(0.02%)から一貫して縮小し、2010 年からはマイナスに転じる。その内訳は、2001 年時点では大阪が 139 億円、兵庫 36 億円であり、関西の GRP の乖離の大部分はこの 2 府県によってもたらされたものである。年を追うごとに GRP の乖離幅が縮小していく傾向は全ての府県で共通であるが、乖離がマイナスに転じる時期は県により異なる。最も早いのは奈良の 2007 年であり、兵庫の 2008 年、大阪の 2009 年がこれに続いている。

(3) 大阪の公共投資増加：まとめ

以上、大阪府において 2000 年度の公共投資を 1 兆円増加させた場合の効果を見てきた。そこで結果より明らかとなった数量的評価及びモデルの特性は、以下のようにまとめられる。

- ア) 大阪府における 2000 年度の公共投資 1 兆円の増加は、同年の大坂の GRP を 6,208 億円、関西の GRP を 7,356 億円増加させる。
- イ) 2001 年度以降も全ての府県において、GRP の増加は持続するが、その幅は徐々に減衰し 2008 年前後から一部の県ではマイナスに転じる。
- ウ) GRP の増加が減衰するのは、主として設備投資が 2001 年以降減少することによる。初年度の設備投資の拡大による資本ストックの増加が、ストック調整原理により設備投資を抑制するためである。

¹³ 本モデルにおいては、企業所得は県民総所得から雇用者報酬など他部門に分配される所得を差し引いたものとして決定される。県民総所得の増加幅が低下するスピードを雇用者報酬が上回るため、企業所得の増加幅は縮小する。

- エ) 一方、民間消費の初年度の増加幅は小さいが、2001 年以降も長期にわたり増加が持続する。消費関数に自己ラグを用いているため、短期的な可処分所得の増加に大きく反応しないが、長期的にはその効果が緩やかに効いてくるからである。
- オ) 初年度および次年度以降、GRP の増加額は消費・投資などの域内最終需要增加の合計を下回る。これは、移輸入、特に移入の増加が大きく、域内最終需要の増加を相殺するためである。
- カ) 税収は所得および支出の拡大により増加する。
- キ) 地方債発行額は初年度に 3,753 億円増加する。次年度は 341 億円に増加幅は縮小するが、その後は拡大を続け、2011 年時点では 1,096 億円の増加を示す。地方債発行額の増加幅が 2001 年以降拡大し続けるのは、発行残高の膨張に伴う利払い費の増加が政府貯蓄を減少させるからである。
- ク) 政府の財政バランスを考えると、公共投資の増大により、税収および社会負担の受取は増加すると同時に地方債の発行額も増加する。本モデルでは後者の効果が前者の効果を上回るため、政府の財政収支は赤字で推移し、地方債発行残高は増加していく。2011 年時点における地方債残高の乖離は 8,263 億円に達し、これは率にして 8.07% となる。

表 5-11 大阪府：公共投資 1 兆円増加のシミュレーション

| | 単位：10億円 | | | | | | | | | | | |
|------------|-----------|--------|--------|--------|--------|--------|--------|--------|--------|--------|--------|--------|
| | 2000-2011 | | | | | | | | | | | |
| KIN_GDP | 87,026 | 86,913 | 86,245 | 87,296 | 87,803 | 88,554 | 89,069 | 89,457 | 89,711 | 89,682 | 89,677 | 89,857 |
| | 735.6 | 20.3 | 14.2 | 10.0 | 6.8 | 4.2 | 2.6 | 1.4 | 0.5 | ▲ 0.0 | ▲ 0.4 | ▲ 0.7 |
| | 0.85% | 0.02% | 0.02% | 0.01% | 0.01% | 0.00% | 0.00% | 0.00% | 0.00% | 0.00% | 0.00% | 0.00% |
| OSA_GDP | 39,836 | 40,140 | 39,705 | 40,138 | 40,529 | 40,864 | 41,027 | 41,114 | 41,208 | 41,099 | 40,993 | 41,012 |
| | 620.8 | 13.9 | 10.2 | 7.4 | 5.1 | 3.1 | 1.9 | 1.0 | 0.2 | ▲ 0.2 | ▲ 0.4 | ▲ 0.7 |
| | 1.56% | 0.03% | 0.03% | 0.02% | 0.01% | 0.01% | 0.00% | 0.00% | 0.00% | 0.00% | 0.00% | 0.00% |
| HYO_GDP | 20,380 | 20,030 | 19,814 | 19,944 | 20,129 | 20,347 | 20,558 | 20,704 | 20,783 | 20,827 | 20,889 | 20,983 |
| | 51.9 | 3.6 | 2.1 | 1.2 | 0.7 | 0.3 | 0.2 | 0.0 | ▲ 0.1 | ▲ 0.1 | ▲ 0.1 | ▲ 0.1 |
| | 0.25% | 0.02% | 0.01% | 0.01% | 0.00% | 0.00% | 0.00% | 0.00% | 0.00% | 0.00% | 0.00% | 0.00% |
| KYO_GDP | 10,143 | 9,886 | 9,977 | 10,217 | 10,301 | 10,375 | 10,435 | 10,476 | 10,505 | 10,512 | 10,516 | 10,536 |
| | 20.1 | 0.9 | 0.7 | 0.6 | 0.4 | 0.3 | 0.2 | 0.2 | 0.2 | 0.1 | 0.1 | 0.1 |
| | 0.20% | 0.01% | 0.01% | 0.01% | 0.00% | 0.00% | 0.00% | 0.00% | 0.00% | 0.00% | 0.00% | 0.00% |
| NRA_GDP | 3,912 | 3,946 | 3,971 | 4,005 | 3,971 | 3,990 | 3,975 | 4,019 | 4,021 | 4,031 | 4,045 | 4,059 |
| | 14.9 | 0.6 | 0.2 | 0.1 | 0.1 | 0.0 | 0.0 | ▲ 0.0 | ▲ 0.0 | ▲ 0.0 | ▲ 0.0 | ▲ 0.0 |
| | 0.38% | 0.02% | 0.01% | 0.00% | 0.00% | 0.00% | 0.00% | 0.00% | 0.00% | 0.00% | 0.00% | 0.00% |
| WAK_GDP | 3,432 | 3,476 | 3,443 | 3,493 | 3,512 | 3,529 | 3,545 | 3,553 | 3,559 | 3,560 | 3,560 | 3,563 |
| | 8.3 | 0.3 | 0.3 | 0.2 | 0.1 | 0.1 | 0.1 | 0.0 | 0.0 | 0.0 | 0.0 | 0.0 |
| | 0.24% | 0.01% | 0.01% | 0.01% | 0.00% | 0.00% | 0.00% | 0.00% | 0.00% | 0.00% | 0.00% | 0.00% |
| SGA_GDP | 5,901 | 5,980 | 5,943 | 6,032 | 5,966 | 6,028 | 6,085 | 6,130 | 6,161 | 6,175 | 6,188 | 6,209 |
| | 11.4 | 0.4 | 0.3 | 0.2 | 0.2 | 0.1 | 0.1 | 0.1 | 0.0 | 0.0 | 0.0 | 0.0 |
| | 0.19% | 0.01% | 0.01% | 0.00% | 0.00% | 0.00% | 0.00% | 0.00% | 0.00% | 0.00% | 0.00% | 0.00% |
| FKI_GDP | 3,420 | 3,455 | 3,391 | 3,467 | 3,396 | 3,422 | 3,444 | 3,461 | 3,474 | 3,479 | 3,486 | 3,496 |
| | 8.3 | 0.5 | 0.4 | 0.3 | 0.2 | 0.2 | 0.1 | 0.1 | 0.1 | 0.1 | 0.1 | 0.0 |
| | 0.24% | 0.01% | 0.01% | 0.01% | 0.01% | 0.01% | 0.00% | 0.00% | 0.00% | 0.00% | 0.00% | 0.00% |
| OSA_CP | 19,964 | 20,022 | 20,036 | 20,005 | 19,906 | 19,846 | 19,819 | 19,801 | 19,780 | 19,762 | 19,750 | 19,738 |
| | 26.9 | 21.8 | 17.7 | 14.3 | 11.5 | 9.2 | 7.3 | 5.8 | 4.6 | 3.7 | 2.9 | 2.3 |
| | 0.13% | 0.11% | 0.09% | 0.07% | 0.06% | 0.05% | 0.04% | 0.03% | 0.02% | 0.02% | 0.01% | 0.01% |
| OSA_IPH | 1,409 | 1,344 | 1,342 | 1,307 | 1,208 | 1,222 | 1,218 | 1,163 | 1,136 | 1,090 | 1,010 | 1,005 |
| | 37.7 | 0.4 | 0.3 | 0.1 | ▲ 0.0 | ▲ 0.1 | ▲ 0.1 | ▲ 0.2 | ▲ 0.2 | ▲ 0.2 | ▲ 0.2 | ▲ 0.2 |
| | 2.67% | 0.03% | 0.02% | 0.01% | 0.00% | -0.01% | -0.01% | -0.01% | -0.02% | -0.02% | -0.02% | -0.02% |
| OSA_IPF2 | 1,252 | 1,132 | 1,113 | 1,053 | 1,261 | 1,532 | 1,568 | 1,567 | 1,661 | 1,547 | 1,447 | 1,443 |
| | 56.3 | ▲ 1.8 | ▲ 1.7 | ▲ 1.5 | ▲ 1.7 | ▲ 2.0 | ▲ 1.8 | ▲ 1.6 | ▲ 1.5 | ▲ 1.3 | ▲ 1.1 | ▲ 1.0 |
| | 4.50% | -0.16% | -0.15% | -0.14% | -0.14% | -0.13% | -0.12% | -0.10% | -0.09% | -0.08% | -0.07% | -0.07% |
| OSA_IPF3 | 3,643 | 3,850 | 4,084 | 4,112 | 4,124 | 4,177 | 4,180 | 4,169 | 4,159 | 4,092 | 4,035 | 4,016 |
| | 167.1 | ▲ 0.3 | ▲ 1.4 | ▲ 2.2 | ▲ 2.9 | ▲ 3.3 | ▲ 3.5 | ▲ 3.5 | ▲ 3.4 | ▲ 3.2 | ▲ 3.0 | ▲ 2.8 |
| | 4.59% | -0.01% | -0.03% | -0.05% | -0.07% | -0.08% | -0.08% | -0.08% | -0.08% | -0.08% | -0.07% | -0.07% |
| OSA_MA | 2,346 | 2,224 | 2,198 | 2,163 | 2,275 | 2,304 | 2,311 | 2,307 | 2,312 | 2,293 | 2,272 | 2,271 |
| | 133.2 | 0.8 | 0.6 | 0.3 | 0.1 | ▲ 0.0 | ▲ 0.1 | ▲ 0.2 | ▲ 0.2 | ▲ 0.2 | ▲ 0.2 | ▲ 0.2 |
| | 5.68% | 0.04% | 0.03% | 0.02% | 0.01% | 0.00% | 0.00% | -0.01% | -0.01% | -0.01% | -0.01% | -0.01% |
| OSA_MD | 14,172 | 14,696 | 14,559 | 14,583 | 13,933 | 14,073 | 14,107 | 14,096 | 14,120 | 14,030 | 13,935 | 13,928 |
| | 548.8 | 6.7 | 4.9 | 3.4 | 1.9 | 0.9 | 0.3 | ▲ 0.2 | ▲ 0.5 | ▲ 0.6 | ▲ 0.7 | ▲ 0.8 |
| | 3.87% | 0.05% | 0.03% | 0.02% | 0.01% | 0.01% | 0.00% | 0.00% | 0.00% | 0.00% | -0.01% | -0.01% |
| OSA_X2 | 23,170 | 22,583 | 21,678 | 22,013 | 22,440 | 22,697 | 22,816 | 22,864 | 22,924 | 22,835 | 22,734 | 22,748 |
| | 722.2 | 3.3 | 1.9 | 0.9 | 0.0 | ▲ 0.7 | ▲ 1.1 | ▲ 1.3 | ▲ 1.4 | ▲ 1.4 | ▲ 1.3 | ▲ 1.3 |
| | 3.12% | 0.01% | 0.01% | 0.00% | 0.00% | 0.00% | 0.00% | -0.01% | -0.01% | -0.01% | -0.01% | -0.01% |
| OSA_X3 | 42,204 | 43,108 | 42,621 | 42,940 | 43,108 | 43,404 | 43,551 | 43,646 | 43,739 | 43,646 | 43,570 | 43,593 |
| | 539.3 | 22.1 | 17.0 | 13.0 | 9.5 | 6.7 | 4.8 | 3.4 | 2.2 | 1.4 | 0.9 | 0.3 |
| | 1.28% | 0.05% | 0.04% | 0.03% | 0.02% | 0.02% | 0.01% | 0.01% | 0.00% | 0.00% | 0.00% | 0.00% |
| OSA_LE2 | 1,178 | 1,194 | 1,129 | 1,117 | 1,073 | 1,085 | 1,091 | 1,093 | 1,096 | 1,091 | 1,087 | 1,087 |
| | 36.7 | 0.2 | 0.1 | 0.0 | 0.0 | ▲ 0.0 | ▲ 0.1 | ▲ 0.1 | ▲ 0.1 | ▲ 0.1 | ▲ 0.1 | ▲ 0.1 |
| | 3.12% | 0.01% | 0.01% | 0.00% | 0.00% | 0.00% | 0.00% | -0.01% | -0.01% | -0.01% | -0.01% | -0.01% |
| OSA_LE3 | 2,756 | 2,703 | 2,595 | 2,539 | 2,511 | 2,528 | 2,537 | 2,542 | 2,548 | 2,542 | 2,538 | 2,539 |
| | 35.2 | 1.4 | 1.0 | 0.8 | 0.6 | 0.4 | 0.3 | 0.2 | 0.1 | 0.1 | 0.0 | 0.0 |
| | 1.28% | 0.05% | 0.04% | 0.03% | 0.02% | 0.02% | 0.01% | 0.01% | 0.00% | 0.00% | 0.00% | 0.00% |
| OSA_TDV | 4,235 | 4,217 | 3,306 | 3,447 | 3,547 | 3,523 | 3,518 | 3,467 | 3,441 | 3,434 | 3,408 | 3,226 |
| | 117.2 | 0.9 | 1.2 | 1.5 | 2.0 | 2.6 | 4.0 | 5.0 | 5.9 | 7.1 | 8.4 | 10.9 |
| | 2.77% | 0.02% | 0.04% | 0.04% | 0.06% | 0.07% | 0.11% | 0.14% | 0.17% | 0.21% | 0.25% | 0.34% |
| OSA_TIV | 3,874 | 3,855 | 3,828 | 3,819 | 3,811 | 3,823 | 3,838 | 3,849 | 3,878 | 3,881 | 3,870 | 5,040 |
| | 17.0 | 2.0 | 1.6 | 1.3 | 1.0 | 0.8 | 0.6 | 0.5 | 0.3 | 0.3 | 0.2 | 0.2 |
| | 0.44% | 0.05% | 0.04% | 0.03% | 0.03% | 0.02% | 0.02% | 0.01% | 0.01% | 0.01% | 0.01% | 0.00% |
| OSA_BONDV | 661 | 520 | 702 | 657 | 635 | 657 | 651 | 683 | 716 | 794 | 893 | 464 |
| | 375.3 | 34.1 | 38.0 | 42.0 | 46.7 | 53.1 | 59.7 | 68.8 | 75.5 | 84.9 | 97.7 | 109.6 |
| | 56.82% | 6.56% | 5.41% | 6.40% | 7.36% | 8.08% | 9.18% | 10.07% | 10.55% | 10.70% | 10.95% | 23.61% |
| OSA_KBONDV | 8,259 | 8,299 | 8,496 | 8,655 | 8,830 | 9,002 | 9,189 | 9,396 | 9,627 | 9,938 | 10,321 | 10,241 |
| | 388.7 | 408.5 | 429.8 | 454.5 | 484.6 | 518.1 | 557.8 | 601.2 | 648.5 | 702.1 | 761.4 | 826.3 |
| | 4.71% | 4.92% | 5.06% | 5.25% | 5.49% | 5.76% | 6.07% | 6.40% | 6.74% | 7.06% | 7.38% | 8.07% |
| OSA_DEBTPV | 729 | 731 | 740 | 745 | 770 | 784 | 791 | 799 | 824 | 867 | 901 | 785 |
| | 0.0 | 30.7 | 32.8 | 34.8 | 36.8 | 40.6 | 44.4 | 50.7 | 54.8 | 61.2 | 70.8 | 79.8 |
| | 0.00% | 4.21% | 4.43% | 4.67% | 4.94% | 5.28% | 5.66% | 6.41% | 6.86% | 7.43% | 8.16% | 8.86% |
| OSA_YDHV | 21,839 | 21,319 | 20,894 | 20,225 | 19,454 | 19,577 | 19,718 | 19,713 | 19,737 | 19,777 | 19,796 | 19,778 |
| | 325.1 | 6.2 | 4.9 | 3.3 | 2.2 | 1.4 | 0.9 | 0.5 | 0.2 | 0.0 | ▲ 0.1 | ▲ 0.2 |
| | 1.49% | 0.03% | 0.02% | 0.02% | 0.01% | 0.01% | 0.00% | 0.00% | 0.00% | 0.00% | 0.00% | 0.00% |

注) 上段は基準解、中段は基準解からの乖離額、下段は乖離率

表 5-12 兵庫県：公共投資 1兆円増加のシミュレーション

| | 単位：10億円 | | | | | | | | | | | |
|------------|-----------|--------|--------|--------|--------|--------|--------|--------|--------|--------|--------|--------|
| | 2000-2011 | | | | | | | | | | | |
| KIN_GDP | 87,026 | 86,913 | 86,245 | 87,296 | 87,803 | 88,554 | 89,069 | 89,457 | 89,711 | 89,682 | 89,677 | 89,857 |
| | 550.6 | 31.3 | 15.6 | 7.4 | 3.5 | 1.3 | 0.2 | ▲ 0.4 | ▲ 0.7 | ▲ 0.8 | ▲ 0.9 | ▲ 0.9 |
| | 0.63% | 0.04% | 0.02% | 0.01% | 0.00% | 0.00% | 0.00% | 0.00% | 0.00% | 0.00% | 0.00% | 0.00% |
| OSA_GDP | 39,836 | 40,140 | 39,705 | 40,138 | 40,529 | 40,864 | 41,027 | 41,114 | 41,208 | 41,099 | 40,993 | 41,012 |
| | 87.5 | 7.6 | 4.2 | 2.2 | 1.2 | 0.5 | 0.2 | ▲ 0.0 | ▲ 0.2 | ▲ 0.2 | ▲ 0.3 | ▲ 0.3 |
| | 0.22% | 0.02% | 0.01% | 0.01% | 0.00% | 0.00% | 0.00% | 0.00% | 0.00% | 0.00% | 0.00% | 0.00% |
| HYO_GDP | 20,380 | 20,030 | 19,814 | 19,944 | 20,129 | 20,347 | 20,558 | 20,704 | 20,783 | 20,827 | 20,889 | 20,983 |
| | 431.2 | 20.5 | 9.7 | 4.2 | 1.7 | 0.4 | ▲ 0.3 | ▲ 0.5 | ▲ 0.7 | ▲ 0.7 | ▲ 0.7 | ▲ 0.6 |
| | 2.12% | 0.10% | 0.05% | 0.02% | 0.01% | 0.00% | 0.00% | 0.00% | 0.00% | 0.00% | 0.00% | 0.00% |
| KYO_GDP | 10,143 | 9,886 | 9,977 | 10,217 | 10,301 | 10,375 | 10,435 | 10,476 | 10,505 | 10,512 | 10,516 | 10,536 |
| | 10.3 | 1.3 | 0.7 | 0.4 | 0.2 | 0.1 | 0.1 | 0.1 | 0.1 | 0.0 | 0.0 | 0.0 |
| | 0.10% | 0.01% | 0.01% | 0.00% | 0.00% | 0.00% | 0.00% | 0.00% | 0.00% | 0.00% | 0.00% | 0.00% |
| NRA_GDP | 3,912 | 3,946 | 3,971 | 4,005 | 3,971 | 3,990 | 3,975 | 4,019 | 4,021 | 4,031 | 4,045 | 4,059 |
| | 4.0 | 0.3 | 0.1 | 0.1 | 0.0 | 0.0 | ▲ 0.0 | ▲ 0.0 | ▲ 0.0 | ▲ 0.0 | ▲ 0.0 | ▲ 0.0 |
| | 0.10% | 0.01% | 0.00% | 0.00% | 0.00% | 0.00% | 0.00% | 0.00% | 0.00% | 0.00% | 0.00% | 0.00% |
| WAK_GDP | 3,432 | 3,476 | 3,443 | 3,493 | 3,512 | 3,529 | 3,545 | 3,553 | 3,559 | 3,560 | 3,560 | 3,563 |
| | 4.0 | 0.4 | 0.2 | 0.1 | 0.1 | 0.0 | 0.0 | 0.0 | 0.0 | 0.0 | 0.0 | 0.0 |
| | 0.12% | 0.01% | 0.01% | 0.00% | 0.00% | 0.00% | 0.00% | 0.00% | 0.00% | 0.00% | 0.00% | 0.00% |
| SGA_GDP | 5,901 | 5,980 | 5,943 | 6,032 | 5,966 | 6,028 | 6,085 | 6,130 | 6,161 | 6,175 | 6,188 | 6,209 |
| | 7.5 | 0.7 | 0.4 | 0.2 | 0.1 | 0.1 | 0.0 | 0.0 | 0.0 | 0.0 | 0.0 | 0.0 |
| | 0.13% | 0.01% | 0.01% | 0.00% | 0.00% | 0.00% | 0.00% | 0.00% | 0.00% | 0.00% | 0.00% | 0.00% |
| FKI_GDP | 3,420 | 3,455 | 3,391 | 3,467 | 3,396 | 3,422 | 3,444 | 3,461 | 3,474 | 3,479 | 3,486 | 3,496 |
| | 6.1 | 0.6 | 0.3 | 0.2 | 0.1 | 0.1 | 0.1 | 0.1 | 0.0 | 0.0 | 0.0 | 0.0 |
| | 0.18% | 0.02% | 0.01% | 0.01% | 0.00% | 0.00% | 0.00% | 0.00% | 0.00% | 0.00% | 0.00% | 0.00% |
| HYO_CP | 10,684 | 10,886 | 11,005 | 10,967 | 11,050 | 11,167 | 11,329 | 11,459 | 11,518 | 11,610 | 11,748 | 11,871 |
| | 74.7 | 36.8 | 17.9 | 8.4 | 4.0 | 1.8 | 0.8 | 0.3 | 0.0 | ▲ 0.1 | ▲ 0.2 | ▲ 0.2 |
| | 0.70% | 0.34% | 0.16% | 0.08% | 0.04% | 0.02% | 0.01% | 0.00% | 0.00% | 0.00% | 0.00% | 0.00% |
| HYO_IPH | 1,049 | 867 | 874 | 855 | 758 | 759 | 759 | 716 | 692 | 666 | 619 | 627 |
| | 35.4 | 0.7 | ▲ 0.3 | ▲ 0.7 | ▲ 0.8 | ▲ 0.9 | ▲ 0.9 | ▲ 0.8 | ▲ 0.7 | ▲ 0.7 | ▲ 0.6 | ▲ 0.6 |
| | 3.37% | 0.08% | -0.03% | -0.09% | -0.11% | -0.11% | -0.11% | -0.11% | -0.11% | -0.10% | -0.10% | -0.09% |
| HYO_IPF2 | 1,292 | 1,184 | 1,124 | 1,100 | 1,174 | 1,206 | 1,226 | 1,238 | 1,248 | 1,244 | 1,241 | 1,246 |
| | 60.9 | ▲ 0.4 | ▲ 0.8 | ▲ 0.9 | ▲ 1.0 | ▲ 1.0 | ▲ 1.0 | ▲ 0.9 | ▲ 0.9 | ▲ 0.8 | ▲ 0.7 | ▲ 0.7 |
| | 4.71% | -0.04% | -0.07% | -0.09% | -0.09% | -0.09% | -0.08% | -0.08% | -0.07% | -0.06% | -0.06% | -0.05% |
| HYO_IPF3 | 1,481 | 1,576 | 1,598 | 1,621 | 1,827 | 1,885 | 1,951 | 2,003 | 2,029 | 2,055 | 2,094 | 2,135 |
| | 67.6 | 8.8 | 4.3 | 2.0 | 0.9 | 0.4 | 0.1 | ▲ 0.1 | ▲ 0.2 | ▲ 0.2 | ▲ 0.2 | ▲ 0.2 |
| | 4.56% | 0.56% | 0.27% | 0.12% | 0.05% | 0.02% | 0.00% | 0.00% | -0.01% | -0.01% | -0.01% | -0.01% |
| HYO_MA | 2,195 | 2,156 | 2,221 | 2,291 | 2,524 | 2,557 | 2,590 | 2,608 | 2,617 | 2,623 | 2,630 | 2,648 |
| | 164.5 | 3.5 | 1.6 | 0.6 | 0.2 | ▲ 0.1 | ▲ 0.2 | ▲ 0.2 | ▲ 0.2 | ▲ 0.2 | ▲ 0.2 | ▲ 0.2 |
| | 7.49% | 0.16% | 0.07% | 0.03% | 0.01% | 0.00% | -0.01% | -0.01% | -0.01% | -0.01% | -0.01% | -0.01% |
| HYO_MD | 12,262 | 12,469 | 12,028 | 11,992 | 11,831 | 11,978 | 12,132 | 12,227 | 12,276 | 12,314 | 12,366 | 12,453 |
| | 649.0 | 22.4 | 10.1 | 4.1 | 1.4 | 0.1 | ▲ 0.5 | ▲ 0.8 | ▲ 0.9 | ▲ 0.9 | ▲ 0.8 | ▲ 0.8 |
| | 5.29% | 0.18% | 0.08% | 0.03% | 0.01% | 0.00% | -0.01% | -0.01% | -0.01% | -0.01% | -0.01% | -0.01% |
| HYO_X2 | 17,535 | 16,568 | 15,957 | 15,744 | 16,301 | 16,519 | 16,704 | 16,821 | 16,889 | 16,894 | 16,897 | 16,951 |
| | 588.6 | 8.7 | 3.7 | 1.2 | 0.2 | ▲ 0.3 | ▲ 0.6 | ▲ 0.7 | ▲ 0.7 | ▲ 0.7 | ▲ 0.6 | ▲ 0.6 |
| | 3.36% | 0.05% | 0.02% | 0.01% | 0.00% | 0.00% | 0.00% | 0.00% | 0.00% | 0.00% | 0.00% | 0.00% |
| HYO_X3 | 17,608 | 17,992 | 18,077 | 18,167 | 18,018 | 18,215 | 18,435 | 18,603 | 18,687 | 18,771 | 18,895 | 19,024 |
| | 274.0 | 34.8 | 16.9 | 7.7 | 3.3 | 1.3 | 0.3 | ▲ 0.2 | ▲ 0.4 | ▲ 0.5 | ▲ 0.5 | ▲ 0.5 |
| | 1.56% | 0.19% | 0.09% | 0.04% | 0.02% | 0.01% | 0.00% | 0.00% | 0.00% | 0.00% | 0.00% | 0.00% |
| HYO_LE2 | 666 | 666 | 599 | 571 | 566 | 574 | 580 | 584 | 587 | 587 | 587 | 589 |
| | 22.4 | 0.3 | 0.1 | 0.0 | 0.0 | ▲ 0.0 | ▲ 0.0 | ▲ 0.0 | ▲ 0.0 | ▲ 0.0 | ▲ 0.0 | ▲ 0.0 |
| | 3.36% | 0.05% | 0.02% | 0.01% | 0.00% | 0.00% | 0.00% | 0.00% | 0.00% | 0.00% | 0.00% | 0.00% |
| HYO_LE3 | 1,308 | 1,373 | 1,404 | 1,429 | 1,428 | 1,443 | 1,461 | 1,474 | 1,481 | 1,487 | 1,497 | 1,508 |
| | 20.4 | 2.7 | 1.3 | 0.6 | 0.3 | 0.1 | 0.0 | ▲ 0.0 | ▲ 0.0 | ▲ 0.0 | ▲ 0.0 | ▲ 0.0 |
| | 1.56% | 0.19% | 0.09% | 0.04% | 0.02% | 0.01% | 0.00% | 0.00% | 0.00% | 0.00% | 0.00% | 0.00% |
| HYO_TDV | 1,527 | 1,474 | 1,253 | 1,268 | 1,325 | 1,338 | 1,350 | 1,344 | 1,329 | 1,328 | 1,328 | 1,296 |
| | 52.9 | 2.4 | 1.0 | 0.3 | 0.0 | 0.1 | 0.4 | 0.5 | 0.5 | 0.6 | 0.7 | 0.8 |
| | 3.46% | 0.16% | 0.08% | 0.02% | 0.00% | 0.01% | 0.03% | 0.03% | 0.04% | 0.05% | 0.05% | 0.06% |
| HYO_TIV | 1,822 | 1,811 | 1,785 | 1,649 | 1,695 | 1,742 | 1,797 | 1,839 | 1,888 | 1,910 | 1,922 | 2,243 |
| | 38.4 | 5.6 | 2.6 | 1.0 | 0.4 | 0.1 | ▲ 0.0 | ▲ 0.1 | ▲ 0.1 | ▲ 0.2 | ▲ 0.2 | ▲ 0.2 |
| | 2.11% | 0.31% | 0.15% | 0.06% | 0.02% | 0.01% | 0.00% | -0.01% | -0.01% | -0.01% | -0.01% | -0.01% |
| HYO_BONDV | 501 | 389 | 482 | 490 | 545 | 575 | 594 | 618 | 662 | 770 | 896 | 833 |
| | 473.1 | 41.7 | 45.0 | 47.6 | 51.7 | 54.4 | 58.3 | 60.2 | 62.4 | 65.9 | 68.8 | 71.7 |
| | 94.46% | 10.72% | 9.32% | 9.70% | 9.48% | 9.47% | 9.81% | 9.75% | 9.43% | 8.56% | 8.68% | 8.61% |
| HYO_KBONDV | 7,498 | 7,447 | 8,024 | 8,044 | 8,126 | 8,232 | 8,358 | 8,498 | 8,674 | 8,953 | 9,346 | 9,654 |
| | 482.4 | 498.9 | 517.4 | 537.7 | 561.4 | 586.6 | 614.9 | 643.3 | 672.3 | 703.5 | 736.0 | 769.7 |
| | 6.43% | 6.70% | 6.45% | 6.68% | 6.91% | 7.13% | 7.36% | 7.57% | 7.75% | 7.86% | 7.87% | 7.97% |
| HYO_DEBTPV | 666 | 656 | 635 | 689 | 713 | 715 | 744 | 745 | 751 | 776 | 801 | 836 |
| | 0.0 | 42.2 | 42.5 | 44.4 | 47.6 | 49.4 | 53.0 | 54.8 | 56.8 | 60.2 | 63.0 | 65.9 |
| | 0.00% | 6.43% | 6.70% | 6.45% | 6.68% | 6.91% | 7.13% | 7.36% | 7.57% | 7.75% | 7.86% | 7.87% |
| HYO_YDHV | 15,538 | 14,573 | 14,462 | 14,201 | 13,698 | 13,799 | 14,011 | 14,119 | 14,205 | 14,398 | 14,634 | 14,788 |
| | 207.0 | 12.8 | 5.9 | 2.5 | 1.0 | 0.3 | ▲ 0.0 | ▲ 0.2 | ▲ 0.2 | ▲ 0.3 | ▲ 0.3 | ▲ 0.3 |
| | 1.33% | 0.09% | 0.04% | 0.02% | 0.01% | 0.00% | 0.00% | 0.00% | 0.00% | 0.00% | 0.00% | 0.00% |

注)上段は基準解、中段は基準解からの乖離額、下段は乖離率

表 5-13 京都府：公共投資 1 兆円増加のシミュレーション

| | 単位:10億円 | | | | | | | | | | | |
|------------|-----------|--------|--------|--------|--------|--------|--------|--------|--------|--------|--------|--------|
| | 2000-2011 | | | | | | | | | | | |
| | 2000 | 2001 | 2002 | 2003 | 2004 | 2005 | 2006 | 2007 | 2008 | 2009 | 2010 | 2011 |
| KIN_GDP | 87,026 | 86,913 | 86,245 | 87,296 | 87,803 | 88,554 | 89,069 | 89,457 | 89,711 | 89,682 | 89,677 | 89,857 |
| | 585.0 | 10.0 | 7.9 | 6.4 | 5.4 | 4.5 | 3.9 | 3.4 | 2.9 | 2.6 | 2.3 | 2.0 |
| | 0.67% | 0.01% | 0.01% | 0.01% | 0.01% | 0.01% | 0.00% | 0.00% | 0.00% | 0.00% | 0.00% | 0.00% |
| OSA_GDP | 39,836 | 40,140 | 39,705 | 40,138 | 40,529 | 40,864 | 41,027 | 41,114 | 41,208 | 41,099 | 40,993 | 41,012 |
| | 75.7 | 3.1 | 2.4 | 1.9 | 1.5 | 1.2 | 0.9 | 0.8 | 0.6 | 0.5 | 0.4 | 0.3 |
| | 0.19% | 0.01% | 0.01% | 0.00% | 0.00% | 0.00% | 0.00% | 0.00% | 0.00% | 0.00% | 0.00% | 0.00% |
| HYO_GDP | 20,380 | 20,030 | 19,814 | 19,944 | 20,129 | 20,347 | 20,558 | 20,704 | 20,783 | 20,827 | 20,889 | 20,983 |
| | 23.4 | 1.7 | 1.0 | 0.6 | 0.5 | 0.3 | 0.3 | 0.2 | 0.2 | 0.2 | 0.1 | 0.1 |
| | 0.11% | 0.01% | 0.01% | 0.00% | 0.00% | 0.00% | 0.00% | 0.00% | 0.00% | 0.00% | 0.00% | 0.00% |
| KYO_GDP | 10,143 | 9,886 | 9,977 | 10,217 | 10,301 | 10,375 | 10,435 | 10,476 | 10,505 | 10,512 | 10,516 | 10,536 |
| | 452.5 | 4.0 | 3.6 | 3.2 | 2.9 | 2.6 | 2.3 | 2.1 | 1.9 | 1.7 | 1.5 | 1.4 |
| | 4.46% | 0.04% | 0.04% | 0.03% | 0.03% | 0.02% | 0.02% | 0.02% | 0.02% | 0.02% | 0.01% | 0.01% |
| NRA_GDP | 3,912 | 3,946 | 3,971 | 4,005 | 3,971 | 3,990 | 3,975 | 4,019 | 4,021 | 4,031 | 4,045 | 4,059 |
| | 10.6 | 0.4 | 0.2 | 0.1 | 0.1 | 0.1 | 0.0 | 0.0 | 0.0 | 0.0 | 0.0 | 0.0 |
| | 0.27% | 0.01% | 0.00% | 0.00% | 0.00% | 0.00% | 0.00% | 0.00% | 0.00% | 0.00% | 0.00% | 0.00% |
| WAK_GDP | 3,432 | 3,476 | 3,443 | 3,493 | 3,512 | 3,529 | 3,545 | 3,553 | 3,559 | 3,560 | 3,560 | 3,563 |
| | 3.0 | 0.1 | 0.1 | 0.1 | 0.1 | 0.1 | 0.0 | 0.0 | 0.0 | 0.0 | 0.0 | 0.0 |
| | 0.09% | 0.00% | 0.00% | 0.00% | 0.00% | 0.00% | 0.00% | 0.00% | 0.00% | 0.00% | 0.00% | 0.00% |
| SGA_GDP | 5,901 | 5,980 | 5,943 | 6,032 | 5,966 | 6,028 | 6,085 | 6,130 | 6,161 | 6,175 | 6,188 | 6,209 |
| | 13.4 | 0.4 | 0.3 | 0.2 | 0.2 | 0.2 | 0.1 | 0.1 | 0.1 | 0.1 | 0.1 | 0.1 |
| | 0.23% | 0.01% | 0.00% | 0.00% | 0.00% | 0.00% | 0.00% | 0.00% | 0.00% | 0.00% | 0.00% | 0.00% |
| FKI_GDP | 3,420 | 3,455 | 3,391 | 3,467 | 3,396 | 3,422 | 3,444 | 3,461 | 3,474 | 3,479 | 3,486 | 3,496 |
| | 6.5 | 0.3 | 0.3 | 0.2 | 0.2 | 0.2 | 0.1 | 0.1 | 0.1 | 0.1 | 0.1 | 0.1 |
| | 0.19% | 0.01% | 0.01% | 0.01% | 0.01% | 0.00% | 0.00% | 0.00% | 0.00% | 0.00% | 0.00% | 0.00% |
| KYO_CP | 4,969 | 5,008 | 5,047 | 5,090 | 5,118 | 5,146 | 5,175 | 5,202 | 5,226 | 5,248 | 5,268 | 5,287 |
| | 8.8 | 8.0 | 7.3 | 6.6 | 6.0 | 5.5 | 5.0 | 4.5 | 4.1 | 3.7 | 3.3 | 3.0 |
| | 0.18% | 0.16% | 0.14% | 0.13% | 0.12% | 0.11% | 0.10% | 0.09% | 0.08% | 0.07% | 0.06% | 0.06% |
| KYO_IPH | 394 | 362 | 388 | 353 | 336 | 333 | 327 | 309 | 297 | 283 | 266 | 265 |
| | 24.1 | ▲ 0.2 | ▲ 0.3 | ▲ 0.2 | ▲ 0.2 | ▲ 0.2 | ▲ 0.2 | ▲ 0.2 | ▲ 0.2 | ▲ 0.2 | ▲ 0.2 | ▲ 0.2 |
| | 6.11% | -0.06% | -0.07% | -0.07% | -0.07% | -0.07% | -0.07% | -0.07% | -0.07% | -0.07% | -0.07% | -0.07% |
| KYO_IPF2 | 416 | 357 | 324 | 375 | 382 | 395 | 399 | 401 | 404 | 399 | 395 | 395 |
| | 46.0 | ▲ 1.2 | ▲ 1.0 | ▲ 1.0 | ▲ 0.9 | ▲ 0.8 | ▲ 0.8 | ▲ 0.7 | ▲ 0.6 | ▲ 0.6 | ▲ 0.5 | ▲ 0.5 |
| | 11.04% | -0.32% | -0.30% | -0.28% | -0.25% | -0.23% | -0.21% | -0.19% | -0.17% | -0.16% | -0.14% | -0.13% |
| KYO_IPF3 | 769 | 823 | 813 | 850 | 859 | 870 | 880 | 888 | 894 | 896 | 899 | 903 |
| | 37.1 | 1.2 | 1.1 | 1.0 | 0.9 | 0.8 | 0.7 | 0.6 | 0.5 | 0.5 | 0.4 | 0.4 |
| | 4.83% | 0.15% | 0.14% | 0.12% | 0.10% | 0.09% | 0.08% | 0.07% | 0.06% | 0.05% | 0.04% | 0.04% |
| KYO_MA | 594 | 605 | 584 | 591 | 618 | 623 | 627 | 628 | 630 | 629 | 628 | 630 |
| | 103.1 | 0.3 | 0.3 | 0.3 | 0.2 | 0.2 | 0.2 | 0.2 | 0.2 | 0.1 | 0.1 | 0.1 |
| | 17.37% | 0.06% | 0.05% | 0.04% | 0.04% | 0.03% | 0.03% | 0.03% | 0.02% | 0.02% | 0.02% | 0.02% |
| KYO_MD | 5,289 | 5,346 | 5,294 | 5,330 | 5,272 | 5,314 | 5,348 | 5,368 | 5,384 | 5,386 | 5,386 | 5,399 |
| | 563.1 | 3.7 | 3.4 | 3.0 | 2.6 | 2.3 | 2.1 | 1.9 | 1.7 | 1.5 | 1.4 | 1.2 |
| | 10.65% | 0.07% | 0.06% | 0.06% | 0.05% | 0.04% | 0.04% | 0.03% | 0.03% | 0.03% | 0.03% | 0.02% |
| KYO_X2 | 7,448 | 6,731 | 6,258 | 6,216 | 6,194 | 6,270 | 6,329 | 6,364 | 6,388 | 6,383 | 6,376 | 6,388 |
| | 603.6 | 1.1 | 0.9 | 0.7 | 0.6 | 0.5 | 0.5 | 0.4 | 0.4 | 0.3 | 0.3 | 0.2 |
| | 8.10% | 0.02% | 0.01% | 0.01% | 0.01% | 0.01% | 0.01% | 0.01% | 0.01% | 0.00% | 0.00% | 0.00% |
| KYO_X3 | 8,787 | 9,057 | 9,031 | 9,219 | 9,270 | 9,331 | 9,387 | 9,433 | 9,468 | 9,490 | 9,512 | 9,538 |
| | 173.1 | 7.5 | 6.9 | 6.2 | 5.6 | 5.1 | 4.6 | 4.2 | 3.8 | 3.4 | 3.1 | 2.8 |
| | 1.97% | 0.08% | 0.08% | 0.07% | 0.06% | 0.05% | 0.05% | 0.04% | 0.04% | 0.04% | 0.03% | 0.03% |
| KYO_LE2 | 347 | 352 | 334 | 331 | 322 | 326 | 329 | 331 | 332 | 332 | 331 | 332 |
| | 28.2 | 0.1 | 0.0 | 0.0 | 0.0 | 0.0 | 0.0 | 0.0 | 0.0 | 0.0 | 0.0 | 0.0 |
| | 8.10% | 0.02% | 0.01% | 0.01% | 0.01% | 0.01% | 0.01% | 0.01% | 0.00% | 0.00% | 0.00% | 0.00% |
| KYO_LE3 | 645 | 662 | 652 | 664 | 672 | 677 | 681 | 684 | 687 | 688 | 690 | 692 |
| | 12.7 | 0.5 | 0.5 | 0.4 | 0.4 | 0.4 | 0.3 | 0.3 | 0.3 | 0.2 | 0.2 | 0.2 |
| | 1.97% | 0.08% | 0.08% | 0.07% | 0.06% | 0.05% | 0.05% | 0.04% | 0.04% | 0.04% | 0.03% | 0.03% |
| KYO_TDV | 1,130 | 1,100 | 714 | 741 | 907 | 910 | 906 | 903 | 905 | 903 | 898 | 896 |
| | 66.8 | 0.1 | 0.1 | 0.0 | 0.0 | ▲ 0.2 | 0.2 | 0.2 | 0.1 | 0.1 | 0.1 | 0.1 |
| | 5.92% | 0.01% | 0.01% | 0.01% | 0.00% | -0.02% | 0.02% | 0.02% | 0.02% | 0.02% | 0.01% | 0.01% |
| KYO_TIV | 790 | 785 | 787 | 700 | 708 | 714 | 720 | 725 | 733 | 737 | 737 | 783 |
| | 12.3 | 0.7 | 0.7 | 0.5 | 0.5 | 0.4 | 0.4 | 0.3 | 0.3 | 0.3 | 0.2 | 16.9 |
| | 1.55% | 0.09% | 0.08% | 0.08% | 0.07% | 0.06% | 0.05% | 0.05% | 0.04% | 0.04% | 0.03% | 2.28% |
| KYO_BONDV | 214 | 194 | 221 | 239 | 244 | 242 | 242 | 247 | 256 | 265 | 272 | 266 |
| | 252.2 | 19.4 | 19.9 | 19.0 | 19.9 | 20.6 | 21.5 | 22.3 | 23.1 | 24.1 | 25.0 | 25.9 |
| | 117.96% | 10.02% | 9.03% | 7.96% | 8.13% | 8.52% | 8.88% | 9.01% | 9.02% | 9.08% | 9.18% | 9.75% |
| KYO_KBONDV | 2,513 | 2,543 | 2,807 | 2,885 | 2,923 | 2,957 | 2,997 | 3,037 | 3,083 | 3,140 | 3,203 | 3,257 |
| | 259.6 | 269.9 | 279.8 | 290.2 | 302.1 | 314.3 | 328.0 | 341.7 | 355.6 | 370.7 | 386.4 | 402.7 |
| | 10.33% | 10.61% | 9.97% | 10.06% | 10.33% | 10.63% | 10.94% | 11.25% | 11.54% | 11.81% | 12.06% | 12.36% |
| KYO_DEBTPV | 236 | 238 | 238 | 243 | 250 | 253 | 257 | 258 | 260 | 265 | 268 | 273 |
| | 0.0 | 19.0 | 19.5 | 18.6 | 19.4 | 20.1 | 21.0 | 21.8 | 22.6 | 23.5 | 24.4 | 25.3 |
| | 0.00% | 7.96% | 8.17% | 7.68% | 7.75% | 7.96% | 8.19% | 8.43% | 8.66% | 8.88% | 9.08% | 9.28% |
| KYO_YDHV | 6,357 | 6,129 | 6,261 | 6,275 | 6,200 | 6,228 | 6,290 | 6,300 | 6,317 | 6,347 | 6,362 | 6,377 |
| | 172.5 | 2.1 | 1.9 | 1.7 | 1.6 | 1.4 | 1.3 | 1.2 | 1.0 | 1.0 | 0.9 | 0.8 |
| | 2.71% | 0.03% | 0.03% | 0.03% | 0.03% | 0.02% | 0.02% | 0.02% | 0.02% | 0.02% | 0.01% | 0.01% |

注)上段は基準解、中段は基準解からの乖離額、下段は乖離率

表 5-14 奈良県：公共投資 1 兆円増加のシミュレーション

| | 単位:10億円 | | | | | | | | | | | 2000-2011 |
|------------|--------------------------|--------------------------|--------------------------|--------------------------|--------------------------|--------------------------|--------------------------|--------------------------|--------------------------|--------------------------|--------------------------|--------------------------|
| | 2000 | 2001 | 2002 | 2003 | 2004 | 2005 | 2006 | 2007 | 2008 | 2009 | 2010 | 2011 |
| KIN_GDP | 87,026 571.6 0.66% | 86,913 22.0 0.03% | 86,245 8.3 0.01% | 87,296 4.2 0.00% | 87,803 2.5 0.00% | 88,554 1.6 0.00% | 89,069 1.0 0.00% | 89,457 0.6 0.00% | 89,711 0.3 0.00% | 89,682 0.1 0.00% | 89,677 0.0 0.00% | 89,857 ▲ 0.1 0.00% |
| OSA_GDP | 39,836 91.1 0.23% | 40,140 5.5 0.01% | 39,705 2.7 0.01% | 40,138 1.6 0.00% | 40,529 1.0 0.00% | 40,864 0.6 0.00% | 41,027 0.4 0.00% | 41,114 0.2 0.00% | 41,208 0.1 0.00% | 41,099 ▲ 0.0 0.00% | 40,993 ▲ 0.1 0.00% | 41,012 ▲ 0.1 0.00% |
| HYO_GDP | 20,380 28.4 0.14% | 20,030 2.4 0.01% | 19,814 1.1 0.01% | 19,944 0.5 0.00% | 20,129 0.3 0.00% | 20,347 0.1 0.00% | 20,558 0.1 0.00% | 20,704 0.0 0.00% | 20,783 0.0 0.00% | 20,827 0.0 0.00% | 20,889 ▲ 0.0 0.00% | 20,983 ▲ 0.1 0.00% |
| KYO_GDP | 10,143 10.4 0.10% | 9,886 0.9 0.01% | 9,977 0.4 0.01% | 10,217 0.2 0.00% | 10,301 0.2 0.00% | 10,375 0.1 0.00% | 10,435 0.1 0.00% | 10,476 0.1 0.00% | 10,505 0.1 0.00% | 10,512 0.1 0.00% | 10,516 0.1 0.00% | 10,536 0.0 0.00% |
| NRA_GDP | 3,912 421.1 10.76% | 3,946 12.1 0.31% | 3,971 3.5 0.09% | 4,005 1.5 0.04% | 3,971 0.8 0.02% | 3,990 0.5 0.01% | 3,975 0.3 0.01% | 4,019 0.2 0.00% | 4,021 0.1 0.00% | 4,031 0.0 0.00% | 4,045 0.0 0.00% | 4,059 ▲ 0.0 0.00% |
| WAK_GDP | 3,432 6.4 0.19% | 3,476 0.3 0.01% | 3,443 0.2 0.00% | 3,493 0.1 0.00% | 3,512 0.1 0.00% | 3,529 0.1 0.00% | 3,545 0.0 0.00% | 3,553 0.0 0.00% | 3,559 0.0 0.00% | 3,560 0.0 0.00% | 3,560 0.0 0.00% | 3,563 0.0 0.00% |
| SGA_GDP | 5,901 8.1 0.14% | 5,980 0.4 0.01% | 5,943 0.2 0.00% | 6,032 0.1 0.00% | 5,966 0.1 0.00% | 6,028 0.1 0.00% | 6,085 0.1 0.00% | 6,130 0.0 0.00% | 6,161 0.0 0.00% | 6,175 0.0 0.00% | 6,188 0.0 0.00% | 6,209 0.0 0.00% |
| FKI_GDP | 3,420 6.2 0.18% | 3,455 0.4 0.01% | 3,391 0.2 0.01% | 3,467 0.1 0.00% | 3,396 0.1 0.00% | 3,422 0.1 0.00% | 3,444 0.1 0.00% | 3,461 0.1 0.00% | 3,474 0.1 0.00% | 3,479 0.0 0.00% | 3,486 0.0 0.00% | 3,496 0.0 0.00% |
| NRA_CP | 2,855 104.5 3.66% | 2,825 21.9 0.78% | 2,651 4.6 0.17% | 2,724 1.2 0.04% | 2,700 0.4 0.02% | 2,709 0.2 0.01% | 2,720 0.1 0.00% | 2,734 0.1 0.00% | 2,740 0.0 0.00% | 2,766 0.0 0.00% | 2,799 0.0 0.00% | 2,824 ▲ 0.0 0.00% |
| NRA_IPH | 190 9.3 4.89% | 181 ▲ 0.0 -0.01% | 175 ▲ 0.2 -0.09% | 173 ▲ 0.2 -0.10% | 166 ▲ 0.2 -0.11% | 162 ▲ 0.2 -0.10% | 165 ▲ 0.2 -0.10% | 158 ▲ 0.2 -0.10% | 154 ▲ 0.1 -0.10% | 153 ▲ 0.1 -0.09% | 153 ▲ 0.1 -0.09% | 153 ▲ 0.1 -0.09% |
| NRA_IPF2 | 148 26.9 18.17% | 140 0.2 0.18% | 217 0.2 0.08% | 193 0.1 0.04% | 157 0.0 0.03% | 167 0.0 0.02% | 84 0.0 0.01% | 177 0.0 0.01% | 168 0.0 0.00% | 167 0.0 0.00% | 167 0.0 0.00% | 167 0.0 0.00% |
| NRA_IPF3 | 248 6.6 2.65% | 268 5.2 1.95% | 280 3.8 1.34% | 287 2.6 0.90% | 293 1.8 0.61% | 297 1.2 0.41% | 299 0.8 0.27% | 302 0.6 0.18% | 304 0.4 0.12% | 306 0.2 0.08% | 308 0.1 0.05% | 310 0.0 0.04% |
| NRA_MA | 15 5.2 34.27% | 15 0.1 0.49% | 15 0.0 0.19% | 14 0.0 0.09% | 15 0.0 0.06% | 15 0.0 0.03% | 15 0.0 0.02% | 15 0.0 0.01% | 15 0.0 0.01% | 15 0.0 0.00% | 15 0.0 0.00% | 15 0.0 0.00% |
| NRA_MD | 3,121 722.7 23.16% | 3,050 15.3 0.50% | 2,874 4.9 0.17% | 2,937 2.3 0.08% | 2,943 1.3 0.04% | 2,961 0.8 0.03% | 2,923 0.5 0.02% | 2,991 0.3 0.01% | 2,988 0.2 0.01% | 3,001 0.1 0.00% | 3,019 0.0 0.00% | 3,034 ▲ 0.0 0.00% |
| NRA_X2 | 2,648 457.9 17.29% | 2,406 4.1 0.17% | 2,282 1.8 0.08% | 2,442 1.0 0.08% | 2,458 0.6 0.04% | 2,480 0.4 0.03% | 2,468 0.2 0.02% | 2,506 0.1 0.01% | 2,508 0.1 0.01% | 2,508 0.0 0.00% | 2,509 0.0 0.00% | 2,514 ▲ 0.0 0.00% |
| NRA_X3 | 3,774 289.8 7.68% | 3,941 22.0 0.56% | 3,869 5.6 0.14% | 3,852 1.9 0.05% | 3,844 1.0 0.02% | 3,864 0.5 0.01% | 3,854 0.3 0.01% | 3,902 0.2 0.01% | 3,907 0.1 0.01% | 3,931 0.1 0.00% | 3,961 0.0 0.00% | 3,987 0.0 0.00% |
| NRA_LE2 | 117 20.2 17.29% | 116 0.2 0.17% | 109 0.1 0.08% | 105 0.0 0.04% | 99 0.0 0.03% | 100 0.0 0.02% | 100 0.0 0.01% | 101 0.0 0.01% | 102 0.0 0.00% | 101 0.0 0.00% | 102 0.0 0.00% | 102 0.0 0.00% |
| NRA_LE3 | 266 20.4 7.68% | 275 1.5 0.56% | 267 0.4 0.14% | 265 0.1 0.05% | 267 0.0 0.02% | 266 0.0 0.01% | 269 0.0 0.01% | 270 0.0 0.01% | 271 0.0 0.00% | 273 0.0 0.00% | 275 0.0 0.00% | 269 0.0 0.00% |
| NRA_TDV | 313 28.5 9.11% | 310 3.0 0.97% | 274 2.4 0.87% | 276 1.7 0.82% | 277 2.2 0.79% | 277 2.3 0.78% | 287 2.7 0.79% | 289 2.8 0.78% | 289 2.9 0.78% | 290 3.2 0.78% | 291 3.4 0.78% | 282 3.6 0.78% |
| NRA_TIV | 254 6.0 2.36% | 252 1.1 0.44% | 240 0.2 0.10% | 243 0.1 0.02% | 241 0.0 0.00% | 242 0.0 0.00% | 244 0.0 0.00% | 245 0.0 0.00% | 245 0.0 0.00% | 246 0.0 0.00% | 248 0.0 0.00% | 375 0.0 0.00% |
| NRA_BONDV | 155 292.4 188.22% | 159 37.7 23.65% | 161 40.1 24.87% | 186 37.8 20.39% | 152 40.5 26.58% | 161 42.7 26.55% | 167 45.8 27.49% | 179 48.2 26.98% | 187 50.7 27.06% | 208 53.9 25.90% | 233 57.0 24.42% | 218 60.2 27.56% |
| NRA_KBONDV | 1,553 338.8 21.82% | 1,601 362.4 22.64% | 1,907 386.8 20.29% | 1,962 408.4 20.82% | 1,980 433.1 21.88% | 2,006 458.9 22.88% | 2,042 488.2 23.91% | 2,087 518.2 24.83% | 2,139 549.3 25.68% | 2,214 583.4 26.35% | 2,315 619.7 26.77% | 2,392 658.2 27.51% |
| NRA_DEBTPV | 149 0.0 0.00% | 152 27.0 17.76% | 155 28.5 18.41% | 179 31.4 16.53% | 185 33.1 16.96% | 186 35.2 17.80% | 189 37.2 18.61% | 191 39.2 19.43% | 195 41.5 20.16% | 199 43.8 20.84% | 205 46.2 21.37% | 213 46.2 21.71% |
| NRA_YDHV | 3,872 228.4 5.90% | 3,769 5.4 0.14% | 3,630 1.6 0.04% | 3,570 0.7 0.02% | 3,458 0.4 0.01% | 3,487 0.2 0.01% | 3,533 0.1 0.00% | 3,576 0.1 0.00% | 3,581 0.0 0.00% | 3,635 0.0 0.00% | 3,693 0.0 0.00% | 3,733 0.0 0.00% |

注)上段は基準解、中段は基準解からの乖離額、下段は乖離率

表 5-15 和歌山県：公共投資 1兆円増加のシミュレーション

| | 単位：10億円 | | | | | | | | | | | |
|------------|-----------|--------|--------|--------|--------|--------|--------|--------|--------|--------|--------|--------|
| | 2000-2011 | | | | | | | | | | | |
| KIN_GDP | 87,026 | 86,913 | 86,245 | 87,296 | 87,803 | 88,554 | 89,069 | 89,457 | 89,711 | 89,682 | 89,677 | 89,857 |
| | 720.9 | 8.2 | 6.4 | 4.9 | 3.6 | 2.7 | 2.1 | 1.6 | 1.1 | 0.8 | 0.6 | 0.4 |
| | 0.83% | 0.01% | 0.01% | 0.01% | 0.00% | 0.00% | 0.00% | 0.00% | 0.00% | 0.00% | 0.00% | 0.00% |
| OSA_GDP | 39,836 | 40,140 | 39,705 | 40,138 | 40,529 | 40,864 | 41,027 | 41,114 | 41,208 | 41,099 | 40,993 | 41,012 |
| | 40.8 | 2.5 | 1.9 | 1.5 | 1.1 | 0.8 | 0.6 | 0.4 | 0.3 | 0.2 | 0.1 | 0.1 |
| | 0.10% | 0.01% | 0.00% | 0.00% | 0.00% | 0.00% | 0.00% | 0.00% | 0.00% | 0.00% | 0.00% | 0.00% |
| HYO_GDP | 20,380 | 20,030 | 19,814 | 19,944 | 20,129 | 20,347 | 20,558 | 20,704 | 20,783 | 20,827 | 20,889 | 20,983 |
| | 12.8 | 1.1 | 0.8 | 0.5 | 0.4 | 0.2 | 0.2 | 0.1 | 0.1 | 0.1 | 0.0 | 0.0 |
| | 0.06% | 0.01% | 0.00% | 0.00% | 0.00% | 0.00% | 0.00% | 0.00% | 0.00% | 0.00% | 0.00% | 0.08% |
| KYO_GDP | 10,143 | 9,886 | 9,977 | 10,217 | 10,301 | 10,375 | 10,435 | 10,476 | 10,505 | 10,512 | 10,516 | 10,536 |
| | 4.1 | 0.4 | 0.3 | 0.2 | 0.2 | 0.2 | 0.1 | 0.1 | 0.1 | 0.1 | 0.1 | 0.0 |
| | 0.04% | 0.00% | 0.00% | 0.00% | 0.00% | 0.00% | 0.00% | 0.00% | 0.00% | 0.00% | 0.00% | 0.06% |
| NRA_GDP | 3,912 | 3,946 | 3,971 | 4,005 | 3,971 | 3,990 | 3,975 | 4,019 | 4,021 | 4,031 | 4,045 | 4,059 |
| | 1.8 | 0.1 | 0.1 | 0.1 | 0.0 | 0.0 | 0.0 | 0.0 | 0.0 | 0.0 | 0.0 | 0.0 |
| | 0.05% | 0.00% | 0.00% | 0.00% | 0.00% | 0.00% | 0.00% | 0.00% | 0.00% | 0.00% | 0.00% | 0.06% |
| WAK_GDP | 3,432 | 3,476 | 3,443 | 3,493 | 3,512 | 3,529 | 3,545 | 3,553 | 3,559 | 3,560 | 3,560 | 3,563 |
| | 655.2 | 3.7 | 3.0 | 2.4 | 1.8 | 1.4 | 1.0 | 0.8 | 0.6 | 0.5 | 0.3 | 0.3 |
| | 19.09% | 0.11% | 0.09% | 0.07% | 0.05% | 0.04% | 0.03% | 0.02% | 0.02% | 0.01% | 0.01% | 0.01% |
| SGA_GDP | 5,901 | 5,980 | 5,943 | 6,032 | 5,966 | 6,028 | 6,085 | 6,130 | 6,161 | 6,175 | 6,188 | 6,209 |
| | 3.2 | 0.2 | 0.1 | 0.1 | 0.1 | 0.1 | 0.1 | 0.0 | 0.0 | 0.0 | 0.0 | 0.0 |
| | 0.05% | 0.00% | 0.00% | 0.00% | 0.00% | 0.00% | 0.00% | 0.00% | 0.00% | 0.00% | 0.00% | 0.06% |
| FKI_GDP | 3,420 | 3,455 | 3,391 | 3,467 | 3,396 | 3,422 | 3,444 | 3,461 | 3,474 | 3,479 | 3,486 | 3,496 |
| | 3.0 | 0.2 | 0.2 | 0.1 | 0.1 | 0.1 | 0.1 | 0.1 | 0.0 | 0.0 | 0.0 | 0.0 |
| | 0.09% | 0.01% | 0.00% | 0.00% | 0.00% | 0.00% | 0.00% | 0.00% | 0.00% | 0.00% | 0.00% | 0.11% |
| WAK_CP | 1,780 | 1,782 | 1,803 | 1,831 | 1,844 | 1,852 | 1,862 | 1,869 | 1,874 | 1,878 | 1,881 | 1,883 |
| | 12.1 | 9.4 | 7.4 | 5.8 | 4.6 | 3.6 | 2.8 | 2.2 | 1.7 | 1.3 | 1.0 | 0.8 |
| | 0.68% | 0.53% | 0.41% | 0.32% | 0.25% | 0.19% | 0.15% | 0.12% | 0.09% | 0.07% | 0.05% | 0.04% |
| WAK_IPH | 141 | 124 | 140 | 119 | 111 | 110 | 109 | 102 | 99 | 97 | 96 | 94 |
| | 11.4 | 0.0 | ▲ 0.1 | ▲ 0.1 | ▲ 0.1 | ▲ 0.1 | ▲ 0.1 | ▲ 0.1 | ▲ 0.1 | ▲ 0.1 | ▲ 0.1 | ▲ 0.1 |
| | 8.12% | 0.03% | -0.04% | -0.08% | -0.11% | -0.12% | -0.13% | -0.14% | -0.15% | -0.15% | -0.15% | -0.15% |
| WAK_IPF2 | 143 | 143 | 139 | 136 | 147 | 146 | 149 | 150 | 150 | 150 | 150 | 150 |
| | 15.9 | 0.1 | 0.1 | 0.1 | 0.0 | 0.0 | 0.0 | 0.0 | 0.0 | 0.0 | 0.0 | 0.0 |
| | 11.06% | 0.06% | 0.05% | 0.04% | 0.03% | 0.02% | 0.02% | 0.01% | 0.01% | 0.01% | 0.00% | 0.00% |
| WAK_IPF3 | 203 | 149 | 212 | 216 | 218 | 220 | 222 | 223 | 224 | 224 | 224 | 225 |
| | 11.7 | 0.7 | 0.8 | 0.6 | 0.5 | 0.4 | 0.3 | 0.2 | 0.2 | 0.1 | 0.1 | 0.1 |
| | 5.75% | 0.46% | 0.36% | 0.28% | 0.21% | 0.17% | 0.13% | 0.10% | 0.08% | 0.06% | 0.05% | 0.04% |
| WAK_MA | 24 | 23 | 22 | 22 | 23 | 23 | 24 | 24 | 24 | 24 | 24 | 24 |
| | 6.3 | 0.1 | 0.0 | 0.0 | 0.0 | 0.0 | 0.0 | 0.0 | 0.0 | 0.0 | 0.0 | 0.0 |
| | 26.52% | 0.22% | 0.18% | 0.14% | 0.10% | 0.08% | 0.06% | 0.04% | 0.03% | 0.02% | 0.02% | 0.01% |
| WAK_MD | 2,524 | 2,457 | 2,445 | 2,422 | 2,520 | 2,535 | 2,550 | 2,557 | 2,562 | 2,563 | 2,564 | 2,566 |
| | 390.4 | 6.6 | 5.2 | 4.0 | 3.2 | 2.4 | 1.9 | 1.4 | 1.1 | 0.8 | 0.6 | 0.5 |
| | 15.46% | 0.27% | 0.21% | 0.16% | 0.13% | 0.10% | 0.07% | 0.06% | 0.04% | 0.03% | 0.02% | 0.02% |
| WAK_X2 | 2,836 | 2,824 | 2,741 | 2,669 | 2,920 | 2,947 | 2,969 | 2,981 | 2,989 | 2,989 | 2,988 | 2,991 |
| | 380.5 | 2.1 | 1.8 | 1.3 | 1.0 | 0.8 | 0.6 | 0.4 | 0.3 | 0.2 | 0.2 | 0.1 |
| | 13.42% | 0.08% | 0.06% | 0.05% | 0.04% | 0.03% | 0.02% | 0.01% | 0.01% | 0.01% | 0.01% | 0.00% |
| WAK_X3 | 2,706 | 2,746 | 2,785 | 2,828 | 2,843 | 2,860 | 2,878 | 2,890 | 2,898 | 2,902 | 2,904 | 2,907 |
| | 111.4 | 9.0 | 7.3 | 5.7 | 4.4 | 3.4 | 2.7 | 2.1 | 1.6 | 1.2 | 1.0 | 0.7 |
| | 4.12% | 0.33% | 0.26% | 0.20% | 0.15% | 0.12% | 0.09% | 0.07% | 0.06% | 0.04% | 0.03% | 0.03% |
| WAK_LE2 | 104 | 101 | 94 | 93 | 91 | 92 | 92 | 93 | 93 | 93 | 93 | 93 |
| | 13.9 | 0.1 | 0.1 | 0.0 | 0.0 | 0.0 | 0.0 | 0.0 | 0.0 | 0.0 | 0.0 | 0.0 |
| | 13.42% | 0.08% | 0.06% | 0.05% | 0.04% | 0.03% | 0.02% | 0.01% | 0.01% | 0.01% | 0.01% | 0.00% |
| WAK_LE3 | 232 | 235 | 235 | 241 | 244 | 245 | 247 | 248 | 248 | 249 | 249 | 249 |
| | 9.6 | 0.8 | 0.6 | 0.5 | 0.4 | 0.3 | 0.2 | 0.2 | 0.1 | 0.1 | 0.1 | 0.1 |
| | 4.12% | 0.33% | 0.26% | 0.20% | 0.15% | 0.12% | 0.09% | 0.07% | 0.06% | 0.04% | 0.03% | 0.03% |
| WAK_TDV | 222 | 192 | 170 | 166 | 165 | 191 | 195 | 195 | 195 | 196 | 197 | 195 |
| | 32.5 | 0.6 | 0.5 | 0.4 | 0.3 | 0.2 | 0.2 | 0.1 | 0.1 | 0.1 | 0.1 | 0.1 |
| | 14.64% | 0.33% | 0.28% | 0.22% | 0.16% | 0.10% | 0.09% | 0.07% | 0.06% | 0.05% | 0.04% | 0.03% |
| WAK_TIV | 414 | 408 | 407 | 364 | 357 | 361 | 362 | 363 | 363 | 364 | 364 | 468 |
| | 4.7 | 1.5 | 1.2 | 0.8 | 0.6 | 0.5 | 0.4 | 0.3 | 0.2 | 0.2 | 0.1 | 0.1 |
| | 1.13% | 0.37% | 0.28% | 0.22% | 0.17% | 0.13% | 0.10% | 0.08% | 0.06% | 0.04% | 0.03% | 0.02% |
| WAK_BONDV | 105 | 110 | 123 | 130 | 157 | 239 | 256 | 270 | 283 | 301 | 317 | 317 |
| | 148.5 | 18.3 | 20.8 | 17.0 | 20.4 | 21.1 | 22.4 | 22.9 | 23.5 | 24.6 | 25.5 | 26.4 |
| | 141.63% | 16.72% | 16.85% | 13.06% | 13.02% | 8.83% | 8.73% | 8.49% | 8.30% | 8.18% | 8.04% | 8.33% |
| WAK_KBONDV | 1,173 | 1,174 | 1,427 | 1,448 | 1,476 | 1,591 | 1,714 | 1,842 | 1,972 | 2,110 | 2,253 | 2,383 |
| | 162.1 | 167.4 | 172.6 | 178.0 | 184.4 | 190.9 | 198.2 | 205.6 | 213.0 | 220.9 | 229.2 | 237.8 |
| | 13.82% | 14.26% | 12.09% | 12.29% | 12.49% | 12.00% | 11.56% | 11.16% | 10.80% | 10.47% | 10.17% | 9.98% |
| WAK_DEBTPV | 142 | 138 | 151 | 145 | 171 | 173 | 191 | 203 | 216 | 233 | 249 | 266 |
| | 0.0 | 18.4 | 20.8 | 17.0 | 20.4 | 21.0 | 22.2 | 22.7 | 23.3 | 24.4 | 25.3 | 26.2 |
| | 0.00% | 13.38% | 13.80% | 11.71% | 11.90% | 12.09% | 11.61% | 11.19% | 10.81% | 10.46% | 10.14% | 9.85% |
| WAK_YDHV | 2,467 | 2,329 | 2,458 | 2,533 | 2,466 | 2,483 | 2,502 | 2,513 | 2,513 | 2,513 | 2,510 | 2,508 |
| | 101.5 | 3.1 | 2.3 | 1.8 | 1.3 | 1.0 | 0.8 | 0.6 | 0.5 | 0.4 | 0.3 | 0.2 |
| | 4.12% | 0.13% | 0.09% | 0.07% | 0.05% | 0.04% | 0.03% | 0.02% | 0.02% | 0.01% | 0.01% | 0.01% |

注) 上段は基準解、中段は基準解からの乖離額、下段は乖離率

表 5-16 滋賀県：公共投資 1 兆円増加のシミュレーション

| | 単位:10億円 | | | | | | | | | | | |
|------------|-----------|--------|--------|--------|--------|--------|--------|--------|--------|--------|--------|--------|
| | 2000-2011 | | | | | | | | | | | |
| KIN_GDP | 87,026 | 86,913 | 86,245 | 87,296 | 87,803 | 88,554 | 89,069 | 89,457 | 89,711 | 89,682 | 89,677 | 89,857 |
| | 416.2 | 11.4 | 9.0 | 7.0 | 5.5 | 4.2 | 3.3 | 2.6 | 2.0 | 1.6 | 1.2 | 0.9 |
| | 0.48% | 0.01% | 0.01% | 0.01% | 0.01% | 0.00% | 0.00% | 0.00% | 0.00% | 0.00% | 0.00% | 0.00% |
| OSA_GDP | 39,836 | 40,140 | 39,705 | 40,138 | 40,529 | 40,864 | 41,027 | 41,114 | 41,208 | 41,099 | 40,993 | 41,012 |
| | 91.9 | 3.5 | 2.8 | 2.1 | 1.5 | 1.1 | 0.8 | 0.5 | 0.3 | 0.2 | 0.1 | 0.0 |
| | 0.23% | 0.01% | 0.01% | 0.01% | 0.00% | 0.00% | 0.00% | 0.00% | 0.00% | 0.00% | 0.00% | 0.00% |
| HYO_GDP | 20,380 | 20,030 | 19,814 | 19,944 | 20,129 | 20,347 | 20,558 | 20,704 | 20,783 | 20,827 | 20,889 | 20,983 |
| | 21.9 | 1.6 | 1.0 | 0.6 | 0.4 | 0.3 | 0.2 | 0.1 | 0.1 | 0.0 | 0.0 | 0.0 |
| | 0.11% | 0.01% | 0.00% | 0.00% | 0.00% | 0.00% | 0.00% | 0.00% | 0.00% | 0.00% | 0.00% | 0.00% |
| KYO_GDP | 10,143 | 9,886 | 9,977 | 10,217 | 10,301 | 10,375 | 10,435 | 10,476 | 10,505 | 10,512 | 10,516 | 10,536 |
| | 14.7 | 0.6 | 0.5 | 0.4 | 0.3 | 0.3 | 0.2 | 0.2 | 0.2 | 0.1 | 0.1 | 0.1 |
| | 0.14% | 0.01% | 0.00% | 0.00% | 0.00% | 0.00% | 0.00% | 0.00% | 0.00% | 0.00% | 0.00% | 0.00% |
| NRA_GDP | 3,912 | 3,946 | 3,971 | 4,005 | 3,971 | 3,990 | 3,975 | 4,019 | 4,021 | 4,031 | 4,045 | 4,059 |
| | 6.0 | 0.3 | 0.1 | 0.1 | 0.0 | 0.0 | 0.0 | 0.0 | 0.0 | 0.0 | 0.0 | 0.0 |
| | 0.15% | 0.01% | 0.00% | 0.00% | 0.00% | 0.00% | 0.00% | 0.00% | 0.00% | 0.00% | 0.00% | 0.00% |
| WAK_GDP | 3,432 | 3,476 | 3,443 | 3,493 | 3,512 | 3,529 | 3,545 | 3,553 | 3,559 | 3,560 | 3,560 | 3,563 |
| | 2.8 | 0.1 | 0.1 | 0.1 | 0.1 | 0.1 | 0.0 | 0.0 | 0.0 | 0.0 | 0.0 | 0.0 |
| | 0.08% | 0.00% | 0.00% | 0.00% | 0.00% | 0.00% | 0.00% | 0.00% | 0.00% | 0.00% | 0.00% | 0.00% |
| SGA_GDP | 5,901 | 5,980 | 5,943 | 6,032 | 5,966 | 6,028 | 6,085 | 6,130 | 6,161 | 6,175 | 6,188 | 6,209 |
| | 272.3 | 5.1 | 4.3 | 3.5 | 3.0 | 2.4 | 2.0 | 1.7 | 1.4 | 1.1 | 0.9 | 0.8 |
| | 4.61% | 0.09% | 0.07% | 0.06% | 0.05% | 0.04% | 0.03% | 0.03% | 0.02% | 0.02% | 0.01% | 0.01% |
| FKI_GDP | 3,420 | 3,455 | 3,391 | 3,467 | 3,396 | 3,422 | 3,444 | 3,461 | 3,474 | 3,479 | 3,486 | 3,496 |
| | 6.7 | 0.3 | 0.2 | 0.2 | 0.2 | 0.1 | 0.1 | 0.1 | 0.1 | 0.1 | 0.1 | 0.0 |
| | 0.20% | 0.01% | 0.01% | 0.01% | 0.00% | 0.00% | 0.00% | 0.00% | 0.00% | 0.00% | 0.00% | 0.00% |
| SGA_CP | 2,531 | 2,571 | 2,614 | 2,666 | 2,678 | 2,689 | 2,710 | 2,734 | 2,756 | 2,781 | 2,807 | 2,834 |
| | 12.8 | 10.7 | 8.9 | 7.5 | 6.2 | 5.1 | 4.2 | 3.5 | 2.9 | 2.4 | 2.0 | 1.6 |
| | 0.51% | 0.42% | 0.34% | 0.28% | 0.23% | 0.19% | 0.16% | 0.13% | 0.11% | 0.09% | 0.07% | 0.06% |
| SGA_IPH | 278 | 267 | 275 | 243 | 209 | 207 | 208 | 201 | 198 | 194 | 185 | 187 |
| | 15.8 | ▲ 0.2 | ▲ 0.2 | ▲ 0.2 | ▲ 0.2 | ▲ 0.2 | ▲ 0.2 | ▲ 0.2 | ▲ 0.2 | ▲ 0.2 | ▲ 0.2 | ▲ 0.2 |
| | 5.68% | -0.07% | -0.07% | -0.09% | -0.09% | -0.09% | -0.10% | -0.10% | -0.10% | -0.10% | -0.10% | -0.10% |
| SGA_IPF2 | 456 | 510 | 402 | 410 | 445 | 458 | 464 | 467 | 469 | 465 | 460 | 460 |
| | 62.0 | ▲ 2.8 | ▲ 1.9 | ▲ 1.8 | ▲ 1.7 | ▲ 1.6 | ▲ 1.5 | ▲ 1.3 | ▲ 1.2 | ▲ 1.1 | ▲ 1.0 | ▲ 0.9 |
| | 13.58% | -0.54% | -0.47% | -0.43% | -0.39% | -0.35% | -0.32% | -0.29% | -0.26% | -0.23% | -0.21% | -0.19% |
| SGA_IPF3 | 238 | 255 | 272 | 287 | 300 | 311 | 320 | 329 | 336 | 343 | 348 | 354 |
| | 1.5 | 1.4 | 1.3 | 1.2 | 1.1 | 1.0 | 0.9 | 0.8 | 0.7 | 0.6 | 0.5 | 0.4 |
| | 0.62% | 0.55% | 0.48% | 0.42% | 0.36% | 0.31% | 0.27% | 0.23% | 0.20% | 0.17% | 0.14% | 0.12% |
| SGA_MA | 394 | 443 | 414 | 416 | 428 | 433 | 438 | 441 | 443 | 444 | 444 | 446 |
| | 111.1 | 0.2 | 0.2 | 0.2 | 0.1 | 0.1 | 0.1 | 0.0 | 0.0 | 0.0 | 0.0 | ▲ 0.0 |
| | 28.17% | 0.05% | 0.06% | 0.04% | 0.03% | 0.02% | 0.01% | 0.01% | 0.01% | 0.00% | 0.00% | 0.00% |
| SGA_MD | 3,943 | 4,181 | 4,082 | 4,112 | 4,126 | 4,173 | 4,216 | 4,245 | 4,270 | 4,280 | 4,287 | 4,308 |
| | 711.3 | 3.9 | 3.7 | 3.0 | 2.3 | 1.8 | 1.4 | 1.1 | 0.8 | 0.6 | 0.4 | 0.3 |
| | 18.04% | 0.09% | 0.09% | 0.07% | 0.06% | 0.04% | 0.03% | 0.02% | 0.02% | 0.01% | 0.01% | 0.01% |
| SGA_X2 | 7,312 | 7,155 | 6,891 | 7,019 | 7,296 | 7,396 | 7,479 | 7,536 | 7,574 | 7,577 | 7,577 | 7,595 |
| | 611.4 | 0.4 | 0.5 | 0.4 | 0.2 | 0.1 | 0.0 | ▲ 0.0 | ▲ 0.1 | ▲ 0.1 | ▲ 0.1 | ▲ 0.1 |
| | 8.36% | 0.01% | 0.01% | 0.01% | 0.00% | 0.00% | 0.00% | 0.00% | 0.00% | 0.00% | 0.00% | 0.00% |
| SGA_X3 | 3,593 | 3,771 | 3,849 | 3,975 | 3,919 | 3,949 | 3,984 | 4,015 | 4,042 | 4,064 | 4,087 | 4,113 |
| | 123.9 | 8.8 | 7.7 | 6.5 | 5.2 | 4.3 | 3.5 | 2.9 | 2.4 | 2.0 | 1.6 | 1.3 |
| | 3.45% | 0.23% | 0.20% | 0.16% | 0.13% | 0.11% | 0.09% | 0.07% | 0.06% | 0.05% | 0.04% | 0.03% |
| SGA_LE2 | 230 | 241 | 226 | 225 | 221 | 224 | 226 | 228 | 229 | 229 | 229 | 230 |
| | 19.2 | 0.0 | 0.0 | 0.0 | 0.0 | 0.0 | 0.0 | ▲ 0.0 | ▲ 0.0 | ▲ 0.0 | ▲ 0.0 | ▲ 0.0 |
| | 8.36% | 0.01% | 0.01% | 0.01% | 0.00% | 0.00% | 0.00% | 0.00% | 0.00% | 0.00% | 0.00% | 8.45% |
| SGA_LE3 | 247 | 252 | 255 | 266 | 271 | 273 | 276 | 278 | 280 | 281 | 283 | 285 |
| | 8.5 | 0.6 | 0.5 | 0.4 | 0.4 | 0.3 | 0.2 | 0.2 | 0.2 | 0.1 | 0.1 | 11.7 |
| | 3.45% | 0.23% | 0.20% | 0.16% | 0.13% | 0.11% | 0.09% | 0.07% | 0.06% | 0.05% | 0.04% | 4.31% |
| SGA_TDV | 413 | 416 | 336 | 314 | 346 | 346 | 348 | 346 | 344 | 345 | 343 | 334 |
| | 20.8 | 0.1 | 0.1 | 0.0 | ▲ 0.0 | ▲ 0.1 | 0.2 | 0.1 | 0.1 | 0.1 | 0.1 | 21.5 |
| | 5.03% | 0.03% | 0.02% | 0.01% | -0.01% | -0.02% | 0.05% | 0.04% | 0.03% | 0.02% | 0.02% | 6.10% |
| SGA_TIV | 455 | 455 | 426 | 429 | 433 | 436 | 440 | 443 | 448 | 451 | 452 | 565 |
| | 9.1 | 0.7 | 0.5 | 0.5 | 0.4 | 0.3 | 0.2 | 0.2 | 0.2 | 0.1 | 0.1 | 12.4 |
| | 2.00% | 0.15% | 0.13% | 0.11% | 0.09% | 0.07% | 0.06% | 0.05% | 0.04% | 0.03% | 0.02% | 2.74% |
| SGA_BONDV | 141 | 149 | 156 | 154 | 129 | 120 | 126 | 133 | 141 | 150 | 158 | 160 |
| | 65.0 | 5.6 | 5.8 | 6.0 | 6.2 | 6.5 | 6.7 | 7.0 | 7.3 | 7.6 | 7.9 | 8.2 |
| | 46.11% | 3.76% | 3.71% | 3.89% | 4.82% | 5.38% | 5.34% | 5.26% | 5.15% | 5.06% | 4.98% | 5.13% |
| SGA_KBONDV | 1,330 | 1,385 | 1,677 | 1,741 | 1,637 | 1,674 | 1,720 | 1,768 | 1,820 | 1,880 | 1,945 | 2,008 |
| | 63.6 | 65.9 | 68.0 | 70.3 | 73.0 | 75.7 | 78.7 | 81.8 | 84.9 | 88.2 | 91.6 | 95.2 |
| | 4.78% | 4.76% | 4.06% | 4.04% | 4.46% | 4.52% | 4.58% | 4.63% | 4.66% | 4.69% | 4.71% | 4.74% |
| SGA_DEBTPV | 129 | 133 | 138 | 138 | 144 | 135 | 139 | 143 | 147 | 152 | 157 | 163 |
| | 0.0 | 5.6 | 5.8 | 6.0 | 6.2 | 6.4 | 6.7 | 7.0 | 7.2 | 7.5 | 7.8 | 8.1 |
| | 0.00% | 4.20% | 4.19% | 4.32% | 4.29% | 4.76% | 4.82% | 4.87% | 4.91% | 4.94% | 4.96% | 4.97% |
| SGA_YDHV | 3,589 | 3,543 | 3,580 | 3,766 | 3,511 | 3,524 | 3,603 | 3,643 | 3,694 | 3,756 | 3,806 | 3,850 |
| | 111.6 | 2.0 | 1.7 | 1.4 | 1.1 | 0.9 | 0.7 | 0.6 | 0.5 | 0.4 | 0.3 | 0.3 |
| | 3.11% | 0.06% | 0.05% | 0.04% | 0.03% | 0.03% | 0.02% | 0.02% | 0.01% | 0.01% | 0.01% | 3.32% |

注)上段は基準解、中段は基準解からの乖離額、下段は乖離率

表 5-17 福井県：公共投資 1 兆円増加のシミュレーション

| | 単位:10億円 | | | | | | | | | | | |
|------------|-----------|--------|--------|--------|--------|--------|--------|--------|--------|--------|--------|--------|
| | 2000-2011 | | | | | | | | | | | |
| KIN_GDP | 87,026 | 86,913 | 86,245 | 87,296 | 87,803 | 88,554 | 89,069 | 89,457 | 89,711 | 89,682 | 89,677 | 89,857 |
| | 554.8 | 16.4 | 13.2 | 10.8 | 9.0 | 7.4 | 6.1 | 5.0 | 4.1 | 3.4 | 2.8 | 2.2 |
| | 0.64% | 0.02% | 0.02% | 0.01% | 0.01% | 0.01% | 0.01% | 0.01% | 0.00% | 0.00% | 0.00% | 0.00% |
| OSA_GDP | 39,836 | 40,140 | 39,705 | 40,138 | 40,529 | 40,864 | 41,027 | 41,114 | 41,208 | 41,099 | 40,993 | 41,012 |
| | 82.4 | 3.9 | 3.1 | 2.4 | 1.9 | 1.4 | 1.1 | 0.9 | 0.6 | 0.5 | 0.4 | 0.2 |
| | 0.21% | 0.01% | 0.01% | 0.01% | 0.00% | 0.00% | 0.00% | 0.00% | 0.00% | 0.00% | 0.00% | 0.00% |
| HYO_GDP | 20,380 | 20,030 | 19,814 | 19,944 | 20,129 | 20,347 | 20,558 | 20,704 | 20,783 | 20,827 | 20,889 | 20,983 |
| | 16.7 | 1.6 | 1.1 | 0.8 | 0.6 | 0.4 | 0.3 | 0.3 | 0.2 | 0.2 | 0.1 | 0.1 |
| | 0.08% | 0.01% | 0.01% | 0.00% | 0.00% | 0.00% | 0.00% | 0.00% | 0.00% | 0.00% | 0.00% | 0.00% |
| KYO_GDP | 10,143 | 9,886 | 9,977 | 10,217 | 10,301 | 10,375 | 10,435 | 10,476 | 10,505 | 10,512 | 10,516 | 10,536 |
| | 8.1 | 0.7 | 0.6 | 0.5 | 0.4 | 0.3 | 0.3 | 0.2 | 0.2 | 0.2 | 0.2 | 0.1 |
| | 0.08% | 0.01% | 0.01% | 0.00% | 0.00% | 0.00% | 0.00% | 0.00% | 0.00% | 0.00% | 0.00% | 0.00% |
| NRA_GDP | 3,912 | 3,946 | 3,971 | 4,005 | 3,971 | 3,990 | 3,975 | 4,019 | 4,021 | 4,031 | 4,045 | 4,059 |
| | 2.6 | 0.2 | 0.1 | 0.1 | 0.1 | 0.0 | 0.0 | 0.0 | 0.0 | 0.0 | 0.0 | 0.0 |
| | 0.07% | 0.00% | 0.00% | 0.00% | 0.00% | 0.00% | 0.00% | 0.00% | 0.00% | 0.00% | 0.00% | 0.00% |
| WAK_GDP | 3,432 | 3,476 | 3,443 | 3,493 | 3,512 | 3,529 | 3,545 | 3,553 | 3,559 | 3,560 | 3,560 | 3,563 |
| | 3.6 | 0.2 | 0.1 | 0.1 | 0.1 | 0.1 | 0.1 | 0.0 | 0.0 | 0.0 | 0.0 | 0.0 |
| | 0.11% | 0.01% | 0.00% | 0.00% | 0.00% | 0.00% | 0.00% | 0.00% | 0.00% | 0.00% | 0.00% | 0.00% |
| SGA_GDP | 5,901 | 5,980 | 5,943 | 6,032 | 5,966 | 6,028 | 6,085 | 6,130 | 6,161 | 6,175 | 6,188 | 6,209 |
| | 10.2 | 0.4 | 0.3 | 0.2 | 0.2 | 0.2 | 0.1 | 0.1 | 0.1 | 0.1 | 0.1 | 0.0 |
| | 0.17% | 0.01% | 0.00% | 0.00% | 0.00% | 0.00% | 0.00% | 0.00% | 0.00% | 0.00% | 0.00% | 0.00% |
| FKI_GDP | 3,420 | 3,455 | 3,391 | 3,467 | 3,396 | 3,422 | 3,444 | 3,461 | 3,474 | 3,479 | 3,486 | 3,496 |
| | 431.2 | 9.5 | 8.0 | 6.8 | 5.8 | 4.9 | 4.1 | 3.4 | 2.9 | 2.4 | 2.0 | 1.7 |
| | 12.61% | 0.28% | 0.23% | 0.20% | 0.17% | 0.14% | 0.12% | 0.10% | 0.08% | 0.07% | 0.06% | 0.05% |
| FKI_CP | 1,615 | 1,639 | 1,657 | 1,677 | 1,685 | 1,696 | 1,709 | 1,721 | 1,731 | 1,742 | 1,756 | 1,767 |
| | 20.2 | 17.2 | 14.5 | 12.3 | 10.3 | 8.7 | 7.4 | 6.2 | 5.2 | 4.4 | 3.7 | 3.1 |
| | 1.25% | 1.05% | 0.88% | 0.73% | 0.61% | 0.51% | 0.43% | 0.36% | 0.30% | 0.25% | 0.21% | 0.18% |
| FKI_IPH | 143 | 118 | 118 | 122 | 116 | 116 | 115 | 110 | 108 | 105 | 99 | 98 |
| | 15.1 | ▲ 0.0 | ▲ 0.1 | ▲ 0.1 | ▲ 0.2 | ▲ 0.2 | ▲ 0.2 | ▲ 0.2 | ▲ 0.2 | ▲ 0.2 | ▲ 0.2 | ▲ 0.2 |
| | 10.59% | -0.04% | -0.09% | -0.11% | -0.13% | -0.14% | -0.15% | -0.16% | -0.17% | -0.17% | -0.17% | -0.17% |
| FKI_IPF2 | 151 | 138 | 136 | 139 | 148 | 161 | 164 | 165 | 169 | 165 | 161 | 161 |
| | 22.6 | ▲ 0.5 | ▲ 0.5 | ▲ 0.5 | ▲ 0.5 | ▲ 0.5 | ▲ 0.5 | ▲ 0.4 | ▲ 0.4 | ▲ 0.4 | ▲ 0.3 | ▲ 0.3 |
| | 15.00% | -0.39% | -0.37% | -0.35% | -0.33% | -0.31% | -0.28% | -0.26% | -0.24% | -0.22% | -0.20% | -0.18% |
| FKI_IPF3 | 308 | 260 | 255 | 257 | 310 | 312 | 315 | 317 | 318 | 320 | 321 | 322 |
| | 30.8 | 1.4 | 1.2 | 1.0 | 1.0 | 0.8 | 0.7 | 0.6 | 0.5 | 0.4 | 0.4 | 0.3 |
| | 10.00% | 0.55% | 0.47% | 0.39% | 0.32% | 0.27% | 0.23% | 0.19% | 0.16% | 0.13% | 0.11% | 0.09% |
| FKI_MA | 6 | 6 | 6 | 6 | 6 | 6 | 6 | 6 | 6 | 6 | 6 | 6 |
| | 2.3 | 0.0 | 0.0 | 0.0 | 0.0 | 0.0 | 0.0 | 0.0 | 0.0 | 0.0 | 0.0 | 0.0 |
| | 37.59% | 0.35% | 0.29% | 0.24% | 0.20% | 0.16% | 0.13% | 0.11% | 0.09% | 0.07% | 0.06% | 0.05% |
| FKI_MD | 2,187 | 2,210 | 2,196 | 2,215 | 2,197 | 2,223 | 2,241 | 2,250 | 2,261 | 2,262 | 2,261 | 2,268 |
| | 656.6 | 8.5 | 7.2 | 5.9 | 4.9 | 4.1 | 3.4 | 2.8 | 2.3 | 1.9 | 1.6 | 1.3 |
| | 30.03% | 0.39% | 0.33% | 0.27% | 0.22% | 0.18% | 0.15% | 0.12% | 0.10% | 0.08% | 0.07% | 0.06% |
| FKI_X2 | 2,569 | 2,411 | 2,349 | 2,480 | 2,469 | 2,506 | 2,533 | 2,551 | 2,564 | 2,563 | 2,561 | 2,566 |
| | 384.6 | 2.1 | 1.7 | 1.5 | 1.3 | 1.0 | 0.8 | 0.7 | 0.5 | 0.4 | 0.3 | 0.3 |
| | 14.97% | 0.09% | 0.07% | 0.06% | 0.05% | 0.04% | 0.03% | 0.03% | 0.02% | 0.02% | 0.01% | 0.01% |
| FKI_X3 | 3,193 | 3,339 | 3,277 | 3,309 | 3,209 | 3,234 | 3,258 | 3,277 | 3,292 | 3,303 | 3,316 | 3,330 |
| | 293.4 | 16.8 | 14.1 | 11.8 | 9.6 | 8.1 | 6.8 | 5.7 | 4.8 | 4.1 | 3.4 | 2.9 |
| | 9.19% | 0.50% | 0.43% | 0.36% | 0.30% | 0.25% | 0.21% | 0.18% | 0.15% | 0.12% | 0.10% | 0.09% |
| FKI_LE2 | 147 | 147 | 140 | 142 | 143 | 145 | 146 | 148 | 148 | 148 | 148 | 148 |
| | 21.9 | 0.1 | 0.1 | 0.1 | 0.1 | 0.1 | 0.0 | 0.0 | 0.0 | 0.0 | 0.0 | 0.0 |
| | 14.97% | 0.09% | 0.07% | 0.06% | 0.05% | 0.04% | 0.03% | 0.03% | 0.02% | 0.02% | 0.01% | 0.01% |
| FKI_LE3 | 214 | 223 | 224 | 231 | 235 | 236 | 238 | 240 | 241 | 241 | 242 | 243 |
| | 19.6 | 1.1 | 1.0 | 0.8 | 0.7 | 0.6 | 0.5 | 0.4 | 0.4 | 0.3 | 0.3 | 0.2 |
| | 9.19% | 0.50% | 0.43% | 0.36% | 0.30% | 0.25% | 0.21% | 0.18% | 0.15% | 0.12% | 0.10% | 0.09% |
| FKI_TDV | 239 | 211 | 193 | 199 | 194 | 198 | 205 | 206 | 208 | 210 | 211 | 208 |
| | 71.1 | 1.2 | 1.0 | 0.8 | 0.7 | 0.6 | 0.5 | 0.4 | 0.4 | 0.3 | 0.3 | 0.2 |
| | 29.68% | 0.59% | 0.49% | 0.41% | 0.35% | 0.28% | 0.27% | 0.22% | 0.17% | 0.16% | 0.14% | 0.11% |
| FKI_TIV | 268 | 260 | 245 | 253 | 253 | 255 | 256 | 262 | 266 | 268 | 356 | 266 |
| | 11.3 | 5.0 | 3.9 | 3.3 | 2.8 | 2.3 | 1.9 | 1.6 | 1.4 | 1.2 | 1.0 | 1.1 |
| | 4.21% | 1.91% | 1.59% | 1.32% | 1.10% | 0.92% | 0.76% | 0.64% | 0.53% | 0.44% | 0.37% | 0.30% |
| FKI_BONDV | 83 | 100 | 112 | 104 | 122 | 122 | 120 | 124 | 133 | 140 | 153 | 126 |
| | 336.2 | 26.9 | 28.1 | 29.3 | 30.6 | 31.9 | 33.3 | 33.6 | 35.1 | 36.5 | 37.7 | 39.2 |
| | 404.81% | 26.89% | 25.02% | 28.17% | 25.11% | 26.04% | 27.84% | 27.01% | 26.47% | 26.03% | 24.71% | 31.14% |
| FKI_KBONDV | 987 | 1,000 | 1,155 | 1,174 | 1,197 | 1,218 | 1,240 | 1,262 | 1,289 | 1,324 | 1,369 | 1,387 |
| | 309.8 | 318.1 | 326.1 | 334.9 | 345.7 | 356.7 | 369.7 | 382.6 | 395.6 | 410.0 | 424.9 | 440.4 |
| | 31.39% | 31.82% | 28.22% | 28.53% | 28.89% | 29.29% | 29.82% | 30.31% | 30.70% | 30.97% | 31.03% | 31.75% |
| FKI_DEBTPV | 111 | 113 | 113 | 113 | 132 | 133 | 135 | 138 | 141 | 143 | 145 | 149 |
| | 0.0 | 28.7 | 29.5 | 30.3 | 31.1 | 32.1 | 33.2 | 33.3 | 34.8 | 35.9 | 36.9 | 38.4 |
| | 0.00% | 25.51% | 26.02% | 26.76% | 23.60% | 24.11% | 24.51% | 24.14% | 24.66% | 25.14% | 25.46% | 25.67% |
| FKI_YDHV | 1,988 | 1,962 | 1,946 | 1,973 | 1,926 | 1,935 | 1,955 | 1,960 | 1,975 | 1,998 | 2,029 | 2,036 |
| | 159.0 | 3.9 | 3.1 | 2.7 | 2.2 | 1.8 | 1.6 | 1.3 | 1.1 | 0.9 | 0.8 | 0.6 |
| | 8.00% | 0.20% | 0.16% | 0.13% | 0.11% | 0.09% | 0.08% | 0.07% | 0.05% | 0.05% | 0.04% | 0.03% |

注)上段は基準解、中段は基準解からの乖離額、下段は乖離率

(4) その他の県の公共投資増加

表 5-12 から表 5-17 は、兵庫県から福井県までそれぞれの県の公共投資を 1 兆円増加させたケースの影響を示したものである。大阪のケースとの相違を挙げると、例えば、GRP が 2011 年までに基準解を下回るのは大阪のケースと兵庫のケースであり、他府県は基準解を下回ることはない。これは、京都府、和歌山県、滋賀県、福井県は民間最終消費の増加が大阪に比べて緩やかに減衰するためである。また、京都府、奈良県、和歌山県、滋賀県、福井県は三次産業の設備投資の増加が 2011 年まで減少に転じることなく推移している。

大阪と兵庫を比べると、兵庫のほうが自県の民間最終消費に与える影響が大きい。初年度の増加額は大阪のケースが 269 億円であるのに対し、兵庫の場合は 747 億円である。これは、短期の消費の所得弾力性が 0.5368 と大きいことによる。

上の比較からも分かるように、各県に対して同じショックを与えた場合でも、その波及の大きさと経年変化のあり方は、個々の構造方程式のパラメーターに依存する。各県間のパラメーターの相違が経済構造の相違を反映したものであれば、県ごとに異なるシミュレーションの結果は、構造の違いを忠実に描写したものとして肯定的に評価することができる。しかしながら、一部については、多少疑問を覚えるような結果が示されていることも認めざるを得ない。

具体的に、われわれが問題と考えるのは、公債発行額である。大阪で 1 兆円の公共投資を行った場合、大阪の公債発行額は初年度に約 661 億円増加している。4 章の 4-3-29 で示すように、公債発行額は、貯蓄と投資の差分(貯蓄投資差額)により決定される。貯蓄と投資は、県民経済計算ベースであり、これらは大阪府下の自治体と国の出先機関の合計である。一方、公債発行額は大阪府下の自治体に関するものであるから、貯蓄投資差額の増加の全てが大阪府下の自治体の公債発行に結びつくわけではない。(大阪府の場合、4-3-29 から貯蓄投資差額の増加の約 46%が大阪府下の自治体の負債となる。)問題なのは、この貯蓄投資差額のパラメーターが、県によっては著しく低い値をとっていることである。最たるもののが滋賀県であり、そのパラメーターは、0.068 となっており、有意性も低い。これが為に、滋賀県の公共投資を 1 兆円増加させた場合の同県の公債発行額の増加はわずか 6,500 万円に留まっている。これはあまりに小さすぎる変化であると思われる¹⁴。

以上のように、それぞれの県への公共投資増加のケースでみると、一部の県で問題と思われる動きをとる変数も存在する。しかしながら、一方で全体としては、(3)でまとめた特徴は概ね他の府県にも当てはまるとも言えよう。

¹⁴ この点は、今後検討すべき課題である。パラメーターが何故そのような小さな値になったのか、様々な観点から検討する必要がある。データの不足が原因でパラメータが正しく推計されていない可能性や、そもそも SNA の公共投資に占める国の支出が県により大きく異なる可能性もある。後者の可能性については、県民経済計算におけるデータの推計方法にまで遡って精査する必要があると考える。

(5) 累積の影響

最後に、域内総生産と地方債発行額について、2011年までの累積の影響をみていく。表5-18の上段は、関西域内総生産の2000年から2011年までの増減額を累積したものである。表の列は、表5-11から5-17までに示した各府県による公共投資増加のケースをあらわす。表の1行目は関西域内総生産の増加額の累積、2行目と3行目はその内訳を自県と他県に分けて示したものである。4行目の乖離率は、乖離額の累積を同期間内の域内総生産の平均値で除したものである。

各府県で1兆円の公共投資を行った場合に、最も関西域内総生産の増加額が大きいのは大阪府の場合で、7,943億円である。一方、最も関西域内総生産の増加額が小さいのは滋賀県で4,650億円である。また、和歌山県で1兆円の公共投資を行うと、関西域内総生産の増加幅は7,533億円と大阪府に次ぐ増加額であるが、和歌山の県内総生産の増加は502億円にとどまる。

また、地方債の発行残高は、全ての府県で関西地域の残高合計が自県の内訳額を下回る。公共投資を行うための地方債調達は自県で行われるため、自県の残高は確実に増加する。一方、他県にとっては、生産波及による所得、需要の増加が税収を増やすため、地方債発行額が減少する。なお、公共投資を実施する地域により公債発行額、さらには公債発行残高が大きく異なることは先述したとおりで、改めて精査すべき問題である。

表5-18 累積の効果

(単位：10億円)

| | 大阪 | 兵庫 | 京都 | 奈良 | 和歌山 | 滋賀 | 福井 |
|-----------|-------|-------|-------|-------|-------|-------|-------|
| 関西域内総生産 | 794.3 | 606.1 | 636.3 | 612.1 | 753.3 | 465.0 | 635.1 |
| うち自県 | 662.2 | 102.4 | 89.3 | 102.8 | 50.2 | 104.7 | 98.7 |
| うち他県 | 132.1 | 503.7 | 547.0 | 509.3 | 703.2 | 360.3 | 536.4 |
| 乖離率 | 0.90% | 0.69% | 0.72% | 0.69% | 0.85% | 0.53% | 0.72% |
| 関西地方債発行残高 | 807.8 | 738.8 | 370.1 | 620.2 | 219.8 | 56.9 | 408.5 |
| うち自県 | 826.3 | 769.7 | 402.7 | 658.2 | 237.8 | 95.2 | 440.4 |
| うち他県 | -18.5 | -31.0 | -32.6 | -38.0 | -18.0 | -38.4 | -32.0 |
| 乖離率 | 2.58% | 2.36% | 1.18% | 1.98% | 0.70% | 0.18% | 1.30% |

第6章 シミュレーション：大阪湾岸大型設備投資

関西社会経済研究所は、2008年7月「大阪湾岸大型設備投資の経済効果」と題して、大阪湾岸地域で進行中の大型設備投資プロジェクトの経済波及効果の試算を公表し、大きな反響をよびおこした。これは、当研究所が開発した関西地域間産業連関表(100部門×7地域)を用いて関西2府5県における生産額・粗付加価値(GRP)の拡大効果を計測したものであり、その計算は、標準的な産業連関分析の手法に則って行われた。

いわゆる波及効果の計測を行う上で、産業連関表および産業連関分析の手法は、便利かつ強力なツールであることは間違いない。しかし産業連関分析には、その簡便さゆえの短所なり問題があることにも注意しなければならない。最もよく知られた問題としては、①産業連関分析では数量と価格が独立に決定されるという性質がある。産業連関分析の弱点ともいるべき特徴は、他にも指摘することができる。いくつか例を挙げてみよう。②産業連関分析から計測される効果は、最終需要の変化に対する全ての調整が完了した後のものであり、その調整過程は明らかにされることがない。すなわち、いわゆる動学分析を行うことはできない。③産業連関分析は、最終需要から生産の誘発まで、その波及の経路が一方通行である「オープン・モデル」であり、生産の誘発がさらに経済の他の側面に波及する経路は構築されない。④前に述べたことと重複するが、産業連関分析で計測の俎上に乗せることができるのは生産額、粗付加価値額、移輸入額、雇用といった変数に限られており、その他の広範囲な経済変数への影響を捉えることはできない。実際には、様々な工夫や拡張を行うことで、③や④の問題を緩和することは不可能ではない。当研究所の試算においても、例えば「二次波及効果」を計測することで、生産の増加がさらに消費を誘発するチャネルを築いている。しかしこれらは、どちらかと言えば部分的な対処であり、通常の意味での産業連関分析に依存する限り、上に挙げた問題点を克服することは難しい。

本章では、上記のような産業連関分析の弱点、具体的には②、③、④の問題を補完する目的の下に、マクロ計量モデルによる「大阪湾岸大型設備投資の経済効果」を計測することとする。ただし、2008年7月に発表した関西地域間産業連関表による分析では、「初期投資額の増加」と「製品出荷額の増加」の二つの効果について計測を行ったが、本章のシミュレーションでは、前者の「初期投資額の増加」の効果のみを取り扱う¹⁵。

¹⁵ シミュレーションは、定数項を修正することにより行われるが、製造品出荷額の場合、この修正作業が複雑となることから、今回の報告書では実施を見送った。この点は、今後の検討課題として取り組んでいただきたい。

6-1 投資スケジュールの想定と前提条件

今回、対象とした設備投資は大阪湾岸に立地する4つの大きな工場の設備投資である。大阪府堺市に立地するシャープの液晶パネル工場、兵庫県尼崎市に立地するパナソニックのプラズマパネル第3・4・5工場、兵庫県姫路市に立地するIPSアルファテクノロジの液晶パネル工場、和歌山県和歌山市に立地する住友金属の製鉄所の高炉更新である。これらはいわゆる四大プロジェクトとも呼ばれる。

2008年6月現在¹⁶の設備投資の規模とスケジュールは表6-1に示す。これを基に、シミュレーションでは、表6-2のような工事期間を想定した。さらに、工事期間中の支出は均等に行われると仮定した上で、第二次産業による民間企業投資設備の増加額を表6-3に示す各年度に配分した。

表6-1 四大プロジェクトの設備投資額とスケジュール（2008年6月現在）

| | シャープ 堺 | IPS アルフ アテクノロ ジ姫路 | パナソニック尼崎 (第3・4・5工場) | 住友金属和歌山 |
|------------|-------------------------|-------------------------|--|----------------------------------|
| 計画公表 時期 | 2007年 7月 | 2008年 2月 | 第5工場 2008年1月 | 新第1高炉 2006年11月 新第2高炉 2007年10月 |
| 着工時期 | 2007年 12月 | 2008年 7月 | 第3工場 2004年9月 第4工場 2006年5月 第5工場 2007年11月 | 新第1高炉 2006年11月 新第2高炉 2008年 |
| 完工時期 | 2009年 下期 | 2009年 下期 | 第3工場 2005年9月 第4工場 2007年6月 第5工場 2009年5月 | 新第1高炉 2009年5月 新第2高炉 2012年 |
| フル稼働時 | 2010年 | 2013年 | 第3工場 2006年6月 第4工場 2008年 | 新第1高炉 2012年 新第2高炉 2013年 |
| 投資額 | 3800億円 太陽電池 720億円 | 3000億円 | 第3工場 950億円 第4工場 1800億円 第5工場 2800億円 計 5500億円 | 新第2高炉 900億円 計 2500億円 |

¹⁶ 2008年下半期の景気悪化により、今回取り上げた設備投資は実施時期が延期されているものある。

表 6-2 シミュレーションにおける工事期間の想定

| プロジェクト | | 工事開始～工事終了 | 工事期間 |
|-----------------|---------|-----------------------------|--------|
| シャープ堺 | | 2007 年第 4 四半期～2009 年第 3 四半期 | 8 四半期 |
| IPS アルファテクノロジ姫路 | | 2008 年第 3 四半期～2009 年第 4 四半期 | 6 四半期 |
| パナソニック 尼崎 | 第 3 工場 | 2004 年第 3 四半期～2005 年第 3 四半期 | 4 四半期 |
| | 第 4 工場 | 2006 年第 2 四半期～2007 年第 2 四半期 | 5 四半期 |
| | 第 5 工場 | 2007 年第 4 四半期～2009 年第 2 四半期 | 7 四半期 |
| 住友金属和歌山 | 新第 1 高炉 | 2006 年第 4 四半期～2009 年第 1 四半期 | 10 四半期 |
| | 新第 2 高炉 | 2008 年第 4 四半期～2012 年第 1 四半期 | 14 四半期 |

表 6-3 プロジェクト別設備投資の増加額の想定

単位：100 万円

| 年度 | シャープ 堺 | IPS アル ファテク ノロジ 姫路 | パナソニック尼崎(第 3・4・5 工場) | | | 住友金属和歌山(第 1・第 2 高炉) | | |
|------|-----------|-----------------------------|----------------------|--------|---------|---------------------|---------|---------|
| | | | 計 | 第 3 | 第 4 | 第 5 | 計 | 第 1 |
| 2004 | | | 47,500 | 47,500 | | | | |
| 2005 | | | 47,500 | 47,500 | | | | |
| 2006 | | | 144,000 | | 144,000 | | | 18,000 |
| 2007 | 95,000 | | 116,000 | | 36,000 | 80,000 | 36,000 | 36,000 |
| 2008 | 190,000 | 150,000 | 160,000 | | | 160,000 | 58,857 | 36,000 |
| 2009 | 95,000 | 150,000 | 40,000 | | | 40,000 | 45,714 | |
| 2010 | | | | | | | 45,714 | 45,714 |
| 2011 | | | | | | | 45,714 | |
| 計 | 380,000 | 300,000 | 555,000 | 95,000 | 180,000 | 280,000 | 232,000 | 90,000 |
| | | | | | | | | 160,000 |

シミュレーションでは、大阪(シャープ堺)、兵庫(IPSアルファテクノロジ姫路およびパナソニック尼崎)、和歌山(住金和歌山)の第二次産業による設備投資額を表 6-3 の額だけ増加させ¹⁷、そこから得られた内生変数の解をシミュレーション解として、基準解との比較をおこなっている。シミュレーションの期間は、2004 年度から 2015 年度までとした。

標本期間外となる 2005 年度以降の外生変数については、一部の変数について表 6-4 のような形で設定をおこない、他の変数については、タイムトレンドを除いて 2004 年度の値に

¹⁷ いわゆる定数項修正による。

等しいものとした¹⁸。

表 6-4 標本期間外(2005 年度～2015 年度)の主要外生変数の設定

| 外生変数 | 設定 |
|----------------|---|
| 65 歳以上人口 | 国立社会保障・人口問題研究所「都道府県別将来推計人口」 |
| 消費税率 | 2010 年度まで現状維持の 5%、2011 年以降 8%と想定 |
| 社会保険料率(厚生保険料率) | 現行の(引上げ)タイムスケジュールに従う |
| 国債利回り | 2011 年度までは当研究所の四半期経済予測の値を採用、 2012 年度以降は、2011 年度の値で固定 |
| 為替レート | 同上 |
| 各種最終需要デフレーター | 同上 |

本章での目的は、四大プロジェクトによる経済効果の計測、言い換えれば、シミュレーション解と基準解の乖離を計測することにあり、予測そのものが目的ではないことを付記しておく。

なお表 6-3 のプロジェクトのうち、パナソニック尼崎第 3 工場は 2004 年に着工されているため、(本モデルの標本期間に内にある)2004 年度分の投資支出は、実際のデータに既に反映されている。したがって、2004 度の投資額を改めて増加させるのは、投資額を二重に計上することになるが、上で記したようにここでの主たる関心は四大プロジェクトによる内生変数の変化にあることから、この不整合は無視することとした。

6-2 シミュレーション結果

以下では、シミュレーションの結果を GRP と雇用、および財政について焦点をあててみていくこととする。

(1) GRP と雇用への影響

表 6-5 は、GRP に関する結果を示したものである。前章の乗数テストと同様に、各変数の上段が基準解、中段が基準解とシミュレーション解の乖離(四大プロジェクトによる増減額)、下段が乖離率(中段 ÷ 上段)を示している。最右列は、上段が基準解の平均、中段が乖離の累積額、下段が累積の乖離率(中段 ÷ 上段)である。

¹⁸ 今回は時間的制約から簡便な設定に留めているが、本来的には、よりきめ細かな検討のもとで外生変数を設定するべきであろう。

表 6-5 GRP の変化

| | 単位:10億円 | | | | | | | | | | | | | 2004-2015 |
|---------|---------|--------|--------|--------|--------|--------|--------|--------|--------|--------|--------|--------|--|-----------|
| | 2004 | 2005 | 2006 | 2007 | 2008 | 2009 | 2010 | 2011 | 2012 | 2013 | 2014 | 2015 | | |
| OSA_GDP | 40,529 | 40,864 | 41,027 | 41,114 | 41,208 | 41,099 | 40,993 | 41,012 | 41,006 | 40,998 | 40,986 | 40,970 | | 40,984 |
| | 6.9 | 7.3 | 21.7 | 96.6 | 199.7 | 102.4 | ▲ 0.6 | ▲ 2.5 | ▲ 8.4 | ▲ 8.8 | ▲ 8.7 | ▲ 8.5 | | 397.0 |
| | 0.02% | 0.02% | 0.05% | 0.23% | 0.48% | 0.25% | 0.00% | -0.01% | -0.02% | -0.02% | -0.02% | -0.02% | | 0.97% |
| HYO_GDP | 20,129 | 20,347 | 20,558 | 20,704 | 20,783 | 20,827 | 20,889 | 20,983 | 21,056 | 21,126 | 21,195 | 21,263 | | 20,822 |
| | 25.7 | 26.5 | 79.5 | 73.0 | 185.5 | 116.1 | 3.7 | ▲ 2.3 | ▲ 6.5 | ▲ 7.6 | ▲ 7.8 | ▲ 7.7 | | 478.0 |
| | 0.13% | 0.13% | 0.39% | 0.35% | 0.89% | 0.56% | 0.02% | -0.01% | -0.03% | -0.04% | -0.04% | -0.04% | | 2.30% |
| KYO_GDP | 10,301 | 10,375 | 10,435 | 10,476 | 10,505 | 10,512 | 10,516 | 10,536 | 10,548 | 10,560 | 10,571 | 10,580 | | 10,493 |
| | 0.6 | 0.7 | 2.1 | 4.4 | 9.6 | 5.8 | 1.0 | 0.7 | 0.0 | ▲ 0.1 | ▲ 0.2 | ▲ 0.2 | | 24.3 |
| | 0.01% | 0.01% | 0.02% | 0.04% | 0.09% | 0.06% | 0.01% | 0.01% | 0.00% | 0.00% | 0.00% | 0.00% | | 0.23% |
| NRA_GDP | 3,971 | 3,990 | 3,975 | 4,019 | 4,021 | 4,031 | 4,045 | 4,059 | 4,071 | 4,083 | 4,095 | 4,106 | | 4,039 |
| | 0.2 | 0.3 | 0.7 | 2.3 | 4.8 | 2.7 | 0.2 | 0.0 | ▲ 0.2 | ▲ 0.2 | ▲ 0.2 | ▲ 0.2 | | 10.4 |
| | 0.01% | 0.01% | 0.02% | 0.06% | 0.12% | 0.07% | 0.00% | 0.00% | 0.00% | -0.01% | -0.01% | -0.01% | | 0.26% |
| WAK_GDP | 3,512 | 3,529 | 3,545 | 3,553 | 3,559 | 3,560 | 3,560 | 3,563 | 3,564 | 3,564 | 3,564 | 3,565 | | 3,553 |
| | 0.3 | 0.3 | 0.8 | 17.4 | 29.7 | 22.7 | 20.9 | 20.9 | 0.8 | 0.6 | 0.4 | 0.3 | | 114.9 |
| | 0.01% | 0.01% | 0.02% | 0.49% | 0.83% | 0.64% | 0.59% | 0.59% | 0.02% | 0.02% | 0.01% | 0.01% | | 3.23% |
| SGA_GDP | 5,966 | 6,028 | 6,085 | 6,130 | 6,161 | 6,175 | 6,188 | 6,209 | 6,224 | 6,239 | 6,254 | 6,270 | | 6,161 |
| | 0.5 | 0.5 | 1.5 | 2.8 | 6.2 | 3.7 | 0.5 | 0.3 | ▲ 0.1 | ▲ 0.1 | ▲ 0.2 | ▲ 0.2 | | 15.6 |
| | 0.01% | 0.01% | 0.03% | 0.05% | 0.10% | 0.06% | 0.01% | 0.01% | 0.00% | 0.00% | 0.00% | 0.00% | | 0.25% |
| FKI_GDP | 3,396 | 3,422 | 3,444 | 3,461 | 3,474 | 3,479 | 3,486 | 3,496 | 3,503 | 3,509 | 3,515 | 3,520 | | 3,475 |
| | 0.3 | 0.3 | 1.0 | 1.8 | 3.9 | 2.4 | 0.5 | 0.4 | 0.1 | 0.0 | ▲ 0.0 | ▲ 0.0 | | 10.6 |
| | 0.01% | 0.01% | 0.03% | 0.05% | 0.11% | 0.07% | 0.01% | 0.01% | 0.00% | 0.00% | 0.00% | 0.00% | | 0.30% |
| KIN_GDP | 87,803 | 88,554 | 89,069 | 89,457 | 89,711 | 89,682 | 89,677 | 89,857 | 89,972 | 90,080 | 90,180 | 90,274 | | 89,526 |
| | 34.4 | 35.9 | 107.2 | 198.3 | 439.3 | 255.8 | 26.0 | 17.5 | ▲ 14.3 | ▲ 16.2 | ▲ 16.7 | ▲ 16.5 | | 1,050.8 |
| | 0.04% | 0.04% | 0.12% | 0.22% | 0.49% | 0.29% | 0.03% | 0.02% | -0.02% | -0.02% | -0.02% | -0.02% | | 1.17% |

表の上段は基準解、中段は基準解からの乖離(基準解 - シミュレーション解)、下段は乖離率

はじめに、2005 年度までの累積の効果をみてみよう。表 6-5 の最右列より、累積でみた GRP は全ての県で増加していることが分かる。その増加額を大きい順に並べると、兵庫の 4,780 億円を筆頭に、以下、大阪(3,970 億円)、和歌山(1,149 億円)、京都(243 億円)、滋賀(156 億円)、福井(106 億円)、奈良(104 億円)の順となっており、関西全体では 1 兆 508 億円の増加となっている。当然のことながら、四大プロジェクトの実施地域である兵庫、大阪、和歌山における GRP 増加の効果は、桁違いに大きい。

さて、ここで関西地域間産業連関表より計測したGRP増加の効果と上記の結果を比較することは興味深い。両者は、厳密には同じ土俵の上で比較できるものではないが、第一次近似として比較をおこなうことは意味があると考えられる¹⁹。

表 6-6 は、両者の計測結果をまとめたものである。

¹⁹具体的には、両者の数値は次の点で異なる。地域間産業連関表による GRP は、粗付加価値の合計として定義されている。これに対して、マクロモデルの GRP は最終需要項目の合計として定義されている。今回われわれが開発したマクロモデルでは、付加価値額は明示的には決定されない。また、マクロモデルの GRP は実質値で評価されているのに対して、地域間産業連関表によるそれは時間の概念が存在しないため、実質・名目の区別は存在しない。

表 6-6 関西マクロモデルと関西地域間産業連関表による GRP 増加額の比較

単位：10 億円

| | 大阪 | 兵庫 | 京都 | 奈良 | 和歌山 | 滋賀 | 福井 | 関西計 |
|----------------|-------|-------|------|------|-------|------|------|---------|
| マクロモデルによる計測 | 397.0 | 478.0 | 24.3 | 10.4 | 114.9 | 15.6 | 10.6 | 1,050.8 |
| 関西地域間 IO による計測 | 335.3 | 280.1 | 21.2 | 7.7 | 91.5 | 11.0 | 8.2 | 755.0 |
| 差分 | 61.7 | 197.9 | 3.1 | 2.7 | 23.4 | 4.6 | 2.4 | 295.8 |

表 6-6 より両者の計測結果を比較すると、いずれの県においても、本マクロモデルの方が、GRP の増加効果は大きく計測されている。これは、産業連関表による分析では、レオンチエフ逆行列を介した中間財への生産誘発と、いわゆる二次波及と呼ばれる(生産誘発の第 1 段階での所得増加が引き起こす)消費増加による生産誘発のみが計測されているのに対し、本モデルでは、住宅投資、設備投資などより多くの内生変数で乗数効果が働くことによるものである。

各県への GRP 増加額の相対的大きさ(GRP 増加額の順位)は、マクロモデルと関西地域間産業連関表でほぼ同じ順位を示している。例外は大阪府と兵庫県であり、関西地域間産業連関表による計測では大阪府の GRP 増加額が 3,353 億円、兵庫県が 2801 億円と大阪府の方が大きいのに対して、マクロモデルでは、大阪府が 3970 億円、兵庫県が 4780 億円とその順位は逆転している。

GRP 増加の経年変化に注目すると、前章における公共投資増加のシミュレーションでみたのと同じ傾向が観察される。すなわち、設備投資実施年において GRP は大きく増加するものの、設備投資実施後は GRP は減少する傾向にある。

次に、雇用への影響を見てみよう。表 6-12 と表 6-13 は、それぞれ第二次産業と第三次産業の就業者数への影響を示したものである。関西全体でみると、第二次産業については、そのピーク時の 2008 年度には 1 万 4200 人の増加となっている。第三次産業では、増加のピークは同じく 2008 年度であり、その大きさは 2 万 8800 人である。二次産業よりも三次産業において就業者の増加数が大きくなっている。

経年変化については、GRP とよく似た動きを示しており、設備投資終了後は、雇用者数は減少する傾向がみてとれる。

表 6-7 民間最終消費支出の変化

| | 単位:10億円 | | | | | | | | | | | | | 2004-2015 |
|--------|------------------------|------------------------|-------------------------|-------------------------|-------------------------|-------------------------|-------------------------|-------------------------|-------------------------|--------------------------|---------------------------|---------------------------|--------------------------|-----------|
| | 2004 | 2005 | 2006 | 2007 | 2008 | 2009 | 2010 | 2011 | 2012 | 2013 | 2014 | 2015 | | |
| OSA_CP | 19,906 0.3 0.00% | 19,846 0.5 0.00% | 19,819 1.3 0.01% | 19,801 4.4 0.02% | 19,780 10.6 0.05% | 19,762 12.0 0.06% | 19,750 9.5 0.05% | 19,738 7.5 0.04% | 19,725 5.7 0.03% | 19,710 4.2 0.02% | 19,690 3.0 0.02% | 19,664 2.1 0.01% | 19,766 61.0 0.31% | |
| HYO_CP | 11,050 4.5 0.04% | 11,167 6.6 0.06% | 11,329 17.1 0.15% | 11,459 20.6 0.18% | 11,518 42.2 0.37% | 11,610 39.3 0.34% | 11,748 18.0 0.15% | 11,871 7.5 0.06% | 11,985 2.1 0.02% | 12,095 ▲ 0.4 0.00% | 12,203 ▲ 1.6 -0.01% | 12,311 ▲ 2.1 -0.02% | 11,696 153.8 1.32% | |
| KYO_CP | 5,118 0.0 0.00% | 5,146 0.0 0.00% | 5,175 0.1 0.00% | 5,202 0.2 0.00% | 5,226 0.4 0.01% | 5,248 0.5 0.01% | 5,268 0.5 0.01% | 5,287 0.4 0.01% | 5,305 0.4 0.01% | 5,321 0.3 0.01% | 5,336 0.3 0.01% | 5,350 0.3 0.01% | 5,248 3.5 0.07% | |
| NRA_CP | 2,700 0.1 0.00% | 2,709 0.1 0.01% | 2,720 0.2 0.03% | 2,734 0.7 0.06% | 2,740 1.5 0.04% | 2,766 1.1 0.04% | 2,799 0.2 0.01% | 2,824 0.0 0.00% | 2,848 ▲ 0.1 0.00% | 2,871 ▲ 0.1 0.00% | 2,894 ▲ 0.1 0.00% | 2,918 ▲ 0.1 0.00% | 2,794 3.7 0.13% | |
| WAK_CP | 1,844 0.0 0.00% | 1,852 0.0 0.00% | 1,862 0.0 0.00% | 1,869 0.8 0.04% | 1,874 1.9 0.10% | 1,878 2.4 0.13% | 1,881 2.8 0.15% | 1,883 3.1 0.16% | 1,884 2.4 0.13% | 1,884 1.8 0.10% | 1,884 1.4 0.08% | 1,883 1.1 0.06% | 1,873 17.8 0.95% | |
| SGA_CP | 2,678 0.0 0.00% | 2,689 0.0 0.00% | 2,710 0.1 0.00% | 2,734 0.2 0.01% | 2,756 0.3 0.01% | 2,781 0.4 0.01% | 2,807 0.3 0.01% | 2,834 0.3 0.01% | 2,861 0.2 0.01% | 2,888 0.2 0.01% | 2,915 0.2 0.01% | 2,943 0.1 0.00% | 2,800 2.4 0.08% | |
| FKI_CP | 1,685 0.0 0.00% | 1,696 0.0 0.00% | 1,709 0.1 0.00% | 1,721 0.2 0.01% | 1,731 0.4 0.02% | 1,742 0.4 0.02% | 1,756 0.3 0.02% | 1,767 0.3 0.02% | 1,778 0.2 0.02% | 1,787 0.2 0.02% | 1,796 0.2 0.01% | 1,803 0.1 0.01% | 1,748 2.6 0.15% | |
| KIN_CP | 44,981 4.9 0.01% | 45,105 7.3 0.02% | 45,324 18.9 0.04% | 45,521 27.1 0.06% | 45,626 57.2 0.13% | 45,788 56.1 0.12% | 46,009 31.7 0.07% | 46,205 19.2 0.04% | 46,385 11.0 0.04% | 46,555 6.3 0.02% | 46,717 3.4 0.01% | 46,872 1.6 0.01% | 45,924 244.7 0.53% | |

表の上段は基準解、中段は基準解からの乖離(基準解 - シミュレーション解)、下段は乖離率

表 6-8 民間住宅投資の変化

| | 単位:10億円 | | | | | | | | | | | | | 2004-2015 |
|---------|-----------------------|-----------------------|-----------------------|-----------------------|------------------------|------------------------|--------------------------|--------------------------|------------------------|--------------------------|--------------------------|--------------------------|------------------------|-----------|
| | 2004 | 2005 | 2006 | 2007 | 2008 | 2009 | 2010 | 2011 | 2012 | 2013 | 2014 | 2015 | | |
| OSAIPH | 1,208 0.3 0.03% | 1,222 0.3 0.03% | 1,218 1.0 0.09% | 1,163 4.0 0.34% | 1,136 8.0 0.36% | 1,090 3.9 0.36% | 1,010 ▲ 0.1 -0.01% | 1,005 ▲ 0.1 -0.01% | 997 ▲ 0.4 -0.04% | 989 ▲ 0.4 -0.04% | 978 ▲ 0.4 -0.04% | 965 ▲ 0.3 -0.04% | 1,082 16.0 1.48% | |
| HYOIPH | 758 1.5 0.19% | 759 1.5 0.20% | 759 4.5 0.59% | 716 3.8 0.53% | 692 9.4 1.36% | 666 5.5 0.82% | 619 -0.03 -0.03% | 627 -0.09 -0.09% | 633 -0.12 -0.12% | 640 -0.13 -0.13% | 647 -0.13 -0.13% | 653 -0.12 -0.12% | 681 22.3 3.27% | |
| KYIIPH | 336 0.0 0.01% | 333 0.0 0.01% | 327 0.1 0.01% | 309 0.2 0.03% | 297 0.4 0.07% | 283 0.3 0.15% | 266 0.0 0.09% | 265 0.0 0.01% | 264 0.0 0.01% | 263 0.0 0.00% | 261 0.0 -0.01% | 260 0.0 -0.01% | 289 1.1 0.37% | |
| NRAIPH | 166 0.0 0.00% | 162 0.0 0.00% | 165 0.0 0.01% | 158 0.1 0.03% | 154 0.1 0.03% | 153 0.1 0.03% | 153 0.1 0.03% | 153 0.1 0.03% | 152 0.0 0.00% | 152 0.0 -0.01% | 151 0.0 -0.01% | 151 0.0 0.00% | 156 0.2 0.13% | |
| WAKIPH | 111 0.0 0.01% | 110 0.0 0.01% | 109 0.5 0.02% | 102 0.5 0.47% | 99 0.8 0.79% | 97 0.6 0.61% | 96 0.5 0.56% | 94 0.5 0.56% | 93 0.0 0.00% | 92 ▲ 0.0 -0.01% | 91 ▲ 0.0 -0.02% | 90 ▲ 0.0 -0.03% | 99 2.9 2.94% | |
| SGAIIPH | 209 0.0 0.01% | 207 0.0 0.01% | 208 0.0 0.02% | 201 0.1 0.04% | 198 0.2 0.08% | 194 0.1 0.05% | 185 0.0 0.00% | 187 0.0 0.00% | 189 ▲ 0.0 0.00% | 190 ▲ 0.0 0.00% | 192 ▲ 0.0 0.00% | 194 0.0 0.00% | 196 0.4 0.19% | |
| FKIIPH | 116 0.0 0.01% | 116 0.0 0.01% | 115 0.0 0.03% | 110 0.1 0.05% | 108 0.1 0.10% | 105 0.0 0.06% | 99 0.0 0.01% | 98 0.0 0.00% | 97 ▲ 0.0 0.00% | 97 ▲ 0.0 0.00% | 96 ▲ 0.0 -0.01% | 95 ▲ 0.0 -0.01% | 104 0.3 0.26% | |
| KINIPH | 2,904 1.9 0.06% | 2,908 1.9 0.07% | 2,900 5.8 0.20% | 2,760 8.7 0.31% | 2,684 19.0 0.71% | 2,588 10.4 0.40% | 2,428 0.3 0.01% | 2,429 0.0 0.01% | 2,426 0.0 0.00% | 2,422 ▲ 1.1 -0.05% | 2,416 ▲ 1.2 -0.05% | 2,408 ▲ 1.2 -0.05% | 2,606 43.0 1.65% | |

表の上段は基準解、中段は基準解からの乖離(基準解 - シミュレーション解)、下段は乖離率

表 6-9 民間企業設備投資(二次産業)の変化

| | 単位:10億円 | | | | | | | | | | | | 2004-2015 |
|----------|------------------------|------------------------|--------------------------|-------------------------|--------------------------|--------------------------|---------------------------|---------------------------|---------------------------|---------------------------|---------------------------|---------------------------|----------------------------|
| | 2004 | 2005 | 2006 | 2007 | 2008 | 2009 | 2010 | 2011 | 2012 | 2013 | 2014 | 2015 | |
| OSA_IPF2 | 1,261 0.4 0.03% | 1,532 0.5 0.03% | 1,568 1.5 0.10% | 1,567 101.6 6.48% | 1,661 199.1 11.99% | 1,547 87.7 5.67% | 1,447 ▲ 16.3 -1.13% | 1,443 ▲ 14.7 -1.02% | 1,437 ▲ 13.5 -0.94% | 1,433 ▲ 12.1 -0.84% | 1,428 ▲ 10.8 -0.76% | 1,424 ▲ 9.7 -0.68% | 1,479 313.7 21.21% |
| HYO_IPF2 | 1,174 49.5 4.22% | 1,206 48.4 4.02% | 1,226 148.1 12.08% | 1,238 116.5 9.41% | 1,248 317.4 25.44% | 1,244 184.7 14.84% | 1,241 ▲ 17.6 -1.42% | 1,246 ▲ 16.6 -1.33% | 1,248 ▲ 15.6 -1.25% | 1,250 ▲ 14.4 -1.16% | 1,253 ▲ 13.4 -1.07% | 1,255 ▲ 12.3 -0.98% | 1,236 774.7 62.70% |
| KYO_IPF2 | 382 0.1 0.02% | 395 0.1 0.02% | 399 0.2 0.05% | 401 0.5 0.11% | 404 1.0 0.25% | 399 0.5 0.13% | 395 0.00% -0.01% | 395 ▲ 0.0 -0.02% | 394 ▲ 0.1 -0.02% | 394 ▲ 0.1 -0.02% | 393 ▲ 0.1 -0.02% | 392 1.9 0.49% | 395 1.9 0.49% |
| NRA_IPF2 | 157 0.0 0.01% | 167 0.0 0.01% | 84 0.0 0.04% | 177 0.2 0.13% | 168 0.5 0.27% | 167 0.2 0.14% | 167 0.00% -0.01% | 167 ▲ 0.0 -0.01% | 168 ▲ 0.0 -0.01% | 168 ▲ 0.0 -0.01% | 168 ▲ 0.0 -0.01% | 168 0.9 0.57% | 160 0.9 0.57% |
| WAK_IPF2 | 147 0.0 0.01% | 146 0.0 0.01% | 149 0.0 0.03% | 150 36.8 24.52% | 150 60.2 40.09% | 150 46.7 31.12% | 150 46.6 31.06% | 150 46.6 31.03% | 150 0.0 0.01% | 150 0.0 0.01% | 150 0.0 0.00% | 150 0.0 0.00% | 150 237.2 158.54% |
| SGA_IPF2 | 445 0.1 0.02% | 458 0.1 0.02% | 464 0.2 0.05% | 467 0.4 0.09% | 469 0.9 0.19% | 465 0.5 0.10% | 460 ▲ 0.0 -0.01% | 460 ▲ 0.0 -0.01% | 459 ▲ 0.1 -0.02% | 457 ▲ 0.1 -0.02% | 456 ▲ 0.1 -0.02% | 455 1.8 0.38% | 460 1.8 0.38% |
| FKI_IPF2 | 148 0.0 0.01% | 161 0.0 0.01% | 164 0.1 0.03% | 165 0.1 0.06% | 169 0.2 0.13% | 165 0.1 0.07% | 161 0.00% -0.01% | 161 ▲ 0.0 -0.01% | 160 ▲ 0.0 -0.01% | 160 ▲ 0.0 -0.01% | 160 ▲ 0.0 -0.01% | 160 0.4 0.28% | 161 0.4 0.28% |
| KIN_IPF2 | 3,714 50.1 1.35% | 4,065 49.1 1.21% | 4,055 150.1 3.70% | 4,165 256.1 6.15% | 4,270 579.3 13.57% | 4,137 320.5 7.75% | 4,020 12.7 0.32% | 4,021 15.4 0.38% | 4,016 ▲ 29.3 -0.73% | 4,012 ▲ 26.7 -0.73% | 4,008 ▲ 24.4 -0.67% | 4,005 ▲ 22.2 -0.61% | 4,041 1,330.6 32.93% |

表の上段は基準解、中段は基準解からの乖離(基準解 - シミュレーション解)、下段は乖離率

表 6-10 民間企業設備投資(三次産業)の変化

| | 単位:10億円 | | | | | | | | | | | | 2004-2015 |
|----------|-----------------------|------------------------|------------------------|------------------------|-------------------------|------------------------|--------------------------|--------------------------|--------------------------|--------------------------|--------------------------|--------------------------|-------------------------|
| | 2004 | 2005 | 2006 | 2007 | 2008 | 2009 | 2010 | 2011 | 2012 | 2013 | 2014 | 2015 | |
| OSA_IPF3 | 4,124 2.8 0.07% | 4,177 2.9 0.07% | 4,180 8.6 0.21% | 4,169 33.1 0.79% | 4,159 68.5 1.65% | 4,092 32.5 0.79% | 4,035 ▲ 3.8 -0.09% | 4,016 ▲ 4.3 -0.11% | 3,991 ▲ 6.3 -0.16% | 3,968 ▲ 6.1 -0.15% | 3,945 ▲ 5.8 -0.15% | 3,923 ▲ 5.4 -0.14% | 4,065 116.7 2.87% |
| HYO_IPF3 | 1,827 6.8 0.37% | 1,885 7.4 0.39% | 1,951 22.5 1.15% | 2,003 21.2 1.06% | 2,029 53.6 2.64% | 2,055 35.7 1.74% | 2,094 3.5 0.17% | 2,135 0.4 0.02% | 2,171 ▲ 2.1 -0.07% | 2,206 ▲ 2.1 -0.10% | 2,241 ▲ 2.4 -0.11% | 2,276 ▲ 2.4 -0.11% | 2,073 142.8 6.89% |
| KYO_IPF3 | 859 0.1 0.01% | 870 0.1 0.02% | 880 0.4 0.04% | 888 0.8 0.08% | 894 1.6 0.18% | 896 1.1 0.12% | 899 0.3 0.03% | 903 0.2 0.02% | 906 0.1 0.01% | 908 0.0 0.00% | 911 ▲ 0.0 0.00% | 913 ▲ 0.0 0.00% | 894 4.6 0.51% |
| NRA_IPF3 | 293 0.0 0.00% | 297 0.0 0.00% | 299 0.0 0.01% | 302 0.1 0.01% | 304 0.1 0.02% | 306 0.2 0.05% | 308 0.1 0.05% | 310 0.1 0.04% | 312 0.1 0.03% | 314 0.1 0.02% | 316 0.0 0.01% | 318 0.0 0.00% | 307 0.7 0.23% |
| WAK_IPF3 | 218 0.0 0.01% | 220 0.0 0.01% | 222 0.0 0.02% | 223 1.5 0.67% | 224 2.5 1.13% | 224 2.0 0.91% | 224 0.89 0.89% | 225 2.0 0.90% | 225 0.2 0.11% | 225 0.2 0.08% | 225 0.1 0.06% | 225 0.1 0.05% | 223 10.8 4.83% |
| SGA_IPF3 | 300 0.0 0.00% | 311 0.0 0.00% | 320 0.0 0.00% | 329 0.0 0.01% | 336 0.1 0.02% | 343 0.1 0.02% | 348 0.1 0.02% | 354 0.1 0.02% | 358 0.1 0.01% | 362 0.1 0.01% | 366 0.0 0.01% | 369 0.0 0.01% | 341 0.5 0.13% |
| FKI_IPF3 | 310 0.0 0.01% | 312 0.0 0.01% | 315 0.1 0.04% | 317 0.2 0.06% | 318 0.5 0.14% | 320 0.3 0.09% | 321 0.1 0.02% | 322 0.1 0.02% | 324 0.1 0.01% | 325 0.0 0.00% | 326 0.0 0.00% | 327 0.0 0.00% | 320 1.3 0.41% |
| KIN_IPF3 | 7,929 9.7 0.12% | 8,071 10.5 0.13% | 8,167 31.6 0.39% | 8,230 56.9 0.69% | 8,264 126.9 1.54% | 8,235 71.8 0.87% | 8,230 2.2 0.03% | 8,265 ▲ 1.5 -0.02% | 8,287 ▲ 7.3 -0.09% | 8,309 ▲ 7.9 -0.10% | 8,330 ▲ 7.9 -0.10% | 8,351 ▲ 7.7 -0.09% | 8,222 277.3 3.37% |

表の上段は基準解、中段は基準解からの乖離(基準解 - シミュレーション解)、下段は乖離率

表 6-11 輸入の変化

単位:10億円

| | 2004 | 2005 | 2006 | 2007 | 2008 | 2009 | 2010 | 2011 | 2012 | 2013 | 2014 | 2015 | 2004-2015 |
|--------|-----------------------|-----------------------|------------------------|------------------------|------------------------|------------------------|--------------------------|--------------------------|--------------------------|--------------------------|--------------------------|--------------------------|-------------------------|
| OSA_MA | 2,275 0.5 0.02% | 2,304 0.5 0.02% | 2,311 1.5 0.06% | 2,307 11.5 0.50% | 2,312 23.1 1.00% | 2,293 11.0 0.48% | 2,272 ▲ 1.0 -0.04% | 2,271 ▲ 1.0 -0.04% | 2,268 ▲ 1.3 -0.06% | 2,265 ▲ 1.3 -0.06% | 2,261 ▲ 1.2 -0.05% | 2,257 ▲ 1.2 -0.05% | 2,283 41.1 1.80% |
| HYO_MA | 2,524 7.6 0.30% | 2,557 7.7 0.30% | 2,590 23.3 0.90% | 2,608 19.9 0.76% | 2,617 52.1 1.99% | 2,623 31.9 1.22% | 2,630 ▲ 0.3 -0.01% | 2,648 ▲ 1.4 -0.05% | 2,663 ▲ 2.1 -0.08% | 2,678 ▲ 2.3 -0.08% | 2,692 ▲ 2.3 -0.08% | 2,706 ▲ 2.2 -0.08% | 2,628 132.1 5.02% |
| KYO_MA | 618 0.0 0.01% | 623 0.0 0.01% | 627 0.1 0.02% | 628 0.3 0.05% | 630 0.7 0.10% | 629 0.4 0.06% | 628 0.1 0.01% | 630 0.0 0.01% | 631 0.0 0.00% | 632 0.0 0.00% | 632 0.0 0.00% | 633 0.0 0.00% | 628 1.7 0.26% |
| NRA_MA | 15 0.0 0.01% | 15 0.0 0.01% | 15 0.0 0.02% | 15 0.0 0.06% | 15 0.0 0.13% | 15 0.0 0.07% | 15 0.0 0.01% | 15 0.0 0.00% | 16 0.0 0.00% | 16 0.0 0.00% | 16 0.0 -0.01% | 16 0.0 -0.01% | 15 0.0 0.28% |
| WAK_MA | 23 0.0 0.01% | 23 0.0 0.01% | 24 0.0 0.02% | 24 0.3 1.27% | 24 0.5 2.11% | 24 0.4 1.65% | 24 0.4 1.61% | 24 0.4 1.61% | 24 0.0 0.05% | 24 0.0 0.04% | 24 0.0 0.03% | 24 0.0 0.02% | 24 2.0 8.44% |
| SGA_MA | 428 0.0 0.01% | 433 0.0 0.01% | 438 0.1 0.02% | 441 0.2 0.04% | 443 0.4 0.09% | 444 0.2 0.05% | 444 0.0 0.01% | 446 0.0 0.00% | 448 0.0 0.00% | 449 0.0 0.00% | 451 0.0 0.00% | 452 0.0 0.00% | 443 1.0 0.22% |
| FKI_MA | 6 0.0 0.01% | 6 0.0 0.01% | 6 0.0 0.02% | 6 0.0 0.04% | 6 0.0 0.10% | 6 0.0 0.06% | 6 0.0 0.01% | 6 0.0 0.01% | 6 0.0 0.00% | 6 0.0 0.00% | 6 0.0 0.00% | 6 0.0 0.00% | 6 0.0 0.27% |
| KIN_MA | 5,890 8.1 0.14% | 5,962 8.3 0.14% | 6,010 25.0 0.42% | 6,029 32.2 0.53% | 6,047 76.7 1.27% | 6,034 44.0 0.73% | 6,020 ▲ 0.8 -0.01% | 6,040 ▲ 2.0 -0.03% | 6,055 ▲ 3.4 -0.06% | 6,069 ▲ 3.6 -0.06% | 6,089 ▲ 3.5 -0.06% | 6,095 ▲ 3.3 -0.05% | 6,028 177.8 2.95% |

表の上段は基準解、中段は基準解からの乖離(基準解 - シミュレーション解)、下段は乖離率

表 6-12 就業者数(2次産業)の変化

単位:千人

| | 2004 | 2005 | 2006 | 2007 | 2008 | 2009 | 2010 | 2011 | 2012 | 2013 | 2014 | 2015 | 2004-2015 |
|---------|-----------------------|-----------------------|-----------------------|-----------------------|------------------------|-----------------------|--------------------------|--------------------------|--------------------------|--------------------------|--------------------------|--------------------------|------------------------|
| OSA_LE2 | 1,073 0.2 0.02% | 1,085 0.2 0.02% | 1,091 0.7 0.07% | 1,093 3.2 0.30% | 1,096 6.7 0.61% | 1,091 3.3 0.30% | 1,087 ▲ 0.2 -0.01% | 1,087 ▲ 0.2 -0.02% | 1,087 ▲ 0.4 -0.03% | 1,087 ▲ 0.4 -0.03% | 1,087 ▲ 0.3 -0.03% | 1,086 ▲ 0.3 -0.03% | 1,087 12.7 1.17% |
| HYO_LE2 | 566 0.7 0.12% | 574 2.1 0.12% | 580 2.0 0.36% | 584 5.1 0.34% | 587 3.1 0.87% | 587 0.2 0.52% | 587 ▲ 0.0 -0.01% | 589 ▲ 0.1 -0.02% | 590 ▲ 0.2 -0.04% | 591 ▲ 0.2 -0.04% | 592 ▲ 0.2 -0.04% | 593 ▲ 0.2 -0.04% | 585 12.7 2.17% |
| KYO_LE2 | 322 0.0 0.01% | 326 0.0 0.01% | 329 0.1 0.04% | 331 0.3 0.09% | 332 0.6 0.19% | 332 0.3 0.11% | 331 0.0 0.01% | 332 0.0 0.00% | 332 0.0 -0.01% | 332 0.0 -0.01% | 333 0.0 -0.01% | 333 0.0 -0.01% | 330 1.4 0.43% |
| NRA_LE2 | 99 0.0 0.01% | 100 0.0 0.01% | 100 0.0 0.04% | 101 0.1 0.12% | 102 0.3 0.26% | 101 0.1 0.14% | 102 0.0 0.00% | 102 0.0 0.00% | 102 0.0 -0.01% | 102 0.0 -0.01% | 102 0.0 -0.01% | 102 0.0 -0.01% | 101 0.5 0.54% |
| WAK_LE2 | 91 0.0 0.01% | 92 0.0 0.01% | 92 0.0 0.03% | 93 0.6 0.65% | 93 1.0 1.10% | 93 0.8 0.82% | 93 0.7 0.74% | 93 0.7 0.74% | 93 0.0 0.01% | 93 0.0 0.01% | 93 0.0 0.00% | 93 0.0 0.00% | 93 3.8 4.14% |
| SGA_LE2 | 221 0.0 0.01% | 224 0.0 0.01% | 226 0.1 0.03% | 228 0.1 0.06% | 229 0.3 0.13% | 229 0.2 0.07% | 229 0.0 0.01% | 230 0.0 0.00% | 230 0.0 0.00% | 230 0.0 0.00% | 230 0.0 0.00% | 231 0.0 0.00% | 228 0.7 0.30% |
| FKI_LE2 | 143 0.0 0.01% | 145 0.0 0.01% | 146 0.0 0.03% | 148 0.1 0.06% | 148 0.2 0.14% | 148 0.1 0.08% | 148 0.0 0.01% | 148 0.0 0.01% | 148 0.0 0.00% | 149 0.0 0.00% | 149 0.0 0.00% | 149 0.0 0.00% | 147 0.5 0.33% |
| KIN_LE2 | 2,514 1.0 0.04% | 2,545 1.1 0.04% | 2,564 3.2 0.12% | 2,577 6.5 0.25% | 2,586 14.2 0.55% | 2,582 7.9 0.31% | 2,576 0.5 0.02% | 2,581 0.4 0.02% | 2,582 ▲ 0.6 -0.02% | 2,584 ▲ 0.6 -0.02% | 2,585 ▲ 0.6 -0.02% | 2,586 ▲ 0.6 -0.02% | 2,572 32.4 1.26% |

表の上段は基準解、中段は基準解からの乖離(基準解 - シミュレーション解)、下段は乖離率

表 6-13 就業者数(3 次産業)の変化

単位:千人

| | 2004 | 2005 | 2006 | 2007 | 2008 | 2009 | 2010 | 2011 | 2012 | 2013 | 2014 | 2015 | 2004-2015 |
|---------|-----------------------|-----------------------|-----------------------|------------------------|------------------------|------------------------|-----------------------|-------------------------|--------------------------|--------------------------|--------------------------|--------------------------|------------------------|
| OSA_LE3 | 2,511 0.5 0.02% | 2,528 0.5 0.02% | 2,537 1.5 0.06% | 2,542 5.8 0.23% | 2,548 6.5 0.48% | 2,542 0.3 0.25% | 2,538 0.1 0.01% | 2,539 0.00% ▲ 0.4 | 2,539 -0.01% ▲ 0.4 | 2,539 -0.02% ▲ 0.4 | 2,538 -0.02% ▲ 0.4 | 2,538 -0.02% ▲ 0.4 | 2,537 25.6 1.01% |
| HYO_LE3 | 1,428 1.8 0.13% | 1,443 2.0 0.14% | 1,461 5.8 0.40% | 1,474 5.4 0.37% | 1,481 8.9 0.91% | 1,487 0.9 0.60% | 1,497 0.1 0.06% | 1,508 0.01% ▲ 0.3 | 1,516 -0.02% ▲ 0.5 | 1,525 -0.03% ▲ 0.6 | 1,533 -0.04% ▲ 0.6 | 1,541 -0.04% ▲ 0.6 | 1,491 36.4 2.44% |
| KYO_LE3 | 672 0.0 0.01% | 677 0.0 0.01% | 681 0.1 0.02% | 684 0.2 0.04% | 687 0.5 0.08% | 688 0.4 0.05% | 690 0.1 0.01% | 692 0.1 0.01% | 693 0.00% 0.00% | 695 0.00% 0.00% | 696 0.00% 0.00% | 697 0.00% 0.00% | 688 1.5 0.22% |
| NRA_LE3 | 265 0.0 0.00% | 267 0.0 0.01% | 266 0.0 0.02% | 269 0.1 0.05% | 270 0.3 0.10% | 271 0.2 0.06% | 273 0.0 0.01% | 275 0.0 0.00% | 277 0.00% ▲ 0.0 | 278 0.00% ▲ 0.0 | 280 0.00% ▲ 0.0 | 281 0.00% ▲ 0.0 | 273 0.6 0.22% |
| WAK_LE3 | 244 0.0 0.00% | 245 0.0 0.00% | 247 0.0 0.01% | 248 1.2 0.48% | 248 2.0 0.81% | 249 1.6 0.65% | 249 1.6 0.64% | 249 1.6 0.64% | 249 0.2 0.08% | 249 0.1 0.08% | 249 0.1 0.06% | 249 0.1 0.05% | 248 8.6 3.48% |
| SGA_LE3 | 271 0.0 0.00% | 273 0.0 0.00% | 276 0.0 0.01% | 278 0.1 0.03% | 280 0.2 0.06% | 281 0.1 0.04% | 283 0.0 0.01% | 285 0.0 0.01% | 286 0.00% 0.00% | 288 0.00% 0.00% | 290 0.00% 0.00% | 291 0.00% 0.00% | 282 0.5 0.17% |
| FKI_LE3 | 235 0.0 0.01% | 236 0.0 0.01% | 238 0.1 0.03% | 240 0.1 0.06% | 241 0.3 0.13% | 241 0.2 0.09% | 242 0.1 0.02% | 243 0.0 0.02% | 244 0.0 0.01% | 245 0.0 0.00% | 246 0.0 0.00% | 246 0.0 0.00% | 241 0.9 0.38% |
| KIN_LE3 | 5,625 2.4 0.04% | 5,669 2.6 0.05% | 5,705 7.6 0.13% | 5,735 13.0 0.23% | 5,753 28.8 0.50% | 5,760 17.8 0.31% | 5,772 2.9 0.05% | 5,790 2.0 0.03% | 5,805 ▲ 0.4 -0.01% | 5,819 ▲ 0.7 -0.01% | 5,832 ▲ 0.9 -0.01% | 5,844 ▲ 0.9 -0.01% | 5,759 74.1 1.29% |

表の上段は基準解、中段は基準解からの乖離(基準解 - シミュレーション解)、下段は乖離率

(2) 財政への影響

最後に財政への影響を評価する。表 6-14 と表 6-15 は、それぞれ直接税と間接税による税収への影響を示したものである。直接税については、概ね GRP への影響とよく似た傾向を示している。関西全体での累積の直接税収の増加は 585 億円に達している。県別には、設備投資プロジェクトの実施地域の增收幅が大きく、大阪府で 297 億円、兵庫県で 153 億円、和歌山県で 78 億円の增收となっている。プロジェクト実施地域以外にも增收の効果は及んでおり、大きい順に並べると、京都府(23 億円)、福井県(17 億円)、滋賀県(10)億円、奈良県(7 億円)となっている。

間接税については、プロジェクト実施年で增收効果が大きいのは直接税と同じであるが、GRP との連動性はやや弱まっている。累積の增收額をみると、直接税の場合とは異なり、兵庫県の增收幅が 443 億円と大阪の 121 億円を大きく上回っている。間接税は、民間最終消費などの支出をベースに決定されるため、消費の拡大効果がより大きな兵庫県において增收効果がより大きく働いたことが一つの理由として考えられる。なお、本分析の関心の対象外であるが、2011 年度より消費税率を 8% に上げることを想定しているため、基準解(ベースライン)の 2011 年以降の税収は、例えば関西全体で 2010 年より約 2 兆円増加している。

次に公債発行額であるが、これは全県の全期間において、縮減の方向に作用している。直接的には、設備投資プロジェクトによる税収の増加が公債発行を抑制した効果が大きいが、残高の減少による利払い費の減少が公債発行を減少させている側面があるものと考えられる。

表 6-17 は、公債発行残高への影響を記したものである。2015 年時点における残高の縮減幅は関西全体で 147 兆円に達しており、特に大阪府(68 兆円)と兵庫県(70.7 兆円)での縮減幅が大きい。

表 6-14 直接税の変化

単位:10億円

| | 2004 | 2005 | 2006 | 2007 | 2008 | 2009 | 2010 | 2011 | 2012 | 2013 | 2014 | 2015 | 2004-2015 |
|---------|-----------------------|-----------------------|------------------------|------------------------|------------------------|--|--------------------------|--------------------------|--------------------------|--------------------------|--------------------------|--------------------------|------------------------|
| OSA_TDV | 3,547 1.1 0.03% | 3,523 1.1 0.03% | 3,518 3.2 0.09% | 3,467 13.3 0.38% | 3,441 26.9 0.78% | 3,434 11.3 0.33% | 3,408 ▲ 4.3 -0.13% | 3,226 ▲ 5.0 -0.16% | 3,218 ▲ 5.9 -0.18% | 3,209 ▲ 5.1 -0.16% | 3,201 ▲ 3.7 -0.12% | 3,192 ▲ 3.0 -0.10% | 3,365 29.7 0.88% |
| HYO_TDV | 1,325 2.5 0.19% | 1,338 2.3 0.17% | 1,350 7.2 0.54% | 1,344 5.8 0.43% | 1,329 16.0 1.20% | 1,328 7.0 0.53% | 1,328 ▲ 5.2 -0.39% | 1,296 ▲ 5.8 -0.44% | 1,296 ▲ 5.3 -0.41% | 1,296 ▲ 4.7 -0.36% | 1,296 ▲ 2.9 -0.22% | 1,296 ▲ 1.7 -0.13% | 1,319 15.3 1.16% |
| KYO_TDV | 741 0.1 0.01% | 907 0.1 0.01% | 910 0.2 0.03% | 906 0.5 0.05% | 903 1.1 0.12% | 905 0.6 0.07% | 903 0.1 0.01% | 898 0.0 0.00% | 897 ▲ 0.1 -0.01% | 897 ▲ 0.1 -0.01% | 896 ▲ 0.1 -0.01% | 895 ▲ 0.1 -0.01% | 888 2.3 0.26% |
| NRA_TDV | 277 0.0 0.01% | 277 0.0 0.01% | 287 0.1 0.02% | 289 0.2 0.06% | 289 0.3 0.12% | 290 0.2 0.06% | 291 0.0 0.00% | 282 ▲ 0.0 0.00% | 282 ▲ 0.0 -0.01% | 283 ▲ 0.0 -0.01% | 284 ▲ 0.0 -0.01% | 284 ▲ 0.0 -0.01% | 285 0.7 0.23% |
| WAK_TDV | 165 0.0 0.01% | 191 0.0 0.01% | 195 0.1 0.03% | 195 1.4 0.74% | 196 2.4 1.22% | 196 1.8 0.89% | 197 1.6 0.79% | 195 1.5 0.75% | 195 ▲ 0.3 -0.16% | 195 ▲ 0.3 -0.14% | 195 ▲ 0.2 -0.10% | 195 ▲ 0.1 -0.07% | 192 7.8 4.05% |
| SGA_TDV | 346 0.0 0.01% | 346 0.0 0.01% | 348 0.1 0.03% | 346 0.2 0.05% | 344 0.4 0.05% | 345 0.2 0.12% | 343 0.0 0.07% | 334 0.0 0.01% | 333 ▲ 0.0 0.00% | 332 ▲ 0.0 -0.01% | 331 ▲ 0.0 -0.01% | 330 ▲ 0.0 -0.01% | 340 1.0 0.29% |
| FKI_TDV | 194 0.0 0.03% | 198 0.1 0.03% | 205 0.2 0.08% | 206 0.3 0.14% | 208 0.6 0.31% | 210 0.4 0.19% | 211 0.1 0.03% | 208 0.0 0.03% | 209 ▲ 0.0 -0.01% | 209 ▲ 0.0 -0.03% | 210 ▲ 0.0 -0.04% | 210 ▲ 0.0 -0.04% | 207 1.7 0.80% |
| KIN_TDV | 6,595 3.8 0.06% | 6,781 3.6 0.05% | 6,812 11.1 0.16% | 6,754 21.6 0.32% | 6,710 47.7 0.71% | 6,707 32% <td>6,680 0.32%</td> <td>6,439 0.32%</td> <td>6,430 0.12%</td> <td>6,420 0.10%</td> <td>6,412 0.08%</td> <td>6,402 0.06%</td> <td>6,595 58.5 0.89%</td> | 6,680 0.32% | 6,439 0.32% | 6,430 0.12% | 6,420 0.10% | 6,412 0.08% | 6,402 0.06% | 6,595 58.5 0.89% |

表の上段は基準解、中段は基準解からの乖離(基準解 - シミュレーション解)、下段は乖離率

表 6-15 間接税の変化

単位:10億円

| | 2004 | 2005 | 2006 | 2007 | 2008 | 2009 | 2010 | 2011 | 2012 | 2013 | 2014 | 2015 | 2004-2015 |
|---------|-----------------------|-----------------------|-----------------------|-----------------------|------------------------|------------------------|-----------------------|-----------------------|--------------------------|--------------------------|--------------------------|--------------------------|------------------------|
| OSA_TIV | 3,811 0.1 0.00% | 3,823 0.1 0.00% | 3,838 0.4 0.01% | 3,849 2.1 0.06% | 3,878 4.6 0.12% | 3,881 2.8 0.07% | 3,870 0.7 0.02% | 5,040 0.6 0.01% | 5,037 0.3 0.01% | 5,034 0.2 0.00% | 5,030 0.1 0.00% | 5,025 ▲ 0.0 0.00% | 4,343 12.1 0.28% |
| HYO_TIV | 1,695 1.7 0.10% | 1,742 2.1 0.12% | 1,797 6.4 0.35% | 1,839 6.4 0.35% | 1,888 11.5 0.85% | 1,910 16.0 0.60% | 1,922 2.1 0.11% | 2,243 0.7 0.03% | 2,264 ▲ 0.3 -0.01% | 2,284 ▲ 0.7 -0.03% | 2,303 ▲ 0.8 -0.04% | 2,323 ▲ 0.9 -0.04% | 2,018 44.3 2.19% |
| KYO_TIV | 708 0.0 0.00% | 714 0.0 0.00% | 720 0.0 0.00% | 725 0.1 0.01% | 733 0.1 0.02% | 737 0.1 0.01% | 737 0.0 0.01% | 783 0.0 0.01% | 784 0.0 0.00% | 786 0.0 0.00% | 787 0.0 0.00% | 788 0.0 0.00% | 750 0.5 0.07% |
| NRA_TIV | 241 0.0 0.00% | 242 0.0 0.00% | 244 0.0 0.01% | 245 0.0 0.02% | 246 0.1 0.03% | 246 0.1 0.02% | 248 0.0 0.00% | 375 0.0 0.00% | 377 0.0 0.00% | 379 0.0 0.00% | 380 0.0 0.00% | 382 0.0 0.00% | 300 0.2 0.06% |
| WAK_TIV | 357 0.0 0.00% | 361 0.0 0.00% | 362 0.0 0.00% | 363 0.2 0.06% | 363 0.5 0.13% | 364 0.5 0.13% | 364 0.5 0.14% | 468 0.7 0.15% | 468 0.4 0.09% | 468 0.3 0.07% | 467 0.2 0.05% | 467 0.2 0.04% | 406 3.6 0.89% |
| SGA_TIV | 433 0.0 0.00% | 436 0.0 0.00% | 440 0.0 0.00% | 443 0.0 0.01% | 448 0.1 0.01% | 451 0.0 0.01% | 452 0.1 0.01% | 565 0.0 0.00% | 568 0.0 0.00% | 570 0.0 0.00% | 572 0.0 0.00% | 574 0.0 0.00% | 496 0.3 0.05% |
| FKI_TIV | 253 0.0 0.00% | 253 0.0 0.00% | 255 0.0 0.01% | 256 0.1 0.02% | 262 0.1 0.05% | 266 0.1 0.05% | 268 0.1 0.04% | 356 0.1 0.03% | 359 0.1 0.03% | 362 0.1 0.02% | 365 0.1 0.02% | 368 0.1 0.01% | 302 0.9 0.30% |
| KIN_TIV | 7,498 1.8 0.02% | 7,569 2.3 0.03% | 7,655 6.8 0.09% | 7,720 9.0 0.12% | 7,817 21.5 0.27% | 7,854 15.2 0.19% | 7,859 3.5 0.04% | 9,830 2.2 0.02% | 9,857 0.6 0.01% | 9,882 ▲ 0.0 0.00% | 9,905 ▲ 0.4 0.00% | 9,927 ▲ 0.6 0.00% | 8,615 61.9 0.72% |

表の上段は基準解、中段は基準解からの乖離(基準解 - シミュレーション解)、下段は乖離率

表 6-16 公債発行額の変化

| | 単位:10億円 | | | | | | | | | | | | 2004-2015 |
|-----------|---------|--------|--------|--------|--------|--------|--------|--------|--------|--------|--------|--------|-----------|
| | 2004 | 2005 | 2006 | 2007 | 2008 | 2009 | 2010 | 2011 | 2012 | 2013 | 2014 | 2015 | |
| OSA_BONDV | 635 | 657 | 651 | 683 | 716 | 794 | 893 | 464 | 464 | 433 | 393 | 351 | 594 |
| | ▲ 0.8 | ▲ 0.9 | ▲ 2.7 | ▲ 11.3 | ▲ 23.9 | ▲ 14.9 | ▲ 4.4 | ▲ 4.7 | ▲ 4.5 | ▲ 5.1 | ▲ 6.2 | ▲ 7.3 | ▲ 86.9 |
| | -0.13% | -0.14% | -0.42% | -1.65% | -3.35% | -1.87% | -0.50% | -1.02% | -0.97% | -1.18% | -1.58% | -2.08% | -14.62% |
| HYO_BONDV | 545 | 575 | 594 | 618 | 662 | 770 | 896 | 833 | 908 | 990 | 1,079 | 1,175 | 804 |
| | ▲ 3.0 | ▲ 3.4 | ▲ 10.2 | ▲ 10.3 | ▲ 25.1 | ▲ 18.4 | ▲ 5.1 | ▲ 3.9 | ▲ 3.5 | ▲ 3.6 | ▲ 4.4 | ▲ 5.1 | ▲ 96.1 |
| | -0.56% | -0.60% | -1.72% | -1.67% | -3.79% | -2.38% | -0.57% | -0.47% | -0.39% | -0.36% | -0.41% | -0.44% | -11.96% |
| KYO_BONDV | 244 | 242 | 242 | 247 | 256 | 265 | 272 | 266 | 271 | 276 | 281 | 286 | 262 |
| | ▲ 0.0 | ▲ 0.0 | ▲ 0.1 | ▲ 0.3 | ▲ 0.6 | ▲ 0.4 | ▲ 0.1 | ▲ 0.1 | ▲ 0.1 | ▲ 0.1 | ▲ 0.1 | ▲ 0.1 | ▲ 2.1 |
| | -0.01% | -0.02% | -0.05% | -0.10% | -0.22% | -0.15% | -0.05% | -0.05% | -0.04% | -0.04% | -0.04% | -0.04% | -0.79% |
| NRA_BONDV | 152 | 161 | 167 | 179 | 187 | 208 | 233 | 218 | 237 | 257 | 279 | 303 | 215 |
| | ▲ 0.0 | ▲ 0.0 | ▲ 0.0 | ▲ 0.1 | ▲ 0.2 | ▲ 0.2 | ▲ 0.1 | ▲ 0.1 | ▲ 0.1 | ▲ 0.1 | ▲ 0.1 | ▲ 0.1 | ▲ 0.9 |
| | -0.01% | -0.01% | -0.02% | -0.06% | -0.12% | -0.08% | -0.03% | -0.03% | -0.02% | -0.02% | -0.02% | -0.02% | -0.42% |
| WAK_BONDV | 157 | 239 | 256 | 270 | 283 | 301 | 317 | 317 | 331 | 346 | 362 | 378 | 296 |
| | ▲ 0.0 | ▲ 0.0 | ▲ 0.0 | ▲ 0.4 | ▲ 0.8 | ▲ 0.7 | ▲ 0.8 | ▲ 0.9 | ▲ 0.4 | ▲ 0.4 | ▲ 0.4 | ▲ 0.5 | ▲ 5.3 |
| | 0.00% | 0.00% | -0.01% | -0.16% | -0.28% | -0.24% | -0.24% | -0.27% | -0.13% | -0.12% | -0.12% | -0.12% | -1.80% |
| SGA_BONDV | 129 | 120 | 126 | 133 | 141 | 150 | 158 | 160 | 168 | 176 | 186 | 195 | 154 |
| | ▲ 0.0 | ▲ 0.0 | ▲ 0.0 | ▲ 0.0 | ▲ 0.1 | ▲ 0.0 | ▲ 0.0 | ▲ 0.0 | ▲ 0.0 | ▲ 0.0 | ▲ 0.0 | ▲ 0.0 | ▲ 0.2 |
| | 0.00% | 0.00% | -0.01% | -0.02% | -0.04% | -0.03% | -0.01% | -0.01% | -0.01% | -0.01% | -0.01% | -0.01% | -0.15% |
| FKI_BONDV | 122 | 122 | 120 | 124 | 133 | 140 | 153 | 126 | 126 | 128 | 130 | 131 | 130 |
| | ▲ 0.0 | ▲ 0.0 | ▲ 0.1 | ▲ 0.2 | ▲ 0.5 | ▲ 0.4 | ▲ 0.2 | ▲ 0.2 | ▲ 0.2 | ▲ 0.2 | ▲ 0.2 | ▲ 0.2 | ▲ 2.2 |
| | -0.02% | -0.03% | -0.09% | -0.17% | -0.34% | -0.25% | -0.12% | -0.15% | -0.13% | -0.12% | -0.12% | -0.12% | -1.69% |
| KIN_BONDV | 1,985 | 2,117 | 2,156 | 2,255 | 2,378 | 2,628 | 2,922 | 2,384 | 2,504 | 2,606 | 2,708 | 2,818 | 2,455 |
| | ▲ 3.9 | ▲ 4.5 | ▲ 13.3 | ▲ 22.6 | ▲ 51.1 | ▲ 34.9 | ▲ 10.7 | ▲ 9.9 | ▲ 8.8 | ▲ 9.5 | ▲ 11.4 | ▲ 13.2 | ▲ 193.8 |
| | -0.20% | -0.21% | -0.62% | -1.00% | -2.15% | -1.33% | -0.37% | -0.42% | -0.35% | -0.36% | -0.42% | -0.47% | -7.89% |

表の上段は基準解、中段は基準解からの乖離(基準解 - シミュレーション解)、下段は乖離率

表 6-17 公債発行残高の変化

| | 単位:10億円 | | | | | | | | | | | | 2004-2015 |
|--------------------|---------|--------|--------|--------|--------|---------|---------|---------|---------|---------|---------|---------|-----------|
| | 2004 | 2005 | 2006 | 2007 | 2008 | 2009 | 2010 | 2011 | 2012 | 2013 | 2014 | 2015 | |
| OSA_KBONDV | 8,830 | 9,002 | 9,189 | 9,396 | 9,627 | 9,938 | 10,321 | 10,241 | 10,150 | 10,037 | 9,892 | 9,701 | - |
| | ▲ 0.8 | ▲ 1.8 | ▲ 4.5 | ▲ 16.1 | ▲ 40.1 | ▲ 53.7 | ▲ 55.6 | ▲ 57.4 | ▲ 58.9 | ▲ 61.0 | ▲ 64.1 | ▲ 68.0 | - |
| | -0.01% | -0.02% | -0.05% | -0.17% | -0.42% | -0.54% | -0.54% | -0.56% | -0.58% | -0.61% | -0.65% | -0.70% | - |
| HYO_KBONDV | 8,126 | 8,232 | 8,358 | 8,498 | 8,674 | 8,953 | 9,346 | 9,654 | 10,022 | 10,454 | 10,953 | 11,524 | - |
| | ▲ 3.1 | ▲ 6.4 | ▲ 16.5 | ▲ 26.1 | ▲ 50.3 | ▲ 66.3 | ▲ 68.0 | ▲ 68.3 | ▲ 68.3 | ▲ 68.3 | ▲ 69.1 | ▲ 70.7 | - |
| | -0.04% | -0.08% | -0.20% | -0.31% | -0.58% | -0.74% | -0.73% | -0.71% | -0.68% | -0.65% | -0.63% | -0.61% | - |
| KYO_KBONDV | 2,923 | 2,957 | 2,997 | 3,037 | 3,083 | 3,140 | 3,203 | 3,257 | 3,315 | 3,377 | 3,442 | 3,510 | - |
| | ▲ 0.0 | ▲ 0.1 | ▲ 0.2 | ▲ 0.5 | ▲ 1.0 | ▲ 1.4 | ▲ 1.5 | ▲ 1.6 | ▲ 1.7 | ▲ 1.7 | ▲ 1.8 | ▲ 1.8 | - |
| | 0.00% | 0.00% | -0.01% | -0.02% | -0.03% | -0.04% | -0.05% | -0.05% | -0.05% | -0.05% | -0.05% | -0.05% | -0.05% |
| NRA_KBONDV | 1,980 | 2,006 | 2,042 | 2,087 | 2,139 | 2,214 | 2,315 | 2,392 | 2,487 | 2,601 | 2,734 | 2,888 | - |
| | ▲ 0.0 | ▲ 0.0 | ▲ 0.1 | ▲ 0.2 | ▲ 0.4 | ▲ 0.6 | ▲ 0.6 | ▲ 0.7 | ▲ 0.7 | ▲ 0.7 | ▲ 0.8 | ▲ 0.8 | - |
| | 0.00% | 0.00% | 0.00% | -0.01% | -0.02% | -0.03% | -0.03% | -0.03% | -0.03% | -0.03% | -0.03% | -0.03% | -0.03% |
| WAK_KBONDV | 1,476 | 1,591 | 1,714 | 1,842 | 1,972 | 2,110 | 2,253 | 2,383 | 2,518 | 2,657 | 2,801 | 2,950 | - |
| | ▲ 0.0 | ▲ 0.0 | ▲ 0.0 | ▲ 0.5 | ▲ 1.3 | ▲ 2.0 | ▲ 2.6 | ▲ 3.3 | ▲ 3.5 | ▲ 3.7 | ▲ 3.8 | ▲ 4.0 | - |
| | 0.00% | 0.00% | 0.00% | -0.03% | -0.07% | -0.09% | -0.12% | -0.14% | -0.14% | -0.14% | -0.14% | -0.14% | -0.14% |
| SGA_KBONDV | 1,637 | 1,674 | 1,720 | 1,768 | 1,820 | 1,880 | 1,945 | 2,008 | 2,077 | 2,150 | 2,229 | 2,313 | - |
| | ▲ 0.0 | ▲ 0.0 | ▲ 0.0 | ▲ 0.0 | ▲ 0.1 | ▲ 0.1 | ▲ 0.1 | ▲ 0.2 | ▲ 0.2 | ▲ 0.2 | ▲ 0.2 | ▲ 0.2 | - |
| | 0.00% | 0.00% | 0.00% | 0.00% | -0.01% | -0.01% | -0.01% | -0.01% | -0.01% | -0.01% | -0.01% | -0.01% | -0.01% |
| FKI_KBONDV | 1,197 | 1,218 | 1,240 | 1,262 | 1,289 | 1,324 | 1,369 | 1,387 | 1,406 | 1,424 | 1,443 | 1,463 | - |
| | ▲ 0.0 | ▲ 0.1 | ▲ 0.2 | ▲ 0.3 | ▲ 0.7 | ▲ 1.0 | ▲ 1.1 | ▲ 1.3 | ▲ 1.3 | ▲ 1.4 | ▲ 1.5 | ▲ 1.6 | - |
| | 0.00% | -0.01% | -0.01% | -0.03% | -0.06% | -0.08% | -0.08% | -0.09% | -0.10% | -0.10% | -0.10% | -0.11% | - |
| KIN_KBONDV (兆円) | 26,168 | 26,681 | 27,261 | 27,891 | 28,603 | 29,558 | 30,751 | 31,324 | 31,975 | 32,700 | 33,494 | 34,348 | - |
| | ▲ 4.0 | ▲ 8.4 | ▲ 21.5 | ▲ 43.7 | ▲ 94.0 | ▲ 125.1 | ▲ 129.6 | ▲ 132.8 | ▲ 134.5 | ▲ 137.0 | ▲ 141.3 | ▲ 147.1 | - |
| | -0.02% | -0.03% | -0.08% | -0.16% | -0.33% | -0.42% | -0.42% | -0.42% | -0.42% | -0.42% | -0.42% | -0.43% | - |

表の上段は基準解、中段は基準解からの乖離(基準解 - シミュレーション解)、下段は乖離率

第7章 おわりに

本稿では、関西地域間産業連関表と連結したマクロモデルの概要と、それを利用した2種類のシミュレーション結果を示した。ひとつめのシミュレーションでは、2000年度に各府県にそれぞれ1兆円づつ公共投資を行った場合に、関西のG R P、マクロ経済変数および地方財政に与える影響を計測した。ふたつめのシミュレーションでは、2004年から2009年にかけて大阪湾岸に立地する4件の大型設備投資が、関西のG R P、マクロ経済変数および地方財政に与える影響を計測し、関西地域間産業連関表での計測結果との比較を行った。

地域に特化したマクロモデルは先行研究が限定されがちであり、今回のような一定の説明力を持つ関西マクロモデルを構築したことは一定の貢献があったと考える。府県別のマクロモデルや産業連関表を持つ自治体は存在するが、府県間の連携を明らかにできる広域マクロモデルや産業連関表は関西には存在しなかったことを考えると、今回の成果を今後も有用なツールとして活用していかなくではない。

最後に、今後の課題を短期的なものを2点、中長期的なものを2点、計4点提示する。

短期的な課題の1点目は、設備投資関数の再構築である。本稿では各府県別に設備投資関数を推計しているが、民間企業が設備投資を計画するにあたっては、立地する府県の経済状況よりも、より広い地域の経済状況を考慮する可能性が高い。経営をグローバル化させ、より大局的な設備投資行動を選択する企業は今後とも増加することから、関西1本での設備投資関数の推計を試す必要がある。

2点目は、公債発行額の方程式の改訂である。現状では、府県ごとに公債発行額のパラメーターに大きな差があり、シミュレーションの結果にも影響が出ている。特に、滋賀県の公債発行額が、公共投資の増加に対して非常に低い反応にとどまっている点を改善する必要があろう。

中長期的な課題の1点目は、制度会計ベースの財政部門の精緻化である。財政部門を充実させることにより、現状の財政制度を考慮したシミュレーションを行うことが可能となる。財政シミュレーションは自治体関係者および地域住民の関心も高い分野であり、改訂の必要性は高いといえよう。現状では、制度会計ベースの方程式は、公債発行額、地方債償還額、地方債残高の3本である。S N Aベースの政府部門との整合性をとりつつ、財政部門を拡充していくことが必要である。

2点目は、広義の価格変数の内生化である。消費者物価指数をはじめ、金利、原油価格などの価格関連の指標は地域モデルであることを考慮して、外生変数と定義している。しかし、必ずしもこれらの変数が全国一定とは限らない。例えば、貸出金利に関しては東海地域の金利が他地域より低いという「名古屋金利」が存在する。このような現状をどのようにモデルに組み込んでいくかを、今後考慮する必要がある。

参考文献

- ・ 井田憲計 (2005) 「大阪府多部門マクロ計量モデルの試算」 『産開研論集』 第 17 号
- ・ 井田憲計 (2001) 「大阪府マクロ計量モデルによる将来予測」 『産開研論集』 第 14 号
- ・ 稲田義久・小川義仁 (1994) 「近畿経済計量モデルの開発とその応用」 『立命館経済学』 第 43 卷第 2 号。
- ・ 関西社会経済研究所 (2006) 「関西マクロ計量モデル中間報告」 関西社会経済研究所ホームページ。
- ・ 関西社会経済研究所 (2008) 「第 74 回景気分析と予測」 関西社会経済研究所ホームページ。
- ・ 木下和夫監修 関西経済連合会編 (1968) 「広域行政の経済効果」 学陽書房。

資料編

1. 変数リスト

基本的なルール

・冒頭のXXXは、地域(府県)をあらわす。また、KINは関西、JPNは全国(日本)、ROWは海外(その他世界のこと)

XXX=[OSA:大阪府, HYO:兵庫県, KYO:京都府, NRA:奈良県, WAK:和歌山県, SGA:滋賀県, FKI:福井県.]

・最後の##は、行部門からみた府県をあらわす。

1:大阪府の1次産業、2:大阪府の2次産業、3:大阪府の3次産業、4:大阪府のその他産業、5:兵庫県の1次産業、…、28:福井県のその他産業

| 記号 | 変数名 | 内生・外生 | 備考 | 単位 | 出所 |
|--------------|---------------------|-------|--------|-----------|---------------|
| JPN_FXS | 円・ドル為替レート | 外生 | | 円/ドル | 金融経済統計月報 日本銀行 |
| JPN_RGB | 長期金利(10年もの国債利回り) | 外生 | | % | 景気動向指数 内閣府 |
| JPN_RSR | 厚生年金保険料率 | 外生 | | % | 社保庁HP 社会保険庁 |
| JPN_RTC | 消費税率 | 外生 | | % | 国税庁HP 国税庁 |
| JPN_RTDCV | 法人(表面)実効税率 | 外生 | | % | 国税庁HP 国税庁 |
| JPN_PMAP | 契約通貨建て輸入価格指數 | 外生 | | % | 輸入物価指數 日本銀行 |
| KIN_EAIO## | 輸出(関西計) | 内生 | | 100万円 | 独自推計 |
| KIN_EDNKIO## | 関西域外への移出 | 内生 | | 100万円 | 独自推計 |
| KIN_FDIO## | 最終需要(関西計) | 内生 | 純移輸出含む | 100万円 | 独自推計 |
| KIN_MAIO## | 輸入(関西計) | 内生 | | 100万円 | 独自推計 |
| KIN_MDNKIO## | 関西域外からの移入 | 内生 | | 100万円 | 独自推計 |
| KIN_PGDP | 関西域内の総支出デフレーター | 内生 | | % | 独自に推計 |
| KIN_SDPIO## | 最終需要の調整項 | 外生 | | 100万円 | 独自推計 |
| NKIN_GDP | 関西以外の日本のGDP | 外生 | | 100万円 | 計算 |
| ROW_PED | その他世界のドル建て輸出価格指數 | 外生 | | 2000年=100 | IMF |
| ROW_XGVD | その他世界(日本以外)のドル建て輸出額 | 外生 | | 10億ドル | IMF |
| TIME | タイムトレンド | | | | |
| XXX_BONDV | 一般政府地方債発行額 | 内生 | | 100万円 | 地方財政統計 総務省 |
| XXX_CFCFA | 固定資本減耗 | 内生 | | 100万円 | 県民経済計算 各県統計課 |
| XXX_CFCFA1 | 固定資本減耗(1次産業) | 外生 | | 100万円 | 県民経済計算 各県統計課 |
| XXX_CFCFA2 | 固定資本減耗(2次産業) | 内生 | | 100万円 | 県民経済計算 各県統計課 |
| XXX_CFCFA3 | 固定資本減耗(3次産業) | 内生 | | 100万円 | 県民経済計算 各県統計課 |
| XXX_CFCFA4 | 固定資本減耗(その他) | 外生 | | 100万円 | 県民経済計算 各県統計課 |
| XXX(CG | 実質政府最終消費支出 | 外生 | | 100万円 | 県民経済計算 各県統計課 |
| XXX_CP | 実質民間最終消費支出 | 内生 | | 100万円 | 県民経済計算 各県統計課 |
| XXX_CPH | 家計最終消費支出 | 内生 | | 100万円 | 県民経済計算 各県統計課 |
| XXX_CPN | 対家計民間非営利団体消費支出 | 外生 | | 100万円 | 県民経済計算 各県統計課 |
| XXX_DEBTPV | 一般政府公債費 | 内生 | | | 地方財政統計 総務省 |
| XXX_E | 実質移輸出 | 内生 | | 100万円 | 県民経済計算 各県統計課 |
| XXX_EA | 実質輸出 | 内生 | 近畿圏のみ | 100万円 | |
| XXX_EAIO | 輸出 | 内生 | | 100万円 | 独自推計 |

| 記号 | 変数名 | 内生・外生 | 備考 | 単位 | 出所 |
|------------|-------------------------|-------|---------|-------|--------------|
| XXX_ED | 実質移出 | 内生 | | 100万円 | 県民経済計算 各県統計課 |
| XXX_EDK | 関西域内府県への移出 | 内生 | | 100万円 | 独自推計 |
| XXX_EDKIO | 関西域内への移出 | 内生 | | 100万円 | 独自推計 |
| XXX_EDNK | 関西域外都道県への移出 | 外生 | | 100万円 | 独自推計 |
| XXX_FDIO## | 最終需要 | 内生 | 純移輸出は除く | 100万円 | 独自推計 |
| XXX_GDP | 実質県内総支出 | 内生 | | 100万円 | 県民経済計算 各県統計課 |
| XXX_GDP2 | 実質県内総支出(2次産業) | 内生 | | 100万円 | 県民経済計算 各県統計課 |
| XXX_GDP3 | 実質県内総支出(3次産業) | 内生 | | 100万円 | 県民経済計算 各県統計課 |
| XXX_GNI | 実質県民総所得 | 内生 | | 100万円 | 県民経済計算 各県統計課 |
| XXX_IG | 実質総固定資本形成(公的) | 外生 | | 100万円 | 県民経済計算 各県統計課 |
| XXX_IPF | 実質総固定資本形成(民間・企業設備) | 内生 | | 100万円 | 県民経済計算 各県統計課 |
| XXX_IPF1 | 実質総固定資本形成(民間・企業設備:1次産業) | 外生 | | 100万円 | 独自推計 |
| XXX_IPF2 | 実質総固定資本形成(民間・企業設備:2次産業) | 内生 | | 100万円 | 独自推計 |
| XXX_IPF3 | 実質総固定資本形成(民間・企業設備:3次産業) | 内生 | | 100万円 | 独自推計 |
| XXXIPH | 実質総固定資本形成(民間・住宅) | 内生 | | 100万円 | 県民経済計算 各県統計課 |
| XXX_J | 実質在庫品増加 | 外生 | | 100万円 | 県民経済計算 各県統計課 |
| XXX_KBONDV | 一般政府地方債発行残高 | 内生 | | 100万円 | 地方財政統計 総務省 |
| XXX_KPF1 | 実質民間企業資本ストック(1次産業) | 外生 | | 100万円 | 独自推計 |
| XXX_KPF2 | 実質民間企業資本ストック(2次産業) | 外生 | | 100万円 | 独自推計 |
| XXX_KPF3 | 実質民間企業資本ストック(3次産業) | 外生 | | 100万円 | 独自推計 |
| XXX_KPH | 実質民間住宅ストック | 外生 | | 100万円 | 独自推計 |
| XXX_LE | 雇用者数(県内) | 内生 | | 千人 | 県民経済計算 各県統計課 |
| XXX_LE1 | 雇用者数(県内・1次産業) | 内生 | 京都のみ推計 | 千人 | 県民経済計算 各県統計課 |
| XXX_LE2 | 雇用者数(県内・2次産業) | 内生 | 京都のみ推計 | 千人 | 県民経済計算 各県統計課 |
| XXX_LE3 | 雇用者数(県内・3次産業) | 内生 | 京都のみ推計 | 千人 | 県民経済計算 各県統計課 |
| XXX_LE4 | 雇用者数(県内・その他) | 外生 | | 千人 | 県民経済計算 各県統計課 |
| XXX_LN | 就業者数(県内) | 内生 | | 千人 | 県民経済計算 各県統計課 |
| XXX_LN1 | 就業者数(県内・1次産業) | 内生 | 京都のみ推計 | 千人 | 県民経済計算 各県統計課 |
| XXX_LN2 | 就業者数(県内・2次産業) | 内生 | 京都のみ推計 | 千人 | 県民経済計算 各県統計課 |
| XXX_LN3 | 就業者数(県内・3次産業) | 内生 | 京都のみ推計 | 千人 | 県民経済計算 各県統計課 |
| XXX_LN4 | 就業者数(県内・その他) | 外生 | | 千人 | 県民経済計算 各県統計課 |
| XXX_M | 実質移輸入 | 内生 | | 100万円 | 県民経済計算 各県統計課 |
| XXX_MA | 実質輸入 | 内生 | 近畿圏のみ | 100万円 | |
| XXX_MAIO## | 輸入 | 外生 | | 100万円 | 独自推計 |
| XXX_MD | 実質移入 | 内生 | | 100万円 | 県民経済計算 各県統計課 |
| XXX_MDK | 関西域内府県からの移入 | 内生 | | 100万円 | 独自推計 |
| XXX_MDKIO | 関西域外からの移入 | 内生 | | 100万円 | 独自推計 |
| XXX_MDNK | 関西域外都道県からの移入 | 外生 | | 100万円 | 独自推計 |

| 記号 | 変数名 | 内生・外生 | 備考 | 単位 | 出所 |
|-------------|------------------------------------|-------|----------|-------|---------------|
| XXX_NREIP | 実質県外からの財産所得(純) | 外生 | | 100万円 | 県民経済計算 各県統計課 |
| XXX_NREIW | 実質県外からの雇用者報酬(純) | 外生 | | 100万円 | 県民経済計算 各県統計課 |
| XXX_OPEICV | 営業余剰・混合所得(個人企業) | 内生 | | 100万円 | 県民経済計算 各県統計課 |
| XXX_PCPH | 家計最終消費支出デフレーター | 外生 | | % | 県民経済計算 各県統計課 |
| XXX_PEA | 輸出デフレーター | 外生 | 大阪府の値を使用 | % | 県民経済計算 大阪府統計課 |
| XXX_PED | 移出デフレーター | 外生 | 大阪府の値を使用 | % | 県民経済計算 大阪府統計課 |
| XXX_PFNDHV | 年金基金年金準備金の変動(家計) | 外生 | | 100万円 | 県民経済計算 各県統計課 |
| XXX_PIPF | 総固定資本形成(民間・企業設備)デフレーター | 外生 | | % | 県民経済計算 各県統計課 |
| XXX_PIPF3 | 総固定資本形成(民間・企業設備・3次産業)デフレーター | 外生 | | % | 県民経済計算 各県統計課 |
| XXX_PIPH | 総固定資本形成(民間・住宅)デフレーター | 外生 | | % | 県民経済計算 各県統計課 |
| XXX_PMA | 輸入デフレーター | 外生 | 大阪府の値を使用 | % | 県民経済計算 大阪府統計課 |
| XXX_PMAD | 契約通貨建て輸入価格指数 | 外生 | | % | 輸入物価指数 日本銀行 |
| XXX_PMD | 移入デフレーター | 外生 | 大阪府の値を使用 | % | 県民経済計算 大阪府統計課 |
| XXX_POP65 | 65歳以上人口 | 外生 | | | 人口推計 総務省 |
| XXX_REA | 輸出(支出blockベース)の対輸出(産業連関blockベース)比率 | 外生 | | 率 | 独自推計 |
| XXX_REDK | 関西域内府県への移出(支出blockベース)の対関西域内府県へ | 外生 | | 率 | 独自推計 |
| XXX_RLE1 | 雇用者数(県内・1次産業)の対就業者数(県内・1次産業)比率 | 外生 | | % | 計算 |
| XXX_RLE2 | 雇用者数(県内・2次産業)の対就業者数(県内・2次産業)比率 | 外生 | | % | 計算 |
| XXX_RLE3 | 雇用者数(県内・3次産業)の対就業者数(県内・3次産業)比率 | 外生 | | % | 計算 |
| XXX_RLN1 | 就業者数(県内・1次産業)の対総産出額(県内・1次産業)比率 | 外生 | | % | 計算 |
| XXX_RLN2 | 就業者数(県内・2次産業)の対総産出額(県内・2次産業)比率 | 外生 | | % | 計算 |
| XXX_RLN3 | 就業者数(県内・3次産業)の対総産出額(県内・3次産業)比率 | 外生 | | % | 計算 |
| XXX_RMA | 輸入(支出blockベース)の対輸入(産業連関blockベース)比率 | 外生 | | 率 | 独自推計 |
| XXX_RMDK | 関西域内府県からの移入(支出blockベース)の対関西域内府県 | 外生 | | 率 | 独自推計 |
| XXX_ROPEICV | 営業余剰・混合所得(個人企業)の対個人企業所得比率 | 外生 | | % | 計算 |
| XXX_RRPF2 | 実質民間企業資本ストック除却率(2次産業) | 外生 | | % | 独自推計 |
| XXX_RRPF3 | 実質民間企業資本ストック除却率(3次産業) | 外生 | | % | 独自推計 |
| XXX_RRPH | 実質民間住宅ストック除却率 | 外生 | | % | 独自推計 |
| XXX_RSCEAMV | 雇主強制的現実社会負担の対雇主の現実社会負担(家計・受取)の | 外生 | | % | 計算 |
| XXX_RSCEAV | 雇主現実社会負担(家計・受取の対支払い)の対雇用者報酬(県民) | 外生 | | % | 計算 |
| XXX_RSCEIV | 雇主帰属社会負担(家計)の対雇用者報酬(県民ベース)比率 | 外生 | | % | 計算 |
| XXX_RSCHAMV | 雇用者強制的現実社会負担の対雇主の現実社会負担(家計・受取) | 外生 | | % | 計算 |
| XXX_RX1 | 産出(県民経済計算ベース)の対産出(産業連関blockベース)比 | 外生 | | 率 | 独自推計 |
| XXX_RX2 | 産出(県民経済計算ベース)の対産出(産業連関blockベース)比 | 外生 | | 率 | 独自推計 |
| XXX_RX3 | 産出(県民経済計算ベース)の対産出(産業連関blockベース)比 | 外生 | | 率 | 独自推計 |
| XXX_RX4 | 産出(県民経済計算ベース)の対産出(産業連関blockベース)比 | 外生 | | 率 | 独自推計 |
| XXX_RYECV | 法人企業所得の対企業所得比率 | 外生 | | % | 計算 |
| XXX_RYEICV | 個人企業所得の対企業所得比率 | 外生 | | % | 計算 |
| XXX_RYWV | 賃金・俸給の対雇用者報酬(県民ベース)比率 | 外生 | | % | 計算 |

| 記号 | 変数名 | 内生・外生 | 備考 | 単位 | 出所 |
|-------------|---------------------------|-------|----|-------|--------------|
| XXX_SBCAV | 現金による社会保障給付(家計・受取／政府・支払) | 内生 | | 100万円 | 県民経済計算 各県統計課 |
| XXX_SBGOV | その他の社会給付(一般政府・支払) | 外生 | | 100万円 | 県民経済計算 各県統計課 |
| XXX_SBGV | 現物社会移転以外の社会給付(一般政府・支払) | 内生 | | 100万円 | 県民経済計算 各県統計課 |
| XXX_SBHAV | 社会扶助給付(家計・受取) | 外生 | | 100万円 | 県民経済計算 各県統計課 |
| XXX_SBHFV | 年金基金による社会給付(家計・受取) | 外生 | | 100万円 | 県民経済計算 各県統計課 |
| XXX_SBVH | 現物社会移転以外の社会給付(家計・受取) | 内生 | | 100万円 | 県民経済計算 各県統計課 |
| XXX_SCEAMV | 雇主の強制的現実社会負担 | 内生 | | 100万円 | 県民経済計算 各県統計課 |
| XXX_SCEAV | 雇主の現実社会負担(家計・受取／支払) | 内生 | | 100万円 | 県民経済計算 各県統計課 |
| XXX_SCEGIV | 帰属社会負担(政府)／無基金雇用者社会給付 | 外生 | | 100万円 | 県民経済計算 各県統計課 |
| XXX_SCEIV | 帰属社会負担(家計)／無基金雇用者社会給付(家計) | 内生 | | 100万円 | 県民経済計算 各県統計課 |
| XXX_SCGV | 社会負担(一般政府・受取) | 内生 | | 100万円 | 県民経済計算 各県統計課 |
| XXX_SCHAMV | 雇用者の強制的現実社会負担 | 内生 | | 100万円 | 県民経済計算 各県統計課 |
| XXX_SCHAV | 雇用者の社会負担(家計・支払) | 内生 | | 100万円 | 県民経済計算 各県統計課 |
| XXX_SCHOV | その他の社会負担(家計・支払) | 外生 | | 100万円 | 県民経済計算 各県統計課 |
| XXX_SCHV | 社会負担(家計・支払) | 内生 | | 100万円 | 県民経済計算 各県統計課 |
| XXX_SDV | 実質統計上の不突合 | 外生 | | 100万円 | 県民経済計算 各県統計課 |
| XXX_SGV | 一般政府貯蓄 | 内生 | | 100万円 | 県民経済計算 各県統計課 |
| XXX_SHV | 家計貯蓄 | 内生 | | 100万円 | 県民経済計算 各県統計課 |
| XXX_SUBV | 補助金 | 外生 | | 100万円 | 県民経済計算 各県統計課 |
| XXX_TDCV | 所得・富等に課される経常税(法人企業負担分) | 内生 | | 100万円 | 県民経済計算 各県統計課 |
| XXX_TDHV | 所得・富等に課される経常税(家計負担分) | 内生 | | 100万円 | 県民経済計算 各県統計課 |
| XXX_TDOV | 所得・富等に課される経常税(その他負担分) | 外生 | | 100万円 | 県民経済計算 各県統計課 |
| XXX_TDVT | 所得・富等に課される経常税(一般政府・受取) | 内生 | | 100万円 | 県民経済計算 各県統計課 |
| XXX_TIV | 生産・輸入品に課される税 | 内生 | | 100万円 | 県民経済計算 各県統計課 |
| XXX_TRANPGV | その他の経常移転(一般政府・支払) | 外生 | | 100万円 | 県民経済計算 各県統計課 |
| XXX_TRANPHV | その他の経常移転(家計・支払) | 外生 | | 100万円 | 県民経済計算 各県統計課 |
| XXX_TRANRGV | その他の経常移転(一般政府・受取) | 外生 | | 100万円 | 県民経済計算 各県統計課 |
| XXX_TRANRHV | その他の経常移転(家計・受取) | 外生 | | 100万円 | 県民経済計算 各県統計課 |
| XXX_WAGE1 | 一人当たり雇用者報酬(1次産業) | 外生 | | 千円/人 | 計算 |
| XXX_WAGE2 | 一人当たり雇用者報酬(2次産業) | 外生 | | 千円/人 | 計算 |
| XXX_WAGE3 | 一人当たり雇用者報酬(3次産業) | 外生 | | 千円/人 | 計算 |
| XXX_X1 | 総生産額(1次産業) | 内生 | | 100万円 | 県民経済計算 各県統計課 |
| XXX_X2 | 総生産額(2次産業) | 内生 | | 100万円 | 県民経済計算 各県統計課 |
| XXX_X3 | 総生産額(3次産業) | 内生 | | 100万円 | 県民経済計算 各県統計課 |
| XXX_X4 | 総生産額(その他) | 内生 | | 100万円 | 県民経済計算 各県統計課 |
| XXX_XIO1 | 産出(1次産業) | 内生 | | 100万円 | 独自推計 |
| XXX_XIO2 | 産出(2次産業) | 内生 | | 100万円 | 独自推計 |
| XXX_XIO3 | 産出(3次産業) | 内生 | | 100万円 | 独自推計 |
| XXX_XIO4 | 産出(その他) | 内生 | | 100万円 | 独自推計 |

| 記号 | 変数名 | 内生・外生 | 備考 | 単位 | 出所 | |
|-------------|---------------------|-------|----|-------|--------|-------|
| XXX_YDGV | 政府可処分所得 | 内生 | | 100万円 | 県民経済計算 | 各県統計課 |
| XXX_YDHV | 家計可処分所得 | 内生 | | 100万円 | 県民経済計算 | 各県統計課 |
| XXX_YECV | 法人企業所得 | 内生 | | 100万円 | 県民経済計算 | 各県統計課 |
| XXX YEICV | 個人企業所得 | 内生 | | 100万円 | 県民経済計算 | 各県統計課 |
| XXX_YEV | 企業所得(法人企業の分配所得受払後) | 内生 | | 100万円 | 県民経済計算 | 各県統計課 |
| XXX_YPRNCV | 財産所得(非企業部門・純受取) | 内生 | | 100万円 | 県民経済計算 | 各県統計課 |
| XXX_YPRPGV | 財産所得(一般政府・支払) | 内生 | | 100万円 | 県民経済計算 | 各県統計課 |
| XXX_YPRPHV | 財産所得(家計・支払) | 内生 | | 100万円 | 県民経済計算 | 各県統計課 |
| XXX_YPRPNPV | 財産所得(対家計民間非営利団体・支払) | 外生 | | 100万円 | 県民経済計算 | 各県統計課 |
| XXX_YPRRGV | 財産所得(一般政府・受取) | 内生 | | 100万円 | 県民経済計算 | 各県統計課 |
| XXX_YPRRHV | 財産所得(家計・受取) | 内生 | | 100万円 | 県民経済計算 | 各県統計課 |
| XXX_YPRRNPV | 財産所得(対家計民間非営利団体・受取) | 外生 | | 100万円 | 県民経済計算 | 各県統計課 |
| XXX_YWTDV | 雇用者報酬(県内ベース) | 内生 | | 100万円 | 県民経済計算 | 各県統計課 |
| XXX_YWTDV1 | 雇用者報酬(県内ベース・1次産業) | 内生 | | 100万円 | 県民経済計算 | 各県統計課 |
| XXX_YWTDV2 | 雇用者報酬(県内ベース・2次産業) | 内生 | | 100万円 | 県民経済計算 | 各県統計課 |
| XXX_YWTDV3 | 雇用者報酬(県内ベース・3次産業) | 内生 | | 100万円 | 県民経済計算 | 各県統計課 |
| XXX_YWTDV4 | 雇用者報酬(県内ベース・その他) | 外生 | | 100万円 | 県民経済計算 | 各県統計課 |
| XXX_YWTV | 雇用者報酬(県民ベース) | 内生 | | 100万円 | 県民経済計算 | 各県統計課 |
| XXX_YWV | 賃金・俸給 | 内生 | | 100万円 | 県民経済計算 | 各県統計課 |

産業連関ブロックの変数リスト

基本的なルール

- 冒頭のXXXは、地域(府県)をあらわす。また、KINは関西、JPNは全国(日本)、ROWは海外(その他世界)のこと。
XXX={OSA:大阪府、HYO:兵庫県、JKY:京都府、NRA:奈良県、WAK:和歌山県、SGA:滋賀県、FKI:福井県、}

- 最後の##は、IOの行部門からみた府県をあらわす。

1:大阪府の1次産業、2:大阪府の2次産業、3:大阪府の3次産業、4:大阪府のその他産業、5:兵庫県の1次産業、…、28:福井県のその他産業

| 記号 | 変数名 | 内生・外生 | 備考 | 単位 | 出所 |
|--------------|--|-------|---------|-------|------|
| XXX_FDIO## | 最終需要 | 内生 | 純移輸出は除く | 100万円 | 独自推計 |
| KIN_FDIO## | 最終需要(関西計) | 内生 | 純移輸出含む | 100万円 | 独自推計 |
| XXX_EAIO | 輸出 | 内生 | | 100万円 | 独自推計 |
| KIN_EAIO## | 輸出(関西計) | 内生 | | 100万円 | 独自推計 |
| XXX_MAIO## | 輸入 | 内生 | | 100万円 | 独自推計 |
| KIN_MAIO## | 輸入(関西計) | 内生 | | 100万円 | 独自推計 |
| KIN_EDNKIO## | 関西域外への移出 | 内生 | | 100万円 | 独自推計 |
| KIN_MDNKIO## | 関西域外からの移入 | 内生 | | 100万円 | 独自推計 |
| XXX_EDKIO | 関西域内への移出 | 内生 | | 100万円 | 独自推計 |
| XXX_MDKIO | 関西域外からの移入 | 内生 | | 100万円 | 独自推計 |
| KIN_SDPIO## | 最終需要の調整項 | 外生 | | 100万円 | 独自推計 |
| XXX_XIO1 | 産出(1次産業) | 内生 | | 100万円 | 独自推計 |
| XXX_XIO2 | 産出(2次産業) | 内生 | | 100万円 | 独自推計 |
| XXX_XIO3 | 産出(3次産業) | 内生 | | 100万円 | 独自推計 |
| XXX_XIO4 | 産出(その他) | 内生 | | 100万円 | 独自推計 |
| XXX_REA | 輸出(支出ブロックベース)の対輸出(産業連関ブロックベース)比率 | 外生 | 率 | | 独自推計 |
| XXX_RMA | 輸入(支出ブロックベース)の対輸入(産業連関ブロックベース)比率 | 外生 | 率 | | 独自推計 |
| XXX_REDK | 関西域内府県への移出(支出ブロックベース)の対関西域内府県への移出(産業連関ブロックベース)比率 | 外生 | 率 | | 独自推計 |
| XXX_RMDK | 関西域内府県からの移入(支出ブロックベース)の対関西域内府県からの移入(産業連関ブロックベース)比率 | 外生 | 率 | | 独自推計 |
| XXX_RX1 | 産出(県民経済計算ベース)の対産出(産業連関ブロックベース)比率 (1次産業) | 外生 | 率 | | 独自推計 |
| XXX_RX2 | 産出(県民経済計算ベース)の対産出(産業連関ブロックベース)比率 (2次産業) | 外生 | 率 | | 独自推計 |
| XXX_RX3 | 産出(県民経済計算ベース)の対産出(産業連関ブロックベース)比率 (3次産業) | 外生 | 率 | | 独自推計 |
| XXX_RX4 | 産出(県民経済計算ベース)の対産出(産業連関ブロックベース)比率 (その他) | 外生 | 率 | | 独自推計 |

2. 方程式・定義式リスト

※方程式1297本(うち推定式148本、定義式 1149本)

2-1 実質支出ブロック

(1) 家計最終消費支出(実質) : 1980-2004

$$\begin{aligned} <1> \text{LOG(OSA_CPH)} = & 1.92993 + 0.092569(\text{LOG(OSA_YDHV/OSA_PCPH*100)}) \\ & (3.399971) \quad (2.133787) \\ & + 0.792103(\text{LOG(OSA_CPH(-1)))} - 0.046878(\text{D80+D81}) - 0.03121(\text{D89}) - 0.034744(\text{D97}) \\ & (24.20375) \quad (-4.487771) \quad (-2.787716) \quad (-3.042391) \\ \text{ADJ.R2} = & 0.989173 \quad \text{SER} = 0.010892 \quad \text{D.W.} = 2.032693 \end{aligned}$$

$$<2> \text{LOG(HYO_CPH)} = 0.588016 + 0.536838(\text{LOG(HYO_YDHV/HYO_PCPH*100)})$$

$$\begin{aligned} & (1.743202) \quad (3.862935) \\ & + 0.418074(\text{LOG(HYO_CPH(-1)))} - 0.051039(\text{D94+D95+D96+D97+D98+D99}) \\ & (2.885668) \quad (-5.179789) \\ & + -0.07023(\text{D00}) - 0.027297(\text{D01+D02+D03}) \\ & (-4.029956) \quad (-3.176469) \\ \text{ADJ.R2} = & 0.993163 \quad \text{SER} = 0.011121 \quad \text{D.W.} = 2.213514 \end{aligned}$$

$$<3> \text{LOG(KYO_CPH)} = 0.631633 + 0.06838(\text{LOG(KYO_YDHV/KYO_PCPH*100)}) \quad \text{【1985-2004】}$$

$$\begin{aligned} & (0.809992) \quad (1.183262) \\ & + 0.889879(\text{LOG(KYO_CPH(-1)))} - 0.028223(\text{D97+D98}) \\ & (26.0936) \quad (-3.355744) \\ \text{ADJ.R2} = & 0.981292 \quad \text{SER} = 0.01072 \quad \text{D.W.} = 2.332173 \end{aligned}$$

$$<4> \text{LOG(NRA_CPH)} = 2.231753 + 0.644949(\text{LOG(NRA_YDHV/NRA_PCPH*100)}) \quad \text{【1985-2004】}$$

$$\begin{aligned} & (3.199091) \quad (3.272058) \\ & + 0.190308(\text{LOG(NRA_CPH(-1)))} + -0.110537(\text{D85}) + 0.093396(\text{D95}) - 0.047516(\text{D02}) \\ & (1.07442) \quad (-4.084979) \quad (3.622619) \quad (-1.944023) \\ \text{ADJ.R2} = & 0.973734 \quad \text{SER} = 0.023148 \quad \text{D.W.} = 1.85983 \end{aligned}$$

$$<5> \text{LOG(WAK_CPH)} = 1.084072 + 0.172452(\text{LOG(WAK_YDHV/WAK_PCPH*100)})$$

$$\begin{aligned} & (2.374665) \quad (1.732238) \\ & 0.748407(\text{LOG(WAK_CPH(-1)))} - 0.045909(\text{D80}) \end{aligned}$$

(6.907829) (-2.36997)
ADJ.R2 = 0.979885 SER = 0.977012 D.W. = -4.886168

<6>SGA_CPH = 0.344205 + 0.168902(LOG(SGA_YDHV/SGA_PCPH*100))
(0.660349) (1.21309)
+ 0.804349(LOG(SGA_CPH(-1)))
(6.759275)

ADJ.R2 = 0.986153 SER = 0.984895 DW = 2.396571

<7>LOG(FKI_CPH)= 0.276432+0.166203(LOG(FKI_YDHV/FKI_PCPH*100)
(0.740055) (1.169355)
+0.812641(LOG(FKI_CPH(-1))+0.036149(D87+D88) -0.035941(D97+D98)
(6.152358) (2.791184) (-2.697412)

ADJ.R2 = 0.98802 SER = 0.017325 D.W. = 1.210154

<8> KIN_CPH = OSA_CPH + HYO_CPH + KYO_CPH + NRA_CPH + WAK_CPH +
SGA_CPH + FKI_CPH

(2) 対家計民間非営利団体最終消費支出（実質）

<9>KIN_CPN= OSA_CPN + HYO_CPN + KYO_CPN + NRA_CPN + WAK_CPN + SGA_CPN +
FKI_CPN

(3) 民間最終消費支出（実質）

<10> OSA_CP = OSA_CPH + OSA_CPN
<11> HYO_CP = HYO_CPH + HYO_CPN
<12> KYO_CP = KYO_CPH + KYO_CPN
<13> NRA_CP = NRA_CPH + NRA_CPN
<14> WAK_CP = WAK_CPH + WAK_CPN
<15> SGA_CP = SGA_CPH + SGA_CPN
<16> FKI_CP = FKI_CPH + FKI_CPN

<17> KIN_CP = OSA_CP + HYO_CP + KYO_CP + NRA_CP + WAK_CP + SGA_CP +
FKI_CP

(4) 政府最終消費支出（実質）

<18>KIN(CG= OSA(CG + HYO(CG + KYO(CG + NRA(CG + WAK(CG + SGA(CG +
FKI(CG

(5) 民間住宅投資（実質）：1980－2004

<19> $\text{LOG}(\text{OSA_IPH}) = -12.25161 + 1.786269(\text{LOG}(\text{OSA_YDHV}/(\text{OSA_PIPH}/100)))$
 $\quad \quad \quad (-3.463656) \quad (6.726687)$
 $-0.036635(\text{JPN_RGB}-(\text{OSA_PIPH}/\text{OSA_PIPH}(-1)-1)*100) -0.212766(\text{LOG}(\text{OSA_KPH}(-1)))$
 $\quad \quad \quad (-3.768137) \quad \quad \quad (-2.475366)$
 $-0.248204(\text{D84}) -0.201438(\text{D91+D92})$
 $\quad \quad \quad (-3.101685) \quad (-3.248795)$

ADJ.R2 = 0.836349 SER = 0.075921 D.W. = 1.555175

<20> $\text{LOG}(\text{HYO_IPH}) = -104335.3 + 0.157598(\text{HYO_YDHV}/\text{HYO_PIPH}^*100)$
 $\quad \quad \quad (-0.437064) \quad (5.372189)$
 $-39895.76((\text{JPN_RGB}-(\text{HYO_PIPH}/\text{HYO_PIPH}(-1)-1)*100)-0.045336(\text{HYO_KPH}(-1)))$
 $\quad \quad \quad (-3.151816) \quad \quad \quad (-4.893734)$
 $+578020.4(\text{D95+D96})$
 $\quad \quad \quad (6.904401)$

ADJ.R2 = 0.866722 SER = 101598.9 D.W. = 1.324062

<21> $\text{LOG}(\text{KYO_IPH}) = -10.03731 + 2.213535(\text{LOG}(\text{KYO_YDHV}/\text{KYO_PIPH}^*100))$
 $\quad \quad \quad (-3.28821) \quad (7.665779)$
 $-0.02755(\text{JPN_RGB}-(\text{KYO_PIPH}/\text{KYO_PIPH}(-1)-1)*100) -0.718219(\text{LOG}(\text{KYO_KPH}(-1)))$
 $\quad \quad \quad (-3.073184) \quad \quad \quad (-6.252925)$
 $+ -0.23079(\text{D84+D85+D86}) -0.202235(\text{D91+D92}) -0.110029(\text{D03+D0409})$
 $\quad \quad \quad (-4.838734) \quad \quad \quad (-3.758967) \quad \quad \quad (-1.821197)$

ADJ.R2 = 0.824146 SER = 0.068624 D.W. = 2.077322

<22> $\text{LOG}(\text{NRA_IPH}) = 14.16717 + 0.83262(\text{LOG}(\text{NRA_YDHV}/\text{NRA_PIPH}^*100))$
 $\quad \quad \quad (8.213252) \quad (2.5379729)$
 $-0.020931(\text{JPN_RGB}-(\text{NRA_PIPH}/\text{NRA_PIPH}(-1)-1)*100) -0.9302(\text{LOG}(\text{NRA_KPH}(-1)))$
 $\quad \quad \quad (-2.483635) \quad \quad \quad (-3.996802)$
 $-0.194922(\text{D84+D85+D86}) + 0.239117(\text{D89+D90}) + 0.198242(\text{D94+D95+D96})$
 $\quad \quad \quad (-4.666717) \quad \quad \quad (4.649478) \quad \quad \quad (4.712096)$

ADJ.R2 = 0.845213 SER = 0.061669 D.W. = 2.209052

<23> $\text{LOG}(\text{WAK_IPH}/\text{WAK_KPH}(-1)) = -2.2106$

$\quad \quad \quad (-24.63448)$

$+1.9367(\text{LOG}(\text{WAK_YDHV}/\text{WAK_PIPH}*100/\text{WAK_KPH}(-1)))$
(14.31058)
 $-0.033712((\text{JPN_RGB}-(\text{WAK_PIPH}/\text{WAK_PIPH}(-1)-1)*100)$
(-2.952188)
 $+ 0.286371(\text{D88}+\text{D89}+\text{D90}+\text{D91}+\text{D92}+\text{D93}+\text{D94}+\text{D95}+\text{D96}) - 0.235462(\text{D03}+\text{D04})$
(6.712564) (-2.872437)

ADJ.R2 =0.935491 SER = 0.097715 D.W. = 1.927395

<24> $\text{LOG}(\text{SGA_IPH}) = -3.139602 + 1.805529(\text{LOG}(\text{SGA_YDHV}/\text{SGA_PIPH}*100))$
(-1.08488) (4.901522)
 $-0.027652(\text{JPN_RGB}-(\text{SGA_PIPH}/\text{SGA_PIPH}(-1)-1)*100) - 0.732971(\text{LOG}(\text{SGA_KPH}(-1)))$
(-3.111344) (-4.077635)
 $-0.187416(\text{D84}+\text{D85}+\text{D86}) + 0.131873(\text{D93}+\text{D94}+\text{D95}+\text{D96}) - 0.221743(\text{D03}+\text{D0409})$
(-4.032776) (3.144693) (-3.786482)

ADJ.R2 =0.867431 SER = 0.068355 D.W. = 1.766968

<25> $\text{LOG}(\text{FKI_IPH}) = 6.130372 + 1.308396(\text{LOG}(\text{FKI_YDHV}/\text{FKI_PIPH}*100))$
(2.432856) (3.194951)
 $-0.032958(\text{JPN_RGB}-(\text{FKI_PIPH}/\text{FKI_PIPH}(-1)-1)*100) - 0.872927(\text{LOG}(\text{FKI_KPH}(-1)))$
(-3.296197) (-3.420358)
 $+ 0.285386(\text{D94}+\text{D95}+\text{D96}) + 0.151336(\text{D99}+\text{D00})$
(5.677341) (2.520093)

ADJ.R2 =0.721328 SER = 0.07614 D.W. = 1.622464

<26> $\text{KIN_IPH} = \text{OSA_IPH} + \text{HYO_IPH} + \text{KYO_IPH} + \text{NRA_IPH} + \text{WAK_IPH} + \text{SGA_IPH}$
+ FKI_IPH

(6) 民間住宅資本ストック推移式（実質）

<27> $\text{OSA_KPH}=(1-\text{OSA_RRPH}/100)* \text{OSA_KPH}(-1)+\text{OSA_IPH}$
<28> $\text{HYO_KPH}=(1-\text{HYO_RRPH}/100)* \text{HYO_KPH}(-1)+\text{HYO_IPH}$
<29> $\text{KYO_KPH}=(1-\text{KYO_RRPH}/100)* \text{KYO_KPH}(-1)+\text{KYO_IPH}$
<30> $\text{NRA_KPH}=(1-\text{NRA_RRPH}/100)* \text{NRA_KPH}(-1)+\text{NRA_IPH}$
<31> $\text{WAK_KPH}=(1-\text{WAK_RRPH}/100)* \text{WAK_KPH}(-1)+\text{WAK_IPH}$
<32> $\text{SGA_KPH}=(1-\text{SGA_RRPH}/100)* \text{SGA_KPH}(-1)+\text{SGA_IPH}$
<33> $\text{FKI_KPH}=(1-\text{FKI_RRPH}/100)* \text{FKI_KPH}(-1)+\text{FKI_IPH}$

<34> KIN_KPH = OSA_KPH + HYO_KPH + KYO_KPH + NRA_KPH + WAK_KPH +
SGA_KPH
+ FKI_KPH

(7) 民間企業設備投資（実質・2次産業）：1980－2004

<35>LOG(OSA_IPF2) = 2.224312 + 1.434707(LOG(OSA_X2))
(0.938319) (12.80518)
-0.100726(JPN_RGB-(OSA_PIPF/OSA_PIPF(-1)-1)*100) -0.717484(LOG(OSA_KPF2(-1)))
(-5.625428) (-7.250301)
-0.456781(D80) -0.16834(D95+D96+D97)
(-4.59219) (-4.388492)
ADJ.R2 = 0.906665 SER = 0.05788 D.W. = 2.159992

<36>LOG((HYO_IPF2)/HYO_KPF2(-1)) = -2.509599 + 1.394541(LOG(HYO_X2/HYO_KPF2(-1)))
(-50.61036) (18.42162)
-0.004356((JPN_RGB-(HYO_PIPF/HYO_PIPF(-1)-1)*100) -0.130959(D80+D81+D82+D83)
(-0.405729) (-3.088278)
+ 0.179824(D86+D87+D88+D89)
(4.798953)
ADJ.R2 = 0.945178 SER = 0.061469 D.W. = 2.319556

<37> LOG(KYO_IPF2) = -1.167719 + 1.344138(LOG(KYO_X2))
(-0.68747) (7.948535)
-0.011296(JPN_RGB-(KYO_PIPF/KYO_PIPF(-1)-1)*100) -0.456816(LOG(KYO_KPF2(-1)))
(-0.620507) (-3.574191)
-0.188503(D93+D94+D95+D96) + 0.165426(D03+D0409)
(-3.528316) (2.288954)
ADJ.R2 = 0.848483 SER = 0.079623 D.W. = 1.843658

<38>LOG(NRA_IPF2) = -3.299987 + 1.046896(LOG(NRA_X2))
(-1.317508) (6.223288)
-0.06235(JPN_RGB-(NRA_PIPF/NRA_PIPF(-1)-1)*100) -0.210127(D80+D81)
(-4.40882) (-2.424514)
-0.22686(D85+D86+D87+D88) + 0.448846(D02+D03)
(-4.042999) (5.79801)
ADJ.R2 = 0.877245 SER = 0.095728 D.W. = 2.117389

$\text{<39>LOG(WAK_IPF2) = } -0.503448 + 0.833354(\text{LOG(WAK_X2)}$
 $\quad \quad \quad (-0.091616) \quad (2.252023)$
 $\quad \quad \quad -0.001515(\text{JPN_RGB-(WAK_PIPF/WAK_PIPF(-1)-1)*100})$
 $\quad \quad \quad (-0.228953)$
 $\quad \quad \quad + 0.39303(\text{D87+D88+D89+D90+D91+D92+D93+D94}) + 0.409933(\text{D96+D97+D98+D99})$
 $\quad \quad \quad (6.622144) \quad (5.558523)$

ADJ.R2 = 0.720826 SER = 0.127023 D.W. = 2.065288

$\text{<40>LOG((SGA_IPF2)/SGA_KPF2(-1)) = } -2.823941 + 1.585975(\text{LOG(SGA_X2/SGA_KPF2(-1)))}$
 $\quad \quad \quad (-43.79476) \quad (11.03556)$
 $\quad \quad \quad -0.00764(\text{JPN_RGB-(SGA_PIPF/SGA_PIPF(-1)-1)*100}) \quad -0.172477(\text{D93+D94}) \quad +$
 $\quad \quad \quad 0.166278(\text{D01})$
 $\quad \quad \quad (-0.523211) \quad (-2.809298) \quad (1.844318)$

ADJ.R2 = 0.881437 SER = 0.08207 D.W. = 1.772897

$\text{<41>LOG(FKI_IPF2) = } 5.631438 + 1.001897(\text{LOG(FKI_X2)})$
 $\quad \quad \quad (2.653895) \quad (2.489751)$
 $\quad \quad \quad -0.039084(\text{JPN_RGB-(FKI_PIPF/FKI_PIPF(-1)-1)*100}) \quad -0.56538(\text{LOG(FKI_KPF2(-1)))})$
 $\quad \quad \quad (-1.675996) \quad (-1.730168)$
 $\quad \quad \quad + 0.635946(\text{D84}) \quad + 0.350316(\text{D88+D89+D90+D91})$
 $\quad \quad \quad (5.405485) \quad (4.76629)$

ADJ.R2 = 0.781394 SER = 0.110756 D.W. = 1.27803

$\text{<42> KIN_IPF2} = \text{OSA_IPF2} + \text{HYO_IPF2} + \text{KYO_IPF2} + \text{NRA_IPF2} + \text{WAK_IPF2} +$
 $\quad \quad \quad \text{SGA_IPF2} + \text{FKI_IPF2}$

(8) 民間企業資本ストック推移式（実質・2次産業）

$\text{<43>OSA_KPF2}=(1-\text{OSA_RRPF2}/100)*\text{OSA_KPF2}(-1)+\text{OSA_IPF2}$

$\text{<44>HYO_KPF2}=(1-\text{HYO_RRPF2}/100)*\text{HYO_KPF2}(-1)+\text{HYO_IPF2}$

$\text{<45>KYO_KPF2}=(1-\text{KYO_RRPF2}/100)*\text{KYO_KPF2}(-1)+\text{KYO_IPF2}$

$\text{<46>NRA_KPF2}=(1-\text{NRA_RRPF2}/100)*\text{NRA_KPF2}(-1)+\text{NRA_IPF2}$

$\text{<47>WAK_KPF2}=(1-\text{WAK_RRPF2}/100)*\text{WAK_KPF2}(-1)+\text{WAK_IPF2}$

$\text{<48>SGA_KPF2}=(1-\text{SGA_RRPF2}/100)*\text{SGA_KPF2}(-1)+\text{SGA_IPF2}$

$\text{<49>FKI_KPF2}=(1-\text{FKI_RRPF2}/100)*\text{FKI_KPF2}(-1)+\text{FKI_IPF2}$

$\text{<50> KIN_KPF2} = \text{OSA_KPF2} + \text{HYO_KPF2} + \text{KYO_KPF2} + \text{NRA_KPF2} + \text{WAK_KPF2}$

+ SGA_KPF2 + FKI_KPF2

(9) 民間企業設備投資（実質・3次産業）：1980－2004

$$<51> \text{OSA_IPF3} = -35.93427 + 3.532983(\text{LOG(OSA_X3}))$$

(-11.92712) (13.33645)

$$-0.617735((\text{LOG(OSA_KPF3(-1)))}) + 0.140208(\text{D86+D87+D88}) +$$

0.117272(D02+D03+D0409)

(-6.39336) (4.921824) (3.381389)

ADJ.R2 = 0.979093 SER = 0.044908 D.W. = 2.160728

$$<52> \text{LOG(HYO_IPF3)} = -33.77542 + 2.890073(\text{LOG(HYO_X3)}) - 0.005317(\text{LOG(HYO_KPF3(-1)))})$$

(-7.075372) (7.67971) (-0.053453)

$$+ 0.357136(\text{D90+D91+D92}) + 0.177901(\text{D94+D95+D96})$$

(7.460345) (3.628307)

$$- 0.143667(\text{D99+D00+D01+D02+D03})$$

(-3.021948)

ADJ.R2 = 0.961519 SER = 0.067261 D.W. = 2.34416

$$<53> \text{LOG(KYO_IPF3)} = -22.61509 + 2.416716(\text{LOG(KYO_X3)})$$

(-6.456384) (8.155728)

$$- 0.152731(\text{LOG(KYO_KPF3(-1)))}) - 0.180563(\text{D84})$$

(-1.884778) (-3.377475)

$$+ 0.235478(\text{D90+D91+D92}) - 0.099143(\text{D98+D99})$$

(7.544447) (-2.5684)

ADJ.R2 = 0.963054 SER = 0.049624 D.W. = 1.406114

$$<54> \text{LOG(NRA_IPF3)} = -1.109936 + 0.353718(\text{LOG(NRA_X3)}) + 0.663005((\text{LOG(NRA_IPF3(-1)))})$$

(-1.749757) (3.117802) (6.015407)

$$+ 0.189595(\text{D85+D86+D87+D88+D89}) + 0.107365(\text{D96-D97-D98})$$

(4.855873) (2.725843)

ADJ.R2 = 0.964414 SER = 0.066837 D.W. = 2.390693

$$<55> \text{LOG(WAK_IPF3)} = -8.311429 + 1.386422(\text{LOG(WAK_X3)}) - 0.383599((\text{D84+D85}))$$

(-3.718212) (9.079755) (-4.834098)

$$+ 0.227492(\text{D90+D91+D92+D93+D94+D95+D96}) - 0.334434(\text{D01})$$

(4.64548) (-3.043468)

ADJ.R2 =0.897157 SER = 0.102841 D.W. = 1.836811

$$\begin{aligned} <56> \text{SGA_IPF3} = & -0.334332 + 0.183158(\text{LOG}(\text{SGA_X3}) \\ & (-0.403694) \quad (1.17409) \\ & + 0.808745(\text{LOG}(\text{SGA_IPF3}(-1))) + 0.117544(\text{D96-D97-D98-D99}) \\ & (5.548426) \quad (2.952955) \end{aligned}$$

ADJ.R2 =0.951721 SER = 0.074602 D.W. = 1.80828

$$\begin{aligned} <57> \text{LOG}(\text{FKI_IPF3}) = & -3.597353 + 1.084048(\text{LOG}(\text{FKI_X3}) + 0.18414((\text{D86+D87+D88+D89})) \\ & (-1.298451) (5.799166) \quad (3.200433) \\ & + 0.407962(\text{D90+D91}) - 0.217947(\text{D01+D02+D03}) \\ & (5.284682) \quad (-3.02291) \end{aligned}$$

ADJ.R2 =0.730298 SER = 0.102775 D.W. = 1.741488

$$\begin{aligned} <58> \text{KIN_IPF3} = & \text{OSA_IPF3} + \text{HYO_IPF3} + \text{KYO_IPF3} + \text{NRA_IPF3} + \text{WAK_IPF3} + \\ & \text{SGA_IPF3} \\ & + \text{FKI_IPF3} \end{aligned}$$

(10) 民間企業資本ストック推移式（実質・3次産業）

$$\begin{aligned} <59> \text{OSA_KPF3} = & (1 - \text{OSA_RRPF3}/100) * \text{OSA_KPF3}(-1) + \text{OSA_IPF3} \\ <60> \text{HYO_KPF3} = & (1 - \text{HYO_RRPF3}/100) * \text{HYO_KPF3}(-1) + \text{HYO_IPF3} \\ <61> \text{KYO_KPF3} = & (1 - \text{KYO_RRPF3}/100) * \text{KYO_KPF3}(-1) + \text{KYO_IPF3} \\ <62> \text{NRA_KPF3} = & (1 - \text{NRA_RRPF3}/100) * \text{NRA_KPF3}(-1) + \text{NRA_IPF3} \\ <63> \text{WAK_KPF3} = & (1 - \text{WAK_RRPF3}/100) * \text{WAK_KPF3}(-1) + \text{WAK_IPF3} \\ <64> \text{SGA_KPF3} = & (1 - \text{SGA_RRPF3}/100) * \text{SGA_KPF3}(-1) + \text{SGA_IPF3} \\ <65> \text{FKI_KPF3} = & (1 - \text{FKI_RRPF3}/100) * \text{FKI_KPF3}(-1) + \text{FKI_IPF3} \\ <66> \text{KIN_KPF3} = & \text{OSA_KPF3} + \text{HYO_KPF3} + \text{KYO_KPF3} + \text{NRA_KPF3} + \text{WAK_KPF3} + \\ & \text{SGA_KPF3} + \text{FKI_KPF3} \end{aligned}$$

(11) 民間企業設備投資（実質・全産業）

$$\begin{aligned} <67> \text{OSA_IPF} = & \text{OSA_IPF1} + \text{OSA_IPF2} + \text{OSA_IPF3} \\ <68> \text{HYO_IPF} = & \text{HYO_IPF1} + \text{HYO_IPF2} + \text{HYO_IPF3} \\ <69> \text{KYO_IPF} = & \text{KYO_IPF1} + \text{KYO_IPF2} + \text{KYO_IPF3} \\ <70> \text{NRA_IPF} = & \text{NRA_IPF1} + \text{NRA_IPF2} + \text{NRA_IPF3} \\ <71> \text{WAK_IPF} = & \text{WAK_IPF1} + \text{WAK_IPF2} + \text{WAK_IPF3} \\ <72> \text{SGA_IPF} = & \text{SGA_IPF1} + \text{SGA_IPF2} + \text{SGA_IPF3} \end{aligned}$$

<73> FKI_IPF = FKI_IPF1 + FKI_IPF2 + FKI_IPF3

<74> KIN_IPF = OSA_IPF + HYO_IPF + KYO_IPF + NRA_IPF + WAK_IPF + SGA_IPF
+ FKI_IPF

(12) 総固定資本形成（実質・公的）

<75> KIN_IG = OSA_IG + HYO_IG + KYO_IG + NRA_IG + WAK_IG + SGA_IG + FKI_IG

(13) 輸出（実質）：1980-2004

<76>: LOG(KIN_EA) = 16.90094 + 0.485089(LOG(ROW_XGVD/ROW_PXGD)

(36.97244) (20.03761)

-0.480125((LOG(ROW_PXGD*JPN_FXS/KIN_PEA))

(-5.168758)

+0.106273(D89+D90+D91+D92)-0.116571(D01)

(3.940842) (-2.226071)

ADJ.R2 = 0.970176 SER = 0.962327 D.W. = -2.720116

<77> OSA_EA = OSA_REA * KIN_EA

<78> HYO_EA = HYO_REA * KIN_EA

<79> KYO_EA = KYO_REA * KIN_EA

<80> NRA_EA = NRA_REA * KIN_EA

<81> WAK_EA = WAK_REA * KIN_EA

<82> SGA_EA = SGA_REA * KIN_EA

<83> FKI_EA = FKI_REA * KIN_EA

(14) 関西域外への移出（実質）：1981-2004

<84> LOG(KIN_EDNK) = 4.082596 + 0.664198(LOG(NKIN_GDP)

(5.873294) (18.77801)

0.09494(D86+D87+D88+D89+D90+D91+D92+D93+D94+D95+D96) -0.076562(D02+D03+D0409)

(7.267164) (-3.46227)

ADJ.R2 = 0.955536 SER = 0.029572 D.W. = 1.582908

<85> OSA_EDNK = OSA_REDNK * KIN_EDNK

<86> HYO_EDNK = HYO_REDNK * KIN_EDNK

<87> KYO_EDNK = KYO_REDNK * KIN_EDNK

<88> NRA_EDNK = NRA_REDNK * KIN_EDNK

<89> WAK_EDNK = WAK_REDNK * KIN_EDNK

<90> SGA_EDNK = SGA_REDNK *KIN_EDNK
<91> FKI_EDNK = FKI_REDNK *KIN_EDNK

(15) 関西域内への移出（実質）：1981-2004

<92> OSA_EDK = OSA_REDK *KIN_EDKIO
<93> HYO_EDK = HYO_REDK *KIN_EDKIO
<94> KYO_EDK = KYO_REDK *KIN_EDKIO
<95> NRA_EDK = NRA_REDK *KIN_EDKIO
<96> WAK_EDK = WAK_REDK *KIN_EDKIO
<97> SGA_EDK = SGA_REDK *KIN_EDKIO
<98> FKI_EDK = FKI_REDK *KIN_EDKIO

(16) 移出（実質）

<99> OSA_ED = OSA_EDK + OSA_EDNK
<100> HYO_ED = HYO_EDK + HYO_EDNK
<101> KYO_ED = KYO_EDK + KYO_EDNK
<102> NRA_ED = NRA_EDK + NRA_EDNK
<103> WAK_ED = WAK_EDK + WAK_EDNK
<104> SGA_ED = SGA_EDK + SGA_EDNK
<105> FKI_ED = FKI_EDK + FKI_EDNK

(17) 移輸出（実質）

<106> OSA_E = OSA_EA + OSA_ED
<107> HYO_E = HYO_EA + HYO_ED
<108> KYO_E = KYO_EA + KYO_ED
<109> NRA_E = NRA_EA + NRA_ED
<110> WAK_E = WAK_EA + WAK_ED
<111> SGA_E = SGA_EA + SGA_ED
<112> FKI_E = FKI_EA + FKI_ED

(18) 輸入（実質）：1981-2004

<113> OSA_MA = OSA_RMA *OSA_MAIO
<114> HYO_MA = HYO_RMA *HYO_MAIO
<115> KYO_MA = KYO_RMA *KYO_MAIO
<116> NRA_MA = NRA_RMA *NRA_MAIO
<117> WAK_MA = WAK_RMA *WAK_MAIO

<118> SGA_MA = SGA_RMA *SGA_MAIO
<119> FKI_MA = FKI_RMA *FKI_MAIO
<120> KIN_MA = OSA_MA + HYO_MA + KYO_MA + NRA_MA + WAK_MA
+ SGA_MA + FKI_MA

(19) 関西域外からの移入（実質）：1980-2004

<121> OSA_MDNK = OSA_RMDNK *KIN_MDNKIO
<122> HYO_MDNK = HYO_RMDNK *KIN_MDNKIO
<123> KYO_MDNK = KYO_RMDNK *KIN_MDNKIO
<124> NRA_MDNK = NRA_RMDNK *KIN_MDNKIO
<125> WAK_MDNK = WAK_RMDNK *KIN_MDNKIO
<126> SGA_MDNK = SGA_RMDNK *KIN_MDNKIO
<127> FKI_MDNK = FKI_RMDNK *KIN_MDNKIO
<128> KIN_MDNK = OSA_MDNK + HYO_MDNK + KYO_MDNK + NRA_MDNK
+ WAK_MDNK + SGA_MDNK + FKI_MDNK

(20) 関西域内からの移入（実質）：1980-2004

<129> OSA_MDK = OSA_RMDK *KIN_MDKIO
<130> HYO_MDK = HYO_RMDK *KIN_MDKIO
<131> KYO_MDK = KYO_RMDK *KIN_MDKIO
<132> NRA_MDK = NRA_RMDK *KIN_MDKIO
<133> WAK_MDK = WAK_RMDK *KIN_MDKIO
<134> SGA_MDK = SGA_RMDK *KIN_MDKIO
<135> FKI_MDK = FKI_RMDK *KIN_MDKIO

(21) 移入（実質）

<136> OSA_MD = OSA_MDK + OSA_MDNK
<137> HYO_MD = HYO_MDK + HYO_MDNK
<138> KYO_MD = KYO_MDK + KYO_MDNK
<139> NRA_MD = NRA_MDK + NRA_MDNK
<140> WAK_MD = WAK_MDK + WAK_MDNK
<141> SGA_MD = SGA_MDK + SGA_MDNK
<142> FKI_MD = FKI_MDK + FKI_MDNK

(22) 移輸入（実質）

<143> OSA_M = OSA_MA + OSA_MD

<144> HYO_M = HYO_MA + HYO_MD
 <145> KYO_M = KYO_MA + KYO_MD
 <146> NRA_M = NRA_MA + NRA_MD
 <147> WAK_M = WAK_MA + WAK_MD
 <148> SGA_M = SGA_MA + SGA_MD
 <149> FKI_M = FKI_MA + FKI_MD
 <150> KIN_M = OSA_M + HYO_M + KYO_M + NRA_M + WAK_M + SGA_M + FKI_M

(23) 県内総生産（実質）

<151> OSA_GDP = OSA_CP + OSAIPH + OSAPIF + OSAIG + OSACG + OSAJ + OSEA
 – OSA_M+ OSA_SDP
 <152> HYO_GDP = HYO_CP + HYOIPH + HYOIPF + HYOIG + HYOCG + HYOJ + HYOE
 – HYO_M+ HYO_SDP
 <153> KYO_GDP = KYO_CP + KYOIPH + KYOIPF + KYOIG + KYOCG + KYOJ + KYOE
 – KYO_M+ KYO_SDP
 <154> NRA_GDP = NRA_CP + NRAIPH + NRAIPF + NRAIG + NRACG + NRAJ + NRAE
 – NRA_M+ NRA_SDP
 <155> WAK_GDP = WAK_CP + WAKIPH + WAKIPF + WAKIG + WAKCG + WAKJ
 + WAKE – WAK_M+ WAK_SDP
 <156> SGA_GDP = SGA_CP + SGAIPH + SGAIPF + SGAIIG + SGACG + SGAJ + SGAE
 – SGA_M+ SGA_SDP
 <157> FKI_GDP = FKI_CP + FKIIPH + FKIIPF + FKIIG + FKICG + FKIJ + FKIE
 – FKI_M+ FKI_SDP

 <158> KIN_GDP = OSA_GDP + HYO_GDP + KYO_GDP + NRA_GDP + WAK_GDP + SGA_GDP
 + FKI_GDP

2-2 名目支出ブロック

(1) 家計最終消費支出（名目）

<159> OSA_CPHV = OSA_PCPH * OSA_CPH / 100
 <160> HYO_CPHV = HYO_PCPH * HYO_CPH / 100
 <161> KYO_CPHV = KYO_PCPH * KYO_CPH / 100
 <162> NRA_CPHV = NRA_PCPH * NRA_CPH / 100
 <163> WAK_CPHV = WAK_PCPH * WAK_CPH / 100

<164> SGA_CPHV = SGA_PCPH * SGA_CPH / 100

<165> FKI_CPHV = FKI_PCPH * FKI_CPH / 100

<166> KIN_CPHV = OSA_CPHV + HYO_CPHV + KYO_CPHV + NRA_CPHV
+ WAK_CPHV + SGA_CPHV + FKI_CPHV

(デフレーター)

<167> KIN_PCPH = KIN_CPHV / KIN_CPH * 100

(2) 対家計民間非営利団体消費支出（名目）

<168> OSA_CPNV = OSA_PCPN * OSA_CPN / 100

<169> HYO_CPNV = HYO_PCPN * HYO_CPN / 100

<170> KYO_CPNV = KYO_PCPN * KYO_CPN / 100

<171> NRA_CPNV = NRA_PCPN * NRA_CPN / 100

<172> WAK_CPNV = WAK_PCPN * WAK_CPN / 100

<173> SGA_CPNV = SGA_PCPN * SGA_CPN / 100

<177> FKI_CPNV = FKI_PCPN * FKI_CPN / 100

<174> KIN_CPNV = OSA_CPNV + HYO_CPNV + KYO_CPNV + NRA_CPNV + WAK_CPNV
+ SGA_CPNV + FKI_CPNV

(デフレーター)

<175> KIN_PCPN = KIN_CPNV / KIN_CPN * 100

(3) 民間最終消費支出（名目）

<176> OSA_CPV = OSA_PCP * OSA_CP / 100

<177> HYO_CPV = HYO_PCP * HYO_CP / 100

<178> KYO_CPV = KYO_PCP * KYO_CP / 100

<179> NRA_CPV = NRA_PCP * NRA_CP / 100

<180> WAK_CPV = WAK_PCP * WAK_CP / 100

<181> SGA_CPV = SGA_PCP * SGA_CP / 100

<182> FKI_CPV = FKI_PCP * FKI_CP / 100

<183> KIN_CPV = OSA_CPV + HYO_CPV + KYO_CPV + NRA_CPV + WAK_CPV
+ SGA_CPV + FKI_CPV

(デフレーター)

<184> KIN_PCP = KIN_CPV / KIN_CP * 100

(4) 政府最終消費支出（名目）

<185> OSA_CGV = OSA_PCG * OSA(CG / 100
<186> HYO_CGV = HYO_PCG * HYO(CG / 100
<187> KYO_CGV = KYO_PCG * KYO(CG / 100
<188> NRA_CGV = NRA_PCG * NRA(CG / 100
<189> WAK_CGV = WAK_PCG * WAK(CG / 100
<190> SGA_CGV = SGA_PCG * SGA(CG / 100
<191> FKI_CGV = FKI_PCG * FKI(CG / 100

<192> KIN_CGV = OSA_CGV + HYO_CGV + KYO_CGV + NRA_CGV + WAK_CGV
+ SGA_CGV + FKI_CGV
(デフレーター)
<193> KIN_PCG = KIN_CGV / KIN(CG * 100

(5) 家計住宅投資（名目）

<194> OSA_IPHV = OSA_PIPH * OSA(IPH / 100
<195> HYO_IPHV = HYO_PIPH * HYO(IPH / 100
<196> KYO_IPHV = KYO_PIPH * KYO(IPH / 100
<197> NRA_IPHV = NRA_PIPH * NRA(IPH / 100
<198> WAK_IPHV = WAK_PIPH * WAK(IPH / 100
<199> SGA_IPHV = SGA_PIPH * SGA(IPH / 100
<200> FKI_IPHV = FKI_PIPH * FKI(IPH / 100

<201> KIN_IPHV = OSA_IPHV + HYO_IPHV + KYO_IPHV + NRA_IPHV + WAK_IPHV
+ SGA_IPHV + FKI_IPHV
(デフレーター)
<202> KIN_PIPH = KIN_IPHV / KIN(IPH * 100

(6) 民間企業設備投資（名目・1次産業）

<203> OSA_IPFV1 = OSA_PIPF1 * OSA(IPF1 / 100
<204> HYO_IPFV1 = HYO_PIPF1 * HYO(IPF1 / 100
<205> KYO_IPFV1 = KYO_PIPF1 * KYO(IPF1 / 100
<206> NRA_IPFV1 = NRA_PIPF1 * NRA(IPF1 / 100
<207> WAK_IPFV1 = WAK_PIPF1 * WAK(IPF1 / 100
<208> SGA_IPFV1 = SGA_PIPF1 * SGA(IPF1 / 100
<209> FKI_IPFV1 = FKI_PIPF1 * FKI(IPF1 / 100

(7) 民間企業設備投資（名目・2次産業）

<210> OSA_IPFV2 = OSA_PIPF2 * OSA_IPF2 / 100
<211> HYO_IPFV2 = HYO_PIPF2 * HYO_IPF2 / 100
<212> KYO_IPFV2 = KYO_PIPF2 * KYO_IPF2 / 100
<213> NRA_IPFV2 = NRA_PIPF2 * NRA_IPF2 / 100
<214> WAK_IPFV2 = WAK_PIPF2 * WAK_IPF2 / 100
<215> SGA_IPFV2 = SGA_PIPF2 * SGA_IPF2 / 100
<216> FKI_IPFV2 = FKI_PIPF2 * FKI_IPF2 / 100

<161> KIN_IPFV2 = OSA_IPFV2 + HYO_IPFV2 + KYO_IPFV2 + NRA_IPFV2
+ WAK_IPFV2 + SGA_IPFV2 + FKI_IPFV2
(デフレーター)

<162> KIN_PIPF2 = KIN_IPFV2 / KIN_IPF2 * 100

(8) 民間企業設備投資（名目・3次産業）

<217> OSA_IPFV3 = OSA_PIPF3 * OSA_IPF3 / 100
<218> HYO_IPFV3 = HYO_PIPF3 * HYO_IPF3 / 100
<219> KYO_IPFV3 = KYO_PIPF3 * KYO_IPF3 / 100
<220> NRA_IPFV3 = NRA_PIPF3 * NRA_IPF3 / 100
<221> WAK_IPFV3 = WAK_PIPF3 * WAK_IPF3 / 100
<222> SGA_IPFV3 = SGA_PIPF3 * SGA_IPF3 / 100
<223> FKI_IPFV3 = FKI_PIPF3 * FKI_IPF3 / 100

<224> KIN_IPFV3 = OSA_IPFV3 + HYO_IPFV3 + KYO_IPFV3 + NRA_IPFV3
+ WAK_IPFV3 + SGA_IPFV3 + FKI_IPFV3
(デフレーター)

<225> KIN_PIPF3 = KIN_IPFV3 / KIN_IPF3 * 100

(9) 民間企業設備投資（名目・全産業）

<226> OSA_IPFV = OSA_PIPF * OSA_IPF / 100
<227> HYO_IPFV = HYO_PIPF * HYO_IPF / 100
<228> KYO_IPFV = KYO_PIPF * KYO_IPF / 100
<229> NRA_IPFV = NRA_PIPF * NRA_IPF / 100
<230> WAK_IPFV = WAK_PIPF * WAK_IPF / 100
<231> SGA_IPFV = SGA_PIPF * SGA_IPF / 100

<232> FKI_IPFV = FKI_PIPF * FKI_IPF / 100

<233> KIN_IPFV = OSA_IPFV + HYO_IPFV + KYO_IPFV + NRA_IPFV + WAK_IPFV
+ SGA_IPFV + FKI_IPFV
(デフレーター)

<234> KIN_PIPF = KIN_IPFV / KIN_IPF * 100

(10) 総固定資本形成（名目・公的）

<235> OSA_IGV=OSA_PIG* OSA_IG/100

<236> HYO_IGV=HYO_PIG* HYO_IG/100

<237> KYO_IGV=KYO_PIG* KYO_IG/100

<238> NRA_IGV=NRA_PIG* NRA_IG/100

<239> WAK_IGV=WAK_PIG* WAK_IG/100

<240> SGA_IGV=SGA_PIG* SGA_IG/100

<241> FKI_IGV=FKI_PIG* FKI_IG/100

<242> KIN_IGV = OSA_IGV + HYO_IGV + KYO_IGV + NRA_IGV + WAK_IGV

+ SGA_IGV + FKI_IGV

(デフレーター)

<243> KIN_PIG = KIN_IGV / KIN_IG * 100

(11) 輸出（名目）

<244> OSA_EAV = OSA_PEA * OSA_EA / 100

<245> HYO_EAV = HYO_PEA * HYO_EA / 100

<246> KYO_EAV = KYO_PEA * KYO_EA / 100

<247> NRA_EAV = NRA_PEA * NRA_EA / 100

<248> WAK_EAV = WAK_PEA * WAK_EA / 100

<249> SGA_EAV = SGA_PEA * SGA_EA / 100

<250> FKI_EAV = FKI_PEA * FKI_EA / 100

<251> KIN_EAV = OSA_EAV + HYO_EAV + KYO_EAV + NRA_EAV + WAK_EAV

+ SGA_EAV + FKI_EAV

(デフレーター)

<252> KIN_PEA = KIN_EAV / KIN_EA * 100

(12) 移出（名目）

<253> OSA_EDV = OSA_PED * OSA_ED / 100

<254> HYO_EDV = HYO_PED * HYO_ED / 100
<255> KYO_EDV = KYO_PED * KYO_ED / 100
<256> NRA_EDV = NRA_PED * NRA_ED / 100
<257> WAK_EDV = WAK_PED * WAK_ED / 100
<258> SGA_EDV = SGA_PED * SGA_ED / 100
<259> FKI_EDV = FKI_PED * FKI_ED / 100

(13) 移輸出（名目）

<260> OSA_EV = OSA_EAV + OSA_EDV
<261> HYO_EV = HYO_EAV + HYO_EDV
<262> KYO_EV = KYO_EAV + KYO_EDV
<263> NRA_EV = NRA_EAV + NRA_EDV
<264> WAK_EV = WAK_EAV + WAK_EDV
<265> SGA_EV = SGA_EAV + SGA_EDV
<266> FKI_EV = FKI_EAV + FKI_EDV

(14) 輸入（名目）

<267> OSA MAV = OSA_PMA * OSA_MA / 100
<268> HYO MAV = HYO_PMA * HYO_MA / 100
<269> KYO MAV = KYO_PMA * KYO_MA / 100
<270> NRA MAV = NRA_PMA * NRA_MA / 100
<271> WAK MAV = WAK_PMA * WAK_MA / 100
<272> SGA MAV = SGA_PMA * SGA_MA / 100
<273> FKI MAV = FKI_PMA * FKI_MA / 100

<274> KIN MAV = OSA MAV + HYO MAV + KYO MAV + NRA MAV + WAK MAV
+ SGA MAV + FKI MAV
(デフレーター)
<275> KIN_PMA = KIN MAV / KIN MA * 100

(15) 移入（名目）

<276> OSA_MDV = OSA_PMD * OSA_MD / 100
<277> HYO_MDV = HYO_PMD * HYO_MD / 100
<278> KYO_MDV = KYO_PMD * KYO_MD / 100
<279> NRA_MDV = NRA_PMD * NRA_MD / 100
<280> WAK_MDV = WAK_PMD * WAK_MD / 100

<281> SGA_MDV = SGA_PMD * SGA_MD / 100

<282> FKI_MDV = FKI_PMD * FKI_MD / 100

(16) 移輸入（名目）

<283> OSA_MV = OSA_MAV + OSA_MDV / 100

<284> HYO_MV = HYO_MAV + HYO_MDV / 100

<285> KYO_MV = KYO_MAV + KYO_MDV / 100

<286> NRA_MV = NRA_MAV + NRA_MDV / 100

<287> WAK_MV = WAK_MAV + WAK_MDV / 100

<288> SGA_MV = SGA_MAV + SGA_MDV / 100

<289> FKI_MV = FKI_MAV + FKI_MDV / 100

(17) 県内総生産（名目）

<290> OSA_GDPV = OSA_CPHV + OSA_CPNV + OSA_IPHV + OSA_IPFV + OSA_IGV
+ OSA_CGV + OSA_JV + OSA_EV - OSA_MV + OSA_SDPV

<291> HYO_GDPV = HYO_CPHV + HYO_CPNV + HYO_IPHV + HYO_IPFV + HYO_IGV
+ HYO_CGV + HYO_JV + HYO_EV - HYO_MV + HYO_SDPV

<292> KYO_GDPV = KYO_CPHV + KYO_CPNV + KYO_IPHV + KYO_IPFV + KYO_IGV
+ KYO_CGV + KYO_JV + KYO_EV - KYO_MV + KYO_SDPV

<293> NRA_GDPV = NRA_CPHV + NRA_CPNV + NRA_IPHV + NRA_IPFV + NRA_IGV
+ NRA_CGV + NRA_JV + NRA_EV - NRA_MV + NRA_SDPV

<294> WAK_GDPV = WAK_CPHV + WAK_CPNV + WAK_IPHV + WAK_IPFV + WAK_IGV
+ WAK_CGV + WAK_JV + WAK_EV - WAK_MV + WAK_SDPV

<295> SGA_GDPV = SGA_CPHV + SGA_CPNV + SGA_IPHV + SGA_IPFV + SGA_IGV
+ SGA_CGV + SGA_JV + SGA_EV - SGA_MV + SGA_SDPV

<296> FKI_GDPV = FKI_CPHV + FKI_CPNV + FKI_IPHV + FKI_IPFV + FKI_IGV + FKI_CGV
+ FKI_JV + FKI_EV - FKI_MV + FKI_SDPV

<297> KIN_GDPV = OSA_GDPV + HYO_GDPV + KYO_GDPV + NRA_GDPV
+ WAK_GDPV + SGA_GDPV + FKI_GDPV

(デフレーター)

<298> KIN_PGDP = KIN_GDPV / KIN_GDP * 100

(18) 県民総所得（名目）

<299> OSA_GNIV = OSA_GDPV + OSA_NREIWV + OSA_NREIPV

<300> HYO_GNIV = HYO_GDPV + HYO_NREIWV + HYO_NREIPV

<301> KYO_GNIV = KYO_GDPV + KYO_NREIWV + KYO_NREIPV
 <302> NRA_GNIV = NRA_GDPV + NRA_NREIWV + NRA_NREIPV
 <303> WAK_GNIV = WAK_GDPV + WAK_NREIWV + WAK_NREIPV + WAK_ADJGNIV
 <304> SGA_GNIV = SGA_GDPV + SGA_NREIWV + SGA_NREIPV
 <305> FKI_GNIV = FKI_GDPV + FKI_NREIWV + FKI_NREIPV + FKI_ADJGNIV

 <306> KIN_GNIV = OSA_GNIV + HYO_GNIV + KYO_GNIV + NRA_GNIV + WAK_GNIV
 + SGA_GNIV + FKI_GNIV

2-3 所得分配ブロック

(1) 雇用者報酬（県内ベース・1次産業）

<307> OSA_YWTDV1 = OSA_WAGE1 * OSA_LE1
 <308> HYO_YWTDV1 = HYO_WAGE1 * HYO_LE1
 <309> KYO_YWTDV1 = KYO_WAGE1 * KYO_LE1
 <310> NRA_YWTDV1 = NRA_WAGE1 * NRA_LE1
 <311> WAK_YWTDV1 = WAK_WAGE1 * WAK_LE1
 <312> SGA_YWTDV1 = SGA_WAGE1 * SGA_LE1
 <313> FKI_YWTDV1 = FKI_WAGE1 * FKI_LE1

 <314> KIN_YWTDV1 = OSA_YWTDV1 + HYO_YWTDV1 + KYO_YWTDV1
 + NRA_YWTDV1 + WAK_YWTDV1 + SGA_YWTDV1 + FKI_YWTDV1

(2) 雇用者報酬（県内ベース・2次産業）

<315> OSA_YWTDV2 = OSA_WAGE2 * OSA_LE2
 <316> HYO_YWTDV2 = HYO_WAGE2 * HYO_LE2
 <317> KYO_YWTDV2 = KYO_WAGE2 * KYO_LE2
 <318> NRA_YWTDV2 = NRA_WAGE2 * NRA_LE2
 <319> WAK_YWTDV2 = WAK_WAGE2 * WAK_LE2
 <320> SGA_YWTDV2 = SGA_WAGE2 * SGA_LE2
 <321> FKI_YWTDV2 = FKI_WAGE2 * FKI_LE2

 <322> KIN_YWTDV2 = OSA_YWTDV2 + HYO_YWTDV2 + KYO_YWTDV2
 + NRA_YWTDV2 + WAK_YWTDV2 + SGA_YWTDV2 + FKI_YWTDV2

(3) 雇用者報酬（県内ベース・3次産業）

<323> OSA_YWTDV3 = OSA_WAGE3 * OSA_LE3
<324> HYO_YWTDV3 = HYO_WAGE3 * HYO_LE3
<325> KYO_YWTDV3 = KYO_WAGE3 * KYO_LE3
<326> NRA_YWTDV3 = NRA_WAGE3 * NRA_LE3
<327> WAK_YWTDV3 = WAK_WAGE3 * WAK_LE3
<328> SGA_YWTDV3 = SGA_WAGE3 * SGA_LE3
<329> FKI_YWTDV3 = FKI_WAGE3 * FKI_LE3

<330> KIN_YWTDV3 = OSA_YWTDV3 + HYO_YWTDV3 + KYO_YWTDV3
+ NRA_YWTDV3 + WAK_YWTDV3 + SGA_YWTDV3 + FKI_YWTDV3

(4) 雇用者報酬（県内ベース・全産業）

<331> OSA_YWTDV = OSA_YWTDV1 + OSA_YWTDV2 + OSA_YWTDV3 + OSA_YWTDV4
<332> HYO_YWTDV = HYO_YWTDV1 + HYO_YWTDV2 + HYO_YWTDV3 + HYO_YWTDV4
<333> KYO_YWTDV = KYO_YWTDV1 + KYO_YWTDV2 + KYO_YWTDV3 + KYO_YWTDV4
<334> NRA_YWTDV = NRA_YWTDV1 + NRA_YWTDV2 + NRA_YWTDV3 + NRA_YWTDV4
<335> WAK_YWTDV = WAK_YWTDV1 + WAK_YWTDV2 + WAK_YWTDV3 + WAK_YWTDV4
<336> SGA_YWTDV = SGA_YWTDV1 + SGA_YWTDV2 + SGA_YWTDV3 + SGA_YWTDV4
<337> FKI_YWTDV = FKI_YWTDV1 + FKI_YWTDV2 + FKI_YWTDV3 + FKI_YWTDV4

<338> KIN_YWTDV = OSA_YWTDV + HYO_YWTDV + KYO_YWTDV + NRA_YWTDV
+ WAK_YWTDV + SGA_YWTDV + FKI_YWTDV

(5) 雇用者報酬（県民ベース）

<339> OSA_YWTV = OSA_YWTDV + OSA_NREIWV + OSA_ADJYWTW
<340> HYO_YWTV = HYO_YWTDV + HYO_NREIWV
<341> KYO_YWTV = KYO_YWTDV + KYO_NREIWV + KYO_ADJYWTW
<342> NRA_YWTV = NRA_YWTDV + NRA_NREIWV + NRA_ADJYWTW
<343> WAK_YWTV = WAK_YWTDV + WAK_NREIWV + WAK_ADJYWTW
<344> SGA_YWTV = SGA_YWTDV + SGA_NREIWV + SGA_ADJYWTW
<345> FKI_YWTV = FKI_YWTDV + FKI_NREIWV

<346> KIN_YWTV = OSA_YWTV + HYO_YWTV + KYO_YWTV + NRA_YWTV
+ WAK_YWTV + SGA_YWTV + FKI_YWTV

(6) 固定資本減耗（1次産業）

<347> KIN_CFCA1 = OSA_CFCA1 + HYO_CFCA1 + KYO_CFCA1 + NRA_CFCA1
+ WAK_CFCA1 + SGA_CFCA1 + FKI_CFCA1

(7) 固定資本減耗（2次産業）：1990—2004

<348> OSA_CFCA2 = 607882.3

(13.94007)

+

0.043173(OSA_IPFV2(-5)+OSA_IPFV2(-4)+OSA_IPFV2(-3)+OSA_IPFV2(-2)+OSA_IPFV2(-1))

(7.97148)

-56069.16(D99+D00+D1+D2)

(-3.244836)

ADJ.R2 = 0.902631 SER = 25731.91 D.W. = 1.924771

<349> HYO_CFCA2 = 474305.1

(5.262749)

+

0.048179(HYO_IPFV2(-5)+HYO_IPFV2(-4)+HYO_IPFV2(-3)+HYO_IPFV2(-2)+HYO_IPFV2(-1))

(3.936115)

+ 173992.4(D95+D96+D97)

(6.325862)

ADJ.R2 = 0.856098 SER = 39634.83 D.W. = 1.883552

<350> KYO_CFCA2 = 106187.8

(6.092784)

+0.087985(KYO_IPFV2(-5)+KYO_IPFV2(-4)+KYO_IPFV2(-3)+KYO_IPFV2(-2)+KYO_IPFV2(-1))

(10.69105)

+16918.53(D97+D98+D99) -19104.22(D01+D02+D03-D0409)

(3.749137)

(-5.307916)

ADJ.R2 = 0.922737 SER = 6820.798 D.W. = 1.626492

<351> NRA_CFCA2 = 44063.39

(4.093009)

+0.051387(NRA_IPFV2(-5)+NRA_IPFV2(-4)+NRA_IPFV2(-3)+NRA_IPFV2(-2)+NRA_IPFV2(-1))

(4.234685)

+48879.79(D98) + 55346.57(D0409)

(9.257405) (10.32943)
 ADJ.R2 =0.932166 SER = 5051.111 D.W. = 1.514695

<352>WAK_CFCA2 = 20953.55
 (2.934923)
 + 0.095362(WAK_IPFV2(-5)+WAK_IPFV2(-4)+WAK_IPFV2(-3)+WAK_IPFV2(-2)+WAK_IPFV2(-1)
 (15.20632)
 + 7698.444(D90+D91) -8332.442(D01+D02+D03)
 (3.823453) (-4.350148)
 ADJ.R2 =0.967297 SER = 2578.939 D.W. = 2.119874

<353>SGA_CFCA2 = 260596.4
 (6.530114)
 + 0.052913(SGA_IPFV2(-5)+SGA_IPFV2(-4)+SGA_IPFV2(-3)+SGA_IPFV2(-2)+SGA_IPFV2(-1)
 (3.633161)
 -26762.07(D90+D91) -14270.17(D01+02)
 (-3.61966) (-1.502586)
 ADJ.R2 =0.717369 SER = 9149.962 D.W. = 1.819791

<354>FKI_CFCA2 = 96388.27
 (13.13789)
 + 0.035024(FKI_IPFV2(-5)+FKI_IPFV2(-4)+FKI_IPFV2(-3)+FKI_IPFV2(-2)+FKI_IPFV2(-1)
 (4.312012)
 -10640.69((D90+D91) + 22782.8(D98) + 11222.32(D99)
 (-3.44581) (5.267655) (2.629977)
 ADJ.R2 =0.798932 SER = 4002.946 D.W. = 1.15518

<355> KIN_CFCA2 = OSA_CFCA2 + HYO_CFCA2 + KYO_CFCA2 + NRA_CFCA2
 + WAK_CFCA2 + SGA_CFCA2 + FKI_CFCA2

(8) 固定資本減耗（3次産業）：1990－2004
 <356>OSA_CFCA3 = -186797.8 + 0.100175(OSA_KPF3(-1)/100*OSA_PIPF3
 (-0.811603) (20.12625)
 + 342385.7((D96) -165177(D99+D00+D01+D02) + 289529.2(D0409)
 (3.960834) (-2.780388) (3.155029)
 ADJ.R2 =0.978398 SER = 80886.11 D.W. = 1.644676

<357>HYO_CFCA3 = -20847.18 + 0.103906(HYO_KPF3(-1)*HYO_PIPF3/100) + 150744.7(D0409)
(-0.239969) (24.58548) (3.458333)

ADJ.R2 =0.979475 SER = 41397.06 D.W. = 2.268334

<358>KYO_CFCA3 = -254315 + 0.131041(KYO_KPF3(-1)*KYO_PIPF3/100
(-2.737136) (13.63397)

-51005.61(D97+D98+D99+D00) + 126563.1(D0409)
(-2.548784) (3.807852)

ADJ.R2 =0.947873 SER = 30357.83 D.W. = 1.498488

<359>NRA_CFCA3 = -59932.39 + 0.176958(NRA_KPF3(-1)*NRA_PIPF3/100) -72088.92(D0409)
(-1.78777) (16.18005) (-4.569522)

ADJ.R2 =0.948878 SER = 14683.88 D.W. = 1.603032

<360>WAK_CFCA3 = 36846.06 + 0.105872(WAK_KPF3(-1)*WAK_PIPF3/100
(2.850755) (21.53064)

-19970.52(D97+D98+D99) + 25728.45(D03+D0409)
(-4.808793) (5.569187)

ADJ.R2 =0.979322 SER = 5595.327 D.W. = 2.450046

<361>SGA_CFCA3 = -208216.9 + 0.230029(SGA_KPF3(-1)*SGA_PIPF3/100
(-8.632228) (27.74011)

-33577.44(D92+D93+D94) + 31198.68(D03+D0409)
(-4.970055) (3.815433)

ADJ.R2 =0.989495 SER = 9761.638 D.W. = 2.052756

<362>FKI_CFCA3 = -284968.7 + 0.152478(FKI_KPF3(-1)*FKI_PIPF3/100
(-4.593423) (11.79017)

-45657.79(D92+D93+D94) + 47722.38(D03+D0409)
(-4.927943) (4.344089)

ADJ.R2 =0.928089 SER = 14065.08 D.W. = 1.743337

<363> KIN_CFCA3 = OSA_CFCA3 + HYO_CFCA3 + KYO_CFCA3 + NRA_CFCA3
+ WAK_CFCA3 + SGA_CFCA3 + FKI_CFCA3

(9) 固定資本減耗（全産業）

<364> OSA_CFCA = OSA_CFCA1 + OSA_CFCAA2 + OSA_CFCA3 + OSA_CFCA4
<365> HYO_CFCA = HYO_CFCA1 + HYO_CFCAA2 + HYO_CFCA3 + HYO_CFCA4
<366> KYO_CFCA = KYO_CFCA1 + KYO_CFCAA2 + KYO_CFCA3 + KYO_CFCA4
<367> NRA_CFCA = NRA_CFCA1 + NRA_CFCAA2 + NRA_CFCA3 + NRA_CFCA4
<368> WAK_CFCA = WAK_CFCA1 + WAK_CFCAA2 + WAK_CFCA3 + WAK_CFCA4
<369> SGA_CFCA = SGA_CFCA1 + SGA_CFCAA2 + SGA_CFCA3 + SGA_CFCA4
<370> FKI_CFCA = FKI_CFCA1 + FKI_CFCAA2 + FKI_CFCA3 + FKI_CFCA4

<371> KIN_CFCA = OSA_CFCA + HYO_CFCA + KYO_CFCA + NRA_CFCA +
WAK_CFCA
+ SGA_CFCA + FKI_CFCA

2-3-1 家計

(1) 営業余剰・混合所得（家計・受取）

<372> OSA_OPEICV=OSA_ROPEICV*OSA_YEICV
<373> HYO_OPEICV=HYO_ROPEICV*HYO_YEICV
<374> KYO_OPEICV=KYO_ROPEICV*KYO_YEICV
<375> NRA_OPEICV=NRA_ROPEICV*NRA_YEICV
<376> WAK_OPEICV=WAK_ROPEICV*WAK_YEICV
<377> SGA_OPEICV=SGA_ROPEICV*SGA_YEICV
<378> FKI_OPEICV=FKI_ROPEICV*FKI_YEICV

<379> KIN_OPEICV= OSA_OPEICV+ HYO_OPEICV+ KYO_OPEICV+ NRA_OPEICV+
WAK_OPEICV
+ SGA_OPEICV + FKI_OPEICV

(2) 賃金・俸給

<380> OSA_YWV = OSA_RYWV * OSA_YWTV
<381> HYO_YWV = HYO_RYWV * HYO_YWTV
<382> KYO_YWV = KYO_RYWV * KYO_YWTV
<383> NRA_YWV = NRA_RYWV * NRA_YWTV
<384> WAK_YWV = WAK_RYWV * WAK_YWTV
<385> SGA_YWV = SGA_RYWV * SGA_YWTV
<386> FKI_YWV = FKI_RYWV * FKI_YWTV

<387> KIN_YWV = OSA_YWV + HYO_YWV + KYO_YWV + NRA_YWV + WAK_YWV
+ SGA_YWV + FKI_YWV

(3) 雇主の現実社会負担

<388> OSA_SCEAV = OSA_RSCEAV * OSA_YWTV
<389> HYO_SCEAV = HYO_RSCEAV * HYO_YWTV
<390> KYO_SCEAV = KYO_RSCEAV * KYO_YWTV
<391> NRA_SCEAV = NRA_RSCEAV * NRA_YWTV
<392> WAK_SCEAV = WAK_RSCEAV * WAK_YWTV
<393> SGA_SCEAV = SGA_RSCEAV * SGA_YWTV
<394> FKI_SCEAV = FKI_RSCEAV * FKI_YWTV

<395> KIN_SCEAV = OSA_SCEAV + HYO_SCEAV + KYO_SCEAV + NRA_SCEAV
+ WAK_SCEAV + SGA_SCEAV + FKI_SCEAV

(4) 雇主の帰属社会負担（家計）／無基金雇用者社会給付（家計）

<396> OSA_SCEIV = OSA_RSCEIV * OSA_YWTV
<397> HYO_SCEIV = HYO_RSCEIV * HYO_YWTV
<398> KYO_SCEIV = KYO_RSCEIV * KYO_YWTV
<399> NRA_SCEIV = NRA_RSCEIV * NRA_YWTV
<400> WAK_SCEIV = WAK_RSCEIV * WAK_YWTV
<401> SGA_SCEIV = SGA_RSCEIV * SGA_YWTV
<402> FKI_SCEIV = FKI_RSCEIV * FKI_YWTV

<403> KIN_SCEIV = OSA_SCEIV + HYO_SCEIV + KYO_SCEIV + NRA_SCEIV +
WAK_SCEIV + SGA_SCEIV + FKI_SCEIV

(5) 財産所得（家計・受取）

<404> LOG(OSA_YPRRHV) = -19.48546 + 2.038992(LOG(OSA_YWV)
(-6.503537) (11.31722)

+0.231542(JPN_RGB) -0.131044(D94)
(34.15065) (-2.604072)

ADJ.R2 = 0.989321 SER = 0.047122 D.W. = 2.162871

<405> LOG(HYO_YPRRHV) = -45.48695 + 3.6764(LOG(HYO_YWV)

$(-4.416382) (5.7659)$
 $+ 0.203404(\text{JPN_RGB}) + 0.248069(\text{D98+D99}) - 0.17262(\text{D03+D0409})$
 $(10.35989) \quad (3.999634) \quad (-2.60107)$

ADJ.R2 =0.942654 SER = 0.071802 D.W. = 2.710505

$<406>\text{LOG}(\text{KYO_YPRRHV}) = -41.01935 + 3.503239(\text{LOG}(\text{KYO_YWV})$
 $(-6.792585) \quad (8.905475)$

$0.266981(\text{JPN_RGB}) + 0.175779(\text{D98+D99+D00})$
 $(21.75518) \quad (3.373525)$

ADJ.R2 =0.971633 SER = 0.074479 D.W. = 2.400955

$<407>\text{LOG}(\text{NRA_YPRRHV}) = -41.27535 + 3.602322(\text{LOG}(\text{NRA_YWV})$
 $(-3.009497) \quad (3.893228)$

$+ 0.326687(\text{JPN_RGB}) + 0.325977(\text{D97+D98})$
 $(9.021789) \quad (3.730773)$

ADJ.R2 =0.922553 SER = 0.111584 D.W. = 1.496464

$<408>\text{LOG}(\text{WAK_YPRRHV}) = -34.9496 + 3.26999(\text{LOG}(\text{WAK_YWV})$
 $(-6.739634) \quad (9.006203)$

$+ 0.239116(\text{JPN_RGB}) + 0.256305(\text{D97+D98+D99+D00+D01})$
 $(21.1795) \quad (5.882207)$

ADJ.R2 =0.9714 SER = 0.068049 D.W. = 2.349477

$<409>\text{LOG}(\text{SGA_YPRRHV}) = -0.133175 + 0.840968(\text{LOG}(\text{SGA_YWV})$
 $(-0.032447) \quad (3.017354)$

$+ 0.57933(\text{LOG}(\text{JPN_RGB})) + 0.178794(\text{D97+D98+D99}) - 0.121217(\text{D0409})$
 $(17.42277) \quad (5.117095) \quad (-2.222972)$

ADJ.R2 =0.975593 SER = 0.050202 D.W. = 3.061615

$<410>\text{LOG}(\text{FKI_YPRRHV}) = -58.41091 + 4.928756(\text{LOG}(\text{FKI_YWV})$
 $(-2.681631) \quad (3.211918)$

$+ 0.322117(\text{JPN_RGB}) + 0.250746(\text{D95+D96+D97+D98+D99}) - 0.351004(\text{D0409})$
 $(7.436809) \quad (3.575852) \quad (-2.868258)$

ADJ.R2 =0.928629 SER = 0.110097 D.W. = 1.776707

$< 411 > \text{KIN_YPRRHV} = \text{OSA_YPRRHV} + \text{HYO_YPRRHV} + \text{KYO_YPRRHV} +$

NRA_YPRRHV

+ WAK_YPRRHV + SGA_YPRRHV + FKI_YPRRHV

(6) 現物社会移転以外の社会給付（家計・受取）

<412> OSA_SBHV = OSA_SBCAV + OSA_SBHFV + OSA_SCEIV + OSA_SBHAV

<413> HYO_SBHV = HYO_SBCAV + HYO_SBHFV + HYO_SCEIV + HYO_SBHAV

<414> KYO_SBHV = KYO_SBCAV + KYO_SBHFV + KYO_SCEIV + KYO_SBHAV

<415> NRA_SBHV = NRA_SBCAV + NRA_SBHFV + NRA_SCEIV + NRA_SBHAV

<416> WAK_SBHV = WAK_SBCAV + WAK_SBHFV + WAK_SCEIV + WAK_SBHAV

<417> SGA_SBHV = SGA_SBCAV + SGA_SBHFV + SGA_SCEIV + SGA_SBHAV

<418> FKI_SBHV = FKI_SBCAV + FKI_SBHFV + FKI_SCEIV + FKI_SBHAV+FKI_ADJSBHV

<419> KIN_SBHV = OSA_SBHV + HYO_SBHV + KYO_SBHV + NRA_SBHV +
WAK_SBHV

+ SGA_SBHV + FKI_SBHV

(7) 現金による社会保障給付（家計・受取／政府・支払）：1990-2004

<420>LOG(OSA_SBCAV/OSA_PCPH/100) = -8.166574 + 0.979747(LOG(OSA_POP65)
(-13.48228) (22.63811)

-0.09077(D90+D91+D92) + -0.07864(D0409)
(-4.729198) (-3.191883)

ADJ.R2 = 0.992551 SER = 0.99052 D.W. = 2.04317

<421>LOG(HYO_SBCAV/HYO_PCPH/100) = -12.24616 + 1.280011(LOG(HYO_POP65)
(-17.77957) (25.2996)

0.077106(D94+D95+D96) -0.045792(D03+D0409)
(4.613828) (-1.964953)

ADJ.R2 = 0.987348 SER = 0.983898 D.W. = 2.479123

<422>LOG(KYO_SBCAV/KYO_PCPH/100) = 1.233254 + 0.260748(LOG(KYO_POP65)) +
0.866624(AR(1))
(0.0926) (0.261853)
(7.304024)

ADJ.R2 = 0.988352 SER = 0.986235 D.W. = 37.04699

<423>LOG(NRA_SBCAV/NRA_PCPH*100) = -2.979733 + 1.316233(LOG(NRA_POP65)
(-3.991691) (21.55984)
0.07854(D93+D94+D95+D96) -0.063189(D02+D03+D0409)

(4.276684) (-2.463299)
 ADJ.R2 =0.984163 SER = 0.979844 D.W. = 2.340481

<424>LOG(WAK_SBCAV/WAK_PCPH/100) = -13.32299 + 1.380067(LOG(WAK_POP65)
 (-37.00851) (46.93922)
 0.05043(D94+D95+D96) + 0.191084(D97)
 (5.477034) (13.17491)
 ADJ.R2 =0.99543 SER = 0.994183 D.W. = 1.983135

<425>LOG(SGA_SBCAV/SGA_PCPH) = -10.62415 + 1.557001(LOG(SGA_POP65)
 (-38.73708) (69.23861)
 -0.035923(D91+D92+D93) -0.054482(D03)
 (-4.597327) (-5.038468)
 ADJ.R2 =0.998771 SER = 0.998435 D.W. = 2.238378
 < 426 >LOG(FKI_SBCAV/FKI_PCPH/100) = -15.24011 + 1.550455(LOG(FKI_POP65)) +
 0.041566(D95+D96)
 (-75.36309) (91.63133) (6.458267)
 ADJ.R2 =0.998336 SER = 0.008434 D.W. = 1.93723

<427> KIN_SBCAV = OSA_SBCAV + HYO_SBCAV + KYO_SBCAV + NRA_SBCAV
 + WAK_SBCAV + SGA_SBCAV + FKI_SBCAV

(8) 財産所得（家計・支払）：1990-2004
 <428>LOG(OSA_YPRPHV) = 14.17803 + 0.084013(JPN_RGB) -0.101912(D0409)
 (720.2261) (15.39156) (-2.533734)
 ADJ.R2 =0.950797 SER = 0.037956 D.W. = 1.930407

<429>LOG(HYO_YPRPHV) = 2.068252 + 0.074432(LOG(JPN_RGB)
 (1.8919) (2.21846)
 + 0.836373(LOG(HYO_YPRPHV(-1))) -0.141064(D02)
 (9.93221) (-3.50813)
 ADJ.R2 =0.982747 SER = 0.977571 D.W. = 2.625735

<430>LOG(KYO_YPRPHV) = 1.994798 + 0.030094(JPN_RGB)
 (2.263504) (3.132721)
 + 0.832248(LOG(KYO_YPRPHV(-1))) -0.064446(D92-D93)

(11.65955) (-3.299037)

(-3.299037)

ADJ.R2 =0.988539 SER = 0.9851 D.W. = 2.555446

$$\begin{aligned}
 < 431 > \text{LOG(NRA_YPRPHV)} &= 3.281186 + 0.04379(\text{JPN_RGB}) \\
 &+ 0.701614(\text{LOG(NRA_YPRPHV(-1))}) \\
 &\quad (3.739269) \quad (3.910587) \quad (8.952587)
 \end{aligned}$$

ADJ.R2 =0.986473 SER = 0.026765 D.W. = 2.905503

$$\begin{aligned}
 <432>\text{LOG(WAK_YPRPHV)} = & 11.56411 + 0.10526(\text{JPN_RGB}) \\
 & (429.3405) \quad (16.51733) \\
 & + 0.148042(\text{D93+D94+D95+D96+D97+D98}) - 0.115776(\text{D03+D0409}) \\
 & (6.267621) \quad (-3.184091)
 \end{aligned}$$

ADJ.R2 = 0.975538 SER = 0.968867 D.W. = 2.085172

$$\begin{aligned}
 <433> \text{LOG(SGA_YPRPHV)} &= 4.817889 + 0.03723(\text{JPN_RGB}) \\
 &\quad (2.926062) \quad (2.963019) \\
 &+ 0.58417(\text{LOG(SGA_YPRPHV}(-1))) + 0.078268(\text{D00}) \\
 &\quad (4.151112) \quad (2.579373)
 \end{aligned}$$

ADJ.R2 = 0.968803 SER = 0.959444 D.W. = 2.476092

$$\begin{aligned}
 <434> \text{LOG(FKI_YPRPHV)} = & 2.5918 + 0.033963(\text{JPN_RGB}) \\
 & (2.523621) \quad (2.660175) \\
 & + 0.761283(\text{LOG(FKI_YPRPHV}(-1))) - 0.068559(\text{D92-D93}) \\
 & (8.238603) \quad (-3.228881)
 \end{aligned}$$

ADJ.R2 =0.98616 SER = 0.982008 D.W. = 2.00934

< 435 > KIN_YPRPHV = OSA_YPRPHV + HYO_YPRPHV + KYO_YPRPHV +
 NRA_YPRPHV
 + WAK_YPRPHV + SGA_YPRPHV + FKI_YPRPHV

(9) 所得・富等に課される経常税（家計負担分）：1990-2004

$$\begin{aligned}
 <436>\text{OSA_TDHV} = & -2052668 + 0.232285(\text{OSA_YWV} + \text{OSA_YPRRHV}) \\
 & (-7.057974) \quad (16.52488) \\
 & -417852.2(\text{D94} + \text{D95} + \text{D96} + \text{D97} + \text{D98} + \text{D99}) + 239092.9(\text{D0409}) \\
 & (-7.562204) \quad (1.995082)
 \end{aligned}$$

ADJ.R2 = 0.96707 SER = 0.95809 D.W. = 2.312698

<437>LOG(HYO_TDHV) = -17.34982 + 1.920685(LOG(HYO_YWV+HYO_YPRRHV)
(-3.068312) (5.510122)

+ 0.415946(D90+D91+D92+D93) + 0.169898(D94+D95)
(11.75435) (3.702906)

ADJ.R2 = 0.935521 SER = 0.917936 D.W. = 0.957461

<438>LOG(KYO_TDHV) = -12.49528 + 1.660639(LOG(KYO_YWV+KYO_YPRRHV)
(-3.260178) (6.703675)

+ 0.365359((D90+D91) + 0.212934(D92+D93) + 0.297122(D00+D01)
(7.592049) (4.279711) (6.012511)

ADJ.R2 = 0.90777 SER = 0.061326 D.W. = 1.402655

<439>LOG(NRA_TDHV) = -2.251161 + 0.999385(LOG(NRA_YWV+NRA_YPRRHV)
(-0.561909) (3.71279)

+0.193179(D90+D91+D92+D93) -0.197366(D99+D00+D01+D02+D03+D0409)
(6.952322) (-8.262875)

ADJ.R2 = 0.960293 SER = 0.949464 D.W. = 2.316181

<440>WAK_TDHV = -157595.6 + 0.177359(WAK_YWV+WAK_YPRRHV)
(-2.973237) (6.307229)

+55021.93(D90+D91) + 37095.84(D00+D01)
(5.181083) (3.360537)

ADJ.R2 = 0.860439 SER = 0.822377 D.W. = 1.561546

<441>SGA_TDHV = 17963.93 + 0.078851(SGA_YWV+SGA_YPRRHV)
(0.154309) (1.849445)

+51618.69(D90+D91+D92+D93) -35255.57(D03+D0409)
(4.764232) (-2.596219)

ADJ.R2 = 0.820757 SER = 0.771872 D.W. = 2.070621

<442>FKI_TDHV = -262335 + 0.258397(FKI_YWV+FKI_YPRRHV)
(-2.942067) (4.604371)

+ 58259.55(D90+D91) + 33827.64(D93)
(6.489927) (2.947011)

ADJ.R2 = 0.833152 SER = 0.787648 D.W. = 2.178406

<443> KIN_TDHV = OSA_TDHV + HYO_TDHV + KYO_TDHV + NRA_TDHV + WAK_TDHV + SGA_TDHV + FKI_TDHV

(10) 社会負担（家計・支払）

<444> OSA_SCHV = OSA_SCEAV + OSA_SCHAV + OSA_SCEIV + OSA_SCHOV

<445> HYO_SCHV = HYO_SCEAV + HYO_SCHAV + HYO_SCEIV + HYO_SCHOV

<446> KYO_SCHV = KYO_SCEAV + KYO_SCHAV + KYO_SCEIV + KYO_SCHOV

<447> NRA_SCHV = NRA_SCEAV + NRA_SCHAV + NRA_SCEIV + NRA_SCHOV

<448> WAK_SCHV = WAK_SCEAV + WAK_SCHAV + WAK_SCEIV + WAK_SCHOV

<449> SGA_SCHV = SGA_SCEAV + SGA_SCHAV + SGA_SCEIV + SGA_SCHOV

<450> FKI_SCHV = FKI_SCEAV + FKI_SCHAV + FKI_SCEIV + FKI_SCHOV

<451> KIN_SCHV = OSA_SCHV + HYO_SCHV + KYO_SCHV + NRA_SCHV +

WAK_SCHV

+ SGA_SCHV + FKI_SCHV

(11) 雇用者の社会負担（家計・支払）：1990-2004

<452> LOG(OSA_SCHAV) = 6.957806 + 0.487373(LOG(JPN_RSR/100*OSA_YWV))

(14.48085) (14.30365)

+3.120544(KIN_POP65/KIN_POP) + 0.033916(D0409)

(16.65198) (2.179924)

ADJ.R2 = 0.991527 SER = 0.989216 D.W. = 1.661205

<453> HYO_SCHAV = -8465076 + 679799.5(LOG(JPN_RSR/100*HYO_YWV))

(-16.58086) (18.64403)

ADJ.R2 = 0.961176 SER = 18926.05 D.W. = 2.732176

<454> LOG(KYO_SCHAV) = 4.863981 + 0.618921(LOG(JPN_RSR/100*KYO_YWV))

(13.50423) (22.73682)

+ 0.079276(D01+D02+D03+D0409)

(10.07447)

ADJ.R2 = 0.981806 SER = 0.013141 D.W. = 2.390731

<455> LOG(NRA_SCHAV) = 6.609126 + 0.464179(LOG(JPN_RSR/100*NRA_YWV))

(22.96241) (20.36503)

0.046986(D93+D94+D95+D96+D97+D98) -0.029648(D03+D0409)
 (6.149553) (-2.633988)

ADJ.R2 =0.977236 SER = 0.971028 D.W. = 2.233086

<456>LOG(WAK_SCHAV) = 3.102086 + 0.740171(LOG(JPN_RSR/100*WAK_YWV))
 (14.54973) (42.37532)
 +0.032406(D93) + 0.035723(D01)
 (3.919822) (4.480893)

ADJ.R2 =0.994408 SER = 0.992883 D.W. = 2.076261

<457>LOG(SGA_SCHAV) = 3.027439 + 0.741077(LOG(JPN_RSR/100*SGA_YWV))
 (14.80058) (45.56619)
 -0.02272(D92+D93+D94+D95) + 0.032205(D01+D02+D03+D04)
 (-4.066595) (5.636676)

ADJ.R2 =0.99654 SER = 0.995597 D.W. = 2.403385

< 458 >LOG(FKI_SCHAV) = -0.628394 +
 1.040987(LOG(JPN_RSR/100*FKI_YWV))-0.069019(D03+D0409)
 (-1.158768) (23.10813) (-3.631632)
 ADJ.R2 =0.974988 SER = 0.023791 D.W. = 1.640199

<459> KIN_SCHAV = OSA_SCHAV + HYO_SCHAV + KYO_SCHAV + NRA_SCHAV
 + WAK_SCHAV + SGA_SCHAV + FKI_SCHAV

(12) 家計可処分所得

<460> OSA_YDHV = OSA_OPEICV + OSA_YWTV + OSA_YPRRHV + OSA_SBHV +
 OSA_TRANRHV

- (OSA_YPRPHV + OSA_TDHV + OSA_SCHV + OSA_TRANPHV)

<461> HYO_YDHV = HYO_OPEICV + HYO_YWTV + HYO_YPRRHV + HYO_SBHV +
 HYO_TRANRHV

- (HYO_YPRPHV + HYO_TDHV + HYO_SCHV + HYO_TRANPHV)

<462> KYO_YDHV = KYO_OPEICV + KYO_YWTV + KYO_YPRRHV + KYO_SBHV +
 KYO_TRANRHV

- (KYO_YPRPHV + KYO_TDHV + KYO_SCHV + KYO_TRANPHV)

<463> NRA_YDHV = NRA_OPEICV + NRA_YWTV + NRA_YPRRHV + NRA_SBHV +
 NRA_TRANRHV

$$- (NRA_YPRPHV + NRA_TDHV + NRA_SCHV + NRA_TRANPHV)$$

<464> $WAK_YDHV = WAK_OPEICV + WAK_YWTV + WAK_YPRRHV + WAK_SBHV$
 $+ WAK_TRANRHW - (WAK_YPRPHV + WAK_TDHV + WAK_SCHV +$
 $WAK_TRANPHV)$
<465> $SGA_YDHV = SGA_OPEICV + SGA_YWTV + SGA_YPRRHV + SGA_SBHV +$
 $SGA_TRANRHW$
 $- (SGA_YPRPHV + SGA_TDHV + SGA_SCHV + SGA_TRANPHV)$
<466> $FKI_YDHV = FKI_OPEICV + FKI_YWTV + FKI_YPRRHV + FKI_SBHV + FKI_TRANRHW$
 $- (FKI_YPRPHV + FKI_TDHV + FKI_SCHV + FKI_TRANPHV)$

<467> $KIN_YDHV = OSA_YDHV + HYO_YDHV + KYO_YDHV + NRA_YDHV +$
 $WAK_YDHV + SGA_YDHV + FKI_YDHV$

(13) 家計貯蓄

<468> $OSA_SHV = OSA_YDHV - OSA_CPHV + OSA_PFNDHV$
<469> $HYO_SHV = HYO_YDHV - HYO_CPHV + HYO_PFNDHV$
<470> $KYO_SHV = KYO_YDHV - KYO_CPHV + KYO_PFNDHV$
<471> $NRA_SHV = NRA_YDHV - NRA_CPHV + NRA_PFNDHV$
<472> $WAK_SHV = WAK_YDHV - WAK_CPHV + WAK_PFNDHV$
<473> $SGA_SHV = SGA_YDHV - SGA_CPHV + SGA_PFNDHV$
<474> $FKI_SHV = FKI_YDHV - FKI_CPHV + FKI_PFNDHV$

<475> $KIN_SHV = OSA_SHV + HYO_SHV + KYO_SHV + NRA_SHV + WAK_SHV$
 $+ SGA_SHV + FKI_SHV$

2-3-2 政府

(1) 財産所得（一般政府・受取）：1990-2004

<476> $\text{LOG}(OSA_YPRRGV) = 54.24578 - 0.087101(\text{JPN_RGB}) - 2.601687((\text{LOG}(OSA_CGV)))$
 $(3.162366) (-1.481802) (-2.36879)$
 $+ 0.200271(D94+D95+D96+D97+D98) - 0.388679(D02+D03+D0409)$
 $(4.074779) (-5.708963)$
 $\text{ADJ.R2} = 0.923553 \quad \text{SER} = 0.079484 \quad \text{D.W.} = 1.948798$

<477> $\text{LOG}(HYO_YPRRGV) = 12.5625 + 0.07821(\text{JPN_RGB})$
 $(243.9125) (6.679441)$

0.202067(D95+D96+D97+D98+D99) -0.229657(D03+D0409)
 (4.543805) (-3.619945)
 ADJ.R2 =0.893015 SER = 0.07116 D.W. = 1.601822

<478>LOG(KYO_YPRRGV) = 11.91438 + 0.039652(JPN_RGB)
 (295.279) (4.109532)
 0.121951(D95+D96+D97+D98) -0.382526(D03+D0409)
 (3.15708) (-7.249425)
 ADJ.R2 =0.903406 SER = 0.061408 D.W. = 2.592793

< 479 >LOG(NRA_YPRRGV) = -0.112526 + 0.038239(JPN_RGB) +
 0.997098(LOG(NRA_YPRRGV(-1)))
 (-0.115864) (3.005836) (10.82963)
 ADJ.R2 =0.938702 SER = 0.065579 D.W. = 2.670712

<480>LOG(WAK_YPRRGV) = 3.871795 + 0.430354(LOG(JPN_RGB)
 (0.582722) (3.768791)
 + 0.496119((LOG(WAK_CGV)) + 0.193537(D96+D97+D98+D99) -0.243484(D03+D04)
 (1.014223) (4.652083) (-4.115)
 ADJ.R2 =0.937057 SER = 0.064812 D.W. = 2.577874

<481>LOG(SGA_YPRRGV) = 0.922045 + 0.119337(LOG(JPN_RGB)
 (1.461269) (4.651645)
 + 0.904461((LOG(SGA_YPRRGV(-1))) + 0.099056(D99-D00) -0.144788(D02)
 (15.55696) (3.307968) (-3.039684)
 ADJ.R2 =0.978308 SER = 0.042337 D.W. = 1.80757

<482>LOG(FKI_YPRRGV) = -7.700177 + 0.553236(LOG(JPN_RGB)
 (-1.462637) (5.840811)
 + 1.374208((LOG(FKI_CGV)) + 0.257685(D97+D98+D99) -0.268332(D03+D0409)
 (3.493891) (5.288073) (-4.597419)
 ADJ.R2 =0.922358 SER = 0.065613 D.W. = 2.698939

< 483 > KIN_YPRRGV = OSA_YPRRGV + HYO_YPRRGV + KYO_YPRRGV +
 NRA_YPRRGV + WAK_YPRRGV + SGA_YPRRGV + FKI_YPRRGV

(2) 生産・輸入品に課される税（一般政府・受取）：1990-2004

< 484 >LOG(OSA_TIV) = 5.897339 +
 0.520432(LOG(OSA_CPHV+OSA_IPHV+OSA_JV+OSA_MAV))
 (3.674589) (5.465035)
 + 0.088235(JPN_RTC) + 0.037175(D96-D97)
 (20.00404) (3.35931)

ADJ.R2 = 0.980278 SER = 0.014053 D.W. = 1.521459

< 485 >LOG(HYO_TIV) = -2.867788 +
 1.037585(LOG(HYO_CPHV+HYO_IPHV+HYO_JV+HYO_MAV))
 (-1.686425) (10.02414)
 + 0.048142(JPN_RTC) - 0.035614(D90+D91) - 0.06337(D97) - 0.085428(D03+D0409)
 (16.64352) (-4.5358) (-5.84308) (-11.28174)

ADJ.R2 = 0.975913 SER = 0.00904 D.W. = 2.256458

< 486 >LOG(KYO_TIV) = 3.081583 +
 0.667659(LOG(KYO_CPHV+KYO_IPHV+KYO_JV+KYO_MAV))
 (1.205194) (4.03018)
 + 0.019584((JPN_RTC) + 0.080533(D98) - 0.116095(D03+D0409)
 (2.451536) (3.254692) (-6.111225)

ADJ.R2 = 0.863196 SER = 0.022551 D.W. = 2.607552

< 487 >LOG(NRA_TIV) = 2.872659 +
 0.596489(LOG(NRA_CPHV+NRA_IPHV+NRA_JV+NRA_MAV))
 (0.995541) (3.08909)
 + 0.136339(JPN_RTC)
 (11.95798)

ADJ.R2 = 0.909716 SER = 0.042297 D.W. = 2.615507

< 488 >LOG(WAK_TIV) = 2.087655 +
 0.721312(LOG(WAK_CPHV+WAK_IPHV+WAK_JV+WAK_MAV))
 (0.242738) (1.229263)
 + 0.083744(JPN_RTC) - 0.125195(D03+D0409)
 (3.061903) (-2.929443)

ADJ.R2 = 0.558549 SER = 0.050872 D.W. = 1.81961

< 489 >LOG(SGA_TIV) = 5.746357 +
 0.461718(LOG(SGA_CPHV+SGA_IPHV+SGA_JV+SGA_MAV))
 (3.409381) (3.991794)
 + 0.073542(JPN_RTC) -0.056102(D02+D03+D0409)
 (6.445569) (-3.019656)

ADJ.R2 =0.950979 SER = 0.024654 D.W. = 1.929039

<490>LOG(FKI_TIV) = -15.30794 + 1.900456(LOG(FKI_CPHV+FKI_IPHV+FKI_JV+FKI_MAV))
 (-4.070313) (7.308912)
 + 0.090961(JPN_RTC) + 0.074029(D98+D99+D00+D01)
 (8.496627) (3.752126)

ADJ.R2 =0.900045 SER = 0.027666 D.W. = 2.499929

<491> KIN_TIV = OSA_TIV + HYO_TIV + KYO_TIV + NRA_TIV + WAK_TIV +
 SGA_TIV
 + FKI_TIV

(3) 所得・富等に課される経常税（一般政府・受取）

<492>OSA_TDV = OSA_TDHW + OSA_TDCV + OSA_TDOV
 <493>HYO_TDV = HYO_TDHW + HYO_TDCV + HYO_TDOV
 <494>KYO_TDV = KYO_TDHW + KYO_TDCV + KYO_TDOV
 <495>NRA_TDV = NRA_TDHW + NRA_TDCV + NRA_TDOV
 <496>WAK_TDV = WAK_TDHW + WAK_TDCV + WAK_TDOV
 <497>SGA_TDV = SGA_TDHW + SGA_TDCV + SGA_TDOV
 <498>FKI_TDV = FKI_TDHW + FKI_TDCV + FKI_TDOV

<499>KIN_TDV = OSA_TDV + HYO_TDV + KYO_TDV + NRA_TDV + WAK_TDV
 + SGA_TDV + FKI_TDV

(4) 所得・富等に課される経常税（法人企業負担分）：1990-2004

<500>LOG(OSA_TDCV) = 7.593361 + 0.497951(LOG(OSA_YECV*JPN_RTDCV/100))
 (9.205788) (8.49628)
 +0.187684(D90+D91) -0.297356(D02+D03+D0409)
 (3.781317) (-8.793778)

ADJ.R2 =0.95577 SER = 0.051157 D.W. = 2.591113

<501>LOG(HYO_TDCV) = 1.108799 + 0.685934(LOG(JPN_RTDCV*HYO_YECV))

(0.934368) (10.17822)

+0.298429(D90+D91+D92) + 0.41046(D00)

(5.494249) (4.347437)

ADJ.R2 =0.937147 SER = 0.077187 D.W. = 1.527006

<502>LOG(KYO_TDCV) = 7.618609 + 0.419339(LOG(KYO_YECV*JPN_RTDCV/100))

(2.48931) (1.733501)

+0.204359(D90+D91+D92) -0.45649(D02+D03+D04)

(3.342513) (-5.81063)

ADJ.R2 =0.820226 SER = 0.091386 D.W. = 2.297447

<503>NRA_TDCV = 11257.85 + 0.005598(JPN_RTDCV*NRA_YECV)

(1.227768) (6.991148)

-20366.25(D96+D97) -19926.11(D02+D03+D0409)

(-3.511376) (-4.176814)

ADJ.R2 =0.868327 SER = 6860.644 D.W. = 2.370282

<504>LOG(WAK_TDCV) = 8.434694 + 0.193783(LOG(JPN_RTDCV*WAK_YECV))

(4.417173) (1.590271)

+0.289334(D90+D91+D92+D93+D94) -0.293862(D01+D02+D03+D04)

(4.22967) (-4.096827)

ADJ.R2 =0.821668 SER = 0.110192 D.W. = 1.291948

<505>LOG(SGA_TDCV) = -0.877508 + 0.766441(LOG(JPN_RTDCV*SGA_YECV))

(-0.636847) (9.410907)

+ 0.206904((D90+D91+D92+D93+D94+D95) -0.385343(D02) -0.251872(D03+D0409)

(7.108441) (-7.429184) (-6.428836)

ADJ.R2 =0.946063 SER = 0.047801 D.W. = 2.177609

<506>LOG(FKI_TDCV) = 5.040148 + 0.549704(LOG(FKI_YECV*JPN_RTDCV/100))

(1.667257) (2.106225)

+ 0.387198(D90+D91) -0.474082(D01+D02+D03+D0409)

(4.777085) (-7.297979)

ADJ.R2 =0.884334 SER = 0.09937 D.W. = 1.935752

<507> KIN_TDCV = OSA_TDCV + HYO_TDCV + KYO_TDCV + NRA_TDCV + WAK_TDCV + SGA_TDCV + FKI_TDCV

(5) 社会負担（一般政府・受取）

<508> OSA_SCGV = OSA_SCEAMV + OSA_SCHAMV + OSA_SCEGIV

<509> HYO_SCGV = HYO_SCEAMV + HYO_SCHAMV + HYO_SCEGIV

<510> KYO_SCGV = KYO_SCEAMV + KYO_SCHAMV + KYO_SCEGIV

<511> NRA_SCGV = NRA_SCEAMV + NRA_SCHAMV + NRA_SCEGIV

<512> WAK_SCGV = WAK_SCEAMV + WAK_SCHAMV + WAK_SCEGIV

<513> SGA_SCGV = SGA_SCEAMV + SGA_SCHAMV + SGA_SCEGIV

<514> FKI_SCGV = FKI_SCEAMV + FKI_SCHAMV + FKI_SCEGIV

<515> KIN_SCGV = OSA_SCGV + HYO_SCGV + KYO_SCGV + NRA_SCGV + WAK_SCGV

+ SGA_SCGV + FKI_SCGV

(6) 雇主の強制的現実社会負担

<516> OSA_SCEAMV = OSA_RSCEAMV * OSA_SCEAV

<517> HYO_SCEAMV = HYO_RSCEAMV * HYO_SCEAV

<518> KYO_SCEAMV = KYO_RSCEAMV * KYO_SCEAV

<519> NRA_SCEAMV = NRA_RSCEAMV * NRA_SCEAV

<520> WAK_SCEAMV = WAK_RSCEAMV * WAK_SCEAV

<521> SGA_SCEAMV = SGA_RSCEAMV * SGA_SCEAV

<522> FKI_SCEAMV = FKI_RSCEAMV * FKI_SCEAV

<523> KIN_SCEAMV = OSA_SCEAMV + HYO_SCEAMV + KYO_SCEAMV + NRA_SCEAMV

+ WAK_SCEAMV + SGA_SCEAMV + FKI_SCEAMV

(7) 雇用者の強制的（現実）社会負担

<524> OSA_SCHAMV = OSA_RSCHAMV * OSA_SCHAV

<525> HYO_SCHAMV = HYO_RSCHAMV * HYO_SCHAV

<526> KYO_SCHAMV = KYO_RSCHAMV * KYO_SCHAV

<527> NRA_SCHAMV = NRA_RSCHAMV * NRA_SCHAV

<528> WAK_SCHAMV = WAK_RSCHAMV * WAK_SCHAV

<529> SGA_SCHAMV = SGA_RSCHAMV * SGA_SCHAV

<530> FKI_SCHAMV = FKI_RSCHAMV * FKI_SCHAV

< 531 > KIN_SCHAMV = OSA_SCHAMV + HYO_SCHAMV + KYO_SCHAMV +
NRA_SCHAMV + WAK_SCHAMV + SGA_SCHAMV + FKI_SCHAMV

(8) 財産所得（一般政府・支払）：1990-2004

<532>OSA_YPRPGV = -82375.36 + 0.973176(JPN_RGB/100*OSA_KBONDV)

(-0.920612) (5.078754)

+ 0.933933((OSA_YPRPGV(-1)) -87412.77(D92) + 84370.32(D98)

(13.10533) (-3.779736) (3.535814)

ADJ.R2 = 0.969331 SER = 20679.66 D.W. = 1.605029

< 533 >LOG(HYO_YPRPGV) = 9.991528 +

0.128754(LOG(JPN_RGB)+0.212587((LOG(HYO_KBONDV(-1))))

(9.364312) (2.597852) (3.190535)

+ 0.078091(D95+D96+D97+D98+D99) -0.150265(D03+D04)

(4.430789) (-5.887343)

ADJ.R2 = 0.88664 SER = 0.027182 D.W. = 2.501008

<534>LOG(KYO_YPRPGV)=11.70535

(25.60639)

+0.086992(LOG((JPN_RGB+JPN_RGB(-1)+JPN_RGB(-2))/3/100*KYO_KBONDV(-1))

(2.100871)

+ 0.07969(D97+D98+D99+D00+D01) -0.092816(D03+D0409)

(3.777632) (-2.867621)

ADJ.R2 = 0.825224 SER = 0.028697 D.W. = 1.57436

<535>LOG(NRA_YPRPGV/NRA_KBONDV(-1)) = -2.359334 + 0.152084(JPN_RGB)

(-43.53138) (11.73451)

-0.423523(D03+D0409) + 0.147333(D95+D96+D97+D98)

(-5.975462) (2.839567)

ADJ.R2 = 0.952671 SER = 0.082485 D.W. = 1.240476

<536>LOG(WAK_YPRPGV) = 10.44248 + 0.121532(LOG(JPN_RGB/100*WAK_KBONDV(-1))

(31.65487) (3.746506)

+0.090471(D95+D96+D97+D98+D99+D00) -0.182701(D03+D04)

(4.178866)

(-5.794966)

ADJ.R2 = 0.876396 SER = 0.037447 D.W. = 1.71792

<537>LOG(SGA_YPRPGV)=9.654254

(16.25072)

+0.20739(LOG((JPN_RGB+JPN_RGB(-1)+JPN_RGB(-2))/3/100*SGA_KBONDV))

(3.596922)

+0.168674(D96+D97+D98+D99+D00) + 0.132592(D01)

(5.636339)

(2.241362)

ADJ.R2 = 0.718626 SER = 0.052804 D.W. = 1.53245

<538>FKI_YPRPGV = 100663.4 + 0.507958(JPN_RGB/100*FKI_KBONDV)

(21.41701) (2.563524)

+ 14002.31(D95+D96+D97+D98+D99+D00) - 16004.74(D03+D0409)

(6.328688)

(-4.858072)

ADJ.R2 = 0.889665 SER = 3783.283 D.W. = 2.299498

<539> KIN_YPRPGV = OSA_YPRPGV + HYO_YPRPGV + KYO_YPRPGV + NRA_YPRPGV

+ WAK_YPRPGV + SGA_YPRPGV + FKI_YPRPGV

(9) 現物社会移転以外の社会給付（一般政府・支払）

<540> OSA_SBGV = OSA_SBCAV + OSA_SCEGIV + OSA_SBHAV + OSA_SBGOV

<541> HYO_SBGV = HYO_SBCAV + HYO_SCEGIV + HYO_SBHAV + HYO_SBGOV

<542> KYO_SBGV = KYO_SBCAV + KYO_SCEGIV + KYO_SBHAV + KYO_SBGOV

<543> NRA_SBGV = NRA_SBCAV + NRA_SCEGIV + NRA_SBHAV + NRA_SBGOV

<544> WAK_SBGV = WAK_SBCAV + WAK_SCEGIV + WAK_SBHAV + WAK_SBGOV

<545> SGA_SBGV = SGA_SBCAV + SGA_SCEGIV + SGA_SBHAV + SGA_SBGOV

<546> FKI_SBGV = FKI_SBCAV + FKI_SCEGIV + FKI_SBHAV + FKI_SBGOV

<547> KIN_SBGV = OSA_SBGV + HYO_SBGV + KYO_SBGV + NRA_SBGV +

WAK_SBGV

+ SGA_SBGV + FKI_SBGV

(10) 政府可処分所得

<548> OSA_YDGV = OSA_YPRRGV + OSA_TIV + OSA_TDVG + OSA_SCGV + OSA_TRANRGV

- (OSA_YPRPGV + OSA_SUBV + OSA_SBGV + OSA_TRANPGV)

<549> HYO_YDGV = HYO_YPRRGV + HYO_TIV + HYO_TDV + HYO_SCGV + HYO_TRANRGV
 – (HYO_YPRPGV + HYO_SUBV + HYO_SBGV + HYO_TRANPGV)

<550> KYO_YDGV = KYO_YPRRGV + KYO_TIV + KYO_TDV + KYO_SCGV + KYO_TRANRGV
 – (KYO_YPRPGV + KYO_SUBV + KYO_SBGV + KYO_TRANPGV)

<551> NRA_YDGV = NRA_YPRRGV + NRA_TIV + NRA_TDV + NRA_SCGV + NRA_TRANRGV
 – (NRA_YPRPGV + NRA_SUBV + NRA_SBGV + NRA_TRANPGV)

<552> WAK_YDGV = WAK_YPRRGV + WAK_TIV + WAK_TDV + WAK_SCGV +
 WAK_TRANRGV
 – (WAK_YPRPGV + WAK_SUBV + WAK_SBGV + WAK_TRANPGV)

<553> SGA_YDGV = SGA_YPRRGV + SGA_TIV + SGA_TDV + SGA_SCGV + SGA_TRANRGV
 – (SGA_YPRPGV + SGA_SUBV + SGA_SBGV + SGA_TRANPGV)

<554> FKI_YDGV = FKI_YPRRGV + FKI_TIV + FKI_TDV + FKI_SCGV + FKI_TRANRGV
 – (FKI_YPRPGV + FKI_SUBV + FKI_SBGV + FKI_TRANPGV)

<555> KIN_YDGV = OSA_YDGV + HYO_YDGV + KYO_YDGV + NRA_YDGV +
 WAK_YDGV + SGA_YDGV + FKI_YDGV

(11) 政府貯蓄

- <556> OSA_SGV = OSA_YDGV – OSA_CGV
- <557> HYO_SGV = HYO_YDGV – HYO_CGV
- <558> KYO_SGV = KYO_YDGV – KYO_CGV
- <559> NRA_SGV = NRA_YDGV – NRA_CGV
- <560> WAK_SGV = WAK_YDGV – WAK_CGV
- <561> SGA_SGV = SGA_YDGV – SGA_CGV
- <562> FKI_SGV = FKI_YDGV – FKI_CGV + FKI_ADJSGV

<563> KIN_SGV = OSA_SGV + HYO_SGV + KYO_SGV + NRA_SGV + WAK_SGV
 + SGA_SGV + FKI_SGV

(12) 公債費：1986-2004

<565>HYO_DEBTPV/HYO_KBONDV(-1) = 0.076931 + 0.007724(JPN_RGB)
(30.41819) (14.67359)

+ -0.019689((D80+D81) + 0.014374(D86+D87) -0.014548(D96+D97)

(-4.191231) (3.516891) (-3.502448)

ADJ.R2 =0.92713 SER = 0.005464 D.W. = 1.90325

<566>LOG(KYO_DEBTPV) = 0.887287 + 0.779064(LOG(KYO_KBONDV(-1)))
(1.416181) (18.6536)

+ 0.040353((LOG(JPN_RGB)) -0.098524(D80+D81) -0.061391(D03+D0409)
(1.350942) (-4.033864) (-2.782364)

ADJ.R2 =0.995531 SER = 0.026463 D.W. = 2.527189

<567>LOG(NRA_DEBTPV) = 0.093785 + 0.828183(LOG(NRA_KBONDV(-1)))
(0.14497) (18.64806)

+0.022519(JPN_RGB) -0.109095(D80+D81)
(2.227004) (-4.38752)
+ 0.085615(D85+D86-D87) + 0.064124(D91+D92+D93+D94+D95)
(5.101917) (4.469848)

ADJ.R2 =0.996334 SER = 0.027513 D.W. = 2.58643

<568> LOG(WAK_DEBTPV) = -1.756269 + 0.969747(LOG(WAK_KBONDV(-1)))
(-1.771575) (13.92239)

+ 0.124956(LOG(JPN_RGB)) -0.136334(D80+D81) +0.11882(D86+D87) +
0.093158(D92+D93)
(2.976885) (-4.190519) (4.574169) (3.926009)
+ -0.077966(D96+D97) + 0.117437(D02-D03)
(-3.166586) (4.94724)

ADJ.R2 =0.993111 SER = 0.031385 D.W. = 1.799479

<569>SGA_DEBTPV = 16325.64 + 0.001112((SGA_KBONDV(-1))*(JPN_RGB)
(3.222523) (0.672653)

+ 0.0000431((SGA_KBONDV(-1))*(TIME)) -25407.62(D03+D0409)
(39.43292) (-8.417286)

ADJ.R2 =0.991442 SER = 3144.753 D.W. = 0.897866

<570>FKI_DEBTPV = 26129.63 + 0.0000464((TIME)*(FKI_KBONDV(-1))

(5.816985) (42.86929)
 -0.002505(((JPN_RGB(-6))*(FKI_KBONDV(-7))) -7206.033(D93+D94+D95+D96)
 -15655.61(D03) (-1.27736) (-4.925006)
 (-5.397656)
 ADJ.R2 =0.991453 SER = 2567.045 D.W. = 1.378652

<571> KIN_DEBTPV = OSA_DEBTPV + HYO_DEBTPV + KYO_DEBTPV + NRA_DEBTPV
 + WAK_DEBTPV + SGA_DEBTPV + FKI_DEBTPV

(13) 政府プライマリーバランス : 1990-2004

<572>OSA_BONDV-OSA_DEBTPV = -789706.7 + 0.461477(OSA_IGV-OSA_SGV)
 (-9.169604) (12.536)
 -167824.7(D00+D01+D02+D03) -286386.6(D0409)
 (-4.573713) (-4.46995)
 ADJ.R2 =0.943874 SER = 60547.89 D.W. = 2.146709

<573>HYO_BONDV-HYO_DEBTPV = -588908.6 + 0.537145(HYO_IGV-HYO_SGV)
 (-7.716465) (9.746469)
 +57699.1(D95) -219385.9(D97+D98+D99+D00+D01)
 (7.81697) (-4.290726)

ADJ.R2 =0.960971 SER = 88774.97 D.W. = 2.583117

<574>KYO_BONDV-KYO_DEBTPV = -114066.1 + 0.282251(KYO_IGV-KYO_SGV)
 (-3.216404) (5.111272)
 -87844.7(D00+D01+D02) -43190.75(D03+D04)
 (-5.590837) (-2.329053)
 ADJ.R2 =0.789889 SER = 23658.79 D.W. = 1.291366

<575>NRA_BONDV-NRA_DEBTPV = -78149.74 + 0.307878(NRA_IGV-NRA_SGV)
 (-3.694514) (5.714094)
 -56305.07(D99+D00+D01+D02+D03) -99237.68(D0409)
 (-7.351994) (-7.231059)
 ADJ.R2 =0.852805 SER = 12309.22 D.W. = 1.987175

<576>WAK_BONDV-WAK_DEBTPV = 8065.904 + 0.157204(WAK_IGV-WAK_SGV)

(1.235339) (4.317621)

-56153.22(D99) -81828.34(D00+D01+D02+D03+D04)

(-3.532908) (-7.538335)

ADJ.R2 =0.802045 SER = 14703.65 D.W. = 1.421562

<577>SGA_BONDV-SGA_DEBTPV = -12865.51 + 0.068369(SGA_IGV-SGA_SGV)

(-0.525141) (1.064338)

+50117.74(D93+D94+D95+D96+D97) -29953.83(D0409)

(5.041346) (-1.721348)

ADJ.R2 =0.746666 SER = 16351.74 D.W. = 1.766242

<578>FKI_BONDV-FKI_DEBTPV = -82937.42 + 0.377277(FKI_IGV-FKI_SGV)

(-4.268885) (6.304943)

-52043.28(D99+D00+D01+D02+D03+D0409)

(-8.276546)

ADJ.R2 =0.854239 SER = 11348.23 D.W. = 2.194596

<579> KIN_BONDV = OSA_BONDV + HYO_BONDV + KYO_BONDV + NRA_BONDV

+ WAK_BONDV + SGA_BONDV + FKI_BONDV

(14) 地方債発行残高 : 1990-2004

<580> OSA_KBONDV = -88194.8 + 1.035724(OSA_BONDV-OSA_DEBTPV)

(-4.488957) (30.34773)

+ 1.027999((1+JPN_RGB/100)*(OSA_KBONDV(-1)))

(284.5103)

ADJ.R2 =0.999731 SER = 40203.32 D.W. = 1.829966

<581> HYO_KBONDV = -41577.23 + 1.019715(HYO_BONDV-HYO_DEBTPV)

(-3.700896) (63.95792)

+1.021148((1+JPN_RGB/100)*(HYO_KBONDV(-1))) + 533979.5(D02)

(429.5918) (17.97305)

ADJ.R2 =0.999884 SER = 27712.54 D.W. = 2.11508

<582>KYO_KBONDV = -18798.8 + 1.029322(KYO_BONDV-KYO_DEBTPV)

(-4.855299) (29.20667)

$+ 1.023957(((1+JPN_RGB/100)*(KYO_KBONDV(-1))))$ + 210999.4(D02)
-49975.58(D0409)
(418.2331) (24.48369) (-5.46613)

ADJ.R2 =0.999903 SER = 7889.008 D.W. = 1.881756

<583> NRA_KBONDV = -12008.54 + 1.158725(NRA_BONDV-NRA_DEBTPV)
(-3.605309) (21.09976)
+ 1.019349(((1+JPN_RGB/100)*(NRA_KBONDV(-1)))) + 103219.8(D86-D87) +
262123(D02)
(348.0131) (20.77589) (35.27835)

ADJ.R2 =0.999827 SER = 6992.215 D.W. = 1.76558

<584> WAK_KBONDV = -7475.17 + 1.091202(WAK_BONDV-WAK_DEBTPV)
(-1.589125) (16.21068)
+ 1.019945((1+JPN_RGB/100)*(WAK_KBONDV(-1))) + 254132.9(D02)
(184.2232) (26.42458)

ADJ.R2 =0.999384 SER = 9082.418 D.W. = 1.574463

<585> SGA_KBONDV = -7822.502 + 0.97908(SGA_BONDV-SGA_DEBTPV)
(-3.279098) (26.15444)
+ 1.021759((1+JPN_RGB/100)*(SGA_KBONDV(-1))) -26009.69(D80-D81)
(336.732) (-6.916594)
+ 237084.7(D02) -146805.8(D04)
(41.28195) (-22.73063)

ADJ.R2 =0.999863 SER = 5318.115 D.W. = 2.035543

<586> FKI_KBONDV = -7576.101 + 0.921672(FKI_BONDV-FKI_DEBTPV)
(-1.162245) (8.363405)
+ 1.018154((1+JPN_RGB/100)*(FKI_KBONDV(-1))) + 135133.8(D02)
(104.1266) (8.815689)

ADJ.R2 =0.998115 SER = 14414 D.W. = 1.849806

< 587 > KIN_KBONDV = OSA_KBONDV + HYO_KBONDV + KYO_KBONDV +
NRA_KBONDV + WAK_KBONDV + SGA_KBONDV + FKI_KBONDV

2-3-3 その他

(1) 財産所得（非企業部門）

<588> OSA_YPRNCV=OSA_YPRRGV+OSA_YPRRHV+OSA_YPRRNPV
-(OSA_YPRPGV+OSA_YPRPHV+OSA_YPRPNPV)+OSA_YPRADJ

<589> HYO_YPRNCV=HYO_YPRRGV+HYO_YPRRHV+HYO_YPRRNPV-(HYO_YPRPGV
+HYO_YPRPHV+HYO_YPRPNPV)+HYO_YPRADJ

<590> KYO_YPRNCV=KYO_YPRRGV+KYO_YPRRHV+KYO_YPRRNPV-(KYO_YPRPGV
+KYO_YPRPHV+KYO_YPRPNPV)+KYO_YPRADJ

<591> NRA_YPRNCV=NRA_YPRRGV+NRA_YPRRHV+NRA_YPRRNPV-(NRA_YPRPGV
+NRA_YPRPHV+NRA_YPRPNPV)+NRA_YPRADJ

<592> WAK_YPRNCV=WAK_YPRRGV+WAK_YPRRHV+WAK_YPRRNPV-(WAK_YPRPGV
+WAK_YPRPHV+WAK_YPRPNPV)+WAK_YPRADJ

<593> SGA_YPRNCV=SGA_YPRRGV+SGA_YPRRHV+SGA_YPRRNPV-(SGA_YPRPGV
+SGA_YPRPHV+SGA_YPRPNPV)+SGA_YPRADJ

< 594 > FKI_YPRNCV=FKI_YPRRGV+FKI_YPRRHV+FKI_YPRRNPV
-(FKI_YPRPGV+FKI_YPRPHV
+FKI_YPRPNPV)+FKI_YPRADJ

<595> KIN_YPRNCV=OSA_YPRNCV+HYO_YPRNCV+KYO_YPRNCV+NRA_YPRNCV
+WAK_YPRNCV+SGA_YPRNCV+FKI_YPRNCV

(2) 企業所得（法人企業の分配所得受払後）

<596> OSA_YEV=OSA_GNIV-(OSA_CFCA+OSA_YWTV+OSA_YPRNCV+OSA_TIV
-OSA_SUBV)+OSA_ADJYEV

< 597 > HYO_YEV=HYO_GNIV -(HYO_CFCA+HYO_YWTV+HYO_YPRNCV+HYO_TIV
-HYO_SUBV)
+HYO_ADJYEV

< 598 > KYO_YEV=KYO_GNIV -(KYO_CFCA+KYO_YWTV+KYO_YPRNCV+KYO_TIV
-KYO_SUBV)

<599> NRA_YEV=NRA_GNIV-(NRA_CFCA+NRA_YWTV+NRA_YPRNCV+NRA_TIV
-NRA_SUBV)+NRA_ADJYEV

< 600 > WAK_YEV=WAK_GNI -(WAK_CFCA+WAK_YWTV+WAK_YPRNCV+WAK_TIV
-WAK_SUBV)

< 601 > SGA_YEV=SGA_GNIV -(SGA_CFCA+SGA_YWTV+SGA_YPRNCV+SGA_TIV
-SGA_SUBV)

<602> FKI_YEV=FKI_GNIV-(FKI_CFCA+FKI_YWTV+FKI_YPRNCV+FKI_TIV-FKI_SUBV)

<603> KIN_YEV= OSA_YEV+ HYO_YEV+ KYO_YEV+ NRA_YEV+ WAK_YEV+ SGA_YEV
+FKI_YEV

(3) 法人企業所得

<604> OSA_YECV=OSA_RYECV*OSA_YEV
<605> HYO_YECV=HYO_RYECV*HYO_YEV
<606> KYO_YECV=KYO_RYECV*KYO_YEV
<607> NRA_YECV=NRA_RYECV*NRA_YEV
<608> WAK_YECV=WAK_RYECV*WAK_YEV
<609> SGA_YECV=SGA_RYECV*SGA_YEV
<610> FKI_YECV=FKI_RYECV*FKI_YEV

<611> KIN_YECV= OSA_YECV+ HYO_YECV+ KYO_YECV+ NRA_YECV+ WAK_YECV+
SGA_YECV +FKI_YECV

(4) 個人企業所得

<612> OSA YEICV=OSA_RYEICV*OSA_YEV
<613> HYO YEICV=HYO_RYEICV*HYO_YEV
<614> KYO YEICV=KYO_RYEICV*KYO_YEV
<615> NRA YEICV=NRA_RYEICV*NRA_YEV
<616> WAK YEICV=WAK_RYEICV*WAK_YEV
<617> SGA YEICV=SGA_RYEICV*SGA_YEV
<618> FKI YEICV=FKI_RYEICV*FKI_YEV

<619> KIN YEICV= OSA YEICV+ HYO YEICV+ KYO YEICV+ NRA YEICV
+ WAK YEICV+ SGA YEICV +FKI YEICV

2-4 労働ブロック

(1) 就業者数（県内・1次産業）

<620> OSA_LN1 = OSA_X1 * OSA_RLN1
<621> HYO_LN1 = HYO_X1 * HYO_RLN1
<622> KYO_LN1 = KYO_X1 * KYO_RLN1
<623> NRA_LN1 = NRA_X1 * NRA_RLN1

<624> WAK_LN1 = WAK_X1 * WAK_RLN1

<625> SGA_LN1 = SGA_X1 * SGA_RLN1

<626> FKI_LN1 = FKI_X1 * FKI_RLN1

<627> KIN_LN1 = OSA_LN1 + HYO_LN1 + KYO_LN1 + NRA_LN1 + WAK_LN1 +
SGA_LN1 + FKI_LN1

(2) 就業者数（県内・2次産業）

<628> OSA_LN2 = OSA_X2 * OSA_RLN2

<629> HYO_LN2 = HYO_X2 * HYO_RLN2

<630> KYO_LN2 = KYO_X2 * KYO_RLN2

<631> NRA_LN2 = NRA_X2 * NRA_RLN2

<632> WAK_LN2 = WAK_X2 * WAK_RLN2

<633> SGA_LN2 = SGA_X2 * SGA_RLN2

<634> FKI_LN2 = FKI_X2 * FKI_RLN2

<635> KIN_LN2 = OSA_LN2 + HYO_LN2 + KYO_LN2 + NRA_LN2 + WAK_LN2 +
SGA_LN2 + FKI_LN2

(3) 就業者数（県内・3次産業）

<636> OSA_LN3 = OSA_X3 * OSA_RLN3

<637> HYO_LN3 = HYO_X3 * HYO_RLN3

<638> KYO_LN3 = KYO_X3 * KYO_RLN3

<639> NRA_LN3 = NRA_X3 * NRA_RLN3

<640> WAK_LN3 = WAK_X3 * WAK_RLN3

<641> SGA_LN3 = SGA_X3 * SGA_RLN3

<642> FKI_LN3 = FKI_X3 * FKI_RLN3

<643> KIN_LN3 = OSA_LN3 + HYO_LN3 + KYO_LN3 + NRA_LN3 + WAK_LN3 +
SGA_LN3 + FKI_LN3

(4) 雇用者数（県内・1次産業）

<644> OSA_LE1 = OSA_LN1 * OSA_RLE1

<645> HYO_LE1 = HYO_LN1 * HYO_RLE1

<646> KYO_LE1 = KYO_LN1 * KYO_RLE1

<647> NRA_LE1 = NRA_LN1 * NRA_RLE1

<648> WAK_LE1 = WAK_LN1 * WAK_RLE1
<649> SGA_LE1 = SGA_LN1 * SGA_RLE1
<650> FKI_LE1 = FKI_LN1 * FKI_RLE1

<651> KIN_LE1 = OSA_LE1 + HYO_LE1 + KYO_LE1 + NRA_LE1 + WAK_LE1 +
SGA_LE1 + FKI_LE1

(5) 雇用者数（県内・2次産業）

<652> OSA_LE2 = OSA_LN2 * OSA_RLE2
<653> HYO_LE2 = HYO_LN2 * HYO_RLE2
<654> KYO_LE2 = KYO_LN2 * KYO_RLE2
<655> NRA_LE2 = NRA_LN2 * NRA_RLE2
<656> WAK_LE2 = WAK_LN2 * WAK_RLE2
<657> SGA_LE2 = SGA_LN2 * SGA_RLE2
<658> FKI_LE2 = FKI_LN2 * FKI_RLE2

<659> KIN_LE2 = OSA_LE2 + HYO_LE2 + KYO_LE2 + NRA_LE2 + WAK_LE2 +
SGA_LE2 + FKI_LE2

(6) 雇用者数（県内・3次産業）

<660> OSA_LE3 = OSA_LN3 * OSA_RLE3
<661> HYO_LE3 = HYO_LN3 * HYO_RLE3
<662> KYO_LE3 = KYO_LN3 * KYO_RLE3
<663> NRA_LE3 = NRA_LN3 * NRA_RLE3
<664> WAK_LE3 = WAK_LN3 * WAK_RLE3
<665> SGA_LE3 = SGA_LN3 * SGA_RLE3
<666> FKI_LE3 = FKI_LN3 * FKI_RLE3

<667> KIN_LE3 = OSA_LE3 + HYO_LE3 + KYO_LE3 + NRA_LE3 + WAK_LE3 +
SGA_LE3 + FKI_LE3

2-5 産業連関ブロック

(1) 県内最終需要（最終需要項目別・IOベース）

```
<668>OSA_CPIO = 1.1191531391 * OSA_CP  
<669>OSA_CGIO = 0.9346808946 * OSA(CG  
<670>OSA_IGIO = 1.0919356952 * OSA_IG  
<671>OSA_IPHIO = 0.9822522996 * OSA_IPH  
<672>OSA_IPF1IO = 0.9822522996 * OSA_IPF1  
<673>OSA_IPF2IO = 0.9822522996 * OSA_IPF2  
<674>OSA_IPF3IO = 0.9822522996 * OSA_IPF3  
<675>OSA_JIO = -135290.774517136 + OSA_J  
  
<676>HYO_CPIO = 1.1957459992 * HYO_CP  
<677>HYO_CGIO = 0.9876976698 * HYO(CG  
<678>HYO_IGIO = 1.0233583157 * HYO_IG  
<679>HYO_IPHIO = 0.9920996094 * HYO_IPH  
<680>HYO_IPF1IO = 0.9920996094 * HYO_IPF1  
<681>HYO_IPF2IO = 0.9920996094 * HYO_IPF2  
<682>HYO_IPF3IO = 0.9920996094 * HYO_IPF3  
<683>HYO_JIO = 14769.0148142454 + HYO_J  
<684>KYO_CPIO = 1.2707984634 * KYO_CP  
<685>KYO_CGIO = 1.0253258695 * KYO(CG  
<686>KYO_IGIO = 1.0435667521 * KYO_IG  
<687>KYO_IPHIO = 0.9818632096 * KYO_IPH  
<688>KYO_IPF1IO = 0.9818632096 * KYO_IPF1  
<689>KYO_IPF2IO = 0.9818632096 * KYO_IPF2  
<690>KYO_IPF3IO = 0.9818632096 * KYO_IPF3  
<691>KYO_JIO = 12148.476196573 + KYO_J  
<692>NRA_CPIO = 1.1107106036 * NRA_CP  
<693>NRA_CGIO = 0.9764441773 * NRA(CG  
<694>NRA_IGIO = 1.0191868802 * NRA_IG  
<695>NRA_IPHIO = 1.0261814397 * NRA_IPH  
<696>NRA_IPF1IO = 1.0261814397 * NRA_IPF1  
<697>NRA_IPF2IO = 1.0261814397 * NRA_IPF2  
<698>NRA_IPF3IO = 1.0261814397 * NRA_IPF3  
<699>NRA_JIO = -19338.4259401514 + NRA_J
```

<700>WAK_CPIO = 1.3037329089 * WAK_CP
 <701>WAK_CGIO = 0.9647732041 * WAK(CG
 <702>WAK_IGIO = 0.6559036066 * WAK_IG
 <703>WAK_IPHIO = 1.0446646576 * WAK_IPH
 <704>WAK_IPF1IO = 1.0446646576 * WAK_IPF1
 <705>WAK_IPF2IO = 1.0446646576 * WAK_IPF2
 <706>WAK_IPF3IO = 1.0446646576 * WAK_IPF3
 <707>WAK_JIO = 6753.2371327478 + WAK_J
 <708>SGA_CPIO = 1.1516895941 * SGA_CP
 <709>SGA_CGIO = 1.0059844603 * SGA(CG
 <710>SGA_IGIO = 1.2153333415 * SGA_IG
 <711>SGA_IPHIO = 1.4148366122 * SGA_IPH
 <712>SGA_IPF1IO = 1.4148366122 * SGA_IPF1
 <713>SGA_IPF2IO = 1.4148366122 * SGA_IPF2
 <714>SGA_IPF3IO = 1.4148366122 * SGA_IPF3
 <715>SGA_JIO = -8447.3486849685 + SGA_J
 <716>FKI_CPIO = 1.1653734896 * FKI_CP
 <717>FKI_CGIO = 0.9373828138 * FKI(CG
 <718>FKI_IGIO = 1.0217868910 * FKI_IG
 <719>FKI_IPHIO = 1.1924760097 * FKI_IPH
 <720>FKI_IPF1IO = 1.1924760097 * FKI_IPF1
 <721>FKI_IPF2IO = 1.1924760097 * FKI_IPF2
 <722>FKI_IPF3IO = 1.1924760097 * FKI_IPF3
 <723>FKI_JIO = 8431.9961070945 + FKI_J

(2) 県別・行部門別県内最終需要 (IOベース)

<724>OSA_FDIO1 = 0.0112239023 * OSA_CPIO + 0 * OSA_CGIO + 0 * OSA_IGIO + 0
 * OSA_IPHIO + 0.1454475189 * OSA_IPF1IO + 0 * OSA_IPF2IO + 0.0027434231 *
 OSA_IPF3IO - 0.0060602275 * OSA_JIO

<725>OSA_FDIO2 = 0.1356606137 * OSA_CPIO + 0.0015812802 *
 OSA_CGIO + 0.7707567070 * OSA_IGIO + 0.8937313685 *
 OSA_IPHIO + 0.4117444752 * OSA_IPF1IO + 0.5383187133 *
 OSA_IPF2IO + 0.5943060347 * OSA_IPF3IO + 0.8049965066 * OSA_JIO

<726>OSA_FDIO3 = 0.6984445704 * OSA_CPIO + 0.0174438580 *

OSA_CGIO + 0.1936280088 * OSA_IGIO + 0.0042775020 *
 OSAIPHIO + 0.3816605041 * OSAIPF1IO + 0.3922531978 *
 OSAPIF2IO + 0.3283303240 * OSAIPF3IO - 0.1211171848 * OSAJIO

<727>OSA_FDIO4 = 0.0728485669 * OSA_CPIO + 0.9718045900 * OSA_CGIO + 0 *
 OSA_IGIO + 0 * OSAIPHIO + 0 * OSAIPF1IO + 0 * OSAIPF2IO + 0 *
 OSAPIF3IO + 0 * OSAJIO

<728>OSA_FDIO5 = 0.0000911678 * OSA_CPIO + 0 * OSA_CGIO + 0 * OSA_IGIO + 0
 * OSAIPHIO + 0.0007299203 * OSAIPF1IO + 0 * OSAIPF2IO + 0.0000137677
 * OSAPIF3IO - 0.0000404232 * OSAJIO

<729>OSA_FDIO6 = 0.0222431515 * OSA_CPIO + 0.0004006107 * OSA_CGIO +
 0.0119892657 * OSA_IGIO + 0.0408349556 * OSAIPHIO + 0.0188127752 * OSAPIF1IO
 + 0.0245960044 * OSAPIF2IO + 0.0271540883 * OSAPIF3IO + 0.1099884927 * OSAJIO

<730>OSA_FDIO7 = 0.0094094012 * OSA_CPIO - 0.0000147249 * OSA_CGIO +
 0.0023184740 * OSA_IGIO + 0.0000554601 * OSAIPHIO + 0.0049484363 * OSAPIF1IO
 + 0.0050857764 * OSAPIF2IO + 0.0042569815 * OSAPIF3IO - 0.0019583193 * OSAJIO

<731>OSA_FDIO8 = 0.0003480369 * OSA_CPIO + 0.0025718935 * OSA_CGIO + 0 *
 OSA_IGIO + 0 * OSAIPHIO + 0 * OSAPIF1IO + 0 * OSAPIF2IO + 0 *
 OSAPIF3IO + 0 * OSAJIO

<732>OSA_FDIO9 = 0.0000278384 * OSA_CPIO + 0 * OSA_CGIO + 0 * OSA_IGIO + 0
 * OSAIPHIO + 0.0004741433 * OSAPIF1IO + 0 * OSAPIF2IO + 0.0000089432 *
 OSAPIF3IO - 0.0000059870 * OSAJIO

<733>OSA_FDIO10 = 0.0091570817 * OSA_CPIO + 0.0001296372 * OSA_CGIO +
 0.0067173159 * OSA_IGIO + 0.0242365166 * OSAIPHIO + 0.0111658292 * OSAPIF1IO
 + 0.0145983132 * OSAPIF2IO + 0.0161165967 * OSAPIF3IO + 0.0452473533 * OSAJIO

<734>OSA_FDIO11 = 0.0137173898 * OSA_CPIO - 0.0000050392 * OSA_CGIO +
 0.0011628831 * OSA_IGIO + 0.0000248940 * OSAIPHIO + 0.0022211700 * OSAPIF1IO
 + 0.0022828169 * OSAPIF2IO + 0.0019108015 * OSAPIF3IO - 0.0010262845 * OSAJIO

<735>OSA_FDIO12 = 0.0007493123 * OSA_CPIO + 0.0051126616 * OSA_CGIO + 0 * OSA_IGIO + 0 * OSAIPHIO + 0 * OSAPIF1IO + 0 * OSAPIF2IO + 0 * OSAPIF3IO + 0 * OSA_JIO

<736>OSA_FDIO13 = 0.0001717876 * OSA_CPIO + 0 * OSA_CGIO + 0 * OSA_IGIO + 0 * OSAIPHIO + 0.0013387864 * OSAPIF1IO + 0 * OSAPIF2IO + 0.0000252521 * OSAPIF3IO - 0.0001619962 * OSA_JIO

<737>OSA_FDIO14 = 0.0045841390 * OSA_CPIO + 0.0000617078 * OSA_CGIO + 0.0082846197 * OSA_IGIO + 0.0187779177 * OSAIPHIO + 0.0086510378 * OSAPIF1IO + 0.0113104506 * OSAPIF2IO + 0.0124867832 * OSAPIF3IO + 0.0552008833 * OSA_JIO

<738>OSA_FDIO15 = 0.0008306996 * OSA_CPIO - 0.0000002027 * OSA_CGIO + 0.0001701497 * OSA_IGIO + 0.0000036538 * OSAIPHIO + 0.0003260132 * OSAPIF1IO + 0.0003350615 * OSAPIF2IO + 0.0002804587 * OSAPIF3IO - 0.0001321974 * OSA_JIO

<739>OSA_FDIO16 = 0.0000049343 * OSA_CPIO + 0.0000155073 * OSA_CGIO + 0 * OSA_IGIO + 0 * OSAIPHIO + 0 * OSAPIF1IO + 0 * OSAPIF2IO + 0 * OSAPIF3IO + 0 * OSA_JIO

<740>OSA_FDIO17 = 0.0004733343 * OSA_CPIO + 0 * OSA_CGIO + 0 * OSA_IGIO + 0 * OSAIPHIO + 0.0012841992 * OSAPIF1IO + 0 * OSAPIF2IO + 0.0000242224 * OSAPIF3IO - 0.0002402877 * OSA_JIO

<741>OSA_FDIO18 = 0.0046003743 * OSA_CPIO + 0.0000262517 * OSA_CGIO + 0.0012082903 * OSA_IGIO + 0.0054539713 * OSAIPHIO + 0.0025126594 * OSAPIF1IO + 0.0032850753 * OSAPIF2IO + 0.0036267364 * OSAPIF3IO - 0.0092789320 * OSA_JIO

<742>OSA_FDIO19 = 0.0008551471 * OSA_CPIO - 0.0000005534 * OSA_CGIO + 0.0000650118 * OSA_IGIO + 0.0000014121 * OSAIPHIO + 0.0001260009 * OSAPIF1IO + 0.0001294980 * OSAPIF2IO + 0.0001083945 * OSAPIF3IO - 0.0000637088 * OSA_JIO

<743>OSA_FDIO20 = 0.0002313711 * OSA_CPIO + 0.0000982522 * OSA_CGIO + 0 * OSA_IGIO + 0 * OSAIPHIO + 0 * OSAPIF1IO + 0 * OSAPIF2IO + 0 * OSAPIF3IO + 0 * OSA_JIO

<744>OSA_FDIO21 = 0.0004153674 * OSA_CPIO + 0 * OSA_CGIO + 0 * OSA_IGIO +
 0 * OSA_IPHIO + 0.0017359836 * OSA_IPF1IO + 0 * OSA_IPF2IO + 0.0000327440 *
 OSA_IPF3IO - 0.0002113618 * OSA_JIO

<745>OSA_FDIO22 = 0.0057881993 * OSA_CPIO + 0.0000427336 * OSA_CGIO +
 0.0027050009 * OSA_IGIO + 0.0093193334 * OSA_IPHIO + 0.0042934422 * OSA_IPF1IO
 + 0.0056132880 * OSA_IPF2IO + 0.0061970926 * OSA_IPF3IO + 0.0635217040 * OSA_JIO

<746>OSA_FDIO23 = 0.0004532180 * OSA_CPIO + 0.0001878606 * OSA_CGIO +
 0.0000690749 * OSA_IGIO + 0.0000014949 * OSA_IPHIO + 0.0001333865 * OSA_IPF1IO
 + 0.0001370886 * OSA_IPF2IO + 0.0001147481 * OSA_IPF3IO - 0.0000813613 * OSA_JIO

<747>OSA_FDIO24 = 0.0003598530 * OSA_CPIO + 0.0005348313 * OSA_CGIO + 0 *
 OSA_IGIO + 0 * OSA_IPHIO + 0 * OSA_IPF1IO + 0 * OSA_IPF2IO + 0 *
 OSA_IPF3IO + 0 * OSA_JIO

<748>OSA_FDIO25 = 0.0002481449 * OSA_CPIO + 0 * OSA_CGIO + 0 * OSA_IGIO +
 0 * OSA_IPHIO + 0.0008057485 * OSA_IPF1IO + 0 * OSA_IPF2IO + 0.0000151979 *
 OSA_IPF3IO - 0.0001321805 * OSA_JIO

<749>OSA_FDIO26 = 0.0027642594 * OSA_CPIO + 0.0000088701 * OSA_CGIO +
 0.0008868764 * OSA_IGIO + 0.0032806614 * OSA_IPHIO + 0.0015114096 * OSA_IPF1IO
 + 0.0019760316 * OSA_IPF2IO + 0.0021815469 * OSA_IPF3IO + 0.0615911015 * OSA_JIO

<750>OSA_FDIO27 = 0.0042972720 * OSA_CPIO - 0.0000000260 * OSA_CGIO +
 0.0000383210 * OSA_IGIO + 0.0000008580 * OSA_IPHIO + 0.0000765591 * OSA_IPF1IO
 + 0.0000786840 * OSA_IPF2IO + 0.0000658614 * OSA_IPF3IO - 0.0000355889 * OSA_JIO

<751>OSA_FDIO28 = 0.0000008641 * OSA_CPIO + 0 * OSA_CGIO + 0 * OSA_IGIO +
 0 * OSA_IPHIO + 0 * OSA_IPF1IO + 0 * OSA_IPF2IO + 0 * OSA_IPF3IO + 0 *
 OSA_JIO

'HYOGO

<752>HYO_FDIO1 = 0.0001554952 * HYO_CPIO + 0 * HYO_CGIO + 0 * HYO_IGIO +
 0 * HYO_IPHIO + 0.0000851360 * HYO_IPF1IO + 0 * HYO_IPF2IO + 0.0000013321 *

HYO_IPF3IO - 0.0001961759 * HYO_JIO

<753>HYO_FDIO2 = 0.0202997879 * HYO_CPIO + 0.0005108274 * HYO_CGIO + 0.0063183730 * HYO_IGIO + 0.0341617464 * HYOIPHIO + 0.0211686217 * HYO_IPF1IO + 0.0234113190 * HYO_IPF2IO + 0.0253463352 * HYO_IPF3IO + 0.1625746564 * HYO_JIO

<754>HYO_FDIO3 = 0.0420315472 * HYO_CPIO + 0.0000773477 * HYO_CGIO + 0.0136948634 * HYO_IGIO + 0.0004272205 * HYOIPHIO + 0.0512708963 * HYO_IPF1IO + 0.0445740183 * HYO_IPF2IO + 0.0365885264 * HYO_IPF3IO - 0.0011163804 * HYO_JIO

<755>HYO_FDIO4 = 0.0002045268 * HYO_CPIO + 0.0002529036 * HYO_CGIO + 0 * HYO_IGIO + 0 * HYOIPHIO + 0 * HYO_IPF1IO + 0 * HYO_IPF2IO + 0 * HYO_IPF3IO + 0 * HYO_JIO

<756>HYO_FDIO5 = 0.0113332324 * HYO_CPIO + 0 * HYO_CGIO + 0 * HYO_IGIO + 0 * HYOIPHIO + 0.0173297825 * HYO_IPF1IO + 0 * HYO_IPF2IO + 0.0002711563 * HYO_IPF3IO - 0.1225706272 * HYO_JIO

<757>HYO_FDIO6 = 0.1675849529 * HYO_CPIO + 0.0041737705 * HYO_CGIO + 0.9047771295 * HYO_IGIO + 0.9422928546 * HYOIPHIO + 0.5838999202 * HYO_IPF1IO + 0.6457608565 * HYO_IPF2IO + 0.6991349435 * HYO_IPF3IO + 0.9326541173 * HYO_JIO

<758>HYO_FDIO7 = 0.6461639525 * HYO_CPIO + 0.0167884118 * HYO_CGIO + 0.0697405200 * HYO_IGIO + 0.0025934969 * HYOIPHIO + 0.3112464957 * HYO_IPF1IO + 0.2705922459 * HYO_IPF2IO + 0.2221153023 * HYO_IPF3IO - 0.0276084659 * HYO_JIO

<759>HYO_FDIO8 = 0.0705933849 * HYO_CPIO + 0.9718806225 * HYO_CGIO + 0 * HYO_IGIO + 0 * HYOIPHIO + 0 * HYO_IPF1IO + 0 * HYO_IPF2IO + 0 * HYO_IPF3IO + 0 * HYO_JIO

<760>HYO_FDIO9 = 0.0000285395 * HYO_CPIO + 0 * HYO_CGIO + 0 * HYO_IGIO + 0 * HYOIPHIO + 0.0000612518 * HYO_IPF1IO + 0 * HYO_IPF2IO + 0.0000009583 * HYO_IPF3IO - 0.0001608979 * HYO_JIO

<761>HYO_FDIO10 = 0.0067052694 * HYO_CPIO + 0.0001507130 * HYO_CGIO + 0.0021063981 * HYO_IGIO + 0.0081651343 * HYOIPHIO + 0.0050595961 * HYO_IPF1IO

$+ 0.0055956321 * \text{HYO_IPF2IO} + 0.0060581280 * \text{HYO_IPF3IO} + 0.0201021348 * \text{HYO_JIO}$

 $<762>\text{HYO_FDIO11} = 0.0135739361 * \text{HYO_CPIO} - 0.0000052610 * \text{HYO_CGIO} +$
 $0.0002088257 * \text{HYO_IGIO} + 0.0000117697 * \text{HYO_IPHIO} + 0.0014124917 * \text{HYO_IPF1IO}$
 $+ 0.0012279955 * \text{HYO_IPF2IO} + 0.0010079986 * \text{HYO_IPF3IO} - 0.0002332645 * \text{HYO_JIO}$

 $<763>\text{HYO_FDIO12} = 0.0007332700 * \text{HYO_CPIO} + 0.0051885344 * \text{HYO_CGIO} + 0 * \text{HYO_IGIO} + 0 * \text{HYO_IPHIO} + 0 * \text{HYO_IPF1IO} + 0 * \text{HYO_IPF2IO} + 0 * \text{HYO_IPF3IO} + 0 * \text{HYO_JIO}$

 $<764>\text{HYO_FDIO13} = 0.0001691046 * \text{HYO_CPIO} + 0 * \text{HYO_CGIO} + 0 * \text{HYO_IGIO} +$
 $0 * \text{HYO_IPHIO} + 0.0001413795 * \text{HYO_IPF1IO} + 0 * \text{HYO_IPF2IO} + 0.0000022121 * \text{HYO_IPF3IO} - 0.0048308338 * \text{HYO_JIO}$

 $<765>\text{HYO_FDIO14} = 0.0014660549 * \text{HYO_CPIO} + 0.0000343138 * \text{HYO_CGIO} +$
 $0.0009270297 * \text{HYO_IGIO} + 0.0024448176 * \text{HYO_IPHIO} + 0.0015149523 * \text{HYO_IPF1IO}$
 $+ 0.0016754531 * \text{HYO_IPF2IO} + 0.0018139344 * \text{HYO_IPF3IO} + 0.0097508619 * \text{HYO_JIO}$

 $<766>\text{HYO_FDIO15} = 0.0007767294 * \text{HYO_CPIO} - 0.0000001688 * \text{HYO_CGIO} +$
 $0.0000335246 * \text{HYO_IGIO} + 0.0000017901 * \text{HYO_IPHIO} + 0.0002148307 * \text{HYO_IPF1IO}$
 $+ 0.0001867700 * \text{HYO_IPF2IO} + 0.0001533099 * \text{HYO_IPF3IO} - 0.0000282163 * \text{HYO_JIO}$

 $<767>\text{HYO_FDIO16} = 0.0000058959 * \text{HYO_CPIO} + 0.0000124182 * \text{HYO_CGIO} + 0 * \text{HYO_IGIO} + 0 * \text{HYO_IPHIO} + 0 * \text{HYO_IPF1IO} + 0 * \text{HYO_IPF2IO} + 0 * \text{HYO_IPF3IO} + 0 * \text{HYO_JIO}$

 $<768>\text{HYO_FDIO17} = 0.0004711718 * \text{HYO_CPIO} + 0 * \text{HYO_CGIO} + 0 * \text{HYO_IGIO} +$
 $0 * \text{HYO_IPHIO} + 0.0000742941 * \text{HYO_IPF1IO} + 0 * \text{HYO_IPF2IO} + 0.0000011624 * \text{HYO_IPF3IO} - 0.0037568732 * \text{HYO_JIO}$

 $<769>\text{HYO_FDIO18} = 0.0028241216 * \text{HYO_CPIO} + 0.0000295932 * \text{HYO_CGIO} +$
 $0.0002294172 * \text{HYO_IGIO} + 0.0013318194 * \text{HYO_IPHIO} + 0.0008252734 * \text{HYO_IPF1IO}$
 $+ 0.0009127065 * \text{HYO_IPF2IO} + 0.0009881445 * \text{HYO_IPF3IO} + 0.0097301534 * \text{HYO_JIO}$

 $<770>\text{HYO_FDIO19} = 0.0008007426 * \text{HYO_CPIO} - 0.0000005958 * \text{HYO_CGIO} +$
 $0.0000122666 * \text{HYO_IGIO} + 0.0000006883 * \text{HYO_IPHIO} + 0.0000826127 * \text{HYO_IPF1IO}$

$+ 0.0000718221 * \text{HYO_IPF2IO} + 0.0000589550 * \text{HYO_IPF3IO} - 0.0000201220 * \text{HYO_JIO}$

 $<771> \text{HYO_FDIO20} = 0.0002851244 * \text{HYO_CPIO} + 0.0001186044 * \text{HYO_CGIO} + 0 * \text{HYO_IGIO} + 0 * \text{HYO_IPHIO} + 0 * \text{HYO_IPF1IO} + 0 * \text{HYO_IPF2IO} + 0 * \text{HYO_IPF3IO} + 0 * \text{HYO_JIO}$

 $<772> \text{HYO_FDIO21} = 0.0004122213 * \text{HYO_CPIO} + 0 * \text{HYO_CGIO} + 0 * \text{HYO_IGIO} + 0 * \text{HYO_IPHIO} + 0.0001234044 * \text{HYO_IPF1IO} + 0 * \text{HYO_IPF2IO} + 0.0000019308 * \text{HYO_IPF3IO} - 0.0009434613 * \text{HYO_JIO}$

 $<773> \text{HYO_FDIO22} = 0.0074761270 * \text{HYO_CPIO} + 0.0000316406 * \text{HYO_CGIO} + 0.0013594862 * \text{HYO_IGIO} + 0.0063728098 * \text{HYO_IPHIO} + 0.0039489667 * \text{HYO_IPF1IO} + 0.0043673377 * \text{HYO_IPF2IO} + 0.0047283113 * \text{HYO_IPF3IO} + 0.0325336466 * \text{HYO_JIO}$

 $<774> \text{HYO_FDIO23} = 0.0005488855 * \text{HYO_CPIO} + 0.0001719879 * \text{HYO_CGIO} + 0.0000121426 * \text{HYO_IGIO} + 0.0000007083 * \text{HYO_IPHIO} + 0.0000850037 * \text{HYO_IPF1IO} + 0.0000739007 * \text{HYO_IPF2IO} + 0.0000606613 * \text{HYO_IPF3IO} - 0.0000238850 * \text{HYO_JIO}$

 $<775> \text{HYO_FDIO24} = 0.0004262151 * \text{HYO_CPIO} + 0.0005767857 * \text{HYO_CGIO} + 0 * \text{HYO_IGIO} + 0 * \text{HYO_IPHIO} + 0 * \text{HYO_IPF1IO} + 0 * \text{HYO_IPF2IO} + 0 * \text{HYO_IPF3IO} + 0 * \text{HYO_JIO}$

 $<776> \text{HYO_FDIO25} = 0.0002432285 * \text{HYO_CPIO} + 0 * \text{HYO_CGIO} + 0 * \text{HYO_IGIO} + 0 * \text{HYO_IPHIO} + 0.0000423331 * \text{HYO_IPF1IO} + 0 * \text{HYO_IPF2IO} + 0.0000006623 * \text{HYO_IPF3IO} - 0.0008399261 * \text{HYO_JIO}$

 $<777> \text{HYO_FDIO26} = 0.0006025550 * \text{HYO_CPIO} + 0.0000075620 * \text{HYO_CGIO} + 0.0005723081 * \text{HYO_IGIO} + 0.0021947037 * \text{HYO_IPHIO} + 0.0013599671 * \text{HYO_IPF1IO} + 0.0015040480 * \text{HYO_IPF2IO} + 0.0016283621 * \text{HYO_IPF3IO} - 0.0050076308 * \text{HYO_JIO}$

 $<778> \text{HYO_FDIO27} = 0.0040828398 * \text{HYO_CPIO} - 0.0000000116 * \text{HYO_CGIO} + 0.0000077149 * \text{HYO_IGIO} + 0.0000004398 * \text{HYO_IPHIO} + 0.0000527892 * \text{HYO_IPF1IO} + 0.0000458940 * \text{HYO_IPF2IO} + 0.0000376720 * \text{HYO_IPF3IO} - 0.0000088099 * \text{HYO_JIO}$

 $<779> \text{HYO_FDIO28} = 0.0000010863 * \text{HYO_CPIO} + 0 * \text{HYO_CGIO} + 0 * \text{HYO_IGIO} + 0 * \text{HYO_IPHIO} + 0 * \text{HYO_IPF1IO} + 0 * \text{HYO_IPF2IO} + 0 * \text{HYO_IPF3IO} + 0 * \text{HYO_JIO}$

HYO_JIO

'KYOTO

<780> KYO_FDIO1 = 0.0001376958 * KYO_CPIO + 0 * KYO_CGIO + 0 * KYO_IGIO + 0 * KYO_IPHIO + 0.0003502335 * KYO_IPF1IO + 0 * KYO_IPF2IO + 0.0000056606 * KYO_IPF3IO + 0.0000656324 * KYO_JIO

<781> KYO_FDIO2 = 0.0199709714 * KYO_CPIO + 0.0007140600 * KYO_CGIO + 0.0078482541 * KYO_IGIO + 0.0321173338 * KYO_IPHIO + 0.0206245331 * KYO_IPF1IO + 0.0239632663 * KYO_IPF2IO + 0.0255089204 * KYO_IPF3IO + 0.0548389929 * KYO_JIO

<782> KYO_FDIO3 = 0.0406753428 * KYO_CPIO + 0.0001501505 * KYO_CGIO + 0.0081962649 * KYO_IGIO + 0.0002756562 * KYO_IPHIO + 0.0342829960 * KYO_IPF1IO + 0.0313125352 * KYO_IPF2IO + 0.0252719140 * KYO_IPF3IO + 0.0027165796 * KYO_JIO

<783> KYO_FDIO4 = 0.0002361301 * KYO_CPIO + 0.0005353121 * KYO_CGIO + 0 * KYO_IGIO + 0 * KYO_IPHIO + 0 * KYO_IPF1IO + 0 * KYO_IPF2IO + 0 * KYO_IPF3IO + 0 * KYO_JIO

<784> KYO_FDIO5 = 0.0000880988 * KYO_CPIO + 0 * KYO_CGIO + 0 * KYO_IGIO + 0 * KYO_IPHIO + 0.0003828077 * KYO_IPF1IO + 0 * KYO_IPF2IO + 0.0000061871 * KYO_IPF3IO + 0.0018737200 * KYO_JIO

<785> KYO_FDIO6 = 0.0143616844848339 * KYO_CPIO + 0.000519406120901271 * KYO_CGIO + 0.00435843889925778 * KYO_IGIO + 0.0149535784520721 * KYO_IPHIO + 0.00960262070639455 * KYO_IPF1IO + 0.0111571086363755 * KYO_IPF2IO + 0.0118767530512538 * KYO_IPF3IO + 0.0449442912818478 * KYO_JIO

<786> KYO_FDIO7 = 0.0093838620 * KYO_CPIO + 0.0000119599 * KYO_CGIO + 0.0006281077 * KYO_IGIO + 0.0000300069 * KYO_IPHIO + 0.0037319274 * KYO_IPF1IO + 0.0034085734 * KYO_IPF2IO + 0.0027510124 * KYO_IPF3IO + 0.0009200806 * KYO_JIO

<787> KYO_FDIO8 = 0.0004131172 * KYO_CPIO + 0.0028692291 * KYO_CGIO + 0 * KYO_IGIO + 0 * KYO_IPHIO + 0 * KYO_IPF1IO + 0 * KYO_IPF2IO + 0 * KYO_IPF3IO + 0 * KYO_JIO

<788>KYO_FDIO9 = 0.0114748490 * KYO_CPIO + 0 * KYO_CGIO + 0 * KYO_IGIO +
 0 * KYO_IPHIO + 0.0759728073 * KYO_IPF1IO + 0 * KYO_IPF2IO + 0.0012279204 *
 KYO_IPF3IO + 0.3434811267 * KYO_JIO

<789>KYO_FDIO10 = 0.1453392543 * KYO_CPIO + 0.0040807504 * KYO_CGIO +
 0.9257020715 * KYO_IGIO + 0.9298413906 * KYO_IPHIO + 0.5971088605 * KYO_IPF1IO
 + 0.6937698185 * KYO_IPF2IO + 0.7385186501 * KYO_IPF3IO + 0.3757048752 * KYO_JIO

<790>KYO_FDIO11 = 0.6498304015 * KYO_CPIO + 0.0218956700 * KYO_CGIO +
 0.0475068517 * KYO_IGIO + 0.0019407334 * KYO_IPHIO + 0.2413663579 * KYO_IPF1IO
 + 0.2204530951 * KYO_IPF2IO + 0.1779246436 * KYO_IPF3IO + 0.0588681415 * KYO_JIO

<791>KYO_FDIO12 = 0.0861395630 * KYO_CPIO + 0.9678950390 * KYO_CGIO + 0 *
 KYO_IGIO + 0 * KYO_IPHIO + 0 * KYO_IPF1IO + 0 * KYO_IPF2IO + 0 *
 KYO_IPF3IO + 0 * KYO_JIO

<792>KYO_FDIO13 = 0.0001733031 * KYO_CPIO + 0 * KYO_CGIO + 0 * KYO_IGIO +
 0 * KYO_IPHIO + 0.0007056210 * KYO_IPF1IO + 0 * KYO_IPF2IO + 0.0000114046 *
 KYO_IPF3IO + 0.0153384329 * KYO_JIO

<793>KYO_FDIO14 = 0.0029160964 * KYO_CPIO + 0.0001177321 * KYO_CGIO +
 0.0015655084 * KYO_IGIO + 0.0044389475 * KYO_IPHIO + 0.0028505236 * KYO_IPF1IO
 + 0.0033119711 * KYO_IPF2IO + 0.0035255965 * KYO_IPF3IO + 0.0306664865 * KYO_JIO

<794>KYO_FDIO15 = 0.000865385620006626 * KYO_CPIO + 2.75597562418869E-07 *
 KYO_CGIO + 3.32721668253231E-05 * KYO_IGIO + 1.66005862519419E-06 * KYO_IPHIO
 + 0.000206459219131813 * KYO_IPF1IO + 0.000188570496120471 * KYO_IPF2IO +
 0.000152192639026983 * KYO_IPF3IO + 6.72052889081321E-05 * KYO_JIO

<795>KYO_FDIO16 = 0.0000066860 * KYO_CPIO + 0.0000129332 * KYO_CGIO + 0 *
 KYO_IGIO + 0 * KYO_IPHIO + 0 * KYO_IPF1IO + 0 * KYO_IPF2IO + 0 *
 KYO_IPF3IO + 0 * KYO_JIO

<796>KYO_FDIO17 = 0.0004636311 * KYO_CPIO + 0 * KYO_CGIO + 0 * KYO_IGIO +
 0 * KYO_IPHIO + 0 * KYO_IPF1IO + 0 * KYO_IPF2IO + 0 * KYO_IPF3IO + 0 * KYO_JIO

0 * KYO_IPHIO + 0.0006949863 * KYO_IPF1IO + 0 * KYO_IPF2IO + 0.0000112328 * KYO_IPF3IO + 0.0080249612 * KYO_JIO

<797>KYO_FDIO18 = 0.0012299532 * KYO_CPIO + 0.0000323916 * KYO_CGIO + 0.0003229394 * KYO_IGIO + 0.0022102121 * KYO_IPHIO + 0.0014193143 * KYO_IPF1IO + 0.0016490753 * KYO_IPF2IO + 0.0017554422 * KYO_IPF3IO - 0.0100261692 * KYO_JIO

<798>KYO_FDIO19 = 0.0007866363 * KYO_CPIO + 0.0000004448 * KYO_CGIO + 0.0000126970 * KYO_IGIO + 0.0000006522 * KYO_IPHIO + 0.0000811241 * KYO_IPF1IO + 0.0000740951 * KYO_IPF2IO + 0.0000598011 * KYO_IPF3IO + 0.0000305823 * KYO_JIO

<799>KYO_FDIO20 = 0.0003288272 * KYO_CPIO + 0.0001161023 * KYO_CGIO + 0 * KYO_IGIO + 0 * KYO_IPHIO + 0 * KYO_IPF1IO + 0 * KYO_IPF2IO + 0 * KYO_IPF3IO + 0 * KYO_JIO

<800>KYO_FDIO21 = 0.0004335393 * KYO_CPIO + 0 * KYO_CGIO + 0 * KYO_IGIO + 0 * KYO_IPHIO + 0.0009326896 * KYO_IPF1IO + 0 * KYO_IPF2IO + 0.0000150747 * KYO_IPF3IO + 0.0018360058 * KYO_JIO

<801>KYO_FDIO22 = 0.0075772706 * KYO_CPIO + 0.0001551694 * KYO_CGIO + 0.0033548884 * KYO_IGIO + 0.0109659737 * KYO_IPHIO + 0.0070419322 * KYO_IPF1IO + 0.0081818917 * KYO_IPF2IO + 0.0087096317 * KYO_IPF3IO + 0.0865032616 * KYO_JIO

<802>KYO_FDIO23 = 0.0005353585 * KYO_CPIO + 0.0001810233 * KYO_CGIO + 0.0000130656 * KYO_IGIO + 0.0000006842 * KYO_IPHIO + 0.0000850964 * KYO_IPF1IO + 0.0000777232 * KYO_IPF2IO + 0.0000627293 * KYO_IPF3IO + 0.0000372039 * KYO_JIO

<803>KYO_FDIO24 = 0.0004991445 * KYO_CPIO + 0.0005730705 * KYO_CGIO + 0 * KYO_IGIO + 0 * KYO_IPHIO + 0 * KYO_IPF1IO + 0 * KYO_IPF2IO + 0 * KYO_IPF3IO + 0 * KYO_JIO

<804>KYO_FDIO25 = 0.0002550633 * KYO_CPIO + 0 * KYO_CGIO + 0 * KYO_IGIO + 0 * KYO_IPHIO + 0.0004373233 * KYO_IPF1IO + 0 * KYO_IPF2IO + 0.0000070682 * KYO_IPF3IO + 0.0017906754 * KYO_JIO

<805>KYO_FDIO26 = 0.0021590765 * KYO_CPIO + 0.0001392261 * KYO_CGIO + 0.0004492563 * KYO_IGIO + 0.0032227501 * KYOIPHIO + 0.0020695278 * KYO_IPF1IO + 0.0024045464 * KYO_IPF2IO + 0.0025596420 * KYO_IPF3IO - 0.0177003138 * KYO_JIO

<806>KYO_FDIO27 = 0.0037178158 * KYO_CPIO + 0.0000000530 * KYO_CGIO + 0.0000083832 * KYO_IGIO + 0.0000004201 * KYOIPHIO + 0.0000522570 * KYO_IPF1IO + 0.0000477291 * KYO_IPF2IO + 0.0000385215 * KYO_IPF3IO + 0.0000182273 * KYO_JIO

<807>KYO_FDIO28 = 0.0000012407 * KYO_CPIO + 0 * KYO_CGIO + 0 * KYO_IGIO + 0 * KYOIPHIO + 0 * KYO_IPF1IO + 0 * KYO_IPF2IO + 0 * KYO_IPF3IO + 0 * KYO_JIO

'NARA
<808>NRA_FDIO1 = 0.0001137286 * NRA_CPIO + 0 * NRA_CGIO + 0 * NRA_IGIO + 0 * NRAIPHIO + 0.0000885777 * NRA_IPF1IO + 0 * NRA_IPF2IO + 0.0000013298 * NRA_IPF3IO - 0.0000449493 * NRA_JIO

<809>NRA_FDIO2 = 0.0252490317 * NRA_CPIO + 0.0007730309 * NRA_CGIO + 0.0120246343 * NRA_IGIO + 0.0501771476 * NRAIPHIO + 0.0359809837 * NRA_IPF1IO + 0.0391395763 * NRA_IPF2IO + 0.0413381435 * NRA_IPF3IO + 0.4661251512 * NRA_JIO

<810>NRA_FDIO3 = 0.0338714108 * NRA_CPIO + 0.0001581630 * NRA_CGIO + 0.0134364492 * NRA_IGIO + 0.0002512702 * NRAIPHIO + 0.0348958978 * NRA_IPF1IO + 0.0298397403 * NRA_IPF2IO + 0.0238948180 * NRA_IPF3IO + 0 * NRA_JIO

<811>NRA_FDIO4 = 0.0003814074 * NRA_CPIO + 0.0001981013 * NRA_CGIO + 0 * NRA_IGIO + 0 * NRAIPHIO + 0 * NRA_IPF1IO + 0 * NRA_IPF2IO + 0 * NRA_IPF3IO + 0 * NRA_JIO

<812>NRA_FDIO5 = 0.0000804985 * NRA_CPIO + 0 * NRA_CGIO + 0 * NRA_IGIO + 0 * NRAIPHIO + 0.0001308061 * NRA_IPF1IO + 0 * NRA_IPF2IO + 0.0000019638 * NRA_IPF3IO - 0.0056272107 * NRA_JIO

<813>NRA_FDIO6 = 0.0094712963 * NRA_CPIO + 0.0003528252 * NRA_CGIO +

0.0117240118 * NRA_IGIO + 0.0193539309 * NRAIPHIO + 0.0138782993 * NRAIPF1IO
+ 0.0150966065 * NRAIPF2IO + 0.0159446205 * NRAIPF3IO + 0.0455142032 * NRAJIO

<814>NRA_FDIO7 = 0.0077881377 * NRA_CPIO + 0.0000018557 * NRA_CGIO +
0.0007914570 * NRA_IGIO + 0.0000229643 * NRAIPHIO + 0.0031892395 * NRAIPF1IO
+ 0.0027271423 * NRAIPF2IO + 0.0021838182 * NRAIPF3IO + 0 * NRAJIO

<815>NRA_FDIO8 = 0.0005577394 * NRA_CPIO + 0.0028974738 * NRA_CGIO + 0 *
NRA_IGIO + 0 * NRAIPHIO + 0 * NRAIPF1IO + 0 * NRAIPF2IO + 0 *
NRAIPF3IO + 0 * NRAJIO

<816>NRA_FDIO9 = 0.0000248934 * NRA_CPIO + 0 * NRA_CGIO + 0 * NRA_IGIO + 0
* NRAIPHIO + 0.0000577012 * NRAIPF1IO + 0 * NRAIPF2IO + 0.0000008662 *
NRAIPF3IO - 0.0002427399 * NRAJIO

<817>NRA_FDIO10 = 0.0063177917 * NRA_CPIO + 0.0002324417 * NRA_CGIO +
0.0017674101 * NRA_IGIO + 0.0044541822 * NRAIPHIO + 0.0031940010 * NRAIPF1IO
+ 0.0034743865 * NRAIPF2IO + 0.0036695514 * NRAIPF3IO - 0.0039088848 * NRAJIO

<818>NRA_FDIO11 = 0.0125936267 * NRA_CPIO + 0.0000008718 * NRA_CGIO +
0.0002691253 * NRA_IGIO + 0.0000083919 * NRAIPHIO + 0.0011654567 * NRAIPF1IO
+ 0.0009965906 * NRAIPF2IO + 0.0007980415 * NRAIPF3IO + 0 * NRAJIO

<819>NRA_FDIO12 = 0.0012880196 * NRA_CPIO + 0.0051794036 * NRA_CGIO + 0 *
NRA_IGIO + 0 * NRAIPHIO + 0 * NRAIPF1IO + 0 * NRAIPF2IO + 0 *
NRAIPF3IO + 0 * NRAJIO

<820>NRA_FDIO13 = 0.0098979198 * NRA_CPIO + 0 * NRA_CGIO + 0 * NRA_IGIO +
0 * NRAIPHIO + 0.0235789362 * NRAIPF1IO + 0 * NRAIPF2IO + 0.0003540024 *
NRAIPF3IO - 1.0968651324 * NRAJIO

<821>NRA_FDIO14 = 0.1513726291 * NRA_CPIO + 0.0047987658 * NRA_CGIO +
0.8866997902 * NRA_IGIO + 0.9103941486 * NRAIPHIO + 0.6528246157 * NRAIPF1IO
+ 0.710132858 * NRAIPF2IO + 0.7500227858 * NRAIPF3IO + 1.5242652435 * NRAJIO

<822>NRA_FDIO15 = 0.6219445522 * NRA_CPIO + 0.0245352252 * NRA_CGIO + 0.0679666053 * NRA_IGIO + 0.0015806188 * NRAIPHIO + 0.2195130985 * NRA_IPF1IO + 0.1877072742 * NRA_IPF2IO + 0.1503106635 * NRA_IPF3IO + 0 * NRA_JIO

<823>NRA_FDIO16 = 0.1035797629 * NRA_CPIO + 0.9598394915 * NRA_CGIO + 0 * NRA_IGIO + 0 * NRAIPHIO + 0 * NRA_IPF1IO + 0 * NRA_IPF2IO + 0 * NRA_IPF3IO + 0 * NRA_JIO

<824>NRA_FDIO17 = 0.0004138934 * NRA_CPIO + 0 * NRA_CGIO + 0 * NRA_IGIO + 0 * NRAIPHIO + 0.0005131950 * NRA_IPF1IO + 0 * NRA_IPF2IO + 0.0000077048 * NRA_IPF3IO - 0.0235405844 * NRA_JIO

<825>NRA_FDIO18 = 0.0027497253 * NRA_CPIO + 0.0000734210 * NRA_CGIO + 0.0011699800 * NRA_IGIO + 0.0020729108 * NRAIPHIO + 0.0014864410 * NRA_IPF1IO + 0.0016169283 * NRA_IPF2IO + 0.0017077552 * NRA_IPF3IO - 0.0192488302 * NRA_JIO

<826>NRA_FDIO19 = 0.0008512959 * NRA_CPIO + 0.0000000660 * NRA_CGIO + 0.0000157169 * NRA_IGIO + 0.0000004889 * NRAIPHIO + 0.0000678996 * NRA_IPF1IO + 0.0000580615 * NRA_IPF2IO + 0.0000464940 * NRA_IPF3IO + 0 * NRA_JIO

<827>NRA_FDIO20 = 0.0005333053 * NRA_CPIO + 0.0001142179 * NRA_CGIO + 0 * NRA_IGIO + 0 * NRAIPHIO + 0 * NRA_IPF1IO + 0 * NRA_IPF2IO + 0 * NRA_IPF3IO + 0 * NRA_JIO

<828>NRA_FDIO21 = 0.0003582110 * NRA_CPIO + 0 * NRA_CGIO + 0 * NRA_IGIO + 0 * NRAIPHIO + 0.0006042277 * NRA_IPF1IO + 0 * NRA_IPF2IO + 0.0000090715 * NRA_IPF3IO - 0.0037279965 * NRA_JIO

<829>NRA_FDIO22 = 0.0043750220 * NRA_CPIO + 0.0000241435 * NRA_CGIO + 0.0030520205 * NRA_IGIO + 0.0073901457 * NRAIPHIO + 0.0052993190 * NRA_IPF1IO + 0.0057645200 * NRA_IPF2IO + 0.0060883274 * NRA_IPF3IO + 0.0259174964 * NRA_JIO

<830>NRA_FDIO23 = 0.0004806310 * NRA_CPIO + 0.0002398103 * NRA_CGIO +

0.0000158334 * NRA_IGIO + 0.0000005077 * NRAIPHIO + 0.0000705088 * NRAIPF1IO
+ 0.0000602926 * NRAIPF2IO + 0.0000482806 * NRAIPF3IO + 0 * NRAJIO

<831>NRA_FDIO24 = 0.0007725088 * NRA_CPIO + 0.0005642892 * NRA_CGIO + 0 *
NRA_IGIO + 0 * NRAIPHIO + 0 * NRAIPF1IO + 0 * NRAIPF2IO + 0 *
NRAIPF3IO + 0 * NRAJIO

<832>NRA_FDIO25 = 0.0002133766 * NRA_CPIO + 0 * NRA_CGIO + 0 * NRA_IGIO +
0 * NRAIPHIO + 0.0003386769 * NRAIPF1IO + 0 * NRAIPF2IO + 0.0000050847 *
NRAIPF3IO - 0.0044364991 * NRAJIO

<833>NRA_FDIO26 = 0.0004141839 * NRA_CPIO + 0.0000163809 * NRA_CGIO +
0.0010566682 * NRA_IGIO + 0.0042929771 * NRAIPHIO + 0.0030784041 * NRAIPF1IO
+ 0.0033486420 * NRAIPF2IO + 0.0035367435 * NRAIPF3IO + 0.0958207331 * NRAJIO

<834>NRA_FDIO27 = 0.0043033689 * NRA_CPIO + 0.0000000207 * NRA_CGIO +
0.0000102971 * NRA_IGIO + 0.0000003147 * NRAIPHIO + 0.0000437134 * NRAIPF1IO
+ 0.0000373797 * NRAIPF2IO + 0.0000299326 * NRAIPF3IO + 0 * NRAJIO

<835>NRA_FDIO28 = 0.0000020307 * NRA_CPIO + 0 * NRA_CGIO + 0 * NRA_IGIO +
0 * NRAIPHIO + 0 * NRAIPF1IO + 0 * NRAIPF2IO + 0 * NRAIPF3IO + 0 *
NRAJIO

'WAKAYAMA

<836>WAK_FDIO1 = 0.0003264814 * WAK_CPIO + 0 * WAK_CGIO + 0 * WAK_IGIO +
0 * WAKIPHIO + 0.0001579043 * WAKIPF1IO + 0 * WAKIPF2IO + 0.0000024960 *
WAKIPF3IO - 0.0002654415 * WAKJIO

<837>WAK_FDIO2 = 0.0186738805 * WAK_CPIO + 0.0007399070 * WAK_CGIO +
0.0054095011 * WAK_IGIO + 0.0293267744 * WAKIPHIO + 0.0192199488 * WAKIPF1IO
+ 0.0218202848 * WAKIPF2IO + 0.0232490071 * WAKIPF3IO + 0.0144564002 *
WAKJIO

<838>WAK_FDIO3 = 0.0379419818 * WAK_CPIO + 0.0001525956 * WAK_CGIO +

0.0071793904 * WAK_IGIO + 0.0003065334 * WAK_IPHIO + 0.0389073813 * WAK_IPF1IO
 + 0.0347230419 * WAK_IPF2IO + 0.0280501766 * WAK_IPF3IO + 0.0043211273 *
 WAK_JIO

<839>WAK_FDIO4 = 0.0001920874 * WAK_CPIO + 0.0002553211 * WAK_CGIO + 0 *
 WAK_IGIO + 0 * WAK_IPHIO + 0 * WAK_IPF1IO + 0 * WAK_IPF2IO + 0 *
 WAK_IPF3IO + 0 * WAK_JIO

<840>WAK_FDIO5 = 0.0001061615 * WAK_CPIO + 0 * WAK_CGIO + 0 * WAK_IGIO +
 0 * WAK_IPHIO + 0.0003133650 * WAK_IPF1IO + 0 * WAK_IPF2IO + 0.0000049534 *
 WAK_IPF3IO + 0.0029282677 * WAK_JIO

<841>WAK_FDIO6 = 0.0122760942 * WAK_CPIO + 0.0003558593 * WAK_CGIO +
 0.0032349928 * WAK_IGIO + 0.0208061120 * WAK_IPHIO + 0.0136357446 * WAK_IPF1IO
 + 0.0154805736 * WAK_IPF2IO + 0.0164941919 * WAK_IPF3IO + 0.0279694427 *
 WAK_JIO

<842>WAK_FDIO7 = 0.0095010232 * WAK_CPIO + 0.0000186401 * WAK_CGIO +
 0.0004226884 * WAK_IGIO + 0.0000280116 * WAK_IPHIO + 0.0035554363 * WAK_IPF1IO
 + 0.0031730628 * WAK_IPF2IO + 0.0025632827 * WAK_IPF3IO + 0.0015873715 *
 WAK_JIO

<843>WAK_FDIO8 = 0.0002353370 * WAK_CPIO + 0.0026917774 * WAK_CGIO + 0 *
 WAK_IGIO + 0 * WAK_IPHIO + 0 * WAK_IPF1IO + 0 * WAK_IPF2IO + 0 *
 WAK_IPF3IO + 0 * WAK_JIO

<844>WAK_FDIO9 = 0.0000329208 * WAK_CPIO + 0 * WAK_CGIO + 0 * WAK_IGIO +
 0 * WAK_IPHIO + 0.0000918565 * WAK_IPF1IO + 0 * WAK_IPF2IO + 0.0000014519 *
 WAK_IPF3IO - 0.0000418991 * WAK_JIO

<845>WAK_FDIO10 = 0.0062934934 * WAK_CPIO + 0.0001636712 * WAK_CGIO +
 0.0014814239 * WAK_IGIO + 0.0081184419 * WAK_IPHIO + 0.0053206000 * WAK_IPF1IO
 + 0.0060404431 * WAK_IPF2IO + 0.0064359520 * WAK_IPF3IO + 0.0204402396 *
 WAK_JIO

<846>WAK_FDIO11 = 0.0130562655 * WAK_CPIO + 0.0000070861 * WAK_CGIO +

0.0001437426 * WAK_IGIO + 0.0000102368 * WAK_IPHIO + 0.0012993281 * WAK_IPF1IO
+ 0.0011595904 * WAK_IPF2IO + 0.0009367473 * WAK_IPF3IO + 0.0008129860 *
WAK_JIO

<847>WAK_FDIO12 = 0.0006395313 * WAK_CPIO + 0.0047890814 * WAK_CGIO + 0 *
WAK_IGIO + 0 * WAK_IPHIO + 0 * WAK_IPF1IO + 0 * WAK_IPF2IO + 0 *
WAK_IPF3IO + 0 * WAK_JIO

<848>WAK_FDIO13 = 0.0001881470 * WAK_CPIO + 0 * WAK_CGIO + 0 * WAK_IGIO
+ 0 * WAK_IPHIO + 0.0007632459 * WAK_IPF1IO + 0 * WAK_IPF2IO + 0.0000120648 *
WAK_IPF3IO + 0.0279867864 * WAK_JIO

<849>WAK_FDIO14 = 0.0038483323 * WAK_CPIO + 0.0003316350 * WAK_CGIO +
0.0002582155 * WAK_IGIO + 0.0016707349 * WAK_IPHIO + 0.0010949530 * WAK_IPF1IO
+ 0.0012430931 * WAK_IPF2IO + 0.0013244869 * WAK_IPF3IO + 0.0032761445 *
WAK_JIO

<850>WAK_FDIO15 = 0.0008544481 * WAK_CPIO + 0.0000002671 * WAK_CGIO +
0.0000225061 * WAK_IGIO + 0.0000015387 * WAK_IPHIO + 0.0001953088 * WAK_IPF1IO
+ 0.0001743041 * WAK_IPF2IO + 0.0001408074 * WAK_IPF3IO + 0.0001069139 *
WAK_JIO

<851>WAK_FDIO16 = 0.0000055059 * WAK_CPIO + 0.0000119914 * WAK_CGIO + 0 *
WAK_IGIO + 0 * WAK_IPHIO + 0 * WAK_IPF1IO + 0 * WAK_IPF2IO + 0 *
WAK_IPF3IO + 0 * WAK_JIO

<852>WAK_FDIO17 = 0.0137906014 * WAK_CPIO + 0 * WAK_CGIO + 0 * WAK_IGIO
+ 0 * WAK_IPHIO + 0.0530030612 * WAK_IPF1IO + 0 * WAK_IPF2IO + 0.0008378326 *
WAK_IPF3IO + 0.5623043555 * WAK_JIO

<853>WAK_FDIO18 = 0.1810577638 * WAK_CPIO + 0.0061695132 * WAK_CGIO +
0.9446995988 * WAK_IGIO + 0.9321768836 * WAK_IPHIO + 0.6109226929 * WAK_IPF1IO
+ 0.6935766202 * WAK_IPF2IO + 0.7389897944 * WAK_IPF3IO + 0.2220326830 *
WAK_JIO

<854>WAK_FDIO19 = 0.6219012231 * WAK_CPIO + 0.0152391676 * WAK_CGIO +
0.0362990925 * WAK_IGIO + 0.0019272219 * WAK_IPHIO + 0.2446165689 * WAK_IPF1IO
+ 0.2183089970 * WAK_IPF2IO + 0.1763556871 * WAK_IPF3IO + 0.0938030468 *
WAK_JIO

<855>WAK_FDIO20 = 0.0679704940 * WAK_CPIO + 0.9682678313 * WAK_CGIO + 0 *
WAK_IGIO + 0 * WAK_IPHIO + 0 * WAK_IPF1IO + 0 * WAK_IPF2IO + 0 *
WAK_IPF3IO + 0 * WAK_JIO

<856>WAK_FDIO21 = 0.0004911678 * WAK_CPIO + 0 * WAK_CGIO + 0 * WAK_IGIO
+ 0 * WAK_IPHIO + 0.0019460425 * WAK_IPF1IO + 0 * WAK_IPF2IO + 0.0000307615 *
WAK_IPF3IO + 0.0000230788 * WAK_JIO

<857>WAK_FDIO22 = 0.0046972627 * WAK_CPIO + 0.0000471124 * WAK_CGIO +
0.0006156838 * WAK_IGIO + 0.0042952745 * WAK_IPHIO + 0.0028150030 * WAK_IPF1IO
+ 0.0031958548 * WAK_IPF2IO + 0.0034051092 * WAK_IPF3IO - 0.0011038183 * WAK_JIO

<858>WAK_FDIO23 = 0.0006540894 * WAK_CPIO + 0.0001978637 * WAK_CGIO +
0.0000084584 * WAK_IGIO + 0.0000006192 * WAK_IPHIO + 0.0000786024 * WAK_IPF1IO
+ 0.0000701490 * WAK_IPF2IO + 0.0000566682 * WAK_IPF3IO + 0.0000626332 *
WAK_JIO

<859>WAK_FDIO24 = 0.0003938409 * WAK_CPIO + 0.0005564242 * WAK_CGIO + 0 *
WAK_IGIO + 0 * WAK_IPHIO + 0 * WAK_IPF1IO + 0 * WAK_IPF2IO + 0 *
WAK_IPF3IO + 0 * WAK_JIO

<860>WAK_FDIO25 = 0.0002776217 * WAK_CPIO + 0 * WAK_CGIO + 0 * WAK_IGIO
+ 0 * WAK_IPHIO + 0.0011417670 * WAK_IPF1IO + 0 * WAK_IPF2IO + 0.0000180481 *
WAK_IPF3IO + 0.0014106772 * WAK_JIO

<861>WAK_FDIO26 = 0.0003701716 * WAK_CPIO + 0.0000041860 * WAK_CGIO +
0.0002192042 * WAK_IGIO + 0.001331232 * WAK_IPHIO + 0.0008724525 * WAK_IPF1IO
+ 0.0009904898 * WAK_IPF2IO + 0.0010553439 * WAK_IPF3IO + 0.0178598746 *

WAK_JIO

<862>WAK_FDIO27 = 0.0042230720 * WAK_CPIO +0.0000000679 * WAK_CGIO +
0.0000055010 * WAK_IGIO + 0.0000003839 * WAK_IPHIO + 0.0000487360 * WAK_IPF1IO
+ 0.0000434947 * WAK_IPF2IO + 0.0000351361 * WAK_IPF3IO + 0.0000291293 *
WAK_JIO

<863>WAK_FDIO28 = 0.0000009992 * WAK_CPIO + 0 * WAK_CGIO + 0 * WAK_IGIO
+ 0 * WAK_IPHIO + 0 * WAK_IPF1IO + 0 * WAK_IPF2IO + 0 * WAK_IPF3IO + 0 *
WAK_JIO

'SHIGA

<864>SGA_FDIO1 = 0.0001900555 * SGA_CPIO + 0 * SGA_CGIO + 0 * SGA_IGIO + 0
* SGA_IPHIO + 0.0001305134 * SGA_IPF1IO + 0 * SGA_IPF2IO + 0.0000018151 *
SGA_IPF3IO + 0.0000318152 * SGA_JIO

<865>SGA_FDIO2 = 0.0225858662 * SGA_CPIO + 0.0004651800 * SGA_CGIO +
0.0286984696 * SGA_IGIO + 0.1145501043 * SGA_IPHIO + 0.1020912974 * SGA_IPF1IO
+ 0.1069360529 * SGA_IPF2IO + 0.1086524854 * SGA_IPF3IO - 0.0461233776 * SGA_JIO

<866>SGA_FDIO3 = 0.0358923409 * SGA_CPIO + 0.0000584396 * SGA_CGIO +
0.0026344727 * SGA_IGIO + 0.0000517049 * SGA_IPHIO + 0.0089246639 * SGA_IPF1IO +
0.0073486044 * SGA_IPF2IO + 0.0056610139 * SGA_IPF3IO + 0.0007019503 * SGA_JIO

<867>SGA_FDIO4 = 0.0002570600 * SGA_CPIO + 0.0003818835 * SGA_CGIO + 0 *
SGA_IGIO + 0 * SGA_IPHIO + 0 * SGA_IPF1IO + 0 * SGA_IPF2IO + 0 *
SGA_IPF3IO + 0 * SGA_JIO

<868>SGA_FDIO5 = 0.0000870804 * SGA_CPIO + 0 * SGA_CGIO + 0 * SGA_IGIO + 0
* SGA_IPHIO + 0.0001316122 * SGA_IPF1IO + 0 * SGA_IPF2IO + 0.0000018304 *
SGA_IPF3IO + 0.0005047509 * SGA_JIO

<869>SGA_FDIO6 = 0.0092753519 * SGA_CPIO + 0.0002978452 * SGA_CGIO +

0.0038860012 * SGA_IGIO + 0.0198283551 * SGAIPHIO + 0.0176717648 * SGAIPF1IO
 + 0.0185103806 * SGAIPIO + 0.0188074911 * SGAIPIO + 0.0176563531 * SGAJIO

< 870 >SGA_FDIO7 = 0.0103278917 * SGA_CPIO + 0.0000008492 * SGA_CGIO +
 0.0001409082 * SGA_IGIO + 0.0000052845 * SGAIPHIO + 0.0009121444 * SGAIPF1IO
 + 0.0007510634 * SGAIPIO + 0.0005785834 * SGAIPIO + 0.0002124736 * SGAJIO

<871>SGA_FDIO8 = 0.0002647186 * SGA_CPIO + 0.0032624196 * SGA_CGIO + 0 *
 SGA_IGIO + 0 * SGAIPIO + 0 * SGAIPIO + 0 * SGAIPIO + 0 * SGAIPIO + 0 *
 SGAIPIO + 0 * SGAJIO

<872>SGA_FDIO9 = 0.0000265099 * SGA_CPIO + 0 * SGA_CGIO + 0 * SGA_IGIO + 0
 * SGAIPIO + 0.0000934082 * SGAIPIO + 0 * SGAIPIO + 0.0000012990 *
 SGAIPIO + 0.0000351286 * SGAJIO

<873>SGA_FDIO10 = 0.0100169644 * SGA_CPIO + 0.0002924721 * SGA_CGIO +
 0.0059425623 * SGA_IGIO + 0.0200918157 * SGAIPHIO + 0.0179065706 * SGAIPF1IO
 + 0.0187563292 * SGAIPIO + 0.0190573873 * SGAIPIO + 0.0597504576 * SGAJIO

<874>SGA_FDIO11 = 0.0155766495 * SGA_CPIO + 0.0000006269 * SGA_CGIO +
 0.0000669940 * SGA_IGIO + 0.0000026302 * SGAIPHIO + 0.0004539955 * SGAIPF1IO
 + 0.0003738218 * SGAIPIO + 0.0002879744 * SGAIPIO + 0.0001527271 * SGAJIO

<875>SGA_FDIO12 = 0.0007596095 * SGA_CPIO + 0.0052905544 * SGA_CGIO + 0 *
 SGA_IGIO + 0 * SGAIPIO + 0 * SGAIPIO + 0 * SGAIPIO + 0 * SGAIPIO + 0 *
 SGAIPIO + 0 * SGAJIO

<876>SGA_FDIO13 = 0.0001626122 * SGA_CPIO + 0 * SGA_CGIO + 0 * SGA_IGIO +
 0 * SGAIPIO + 0.0002280406 * SGAIPIO + 0 * SGAIPIO + 0.0000031715 *
 SGAIPIO + 0.0039694130 * SGAJIO

<877>SGA_FDIO14 = 0.0023979622 * SGA_CPIO + 0.0001338515 * SGA_CGIO +
 0.0022363032 * SGA_IGIO + 0.0060921586 * SGAIPHIO + 0.0054295574 * SGAIPF1IO
 + 0.0056872178 * SGAIPIO + 0.0057785034 * SGAIPIO + 0.0979246830 * SGAJIO

<878>SGA_FDIO15 = 0.0009332179 * SGA_CPIO + 0.0000001104 * SGA_CGIO +
 0 * SGA_IGIO + 0 * SGAIPIO + 0 * SGAIPIO + 0 * SGAIPIO + 0 * SGAIPIO + 0 *
 SGAIPIO + 0 * SGAJIO

0.0000096715 * SGA_IGIO + 0.0000003664 * SGAIPHIO + 0.0000632487 * SGAIPF1IO
 + 0.0000520792 * SGAPIF2IO + 0.0000401193 * SGAPIF3IO + 0.0000157411 * SGAJIO

<879>SGA_FDIO16 = 0.0000071002 * SGA_CPIO + 0.0000106491 * SGA_CGIO + 0 *
 SGA_IGIO + 0 * SGAIPHIO + 0 * SGAPIF1IO + 0 * SGAPIF2IO + 0 *
 SGAPIF3IO + 0 * SGAJIO

<880>SGA_FDIO17 = 0.0004497798 * SGA_CPIO + 0 * SGA_CGIO + 0 * SGA_IGIO +
 0 * SGAIPHIO + 0.0001493896 * SGAPIF1IO + 0 * SGAPIF2IO + 0.0000020776 *
 SGAPIF3IO + 0.0022033380 * SGAJIO

<881>SGA_FDIO18 = 0.0017184759 * SGA_CPIO + 0.0000323493 * SGA_CGIO +
 0.0002418826 * SGA_IGIO + 0.0018306543 * SGAIPHIO + 0.0016315470 * SGAPIF1IO
 + 0.0017089722 * SGAPIF2IO + 0.0017364030 * SGAPIF3IO + 0.0037467863 * SGAJIO

<882>SGA_FDIO19 = 0.0008977326 * SGA_CPIO + 0.0000000296 * SGA_CGIO +
 0.0000037479 * SGA_IGIO + 0.0000001453 * SGAIPHIO + 0.0000250837 * SGAPIF1IO
 + 0.0000206540 * SGAPIF2IO + 0.0000159109 * SGAPIF3IO + 0.0000070570 * SGAJIO

<883>SGA_FDIO20 = 0.0003473815 * SGA_CPIO + 0.0001332306 * SGA_CGIO + 0 *
 SGA_IGIO + 0 * SGAIPHIO + 0 * SGAPIF1IO + 0 * SGAPIF2IO + 0 *
 SGAPIF3IO + 0 * SGAJIO

<884>SGA_FDIO21 = 0.0112839467 * SGA_CPIO + 0 * SGA_CGIO + 0 * SGA_IGIO + 0
 * SGAIPHIO + 0.0271020646 * SGAPIF1IO + 0 * SGAPIF2IO + 0.0003769271 *
 SGAPIF3IO + 0.0933220689 * SGAJIO

<885>SGA_FDIO22 = 0.1487121888 * SGA_CPIO + 0.0035840449 * SGA_CGIO +
 0.9411932640 * SGA_IGIO + 0.8336382813 * SGAIPHIO + 0.7429693250 * SGAPIF1IO
 + 0.7782270289 * SGAPIF2IO + 0.7907183648 * SGAPIF3IO + 0.5212867588 * SGAJIO

<886>SGA_FDIO23 = 0.6518703717 * SGA_CPIO + 0.0109482849 * SGA_CGIO +
 0.0147455203 * SGA_IGIO + 0.0004105497 * SGAIPHIO + 0.0708639393 * SGAPIF1IO
 + 0.0583496552 * SGAPIF2IO + 0.0449497881 * SGAPIF3IO + 0.0144868321 * SGAJIO

```

<887>SGA_FDIO24 = 0.0724872985 * SGA_CPIO + 0.9752239579 * SGA_CGIO + 0 *
SGA_IGIO + 0 * SGA_IPHIO + 0 * SGA_IPF1IO + 0 * SGA_IPF2IO + 0 * *
SGA_IPF3IO + 0 * SGA_JIO

<888>SGA_FDIO25 = 0.000235911359887693 * SGA_CPIO + 0 * SGA_CGIO + 0 *
SGA_IGIO + 0 * SGA_IPHIO + 0.000088889714665744 * SGA_IPF1IO + 0 * SGA_IPF2IO
+ 1.23625076929658E-06 * SGA_IPF3IO + 0.000579954394504049 * SGA_JIO

<889>SGA_FDIO26 = - 0.000281215843885904 * SGA_CPIO - 0.000116803457273872 *
SGA_CGIO + 0.000197893922827539 * SGA_IGIO + 0.00349785915725526 * SGA_IPHIO +
0.00311742168668895 * SGA_IPF1IO + 0.00326535932961444 * SGA_IPF2IO +
0.00331777167044596 * SGA_IPF3IO + 0.229530492079803 * SGA_JIO

<890>SGA_FDIO27 = 0.0035157973 * SGA_CPIO + 0.0000000239 * SGA_CGIO +
0.0000023080 * SGA_IGIO + 0.0000000899 * SGA_IPHIO + 0.0000155214 * SGA_IPF1IO
+ 0.0000127803 * SGA_IPF2IO + 0.0000098454 * SGA_IPF3IO + 0.0000045957 * SGA_JIO

<891>SGA_FDIO28 = 0.0000013394 * SGA_CPIO + 0 * SGA_CGIO + 0 * SGA_IGIO +
0 * SGA_IPHIO + 0 * SGA_IPF1IO + 0 * SGA_IPF2IO + 0 * SGA_IPF3IO + 0 * *
SGA_JIO

```

FUKUI

```

<892>FKI_FDIO1 = 0.0003113658 * FKI_CPIO + 0 * FKI_CGIO + 0 * FKI_IGIO + 0 *
FKI_IPHIO + 0.0005080952 * FKI_IPF1IO + 0 * FKI_IPF2IO + 0.0000070571 *
FKI_IPF3IO + 0.0003452647 * FKI_JIO

<893>FKI_FDIO2 = 0.0099654501 * FKI_CPIO + 0.0003856929 * FKI_CGIO +
0.0054787867 * FKI_IGIO + 0.0184513268 * FKI_IPHIO + 0.0173455817 * FKI_IPF1IO +
0.0184513268 * FKI_IPF2IO + 0.0184359688 * FKI_IPF3IO + 0.0896436537 * FKI_JIO

<894>FKI_FDIO3 = 0.0414532262 * FKI_CPIO + 0.0004179719 * FKI_CGIO +
0.0311758925 * FKI_IGIO + 0 * FKI_IPHIO + 0 * FKI_IPF1IO + 0 * FKI_IPF2IO +
0 * FKI_IPF3IO + 0.0048689577 * FKI_JIO

```

<895>FKI_FDIO4 = 0.0001764008 * FKI_CPIO + 0.0006302929 * FKI_CGIO + 0 *
 FKI_IGIO + 0 * FKI_IPHIO + 0 * FKI_IPF1IO + 0 * FKI_IPF2IO + 0 * FKI_IPF3IO +
 0 * FKI_JIO

<896>FKI_FDIO5 = 0.0001461793 * FKI_CPIO + 0 * FKI_CGIO + 0 * FKI_IGIO + 0 *
 FKI_IPHIO + 0.0007626152 * FKI_IPF1IO + 0 * FKI_IPF2IO + 0.0000105922 *
 FKI_IPF3IO + 0.0008155213 * FKI_JIO

<897>FKI_FDIO6 = 0.0077652166 * FKI_CPIO + 0.0003682587 * FKI_CGIO +
 0.0041029835 * FKI_IGIO + 0.0137352311 * FKI_IPHIO + 0.0129121105 * FKI_IPF1IO +
 0.0137352311 * FKI_IPF2IO + 0.0137237985 * FKI_IPF3IO + 0.0321039264 * FKI_JIO

<898>FKI_FDIO7 = 0.0129654404 * FKI_CPIO + 0.0000890650 * FKI_CGIO +
 0.0013967654 * FKI_IGIO + 0 * FKI_IPHIO + 0 * FKI_IPF1IO + 0 * FKI_IPF2IO + 0
 * FKI_IPF3IO + 0.0020916531 * FKI_JIO

<899>FKI_FDIO8 = 0.0002314345 * FKI_CPIO + 0.0027249685 * FKI_CGIO + 0 *
 FKI_IGIO + 0 * FKI_IPHIO + 0 * FKI_IPF1IO + 0 * FKI_IPF2IO + 0 * FKI_IPF3IO +
 0 * FKI_JIO

<900>FKI_FDIO9 = 0.0000405377 * FKI_CPIO + 0 * FKI_CGIO + 0 * FKI_IGIO + 0 *
 FKI_IPHIO + 0.0003738073 * FKI_IPF1IO + 0 * FKI_IPF2IO + 0.0000051919 *
 FKI_IPF3IO + 0.0001829754 * FKI_JIO

<901>FKI_FDIO10 = 0.0054772929 * FKI_CPIO + 0.0001544947 * FKI_CGIO +
 0.0021234614 * FKI_IGIO + 0.0054223423 * FKI_IPHIO + 0.0050973939 * FKI_IPF1IO +
 0.0054223423 * FKI_IPF2IO + 0.0054178290 * FKI_IPF3IO + 0.0026891316 * FKI_JIO

<902>FKI_FDIO11 = 0.0176019008 * FKI_CPIO + 0.0000319986 * FKI_CGIO +
 0.0007855115 * FKI_IGIO + 0 * FKI_IPHIO + 0 * FKI_IPF1IO + 0 * FKI_IPF2IO + 0
 * FKI_IPF3IO + 0.0009880639 * FKI_JIO

<903>FKI_FDIO12 = 0.0006370414 * FKI_CPIO + 0.0047979528 * FKI_CGIO + 0 *
 FKI_IGIO + 0 * FKI_IPHIO + 0 * FKI_IPF1IO + 0 * FKI_IPF2IO + 0 * FKI_IPF3IO +
 0 * FKI_JIO

<904>FKI_FDIO13 = 0.0003727267 * FKI_CPIO + 0 * FKI_CGIO + 0 * FKI_IGIO + 0 *
 FKIIPHIO + 0.0002970238 * FKI_IPF1IO + 0 * FKI_IPF2IO + 0.0000041254 *
 FKI_IPF3IO + 0.0020729059 * FKI_JIO

< 905 >FKI_FDIO14 = 0.0007785320 * FKI_CPIO + 0.0000366158 * FKI_CGIO +
 0.0004787244 * FKI_IGIO + 0.0024418190 * FKIIPHIO + 0.0022954864 * FKI_IPF1IO +
 0.0024418190 * FKI_IPF2IO + 0.0024397865 * FKI_IPF3IO - 0.0088513759 * FKI_JIO

< 906 >FKI_FDIO15 = 0.0012313426 * FKI_CPIO + 0.0000013125 * FKI_CGIO +
 0.0000848978 * FKI_IGIO + 0 * FKIIPHIO + 0 * FKI_IPF1IO + 0 * FKI_IPF2IO + 0
 * FKI_IPF3IO + 0.0001322435 * FKI_JIO

<907>FKI_FDIO16 = 0.0000053240 * FKI_CPIO + 0.0000119220 * FKI_CGIO + 0 *
 FKI_IGIO + 0 * FKIIPHIO + 0 * FKI_IPF1IO + 0 * FKI_IPF2IO + 0 * FKI_IPF3IO +
 0 * FKI_JIO

<908>FKI_FDIO17 = 0.0007307302 * FKI_CPIO + 0 * FKI_CGIO + 0 * FKI_IGIO + 0 *
 FKIIPHIO + 0.0026405996 * FKI_IPF1IO + 0 * FKI_IPF2IO + 0.0000366761 *
 FKI_IPF3IO + 0.0050373276 * FKI_JIO

< 909 >FKI_FDIO18 = 0.000842622118407557 * FKI_CPIO + 1.82300334538538E-05 *
 FKI_CGIO + 0.000284956169135266 * FKI_IGIO + 0.00109099588827444 * FKIIPHIO +
 0.00102561503753543 * FKI_IPF1IO + 0.00109099588827444 * FKI_IPF2IO +
 0.00109008779222969 * FKI_IPF3IO + 0.0407156174604602 * FKI_JIO

< 910 >FKI_FDIO19 = 0.0009116865 * FKI_CPIO + 0.0000033361 * FKI_CGIO +
 0.0000286252 * FKI_IGIO + 0 * FKIIPHIO + 0 * FKI_IPF1IO + 0 * FKI_IPF2IO + 0
 * FKI_IPF3IO + 0.0000714421 * FKI_JIO

<911>FKI_FDIO20 = 0.0002426771 * FKI_CPIO + 0.0001118099 * FKI_CGIO + 0 *
 FKI_IGIO + 0 * FKIIPHIO + 0 * FKI_IPF1IO + 0 * FKI_IPF2IO + 0 * FKI_IPF3IO +
 0 * FKI_JIO

<912>FKI_FDIO21 = 0.0005779916 * FKI_CPIO + 0 * FKI_CGIO + 0 * FKI_IGIO + 0 *
 FKIIPHIO + 0.0006572832 * FKI_IPF1IO + 0 * FKI_IPF2IO + 0.0000091292 *
 FKI_IPF3IO + 0.0056654852 * FKI_JIO

< 913 > FKI_FDIO22 = 0.0029304927 * FKI_CPIO + 0.0000721816 * FKI_CGIO +
 0.0021738954 * FKI_IGIO + 0.0201095191 * FKIIPHIO + 0.0189044023 * FKI_IPF1IO +
 0.0201095191 * FKI_IPF2IO + 0.0200927808 * FKI_IPF3IO + 0.0824538516 * FKI_JIO

< 914 > FKI_FDIO23 = 0.0007789313 * FKI_CPIO + 0.0003772163 * FKI_CGIO +
 0.0000228853 * FKI_IGIO + 0 * FKIIPHIO + 0 * FKI_IPF1IO + 0 * FKI_IPF2IO + 0
 * FKI_IPF3IO + 0.0000805288 * FKI_JIO

< 915 > FKI_FDIO24 = 0.0003780706 * FKI_CPIO + 0.0005630742 * FKI_CGIO + 0 *
 FKI_IGIO + 0 * FKIIPHIO + 0 * FKI_IPF1IO + 0 * FKI_IPF2IO + 0 * FKI_IPF3IO +
 0 * FKI_JIO

< 916 > FKI_FDIO25 = 0.0188017382 * FKI_CPIO + 0 * FKI_CGIO + 0 * FKI_IGIO + 0 *
 FKIIPHIO + 0.0546882538 * FKI_IPF1IO + 0 * FKI_IPF2IO + 0.0007595830 *
 FKI_IPF3IO + 0.1311073232 * FKI_JIO

< 917 > FKI_FDIO26 = 0.1743756459 * FKI_CPIO + 0.0094788205 * FKI_CGIO +
 0.7993596184 * FKI_IGIO + 0.9387487656 * FKIIPHIO + 0.8824917315 * FKI_IPF1IO +
 0.9387487656 * FKI_IPF2IO + 0.9379673933 * FKI_IPF3IO + 0.4813986019 * FKI_JIO

< 918 > FKI_FDIO27 = 0.6267772537 * FKI_CPIO + 0.0362918547 * FKI_CGIO +
 0.1525029956 * FKI_IGIO + 0 * FKIIPHIO + 0 * FKI_IPF1IO + 0 * FKI_IPF2IO + 0
 * FKI_IPF3IO + 0.1263868999 * FKI_JIO

< 919 > FKI_FDIO28 = 0.0734927469 * FKI_CPIO + 0.9434329293 * FKI_CGIO + 0 *
 FKI_IGIO + 0 * FKIIPHIO + 0 * FKI_IPF1IO + 0 * FKI_IPF2IO + 0 * FKI_IPF3IO +
 0 * FKI_JIO

(3) 県別輸出 (IOベース)

< 920 > OSA_EAIO = 0.8544088225 * OSA_EA
 < 921 > HYO_EAIO = 0.9705116638 * HYO_EA
 < 922 > KYO_EAIO = 1.0227612687 * KYO_EA
 < 923 > NRA_EAIO = 1.1046770702 * NRA_EA
 < 924 > WAK_EAIO = 1.2339538796 * WAK_EA

<925>SGA_EAIO = 0.9743340686 * SGA_EA

<926>FKI_EAIO = 1.2124351125 * FKI_EA

(4) 行部門別輸出 (IOベース)

<927>KIN_EAIO1 = 0.0000519741 * OSA_EAIO
<928>KIN_EAIO2 = 0.5025376702 * OSA_EAIO
<929>KIN_EAIO3 = 0.4962330796 * OSA_EAIO
<930>KIN_EAIO4 = 0.0011772759 * OSA_EAIO
<931>KIN_EAIO5 = 0.0009435024 * HYO_EAIO
<932>KIN_EAIO6 = 0.8530986128 * HYO_EAIO
<933>KIN_EAIO7 = 0.1449992053 * HYO_EAIO
<934>KIN_EAIO8 = 0.0009586794 * HYO_EAIO
<935>KIN_EAIO9 = 0.0001494378 * KYO_EAIO
<936>KIN_EAIO10 = 0.8615663710 * KYO_EAIO
<937>KIN_EAIO11 = 0.1376187344 * KYO_EAIO
<938>KIN_EAIO12 = 0.0006654565 * KYO_EAIO
<939>KIN_EAIO13 = 0.0008155315 * NRA_EAIO
<940>KIN_EAIO14 = 0.8941404042 * NRA_EAIO
<941>KIN_EAIO15 = 0.1045577390 * NRA_EAIO
<942>KIN_EAIO16 = 0.0004863252 * NRA_EAIO
<943>KIN_EAIO17 = 0.0076337114 * WAK_EAIO
<944>KIN_EAIO18 = 0.8555948141 * WAK_EAIO
<945>KIN_EAIO19 = 0.1331209840 * WAK_EAIO
<946>KIN_EAIO20 = 0.0036504903 * WAK_EAIO
<947>KIN_EAIO21 = 0.0000703969 * SGA_EAIO
<948>KIN_EAIO22 = 0.9714833138 * SGA_EAIO
<949>KIN_EAIO23 = 0.0276625935 * SGA_EAIO
<950>KIN_EAIO24 = 0.0007836957 * SGA_EAIO
<951>KIN_EAIO25 = 0.0013573155 * FKI_EAIO
<952>KIN_EAIO26 = 0.9441875534 * FKI_EAIO
<953>KIN_EAIO27 = 0.0544043615 * FKI_EAIO
<954>KIN_EAIO28 = 0.0000507694 * FKI_EAIO

(5) 県別域外への移出 (IOベース)

<955>OSA_EDNKIO = 1.0584129065 * OSA_EDNK

<956>HYO_EDNKIO = 0.9864048940 * HYO_EDNK

<957>KYO_EDNKIO = 1.0191121139 * KYO_EDNK
<958>NRA_EDNKIO = 0.9711968523 * NRA_EDNK
<959>WAK_EDNKIO = 0.9887853483 * WAK_EDNK
<960>SGA_EDNKIO = 0.9685825059 * SGA_EDNK
<961>FKI_EDNKIO = 0.9937080969 * FKI_EDNK

(6) 行部門別域外への移出（IOベース）

<962>KIN_EDNKIO1 = 0.0006229737 * OSA_EDNKIO
'for simulation
<963>KIN_EDNKIO2-1.0584129065*KIN_EDNKIO2Z=0.5784561707* OSA_EDNKIO
<964>KIN_EDNKIO3 = 0.4070542560 * OSA_EDNKIO
<965>KIN_EDNKIO4 = 0.0138665993 * OSA_EDNKIO
<966>KIN_EDNKIO5 = 0.0057400711 * HYO_EDNKIO
<967>KIN_EDNKIO6 = 0.7600950990 * HYO_EDNKIO
<968>KIN_EDNKIO7 = 0.2334361491 * HYO_EDNKIO
<969>KIN_EDNKIO8 = 0.0007286806 * HYO_EDNKIO
<970>KIN_EDNKIO9 = 0.0036727188 * KYO_EDNKIO
<971>KIN_EDNKIO10 = 0.6928044055 * KYO_EDNKIO
<972>KIN_EDNKIO11 = 0.3017059891 * KYO_EDNKIO
<973>KIN_EDNKIO12 = 0.0018168864 * KYO_EDNKIO
<974>KIN_EDNKIO13 = 0.0116255090 * NRA_EDNKIO
<975>KIN_EDNKIO14 = 0.8387591158 * NRA_EDNKIO
<976>KIN_EDNKIO15 = 0.1484745304 * NRA_EDNKIO
<977>KIN_EDNKIO16 = 0.0011408445 * NRA_EDNKIO
<978>KIN_EDNKIO17 = 0.0267207636 * WAK_EDNKIO
<979>KIN_EDNKIO18 = 0.8309411657 * WAK_EDNKIO
<980>KIN_EDNKIO19 = 0.1386645687 * WAK_EDNKIO
<981>KIN_EDNKIO20 = 0.0036735017 * WAK_EDNKIO
<982>KIN_EDNKIO21 = 0.0051242467 * SGA_EDNKIO
<983>KIN_EDNKIO22 = 0.9616524264 * SGA_EDNKIO
<984>KIN_EDNKIO23 = 0.0307061709 * SGA_EDNKIO
<985>KIN_EDNKIO24 = 0.0025171557 * SGA_EDNKIO
<986>KIN_EDNKIO25 = 0.0112448326 * FKI_EDNKIO
<987>KIN_EDNKIO26 = 0.9100891374 * FKI_EDNKIO
<988>KIN_EDNKIO27 = 0.0784125062 * FKI_EDNKIO
<989>KIN_EDNKIO28 = 0.0002535236 * FKI_EDNKIO

(7) 行部門別最終需要 (IOベース)

<990>KIN_FDIO1 = OSA_FDIO1 + HYO_FDIO1 + KYO_FDIO1 + NRA_FDIO1 +
WAK_FDIO1 + SGA_FDIO1 + FKI_FDIO1 + KIN_EAIO1 + KIN_EDNKIO1 -
KIN_MAIO1 - KIN_MDNKIO1

<991>KIN_FDIO2 = OSA_FDIO2 + HYO_FDIO2 + KYO_FDIO2 + NRA_FDIO2 +
WAK_FDIO2 + SGA_FDIO2 + FKI_FDIO2 + KIN_EAIO2 + KIN_EDNKIO2 -
KIN_MAIO2 - KIN_MDNKIO2

<992>KIN_FDIO3 = OSA_FDIO3 + HYO_FDIO3 + KYO_FDIO3 + NRA_FDIO3 +
WAK_FDIO3 + SGA_FDIO3 + FKI_FDIO3 + KIN_EAIO3 + KIN_EDNKIO3 -
KIN_MAIO3 - KIN_MDNKIO3

<993>KIN_FDIO4 = OSA_FDIO4 + HYO_FDIO4 + KYO_FDIO4 + NRA_FDIO4 +
WAK_FDIO4 + SGA_FDIO4 + FKI_FDIO4 + KIN_EAIO4 + KIN_EDNKIO4 -
KIN_MAIO4 - KIN_MDNKIO4

<994>KIN_FDIO5 = OSA_FDIO5 + HYO_FDIO5 + KYO_FDIO5 + NRA_FDIO5 +
WAK_FDIO5 + SGA_FDIO5 + FKI_FDIO5 + KIN_EAIO5 + KIN_EDNKIO5 -
KIN_MAIO5 - KIN_MDNKIO5

<995>KIN_FDIO6 = OSA_FDIO6 + HYO_FDIO6 + KYO_FDIO6 + NRA_FDIO6 +
WAK_FDIO6 + SGA_FDIO6 + FKI_FDIO6 + KIN_EAIO6 + KIN_EDNKIO6 -
KIN_MAIO6 - KIN_MDNKIO6

<996>KIN_FDIO7 = OSA_FDIO7 + HYO_FDIO7 + KYO_FDIO7 + NRA_FDIO7 +
WAK_FDIO7 + SGA_FDIO7 + FKI_FDIO7 + KIN_EAIO7 + KIN_EDNKIO7 -
KIN_MAIO7 - KIN_MDNKIO7

<997>KIN_FDIO8 = OSA_FDIO8 + HYO_FDIO8 + KYO_FDIO8 + NRA_FDIO8 +
WAK_FDIO8 + SGA_FDIO8 + FKI_FDIO8 + KIN_EAIO8 + KIN_EDNKIO8 -
KIN_MAIO8 - KIN_MDNKIO8

<998>KIN_FDIO9 = OSA_FDIO9 + HYO_FDIO9 + KYO_FDIO9 + NRA_FDIO9 +
WAK_FDIO9 + SGA_FDIO9 + FKI_FDIO9 + KIN_EAIO9 + KIN_EDNKIO9 -

KIN_MAIO9 - KIN_MDNKIO9

<999>KIN_FDIO10 = OSA_FDIO10 + HYO_FDIO10 + KYO_FDIO10 + NRA_FDIO10
+ WAK_FDIO10 + SGA_FDIO10 + FKI_FDIO10 + KIN_EAIO10 + KIN_EDNKIO10
- KIN_MAIO10 - KIN_MDNKIO10

< 1000 >KIN_FDIO11 = OSA_FDIO11 + HYO_FDIO11 + KYO_FDIO11 +
NRA_FDIO11 + WAK_FDIO11 + SGA_FDIO11 + FKI_FDIO11 + KIN_EAIO11 +
KIN_EDNKIO11 - KIN_MAIO11 - KIN_MDNKIO11

< 1001 >KIN_FDIO12 = OSA_FDIO12 + HYO_FDIO12 + KYO_FDIO12 +
NRA_FDIO12 + WAK_FDIO12 + SGA_FDIO12 + FKI_FDIO12 + KIN_EAIO12 +
KIN_EDNKIO12 - KIN_MAIO12 - KIN_MDNKIO12

< 1002 >KIN_FDIO13 = OSA_FDIO13 + HYO_FDIO13 + KYO_FDIO13 +
NRA_FDIO13 + WAK_FDIO13 + SGA_FDIO13 + FKI_FDIO13 + KIN_EAIO13 +
KIN_EDNKIO13 - KIN_MAIO13 - KIN_MDNKIO13

< 1003 >KIN_FDIO14 = OSA_FDIO14 + HYO_FDIO14 + KYO_FDIO14 +
NRA_FDIO14 + WAK_FDIO14 + SGA_FDIO14 + FKI_FDIO14 + KIN_EAIO14 +
KIN_EDNKIO14 - KIN_MAIO14 - KIN_MDNKIO14

< 1004 >KIN_FDIO15 = OSA_FDIO15 + HYO_FDIO15 + KYO_FDIO15 +
NRA_FDIO15 + WAK_FDIO15 + SGA_FDIO15 + FKI_FDIO15 + KIN_EAIO15 +
KIN_EDNKIO15 - KIN_MAIO15 - KIN_MDNKIO15

< 1005 >KIN_FDIO16 = OSA_FDIO16 + HYO_FDIO16 + KYO_FDIO16 +
NRA_FDIO16 + WAK_FDIO16 + SGA_FDIO16 + FKI_FDIO16 + KIN_EAIO16 +
KIN_EDNKIO16 - KIN_MAIO16 - KIN_MDNKIO16

< 1006 >KIN_FDIO17 = OSA_FDIO17 + HYO_FDIO17 + KYO_FDIO17 +
NRA_FDIO17 + WAK_FDIO17 + SGA_FDIO17 + FKI_FDIO17 + KIN_EAIO17 +
KIN_EDNKIO17 - KIN_MAIO17 - KIN_MDNKIO17

< 1007 >KIN_FDIO18 = OSA_FDIO18 + HYO_FDIO18 + KYO_FDIO18 +
NRA_FDIO18 + WAK_FDIO18 + SGA_FDIO18 + FKI_FDIO18 + KIN_EAIO18 +

KIN_EDNKIO18 - KIN_MAIO18 - KIN_MDNKIO18

< 1008 >KIN_FDIO19 = OSA_FDIO19 + HYO_FDIO19 + KYO_FDIO19 +
NRA_FDIO19 + WAK_FDIO19 + SGA_FDIO19 + FKI_FDIO19 + KIN_EAIO19 +
KIN_EDNKIO19 - KIN_MAIO19 - KIN_MDNKIO19

< 1009 >KIN_FDIO20 = OSA_FDIO20 + HYO_FDIO20 + KYO_FDIO20 +
NRA_FDIO20 + WAK_FDIO20 + SGA_FDIO20 + FKI_FDIO20 + KIN_EAIO20 +
KIN_EDNKIO20 - KIN_MAIO20 - KIN_MDNKIO20

< 1010 >KIN_FDIO21 = OSA_FDIO21 + HYO_FDIO21 + KYO_FDIO21 +
NRA_FDIO21 + WAK_FDIO21 + SGA_FDIO21 + FKI_FDIO21 + KIN_EAIO21 +
KIN_EDNKIO21 - KIN_MAIO21 - KIN_MDNKIO21

< 1011 >KIN_FDIO22 = OSA_FDIO22 + HYO_FDIO22 + KYO_FDIO22 +
NRA_FDIO22 + WAK_FDIO22 + SGA_FDIO22 + FKI_FDIO22 + KIN_EAIO22 +
KIN_EDNKIO22 - KIN_MAIO22 - KIN_MDNKIO22

< 1012 >KIN_FDIO23 = OSA_FDIO23 + HYO_FDIO23 + KYO_FDIO23 +
NRA_FDIO23 + WAK_FDIO23 + SGA_FDIO23 + FKI_FDIO23 + KIN_EAIO23 +
KIN_EDNKIO23 - KIN_MAIO23 - KIN_MDNKIO23

< 1013 >KIN_FDIO24 = OSA_FDIO24 + HYO_FDIO24 + KYO_FDIO24 +
NRA_FDIO24 + WAK_FDIO24 + SGA_FDIO24 + FKI_FDIO24 + KIN_EAIO24 +
KIN_EDNKIO24 - KIN_MAIO24 - KIN_MDNKIO24

< 1014 >KIN_FDIO25 = OSA_FDIO25 + HYO_FDIO25 + KYO_FDIO25 +
NRA_FDIO25 + WAK_FDIO25 + SGA_FDIO25 + FKI_FDIO25 + KIN_EAIO25 +
KIN_EDNKIO25 - KIN_MAIO25 - KIN_MDNKIO25

< 1015 >KIN_FDIO26 = OSA_FDIO26 + HYO_FDIO26 + KYO_FDIO26 +
NRA_FDIO26 + WAK_FDIO26 + SGA_FDIO26 + FKI_FDIO26 + KIN_EAIO26 +
KIN_EDNKIO26 - KIN_MAIO26 - KIN_MDNKIO26

< 1016 >KIN_FDIO27 = OSA_FDIO27 + HYO_FDIO27 + KYO_FDIO27 +
NRA_FDIO27 + WAK_FDIO27 + SGA_FDIO27 + FKI_FDIO27 + KIN_EAIO27 +

KIN_EDNKIO27 - KIN_MAIO27 - KIN_MDNKIO27

< 1017 >KIN_FDIO28 = OSA_FDIO28 + HYO_FDIO28 + KYO_FDIO28 +
NRA_FDIO28 + WAK_FDIO28 + SGA_FDIO28 + FKI_FDIO28 + KIN_EAIO28 +
KIN_EDNKIO28 - KIN_MAIO28 - KIN_MDNKIO28

(8) 県別産業別産出額(10ベース)

<1018>OSA_XIO1 = 1.0727766392 * KIN_FDIO1 + 0.0155639443 * KIN_FDIO2 +
0.0041569460 * KIN_FDIO3 + 0.0037735519 * KIN_FDIO4
+ 0.0092198909 * KIN_FDIO5 + 0.0016694669 * KIN_FDIO6
+ 0.0006326206 * KIN_FDIO7 + 0.0006246605 * KIN_FDIO8
+ 0.0060495830 * KIN_FDIO9 + 0.0015789640 * KIN_FDIO10
+ 0.0006193458 * KIN_FDIO11 + 0.0006100758 * KIN_FDIO12
+ 0.0065249676 * KIN_FDIO13 + 0.0016225571 * KIN_FDIO14
+ 0.0006685760 * KIN_FDIO15 + 0.0006281302 * KIN_FDIO16
+ 0.0104616940 * KIN_FDIO17 + 0.0016173454 * KIN_FDIO18
+ 0.0006559604 * KIN_FDIO19 + 0.0006126493 * KIN_FDIO20
+ 0.0124033959 * KIN_FDIO21 + 0.0013292808 * KIN_FDIO22
+ 0.0006648646 * KIN_FDIO23 + 0.0006139923 * KIN_FDIO24
+ 0.0095159259 * KIN_FDIO25 + 0.0012688776 * KIN_FDIO26
+ 0.0004427349 * KIN_FDIO27 + 0.0005201983 * KIN_FDIO28

<1019>OSA_XIO2 = 0.2526466544 * KIN_FDIO1 + 1.4375827121 * KIN_FDIO2
+ 0.1312140299 * KIN_FDIO3 + 0.1501569087 * KIN_FDIO4
+ 0.0623243183 * KIN_FDIO5 + 0.0984127375 * KIN_FDIO6
+ 0.0356435823 * KIN_FDIO7 + 0.0399776085 * KIN_FDIO8
+ 0.0432182574 * KIN_FDIO9 + 0.1090793486 * KIN_FDIO10
+ 0.0380016439 * KIN_FDIO11 + 0.0423873146 * KIN_FDIO12
+ 0.0499777708 * KIN_FDIO13 + 0.1164654981 * KIN_FDIO14
+ 0.0434828956 * KIN_FDIO15 + 0.0436566297 * KIN_FDIO16
+ 0.0463472250 * KIN_FDIO17 + 0.0881316161 * KIN_FDIO18
+ 0.0344995415 * KIN_FDIO19 + 0.0376251643 * KIN_FDIO20
+ 0.0514458598 * KIN_FDIO21 + 0.0970195418 * KIN_FDIO22
+ 0.0416331999 * KIN_FDIO23 + 0.0411860488 * KIN_FDIO24
+ 0.0292970686 * KIN_FDIO25 + 0.0691606263 * KIN_FDIO26
+ 0.0207433193 * KIN_FDIO27 + 0.0308034093 * KIN_FDIO28

$$\begin{aligned}
<1020> \text{OSA_XIO3} = & 0.3092723037 * \text{KIN_FDIO1} + 0.3732160237 * \text{KIN_FDIO2} \\
& + 1.3812428793 * \text{KIN_FDIO3} + 0.2514551149 * \text{KIN_FDIO4} \\
& + 0.0583190995 * \text{KIN_FDIO5} + 0.0899924506 * \text{KIN_FDIO6} \\
& + 0.0736168029 * \text{KIN_FDIO7} + 0.0575546811 * \text{KIN_FDIO8} \\
& + 0.0424847763 * \text{KIN_FDIO9} + 0.0808781625 * \text{KIN_FDIO10} \\
& + 0.0680907898 * \text{KIN_FDIO11} + 0.0509074393 * \text{KIN_FDIO12} \\
& + 0.0469981034 * \text{KIN_FDIO13} + 0.0928566059 * \text{KIN_FDIO14} \\
& + 0.0731965288 * \text{KIN_FDIO15} + 0.0565528306 * \text{KIN_FDIO16} \\
& + 0.0482023215 * \text{KIN_FDIO17} + 0.0823354003 * \text{KIN_FDIO18} \\
& + 0.0800131848 * \text{KIN_FDIO19} + 0.0565041417 * \text{KIN_FDIO20} \\
& + 0.0522227792 * \text{KIN_FDIO21} + 0.0783915251 * \text{KIN_FDIO22} \\
& + 0.0733904947 * \text{KIN_FDIO23} + 0.0589812254 * \text{KIN_FDIO24} \\
& + 0.0439008881 * \text{KIN_FDIO25} + 0.0796954020 * \text{KIN_FDIO26} \\
& + 0.0725519786 * \text{KIN_FDIO27} + 0.0546456878 * \text{KIN_FDIO28}
\end{aligned}$$

$$\begin{aligned}
<1021> \text{OSA_XIO4} = & 0.0108650198 * \text{KIN_FDIO1} + 0.0480256876 * \text{KIN_FDIO2} \\
& + 0.0118071796 * \text{KIN_FDIO3} + 1.0146380562 * \text{KIN_FDIO4} \\
& + 0.0025774300 * \text{KIN_FDIO5} + 0.0047284580 * \text{KIN_FDIO6} \\
& + 0.0017504124 * \text{KIN_FDIO7} + 0.0017482050 * \text{KIN_FDIO8} \\
& + 0.0018132203 * \text{KIN_FDIO9} + 0.0049255066 * \text{KIN_FDIO10} \\
& + 0.0017768698 * \text{KIN_FDIO11} + 0.0017726543 * \text{KIN_FDIO12} \\
& + 0.0020364802 * \text{KIN_FDIO13} + 0.0053410910 * \text{KIN_FDIO14} \\
& + 0.0019660852 * \text{KIN_FDIO15} + 0.0018477624 * \text{KIN_FDIO16} \\
& + 0.0019518852 * \text{KIN_FDIO17} + 0.0039791347 * \text{KIN_FDIO18} \\
& + 0.0017587342 * \text{KIN_FDIO19} + 0.0016286108 * \text{KIN_FDIO20} \\
& + 0.0021386126 * \text{KIN_FDIO21} + 0.0047005365 * \text{KIN_FDIO22} \\
& + 0.0019107614 * \text{KIN_FDIO23} + 0.0017887271 * \text{KIN_FDIO24} \\
& + 0.0013285429 * \text{KIN_FDIO25} + 0.0032604223 * \text{KIN_FDIO26} \\
& + 0.0012858030 * \text{KIN_FDIO27} + 0.0013964762 * \text{KIN_FDIO28}
\end{aligned}$$

$$\begin{aligned}
<1022> \text{HYO_XIO1} = & 0.0015580750 * \text{KIN_FDIO1} + 0.0022930463 * \text{KIN_FDIO2} \\
& + 0.0006441562 * \text{KIN_FDIO3} + 0.0008841112 * \text{KIN_FDIO4} \\
& + 1.1153144357 * \text{KIN_FDIO5} + 0.0368004550 * \text{KIN_FDIO6} \\
& + 0.0073593396 * \text{KIN_FDIO7} + 0.0065235802 * \text{KIN_FDIO8} \\
& + 0.0010810598 * \text{KIN_FDIO9} + 0.0014858422 * \text{KIN_FDIO10}
\end{aligned}$$

$$\begin{aligned}
& + 0.0005009925 * \text{KIN_FDIO11} + 0.0004816739 * \text{KIN_FDIO12} \\
& + 0.0011585069 * \text{KIN_FDIO13} + 0.0012997564 * \text{KIN_FDIO14} \\
& + 0.00036333605 * \text{KIN_FDIO15} + 0.0004053589 * \text{KIN_FDIO16} \\
& + 0.0014606926 * \text{KIN_FDIO17} + 0.0014570210 * \text{KIN_FDIO18} \\
& + 0.0004927686 * \text{KIN_FDIO19} + 0.0004339859 * \text{KIN_FDIO20} \\
& + 0.0013348959 * \text{KIN_FDIO21} + 0.0011205802 * \text{KIN_FDIO22} \\
& + 0.0003653043 * \text{KIN_FDIO23} + 0.0005647499 * \text{KIN_FDIO24} \\
& + 0.0009095139 * \text{KIN_FDIO25} + 0.0010091865 * \text{KIN_FDIO26} \\
& + 0.0002807913 * \text{KIN_FDIO27} + 0.0003503868 * \text{KIN_FDIO28}
\end{aligned}$$

$$\begin{aligned}
<1023> \text{HYO_XIO2} & = 0.0505513835 * \text{KIN_FDIO1} + 0.0899814002 * \text{KIN_FDIO2} \\
& + 0.0244124086 * \text{KIN_FDIO3} + 0.0352760801 * \text{KIN_FDIO4} \\
& + 0.2903126492 * \text{KIN_FDIO5} + 1.5614522795 * \text{KIN_FDIO6} \\
& + 0.1483222832 * \text{KIN_FDIO7} + 0.1702876098 * \text{KIN_FDIO8} \\
& + 0.0291736968 * \text{KIN_FDIO9} + 0.0526851613 * \text{KIN_FDIO10} \\
& + 0.0172312017 * \text{KIN_FDIO11} + 0.0175930824 * \text{KIN_FDIO12} \\
& + 0.0205027878 * \text{KIN_FDIO13} + 0.0462292108 * \text{KIN_FDIO14} \\
& + 0.0120496813 * \text{KIN_FDIO15} + 0.0145297186 * \text{KIN_FDIO16} \\
& + 0.0347445644 * \text{KIN_FDIO17} + 0.0463545618 * \text{KIN_FDIO18} \\
& + 0.0158762404 * \text{KIN_FDIO19} + 0.0148656329 * \text{KIN_FDIO20} \\
& + 0.0303718174 * \text{KIN_FDIO21} + 0.0428825296 * \text{KIN_FDIO22} \\
& + 0.0125170976 * \text{KIN_FDIO23} + 0.0218972768 * \text{KIN_FDIO24} \\
& + 0.0186525211 * \text{KIN_FDIO25} + 0.0311041161 * \text{KIN_FDIO26} \\
& + 0.0087663717 * \text{KIN_FDIO27} + 0.0118529993 * \text{KIN_FDIO28}
\end{aligned}$$

$$\begin{aligned}
<1024> \text{HYO_XIO3} & = 0.0156364110 * \text{KIN_FDIO1} + 0.0253411087 * \text{KIN_FDIO2} \\
& + 0.0112926778 * \text{KIN_FDIO3} + 0.0107653826 * \text{KIN_FDIO4} \\
& + 0.2439310036 * \text{KIN_FDIO5} + 0.3224964815 * \text{KIN_FDIO6} \\
& + 1.2753522349 * \text{KIN_FDIO7} + 0.2160427310 * \text{KIN_FDIO8} \\
& + 0.0103155312 * \text{KIN_FDIO9} + 0.0170915001 * \text{KIN_FDIO10} \\
& + 0.0088204939 * \text{KIN_FDIO11} + 0.0069538338 * \text{KIN_FDIO12} \\
& + 0.0084519948 * \text{KIN_FDIO13} + 0.0159718773 * \text{KIN_FDIO14} \\
& + 0.0072557739 * \text{KIN_FDIO15} + 0.0064344097 * \text{KIN_FDIO16} \\
& + 0.0121488360 * \text{KIN_FDIO17} + 0.0175725001 * \text{KIN_FDIO18} \\
& + 0.0109513682 * \text{KIN_FDIO19} + 0.0070150321 * \text{KIN_FDIO20} \\
& + 0.0106229117 * \text{KIN_FDIO21} + 0.0141331791 * \text{KIN_FDIO22}
\end{aligned}$$

$+ 0.0069888058 * \text{KIN_FDIO23} + 0.0077473277 * \text{KIN_FDIO24}$
 $+ 0.0080396059 * \text{KIN_FDIO25} + 0.0126689679 * \text{KIN_FDIO26}$
 $+ 0.0068261411 * \text{KIN_FDIO27} + 0.0059278096 * \text{KIN_FDIO28}$

$<1025>\text{HYO_XIO4} = 0.0015277569 * \text{KIN_FDIO1} + 0.0027231956 * \text{KIN_FDIO2}$
 $+ 0.0007680030 * \text{KIN_FDIO3} + 0.0010704773 * \text{KIN_FDIO4}$
 $+ 0.0106980100 * \text{KIN_FDIO5} + 0.0459750805 * \text{KIN_FDIO6}$
 $+ 0.0115303410 * \text{KIN_FDIO7} + 1.0135492824 * \text{KIN_FDIO8}$
 $+ 0.0008913078 * \text{KIN_FDIO9} + 0.0016190959 * \text{KIN_FDIO10}$
 $+ 0.0005513225 * \text{KIN_FDIO11} + 0.0005488433 * \text{KIN_FDIO12}$
 $+ 0.0006359466 * \text{KIN_FDIO13} + 0.0014352288 * \text{KIN_FDIO14}$
 $+ 0.0003955059 * \text{KIN_FDIO15} + 0.0004593021 * \text{KIN_FDIO16}$
 $+ 0.0010594975 * \text{KIN_FDIO17} + 0.0014344533 * \text{KIN_FDIO18}$
 $+ 0.0005271302 * \text{KIN_FDIO19} + 0.0004713947 * \text{KIN_FDIO20}$
 $+ 0.0009275356 * \text{KIN_FDIO21} + 0.0013299131 * \text{KIN_FDIO22}$
 $+ 0.0004065124 * \text{KIN_FDIO23} + 0.0006732770 * \text{KIN_FDIO24}$
 $+ 0.0005798280 * \text{KIN_FDIO25} + 0.0009749478 * \text{KIN_FDIO26}$
 $+ 0.0003018650 * \text{KIN_FDIO27} + 0.0003801782 * \text{KIN_FDIO28}$

$<1026>\text{KYO_XIO1} = 0.0004238811 * \text{KIN_FDIO1} + 0.0004616704 * \text{KIN_FDIO2}$
 $+ 0.0001679823 * \text{KIN_FDIO3} + 0.0001556409 * \text{KIN_FDIO4}$
 $+ 0.0006057325 * \text{KIN_FDIO5} + 0.0004244013 * \text{KIN_FDIO6}$
 $+ 0.0001442000 * \text{KIN_FDIO7} + 0.0001429109 * \text{KIN_FDIO8}$
 $+ 1.0675834750 * \text{KIN_FDIO9} + 0.0259891353 * \text{KIN_FDIO10}$
 $+ 0.0066663945 * \text{KIN_FDIO11} + 0.0051797483 * \text{KIN_FDIO12}$
 $+ 0.0003376859 * \text{KIN_FDIO13} + 0.0004047158 * \text{KIN_FDIO14}$
 $+ 0.0001434301 * \text{KIN_FDIO15} + 0.0001350723 * \text{KIN_FDIO16}$
 $+ 0.0003465778 * \text{KIN_FDIO17} + 0.0003009100 * \text{KIN_FDIO18}$
 $+ 0.0001406041 * \text{KIN_FDIO19} + 0.0001083942 * \text{KIN_FDIO20}$
 $+ 0.0006827642 * \text{KIN_FDIO21} + 0.0004250536 * \text{KIN_FDIO22}$
 $+ 0.0001703748 * \text{KIN_FDIO23} + 0.0002048128 * \text{KIN_FDIO24}$
 $+ 0.0004792896 * \text{KIN_FDIO25} + 0.0003606845 * \text{KIN_FDIO26}$
 $+ 0.0001105787 * \text{KIN_FDIO27} + 0.0001179815 * \text{KIN_FDIO28}$

$<1027>\text{KYO_XIO2} = 0.0164674081 * \text{KIN_FDIO1} + 0.0204789346 * \text{KIN_FDIO2}$
 $+ 0.0072198610 * \text{KIN_FDIO3} + 0.0068515361 * \text{KIN_FDIO4}$

$$\begin{aligned}
& + 0.0137439911 * \text{KIN_FDIO5} + 0.0157530571 * \text{KIN_FDIO6} \\
& + 0.0055962151 * \text{KIN_FDIO7} + 0.0058277943 * \text{KIN_FDIO8} \\
& + 0.1966973785 * \text{KIN_FDIO9} + 1.3649930329 * \text{KIN_FDIO10} \\
& + 0.1222444407 * \text{KIN_FDIO11} + 0.1386924110 * \text{KIN_FDIO12} \\
& + 0.0098577164 * \text{KIN_FDIO13} + 0.0179233610 * \text{KIN_FDIO14} \\
& + 0.0059456932 * \text{KIN_FDIO15} + 0.0057669682 * \text{KIN_FDIO16} \\
& + 0.0086750532 * \text{KIN_FDIO17} + 0.0099734019 * \text{KIN_FDIO18} \\
& + 0.0051817709 * \text{KIN_FDIO19} + 0.0040271017 * \text{KIN_FDIO20} \\
& + 0.0233520322 * \text{KIN_FDIO21} + 0.0198943462 * \text{KIN_FDIO22} \\
& + 0.0074391955 * \text{KIN_FDIO23} + 0.0095764446 * \text{KIN_FDIO24} \\
& + 0.0178899250 * \text{KIN_FDIO25} + 0.0143919826 * \text{KIN_FDIO26} \\
& + 0.0043047629 * \text{KIN_FDIO27} + 0.0047090102 * \text{KIN_FDIO28}
\end{aligned}$$

$$\begin{aligned}
<1028> \text{KYO_XIO3} & = 0.0055916504 * \text{KIN_FDIO1} + 0.0071726229 * \text{KIN_FDIO2} \\
& + 0.0046270068 * \text{KIN_FDIO3} + 0.0035441321 * \text{KIN_FDIO4} \\
& + 0.0048849543 * \text{KIN_FDIO5} + 0.0061701744 * \text{KIN_FDIO6} \\
& + 0.0034182031 * \text{KIN_FDIO7} + 0.0032348807 * \text{KIN_FDIO8} \\
& + 0.2057781863 * \text{KIN_FDIO9} + 0.2710145896 * \text{KIN_FDIO10} \\
& + 1.2733379104 * \text{KIN_FDIO11} + 0.1993889439 * \text{KIN_FDIO12} \\
& + 0.0039276317 * \text{KIN_FDIO13} + 0.0066704057 * \text{KIN_FDIO14} \\
& + 0.0035591843 * \text{KIN_FDIO15} + 0.0033642855 * \text{KIN_FDIO16} \\
& + 0.0037301587 * \text{KIN_FDIO17} + 0.0049582526 * \text{KIN_FDIO18} \\
& + 0.0038348194 * \text{KIN_FDIO19} + 0.0030189365 * \text{KIN_FDIO20} \\
& + 0.0064703966 * \text{KIN_FDIO21} + 0.0063834124 * \text{KIN_FDIO22} \\
& + 0.0035844528 * \text{KIN_FDIO23} + 0.0038165664 * \text{KIN_FDIO24} \\
& + 0.0053597681 * \text{KIN_FDIO25} + 0.0057971628 * \text{KIN_FDIO26} \\
& + 0.0033120185 * \text{KIN_FDIO27} + 0.0031618517 * \text{KIN_FDIO28}
\end{aligned}$$

$$\begin{aligned}
<1029> \text{KYO_XIO4} & = 0.000511882559259529 * \text{KIN_FDIO1} + 0.000678660042164282 \\
& * \text{KIN_FDIO2} + 0.000279263891765611 * \text{KIN_FDIO3} + 0.000286326137169321 * \\
& \text{KIN_FDIO4} + 0.000436221971607024 * \text{KIN_FDIO5} + 0.00053681286834138 * \\
& \text{KIN_FDIO6} + 0.000231731268909866 * \text{KIN_FDIO7} + 0.000250614615695209 * \\
& \text{KIN_FDIO8} + 0.00698119461995883 * \text{KIN_FDIO9} + 0.0388688352857744 * \\
& \text{KIN_FDIO10} + 0.00851940699085402 * \text{KIN_FDIO11} + 1.01227637587238 * \\
& \text{KIN_FDIO12} + 0.000310777716758268 * \text{KIN_FDIO13} + 0.000596820644575424 *
\end{aligned}$$

| | | | | | |
|------------|------------------------|---|------------|------------------------|---|
| KIN_FDIO14 | + 0.000235355874903667 | * | KIN_FDIO15 | + 0.000246494034237114 | * |
| KIN_FDIO16 | + 0.000288844116892459 | * | KIN_FDIO17 | + 0.000364247070922772 | * |
| KIN_FDIO18 | + 0.000235146328936195 | * | KIN_FDIO19 | + 0.000196328531363085 | * |
| KIN_FDIO20 | + 0.000695145647272957 | * | KIN_FDIO21 | + 0.000643191900714417 | * |
| KIN_FDIO22 | + 0.000276107845984653 | * | KIN_FDIO23 | + 0.000346571749503331 | * |
| KIN_FDIO24 | + 0.000541537645620103 | * | KIN_FDIO25 | + 0.000483895862112767 | * |
| KIN_FDIO26 | + 0.000192135761371959 | * | KIN_FDIO27 | + 0.000216162208782141 | * |
| KIN_FDIO28 | | | | | |

| | | | | | | |
|-----------------|------------------------|------------------------|------------|------------------------|------------------------|---|
| <1030> NRA_XIO1 | = 0.000839161189971083 | * | KIN_FDIO1 | + 0.000534301439322944 | * | |
| | * KIN_FDIO2 | + 0.000145334661547123 | * | KIN_FDIO3 | + 0.000139943096351858 | * |
| KIN_FDIO4 | + 0.00143079294061188 | * | KIN_FDIO5 | + 0.00073780826185196 | * | |
| KIN_FDIO6 | + 0.000154529493683793 | * | KIN_FDIO7 | + 0.000147868593076685 | * | |
| KIN_FDIO8 | + 0.00128449160932028 | * | KIN_FDIO9 | + 0.00104047981774178 | * | |
| KIN_FDIO10 | + 0.000217459445496253 | * | KIN_FDIO11 | + 0.000195928321118784 | * | |
| KIN_FDIO12 | + 1.11940772291457 | * | KIN_FDIO13 | + 0.0236390803930793 | * | |
| KIN_FDIO14 | + 0.00586870480025765 | * | KIN_FDIO15 | + 0.00514973340795895 | * | |
| KIN_FDIO16 | + 0.00179242388847873 | * | KIN_FDIO17 | + 0.000976311096386405 | * | |
| KIN_FDIO18 | + 0.000222158937646371 | * | KIN_FDIO19 | + 0.000181045702072816 | * | |
| KIN_FDIO20 | + 0.00127387081231602 | * | KIN_FDIO21 | + 0.000357826720166965 | * | |
| KIN_FDIO22 | + 0.000124475233113584 | * | KIN_FDIO23 | + 0.000110303957805649 | * | |
| KIN_FDIO24 | + 0.0013753604894509 | * | KIN_FDIO25 | + 0.000704347830933887 | * | |
| KIN_FDIO26 | + 0.00012269782439689 | * | KIN_FDIO27 | + 0.000135464473051598 | * | |
| KIN_FDIO28 | | | | | | |

| | | | | | |
|-----------------|-----------------------|---|------------|-----------------------|---|
| <1031> NRA_XIO2 | = 0.00855678828129205 | * | KIN_FDIO1 | + 0.0144040417628844 | * |
| KIN_FDIO2 | + 0.00424551374230289 | * | KIN_FDIO3 | + 0.00403879961198096 | * |
| KIN_FDIO4 | + 0.00368965475730978 | * | KIN_FDIO5 | + 0.00851251889457246 | * |
| KIN_FDIO6 | + 0.00212757694223037 | * | KIN_FDIO7 | + 0.00239702054231054 | * |
| KIN_FDIO8 | + 0.00684379797975616 | * | KIN_FDIO9 | + 0.0332705932748764 | * |
| KIN_FDIO10 | + 0.00597857237438403 | * | KIN_FDIO11 | + 0.0059211379457808 | * |
| KIN_FDIO12 | + 0.159343500947042 | * | KIN_FDIO13 | + 1.42554732514666 | * |
| KIN_FDIO14 | + 0.110959941388667 | * | KIN_FDIO15 | + 0.1347263992503 | * |
| KIN_FDIO16 | + 0.00383954125927402 | * | KIN_FDIO17 | + 0.00678369294053236 | * |
| KIN_FDIO18 | + 0.00288675212490429 | * | KIN_FDIO19 | + 0.00237127912454539 | * |
| KIN_FDIO20 | + 0.0035787703439978 | * | KIN_FDIO21 | + 0.00923913469110639 | * |

| | | | | | |
|---|------------------------|---|------------|------------------------|---|
| KIN_FDIO22 | + 0.00280805478863808 | * | KIN_FDIO23 | + 0.00270912988655037 | * |
| KIN_FDIO24 | + 0.00234616751184765 | * | KIN_FDIO25 | + 0.00546755808819244 | * |
| KIN_FDIO26 | + 0.00130912912051349 | * | KIN_FDIO27 | + 0.00150326490813117 | * |
| KIN_FDIO28 | | | | | |
| | | | | | |
| <1032> NRA_XIO3 = 0.00231764468640085 * KIN_FDIO1 + 0.00362463464780866 * | | | | | |
| KIN_FDIO2 | + 0.00130842250366512 | * | KIN_FDIO3 | + 0.00114175798790944 | * |
| KIN_FDIO4 | + 0.00133824757113973 | * | KIN_FDIO5 | + 0.00238547589033872 | * |
| KIN_FDIO6 | + 0.000757018021215616 | * | KIN_FDIO7 | + 0.000780748086449266 | * |
| KIN_FDIO8 | + 0.00194889181514884 | * | KIN_FDIO9 | + 0.00780219378647871 | * |
| KIN_FDIO10 | + 0.00164321862825013 | * | KIN_FDIO11 | + 0.00153890636181593 | * |
| KIN_FDIO12 | + 0.231269390305494 | * | KIN_FDIO13 | + 0.315345971717139 | * |
| KIN_FDIO14 | + 1.27415645619376 | * | KIN_FDIO15 | + 0.213183382827288 | * |
| KIN_FDIO16 | + 0.00141431107160223 | * | KIN_FDIO17 | + 0.00202719656781002 | * |
| KIN_FDIO18 | + 0.00101023745464683 | * | KIN_FDIO19 | + 0.000790456005033502 | * |
| KIN_FDIO20 | + 0.00126491660179468 | * | KIN_FDIO21 | + 0.0024108224169837 | * |
| KIN_FDIO22 | + 0.000900940811662952 | * | KIN_FDIO23 | + 0.000836300884013775 | * |
| KIN_FDIO24 | + 0.00100137100918898 | * | KIN_FDIO25 | + 0.00170379180455489 | * |
| KIN_FDIO26 | + 0.000609955405355813 | * | KIN_FDIO27 | + 0.000583713274963481 | * |
| KIN_FDIO28 | | | | | |
| | | | | | |
| <1033> NRA_XIO4 = 0.000271458804646778 * KIN_FDIO1 + 0.000455279595233023 | | | | | |
| * KIN_FDIO2 | + 0.000136058902117615 | * | KIN_FDIO3 | + 0.000128890214359428 | * |
| KIN_FDIO4 | + 0.000120053984388891 | * | KIN_FDIO5 | + 0.000271158546770487 | * |
| KIN_FDIO6 | + 6.93190873727304E-05 | * | KIN_FDIO7 | + 7.74478066976894E-05 | * |
| KIN_FDIO8 | + 0.000217922386809699 | * | KIN_FDIO9 | + 0.00104589920369024 | * |
| KIN_FDIO10 | + 0.000189839207750808 | * | KIN_FDIO11 | + 0.000187540856189258 | * |
| KIN_FDIO12 | + 0.00684958366691548 | * | KIN_FDIO13 | + 0.0446529278092391 | * |
| KIN_FDIO14 | + 0.010459281625196 | * | KIN_FDIO15 | + 1.01252068153025 | * |
| KIN_FDIO16 | + 0.000125195268849985 | * | KIN_FDIO17 | + 0.000217216747957079 | * |
| KIN_FDIO18 | + 9.38336882452823E-05 | * | KIN_FDIO19 | + 7.66754694959216E-05 | * |
| KIN_FDIO20 | + 0.000115966935810053 | * | KIN_FDIO21 | + 0.000292748257312804 | * |
| KIN_FDIO22 | + 9.04549987888731E-05 | * | KIN_FDIO23 | + 8.70640069601128E-05 | * |
| KIN_FDIO24 | + 7.75253237271773E-05 | * | KIN_FDIO25 | + 0.000175479071453078 | * |
| KIN_FDIO26 | + 4.37860482374361E-05 | * | KIN_FDIO27 | + 4.93662301889036E-05 | * |
| KIN_FDIO28 | | | | | |

<1034>WAK_XIO1 = 0.00188493790818239 * KIN_FDIO1 + 0.00131125598325076 *
 KIN_FDIO2 + 0.000377264155923582 * KIN_FDIO3 + 0.000345304922892544 *
 KIN_FDIO4 + 0.00354874868344038 * KIN_FDIO5 + 0.00175673460608533 *
 KIN_FDIO6 + 0.000503289026193231 * KIN_FDIO7 + 0.000412626278942697 *
 KIN_FDIO8 + 0.00170917917262865 * KIN_FDIO9 + 0.00124813617333503 *
 KIN_FDIO10 + 0.000421768970218201 * KIN_FDIO11 + 0.000322081556884979 *
 KIN_FDIO12 + 0.00274950696646421 * KIN_FDIO13 + 0.00155219236579503 *
 KIN_FDIO14 + 0.000418156325918838 * KIN_FDIO15 + 0.00035598093724114 *
 KIN_FDIO16 + 1.09413868183851 * KIN_FDIO17 + 0.0402731346012654 *
 KIN_FDIO18 + 0.00910631337325785 * KIN_FDIO19 + 0.0071203596543904 *
 KIN_FDIO20 + 0.00215646911618547 * KIN_FDIO21 + 0.000576094646080053 *
 KIN_FDIO22 + 0.000309779904059433 * KIN_FDIO23 + 0.000231940964064435 *
 KIN_FDIO24 + 0.00190929012700595 * KIN_FDIO25 + 0.00172487224116216 *
 KIN_FDIO26 + 0.000342957231177596 * KIN_FDIO27 + 0.000368551946744768 *
 KIN_FDIO28

<1035>WAK_XIO2 = 0.0186243734625607 * KIN_FDIO1 + 0.0243591872861834 *
 KIN_FDIO2 + 0.00567721216752118 * KIN_FDIO3 + 0.0053759629058301 *
 KIN_FDIO4 + 0.0156751442482499 * KIN_FDIO5 + 0.0137905259591347 *
 KIN_FDIO6 + 0.00573000630792431 * KIN_FDIO7 + 0.00457258617798573 *
 KIN_FDIO8 + 0.00638585002032796 * KIN_FDIO9 + 0.00856947431271214 *
 KIN_FDIO10 + 0.00234285720331374 * KIN_FDIO11 + 0.00225690835591306 *
 KIN_FDIO12 + 0.00925200490844773 * KIN_FDIO13 + 0.0247841768413096 *
 KIN_FDIO14 + 0.00466053123011916 * KIN_FDIO15 + 0.0042100221795143 *
 KIN_FDIO16 + 0.240910626005955 * KIN_FDIO17 + 1.61082017176663 *
 KIN_FDIO18 + 0.19967461125113 * KIN_FDIO19 + 0.175062793075959 *
 KIN_FDIO20 + 0.00781187680724625 * KIN_FDIO21 + 0.00692961449322686 *
 KIN_FDIO22 + 0.00217679421769419 * KIN_FDIO23 + 0.00204797294980599 *
 KIN_FDIO24 + 0.00959926341946469 * KIN_FDIO25 + 0.0186523341229964 *
 KIN_FDIO26 + 0.00264363583731827 * KIN_FDIO27 + 0.00324812864997745 *
 KIN_FDIO28

<1036>WAK_XIO3 = 0.00445456148190607 * KIN_FDIO1 + 0.00560923730367222 *
 KIN_FDIO2 + 0.00181257440328108 * KIN_FDIO3 + 0.00156246188853138 *
 KIN_FDIO4 + 0.00410746878782963 * KIN_FDIO5 + 0.00376216855817871 *

| | | | | |
|------------|------------------------|--------------|------------------------|---|
| KIN_FDIO6 | + 0.00178474257638939 | * KIN_FDIO7 | + 0.00146173023208669 | * |
| KIN_FDIO8 | + 0.00197797037345568 | * KIN_FDIO9 | + 0.00260387316158677 | * |
| KIN_FDIO10 | + 0.00114882645627836 | * KIN_FDIO11 | + 0.00100181448149178 | * |
| KIN_FDIO12 | + 0.00269622267081696 | * KIN_FDIO13 | + 0.00575534407785348 | * |
| KIN_FDIO14 | + 0.00154170437315346 | * KIN_FDIO15 | + 0.00137093264537369 | * |
| KIN_FDIO16 | + 0.227727273310638 | * KIN_FDIO17 | + 0.31007768212883 | * |
| KIN_FDIO18 | + 1.32071671628447 | * KIN_FDIO19 | + 0.211884026322488 | * |
| KIN_FDIO20 | + 0.00235476464919881 | * KIN_FDIO21 | + 0.00207991176590296 | * |
| KIN_FDIO22 | + 0.000990455633119931 | * KIN_FDIO23 | + 0.000949857688764018 | * |
| KIN_FDIO24 | + 0.00262228822019381 | * KIN_FDIO25 | + 0.0046426459017706 | * |
| KIN_FDIO26 | + 0.00126265897405549 | * KIN_FDIO27 | + 0.00118727741516612 | * |
| KIN_FDIO28 | | | | |

| | | | | |
|----------------|------------------------|--------------|------------------------|---|
| <1037>WAK_XIO4 | = 0.00035865265747172 | * KIN_FDIO1 | + 0.000496181866779144 | * |
| KIN_FDIO2 | + 0.000152990525691927 | * KIN_FDIO3 | + 0.000130174918265416 | * |
| KIN_FDIO4 | + 0.000314080606467059 | * KIN_FDIO5 | + 0.000307754530529661 | * |
| KIN_FDIO6 | + 0.000155622437540964 | * KIN_FDIO7 | + 0.000115614059211732 | * |
| KIN_FDIO8 | + 0.000132784423628311 | * KIN_FDIO9 | + 0.000198391897118305 | * |
| KIN_FDIO10 | + 8.11818401182343E-05 | * KIN_FDIO11 | + 6.57365521767779E-05 | * |
| KIN_FDIO12 | + 0.000187573698199022 | * KIN_FDIO13 | + 0.000493646474147825 | * |
| KIN_FDIO14 | + 0.000130642138704892 | * KIN_FDIO15 | + 0.000106936796838361 | * |
| KIN_FDIO16 | + 0.00702319225131388 | * KIN_FDIO17 | + 0.0279461530404012 | * |
| KIN_FDIO18 | + 0.00967737208921664 | * KIN_FDIO19 | + 1.01126841034459 | * |
| KIN_FDIO20 | + 0.000162443907537336 | * KIN_FDIO21 | + 0.000176908143133675 | * |
| KIN_FDIO22 | + 8.74221188190055E-05 | * KIN_FDIO23 | + 7.21319776108602E-05 | * |
| KIN_FDIO24 | + 0.000194904473373506 | * KIN_FDIO25 | + 0.000381185163578518 | * |
| KIN_FDIO26 | + 9.82832421737922E-05 | * KIN_FDIO27 | + 8.71954722131805E-05 | * |
| KIN_FDIO28 | | | | |

| | | | | |
|----------------|------------------------|--------------|------------------------|---|
| <1038>SGA_XIO1 | = 0.00305656960143385 | * KIN_FDIO1 | + 0.000748571254342882 | * |
| KIN_FDIO2 | + 0.000210408170327355 | * KIN_FDIO3 | + 0.000214951955097953 | * |
| KIN_FDIO4 | + 0.00349316222054608 | * KIN_FDIO5 | + 0.00142468839250948 | * |
| KIN_FDIO6 | + 0.000316346165158303 | * KIN_FDIO7 | + 0.000287920994989978 | * |
| KIN_FDIO8 | + 0.00233242590091308 | * KIN_FDIO9 | + 0.00120879943803883 | * |
| KIN_FDIO10 | + 0.000324602331047649 | * KIN_FDIO11 | + 0.000287595901423008 | * |
| KIN_FDIO12 | + 0.00237830442167375 | * KIN_FDIO13 | + 0.000974887792733869 | * |

| | | | | | |
|------------|------------------------|---|------------|------------------------|---|
| KIN_FDIO14 | + 0.000255741836270746 | * | KIN_FDIO15 | + 0.000244848830991685 | * |
| KIN_FDIO16 | + 0.00279939610243704 | * | KIN_FDIO17 | + 0.00151546373239012 | * |
| KIN_FDIO18 | + 0.000363150324138572 | * | KIN_FDIO19 | + 0.000306426948084249 | * |
| KIN_FDIO20 | + 1.11320094485402 | * | KIN_FDIO21 | + 0.00969772813338032 | * |
| KIN_FDIO22 | + 0.00442719458854512 | * | KIN_FDIO23 | + 0.00327876526606293 | * |
| KIN_FDIO24 | + 0.00268453173775576 | * | KIN_FDIO25 | + 0.00138444304673942 | * |
| KIN_FDIO26 | + 0.000250468107036318 | * | KIN_FDIO27 | + 0.000287124920111451 | * |
| KIN_FDIO28 | | | | | |

| | | | | | |
|----------------|-----------------------|---|------------|-----------------------|---|
| <1039>SGA_XIO2 | = 0.0124672492766535 | * | KIN_FDIO1 | + 0.0229843779001862 | * |
| KIN_FDIO2 | + 0.00565392158871872 | * | KIN_FDIO3 | + 0.00726236268036795 | * |
| KIN_FDIO4 | + 0.00926979823926876 | * | KIN_FDIO5 | + 0.0191813573464872 | * |
| KIN_FDIO6 | + 0.00611210307137001 | * | KIN_FDIO7 | + 0.00637694282881368 | * |
| KIN_FDIO8 | + 0.0114116588091246 | * | KIN_FDIO9 | + 0.0375667453296311 | * |
| KIN_FDIO10 | + 0.00913016837027854 | * | KIN_FDIO11 | + 0.0112597816323662 | * |
| KIN_FDIO12 | + 0.00706891407183611 | * | KIN_FDIO13 | + 0.01804615977199 | * |
| KIN_FDIO14 | + 0.00382901977144458 | * | KIN_FDIO15 | + 0.00558660611260725 | * |
| KIN_FDIO16 | + 0.00721504964473435 | * | KIN_FDIO17 | + 0.0137574442946991 | * |
| KIN_FDIO18 | + 0.00426505217083467 | * | KIN_FDIO19 | + 0.00549873566762233 | * |
| KIN_FDIO20 | + 0.174078401264567 | * | KIN_FDIO21 | + 1.42107874746878 | * |
| KIN_FDIO22 | + 0.11114996620735 | * | KIN_FDIO23 | + 0.125442484963356 | * |
| KIN_FDIO24 | + 0.00989832426032052 | * | KIN_FDIO25 | + 0.0392134094252684 | * |
| KIN_FDIO26 | + 0.00617003736826109 | * | KIN_FDIO27 | + 0.00869006311200349 | * |
| KIN_FDIO28 | | | | | |

| | | | | | |
|----------------|-----------------------|---|------------|-----------------------|---|
| <1040>SGA_XIO3 | = 0.00325300798901097 | * | KIN_FDIO1 | + 0.00467756892495048 | * |
| KIN_FDIO2 | + 0.00174925883214056 | * | KIN_FDIO3 | + 0.00165030902268566 | * |
| KIN_FDIO4 | + 0.00272854915304816 | * | KIN_FDIO5 | + 0.00411388891944957 | * |
| KIN_FDIO6 | + 0.00170841974036981 | * | KIN_FDIO7 | + 0.00150959459457563 | * |
| KIN_FDIO8 | + 0.00283146953308518 | * | KIN_FDIO9 | + 0.00719540991687808 | * |
| KIN_FDIO10 | + 0.00224854334619013 | * | KIN_FDIO11 | + 0.00232926744122216 | * |
| KIN_FDIO12 | + 0.0021290256104376 | * | KIN_FDIO13 | + 0.00386884525967372 | * |
| KIN_FDIO14 | + 0.00136874360263281 | * | KIN_FDIO15 | + 0.00135740392254809 | * |
| KIN_FDIO16 | + 0.00218667783793471 | * | KIN_FDIO17 | + 0.00320106064144686 | * |
| KIN_FDIO18 | + 0.00148077549446481 | * | KIN_FDIO19 | + 0.00136295541839925 | * |
| KIN_FDIO20 | + 0.222980973264833 | * | KIN_FDIO21 | + 0.247194784809608 | * |

| | | | | | | | |
|------------|---|---------------------|---|------------|---|---------------------|---|
| KIN_FDIO22 | + | 1.25056108954522 | * | KIN_FDIO23 | + | 0.200063845010342 | * |
| KIN_FDIO24 | + | 0.00263100192482732 | * | KIN_FDIO25 | + | 0.00752014099647806 | * |
| KIN_FDIO26 | + | 0.00168959028371826 | * | KIN_FDIO27 | + | 0.00189226228474536 | * |
| KIN_FDIO28 | | | | | | | |

| | | | | | | | |
|----------------|---|----------------------|---|------------|---|----------------------|---|
| <1041>SGA_XIO4 | = | 0.000474286045076392 | * | KIN_FDIO1 | + | 0.000889545656567995 | * |
| * KIN_FDIO2 | + | 0.000265895568715622 | * | KIN_FDIO3 | + | 0.000298509546070165 | * |
| KIN_FDIO4 | + | 0.000368351775365557 | * | KIN_FDIO5 | + | 0.000750294156917169 | * |
| KIN_FDIO6 | + | 0.000283115219724073 | * | KIN_FDIO7 | + | 0.00026678278322128 | * |
| KIN_FDIO8 | + | 0.000418379829524339 | * | KIN_FDIO9 | + | 0.0013543743004211 | * |
| KIN_FDIO10 | + | 0.000365861002805475 | * | KIN_FDIO11 | + | 0.000421059558305923 | * |
| KIN_FDIO12 | + | 0.000273602660864531 | * | KIN_FDIO13 | + | 0.000707660209124044 | * |
| KIN_FDIO14 | + | 0.000197265224761541 | * | KIN_FDIO15 | + | 0.000236725893422553 | * |
| KIN_FDIO16 | + | 0.000294247148859121 | * | KIN_FDIO17 | + | 0.00055826067209833 | * |
| KIN_FDIO18 | + | 0.000236249083190481 | * | KIN_FDIO19 | + | 0.000231512887630955 | * |
| KIN_FDIO20 | + | 0.00745412700473336 | * | KIN_FDIO21 | + | 0.0486392203074101 | * |
| KIN_FDIO22 | + | 0.0114483818277119 | * | KIN_FDIO23 | + | 1.01129290859194 | * |
| KIN_FDIO24 | + | 0.000374456973080926 | * | KIN_FDIO25 | + | 0.00141661171825983 | * |
| KIN_FDIO26 | + | 0.000279745203949481 | * | KIN_FDIO27 | + | 0.00033848562077306 | * |
| KIN_FDIO28 | | | | | | | |

| | | | | | | | |
|----------------|---|----------------------|---|------------|---|----------------------|---|
| <1042>FKI_XIO1 | = | 0.00099708785317376 | * | KIN_FDIO1 | + | 0.00057474715733605 | * |
| KIN_FDIO2 | + | 0.000167403593879402 | * | KIN_FDIO3 | + | 0.000177911867580459 | * |
| KIN_FDIO4 | + | 0.00141449677154599 | * | KIN_FDIO5 | + | 0.000918664393888022 | * |
| KIN_FDIO6 | + | 0.000208213099133687 | * | KIN_FDIO7 | + | 0.00020638887225955 | * |
| KIN_FDIO8 | + | 0.000931663735756491 | * | KIN_FDIO9 | + | 0.000811449426991419 | * |
| KIN_FDIO10 | + | 0.000228763369832426 | * | KIN_FDIO11 | + | 0.000199959458906024 | * |
| KIN_FDIO12 | + | 0.0010107589099059 | * | KIN_FDIO13 | + | 0.000688998804476556 | * |
| KIN_FDIO14 | + | 0.000181638133548647 | * | KIN_FDIO15 | + | 0.0001777304997059 | * |
| KIN_FDIO16 | + | 0.000936726492536467 | * | KIN_FDIO17 | + | 0.00102245619376893 | * |
| KIN_FDIO18 | + | 0.000247479046537981 | * | KIN_FDIO19 | + | 0.000210189524065359 | * |
| KIN_FDIO20 | + | 0.00112277855846949 | * | KIN_FDIO21 | + | 0.00049850330276681 | * |
| KIN_FDIO22 | + | 0.000170394511243033 | * | KIN_FDIO23 | + | 0.000157538920125635 | * |
| KIN_FDIO24 | + | 1.08387224463776 | * | KIN_FDIO25 | + | 0.0291256981869993 | * |
| KIN_FDIO26 | + | 0.00529353304022314 | * | KIN_FDIO27 | + | 0.0056717236036724 | * |
| KIN_FDIO28 | | | | | | | |

<1043>FKI_XIO2 = 0.00588557570241323 * KIN_FDIO1 + 0.0114158307181515 *
 KIN_FDIO2 + 0.00298160588283816 * KIN_FDIO3 + 0.00365393359957957 *
 KIN_FDIO4 + 0.00397362078789464 * KIN_FDIO5 + 0.00877795916267842 *
 KIN_FDIO6 + 0.0020290074526276 * KIN_FDIO7 + 0.00278525011763172 *
 KIN_FDIO8 + 0.00376096729405755 * KIN_FDIO9 + 0.0129717117292126 *
 KIN_FDIO10 + 0.00323297585721216 * KIN_FDIO11 + 0.00330961702162684 *
 KIN_FDIO12 + 0.00251384854322663 * KIN_FDIO13 + 0.00918950751259432 *
 KIN_FDIO14 + 0.00195059082660016 * KIN_FDIO15 + 0.00236079624610345 *
 KIN_FDIO16 + 0.00348805642475651 * KIN_FDIO17 + 0.00978569783341472 *
 KIN_FDIO18 + 0.00234694436819178 * KIN_FDIO19 + 0.00243373085199613 *
 KIN_FDIO20 + 0.00486802973429275 * KIN_FDIO21 + 0.0151362620815331 *
 KIN_FDIO22 + 0.00302585580525684 * KIN_FDIO23 + 0.00332971643813056 *
 KIN_FDIO24 + 0.187975455064576 * KIN_FDIO25 + 1.45506251566019 *
 KIN_FDIO26 + 0.135216566998383 * KIN_FDIO27 + 0.15776367708181 *
 KIN_FDIO28

<1044>FKI_XIO3 = 0.00691199693439842 * KIN_FDIO1 + 0.0101718450277128 *
 KIN_FDIO2 + 0.00541411357270797 * KIN_FDIO3 + 0.00652314670752252 *
 KIN_FDIO4 + 0.0053909140123455 * KIN_FDIO5 + 0.0110081196981964 *
 KIN_FDIO6 + 0.0055512755937375 * KIN_FDIO7 + 0.00678631161416688 *
 KIN_FDIO8 + 0.00429153774303365 * KIN_FDIO9 + 0.0104265356684103 *
 KIN_FDIO10 + 0.00615199326841377 * KIN_FDIO11 + 0.00705337272906464 *
 KIN_FDIO12 + 0.00405035153324381 * KIN_FDIO13 + 0.00954538729337504 *
 KIN_FDIO14 + 0.00493288655182119 * KIN_FDIO15 + 0.00627682585775325 *
 KIN_FDIO16 + 0.00397268276485317 * KIN_FDIO17 + 0.00777934873814861 *
 KIN_FDIO18 + 0.00398235202772178 * KIN_FDIO19 + 0.00398400081687111 *
 KIN_FDIO20 + 0.00542450133650635 * KIN_FDIO21 + 0.0105505245787837 *
 KIN_FDIO22 + 0.00519296512573876 * KIN_FDIO23 + 0.00741708660370572 *
 KIN_FDIO24 + 0.223691701922073 * KIN_FDIO25 + 0.317529232531162 *
 KIN_FDIO26 + 1.28529886410092 * KIN_FDIO27 + 0.216732333117997 *
 KIN_FDIO28

<1045>FKI_XIO4 = 0.000141309390111398 * KIN_FDIO1 + 0.000248004389391588 *
 KIN_FDIO2 + 8.65379448361883E-05 * KIN_FDIO3 + 0.000105052286134465 *
 KIN_FDIO4 + 0.000101531940528264 * KIN_FDIO5 + 0.000215968129933496 *

| | | | | | | | |
|------------|---|----------------------|---|------------|---|----------------------|---|
| KIN_FDIO6 | + | 7.36476757990678E-05 | * | KIN_FDIO7 | + | 9.43652854125685E-05 | * |
| KIN_FDIO8 | + | 8.94634358146524E-05 | * | KIN_FDIO9 | + | 0.00027289140505437 | * |
| KIN_FDIO10 | + | 9.59930785877007E-05 | * | KIN_FDIO11 | + | 0.000104120883978588 | * |
| KIN_FDIO12 | + | 6.93055292084805E-05 | * | KIN_FDIO13 | + | 0.000210406201261911 | * |
| KIN_FDIO14 | + | 6.76087492155227E-05 | * | KIN_FDIO15 | + | 8.41108092570912E-05 | * |
| KIN_FDIO16 | + | 8.30147974634289E-05 | * | KIN_FDIO17 | + | 0.000205517991377687 | * |
| KIN_FDIO18 | + | 6.60860257154947E-05 | * | KIN_FDIO19 | + | 6.72168567781453E-05 | * |
| KIN_FDIO20 | + | 0.000114729192340235 | * | KIN_FDIO21 | + | 0.000305521269730806 | * |
| KIN_FDIO22 | + | 8.54390876108883E-05 | * | KIN_FDIO23 | + | 0.000107285469369852 | * |
| KIN_FDIO24 | + | 0.00510728428827713 | * | KIN_FDIO25 | + | 0.0238815617212206 | * |
| KIN_FDIO26 | + | 0.0120673095511337 | * | KIN_FDIO27 | + | 1.01174564833817 | * |
| KIN_FDIO28 | | | | | | | |

(9) 県別産業別産出額(SNAベース)

| | | | | | | | |
|--------------|---|---------|---|----------|--|--|--|
| <1046>OSA_X1 | = | OSA_RX1 | * | OSA_XIO1 | | | |
| <1047>OSA_X2 | = | OSA_RX2 | * | OSA_XIO2 | | | |
| <1048>OSA_X3 | = | OSA_RX3 | * | OSA_XIO3 | | | |
| <1049>OSA_X4 | = | OSA_RX4 | * | OSA_XIO4 | | | |
| <1050>HYO_X1 | = | HYO_RX1 | * | HYO_XIO1 | | | |
| <1051>HYO_X2 | = | HYO_RX2 | * | HYO_XIO2 | | | |
| <1052>HYO_X3 | = | HYO_RX3 | * | HYO_XIO3 | | | |
| <1053>HYO_X4 | = | HYO_RX4 | * | HYO_XIO4 | | | |
| <1054>KYO_X1 | = | KYO_RX1 | * | KYO_XIO1 | | | |
| <1055>KYO_X2 | = | KYO_RX2 | * | KYO_XIO2 | | | |
| <1056>KYO_X3 | = | KYO_RX3 | * | KYO_XIO3 | | | |
| <1057>KYO_X4 | = | KYO_RX4 | * | KYO_XIO4 | | | |
| <1058>NRA_X1 | = | NRA_RX1 | * | NRA_XIO1 | | | |
| <1059>NRA_X2 | = | NRA_RX2 | * | NRA_XIO2 | | | |
| <1060>NRA_X3 | = | NRA_RX3 | * | NRA_XIO3 | | | |
| <1061>NRA_X4 | = | NRA_RX4 | * | NRA_XIO4 | | | |
| <1062>WAK_X1 | = | WAK_RX1 | * | WAK_XIO1 | | | |
| <1063>WAK_X2 | = | WAK_RX2 | * | WAK_XIO2 | | | |
| <1064>WAK_X3 | = | WAK_RX3 | * | WAK_XIO3 | | | |
| <1065>WAK_X4 | = | WAK_RX4 | * | WAK_XIO4 | | | |
| <1066>SGA_X1 | = | SGA_RX1 | * | SGA_XIO1 | | | |

<1067>SGA_X2 = SGA_RX2 * SGA_XIO2
 <1068>SGA_X3 = SGA_RX3 * SGA_XIO3
 <1069>SGA_X4 = SGA_RX4 * SGA_XIO4
 <1070>FKI_X1 = FKI_RX1 * FKI_XIO1
 <1071>FKI_X2 = FKI_RX2 * FKI_XIO2
 <1072>FKI_X3 = FKI_RX3 * FKI_XIO3
 <1073>FKI_X4 = FKI_RX4 * FKI_XIO4

(10) 県別産業別域内移出(中間財・IOベース)

<1074>OSA_EDKIO1_inter = + 0.00698724568307008 * HYO_XIO1 +
 8.53603087478493E-05 * HYO_XIO2 + 2.67052851844113E-05 * HYO_XIO3 +
 1.47576965583993E-05 * HYO_XIO4 + 0.00475908898646009 * KYO_XIO1 +
 6.72713632585698E-05 * KYO_XIO2 + 2.33152794863491E-05 * KYO_XIO3 +
 1.44139409523753E-05 * KYO_XIO4 + 0.00487253607475789 * NRA_XIO1 +
 3.72654204362371E-05 * NRA_XIO2 + 1.83916556549895E-05 * NRA_XIO3 +
 0.000014319295605937 * NRA_XIO4 + 0.00837496705754164 * WAK_XIO1 +
 7.46879090467439E-05 * WAK_XIO2 + 1.98370133626999E-05 * WAK_XIO3 +
 1.64652575885099E-05 * WAK_XIO4 + 0.00983184395256014 * SGA_XIO1 +
 2.31706340434252E-05 * SGA_XIO2 + 2.13374465772777E-05 * SGA_XIO3 +
 1.56437031397329E-05 * SGA_XIO4 + 0.00780207876465882 * FKI_XIO1 +
 0.000063419513467244 * FKI_XIO2 + 1.33638172147958E-05 * FKI_XIO3 +
 1.83363109046428E-05 * FKI_XIO4

< 1075 >OSA_EDKIO2_inter = + 0.0216542080375145 * HYO_XIO1 +
 0.0362577480977624 * HYO_XIO2 + 0.0109577552190934 * HYO_XIO3 +
 0.0149770798160692 * HYO_XIO4 + 0.012482506254864 * KYO_XIO1 +
 0.0457368508349352 * KYO_XIO2 + 0.0119808048869158 * KYO_XIO3 +
 0.0163012776255725 * KYO_XIO4 + 0.0166085795793586 * NRA_XIO1 +
 0.0467240212062078 * NRA_XIO2 + 0.0153872221408163 * NRA_XIO3 +
 0.0162900611946305 * NRA_XIO4 + 0.0150060197044838 * WAK_XIO1 +
 0.0311852001057009 * WAK_XIO2 + 0.00868254436269088 * WAK_XIO3 +
 0.0143523555128685 * WAK_XIO4 + 0.0164341301866411 * SGA_XIO1 +
 0.0391993566972593 * SGA_XIO2 + 0.0152780694481928 * SGA_XIO3 +
 0.0156901942072997 * SGA_XIO4 + 0.00761123552571208 * FKI_XIO1 +
 0.0259488316831471 * FKI_XIO2 + 0.0040810336950757 * FKI_XIO3 +

0.0119504927899021 * FKI_XIO4

< 1076 >OSA_EDKIO3_inter = + 0.012310939878187 * HYO_XIO1 +
0.021282426335782 * HYO_XIO2 + 0.0341339191546936 * HYO_XIO3 +
0.022878572350791 * HYO_XIO4 + 0.00964122414623298 * KYO_XIO1 +
0.0184789533390815 * KYO_XIO2 + 0.0309293129019169 * KYO_XIO3 +
0.0192557828823711 * KYO_XIO4 + 0.0101493382513907 * NRA_XIO1 +
0.0219465727871651 * NRA_XIO2 + 0.0331155269394793 * NRA_XIO3 +
0.0220838205134343 * NRA_XIO4 + 0.00966324399967813 * WAK_XIO1 +
0.0180299119254771 * WAK_XIO2 + 0.036048580251056 * WAK_XIO3 +
0.0225581078923531 * WAK_XIO4 + 0.0122073490547235 * SGA_XIO1 +
0.0187688564932847 * SGA_XIO2 + 0.0344019542065444 * SGA_XIO3 +
0.0249101908201081 * SGA_XIO4 + 0.0107068476284618 * FKI_XIO1 +
0.0209556049217609 * FKI_XIO2 + 0.0356761665500441 * FKI_XIO3 +
0.0223483596947893 * FKI_XIO4

<1077>OSA_EDKIO4_inter = + 2.06917805371106E-05 * HYO_XIO1 +
0.00065176755741515 * HYO_XIO2 + 7.54408716974662E-05 * HYO_XIO3 +
0.000013372839264771 * HYO_XIO4 + 1.50444287246266E-05 * KYO_XIO1 +
0.000641736655976826 * KYO_XIO2 + 6.59521338455852E-05 * KYO_XIO3 +
9.20705468273349E-06 * KYO_XIO4 + 1.59392148554395E-05 * NRA_XIO1 +
0.000711536481825295 * NRA_XIO2 + 6.08079067854904E-05 * NRA_XIO3 +
0.000012543824594981 * NRA_XIO4 + 4.06953100212701E-05 * WAK_XIO1 +
0.000385591977111117 * WAK_XIO2 + 8.91246433013165E-05 * WAK_XIO3 +
9.73629298755319E-06 * WAK_XIO4 + 5.62042294769496E-06 * SGA_XIO1 +
0.000767971551918202 * SGA_XIO2 + 5.91824536625473E-05 * SGA_XIO3 +
1.50290355201211E-05 * SGA_XIO4 + 1.13392726155493E-05 * FKI_XIO1 +
0.000341869789640295 * FKI_XIO2 + 0.00012525391925453 * FKI_XIO3 +
1.06920565803027E-05 * FKI_XIO4

< 1078 >HYO_EDKIO1_inter = + 0.000260611245832423 * OSA_XIO1 +
7.80628011645347E-05 * OSA_XIO2 + 0.000021493030882902 * OSA_XIO3 +
1.62412624097174E-05 * OSA_XIO4 + 0.000281407446159929 * KYO_XIO1 +
0.000120482737401701 * KYO_XIO2 + 3.70699679293681E-05 * KYO_XIO3 +
1.85063091312145E-05 * KYO_XIO4 + 0.000503435647602522 * NRA_XIO1 +
8.99592891715762E-05 * NRA_XIO2 + 2.94252157154023E-05 * NRA_XIO3 +

| | | | | | | | |
|--------------------------|---|----------|---|----------------------|---|----------|---|
| 1.86694006820177E-05 | * | NRA_XIO4 | + | 0.000463000324730848 | * | WAK_XIO1 | + |
| 0.000163387148835859 | * | WAK_XIO2 | + | 3.18296854870364E-05 | * | WAK_XIO3 | + |
| 1.95755155277446E-05 | * | WAK_XIO4 | + | 0.000464754608615479 | * | SGA_XIO1 | + |
| 0.000038623232687961 | * | SGA_XIO2 | + | 2.97308368195711E-05 | * | SGA_XIO3 | + |
| 1.51920444724235E-05 | * | SGA_XIO4 | + | 0.000340255775182104 | * | FKI_XIO1 | + |
| 0.000136159183532311 | * | FKI_XIO2 | + | 2.12637847512614E-05 | * | FKI_XIO3 | + |
| 2.03072702390251E-05 | * | FKI_XIO4 | | | | | |
| | | | | | | | |
| < 1079 >HYO_EDKIO2_inter | = | | + | 0.0181577045467322 | * | OSA_XIO1 | + |
| 0.0363388267454151 | * | OSA_XIO2 | + | 0.00707443114665139 | * | OSA_XIO3 | + |
| 0.0144635468347623 | * | OSA_XIO4 | + | 0.0104912476246252 | * | KYO_XIO1 | + |
| 0.0187437900138555 | * | KYO_XIO2 | + | 0.004751086555897478 | * | KYO_XIO3 | + |
| 0.00510553721212278 | * | KYO_XIO4 | + | 0.00613198147637853 | * | NRA_XIO1 | + |
| 0.0154140487272779 | * | NRA_XIO2 | + | 0.002480358268659 | * | NRA_XIO3 | + |
| 0.00405380343031637 | * | NRA_XIO4 | + | 0.0136862831814288 | * | WAK_XIO1 | + |
| 0.014232012579043 | * | WAK_XIO2 | + | 0.00340688135968556 | * | WAK_XIO3 | + |
| 0.00385405464692777 | * | WAK_XIO4 | + | 0.0113323467573253 | * | SGA_XIO1 | + |
| 0.0147247730174274 | * | SGA_XIO2 | + | 0.00285705290748638 | * | SGA_XIO3 | + |
| 0.00901362381963192 | * | SGA_XIO4 | + | 0.00648716850107039 | * | FKI_XIO1 | + |
| 0.00975953381598467 | * | FKI_XIO2 | + | 0.00178916754502852 | * | FKI_XIO3 | + |
| 0.00349390638993657 | * | FKI_XIO4 | | | | | |
| | | | | | | | |
| < 1080 >HYO_EDKIO3_inter | = | | + | 0.00207170972248531 | * | OSA_XIO1 | + |
| 0.00264269602041855 | * | OSA_XIO2 | + | 0.00329378548292669 | * | OSA_XIO3 | + |
| 0.0014468413943724 | * | OSA_XIO4 | + | 0.00186045634191587 | * | KYO_XIO1 | + |
| 0.00240118536768417 | * | KYO_XIO2 | + | 0.00274814395417619 | * | KYO_XIO3 | + |
| 0.00139200515727265 | * | KYO_XIO4 | + | 0.00172854625399081 | * | NRA_XIO1 | + |
| 0.00238689058471912 | * | NRA_XIO2 | + | 0.00243469000700574 | * | NRA_XIO3 | + |
| 0.00150552915352593 | * | NRA_XIO4 | + | 0.00180044228172933 | * | WAK_XIO1 | + |
| 0.00274373876429168 | * | WAK_XIO2 | + | 0.00390658155430962 | * | WAK_XIO3 | + |
| 0.00148210745255016 | * | WAK_XIO4 | + | 0.0018571366745652 | * | SGA_XIO1 | + |
| 0.00202468819822397 | * | SGA_XIO2 | + | 0.00228780323599872 | * | SGA_XIO3 | + |
| 0.0014745986805363 | * | SGA_XIO4 | + | 0.00175507149346191 | * | FKI_XIO1 | + |
| 0.00232978399085443 | * | FKI_XIO2 | + | 0.00259196998087196 | * | FKI_XIO3 | + |
| 0.00150851272362259 | * | FKI_XIO4 | | | | | |

| | | | | | | | |
|--------------------------|---|----------|----------------------|----------------------|----------|----------|---|
| < 1081 >HYO_EDKIO4_inter | = | + | 3.95262664468175E-07 | * | OSA_XIO1 | + | |
| 2.08524102086245E-05 | * | OSA_XIO2 | + | 7.08634905033207E-06 | * | OSA_XIO3 | + |
| 6.16375524222199E-06 | * | OSA_XIO4 | + | 3.17136587094236E-07 | * | KYO_XIO1 | + |
| 1.80646057626779E-05 | * | KYO_XIO2 | + | 7.48686022293829E-06 | * | KYO_XIO3 | + |
| 5.77284131346797E-06 | * | KYO_XIO4 | + | 3.42334017763678E-07 | * | NRA_XIO1 | + |
| 2.09447276744292E-05 | * | NRA_XIO2 | + | 7.04494701685685E-06 | * | NRA_XIO3 | + |
| 5.51352078935419E-06 | * | NRA_XIO4 | + | 7.99876653450821E-07 | * | WAK_XIO1 | + |
| 0.000010529972529331 | * | WAK_XIO2 | + | 8.73851566709929E-06 | * | WAK_XIO3 | + |
| 5.57821488052413E-06 | * | WAK_XIO4 | + | 9.65357855491633E-08 | * | SGA_XIO1 | + |
| 2.19892561482934E-05 | * | SGA_XIO2 | + | 6.61561179907175E-06 | * | SGA_XIO3 | + |
| 4.10885591490467E-06 | * | SGA_XIO4 | + | 1.67630690995727E-07 | * | FKI_XIO1 | + |
| 1.10988619950854E-05 | * | FKI_XIO2 | + | 9.25603743913832E-06 | * | FKI_XIO3 | + |
| 5.78794974797609E-06 | * | FKI_XIO4 | | | | | |

| | | | | | | | |
|--------------------------|---|----------|----------------------|----------------------|----------|----------|---|
| < 1082 >KYO_EDKIO1_inter | = | + | 7.43948508119023E-05 | * | OSA_XIO1 | + | |
| 3.05227777901713E-05 | * | OSA_XIO2 | + | 8.22443255265815E-06 | * | OSA_XIO3 | + |
| 6.26913838004763E-06 | * | OSA_XIO4 | + | 0.000261507346539377 | * | HYO_XIO1 | + |
| 5.57668993473707E-05 | * | HYO_XIO2 | + | 1.17745707333788E-05 | * | HYO_XIO3 | + |
| 6.8490413038772E-06 | * | HYO_XIO4 | + | 0.000109693950742227 | * | NRA_XIO1 | + |
| 2.32185626604599E-05 | * | NRA_XIO2 | + | 1.09146548499318E-05 | * | NRA_XIO3 | + |
| 6.8953368299146E-06 | * | NRA_XIO4 | + | 0.000131051329135288 | * | WAK_XIO1 | + |
| 0.000047997443998975 | * | WAK_XIO2 | + | 1.21263121021757E-05 | * | WAK_XIO3 | + |
| 7.40321702040993E-06 | * | WAK_XIO4 | + | 0.000185407073312544 | * | SGA_XIO1 | + |
| 1.59340005795317E-05 | * | SGA_XIO2 | + | 1.13519453237812E-05 | * | SGA_XIO3 | + |
| 6.19768941138528E-06 | * | SGA_XIO4 | + | 0.000101649170055168 | * | FKI_XIO1 | + |
| 0.000040398435849456 | * | FKI_XIO2 | + | 8.09504961645178E-06 | * | FKI_XIO3 | + |
| 7.72476506673868E-06 | * | FKI_XIO4 | | | | | |

| | | | | | | | |
|--------------------------|---|----------|---------------------|---------------------|----------|----------|---|
| < 1083 >KYO_EDKIO2_inter | = | + | 0.00765388793225347 | * | OSA_XIO1 | + | |
| 0.00870909325961622 | * | OSA_XIO2 | + | 0.00257743261240236 | * | OSA_XIO3 | + |
| 0.00246440183860657 | * | OSA_XIO4 | + | 0.0060183078580804 | * | HYO_XIO1 | + |
| 0.00570462899350271 | * | HYO_XIO2 | + | 0.00187489419807036 | * | HYO_XIO3 | + |
| 0.00204664374143058 | * | HYO_XIO4 | + | 0.00404955686651028 | * | NRA_XIO1 | + |
| 0.00713987954238116 | * | NRA_XIO2 | + | 0.00205082984213054 | * | NRA_XIO3 | + |
| 0.00189664328723907 | * | NRA_XIO4 | + | 0.00372203093361934 | * | WAK_XIO1 | + |
| 0.00297812147499953 | * | WAK_XIO2 | + | 0.00169095271824105 | * | WAK_XIO3 | + |

| | | | | | |
|---------------------------|------------|---|----------------------|------------|---|
| 0.00119169262314072 | * WAK_XIO4 | + | 0.0124566020735749 | * SGA_XIO1 | + |
| 0.00832427438951761 | * SGA_XIO2 | + | 0.00285230602651175 | * SGA_XIO3 | + |
| 0.0044574339795149 | * SGA_XIO4 | + | 0.0100467885011163 | * FKI_XIO1 | + |
| 0.00556008473596345 | * FKI_XIO2 | + | 0.00127059727436494 | * FKI_XIO3 | + |
| 0.00145676052497548 | * FKI_XIO4 | | | | |
| | | | | | |
| < 1084 > KYO_EDKIO3_inter | = | + | 0.000837881138629896 | * OSA_XIO1 | + |
| 0.00107956467661161 | * OSA_XIO2 | + | 0.00167913172109925 | * OSA_XIO3 | + |
| 0.00104900709718959 | * OSA_XIO4 | + | 0.000768588659842854 | * HYO_XIO1 | + |
| 0.00104062711950761 | * HYO_XIO2 | + | 0.00115384654927518 | * HYO_XIO3 | + |
| 0.00103450671969729 | * HYO_XIO4 | + | 0.000792814917683083 | * NRA_XIO1 | + |
| 0.00111898523381215 | * NRA_XIO2 | + | 0.0012091961178838 | * NRA_XIO3 | + |
| 0.00114827272357057 | * NRA_XIO4 | + | 0.000745064191811089 | * WAK_XIO1 | + |
| 0.000944595084552228 | * WAK_XIO2 | + | 0.0013671562320795 | * WAK_XIO3 | + |
| 0.0011121591202647 | * WAK_XIO4 | + | 0.000725209077519829 | * SGA_XIO1 | + |
| 0.000885937030262851 | * SGA_XIO2 | + | 0.00108442984804254 | * SGA_XIO3 | + |
| 0.000984708504522635 | * SGA_XIO4 | + | 0.000708431990966068 | * FKI_XIO1 | + |
| 0.00106610226979186 | * FKI_XIO2 | + | 0.0012593162899321 | * FKI_XIO3 | + |
| 0.00114896028027644 | * FKI_XIO4 | | | | |
| | | | | | |
| < 1085 > KYO_EDKIO4_inter | = | + | 6.05651720300514E-06 | * OSA_XIO1 | + |
| 4.04308227320964E-05 | * OSA_XIO2 | + | 3.77001670392937E-05 | * OSA_XIO3 | + |
| 6.26883955650375E-05 | * OSA_XIO4 | + | 8.6014763784477E-06 | * HYO_XIO1 | + |
| 3.16148480154111E-05 | * HYO_XIO2 | + | 4.07943770626304E-05 | * HYO_XIO3 | + |
| 5.59309082173395E-05 | * HYO_XIO4 | + | 1.89295616236948E-06 | * NRA_XIO1 | + |
| 3.26831046572332E-05 | * NRA_XIO2 | + | 3.60229911836748E-05 | * NRA_XIO3 | + |
| 5.45546668573544E-05 | * NRA_XIO4 | + | 8.86586146362123E-06 | * WAK_XIO1 | + |
| 0.000024989259800615 | * WAK_XIO2 | + | 4.85371590482372E-05 | * WAK_XIO3 | + |
| 5.17702476745823E-05 | * WAK_XIO4 | + | 1.9823004234229E-06 | * SGA_XIO1 | + |
| 3.12909832578184E-05 | * SGA_XIO2 | + | 3.64436971786492E-05 | * SGA_XIO3 | + |
| 4.83148616735112E-05 | * SGA_XIO4 | + | 5.47481980141249E-06 | * FKI_XIO1 | + |
| 2.60030687193376E-05 | * FKI_XIO2 | + | 3.91540899718724E-05 | * FKI_XIO3 | + |
| 5.47030088513069E-05 | * FKI_XIO4 | | | | |
| | | | | | |
| < 1086 > NRA_EDKIO1_inter | = | + | 0.000507060163802748 | * OSA_XIO1 | + |
| 0.000133862791635997 | * OSA_XIO2 | + | 2.25849683811138E-05 | * OSA_XIO3 | + |

| | | | | | | | |
|----------------------|---|----------|---|----------------------|---|----------|---|
| 1.82845422236688E-05 | * | OSA_XIO4 | + | 0.000983590139198492 | * | HYO_XIO1 | + |
| 0.000287900860473297 | * | HYO_XIO2 | + | 3.33030226530977E-05 | * | HYO_XIO3 | + |
| 1.99632176834463E-05 | * | HYO_XIO4 | + | 0.0008981857419916 | * | KYO_XIO1 | + |
| 0.000258931694199402 | * | KYO_XIO2 | + | 3.97812090329946E-05 | * | KYO_XIO3 | + |
| 2.13284233301394E-05 | * | KYO_XIO4 | + | 0.0012857534874254 | * | WAK_XIO1 | + |
| 0.000415816714158918 | * | WAK_XIO2 | + | 3.37392513162034E-05 | * | WAK_XIO3 | + |
| 0.000022209795693841 | * | WAK_XIO4 | + | 0.000920276627799488 | * | SGA_XIO1 | + |
| 8.48515463531041E-05 | * | SGA_XIO2 | + | 3.09920770843086E-05 | * | SGA_XIO3 | + |
| 1.82066055478699E-05 | * | SGA_XIO4 | + | 0.00101372247435224 | * | FKI_XIO1 | + |
| 0.000323015560599296 | * | FKI_XIO2 | + | 2.24498312252405E-05 | * | FKI_XIO3 | + |
| 2.25368596255617E-05 | * | FKI_XIO4 | | | | | |

| | | | | | | | |
|---------------------------|---|----------------------|---|----------------------|---|----------|---|
| < 1087 > NRA_EDKIO2_inter | = | + 0.0031968661738185 | * | OSA_XIO1 | + | | |
| 0.00602574043017765 | * | OSA_XIO2 | + | 0.00137029756111268 | * | OSA_XIO3 | + |
| 0.0012632136824824 | * | OSA_XIO4 | + | 0.000600841791367797 | * | HYO_XIO1 | + |
| 0.00294106755556414 | * | HYO_XIO2 | + | 0.000441165989777098 | * | HYO_XIO3 | + |
| 0.000587390307611097 | * | HYO_XIO4 | + | 0.000701983750465064 | * | KYO_XIO1 | + |
| 0.0159177354952522 | * | KYO_XIO2 | + | 0.00139728622219345 | * | KYO_XIO3 | + |
| 0.00119192792325261 | * | KYO_XIO4 | + | 0.00105403293069761 | * | WAK_XIO1 | + |
| 0.00205117502566357 | * | WAK_XIO2 | + | 0.000817794140018135 | * | WAK_XIO3 | + |
| 0.000639387455108937 | * | WAK_XIO4 | + | 0.000580617234821071 | * | SGA_XIO1 | + |
| 0.00351876133447619 | * | SGA_XIO2 | + | 0.000811000499379342 | * | SGA_XIO3 | + |
| 0.000696155652172714 | * | SGA_XIO4 | + | 0.000395003628289534 | * | FKI_XIO1 | + |
| 0.00179205507280673 | * | FKI_XIO2 | + | 0.000220026677310203 | * | FKI_XIO3 | + |
| 0.000272661204252494 | * | FKI_XIO4 | | | | | |

| | | | | | | | |
|---------------------------|---|------------------------|---|----------------------|---|----------|---|
| < 1088 > NRA_EDKIO3_inter | = | + 0.000119468128800723 | * | OSA_XIO1 | + | | |
| 0.00014054593055366 | * | OSA_XIO2 | + | 0.000184435710651325 | * | OSA_XIO3 | + |
| 0.000107170465335192 | * | OSA_XIO4 | + | 0.000108363880317376 | * | HYO_XIO1 | + |
| 0.000143797751930729 | * | HYO_XIO2 | + | 0.000129849060697968 | * | HYO_XIO3 | + |
| 0.000109380429183074 | * | HYO_XIO4 | + | 9.30279316155092E-05 | * | KYO_XIO1 | + |
| 0.000136554014941904 | * | KYO_XIO2 | + | 0.000154514634911559 | * | KYO_XIO3 | + |
| 9.53728279416865E-05 | * | KYO_XIO4 | + | 0.00010336816475311 | * | WAK_XIO1 | + |
| 0.000122072292123685 | * | WAK_XIO2 | + | 0.000166436852490165 | * | WAK_XIO3 | + |
| 0.00011225010344639 | * | WAK_XIO4 | + | 0.000110389264622968 | * | SGA_XIO1 | + |
| 0.000125944816680475 | * | SGA_XIO2 | + | 0.000137124367856067 | * | SGA_XIO3 | + |

| | | | | | |
|--------------------------|------------|---|----------------------|------------|---|
| 0.000110466060149206 | * SGA_XIO4 | + | 0.000102816552885126 | * FKI_XIO1 | + |
| 0.000145080335234705 | * FKI_XIO2 | + | 0.000155080188065465 | * FKI_XIO3 | + |
| 0.000106792945911056 | * FKI_XIO4 | | | | |
| | | | | | |
| < 1089 >NRA_EDKIO4_inter | = | + | 1.17342879226675E-07 | * OSA_XIO1 | + |
| 7.39093365358626E-07 | * OSA_XIO2 | + | 5.86476330375513E-07 | * OSA_XIO3 | + |
| 6.23276206715658E-07 | * OSA_XIO4 | + | 1.65835765790534E-07 | * HYO_XIO1 | + |
| 5.67789425531417E-07 | * HYO_XIO2 | + | 6.33900651597983E-07 | * HYO_XIO3 | + |
| 5.61565693227501E-07 | * HYO_XIO4 | + | 4.15525024389803E-08 | * KYO_XIO1 | + |
| 4.35132012177014E-07 | * KYO_XIO2 | + | 4.2203273467648E-07 | * KYO_XIO3 | + |
| 4.76812745476435E-07 | * KYO_XIO4 | + | 1.72557062979756E-07 | * WAK_XIO1 | + |
| 4.6690563448378E-07 | * WAK_XIO2 | + | 7.62521823899304E-07 | * WAK_XIO3 | + |
| 4.75428135672235E-07 | * WAK_XIO4 | + | 3.82900136342946E-08 | * SGA_XIO1 | + |
| 5.62071494101104E-07 | * SGA_XIO2 | + | 5.6630482503102E-07 | * SGA_XIO3 | + |
| 5.42839158508386E-07 | * SGA_XIO4 | + | 1.05400551125878E-07 | * FKI_XIO1 | + |
| 4.45944249411647E-07 | * FKI_XIO2 | + | 5.98370387326842E-07 | * FKI_XIO3 | + |
| 5.09385745595289E-07 | * FKI_XIO4 | | | | |
| | | | | | |
| < 1090 >WAK_EDKIO1_inter | = | + | 0.00104231077366829 | * OSA_XIO1 | + |
| 0.000334519772222302 | * OSA_XIO2 | + | 9.68509806108654E-05 | * OSA_XIO3 | + |
| 7.30149370765854E-05 | * OSA_XIO4 | + | 0.00233245118240991 | * HYO_XIO1 | + |
| 0.000696675197089464 | * HYO_XIO2 | + | 0.000140425960642871 | * HYO_XIO3 | + |
| 0.000078033535774213 | * HYO_XIO4 | + | 0.00113886463052569 | * KYO_XIO1 | + |
| 0.000544462635679939 | * KYO_XIO2 | + | 0.000168017386062285 | * KYO_XIO3 | + |
| 8.35372210288301E-05 | * KYO_XIO4 | + | 0.00191843821578556 | * NRA_XIO1 | + |
| 0.000457567597866948 | * NRA_XIO2 | + | 0.000135596567517392 | * NRA_XIO3 | + |
| 8.69913422946867E-05 | * NRA_XIO4 | + | 0.00149097390247147 | * SGA_XIO1 | + |
| 0.000148973651870227 | * SGA_XIO2 | + | 0.000133947928293073 | * SGA_XIO3 | + |
| 6.46545867012628E-05 | * SGA_XIO4 | + | 0.00121788465502986 | * FKI_XIO1 | + |
| 0.00069169015478086 | * FKI_XIO2 | + | 9.61702792638741E-05 | * FKI_XIO3 | + |
| 0.000092327464262933 | * FKI_XIO4 | | | | |
| | | | | | |
| < 1091 >WAK_EDKIO2_inter | = | + | 0.00751006538911701 | * OSA_XIO1 | + |
| 0.00941528717750481 | * OSA_XIO2 | + | 0.00139936014848067 | * OSA_XIO3 | + |
| 0.00118972119785006 | * OSA_XIO4 | + | 0.00608648452412857 | * HYO_XIO1 | + |
| 0.00392992537648391 | * HYO_XIO2 | + | 0.00180310279728003 | * HYO_XIO3 | + |

| | | | | | |
|--------------------------|------------|---|----------------------|------------|---|
| 0.0010988995193221 | * HYO_XIO4 | + | 0.00226656719620717 | * KYO_XIO1 | + |
| 0.00224032757440422 | * KYO_XIO2 | + | 0.000317284255771828 | * KYO_XIO3 | + |
| 0.000259568173226089 | * KYO_XIO4 | + | 0.00260412132026639 | * NRA_XIO1 | + |
| 0.00927465925672688 | * NRA_XIO2 | + | 0.000883257477778069 | * NRA_XIO3 | + |
| 0.000460945902434802 | * NRA_XIO4 | + | 0.00288544868209032 | * SGA_XIO1 | + |
| 0.00181277892832562 | * SGA_XIO2 | + | 0.000329589387160476 | * SGA_XIO3 | + |
| 0.000234108017786923 | * SGA_XIO4 | + | 0.00346161956102977 | * FKI_XIO1 | + |
| 0.00693314646999011 | * FKI_XIO2 | + | 0.000145343537416791 | * FKI_XIO3 | + |
| 0.000303714768795984 | * FKI_XIO4 | | | | |
| | | | | | |
| < 1092 >WAK_EDKIO3_inter | = | + | 0.000253790154602254 | * OSA_XIO1 | + |
| 0.000288526715897525 | * OSA_XIO2 | + | 0.000334108089038066 | * OSA_XIO3 | + |
| 0.000223313536561161 | * OSA_XIO4 | + | 0.000194722885981691 | * HYO_XIO1 | + |
| 0.000303505484965763 | * HYO_XIO2 | + | 0.000301968369990615 | * HYO_XIO3 | + |
| 0.000248630920271647 | * HYO_XIO4 | + | 0.000193844476439728 | * KYO_XIO1 | + |
| 0.000285684283917752 | * KYO_XIO2 | + | 0.000316529304796783 | * KYO_XIO3 | + |
| 0.000251356377061549 | * KYO_XIO4 | + | 0.000194032890129793 | * NRA_XIO1 | + |
| 0.000300085327734445 | * NRA_XIO2 | + | 0.000290606537565037 | * NRA_XIO3 | + |
| 0.000248030598520813 | * NRA_XIO4 | + | 0.000216397758684297 | * SGA_XIO1 | + |
| 0.000246349814856339 | * SGA_XIO2 | + | 0.000259446751974121 | * SGA_XIO3 | + |
| 0.00026870407598149 | * SGA_XIO4 | + | 0.000184326647520758 | * FKI_XIO1 | + |
| 0.000305789626381248 | * FKI_XIO2 | + | 0.000357957179288814 | * FKI_XIO3 | + |
| 0.000229016505384914 | * FKI_XIO4 | | | | |
| | | | | | |
| < 1093 >WAK_EDKIO4_inter | = | + | 6.22915392507352E-06 | * OSA_XIO1 | + |
| 3.41996053980134E-05 | * OSA_XIO2 | + | 3.16163562205828E-05 | * OSA_XIO3 | + |
| 1.82145126065278E-05 | * OSA_XIO4 | + | 8.88560384899492E-06 | * HYO_XIO1 | + |
| 2.55659013542021E-05 | * HYO_XIO2 | + | 3.41807716624332E-05 | * HYO_XIO3 | + |
| 1.67184868682025E-05 | * HYO_XIO4 | + | 2.14171023702654E-06 | * KYO_XIO1 | + |
| 1.83805594476381E-05 | * KYO_XIO2 | + | 2.26792709034044E-05 | * KYO_XIO3 | + |
| 1.13304208953019E-05 | * KYO_XIO4 | + | 1.90985003693204E-06 | * NRA_XIO1 | + |
| 2.55721211928056E-05 | * NRA_XIO2 | + | 2.97118988546501E-05 | * NRA_XIO3 | + |
| 1.60016272473768E-05 | * NRA_XIO4 | + | 2.04436647950544E-06 | * SGA_XIO1 | + |
| 0.000024269354173528 | * SGA_XIO2 | + | 3.06048638870145E-05 | * SGA_XIO3 | + |
| 1.91406566756721E-05 | * SGA_XIO4 | + | 5.66300522701442E-06 | * FKI_XIO1 | + |
| 2.15534485116418E-05 | * FKI_XIO2 | + | 3.18387062641662E-05 | * FKI_XIO3 | + |

1.31178821865431E-05 * FKI_XIO4

< 1094 >SGA_EDKIO1_inter = + 0.00234545989946184 * OSA_XIO1 +
0.00025123647435148 * OSA_XIO2 + 5.65816457079923E-05 * OSA_XIO3 +
4.81827308163363E-05 * OSA_XIO4 + 0.00251513936935267 * HYO_XIO1 +
0.000622555653746788 * HYO_XIO2 + 8.47059653494379E-05 * HYO_XIO3 +
5.16822673535459E-05 * HYO_XIO4 + 0.00172561394697692 * KYO_XIO1 +
0.000494681519903949 * KYO_XIO2 + 9.92866074802768E-05 * KYO_XIO3 +
5.55904015130957E-05 * KYO_XIO4 + 0.00173282873736113 * NRA_XIO1 +
0.000409393883845177 * NRA_XIO2 + 8.89739070139407E-05 * NRA_XIO3 +
6.58494855784247E-05 * NRA_XIO4 + 0.00202082555905762 * WAK_XIO1 +
0.000673487710163074 * WAK_XIO2 + 8.43846018656609E-05 * WAK_XIO3 +
5.92905710585418E-05 * WAK_XIO4 + 0.00199188903385823 * FKI_XIO1 +
0.000585380297116419 * FKI_XIO2 + 5.64110054007862E-05 * FKI_XIO3 +
6.02185561297363E-05 * FKI_XIO4

< 1095 >SGA_EDKIO2_inter = + 0.00422234082806017 * OSA_XIO1 +
0.00961963205037118 * OSA_XIO2 + 0.00156062383175928 * OSA_XIO3 +
0.00265918299168717 * OSA_XIO4 + 0.0021794896931212 * HYO_XIO1 +
0.00693907892126561 * HYO_XIO2 + 0.00196792538737453 * HYO_XIO3 +
0.00210583888367967 * HYO_XIO4 + 0.00274329488567042 * KYO_XIO1 +
0.0170303363742497 * KYO_XIO2 + 0.00274325980510201 * KYO_XIO3 +
0.0041655839869177 * KYO_XIO4 + 0.00210731887775325 * NRA_XIO1 +
0.00697110800824786 * NRA_XIO2 + 0.000789951643818189 * NRA_XIO3 +
0.00193917366132453 * NRA_XIO4 + 0.0021392029634285 * WAK_XIO1 +
0.0045320874202959 * WAK_XIO2 + 0.000917401561098799 * WAK_XIO3 +
0.00207709352328892 * WAK_XIO4 + 0.00200324651285392 * FKI_XIO1 +
0.0175888776545721 * FKI_XIO2 + 0.00106416035260232 * FKI_XIO3 +
0.00243244585572249 * FKI_XIO4

< 1096 >SGA_EDKIO3_inter = + 0.000242594972745538 * OSA_XIO1 +
0.00017616951185144 * OSA_XIO2 + 0.000396286738896053 * OSA_XIO3 +
0.000138719135308297 * OSA_XIO4 + 0.000218120244849058 * HYO_XIO1 +
0.000160150643387104 * HYO_XIO2 + 0.000318791028993931 * HYO_XIO3 +
0.00014813315179353 * HYO_XIO4 + 0.000212462254625987 * KYO_XIO1 +
0.000153940560512049 * KYO_XIO2 + 0.000335219240040348 * KYO_XIO3 +

| | | | | | |
|--------------------------|------------|---|----------------------|------------|---|
| 0.000137917096780371 | * KYO_XIO4 | + | 0.000217762062028161 | * NRA_XIO1 | + |
| 0.000174766966751276 | * NRA_XIO2 | + | 0.000361863093720408 | * NRA_XIO3 | + |
| 0.000134184529963424 | * NRA_XIO4 | + | 0.000183001488867869 | * WAK_XIO1 | + |
| 0.000157836955276567 | * WAK_XIO2 | + | 0.00034649512928267 | * WAK_XIO3 | + |
| 0.000144636692976286 | * WAK_XIO4 | + | 0.000209824960227536 | * FKI_XIO1 | + |
| 0.00015807402593129 | * FKI_XIO2 | + | 0.000310234701562509 | * FKI_XIO3 | + |
| 0.000142456803501426 | * FKI_XIO4 | | | | |
| | | | | | |
| < 1097 >SGA_EDKIO4_inter | = | + | 8.16171848722863E-06 | * OSA_XIO1 | + |
| 5.07862236893961E-05 | * OSA_XIO2 | + | 4.16722116628973E-05 | * OSA_XIO3 | + |
| 2.56991349094584E-05 | * OSA_XIO4 | + | 1.15536015133262E-05 | * HYO_XIO1 | + |
| 0.000038956783675659 | * HYO_XIO2 | + | 0.000045043860485664 | * HYO_XIO3 | + |
| 2.35100721175246E-05 | * HYO_XIO4 | + | 2.87535345577549E-06 | * KYO_XIO1 | + |
| 2.96108971326961E-05 | * KYO_XIO2 | + | 3.02298400273297E-05 | * KYO_XIO3 | + |
| 1.66933942061041E-05 | * KYO_XIO4 | + | 2.58679550314438E-06 | * NRA_XIO1 | + |
| 3.95723407128988E-05 | * NRA_XIO2 | + | 0.000039160292110662 | * NRA_XIO3 | + |
| 2.25576695191145E-05 | * NRA_XIO4 | + | 1.19838374710447E-05 | * WAK_XIO1 | + |
| 3.21380169175853E-05 | * WAK_XIO2 | + | 5.41375026532717E-05 | * WAK_XIO3 | + |
| 0.000017338366067579 | * WAK_XIO4 | + | 7.34673966234671E-06 | * FKI_XIO1 | + |
| 3.09854260087928E-05 | * FKI_XIO2 | + | 4.25320383185675E-05 | * FKI_XIO3 | + |
| 1.89925285932909E-05 | * FKI_XIO4 | | | | |
| | | | | | |
| < 1098 >FKI_EDKIO1_inter | = | + | 0.000663414939595575 | * OSA_XIO1 | + |
| 0.000152651208808908 | * OSA_XIO2 | + | 3.63860322560654E-05 | * OSA_XIO3 | + |
| 2.99010021412014E-05 | * OSA_XIO4 | + | 0.000959183349499415 | * HYO_XIO1 | + |
| 0.000371320002333471 | * HYO_XIO2 | + | 5.35588201433169E-05 | * HYO_XIO3 | + |
| 3.19729697634614E-05 | * HYO_XIO4 | + | 0.000638448894123448 | * KYO_XIO1 | + |
| 0.000293945952024551 | * KYO_XIO2 | + | 6.36629800324813E-05 | * KYO_XIO3 | + |
| 3.45406272489047E-05 | * KYO_XIO4 | + | 0.000710703250956091 | * NRA_XIO1 | + |
| 0.000249778875628961 | * NRA_XIO2 | + | 5.60005185621442E-05 | * NRA_XIO3 | + |
| 4.01938555544494E-05 | * NRA_XIO4 | + | 0.000589923418148658 | * WAK_XIO1 | + |
| 0.000414734992309856 | * WAK_XIO2 | + | 5.41694776542817E-05 | * WAK_XIO3 | + |
| 3.68805171374782E-05 | * WAK_XIO4 | + | 0.000784039158903303 | * SGA_XIO1 | + |
| 0.000068605523788237 | * SGA_XIO2 | + | 4.98732076595046E-05 | * SGA_XIO3 | + |
| 2.70652090513093E-05 | * SGA_XIO4 | | | | |

< 1099 >FKI_EDKIO2_inter = + 0.00168593681485436 * OSA_XIO1 +
 0.00436603261954632 * OSA_XIO2 + 0.000661627081542238 * OSA_XIO3 +
 0.00101806679297986 * OSA_XIO4 + 0.000761984319102307 * HYO_XIO1 +
 0.0028066122589205 * HYO_XIO2 + 0.000209787911413525 * HYO_XIO3 +
 0.000595474130219948 * HYO_XIO4 + 0.000614914495372825 * KYO_XIO1 +
 0.00514272426886171 * KYO_XIO2 + 0.000640419296123798 * KYO_XIO3 +
 0.000571621033535954 * KYO_XIO4 + 0.000305948096287918 * NRA_XIO1 +
 0.00323261321030179 * NRA_XIO2 + 0.000218753328956579 * NRA_XIO3 +
 0.000341049040178067 * NRA_XIO4 + 0.0006771038672076 * WAK_XIO1 +
 0.00332621373652587 * WAK_XIO2 + 0.000258695045057168 * WAK_XIO3 +
 0.000440987144813138 * WAK_XIO4 + 0.00104234463950082 * SGA_XIO1 +
 0.00627249976485872 * SGA_XIO2 + 0.000559365850574615 * SGA_XIO3 +
 0.000525896636684357 * SGA_XIO4

< 1100 >FKI_EDKIO3_inter = + 0.00228265290474601 * OSA_XIO1 +
 0.00304807497823837 * OSA_XIO2 + 0.00226770844241808 * OSA_XIO3 +
 0.0032271507406903 * OSA_XIO4 + 0.00114630374136642 * HYO_XIO1 +
 0.003480786181842 * HYO_XIO2 + 0.00245401986160084 * HYO_XIO3 +
 0.00339724347269691 * HYO_XIO4 + 0.000949401200774646 * KYO_XIO1 +
 0.00295601589872885 * KYO_XIO2 + 0.00274657980634316 * KYO_XIO3 +
 0.0036211943136116 * KYO_XIO4 + 0.00107543081278706 * NRA_XIO1 +
 0.00287045948747023 * NRA_XIO2 + 0.0021902033436312 * NRA_XIO3 +
 0.00327868315672866 * NRA_XIO4 + 0.00102919086079729 * WAK_XIO1 +
 0.00189371523904401 * WAK_XIO2 + 0.00144006272069828 * WAK_XIO3 +
 0.00169664553813738 * WAK_XIO4 + 0.00155039306609952 * SGA_XIO1 +
 0.00294181101889286 * SGA_XIO2 + 0.00224339384006008 * SGA_XIO3 +
 0.00403162393825928 * SGA_XIO4

< 1101 >FKI_EDKIO4_inter = + 2.41694070637102E-08 * OSA_XIO1 +
 1.08938195584979E-07 * OSA_XIO2 + 1.230740207912E-07 * OSA_XIO3 +
 7.23432181452375E-08 * OSA_XIO4 + 3.4843495086982E-08 * HYO_XIO1 +
 7.75363747385997E-08 * HYO_XIO2 + 1.33099657254079E-07 * HYO_XIO3 +
 6.63953301137809E-08 * HYO_XIO4 + 8.02377101908764E-09 * KYO_XIO1 +
 4.92196975972921E-08 * KYO_XIO2 + 8.73793846278295E-08 * KYO_XIO3 +
 4.49491694197243E-08 * KYO_XIO4 + 7.06112709230572E-09 * NRA_XIO1 +
 7.52148860263895E-08 * NRA_XIO2 + 1.15791030262821E-07 * NRA_XIO3 +

| | | | | | |
|----------------------|------------|---|----------------------|------------|---|
| 6.35268252704586E-08 | * NRA_XIO4 | + | 3.48819381746542E-08 | * WAK_XIO1 | + |
| 7.45809419633503E-08 | * WAK_XIO2 | + | 1.60277832644128E-07 | * WAK_XIO3 | + |
| 4.72063435830466E-08 | * WAK_XIO4 | + | 7.98463727867723E-09 | * SGA_XIO1 | + |
| 6.79434880320548E-08 | * SGA_XIO2 | + | 1.19494162084385E-07 | * SGA_XIO3 | + |
| 7.60703999215301E-08 | * SGA_XIO4 | | | | |

(11) 県別域内移出(中間財・IOベース)

<1102>OSA_EDKIO_inter = OSA_EDKIO1_inter + OSA_EDKIO2_inter
+ OSA_EDKIO3_inter + OSA_EDKIO4_inter

<1103>HYO_EDKIO_inter = HYO_EDKIO1_inter + HYO_EDKIO2_inter
+ HYO_EDKIO3_inter + HYO_EDKIO4_inter

<1104>KYO_EDKIO_inter = KYO_EDKIO1_inter + KYO_EDKIO2_inter
+ KYO_EDKIO3_inter + KYO_EDKIO4_inter

<1105>NRA_EDKIO_inter = NRA_EDKIO1_inter + NRA_EDKIO2_inter
+ NRA_EDKIO3_inter + NRA_EDKIO4_inter

<1106>WAK_EDKIO_inter = WAK_EDKIO1_inter + WAK_EDKIO2_inter
+ WAK_EDKIO3_inter + WAK_EDKIO4_inter

<1107>SGA_EDKIO_inter = SGA_EDKIO1_inter + SGA_EDKIO2_inter
+ SGA_EDKIO3_inter + SGA_EDKIO4_inter

<1108>FKI_EDKIO_inter = FKI_EDKIO1_inter + FKI_EDKIO2_inter
+ FKI_EDKIO3_inter + FKI_EDKIO4_inter

(12) 県別産業別域内移入(中間財・IOベース)

| | | | | | |
|--------------------------|------------|----------------------|----------------------|------------|---|
| < 1109 >OSA_MDKIO1_inter | = | 0.000260611245832423 | * OSA_XIO1 | + | |
| 0.0181577045467322 | * OSA_XIO1 | + | 0.00207170972248531 | * OSA_XIO1 | + |
| 3.95262664468175E-07 | * OSA_XIO1 | + | 7.43948508119023E-05 | * OSA_XIO1 | + |
| 0.00765388793225347 | * OSA_XIO1 | + | 0.000837881138629896 | * OSA_XIO1 | + |
| 6.05651720300514E-06 | * OSA_XIO1 | + | 0.000507060163802748 | * OSA_XIO1 | + |
| 0.0031968661738185 | * OSA_XIO1 | + | 0.000119468128800723 | * OSA_XIO1 | + |
| 1.17342879226675E-07 | * OSA_XIO1 | + | 0.00104231077366829 | * OSA_XIO1 | + |
| 0.00751006538911701 | * OSA_XIO1 | + | 0.000253790154602254 | * OSA_XIO1 | + |
| 6.22915392507352E-06 | * OSA_XIO1 | + | 0.00234545989946184 | * OSA_XIO1 | + |
| 0.00422234082806017 | * OSA_XIO1 | + | 0.000242594972745538 | * OSA_XIO1 | + |
| 8.16171848722863E-06 | * OSA_XIO1 | + | 0.000663414939595575 | * OSA_XIO1 | + |

| | | | | | | | |
|--------------------------|---|----------------------|---|----------------------|---|----------|---|
| 0.00168593681485436 | * | OSA_XIO1 | + | 0.00228265290474601 | * | OSA_XIO1 | + |
| 2.41694070637102E-08 | * | OSA_XIO1 | | | | | |
| | | | | | | | |
| < 1110 >OSA_MDKIO2_inter | = | 7.80628011645347E-05 | * | OSA_XIO2 | + | | |
| 0.0363388267454151 | * | OSA_XIO2 | + | 0.00264269602041855 | * | OSA_XIO2 | + |
| 2.08524102086245E-05 | * | OSA_XIO2 | + | 3.05227777901713E-05 | * | OSA_XIO2 | + |
| 0.00870909325961622 | * | OSA_XIO2 | + | 0.00107956467661161 | * | OSA_XIO2 | + |
| 4.04308227320964E-05 | * | OSA_XIO2 | + | 0.000133862791635997 | * | OSA_XIO2 | + |
| 0.00602574043017765 | * | OSA_XIO2 | + | 0.00014054593055366 | * | OSA_XIO2 | + |
| 7.39093365358626E-07 | * | OSA_XIO2 | + | 0.000334519772222302 | * | OSA_XIO2 | + |
| 0.00941528717750481 | * | OSA_XIO2 | + | 0.000288526715897525 | * | OSA_XIO2 | + |
| 3.41996053980134E-05 | * | OSA_XIO2 | + | 0.00025123647435148 | * | OSA_XIO2 | + |
| 0.00961963205037118 | * | OSA_XIO2 | + | 0.00017616951185144 | * | OSA_XIO2 | + |
| 5.07862236893961E-05 | * | OSA_XIO2 | + | 0.000152651208808908 | * | OSA_XIO2 | + |
| 0.00436603261954632 | * | OSA_XIO2 | + | 0.00304807497823837 | * | OSA_XIO2 | + |
| 1.08938195584979E-07 | * | OSA_XIO2 | | | | | |
| | | | | | | | |
| < 1111 >OSA_MDKIO3_inter | = | 0.000021493030882902 | * | OSA_XIO3 | + | | |
| 0.00707443114665139 | * | OSA_XIO3 | + | 0.00329378548292669 | * | OSA_XIO3 | + |
| 7.08634905033207E-06 | * | OSA_XIO3 | + | 8.22443255265815E-06 | * | OSA_XIO3 | + |
| 0.00257743261240236 | * | OSA_XIO3 | + | 0.00167913172109925 | * | OSA_XIO3 | + |
| 3.77001670392937E-05 | * | OSA_XIO3 | + | 2.25849683811138E-05 | * | OSA_XIO3 | + |
| 0.00137029756111268 | * | OSA_XIO3 | + | 0.000184435710651325 | * | OSA_XIO3 | + |
| 5.86476330375513E-07 | * | OSA_XIO3 | + | 9.68509806108654E-05 | * | OSA_XIO3 | + |
| 0.00139936014848067 | * | OSA_XIO3 | + | 0.000334108089038066 | * | OSA_XIO3 | + |
| 3.16163562205828E-05 | * | OSA_XIO3 | + | 5.65816457079923E-05 | * | OSA_XIO3 | + |
| 0.00156062383175928 | * | OSA_XIO3 | + | 0.000396286738896053 | * | OSA_XIO3 | + |
| 4.16722116628973E-05 | * | OSA_XIO3 | + | 3.63860322560654E-05 | * | OSA_XIO3 | + |
| 0.000661627081542238 | * | OSA_XIO3 | + | 0.00226770844241808 | * | OSA_XIO3 | + |
| 1.230740207912E-07 | * | OSA_XIO3 | | | | | |
| | | | | | | | |
| < 1112 >OSA_MDKIO4_inter | = | 1.62412624097174E-05 | * | OSA_XIO4 | + | | |
| 0.0144635468347623 | * | OSA_XIO4 | + | 0.0014468413943724 | * | OSA_XIO4 | + |
| 6.16375524222199E-06 | * | OSA_XIO4 | + | 6.26913838004763E-06 | * | OSA_XIO4 | + |
| 0.00246440183860657 | * | OSA_XIO4 | + | 0.00104900709718959 | * | OSA_XIO4 | + |
| 6.26883955650375E-05 | * | OSA_XIO4 | + | 1.82845422236688E-05 | * | OSA_XIO4 | + |

| | | | | | | | |
|--------------------------|---|----------------------|---|----------------------|---|----------|---|
| 0.0012632136824824 | * | OSA_XIO4 | + | 0.000107170465335192 | * | OSA_XIO4 | + |
| 6.23276206715658E-07 | * | OSA_XIO4 | + | 7.30149370765854E-05 | * | OSA_XIO4 | + |
| 0.00118972119785006 | * | OSA_XIO4 | + | 0.000223313536561161 | * | OSA_XIO4 | + |
| 1.82145126065278E-05 | * | OSA_XIO4 | + | 4.81827308163363E-05 | * | OSA_XIO4 | + |
| 0.00265918299168717 | * | OSA_XIO4 | + | 0.000138719135308297 | * | OSA_XIO4 | + |
| 2.56991349094584E-05 | * | OSA_XIO4 | + | 2.99010021412014E-05 | * | OSA_XIO4 | + |
| 0.00101806679297986 | * | OSA_XIO4 | + | 0.0032271507406903 | * | OSA_XIO4 | + |
| 7.23432181452375E-08 | * | OSA_XIO4 | | | | | |
| | | | | | | | |
| < 1113 >HYO_MDKIO1_inter | = | 0.00698724568307008 | * | HYO_XIO1 | + | | |
| 0.0216542080375145 | * | HYO_XIO1 | + | 0.012310939878187 | * | HYO_XIO1 | + |
| 2.06917805371106E-05 | * | HYO_XIO1 | + | 0.000261507346539377 | * | HYO_XIO1 | + |
| 0.0060183078580804 | * | HYO_XIO1 | + | 0.000768588659842854 | * | HYO_XIO1 | + |
| 8.6014763784477E-06 | * | HYO_XIO1 | + | 0.000983590139198492 | * | HYO_XIO1 | + |
| 0.000600841791367797 | * | HYO_XIO1 | + | 0.000108363880317376 | * | HYO_XIO1 | + |
| 1.65835765790534E-07 | * | HYO_XIO1 | + | 0.00233245118240991 | * | HYO_XIO1 | + |
| 0.00608648452412857 | * | HYO_XIO1 | + | 0.000194722885981691 | * | HYO_XIO1 | + |
| 8.88560384899492E-06 | * | HYO_XIO1 | + | 0.00251513936935267 | * | HYO_XIO1 | + |
| 0.0021794896931212 | * | HYO_XIO1 | + | 0.000218120244849058 | * | HYO_XIO1 | + |
| 1.15536015133262E-05 | * | HYO_XIO1 | + | 0.000959183349499415 | * | HYO_XIO1 | + |
| 0.000761984319102307 | * | HYO_XIO1 | + | 0.00114630374136642 | * | HYO_XIO1 | + |
| 3.4843495086982E-08 | * | HYO_XIO1 | | | | | |
| | | | | | | | |
| < 1114 >HYO_MDKIO2_inter | = | 8.53603087478493E-05 | * | HYO_XIO2 | + | | |
| 0.0362577480977624 | * | HYO_XIO2 | + | 0.021282426335782 | * | HYO_XIO2 | + |
| 0.00065176755741515 | * | HYO_XIO2 | + | 5.57668993473707E-05 | * | HYO_XIO2 | + |
| 0.00570462899350271 | * | HYO_XIO2 | + | 0.00104062711950761 | * | HYO_XIO2 | + |
| 3.16148480154111E-05 | * | HYO_XIO2 | + | 0.000287900860473297 | * | HYO_XIO2 | + |
| 0.00294106755556414 | * | HYO_XIO2 | + | 0.000143797751930729 | * | HYO_XIO2 | + |
| 5.67789425531417E-07 | * | HYO_XIO2 | + | 0.000696675197089464 | * | HYO_XIO2 | + |
| 0.00392992537648391 | * | HYO_XIO2 | + | 0.000303505484965763 | * | HYO_XIO2 | + |
| 2.55659013542021E-05 | * | HYO_XIO2 | + | 0.000622555653746788 | * | HYO_XIO2 | + |
| 0.00693907892126561 | * | HYO_XIO2 | + | 0.000160150643387104 | * | HYO_XIO2 | + |
| 0.000038956783675659 | * | HYO_XIO2 | + | 0.000371320002333471 | * | HYO_XIO2 | + |
| 0.0028066122589205 | * | HYO_XIO2 | + | 0.003480786181842 | * | HYO_XIO2 | + |
| 7.75363747385997E-08 | * | HYO_XIO2 | | | | | |

< 1115 >HYO_MDKIO3_inter = 2.67052851844113E-05 * HYO_XIO3 +
 0.0109577552190934 * HYO_XIO3 + 0.0341339191546936 * HYO_XIO3 +
 7.54408716974662E-05 * HYO_XIO3 + 1.17745707333788E-05 * HYO_XIO3 +
 0.00187489419807036 * HYO_XIO3 + 0.00115384654927518 * HYO_XIO3 +
 4.07943770626304E-05 * HYO_XIO3 + 3.33030226530977E-05 * HYO_XIO3 +
 0.000441165989777098 * HYO_XIO3 + 0.000129849060697968 * HYO_XIO3 +
 6.33900651597983E-07 * HYO_XIO3 + 0.000140425960642871 * HYO_XIO3 +
 0.00180310279728003 * HYO_XIO3 + 0.000301968369990615 * HYO_XIO3 +
 3.41807716624332E-05 * HYO_XIO3 + 8.47059653494379E-05 * HYO_XIO3 +
 0.00196792538737453 * HYO_XIO3 + 0.000318791028993931 * HYO_XIO3 +
 0.000045043860485664 * HYO_XIO3 + 5.35588201433169E-05 * HYO_XIO3 +
 0.000209787911413525 * HYO_XIO3 + 0.00245401986160084 * HYO_XIO3 +
 1.33099657254079E-07 * HYO_XIO3

< 1116 >HYO_MDKIO4_inter = 1.47576965583993E-05 * HYO_XIO4 +
 0.0149770798160692 * HYO_XIO4 + 0.022878572350791 * HYO_XIO4 +
 0.000013372839264771 * HYO_XIO4 + 6.8490413038772E-06 * HYO_XIO4 +
 0.00204664374143058 * HYO_XIO4 + 0.00103450671969729 * HYO_XIO4 +
 5.59309082173395E-05 * HYO_XIO4 + 1.99632176834463E-05 * HYO_XIO4 +
 0.000587390307611097 * HYO_XIO4 + 0.000109380429183074 * HYO_XIO4 +
 5.61565693227501E-07 * HYO_XIO4 + 0.000078033535774213 * HYO_XIO4 +
 0.0010988995193221 * HYO_XIO4 + 0.000248630920271647 * HYO_XIO4 +
 1.67184868682025E-05 * HYO_XIO4 + 5.16822673535459E-05 * HYO_XIO4 +
 0.00210583888367967 * HYO_XIO4 + 0.00014813315179353 * HYO_XIO4 +
 2.35100721175246E-05 * HYO_XIO4 + 3.19729697634614E-05 * HYO_XIO4 +
 0.000595474130219948 * HYO_XIO4 + 0.00339724347269691 * HYO_XIO4 +
 6.63953301137809E-08 * HYO_XIO4

< 1117 >KYO_MDKIO1_inter = 0.00475908898646009 * KYO_XIO1 +
 0.012482506254864 * KYO_XIO1 + 0.00964122414623298 * KYO_XIO1 +
 1.50444287246266E-05 * KYO_XIO1 + 0.000281407446159929 * KYO_XIO1 +
 0.0104912476246252 * KYO_XIO1 + 0.00186045634191587 * KYO_XIO1 +
 3.17136587094236E-07 * KYO_XIO1 + 0.0008981857419916 * KYO_XIO1 +
 0.000701983750465064 * KYO_XIO1 + 9.30279316155092E-05 * KYO_XIO1 +
 4.15525024389803E-08 * KYO_XIO1 + 0.00113886463052569 * KYO_XIO1 +

| | | | | | |
|----------------------|------------|---|----------------------|------------|---|
| 0.00226656719620717 | * KYO_XIO1 | + | 0.000193844476439728 | * KYO_XIO1 | + |
| 2.14171023702654E-06 | * KYO_XIO1 | + | 0.00172561394697692 | * KYO_XIO1 | + |
| 0.00274329488567042 | * KYO_XIO1 | + | 0.000212462254625987 | * KYO_XIO1 | + |
| 2.87535345577549E-06 | * KYO_XIO1 | + | 0.000638448894123448 | * KYO_XIO1 | + |
| 0.000614914495372825 | * KYO_XIO1 | + | 0.000949401200774646 | * KYO_XIO1 | + |
| 8.02377101908764E-09 | * KYO_XIO1 | | | | |

| | | | | | |
|--------------------------|------------|----------------------|----------------------|------------|---|
| < 1118 >KYO_MDKIO2_inter | = | 6.72713632585698E-05 | * KYO_XIO2 | + | |
| 0.0457368508349352 | * KYO_XIO2 | + | 0.0184789533390815 | * KYO_XIO2 | + |
| 0.000641736655976826 | * KYO_XIO2 | + | 0.000120482737401701 | * KYO_XIO2 | + |
| 0.0187437900138555 | * KYO_XIO2 | + | 0.00240118536768417 | * KYO_XIO2 | + |
| 1.80646057626779E-05 | * KYO_XIO2 | + | 0.000258931694199402 | * KYO_XIO2 | + |
| 0.0159177354952522 | * KYO_XIO2 | + | 0.000136554014941904 | * KYO_XIO2 | + |
| 4.35132012177014E-07 | * KYO_XIO2 | + | 0.000544462635679939 | * KYO_XIO2 | + |
| 0.00224032757440422 | * KYO_XIO2 | + | 0.000285684283917752 | * KYO_XIO2 | + |
| 1.83805594476381E-05 | * KYO_XIO2 | + | 0.000494681519903949 | * KYO_XIO2 | + |
| 0.0170303363742497 | * KYO_XIO2 | + | 0.000153940560512049 | * KYO_XIO2 | + |
| 2.96108971326961E-05 | * KYO_XIO2 | + | 0.000293945952024551 | * KYO_XIO2 | + |
| 0.00514272426886171 | * KYO_XIO2 | + | 0.00295601589872885 | * KYO_XIO2 | + |
| 4.92196975972921E-08 | * KYO_XIO2 | | | | |

| | | | | | |
|--------------------------|------------|----------------------|----------------------|------------|---|
| < 1119 >KYO_MDKIO3_inter | = | 2.33152794863491E-05 | * KYO_XIO3 | + | |
| 0.0119808048869158 | * KYO_XIO3 | + | 0.0309293129019169 | * KYO_XIO3 | + |
| 6.59521338455852E-05 | * KYO_XIO3 | + | 3.70699679293681E-05 | * KYO_XIO3 | + |
| 0.00475108655897478 | * KYO_XIO3 | + | 0.00274814395417619 | * KYO_XIO3 | + |
| 7.48686022293829E-06 | * KYO_XIO3 | + | 3.97812090329946E-05 | * KYO_XIO3 | + |
| 0.00139728622219345 | * KYO_XIO3 | + | 0.000154514634911559 | * KYO_XIO3 | + |
| 4.2203273467648E-07 | * KYO_XIO3 | + | 0.000168017386062285 | * KYO_XIO3 | + |
| 0.000317284255771828 | * KYO_XIO3 | + | 0.000316529304796783 | * KYO_XIO3 | + |
| 2.26792709034044E-05 | * KYO_XIO3 | + | 9.92866074802768E-05 | * KYO_XIO3 | + |
| 0.00274325980510201 | * KYO_XIO3 | + | 0.000335219240040348 | * KYO_XIO3 | + |
| 3.02298400273297E-05 | * KYO_XIO3 | + | 6.36629800324813E-05 | * KYO_XIO3 | + |
| 0.000640419296123798 | * KYO_XIO3 | + | 0.00274657980634316 | * KYO_XIO3 | + |
| 8.73793846278295E-08 | * KYO_XIO3 | | | | |

| | | | | |
|--------------------------|---|----------------------|------------|---|
| < 1120 >KYO_MDKIO4_inter | = | 1.44139409523753E-05 | * KYO_XIO4 | + |
|--------------------------|---|----------------------|------------|---|

| | | | | | |
|----------------------|------------|---|----------------------|------------|---|
| 0.0163012776255725 | * KYO_XIO4 | + | 0.0192557828823711 | * KYO_XIO4 | + |
| 9.20705468273349E-06 | * KYO_XIO4 | + | 1.85063091312145E-05 | * KYO_XIO4 | + |
| 0.00510553721212278 | * KYO_XIO4 | + | 0.00139200515727265 | * KYO_XIO4 | + |
| 5.77284131346797E-06 | * KYO_XIO4 | + | 2.13284233301394E-05 | * KYO_XIO4 | + |
| 0.00119192792325261 | * KYO_XIO4 | + | 9.53728279416865E-05 | * KYO_XIO4 | + |
| 4.76812745476435E-07 | * KYO_XIO4 | + | 8.35372210288301E-05 | * KYO_XIO4 | + |
| 0.000259568173226089 | * KYO_XIO4 | + | 0.000251356377061549 | * KYO_XIO4 | + |
| 1.13304208953019E-05 | * KYO_XIO4 | + | 5.55904015130957E-05 | * KYO_XIO4 | + |
| 0.0041655839869177 | * KYO_XIO4 | + | 0.000137917096780371 | * KYO_XIO4 | + |
| 1.66933942061041E-05 | * KYO_XIO4 | + | 3.45406272489047E-05 | * KYO_XIO4 | + |
| 0.000571621033535954 | * KYO_XIO4 | + | 0.0036211943136116 | * KYO_XIO4 | + |
| 4.49491694197243E-08 | * KYO_XIO4 | | | | |

| | | | | | |
|--------------------------|------------|---------------------|----------------------|------------|---|
| < 1121 >NRA_MDKIO1_inter | = | 0.00487253607475789 | * NRA_XIO1 | + | |
| 0.0166085795793586 | * NRA_XIO1 | + | 0.0101493382513907 | * NRA_XIO1 | + |
| 1.59392148554395E-05 | * NRA_XIO1 | + | 0.000503435647602522 | * NRA_XIO1 | + |
| 0.00613198147637853 | * NRA_XIO1 | + | 0.00172854625399081 | * NRA_XIO1 | + |
| 3.42334017763678E-07 | * NRA_XIO1 | + | 0.000109693950742227 | * NRA_XIO1 | + |
| 0.00404955686651028 | * NRA_XIO1 | + | 0.000792814917683083 | * NRA_XIO1 | + |
| 1.89295616236948E-06 | * NRA_XIO1 | + | 0.00191843821578556 | * NRA_XIO1 | + |
| 0.00260412132026639 | * NRA_XIO1 | + | 0.000194032890129793 | * NRA_XIO1 | + |
| 1.90985003693204E-06 | * NRA_XIO1 | + | 0.00173282873736113 | * NRA_XIO1 | + |
| 0.00210731887775325 | * NRA_XIO1 | + | 0.000217762062028161 | * NRA_XIO1 | + |
| 2.58679550314438E-06 | * NRA_XIO1 | + | 0.000710703250956091 | * NRA_XIO1 | + |
| 0.000305948096287918 | * NRA_XIO1 | + | 0.00107543081278706 | * NRA_XIO1 | + |
| 7.06112709230572E-09 | * NRA_XIO1 | | | | |

| | | | | | |
|--------------------------|------------|----------------------|----------------------|------------|---|
| < 1122 >NRA_MDKIO2_inter | = | 3.72654204362371E-05 | * NRA_XIO2 | + | |
| 0.0467240212062078 | * NRA_XIO2 | + | 0.0219465727871651 | * NRA_XIO2 | + |
| 0.000711536481825295 | * NRA_XIO2 | + | 8.99592891715762E-05 | * NRA_XIO2 | + |
| 0.0154140487272779 | * NRA_XIO2 | + | 0.00238689058471912 | * NRA_XIO2 | + |
| 2.09447276744292E-05 | * NRA_XIO2 | + | 2.32185626604599E-05 | * NRA_XIO2 | + |
| 0.00713987954238116 | * NRA_XIO2 | + | 0.00111898523381215 | * NRA_XIO2 | + |
| 3.26831046572332E-05 | * NRA_XIO2 | + | 0.000457567597866948 | * NRA_XIO2 | + |
| 0.00927465925672688 | * NRA_XIO2 | + | 0.000300085327734445 | * NRA_XIO2 | + |
| 2.55721211928056E-05 | * NRA_XIO2 | + | 0.000409393883845177 | * NRA_XIO2 | + |

| | | | | | | | |
|--------------------------|---|----------------------|---|----------------------|---|----------|---|
| 0.00697110800824786 | * | NRA_XIO2 | + | 0.000174766966751276 | * | NRA_XIO2 | + |
| 3.95723407128988E-05 | * | NRA_XIO2 | + | 0.000249778875628961 | * | NRA_XIO2 | + |
| 0.00323261321030179 | * | NRA_XIO2 | + | 0.00287045948747023 | * | NRA_XIO2 | + |
| 7.52148860263895E-08 | * | NRA_XIO2 | | | | | |
| | | | | | | | |
| < 1123 >NRA_MDKIO3_inter | = | 1.83916556549895E-05 | * | NRA_XIO3 | + | | |
| 0.0153872221408163 | * | NRA_XIO3 | + | 0.0331155269394793 | * | NRA_XIO3 | + |
| 6.08079067854904E-05 | * | NRA_XIO3 | + | 2.94252157154023E-05 | * | NRA_XIO3 | + |
| 0.002480358268659 | * | NRA_XIO3 | + | 0.00243469000700574 | * | NRA_XIO3 | + |
| 7.04494701685685E-06 | * | NRA_XIO3 | + | 1.09146548499318E-05 | * | NRA_XIO3 | + |
| 0.00205082984213054 | * | NRA_XIO3 | + | 0.0012091961178838 | * | NRA_XIO3 | + |
| 3.60229911836748E-05 | * | NRA_XIO3 | + | 0.000135596567517392 | * | NRA_XIO3 | + |
| 0.000883257477778069 | * | NRA_XIO3 | + | 0.000290606537565037 | * | NRA_XIO3 | + |
| 2.97118988546501E-05 | * | NRA_XIO3 | + | 8.89739070139407E-05 | * | NRA_XIO3 | + |
| 0.000789951643818189 | * | NRA_XIO3 | + | 0.000361863093720408 | * | NRA_XIO3 | + |
| 0.000039160292110662 | * | NRA_XIO3 | + | 5.60005185621442E-05 | * | NRA_XIO3 | + |
| 0.000218753328956579 | * | NRA_XIO3 | + | 0.0021902033436312 | * | NRA_XIO3 | + |
| 1.15791030262821E-07 | * | NRA_XIO3 | | | | | |
| | | | | | | | |
| < 1124 >NRA_MDKIO4_inter | = | 0.000014319295605937 | * | NRA_XIO4 | + | | |
| 0.0162900611946305 | * | NRA_XIO4 | + | 0.0220838205134343 | * | NRA_XIO4 | + |
| 0.000012543824594981 | * | NRA_XIO4 | + | 1.86694006820177E-05 | * | NRA_XIO4 | + |
| 0.00405380343031637 | * | NRA_XIO4 | + | 0.00150552915352593 | * | NRA_XIO4 | + |
| 5.51352078935419E-06 | * | NRA_XIO4 | + | 6.8953368299146E-06 | * | NRA_XIO4 | + |
| 0.00189664328723907 | * | NRA_XIO4 | + | 0.00114827272357057 | * | NRA_XIO4 | + |
| 5.45546668573544E-05 | * | NRA_XIO4 | + | 8.69913422946867E-05 | * | NRA_XIO4 | + |
| 0.000460945902434802 | * | NRA_XIO4 | + | 0.000248030598520813 | * | NRA_XIO4 | + |
| 1.60016272473768E-05 | * | NRA_XIO4 | + | 6.58494855784247E-05 | * | NRA_XIO4 | + |
| 0.00193917366132453 | * | NRA_XIO4 | + | 0.000134184529963424 | * | NRA_XIO4 | + |
| 2.25576695191145E-05 | * | NRA_XIO4 | + | 4.01938555544494E-05 | * | NRA_XIO4 | + |
| 0.000341049040178067 | * | NRA_XIO4 | + | 0.00327868315672866 | * | NRA_XIO4 | + |
| 6.35268252704586E-08 | * | NRA_XIO4 | | | | | |
| | | | | | | | |
| < 1125 >WAK_MDKIO1_inter | = | 0.00837496705754164 | * | WAK_XIO1 | + | | |
| 0.0150060197044838 | * | WAK_XIO1 | + | 0.00966324399967813 | * | WAK_XIO1 | + |
| 4.06953100212701E-05 | * | WAK_XIO1 | + | 0.000463000324730848 | * | WAK_XIO1 | + |

| | | | | | |
|----------------------|------------|---|----------------------|------------|---|
| 0.0136862831814288 | * WAK_XIO1 | + | 0.00180044228172933 | * WAK_XIO1 | + |
| 7.99876653450821E-07 | * WAK_XIO1 | + | 0.000131051329135288 | * WAK_XIO1 | + |
| 0.00372203093361934 | * WAK_XIO1 | + | 0.000745064191811089 | * WAK_XIO1 | + |
| 8.86586146362123E-06 | * WAK_XIO1 | + | 0.0012857534874254 | * WAK_XIO1 | + |
| 0.00105403293069761 | * WAK_XIO1 | + | 0.00010336816475311 | * WAK_XIO1 | + |
| 1.72557062979756E-07 | * WAK_XIO1 | + | 0.00202082555905762 | * WAK_XIO1 | + |
| 0.0021392029634285 | * WAK_XIO1 | + | 0.000183001488867869 | * WAK_XIO1 | + |
| 1.19838374710447E-05 | * WAK_XIO1 | + | 0.000589923418148658 | * WAK_XIO1 | + |
| 0.0006771038672076 | * WAK_XIO1 | + | 0.00102919086079729 | * WAK_XIO1 | + |
| 3.48819381746542E-08 | * WAK_XIO1 | | | | |

| | | | | | |
|--------------------------|------------|----------------------|----------------------|------------|---|
| < 1126 >WAK_MDKIO2_inter | = | 7.46879090467439E-05 | * WAK_XIO2 | + | |
| 0.0311852001057009 | * WAK_XIO2 | + | 0.0180299119254771 | * WAK_XIO2 | + |
| 0.000385591977111117 | * WAK_XIO2 | + | 0.000163387148835859 | * WAK_XIO2 | + |
| 0.014232012579043 | * WAK_XIO2 | + | 0.00274373876429168 | * WAK_XIO2 | + |
| 0.000010529972529331 | * WAK_XIO2 | + | 0.000047997443998975 | * WAK_XIO2 | + |
| 0.00297812147499953 | * WAK_XIO2 | + | 0.000944595084552228 | * WAK_XIO2 | + |
| 0.000024989259800615 | * WAK_XIO2 | + | 0.000415816714158918 | * WAK_XIO2 | + |
| 0.00205117502566357 | * WAK_XIO2 | + | 0.000122072292123685 | * WAK_XIO2 | + |
| 4.6690563448378E-07 | * WAK_XIO2 | + | 0.000673487710163074 | * WAK_XIO2 | + |
| 0.0045320874202959 | * WAK_XIO2 | + | 0.000157836955276567 | * WAK_XIO2 | + |
| 3.21380169175853E-05 | * WAK_XIO2 | + | 0.000414734992309856 | * WAK_XIO2 | + |
| 0.00332621373652587 | * WAK_XIO2 | + | 0.00189371523904401 | * WAK_XIO2 | + |
| 7.45809419633503E-08 | * WAK_XIO2 | | | | |

| | | | | | |
|--------------------------|------------|----------------------|----------------------|------------|---|
| < 1127 >WAK_MDKIO3_inter | = | 1.98370133626999E-05 | * WAK_XIO3 | + | |
| 0.00868254436269088 | * WAK_XIO3 | + | 0.036048580251056 | * WAK_XIO3 | + |
| 8.91246433013165E-05 | * WAK_XIO3 | + | 3.18296854870364E-05 | * WAK_XIO3 | + |
| 0.00340688135968556 | * WAK_XIO3 | + | 0.00390658155430962 | * WAK_XIO3 | + |
| 8.73851566709929E-06 | * WAK_XIO3 | + | 1.21263121021757E-05 | * WAK_XIO3 | + |
| 0.00169095271824105 | * WAK_XIO3 | + | 0.0013671562320795 | * WAK_XIO3 | + |
| 4.85371590482372E-05 | * WAK_XIO3 | + | 3.37392513162034E-05 | * WAK_XIO3 | + |
| 0.000817794140018135 | * WAK_XIO3 | + | 0.000166436852490165 | * WAK_XIO3 | + |
| 7.62521823899304E-07 | * WAK_XIO3 | + | 8.43846018656609E-05 | * WAK_XIO3 | + |
| 0.000917401561098799 | * WAK_XIO3 | + | 0.00034649512928267 | * WAK_XIO3 | + |
| 5.41375026532717E-05 | * WAK_XIO3 | + | 5.41694776542817E-05 | * WAK_XIO3 | + |

0.000258695045057168 * WAK_XIO3 + 0.00144006272069828 * WAK_XIO3 +
 1.60277832644128E-07 * WAK_XIO3

< 1128 >WAK_MDKIO4_inter = 1.64652575885099E-05 * WAK_XIO4 +
 0.0143523555128685 * WAK_XIO4 + 0.0225581078923531 * WAK_XIO4 +
 9.73629298755319E-06 * WAK_XIO4 + 1.95755155277446E-05 * WAK_XIO4 +
 0.00385405464692777 * WAK_XIO4 + 0.00148210745255016 * WAK_XIO4 +
 5.57821488052413E-06 * WAK_XIO4 + 7.40321702040993E-06 * WAK_XIO4 +
 0.00119169262314072 * WAK_XIO4 + 0.0011121591202647 * WAK_XIO4 +
 5.17702476745823E-05 * WAK_XIO4 + 0.000022209795693841 * WAK_XIO4 +
 0.000639387455108937 * WAK_XIO4 + 0.00011225010344639 * WAK_XIO4 +
 4.75428135672235E-07 * WAK_XIO4 + 5.92905710585418E-05 * WAK_XIO4 +
 0.00207709352328892 * WAK_XIO4 + 0.000144636692976286 * WAK_XIO4 +
 0.000017338366067579 * WAK_XIO4 + 3.68805171374782E-05 * WAK_XIO4 +
 0.000440987144813138 * WAK_XIO4 + 0.00169664553813738 * WAK_XIO4 +
 4.72063435830466E-08 * WAK_XIO4

< 1129 >SGA_MDKIO1_inter = 0.00983184395256014 * SGA_XIO1 +
 0.0164341301866411 * SGA_XIO1 + 0.0122073490547235 * SGA_XIO1 +
 5.62042294769496E-06 * SGA_XIO1 + 0.000464754608615479 * SGA_XIO1 +
 0.0113323467573253 * SGA_XIO1 + 0.0018571366745652 * SGA_XIO1 +
 9.65357855491633E-08 * SGA_XIO1 + 0.000185407073312544 * SGA_XIO1 +
 0.0124566020735749 * SGA_XIO1 + 0.000725209077519829 * SGA_XIO1 +
 1.9823004234229E-06 * SGA_XIO1 + 0.000920276627799488 * SGA_XIO1 +
 0.000580617234821071 * SGA_XIO1 + 0.000110389264622968 * SGA_XIO1 +
 3.82900136342946E-08 * SGA_XIO1 + 0.00149097390247147 * SGA_XIO1 +
 0.00288544868209032 * SGA_XIO1 + 0.000216397758684297 * SGA_XIO1 +
 2.04436647950544E-06 * SGA_XIO1 + 0.000784039158903303 * SGA_XIO1 +
 0.00104234463950082 * SGA_XIO1 + 0.00155039306609952 * SGA_XIO1 +
 7.98463727867723E-09 * SGA_XIO1

< 1130 >SGA_MDKIO2_inter = 2.31706340434252E-05 * SGA_XIO2 +
 0.0391993566972593 * SGA_XIO2 + 0.0187688564932847 * SGA_XIO2 +
 0.000767971551918202 * SGA_XIO2 + 0.000038623232687961 * SGA_XIO2 +
 0.0147247730174274 * SGA_XIO2 + 0.00202468819822397 * SGA_XIO2 +
 2.19892561482934E-05 * SGA_XIO2 + 1.59340005795317E-05 * SGA_XIO2 +

| | | | | | |
|--------------------------|------------|----------------------|----------------------|------------|---|
| 0.00832427438951761 | * SGA_XIO2 | + | 0.000885937030262851 | * SGA_XIO2 | + |
| 3.12909832578184E-05 | * SGA_XIO2 | + | 8.48515463531041E-05 | * SGA_XIO2 | + |
| 0.00351876133447619 | * SGA_XIO2 | + | 0.000125944816680475 | * SGA_XIO2 | + |
| 5.62071494101104E-07 | * SGA_XIO2 | + | 0.000148973651870227 | * SGA_XIO2 | + |
| 0.00181277892832562 | * SGA_XIO2 | + | 0.000246349814856339 | * SGA_XIO2 | + |
| 0.000024269354173528 | * SGA_XIO2 | + | 0.000068605523788237 | * SGA_XIO2 | + |
| 0.00627249976485872 | * SGA_XIO2 | + | 0.00294181101889286 | * SGA_XIO2 | + |
| 6.79434880320548E-08 | * SGA_XIO2 | | | | |
| | | | | | |
| < 1131 >SGA_MDKIO3_inter | = | 2.13374465772777E-05 | * SGA_XIO3 | + | |
| 0.0152780694481928 | * SGA_XIO3 | + | 0.0344019542065444 | * SGA_XIO3 | + |
| 5.91824536625473E-05 | * SGA_XIO3 | + | 2.97308368195711E-05 | * SGA_XIO3 | + |
| 0.00285705290748638 | * SGA_XIO3 | + | 0.00228780323599872 | * SGA_XIO3 | + |
| 6.61561179907175E-06 | * SGA_XIO3 | + | 1.13519453237812E-05 | * SGA_XIO3 | + |
| 0.00285230602651175 | * SGA_XIO3 | + | 0.00108442984804254 | * SGA_XIO3 | + |
| 3.64436971786492E-05 | * SGA_XIO3 | + | 3.09920770843086E-05 | * SGA_XIO3 | + |
| 0.000811000499379342 | * SGA_XIO3 | + | 0.000137124367856067 | * SGA_XIO3 | + |
| 5.6630482503102E-07 | * SGA_XIO3 | + | 0.000133947928293073 | * SGA_XIO3 | + |
| 0.000329589387160476 | * SGA_XIO3 | + | 0.000259446751974121 | * SGA_XIO3 | + |
| 3.06048638870145E-05 | * SGA_XIO3 | + | 4.98732076595046E-05 | * SGA_XIO3 | + |
| 0.000559365850574615 | * SGA_XIO3 | + | 0.00224339384006008 | * SGA_XIO3 | + |
| 1.19494162084385E-07 | * SGA_XIO3 | | | | |
| | | | | | |
| < 1132 >SGA_MDKIO4_inter | = | 1.56437031397329E-05 | * SGA_XIO4 | + | |
| 0.0156901942072997 | * SGA_XIO4 | + | 0.0249101908201081 | * SGA_XIO4 | + |
| 1.50290355201211E-05 | * SGA_XIO4 | + | 1.51920444724235E-05 | * SGA_XIO4 | + |
| 0.00901362381963192 | * SGA_XIO4 | + | 0.0014745986805363 | * SGA_XIO4 | + |
| 4.10885591490467E-06 | * SGA_XIO4 | + | 6.19768941138528E-06 | * SGA_XIO4 | + |
| 0.0044574339795149 | * SGA_XIO4 | + | 0.000984708504522635 | * SGA_XIO4 | + |
| 4.83148616735112E-05 | * SGA_XIO4 | + | 1.82066055478699E-05 | * SGA_XIO4 | + |
| 0.000696155652172714 | * SGA_XIO4 | + | 0.000110466060149206 | * SGA_XIO4 | + |
| 5.42839158508386E-07 | * SGA_XIO4 | + | 6.46545867012628E-05 | * SGA_XIO4 | + |
| 0.000234108017786923 | * SGA_XIO4 | + | 0.00026870407598149 | * SGA_XIO4 | + |
| 1.91406566756721E-05 | * SGA_XIO4 | + | 2.70652090513093E-05 | * SGA_XIO4 | + |
| 0.000525896636684357 | * SGA_XIO4 | + | 0.00403162393825928 | * SGA_XIO4 | + |
| 7.60703999215301E-08 | * SGA_XIO4 | | | | |

< 1133 >FKI_MDKIO1_inter = 0.00780207876465882 * FKI_XIO1 +
 0.00761123552571208 * FKI_XIO1 + 0.0107068476284618 * FKI_XIO1 +
 1.13392726155493E-05 * FKI_XIO1 + 0.000340255775182104 * FKI_XIO1 +
 0.00648716850107039 * FKI_XIO1 + 0.00175507149346191 * FKI_XIO1 +
 1.67630690995727E-07 * FKI_XIO1 + 0.000101649170055168 * FKI_XIO1 +
 0.0100467885011163 * FKI_XIO1 + 0.000708431990966068 * FKI_XIO1 +
 5.47481980141249E-06 * FKI_XIO1 + 0.00101372247435224 * FKI_XIO1 +
 0.000395003628289534 * FKI_XIO1 + 0.000102816552885126 * FKI_XIO1 +
 1.05400551125878E-07 * FKI_XIO1 + 0.00121788465502986 * FKI_XIO1 +
 0.00346161956102977 * FKI_XIO1 + 0.000184326647520758 * FKI_XIO1 +
 5.66300522701442E-06 * FKI_XIO1 + 0.00199188903385823 * FKI_XIO1 +
 0.00200324651285392 * FKI_XIO1 + 0.000209824960227536 * FKI_XIO1 +
 7.34673966234671E-06 * FKI_XIO1

< 1134 >FKI_MDKIO2_inter = 0.000063419513467244 * FKI_XIO2 +
 0.0259488316831471 * FKI_XIO2 + 0.0209556049217609 * FKI_XIO2 +
 0.000341869789640295 * FKI_XIO2 + 0.000136159183532311 * FKI_XIO2 +
 0.00975953381598467 * FKI_XIO2 + 0.00232978399085443 * FKI_XIO2 +
 1.10988619950854E-05 * FKI_XIO2 + 0.000040398435849456 * FKI_XIO2 +
 0.00556008473596345 * FKI_XIO2 + 0.00106610226979186 * FKI_XIO2 +
 2.60030687193376E-05 * FKI_XIO2 + 0.000323015560599296 * FKI_XIO2 +
 0.00179205507280673 * FKI_XIO2 + 0.000145080335234705 * FKI_XIO2 +
 4.45944249411647E-07 * FKI_XIO2 + 0.00069169015478086 * FKI_XIO2 +
 0.00693314646999011 * FKI_XIO2 + 0.000305789626381248 * FKI_XIO2 +
 2.15534485116418E-05 * FKI_XIO2 + 0.000585380297116419 * FKI_XIO2 +
 0.0175888776545721 * FKI_XIO2 + 0.00015807402593129 * FKI_XIO2 +
 3.09854260087928E-05 * FKI_XIO2

< 1135 >FKI_MDKIO3_inter = 1.33638172147958E-05 * FKI_XIO3 +
 0.0040810336950757 * FKI_XIO3 + 0.0356761665500441 * FKI_XIO3 +
 0.00012525391925453 * FKI_XIO3 + 2.12637847512614E-05 * FKI_XIO3 +
 0.00178916754502852 * FKI_XIO3 + 0.00259196998087196 * FKI_XIO3 +
 9.25603743913832E-06 * FKI_XIO3 + 8.09504961645178E-06 * FKI_XIO3 +
 0.00127059727436494 * FKI_XIO3 + 0.0012593162899321 * FKI_XIO3 +
 3.91540899718724E-05 * FKI_XIO3 + 2.24498312252405E-05 * FKI_XIO3 +

| | | | | | |
|--------------------------|------------|----------------------|----------------------|------------|---|
| 0.000220026677310203 | * FKI_XIO3 | + | 0.000155080188065465 | * FKI_XIO3 | + |
| 5.98370387326842E-07 | * FKI_XIO3 | + | 9.61702792638741E-05 | * FKI_XIO3 | + |
| 0.000145343537416791 | * FKI_XIO3 | + | 0.000357957179288814 | * FKI_XIO3 | + |
| 3.18387062641662E-05 | * FKI_XIO3 | + | 5.64110054007862E-05 | * FKI_XIO3 | + |
| 0.00106416035260232 | * FKI_XIO3 | + | 0.000310234701562509 | * FKI_XIO3 | + |
| 4.25320383185675E-05 | * FKI_XIO3 | | | | |
| | | | | | |
| < 1136 >FKI_MDKIO4_inter | = | 1.83363109046428E-05 | * FKI_XIO4 | + | |
| 0.0119504927899021 | * FKI_XIO4 | + | 0.0223483596947893 | * FKI_XIO4 | + |
| 1.06920565803027E-05 | * FKI_XIO4 | + | 2.03072702390251E-05 | * FKI_XIO4 | + |
| 0.00349390638993657 | * FKI_XIO4 | + | 0.00150851272362259 | * FKI_XIO4 | + |
| 5.78794974797609E-06 | * FKI_XIO4 | + | 7.72476506673868E-06 | * FKI_XIO4 | + |
| 0.00145676052497548 | * FKI_XIO4 | + | 0.00114896028027644 | * FKI_XIO4 | + |
| 5.47030088513069E-05 | * FKI_XIO4 | + | 2.25368596255617E-05 | * FKI_XIO4 | + |
| 0.000272661204252494 | * FKI_XIO4 | + | 0.000106792945911056 | * FKI_XIO4 | + |
| 5.09385745595289E-07 | * FKI_XIO4 | + | 0.000092327464262933 | * FKI_XIO4 | + |
| 0.000303714768795984 | * FKI_XIO4 | + | 0.000229016505384914 | * FKI_XIO4 | + |
| 1.31178821865431E-05 | * FKI_XIO4 | + | 6.02185561297363E-05 | * FKI_XIO4 | + |
| 0.00243244585572249 | * FKI_XIO4 | + | 0.000142456803501426 | * FKI_XIO4 | + |
| 1.89925285932909E-05 | * FKI_XIO4 | | | | |

(13) 県別域内移入(中間財・IOベース)

| | | | | | |
|-------------------------|---|------------------|---|------------------|---|
| < 1137 >OSA_MDKIO_inter | = | OSA_MDKIO1_inter | + | OSA_MDKIO2_inter | + |
| OSA_MDKIO3_inter | | | | | |
| + OSA_MDKIO4_inter | | | | | |
| < 1138 >HYO_MDKIO_inter | = | HYO_MDKIO1_inter | + | HYO_MDKIO2_inter | + |
| HYO_MDKIO3_inter | | | | | |
| + HYO_MDKIO4_inter | | | | | |
| < 1139 >KYO_MDKIO_inter | = | KYO_MDKIO1_inter | + | KYO_MDKIO2_inter | + |
| KYO_MDKIO3_inter | | | | | |
| + KYO_MDKIO4_inter | | | | | |
| < 1140 >NRA_MDKIO_inter | = | NRA_MDKIO1_inter | + | NRA_MDKIO2_inter | + |
| NRA_MDKIO3_inter | | | | | |
| + NRA_MDKIO4_inter | | | | | |
| < 1141 >WAK_MDKIO_inter | = | WAK_MDKIO1_inter | + | WAK_MDKIO2_inter | + |

WAK_MDKIO3_inter + WAK_MDKIO4_inter
 < 1142 >SGA_MDKIO_inter = SGA_MDKIO1_inter + SGA_MDKIO2_inter +
 SGA_MDKIO3_inter
 + SGA_MDKIO4_inter
 <1143>FKI_MDKIO_inter = FKI_MDKIO1_inter + FKI_MDKIO2_inter + FKI_MDKIO3_inter
 + FKI_MDKIO4_inter

(14) 県別産業別域内移出(最終財・IOベース)

<1144>OSA_EDKIO1_final = + 0.000155495294638591 * HYO_CPIO + 0 * HYO_CGIO +
 0 * HYO_IGIO + 0 * HYOIPHIO + 8.51360302799567E-05 * HYO_IPF1IO + 0 *
 HYO_IPF2IO + 1.33211006530589E-06 * HYO_IPF3IO + - 0.00019617593107693 *
 HYO_JIO + 0.000137695825977947 * KYO_CPIO + 0 * KYO_CGIO + 0 * KYO_IGIO +
 0 * KYOIPHIO + 0.000350233591089634 * KYO_IPF1IO + 0 * KYO_IPF2IO +
 5.66069647967742E-06 * KYO_IPF3IO + 0.000065632446763493 * KYO_JIO +
 0.000113728656014385 * NRA_CPIO + 0 * NRA_CGIO + 0 * NRA_IGIO + 0 *
 NRAIPHIO + 8.85777618424476E-05 * NRA_IPF1IO + 0 * NRA_IPF2IO +
 1.32986255814513E-06 * NRA_IPF3IO + - 4.49493632664975E-05 * NRA_JIO +
 0.000326481425531904 * WAK_CPIO + 0 * WAK_CGIO + 0 * WAK_IGIO + 0 *
 WAKIPHIO + 0.000157904312471705 * WAK_IPF1IO + 0 * WAK_IPF2IO +
 2.49603283927414E-06 * WAK_IPF3IO + - 0.000265441505198917 * WAK_JIO +
 0.000190055533414348 * SGA_CPIO + 0 * SGA_CGIO + 0 * SGA_IGIO + 0 *
 SGAIPHIO + 0.000130513452064317 * SGA_IPF1IO + 0 * SGA_IPF2IO +
 1.81514088693822E-06 * SGA_IPF3IO + 3.18152879134441E-05 * SGA_JIO +
 0.000311365857267507 * FKI_CPIO + 0 * FKI_CGIO + 0 * FKI_IGIO + 0 * FKIIPHIO
 + 0.000508095206469959 * FKI_IPF1IO + 0 * FKI_IPF2IO + 7.05710069748459E-06 *
 FKI_IPF3IO + 0.000345264735655354 * FKI_JIO

<1145>OSA_EDKIO2_final = + 0.0202997879425692 * HYO_CPIO + 0.000510827402615075
 * HYO_CGIO + 0.00631837304210521 * HYO_IGIO + 0.034161746405439 * HYOIPHIO +
 0.0211686217328158 * HYO_IPF1IO + 0.0234113190090781 * HYO_IPF2IO +
 0.0253463352980559 * HYO_IPF3IO + 0.16257465649476 * HYO_JIO + 0.0199709714946414
 * KYO_CPIO + 0.000714060092817685 * KYO_CGIO + 0.0078482541646065 * KYO_IGIO
 + 0.032117333852044 * KYOIPHIO + 0.0206245331891838 * KYO_IPF1IO +
 0.0239632663209349 * KYO_IPF2IO + 0.0255089204265046 * KYO_IPF3IO +
 0.0548389929808993 * KYO_JIO + 0.0252490317580663 * NRA_CPIO +

| | | | | | |
|----------------------|--------------------|----------------------|------------------------|---------------------|---|
| 0.000773030908982699 | * NRA_CGIO | + | 0.0120246343816192 | * NRA_IGIO | + |
| 0.050177147601828 | * NRA_IPHIO | + | 0.0359809837862049 | * NRA_IPF1IO | + |
| 0.0391395763219343 | * NRA_IPF2IO | + | 0.0413381435800864 | * NRA_IPF3IO | + |
| 0.466125151259158 | * NRA_JIO | + | 0.0186738805146684 | * WAK_CPIO | + |
| 0.000739907047307008 | * WAK_CGIO | + | 0.00540950110851397 | * WAK_IGIO | + |
| 0.0293267744658679 | * WAK_IPHIO | + | 0.0192199488584094 | * WAK_IPF1IO | + |
| 0.021820284833679 | * WAK_IPF2IO | + | 0.0232490071497417 | * WAK_IPF3IO | + |
| 0.0144564002097974 | * WAK_JIO | + | 0.0225858662970755 | * SGA_CPIO | + |
| 0.000465180044370823 | * SGA_CGIO | + | 0.028698469680552 | * SGA_IGIO | + |
| 0.114550104370269 | * SGA_IPHIO | + 0.102091297425644 | * SGA_IPF1IO | + 0.106936052939101 | |
| * SGA_IPF2IO | + 0.10865248543184 | * SGA_IPF3IO | + - 0.0461233776088115 | * SGA_JIO | + |
| 0.00996545013775558 | * FKI_CPIO | + | 0.00038569293831266 | * FKI_CGIO | + |
| 0.00547878675515028 | * FKI_IGIO | + | 0.0184513268872446 | * FKI_IPHIO | + |
| 0.0173455817033101 | * FKI_IPF1IO | + | 0.0184513268872446 | * FKI_IPF2IO | + |
| 0.0184359688303107 | * FKI_IPF3IO | + 0.0896436537063724 | * FKI_JIO | | |

| | | | | | |
|------------------------|----------------------|---------------------|------------------------|------------------------|------------|
| <1146>OSA_EDKIO3_final | = | + 0.042031547247313 | * HYO_CPIO | + 7.73477015243056E-05 | |
| * HYO_CGIO | + 0.0136948634111708 | * HYO_IGIO | + 0.000427220593386064 | * HYO_IPHIO | |
| + 0.0512708963814522 | * HYO_IPF1IO | + | 0.0445740183168706 | * HYO_IPF2IO | + |
| 0.0365885264747141 | * HYO_IPF3IO | + | - 0.0011163804087926 | * HYO_JIO | + |
| 0.040675342870404 | * KYO_CPIO | + | 0.000150150554672306 | * KYO_CGIO | + |
| 0.00819626499019819 | * KYO_IGIO | + | 0.000275656294376484 | * KYO_IPHIO | + |
| 0.0342829960472515 | * KYO_IPF1IO | + | 0.0313125352324371 | * KYO_IPF2IO | + |
| 0.0252719140570402 | * KYO_IPF3IO | + | 0.00271657961238599 | * KYO_JIO | + |
| 0.0338714108311321 | * NRA_CPIO | + | 0.000158163052610226 | * NRA_CGIO | + |
| 0.0134364492809236 | * NRA_IGIO | + | 0.000251270265791175 | * NRA_IPHIO | + |
| 0.0348958978273941 | * NRA_IPF1IO | + | 0.0298397403449044 | * NRA_IPF2IO | + |
| 0.0238948180770266 | * NRA_IPF3IO | + 0 | * NRA_JIO | + 0.037941981805155 | * WAK_CPIO |
| + 0.000152595689708304 | * WAK_CGIO | + | 0.0071793904457061 | * WAK_IGIO | + |
| 0.000306533440229957 | * WAK_IPHIO | + | 0.0389073813049446 | * WAK_IPF1IO | + |
| 0.0347230419772081 | * WAK_IPF2IO | + | 0.0280501766394022 | * WAK_IPF3IO | + |
| 0.00432112736201472 | * WAK_JIO | + | 0.0358923409519177 | * SGA_CPIO | + |
| 5.84396394498006E-05 | * SGA_CGIO | + | 0.00263447278129742 | * SGA_IGIO | + |
| 5.17049857499603E-05 | * SGA_IPHIO | + | 0.00892466390774882 | * SGA_IPF1IO | + |
| 0.00734860448511419 | * SGA_IPF2IO | + | 0.00566101399086039 | * SGA_IPF3IO | + |
| 0.000701950338087435 | * SGA_JIO | + | 0.0414532262841873 | * FKI_CPIO | + |

0.000417971989716953 * FKI_CGIO + 0.031175892512104 * FKI_IGIO + 0 * FKIIPHIO +
 0 * FKI_IPF1IO + 0 * FKI_IPF2IO + 0 * FKI_IPF3IO + 0.00486895770731223 * FKI_JIO

 < 1147 >OSA_EDKIO4_final = + 0.000204526880033063 * HYO_CPIO +
 0.000252903650506017 * HYO_CGIO + 0 * HYO_IGIO + 0 * HYOIPHIO + 0 *
 HYO_IPF1IO + 0 * HYO_IPF2IO + 0 * HYO_IPF3IO + 0 * HYO_JIO +
 0.000236130130102877 * KYO_CPIO + 0.000535312162625599 * KYO_CGIO + 0 *
 KYO_IGIO + 0 * KYOIPHIO + 0 * KYO_IPF1IO + 0 * KYO_IPF2IO + 0 *
 KYO_IPF3IO + 0 * KYO_JIO + 0.000381407406537218 * NRA_CPIO +
 0.000198101391598782 * NRA_CGIO + 0 * NRA_IGIO + 0 * NRAIPHIO + 0 *
 NRA_IPF1IO + 0 * NRA_IPF2IO + 0 * NRA_IPF3IO + 0 * NRA_JIO +
 0.000192087417267814 * WAK_CPIO + 0.000255321161180264 * WAK_CGIO + 0 *
 WAK_IGIO + 0 * WAKIPHIO + 0 * WAK_IPF1IO + 0 * WAK_IPF2IO + 0 *
 WAK_IPF3IO + 0 * WAK_JIO + 0.000257060033234311 * SGA_CPIO +
 0.000381883589528203 * SGA_CGIO + 0 * SGA_IGIO + 0 * SGAIPHIO + 0 *
 SGA_IPF1IO + 0 * SGA_IPF2IO + 0 * SGA_IPF3IO + 0 * SGA_JIO +
 0.000176400839616789 * FKI_CPIO + 0.000630292994202968 * FKI_CGIO + 0 * FKI_IGIO
 + 0 * FKIIPHIO + 0 * FKI_IPF1IO + 0 * FKI_IPF2IO + 0 * FKI_IPF3IO + 0 *
 FKI_JIO

<1148>HYO_EDKIO1_final = + 9.11678465000631E-05 * OSA_CPIO + 0 * OSA_CGIO +
 0 * OSA_IGIO + 0 * OSAIPHIO + 0.000729920379362377 * OSA_IPF1IO + 0 *
 OSA_IPF2IO + 0.00001376771824394 * OSA_IPF3IO + - 4.04232117279959E-05 * OSA_JIO
 + 8.80988991625337E-05 * KYO_CPIO + 0 * KYO_CGIO + 0 * KYO_IGIO + 0 *
 KYOIPHIO + 0.000382807705663384 * KYO_IPF1IO + 0 * KYO_IPF2IO +
 6.18717989071335E-06 * KYO_IPF3IO + 0.00187372006477839 * KYO_JIO +
 8.04985215608369E-05 * NRA_CPIO + 0 * NRA_CGIO + 0 * NRA_IGIO + 0 *
 NRAIPHIO + 0.000130806134848593 * NRA_IPF1IO + 0 * NRA_IPF2IO +
 1.96385839394134E-06 * NRA_IPF3IO + - 0.00562721075715264 * NRA_JIO +
 0.00010616151462762 * WAK_CPIO + 0 * WAK_CGIO + 0 * WAK_IGIO + 0 *
 WAKIPHIO + 0.000313365059955083 * WAK_IPF1IO + 0 * WAK_IPF2IO +
 4.95343963749663E-06 * WAK_IPF3IO + 0.00292826773482115 * WAK_JIO +
 8.70804043654159E-05 * SGA_CPIO + 0 * SGA_CGIO + 0 * SGA_IGIO + 0 *
 SGAIPHIO + 0.000131612238169323 * SGA_IPF1IO + 0 * SGA_IPF2IO +
 1.83042246560808E-06 * SGA_IPF3IO + 0.000504750985840698 * SGA_JIO +
 0.000146179362179401 * FKI_CPIO + 0 * FKI_CGIO + 0 * FKI_IGIO + 0 * FKIIPHIO

$+ 0.000762615253340687 * \text{FKI_IPF1IO} + 0 * \text{FKI_IPF2IO} + 1.05922129705846\text{E-}05 * \text{FKI_IPF3IO} + 0.000815521376818687 * \text{FKI_JIO}$

$<1149>\text{HYO_EDKIO2_final} = + 0.0222431515721327 * \text{OSA_CPIO} + 0.000400610711022036 * \text{OSA_CGIO} + 0.011989265739175 * \text{OSA_IGIO} + 0.0408349556016933 * \text{OSA_IPHIO} + 0.0188127752428147 * \text{OSA_IPF1IO} + 0.0245960044947192 * \text{OSA_IPF2IO} + 0.0271540883511326 * \text{OSA_IPF3IO} + 0.109988492777549 * \text{OSA_JIO} + 0.0143616844848339 * \text{KYO_CPIO} + 0.000519406120901271 * \text{KYO_CGIO} + 0.00435843889925778 * \text{KYO_IGIO} + 0.0149535784520721 * \text{KYO_IPHIO} + 0.00960262070639455 * \text{KYO_IPF1IO} + 0.0111571086363755 * \text{KYO_IPF2IO} + 0.0118767530512538 * \text{KYO_IPF3IO} + 0.0449442912818478 * \text{KYO_JIO} + 0.00947129636542959 * \text{NRA_CPIO} + 0.000352825224457839 * \text{NRA_CGIO} + 0.0117240118747468 * \text{NRA_IGIO} + 0.0193539309485509 * \text{NRA_IPHIO} + 0.0138782993641865 * \text{NRA_IPF1IO} + 0.0150966065967181 * \text{NRA_IPF2IO} + 0.0159446205021253 * \text{NRA_IPF3IO} + 0.0455142032456862 * \text{NRA_JIO} + 0.0122760942536781 * \text{WAK_CPIO} + 0.000355859344591547 * \text{WAK_CGIO} + 0.00323499281461391 * \text{WAK_IGIO} + 0.0208061120406933 * \text{WAK_IPHIO} + 0.0136357446956834 * \text{WAK_IPF1IO} + 0.0154805736149999 * \text{WAK_IPF2IO} + 0.0164941919594801 * \text{WAK_IPF3IO} + 0.0279694427408606 * \text{WAK_JIO} + 0.0092753519430844 * \text{SGA_CPIO} + 0.000297845286257851 * \text{SGA_CGIO} + 0.00388600125308204 * \text{SGA_IGIO} + 0.019823551886298 * \text{SGA_IPHIO} + 0.0176717648417011 * \text{SGA_IPF1IO} + 0.0185103806915163 * \text{SGA_IPF2IO} + 0.0188074911420955 * \text{SGA_IPF3IO} + 0.0176563531000571 * \text{SGA_JIO} + 0.0077652166286936 * \text{FKI_CPIO} + 0.000368258751043929 * \text{FKI_CGIO} + 0.00410298355880637 * \text{FKI_IGIO} + 0.0137352311051608 * \text{FKI_IPHIO} + 0.0129121105926053 * \text{FKI_IPF1IO} + 0.0137352311051608 * \text{FKI_IPF2IO} + 0.0137237985148326 * \text{FKI_IPF3IO} + 0.0321039264587344 * \text{FKI_JIO}$

$< 1150 >\text{HYO_EDKIO3_final} = + 0.00940940121100262 * \text{OSA_CPIO} + - 1.47249027626574\text{E-}05 * \text{OSA_CGIO} + 0.00231847401549791 * \text{OSA_IGIO} + 5.54601446114323\text{E-}05 * \text{OSA_IPHIO} + 0.00494843637177722 * \text{OSA_IPF1IO} + 0.00508577641652848 * \text{OSA_IPF2IO} + 0.0042569815316148 * \text{OSA_IPF3IO} + - 0.00195831933248775 * \text{OSA_JIO} + 0.00938386207059376 * \text{KYO_CPIO} + 1.19599825838659\text{E-}05 * \text{KYO_CGIO} + 0.000628107743714378 * \text{KYO_IGIO} + 3.00069835144507\text{E-}05 * \text{KYO_IPHIO} + 0.00373192746983257 * \text{KYO_IPF1IO} + 0.00340857345790234 * \text{KYO_IPF2IO} + 0.00275101248895303 * \text{KYO_IPF3IO} +$

0.000920080669872706 * KYO_JIO + 0.00778813771637893 * NRA_CPIO +
 1.85579889786145E-06 * NRA_CGIO + 0.000791457003680356 * NRA_IGIO +
 2.29643344008615E-05 * NRA_IPHIO + 0.00318923954015541 * NRA_IPF1IO +
 0.00272714232047161 * NRA_IPF2IO + 0.00218381825259272 * NRA_IPF3IO + 0 *
 NRA_JIO + 0.00950102320543151 * WAK_CPIO + 1.86401891650976E-05 * WAK_CGIO +
 0.000422688491515322 * WAK_IGIO + 2.80116551452142E-05 * WAK_IPHIO +
 0.00355543638860369 * WAK_IPF1IO + 0.00317306286951493 * WAK_IPF2IO +
 0.00256328273416379 * WAK_IPF3IO + 0.00158737154012384 * WAK_JIO +
 0.0103278917791101 * SGA_CPIO + 8.49229003616618E-07 * SGA_CGIO +
 0.000140908210992391 * SGA_IGIO + 5.28450334427963E-06 * SGA_IPHIO +
 0.000912144459243112 * SGA_IPF1IO + 0.000751063449957609 * SGA_IPF2IO +
 0.000578583417687887 * SGA_IPF3IO + 0.000212473624082861 * SGA_JIO +
 0.0129654404909308 * FKI_CPIO + 8.90650414960086E-05 * FKI_CGIO +
 0.00139676549464708 * FKI_IGIO + 0 * FKI_IPHIO + 0 * FKI_IPF1IO + 0 * FKI_IPF2IO +
 0 * FKI_IPF3IO + 0.00209165319832742 * FKI_JIO

< 1151 >HYO_EDKIO4_final = + 0.000348036966747939 * OSA_CPIO +
 0.00257189351716643 * OSA_CGIO + 0 * OSA_IGIO + 0 * OSA_IPHIO + 0 * OSA_IPF1IO +
 0 * OSA_IPF2IO + 0 * OSA_IPF3IO + 0 * OSA_JIO +
 0.000413117290202021 * KYO_CPIO + 0.00286922916941722 * KYO_CGIO + 0 * KYO_IGIO +
 0 * KYO_IPHIO + 0 * KYO_IPF1IO + 0 * KYO_IPF2IO + 0 * KYO_IPF3IO +
 0 * KYO_JIO + 0.000557739401433791 * NRA_CPIO + 0.002897473805584 *
 NRA_CGIO + 0 * NRA_IGIO + 0 * NRA_IPHIO + 0 * NRA_IPF1IO + 0 * NRA_IPF2IO +
 0 * NRA_IPF3IO + 0 * NRA_JIO + 0.000235337041893596 * WAK_CPIO +
 0.00269177747806499 * WAK_CGIO + 0 * WAK_IGIO + 0 * WAK_IPHIO + 0 * WAK_IPF1IO +
 0 * WAK_IPF2IO + 0 * WAK_IPF3IO + 0 * WAK_JIO +
 0.000264718682819915 * SGA_CPIO + 0.00326241969026337 * SGA_CGIO + 0 * SGA_IGIO +
 0 * SGA_IPHIO + 0 * SGA_IPF1IO + 0 * SGA_IPF2IO + 0 * SGA_IPF3IO +
 0 * SGA_JIO + 0.000231434575737766 * FKI_CPIO + 0.00272496855633845 *
 FKI_CGIO + 0 * FKI_IGIO + 0 * FKI_IPHIO + 0 * FKI_IPF1IO + 0 * FKI_IPF2IO +
 0 * FKI_IPF3IO + 0 * FKI_JIO

<1152>KYO_EDKIO1_final = + 0.00002783840502868 * OSA_CPIO + 0 * OSA_CGIO + 0 *
 OSA_IGIO + 0 * OSA_IPHIO + 0.000474143345010664 * OSA_IPF1IO + 0 * OSA_IPF2IO +
 8.94326582174415E-06 * OSA_IPF3IO + - 5.98707746013208E-06 *
 OSA_JIO + 2.85395448558909E-05 * HYO_CPIO + 0 * HYO_CGIO + 0 * HYO_IGIO + 0

```

* HYO_IPHIO + 6.12518341562233E-05 * HYO_IPF1IO + 0 * HYO_IPF2IO +
9.58397807950899E-07 * HYO_IPF3IO + - 0.000160897925586167 * HYO_JIO +
2.48934978083616E-05 * NRA_CPIO + 0 * NRA_CGIO + 0 * NRA_IGIO + 0 *
NRA_IPHIO + 5.77012386668799E-05 * NRA_IPF1IO + 0 * NRA_IPF2IO +
8.66297762164809E-07 * NRA_IPF3IO + - 0.000242739956872699 * NRA_JIO +
3.29208232239257E-05 * WAK_CPIO + 0 * WAK_CGIO + 0 * WAK_IGIO + 0 *
WAK_IPHIO + 9.18565408333443E-05 * WAK_IPF1IO + 0 * WAK_IPF2IO +
1.45199924456299E-06 * WAK_IPF3IO + - 4.18991231146734E-05 * WAK_JIO +
2.65099073449382E-05 * SGA_CPIO + 0 * SGA_CGIO + 0 * SGA_IGIO + 0 *
SGA_IPHIO + 9.34082190793471E-05 * SGA_IPF1IO + 0 * SGA_IPF2IO +
1.29909273676595E-06 * SGA_IPF3IO + 3.51286428282778E-05 * SGA_JIO +
4.05377172634471E-05 * FKI_CPIO + 0 * FKI_CGIO + 0 * FKI_IGIO + 0 * FKI_IPHIO +
+ 0.000373807385330123 * FKI_IPF1IO + 0 * FKI_IPF2IO + 0.000005191933177378 *
FKI_IPF3IO + 0.000182975437002895 * FKI_JIO

```

```

< 1153 > KYO_EDKIO2_final = + 0.00915708179578083 * OSA_CPIO +
0.000129637265000475 * OSA_CGIO + 0.00671731595563891 * OSA_IGIO +
0.0242365166530964 * OSA_IPHIO + 0.0111658292202118 * OSA_IPF1IO +
0.0145983132282671 * OSA_IPF2IO + 0.0161165967937182 * OSA_IPF3IO +
0.0452473533464171 * OSA_JIO + 0.00670526944879569 * HYO_CPIO +
0.000150713070414878 * HYO_CGIO + 0.00210639810120471 * HYO_IGIO +
0.00816513435321239 * HYO_IPHIO + 0.00505959614796664 * HYO_IPF1IO +
0.0055956321092707 * HYO_IPF2IO + 0.00605812801880777 * HYO_IPF3IO +
0.0201021348877003 * HYO_JIO + 0.00631779178281839 * NRA_CPIO +
0.000232441754420857 * NRA_CGIO + 0.00176741016308734 * NRA_IGIO +
0.00445418228787354 * NRA_IPHIO + 0.00319400102119277 * NRA_IPF1IO +
0.00347438656719664 * NRA_IPF2IO + 0.00366955149402088 * NRA_IPF3IO +
- 0.00390888487423515 * NRA_JIO + 0.00629349347168513 * WAK_CPIO +
0.000163671211420565 * WAK_CGIO + 0.00148142390941489 * WAK_IGIO +
0.00811844192847062 * WAK_IPHIO + 0.00532060008361217 * WAK_IPF1IO +
0.0060404431960659 * WAK_IPF2IO + 0.00643595205669304 * WAK_IPF3IO +
0.020440239635785 * WAK_JIO + 0.0100169644016217 * SGA_CPIO +
0.000292472139275952 * SGA_CGIO + 0.00594256235247108 * SGA_IGIO +
0.0200918157266892 * SGA_IPHIO + 0.0179065706351904 * SGA_IPF1IO +
0.0187563292238216 * SGA_IPF2IO + 0.0190573873986789 * SGA_IPF3IO +
0.0597504576263842 * SGA_JIO + 0.00547729296283236 * FKI_CPIO +

```

| | | | | | | | |
|---------------------------|--------------|---------------------|----------------------|--------------------------------|---------------------------------|----------------|---|
| 0.000154494712076988 | * FKI_CGIO | + | 0.00212346148777729 | * FKI_IGIO | + | | |
| 0.00542234231577069 | * FKI_IPHIO | + | 0.0050973939294289 | * FKI_IPF1IO | + | | |
| 0.00542234231577069 | * FKI_IPF2IO | + | 0.00541782900122646 | * FKI_IPF3IO | + | | |
| 0.00268913164701364 | * FKI_JIO | | | | | | |
| | | | | | | | |
| < 1154 > KYO_EDKIO3_final | = | + | 0.013717389837161 | * OSA_CPIO | + | | |
| 5.03923131940476E-06 | * OSA_CGIO | + | 0.00116288312618563 | * OSA_IGIO | + | | |
| 2.48940080182399E-05 | * OSA_IPHIO | + | 0.00222117009574798 | * OSA_IPF1IO | + | | |
| 0.00228281696304732 | * OSA_IPF2IO | + | 0.0019108015877707 | * OSA_IPF3IO | + | | |
| 0.00102628453819575 | * OSA_JIO | + | 0.0135739361324052 | * HYO_CPIO | + | | |
| 5.26107440794913E-06 | * HYO_CGIO | + | 0.000208825706562075 | * HYO_IGIO | + | | |
| 1.17697488618915E-05 | * HYO_IPHIO | + | 0.0014124917751529 | * HYO_IPF1IO | + | | |
| 0.00122799558232165 | * HYO_IPF2IO | + | 0.00100799861828033 | * HYO_IPF3IO | + | | |
| 0.000233264532400673 | * HYO_JIO | + | 0.0125936267693542 | * NRA_CPIO | + | | |
| 8.71860722392453E-07 | * NRA_CGIO | + | 0.000269125370416217 | * NRA_IGIO | + | | |
| 8.39194986015251E-06 | * NRA_IPHIO | + | 0.00116545674025701 | * NRA_IPF1IO | + | | |
| 0.000996590679067935 | * NRA_IPF2IO | + | 0.00079804156129848 | * NRA_IPF3IO | + | | |
| NRA_JIO | + | 0.0130562655604271 | * WAK_CPIO | + | 7.08618213197097E-06 * WAK_CGIO | + | |
| 0.000143742663765284 | * WAK_IGIO | + | 1.02368116255607E-05 | * WAK_IPHIO | + | | |
| 0.00129932816779725 | * WAK_IPF1IO | + | 0.00115959041702093 | * WAK_IPF2IO | + | | |
| 0.000936747305957389 | * WAK_IPF3IO | + | 0.000812986031563695 | * WAK_JIO | + | | |
| 0.0155766495244495 | * SGA_CPIO | + | 6.26919869095509E-07 | * SGA_CGIO | + | | |
| 6.69940249769712E-05 | * SGA_IGIO | + | 2.63022071537789E-06 | * SGA_IPHIO | + | | |
| 0.000453995597280759 | * SGA_IPF1IO | + | 0.000373821817480746 | * SGA_IPF2IO | + | | |
| 0.000287974477757524 | * SGA_IPF3IO | + | 0.000152727192422947 | * SGA_JIO | + | | |
| 0.0176019008128875 | * FKI_CPIO | + | 3.19986925658263E-05 | * FKI_CGIO | + | | |
| 0.000785511571494995 | * FKI_IGIO | + | 0 * FKI_IPHIO | + | 0 * FKI_IPF1IO | + | |
| FKI_IPF2IO | + | 0 * FKI_IPF3IO | + | 0.000988063988951473 * FKI_JIO | | | |
| | | | | | | | |
| < 1155 > KYO_EDKIO4_final | = | + | 0.000749312376438249 | * OSA_CPIO | + | | |
| 0.00511266162601586 | * OSA_CGIO | + | 0 * OSA_IGIO | + | 0 * OSA_IPHIO | + | |
| OSA_IPF1IO | + | 0 * OSA_IPF2IO | + | 0 * OSA_IPF3IO | + | 0 * OSA_JIO | + |
| 0.000733270042481389 | * HYO_CPIO | + | 0.00518853443449296 | * HYO_CGIO | + | 0 * HYO_IGIO | + |
| HYO_IPHIO | + | 0 * HYO_IPF1IO | + | 0 * HYO_IPF2IO | + | 0 * HYO_IPF3IO | + |
| HYO_JIO | + | 0.00128801964837537 | * NRA_CPIO | | | | |
| 0.00517940363033062 | * NRA_CGIO | + | 0 * NRA_IGIO | + | 0 * NRA_IPHIO | + | |

NRA_IPF1IO + 0 * NRA_IPF2IO + 0 * NRA_IPF3IO + 0 * NRA_JIO +
 0.000639531324428428 * WAK_CPIO + 0.00478908143350536 * WAK_CGIO + 0 *
 WAK_IGIO + 0 * WAKIPHIO + 0 * WAK_IPF1IO + 0 * WAK_IPF2IO + 0 *
 WAK_IPF3IO + 0 * WAK_JIO + 0.000759609568169025 * SGA_CPIO +
 0.00529055443447309 * SGA_CGIO + 0 * SGA_IGIO + 0 * SGAIPHIO + 0 *
 SGA_IPF1IO + 0 * SGA_IPF2IO + 0 * SGA_IPF3IO + 0 * SGA_JIO +
 0.000637041443093948 * FKI_CPIO + 0.00479795288474308 * FKI_CGIO + 0 * FKI_IGIO
 + 0 * FKIIPHIO + 0 * FKI_IPF1IO + 0 * FKI_IPF2IO + 0 * FKI_IPF3IO + 0 *
 FKI_JIO

<1156>NRA_EDKIO1_final = + 0.0001717876966859 * OSA_CPIO + 0 * OSA_CGIO + 0
 * OSA_IGIO + 0 * OSAIPHIO + 0.00133878641255876 * OSA_IPF1IO + 0 * OSA_IPF2IO
 + 2.52521160363074E-05 * OSA_IPF3IO + - 0.000161996261465427 * OSA_JIO +
 0.000169104601467983 * HYO_CPIO + 0 * HYO_CGIO + 0 * HYO_IGIO + 0 *
 HYOIPHIO + 0.000141379519879996 * HYO_IPF1IO + 0 * HYO_IPF2IO +
 2.21214309430393E-06 * HYO_IPF3IO + - 0.00483083388375629 * HYO_JIO +
 0.000173303171119719 * KYO_CPIO + 0 * KYO_CGIO + 0 * KYO_IGIO + 0 *
 KYOIPHIO + 0.000705621049089862 * KYO_IPF1IO + 0 * KYO_IPF2IO +
 1.14046930111481E-05 * KYO_IPF3IO + 0.0153384329002434 * KYO_JIO +
 0.000188147032663451 * WAK_CPIO + 0 * WAK_CGIO + 0 * WAK_IGIO + 0 *
 WAKIPHIO + 0.000763245902255663 * WAK_IPF1IO + 0 * WAK_IPF2IO +
 1.20648182855229E-05 * WAK_IPF3IO + 0.0279867864261831 * WAK_JIO +
 0.000162612281465807 * SGA_CPIO + 0 * SGA_CGIO + 0 * SGA_IGIO + 0 *
 SGAIPHIO + 0.00022804067209873 * SGA_IPF1IO + 0 * SGA_IPF2IO +
 3.17151942013834E-06 * SGA_IPF3IO + 0.00396941303526317 * SGA_JIO +
 0.000372726748207944 * FKI_CPIO + 0 * FKI_CGIO + 0 * FKI_IGIO + 0 * FKIIPHIO
 + 0.000297023848203051 * FKI_IPF1IO + 0 * FKI_IPF2IO + 4.12546148759473E-06 *
 FKI_IPF3IO + 0.00207290597190309 * FKI_JIO

<1157>NRA_EDKIO2_final = + 0.00458413904970908 * OSA_CPIO + 6.17078532748597E-05
 * OSA_CGIO + 0.00828461979633268 * OSA_IGIO + 0.0187779177512291 * OSAIPHIO +
 0.0086510378418848 * OSA_IPF1IO + 0.0113104506324368 * OSA_IPF2IO +
 0.0124867832021356 * OSA_IPF3IO + 0.0552008833089604 * OSA_JIO +
 0.00146605499490337 * HYO_CPIO + 3.43138544062471E-05 * HYO_CGIO +
 0.000927029733921228 * HYO_IGIO + 0.0024448176326166 * HYOIPHIO +
 0.00151495239898915 * HYO_IPF1IO + 0.00167545314683014 * HYO_IPF2IO +

| | | | | | |
|----------------------|--------------|---|----------------------|--------------|---|
| 0.00181393441434345 | * HYO_IPF3IO | + | 0.00975086197410808 | * HYO_JIO | + |
| 0.00291609643172231 | * KYO_CPIO | + | 0.000117732174152456 | * KYO_CGIO | + |
| 0.00156550841724561 | * KYO_IGIO | + | 0.00443894755567121 | * KYOIPHIO | + |
| 0.00285052369566973 | * KYO_IPF1IO | + | 0.00331197112908681 | * KYO_IPF2IO | + |
| 0.00352559650488665 | * KYO_IPF3IO | + | 0.030666486503236 | * KYO_JIO | + |
| 0.00384833233895899 | * WAK_CPIO | + | 0.000331635013921484 | * WAK_CGIO | + |
| 0.000258215569243886 | * WAK_IGIO | + | 0.00167073498950134 | * WAKIPHIO | + |
| 0.00109495304679838 | * WAK_IPF1IO | + | 0.00124309318077044 | * WAK_IPF2IO | + |
| 0.00132448693808614 | * WAK_IPF3IO | + | 0.00327614453861069 | * WAK_JIO | + |
| 0.00239796222824861 | * SGA_CPIO | + | 0.000133851538840034 | * SGA_CGIO | + |
| 0.0022363032650693 | * SGA_IGIO | + | 0.0060921586231576 | * SGAIPHIO | + |
| 0.00542955749695859 | * SGA_IPF1IO | + | 0.00568721783904777 | * SGA_IPF2IO | + |
| 0.00577850347400374 | * SGA_IPF3IO | + | 0.0979246830747938 | * SGA_JIO | + |
| 0.000778532024723893 | * FKI_CPIO | + | 3.66158225197222E-05 | * FKI_CGIO | + |
| 0.000478724431800701 | * FKI_IGIO | + | 0.00244181901087048 | * FKIIPHIO | + |
| 0.0022954864664519 | * FKI_IPF1IO | + | 0.00244181901087048 | * FKI_IPF2IO | + |
| 0.00243978655024474 | * FKI_IPF3IO | + | -0.0088513759127712 | * FKI_JIO | |

| | | | | | | |
|---------------------------|--------------|---|----------------------|--------------|---|---|
| < 1158 > NRA_EDKIO3_final | = | + | 0.000830699652391807 | * OSA_CPIO | + | - |
| 2.0276186123096E-07 | * OSA_CGIO | + | 0.000170149790942058 | * OSA_IGIO | + | |
| 3.65382954556484E-06 | * OSAIPHIO | + | 0.00032601326855935 | * OSA_IPF1IO | + | |
| 0.000335061516031786 | * OSA_IPF2IO | + | 0.000280458787190607 | * OSA_IPF3IO | + | - |
| 0.000132197432486426 | * OSA_JIO | + | 0.000776729452597996 | * HYO_CPIO | + | - |
| 1.68810540236659E-07 | * HYO_CGIO | + | 3.35246075418444E-05 | * HYO_IGIO | + | |
| 1.79010169017507E-06 | * HYOIPHIO | + | 0.000214830744795792 | * HYO_IPF1IO | + | |
| 0.000186770082627593 | * HYO_IPF2IO | + | 0.000153309985748308 | * HYO_IPF3IO | + | - |
| 2.82163893890617E-05 | * HYO_JIO | + | 0.000865385620006626 | * KYO_CPIO | + | |
| 2.75597562418869E-07 | * KYO_CGIO | + | 3.32721668253231E-05 | * KYO_IGIO | + | |
| 1.66005862519419E-06 | * KYOIPHIO | + | 0.000206459219131813 | * KYO_IPF1IO | + | |
| 0.000188570496120471 | * KYO_IPF2IO | + | 0.000152192639026983 | * KYO_IPF3IO | + | |
| 6.72052889081321E-05 | * KYO_JIO | + | 0.000854448145260445 | * WAK_CPIO | + | |
| 2.67122408542283E-07 | * WAK_CGIO | + | 2.25061275768513E-05 | * WAK_IGIO | + | |
| 1.53874908153627E-06 | * WAKIPHIO | + | 0.000195308861581471 | * WAK_IPF1IO | + | |
| 0.000174304144143268 | * WAK_IPF2IO | + | 0.000140807422212828 | * WAK_IPF3IO | + | |
| 0.000106913998465159 | * WAK_JIO | + | 0.000933217961086029 | * SGA_CPIO | + | |
| 1.10404910389256E-07 | * SGA_CGIO | + | 9.67159506957712E-06 | * SGA_IGIO | + | |

3.66431331062068E-07 * SGA_IPHIO + 6.32487646512989E-05 * SGA_IPF1IO +
 5.20792895283053E-05 * SGA_IPF2IO + 4.01193978055309E-05 * SGA_IPF3IO +
 1.57411024637283E-05 * SGA_JIO + 0.00123134261276502 * FKI_CPIO +
 1.31257294970517E-06 * FKI_CGIO + 8.48978811189781E-05 * FKI_IGIO + 0 * FKI_IPHIO
 + 0 * FKI_IPF1IO + 0 * FKI_IPF2IO + 0 * FKI_IPF3IO + 0.000132243561433588 *
 FKI_JIO

< 1159 > NRA_EDKIO4_final = + 4.93433780728128E-06 * OSA_CPIO +
 1.55073340746098E-05 * OSA_CGIO + 0 * OSA_IGIO + 0 * OSA_IPHIO + 0 *
 OSA_IPF1IO + 0 * OSA_IPF2IO + 0 * OSA_IPF3IO + 0 * OSA_JIO +
 5.89591965868991E-06 * HYO_CPIO + 1.24182474578641E-05 * HYO_CGIO + 0 *
 HYO_IGIO + 0 * HYO_IPHIO + 0 * HYO_IPF1IO + 0 * HYO_IPF2IO + 0 *
 HYO_IPF3IO + 0 * HYO_JIO + 6.68604611123084E-06 * KYO_CPIO +
 1.29332483366996E-05 * KYO_CGIO + 0 * KYO_IGIO + 0 * KYO_IPHIO + 0 *
 KYO_IPF1IO + 0 * KYO_IPF2IO + 0 * KYO_IPF3IO + 0 * KYO_JIO +
 5.50591367556358E-06 * WAK_CPIO + 1.19914619897581E-05 * WAK_CGIO + 0 *
 WAK_IGIO + 0 * WAK_IPHIO + 0 * WAK_IPF1IO + 0 * WAK_IPF2IO + 0 *
 WAK_IPF3IO + 0 * WAK_JIO + 7.10024758110679E-06 * SGA_CPIO +
 1.06491447538075E-05 * SGA_CGIO + 0 * SGA_IGIO + 0 * SGA_IPHIO + 0 *
 SGA_IPF1IO + 0 * SGA_IPF2IO + 0 * SGA_IPF3IO + 0 * SGA_JIO +
 5.32409124925194E-06 * FKI_CPIO + 1.19220081853936E-05 * FKI_CGIO + 0 *
 FKI_IGIO + 0 * FKI_IPHIO + 0 * FKI_IPF1IO + 0 * FKI_IPF2IO + 0 *
 FKI_IPF3IO + 0 * FKI_JIO

<1160> WAK_EDKIO1_final = + 0.000473334322867071 * OSA_CPIO + 0 * OSA_CGIO +
 0 * OSA_IGIO + 0 * OSA_IPHIO + 0.00128419921418219 * OSA_IPF1IO + 0 *
 OSA_IPF2IO + 2.42224952883142E-05 * OSA_IPF3IO + - 0.000240287704642226 *
 OSA_JIO + 0.000471171806044881 * HYO_CPIO + 0 * HYO_CGIO + 0 * HYO_IGIO + 0
 * HYO_IPHIO + 7.42941726317475E-05 * HYO_IPF1IO + 0 * HYO_IPF2IO +
 1.1624692252021E-06 * HYO_IPF3IO + - 0.00375687328633078 * HYO_JIO +
 0.000463631117462789 * KYO_CPIO + 0 * KYO_CGIO + 0 * KYO_IGIO + 0 *
 KYO_IPHIO + 0.00069498630427611 * KYO_IPF1IO + 0 * KYO_IPF2IO +
 1.12328075493848E-05 * KYO_IPF3IO + 0.00802496121699737 * KYO_JIO +
 0.000413893409716775 * NRA_CPIO + 0 * NRA_CGIO + 0 * NRA_IGIO + 0 *
 NRA_IPHIO + 0.000513195050554726 * NRA_IPF1IO + 0 * NRA_IPF2IO +
 7.70485580762413E-06 * NRA_IPF3IO + - 0.0235405844169558 * NRA_JIO +

0.000449779818916707 * SGA_CPIO + 0 * SGA_CGIO + 0 * SGA_IGIO + 0 *
 SGAIPHIO + 0.00014938967818225 * SGA_IPF1IO + 0 * SGA_IPF2IO +
 2.07766562500788E-06 * SGA_IPF3IO + 0.00220333804202108 * SGA_JIO +
 0.00073073029746253 * FKI_CPIO + 0 * FKI_CGIO + 0 * FKI_IGIO + 0 * FKIIPHIO
 + 0.00264059960761054 * FKI_IPF1IO + 0 * FKI_IPF2IO + 3.66761526094966E-05 *
 FKI_IPF3IO + 0.0050373276879097 * FKI_JIO

< 1161 >WAK_EDKIO2_final = + 0.00460037437908193 * OSA_CPIO +
 2.62517527814624E-05 * OSA_CGIO + 0.00120829038735599 * OSA_IGIO +
 0.00545397136317394 * OSAIPHIO + 0.0025126594586498 * OSA_IPF1IO +
 0.00328507530340339 * OSA_IPF2IO + 0.0036267364094803 * OSA_IPF3IO + -
 0.00927893209571738 * OSA_JIO + 0.00282412160418149 * HYO_CPIO +
 2.95932026995748E-05 * HYO_CGIO + 0.000229417250033234 * HYO_IGIO +
 0.00133181946856596 * HYOIPHIO + 0.000825273456803832 * HYO_IPF1IO +
 0.000912706571585997 * HYO_IPF2IO + 0.000988144528857484 * HYO_IPF3IO +
 0.00973015349604023 * HYO_JIO + 0.00122995324374211 * KYO_CPIO +
 3.23916537752684E-05 * KYO_CGIO + 0.000322939495636568 * KYO_IGIO +
 0.00221021215755151 * KYOIPHIO + 0.00141931438669706 * KYO_IPF1IO +
 0.00164907531867886 * KYO_IPF2IO + 0.00175544228896467 * KYO_IPF3IO + -
 0.0100261692706863 * KYO_JIO + 0.00274972532352999 * NRA_CPIO +
 7.34210064673581E-05 * NRA_CGIO + 0.00116998003766738 * NRA_IGIO +
 0.00207291082676683 * NRAIPHIO + 0.00148644102769661 * NRA_IPF1IO +
 0.00161692833073374 * NRA_IPF2IO + 0.00170775521290256 * NRA_IPF3IO + -
 0.0192488302865218 * NRA_JIO + 0.00171847595883479 * SGA_CPIO +
 3.23493069084916E-05 * SGA_CGIO + 0.000241882607779704 * SGA_IGIO +
 0.00183065437384049 * SGAIPHIO + 0.00163154700897691 * SGA_IPF1IO +
 0.00170897227995029 * SGA_IPF2IO + 0.00173640302449226 * SGA_IPF3IO +
 0.00374678636333315 * SGA_JIO + 0.000842622118407557 * FKI_CPIO +
 1.82300334538538E-05 * FKI_CGIO + 0.000284956169135266 * FKI_IGIO +
 0.00109099588827444 * FKIIPHIO + 0.00102561503753543 * FKI_IPF1IO +
 0.00109099588827444 * FKI_IPF2IO + 0.00109008779222969 * FKI_IPF3IO +
 0.0407156174604602 * FKI_JIO

< 1162 >WAK_EDKIO3_final = + 0.000855147153903996 * OSA_CPIO + -
 5.53404509838946E-07 * OSA_CGIO + 6.50118333028204E-05 * OSA_IGIO +
 1.41216957773247E-06 * OSAIPHIO + 0.000126000957093216 * OSA_IPF1IO +

0.000129498016726958 * OSA_IPF2IO + 0.000108394593162964 * OSA_IPF3IO + -
 6.37088550536287E-05 * OSA_JIO + 0.000800742678723228 * HYO_CPIO + -
 5.95824979470608E-07 * HYO_CGIO + 0.000012266628719137 * HYO_IGIO +
 6.88380567885553E-07 * HYOIPHIO + 8.26127984312113E-05 * HYO_IPF1IO +
 7.18221184019106E-05 * HYO_IPF2IO + 5.89550949150965E-05 * HYO_IPF3IO + -
 2.01220762747182E-05 * HYO_JIO + 0.0007866363814438 * KYO_CPIO +
 4.44862403600552E-07 * KYO_CGIO + 1.26970570050164E-05 * KYO_IGIO +
 6.52287679919893E-07 * KYOIPHIO + 8.11241259806772E-05 * KYO_IPF1IO +
 7.40951009494478E-05 * KYO_IPF2IO + 5.98011310595633E-05 * KYO_IPF3IO +
 3.05823740964369E-05 * KYO_JIO + 0.00085129594476655 * NRA_CPIO +
 6.60624590730421E-08 * NRA_CGIO + 1.57169205072249E-05 * NRA_IGIO +
 4.88916185262578E-07 * NRAIPHIO + 6.78996744535677E-05 * NRA_IPF1IO +
 5.80615138552891E-05 * NRA_IPF2IO + 4.64940141842022E-05 * NRA_IPF3IO + 0 *
 NRA_JIO + 0.00089773265572874 * SGA_CPIO + 2.9667588829681E-08 * SGA_CGIO +
 3.74792807949218E-06 * SGA_IGIO + 1.45322626049796E-07 * SGAIPHIO +
 2.50837627527417E-05 * SGA_IPF1IO + 2.06540720607185E-05 * SGA_IPF2IO +
 1.59109108594445E-05 * SGA_IPF3IO + 7.05706822195928E-06 * SGA_JIO +
 0.000911686524422617 * FKI_CPIO + 3.33613810031552E-06 * FKI_CGIO +
 2.86252750121263E-05 * FKI_IGIO + 0 * FKIIPHIO + 0 * FKI_IPF1IO + 0 *
 FKI_IPF2IO + 0 * FKI_IPF3IO + 7.14421330424861E-05 * FKI_JIO

< 1163 >WAK_EDKIO4_final = + 0.000231371173288128 * OSA_CPIO +
 9.82522565044845E-05 * OSA_CGIO + 0 * OSA_IGIO + 0 * OSAIPHIO + 0 *
 OSA_IPF1IO + 0 * OSA_IPF2IO + 0 * OSA_IPF3IO + 0 * OSA_JIO +
 0.000285124426440014 * HYO_CPIO + 0.00011860448528738 * HYO_CGIO + 0 *
 HYO_IGIO + 0 * HYOIPHIO + 0 * HYO_IPF1IO + 0 * HYO_IPF2IO + 0 *
 HYO_IPF3IO + 0 * HYO_JIO + 0.000328827241660222 * KYO_CPIO +
 0.000116102353498434 * KYO_CGIO + 0 * KYO_IGIO + 0 * KYOIPHIO + 0 *
 KYO_IPF1IO + 0 * KYO_IPF2IO + 0 * KYO_IPF3IO + 0 * KYO_JIO +
 0.000533305360104296 * NRA_CPIO + 0.000114217961213369 * NRA_CGIO + 0 *
 NRA_IGIO + 0 * NRAIPHIO + 0 * NRA_IPF1IO + 0 * NRA_IPF2IO + 0 *
 NRA_IPF3IO + 0 * NRA_JIO + 0.000347381507000324 * SGA_CPIO +
 0.000133230633264892 * SGA_CGIO + 0 * SGA_IGIO + 0 * SGAIPHIO + 0 *
 SGA_IPF1IO + 0 * SGA_IPF2IO + 0 * SGA_IPF3IO + 0 * SGA_JIO +
 0.000242677106005008 * FKI_CPIO + 0.000111809910010765 * FKI_CGIO + 0 * FKI_IGIO
 + 0 * FKIIPHIO + 0 * FKI_IPF1IO + 0 * FKI_IPF2IO + 0 * FKI_IPF3IO + 0 *

FKI_JIO

<1164>SGA_EDKIO1_final = + 0.000415367461087677 * OSA_CPIO + 0 * OSA_CGIO +
 0 * OSA_IGIO + 0 * OSAIPHIO + 0.00173598361072436 * OSA_IPF1IO + 0 *
 OSA_IPF2IO + 3.27440278478442E-05 * OSA_IPF3IO + - 0.000211361836238553 *
 OSA_JIO + 0.000412221392808692 * HYO_CPIO + 0 * HYO_CGIO + 0 * HYO_IGIO +
 0 * HYOIPHIO + 0.000123404497864623 * HYO_IPF1IO + 0 * HYO_IPF2IO +
 1.93089075411336E-06 * HYO_IPF3IO + - 0.000943461315172628 * HYO_JIO +
 0.000433539380913067 * KYO_CPIO + 0 * KYO_CGIO + 0 * KYO_IGIO + 0 *
 KYOIPHIO + 0.000932689632052844 * KYO_IPF1IO + 0 * KYO_IPF2IO +
 1.50747188479758E-05 * KYO_IPF3IO + 0.00183600583861835 * KYO_JIO +
 0.00035821104456794 * NRA_CPIO + 0 * NRA_CGIO + 0 * NRA_IGIO + 0 *
 NRAIPHIO + 0.00060422773674599 * NRA_IPF1IO + 0 * NRA_IPF2IO +
 9.07157538164619E-06 * NRA_IPF3IO + - 0.00372799653878105 * NRA_JIO +
 0.000491167837808263 * WAK_CPIO + 0 * WAK_CGIO + 0 * WAK_IGIO + 0 *
 WAKIPHIO + 0.00194604253029496 * WAK_IPF1IO + 0 * WAK_IPF2IO +
 3.07615795047444E-05 * WAK_IPF3IO + 2.30788202503535E-05 * WAK_JIO +
 0.000577991664799278 * FKI_CPIO + 0 * FKI_CGIO + 0 * FKI_IGIO + 0 * FKIIPHIO
 + 0.000657283258993469 * FKI_IPF1IO + 0 * FKI_IPF2IO + 9.12922241033189E-06 *
 FKI_IPF3IO + 0.00566548523937264 * FKI_JIO

<1165>SGA_EDKIO2_final = + 0.00578819938837155 * OSA_CPIO + 4.27336009729236E-05
 * OSA_CGIO + 0.00270500093698321 * OSA_IGIO + 0.00931933341098003 * OSAIPHIO
 + 0.00429344227978911 * OSA_IPF1IO + 0.00561328800501371 * OSA_IPF2IO +
 0.00619709264003511 * OSA_IPF3IO + 0.0635217040519308 * OSA_JIO +
 0.00747612709425159 * HYO_CPIO + 3.16406338004212E-05 * HYO_CGIO +
 0.00135948626785369 * HYO_IGIO + 0.00637280981697367 * HYOIPHIO +
 0.00394896674161869 * HYO_IPF1IO + 0.00436733771858926 * HYO_IPF2IO +
 0.00472831138357842 * HYO_IPF3IO + 0.0325336466624299 * HYO_JIO +
 0.00757727069639124 * KYO_CPIO + 0.000155169421494577 * KYO_CGIO +
 0.0033548884995561 * KYO_IGIO + 0.0109659737561572 * KYOIPHIO +
 0.00704193227020272 * KYO_IPF1IO + 0.008189177214204 * KYO_IPF2IO +
 0.00870963179053388 * KYO_IPF3IO + 0.0865032616434215 * KYO_JIO +
 0.0043750220312697 * NRA_CPIO + 2.41435069623223E-05 * NRA_CGIO +
 0.00305202058937878 * NRA_IGIO + 0.00739014573611261 * NRAIPHIO +
 0.00529931904497242 * NRA_IPF1IO + 0.00576452004334855 * NRA_IPF2IO +

| | | | | | |
|----------------------|--------------------|---|-----------------------|--------------|---|
| 0.00608832745817653 | * NRA_IPF3IO | + | 0.0259174964937653 | * NRA_JIO | + |
| 0.00469726276289979 | * WAK_CPIO | + | 4.71124402509568E-05 | * WAK_CGIO | + |
| 0.000615683843383217 | * WAK_IGIO | + | 0.00429527459960202 | * WAKIPHIO | + |
| 0.00281500300120825 | * WAK_IPF1IO | + | 0.00319585487695769 | * WAK_IPF2IO | + |
| 0.00340510921146389 | * WAK_IPF3IO | + | - 0.00110381835964654 | * WAK_JIO | + |
| 0.00293049271318655 | * FKI_CPIO | + | 7.21816553745509E-05 | * FKI_CGIO | + |
| 0.00217389546098847 | * FKI_IGIO | + | 0.020109519120832 | * FKIIPHIO | + |
| | * FKI_IPF1IO | + | 0.020109519120832 | * FKI_IPF2IO | + |
| | | | 0.0200927808590551 | * FKI_IPF3IO | + |
| | 0.0824538516164899 | * | FKI_JIO | | |

| | | | | | | |
|------------------------|---|-----------------------|------------|------------------------|------------------------|----------------|
| <1166>SGA_EDKIO3_final | = | + 0.00045321807139805 | * OSA_CPIO | + 0.000187860696197859 | | |
| * OSA_CGIO | + | 6.90749012677777E-05 | * OSA_IGIO | + 1.49494453403063E-06 | | |
| + 0.000133386559984948 | * | OSA_IPF1IO | + | 0.000137088601345333 | * OSA_IPF2IO | + |
| 0.000114748191097306 | * | OSA_IPF3IO | + | - 0.000081361395073593 | * OSA_JIO | + |
| 0.000548885525952157 | * | HYO_CPIO | + | 0.000171987969572932 | * HYO_CGIO | + |
| 1.21426599941302E-05 | * | HYO_IGIO | + | 7.08303150949663E-07 | * HYOIPHIO | + |
| 8.50037147581492E-05 | * | HYO_IPF1IO | + | 0.000073900739133605 | * HYO_IPF2IO | + |
| 6.06613281097758E-05 | * | HYO_IPF3IO | + | - 2.38850913167007E-05 | * HYO_JIO | + |
| 0.000535358508345793 | * | KYO_CPIO | + | 0.000181023317959972 | * KYO_CGIO | + |
| 1.30656912412659E-05 | * | KYO_IGIO | + | 6.8422749917129E-07 | * KYOIPHIO | + |
| 8.50964375856865E-05 | * | KYO_IPF1IO | + | 7.77232303846534E-05 | * KYO_IPF2IO | + |
| 6.27293441408008E-05 | * | KYO_IPF3IO | + | 0.000037203980815727 | * KYO_JIO | + |
| 0.000480631093888004 | * | NRA_CPIO | + | 0.00023981036164125 | * NRA_CGIO | + |
| 1.58334654901862E-05 | * | NRA_IGIO | + | 5.07703566376068E-07 | * NRAIPHIO | + |
| 7.05088273102193E-05 | * | NRA_IPF1IO | + | 6.02926197619993E-05 | * NRA_IPF2IO | + |
| 4.82806205398611E-05 | * | NRA_IPF3IO | + | 0 * NRA_JIO | + 0.000654089418301579 | * |
| WAK_CPIO | + | 0.000197863799427683 | * WAK_CGIO | + 8.45842775863758E-06 | | |
| + 6.19272473979559E-07 | * | WAK_IGIO | + | 7.86024202080658E-05 | * WAK_IPF1IO | + |
| 7.01490320050904E-05 | * | WAK_IPF2IO | + | 5.66682130015407E-05 | * WAK_IPF3IO | + |
| 6.26332438783217E-05 | * | WAK_JIO | + | 0.000778931359253337 | * FKI_CPIO | + |
| 0.00037721639352224 | * | FKI_CGIO | + | 2.28853442740126E-05 | * FKI_IGIO | + 0 * FKIIPHIO |
| + 0 * FKI_IPF1IO | + | 0 * FKI_IPF2IO | + | 0 * FKI_IPF3IO | + 8.05288190302447E-05 | * |
| FKI_JIO | | | | | | |

| | | | | | | |
|--------------------------|---|------------------------|------------|--------------|----------------|-------|
| < 1167 >SGA_EDKIO4_final | = | + 0.000359853089785785 | * OSA_CPIO | + | | |
| 0.000534831300252477 | * | OSA_CGIO | + | 0 * OSA_IGIO | + 0 * OSAIPHIO | + 0 * |

OSA_IPF1IO + 0 * OSA_IPF2IO + 0 * OSA_IPF3IO + 0 * OSA_JIO +
 0.000426215160218692 * HYO_CPIO + 0.000576785737032364 * HYO_CGIO + 0 *
 HYO_IGIO + 0 * HYOIPHIO + 0 * HYO_IPF1IO + 0 * HYO_IPF2IO + 0 *
 HYO_IPF3IO + 0 * HYO_JIO + 0.000499144592618884 * KYO_CPIO +
 0.000573070582676197 * KYO_CGIO + 0 * KYO_IGIO + 0 * KYOIPHIO + 0 *
 KYO_IPF1IO + 0 * KYO_IPF2IO + 0 * KYO_IPF3IO + 0 * KYO_JIO +
 0.000772508864212759 * NRA_CPIO + 0.000564289296940133 * NRA_CGIO + 0 *
 NRA_IGIO + 0 * NRAIPHIO + 0 * NRA_IPF1IO + 0 * NRA_IPF2IO + 0 *
 NRA_IPF3IO + 0 * NRA_JIO + 0.000393840959926168 * WAK_CPIO +
 0.00055642423321866 * WAK_CGIO + 0 * WAK_IGIO + 0 * WAKIPHIO + 0 *
 WAK_IPF1IO + 0 * WAK_IPF2IO + 0 * WAK_IPF3IO + 0 * WAK_JIO +
 0.000378070645562634 * FKI_CPIO + 0.000563074217210306 * FKI_CGIO + 0 *
 FKI_IGIO + 0 * FKIIPHIO + 0 * FKI_IPF1IO + 0 * FKI_IPF2IO + 0 *
 FKI_IPF3IO + 0 * FKI_JIO

<1168>FKI_EDKIO1_final = + 0.000248144999848981 * OSA_CPIO + 0 * OSA_CGIO + 0
 * OSA_IGIO + 0 * OSAIPHIO + 0.000805748564903343 * OSA_IPF1IO + 0 *
 OSA_IPF2IO + 1.51979853292202E-05 * OSA_IPF3IO + - 0.0001321805629092 * OSA_JIO
 + 0.000243228514220666 * HYO_CPIO + 0 * HYO_CGIO + 0 * HYO_IGIO + 0 *
 HYOIPHIO + 4.23331483613921E-05 * HYO_IPF1IO + 0 * HYO_IPF2IO +
 6.62380109136637E-07 * HYO_IPF3IO + - 0.000839926151966643 * HYO_JIO +
 0.000255063306840902 * KYO_CPIO + 0 * KYO_CGIO + 0 * KYO_IGIO + 0 *
 KYOIPHIO + 0.000437323388089551 * KYO_IPF1IO + 0 * KYO_IPF2IO +
 7.0682967779797E-06 * KYO_IPF3IO + 0.0017906754552066 * KYO_JIO +
 0.000213376665133455 * NRA_CPIO + 0 * NRA_CGIO + 0 * NRA_IGIO + 0 *
 NRAIPHIO + 0.000338676973451846 * NRA_IPF1IO + 0 * NRA_IPF2IO +
 5.08472800544041E-06 * NRA_IPF3IO + - 0.00443649914662951 * NRA_JIO +
 0.000277621725776276 * WAK_CPIO + 0 * WAK_CGIO + 0 * WAK_IGIO + 0 *
 WAKIPHIO + 0.00114176705509503 * WAK_IPF1IO + 0 * WAK_IPF2IO +
 1.80481965293329E-05 * WAK_IPF3IO + 0.00141067721222789 * WAK_JIO +
 0.000235911359887693 * SGA_CPIO + 0 * SGA_CGIO + 0 * SGA_IGIO + 0 *
 SGAIPHIO + 0.000088889714665744 * SGA_IPF1IO + 0 * SGA_IPF2IO +
 1.23625076929658E-06 * SGA_IPF3IO + 0.000579954394504049 * SGA_JIO

<1169>FKI_EDKIO2_final = + 0.00276425945794246 * OSA_CPIO + 8.87010892219213E-06
 * OSA_CGIO + 0.00088687647437684 * OSA_IGIO + 0.00328066145804527 * OSAIPHIO

| | | | | |
|-----------------------|--------------|--------------------------|--------------|---|
| + 0.00151140966724625 | * OSA_IPF1IO | + 0.00197603163218299 | * OSA_IPF2IO | + |
| 0.00218154690679333 | * OSA_IPF3IO | + 0.06159110155683 | * OSA_JIO | + |
| 0.000602555051800342 | * HYO_CPIO | + 7.56206203339484E-06 | * HYO_CGIO | + |
| 0.000572308111786654 | * HYO_IGIO | + 0.00219470371979203 | * HYOIPHIO | + |
| 0.00135996714888335 | * HYO_IPF1IO | + 0.00150404807484552 | * HYO_IPF2IO | + |
| 0.00162836219499839 | * HYO_IPF3IO | + - 0.00500763083571009 | * HYO_JIO | + |
| 0.00215907651901349 | * KYO_CPIO | + 0.000139226105115522 | * KYO_CGIO | + |
| 0.000449256346888404 | * KYO_IGIO | + 0.00322275017989208 | * KYOIPHIO | + |
| 0.00206952788646253 | * KYO_IPF1IO | + 0.00240454644219105 | * KYO_IPF2IO | + |
| 0.00255964203853548 | * KYO_IPF3IO | + - 0.0177003138582309 | * KYO_JIO | + |
| 0.00041418398390938 | * NRA_CPIO | + 1.63809444969905E-05 | * NRA_CGIO | + |
| 0.0010566682027356 | * NRA_IGIO | + 0.00429297713146626 | * NRAIPHIO | + |
| 0.00307840417290298 | * NRA_IPF1IO | + 0.0033486420435589 | * NRA_IPF2IO | + |
| 0.00353674358803358 | * NRA_IPF3IO | + 0.0958207331724766 | * NRA_JIO | + |
| 0.00037017168882976 | * WAK_CPIO | + 4.18600481594278E-06 | * WAK_CGIO | + |
| 0.000219204206124627 | * WAK_IGIO | + 0.0013312324874163 | * WAKIPHIO | + |
| 0.000872452589580657 | * WAK_IPF1IO | + 0.000990489836823957 | * WAK_IPF2IO | + |
| 0.00105534393678142 | * WAK_IPF3IO | + 0.0178598746671674 | * WAK_JIO | + |
| 0.000281215843885904 | * SGA_CPIO | + - 0.000116803457273872 | * SGA_CGIO | + |
| 0.000197893922827539 | * SGA_IGIO | + 0.00349785915725526 | * SGAIPHIO | + |
| 0.00311742168668895 | * SGA_IPF1IO | + 0.00326535932961444 | * SGA_IPF2IO | + |
| 0.00331777167044596 | * SGA_IPF3IO | + 0.229530492079803 | * SGA_JIO | |

| | | | | |
|--------------------------|-------------------------|------------------------|--------------|---|
| < 1170 >FKI_EDKIO3_final | = + 0.00429727205649233 | * OSA_CPIO | + | - |
| 2.60440292497717E-08 | * OSA_CGIO | + 3.83210933056871E-05 | * OSA_IGIO | + |
| 8.58045371012309E-07 | * OSAIPHIO | + 0.000076559175103145 | * OSA_IPF1IO | + |
| 7.86840161124695E-05 | * OSA_IPF2IO | + 6.58614095451532E-05 | * OSA_IPF3IO | + |
| 3.55889608170948E-05 | * OSA_JIO | + 0.00408283985345796 | * HYO_CPIO | + |
| 1.16785201609317E-08 | * HYO_CGIO | + 7.71494776534137E-06 | * HYO_IGIO | + |
| 4.39872486350913E-07 | * HYOIPHIO | + 5.27892545862586E-05 | * HYO_IPF1IO | + |
| 4.58940523168437E-05 | * HYO_IPF2IO | + 0.000037672074711541 | * HYO_IPF3IO | + |
| 8.80992366155399E-06 | * HYO_JIO | + 0.00371781588229012 | * KYO_CPIO | + |
| 5.30496507703299E-08 | * KYO_CGIO | + 8.38327044528973E-06 | * KYO_IGIO | + |
| 4.20178332770822E-07 | * KYOIPHIO | + 5.22570041584064E-05 | * KYO_IPF1IO | + |
| 4.77291798417045E-05 | * KYO_IPF2IO | + 3.85215608387738E-05 | * KYO_IPF3IO | + |
| 1.82273466100806E-05 | * KYO_JIO | + 0.00430336895297005 | * NRA_CPIO | + |

```

2.07378151710441E-08    * NRA_CGIO    + 1.02971546714859E-05    * NRA_IGIO    +
3.14761823509904E-07    * NRAIPHIO    + 4.37134748060254E-05    * NRAIPF1IO    +
0.000037379715639852    * NRAIPF2IO    + 2.99326165261949E-05    * NRAIPF3IO    + 0    *
NRAJIO    + 0.00422307206214412    * WAK_CPIO    + 6.79872969881361E-08    * WAK_CGIO    +
5.50100360570984E-06    * WAK_IGIO    + 3.83969388590637E-07    * WAKIPHIO    +
4.87360967864229E-05    * WAKIPF1IO    + 4.34947168830705E-05    * WAKIPF2IO    +
3.51361638260766E-05    * WAKIPF3IO    + 0.000029129369307715    * WAKJIO    +
0.00351579733943964    * SGA_CPIO    + 2.39473559271159E-08    * SGA_CGIO    +
2.3080464023948E-06    * SGA_IGIO    + 8.992320132668E-08    * SGAIPHIO    +
1.55214112857592E-05    * SGAIPF1IO    + 1.27803930510816E-05    * SGAIPF2IO    +
9.84540452781543E-06    * SGAIPF3IO    + 4.59573215150081E-06    * SGAJIO

```

```

<1171>FKI_EDKIO4_final = + 8.64192189616638E-07    * OSA_CPIO    + 0    * OSA_CGIO    +
* OSA_IGIO    + 0    * OSAIPHIO    + 0    * OSAIPF1IO    + 0    * OSAIPF2IO    + 0    *
OSAIPF3IO    + 0    * OSAJIO    + 1.08637892702688E-06    * HYO_CPIO    + 0    * HYO_CGIO    +
0    * HYO_IGIO    + 0    * HYOIPHIO    + 0    * HYOIPF1IO    + 0    * HYOIPF2IO    + 0    *
HYOIPF3IO    + 0    * HYOJIO    + 1.24074589398839E-06    * KYOCPIO    + 0    * KYOCGIO
+ 0    * KYO_IGIO    + 0    * KYOIPHIO    + 0    * KYOIPF1IO    + 0    * KYOIPF2IO    + 0    *
KYOIPF3IO    + 0    * KYOJIO    + 2.03073083233274E-06    * NRA_CPIO    + 0    * NRA_CGIO
+ 0    * NRA_IGIO    + 0    * NRAIPHIO    + 0    * NRAIPF1IO    + 0    * NRAIPF2IO    + 0    *
NRAIPF3IO    + 0    * NRAJIO    + 9.99223105154632E-07    * WAK_CPIO    + 0    * WAK_CGIO
+ 0    * WAK_IGIO    + 0    * WAKIPHIO    + 0    * WAKIPF1IO    + 0    * WAKIPF2IO    + 0    *
WAKIPF3IO    + 0    * WAKJIO    + 1.33947255927156E-06    * SGA_CPIO    + 0    * SGA_CGIO
+ 0    * SGA_IGIO    + 0    * SGAIPHIO    + 0    * SGAIPF1IO    + 0    * SGAIPF2IO    + 0    *
SGAIPF3IO    + 0    * SGAJIO

```

(15) 県別域内移出(最終財・IOベース)

```

< 1172 >OSA_EDKIO_final = OSA_EDKIO1_final + OSA_EDKIO2_final + +
OSA_EDKIO3_final + OSA_EDKIO4_final
<1173>HYO_EDKIO_final = HYO_EDKIO1_final + HYO_EDKIO2_final
+ HYO_EDKIO3_final + HYO_EDKIO4_final
<1174>KYO_EDKIO_final = KYO_EDKIO1_final + KYO_EDKIO2_final
+ KYO_EDKIO3_final + KYO_EDKIO4_final
<1175>NRA_EDKIO_final = NRA_EDKIO1_final + NRA_EDKIO2_final
+ NRA_EDKIO3_final + NRA_EDKIO4_final

```

```

<1176>WAK_EDKIO_final = WAK_EDKIO1_final + WAK_EDKIO2_final
+ WAK_EDKIO3_final + WAK_EDKIO4_final
<1177>SGA_EDKIO_final = SGA_EDKIO1_final + SGA_EDKIO2_final
+ SGA_EDKIO3_final + SGA_EDKIO4_final
<1178>FKI_EDKIO_final = FKI_EDKIO1_final + FKI_EDKIO2_final
+ FKI_EDKIO3_final + FKI_EDKIO4_final

```

(16) 県別域内移入(最終財・IOベース)

```

< 1179 >OSA_MDKIO_final = + 9.11678465000631E-05 * OSA_CPIO + 0 *
OSA_CGIO + 0 * OSA_IGIO + 0 * OSAIPHIO + 0.000729920379362377 *
OSA_IPF1IO + 0 * OSA_IPF2IO + 0.00001376771824394 * OSA_IPF3IO + -
4.04232117279959E-05 * OSA_JIO + 0.0222431515721327 * OSA_CPIO +
0.000400610711022036 * OSA_CGIO + 0.011989265739175 * OSA_IGIO +
0.0408349556016933 * OSAIPHIO + 0.0188127752428147 * OSA_IPF1IO +
0.0245960044947192 * OSA_IPF2IO + 0.0271540883511326 * OSA_IPF3IO +
0.109988492777549 * OSA_JIO + 0.00940940121100262 * OSA_CPIO + -
1.47249027626574E-05 * OSA_CGIO + 0.00231847401549791 * OSA_IGIO +
5.54601446114323E-05 * OSAIPHIO + 0.00494843637177722 * OSA_IPF1IO +
0.00508577641652848 * OSA_IPF2IO + 0.0042569815316148 * OSA_IPF3IO +
0.00195831933248775 * OSA_JIO + 0.000348036966747939 * OSA_CPIO +
0.00257189351716643 * OSA_CGIO + 0 * OSA_IGIO + 0 * OSAIPHIO + 0 *
OSA_IPF1IO + 0 * OSA_IPF2IO + 0 * OSA_IPF3IO + 0 * OSA_JIO +
0.00002783840502868 * OSA_CPIO + 0 * OSA_CGIO + 0 * OSA_IGIO + 0 *
OSAIPHIO + 0.000474143345010664 * OSA_IPF1IO + 0 * OSA_IPF2IO +
8.94326582174415E-06 * OSA_IPF3IO + - 5.98707746013208E-06 * OSA_JIO +
0.00915708179578083 * OSA_CPIO + 0.000129637265000475 * OSA_CGIO +
0.00671731595563891 * OSA_IGIO + 0.0242365166530964 * OSAIPHIO +
0.0111658292202118 * OSA_IPF1IO + 0.0145983132282671 * OSA_IPF2IO +
0.0161165967937182 * OSA_IPF3IO + 0.0452473533464171 * OSA_JIO +
0.013717389837161 * OSA_CPIO + - 5.03923131940476E-06 * OSA_CGIO +
0.00116288312618563 * OSA_IGIO + 2.48940080182399E-05 * OSAIPHIO +
0.00222117009574798 * OSA_IPF1IO + 0.00228281696304732 * OSA_IPF2IO +
0.0019108015877707 * OSA_IPF3IO + - 0.00102628453819575 * OSA_JIO +
0.000749312376438249 * OSA_CPIO + 0.00511266162601586 * OSA_CGIO +
0 * OSA_IGIO + 0 * OSAIPHIO + 0 * OSA_IPF1IO + 0 * OSA_IPF2IO +
0 * OSA_IPF3IO

```

OSA_IPF3IO + 0 * OSA_JIO + 0.0001717876966859 * OSA_CPIO + 0 *
 OSA_CGIO + 0 * OSA_IGIO + 0 * OSAIPHIO + 0.00133878641255876 *
 OSA_IPF1IO + 0 * OSA_IPF2IO + 2.52521160363074E-05 * OSA_IPF3IO + -
 0.000161996261465427 * OSA_JIO + 0.00458413904970908 * OSA_CPIO +
 6.17078532748597E-05 * OSA_CGIO + 0.00828461979633268 * OSA_IGIO +
 0.0187779177512291 * OSAIPHIO + 0.0086510378418848 * OSA_IPF1IO +
 0.0113104506324368 * OSA_IPF2IO + 0.0124867832021356 * OSA_IPF3IO +
 0.0552008833089604 * OSA_JIO + 0.000830699652391807 * OSA_CPIO +
 2.0276186123096E-07 * OSA_CGIO + 0.000170149790942058 * OSA_IGIO +
 3.65382954556484E-06 * OSAIPHIO + 0.00032601326855935 * OSA_IPF1IO +
 0.000335061516031786 * OSA_IPF2IO + 0.000280458787190607 * OSA_IPF3IO +
 0.000132197432486426 * OSA_JIO + 4.93433780728128E-06 * OSA_CPIO +
 1.55073340746098E-05 * OSA_CGIO + 0 * OSA_IGIO + 0 * OSAIPHIO + 0 *
 OSA_IPF1IO + 0 * OSA_IPF2IO + 0 * OSA_IPF3IO + 0 * OSA_JIO +
 0.000473334322867071 * OSA_CPIO + 0 * OSA_CGIO + 0 * OSA_IGIO + 0 *
 OSAIPHIO + 0.00128419921418219 * OSA_IPF1IO + 0 * OSA_IPF2IO +
 2.42224952883142E-05 * OSA_IPF3IO + - 0.000240287704642226 * OSA_JIO +
 0.00460037437908193 * OSA_CPIO + 2.62517527814624E-05 * OSA_CGIO +
 0.00120829038735599 * OSA_IGIO + 0.00545397136317394 * OSAIPHIO +
 0.0025126594586498 * OSA_IPF1IO + 0.00328507530340339 * OSA_IPF2IO +
 0.0036267364094803 * OSA_IPF3IO + - 0.00927893209571738 * OSA_JIO +
 0.000855147153903996 * OSA_CPIO + - 5.53404509838946E-07 * OSA_CGIO +
 6.50118333028204E-05 * OSA_IGIO + 1.41216957773247E-06 * OSAIPHIO +
 0.000126000957093216 * OSA_IPF1IO + 0.000129498016726958 * OSA_IPF2IO +
 0.000108394593162964 * OSA_IPF3IO + - 6.37088550536287E-05 * OSA_JIO +
 0.000231371173288128 * OSA_CPIO + 9.82522565044845E-05 * OSA_CGIO +
 0 * OSA_IGIO + 0 * OSAIPHIO + 0 * OSA_IPF1IO + 0 * OSA_IPF2IO +
 0 * OSA_IPF3IO + 0 * OSA_JIO + 0.000415367461087677 * OSA_CPIO +
 0 * OSA_CGIO + 0 * OSA_IGIO + 0 * OSAIPHIO + 0.00173598361072436 *
 OSA_IPF1IO + 0 * OSA_IPF2IO + 3.27440278478442E-05 * OSA_IPF3IO +
 0.000211361836238553 * OSA_JIO + 0.00578819938837155 * OSA_CPIO +
 4.27336009729236E-05 * OSA_CGIO + 0.00270500093698321 * OSA_IGIO +
 0.00931933341098003 * OSAIPHIO + 0.00429344227978911 * OSA_IPF1IO +
 0.00561328800501371 * OSA_IPF2IO + 0.00619709264003511 * OSA_IPF3IO +
 0.0635217040519308 * OSA_JIO + 0.00045321807139805 * OSA_CPIO +
 0.000187860696197859 * OSA_CGIO + 6.90749012677777E-05 * OSA_IGIO +

1.49494453403063E-06 * OSAIPHIO + 0.000133386559984948 * OSAPIF1IO +
 0.000137088601345333 * OSAPIF2IO + 0.000114748191097306 * OSAPIF3IO + -
 0.000081361395073593 * OSAJIO + 0.000359853089785785 * OSACPIO +
 0.000534831300252477 * OSACGIO + 0 * OSAGICO + 0 * OSAPHIO + 0 *
 OSAPIF1IO + 0 * OSAPIF2IO + 0 * OSAPIF3IO + 0 * OSAJIO +
 0.000248144999848981 * OSACPIO + 0 * OSACGIO + 0 * OSAGICO + 0 *
 OSAPHIO + 0.000805748564903343 * OSAPIF1IO + 0 * OSAPIF2IO +
 1.51979853292202E-05 * OSAPIF3IO + - 0.0001321805629092 * OSAJIO +
 0.00276425945794246 * OSACPIO + 8.87010892219213E-06 * OSACGIO +
 0.00088687647437684 * OSAGICO + 0.00328066145804527 * OSAPHIO +
 0.00151140966724625 * OSAPIF1IO + 0.00197603163218299 * OSAPIF2IO +
 0.00218154690679333 * OSAPIF3IO + 0.06159110155683 * OSAJIO +
 0.00429727205649233 * OSACPIO + - 2.60440292497717E-08 * OSACGIO +
 3.83210933056871E-05 * OSAGICO + 8.58045371012309E-07 * OSAPHIO +
 0.000076559175103145 * OSAPIF1IO + 7.86840161124695E-05 * OSAPIF2IO +
 6.58614095451532E-05 * OSAPIF3IO + - 3.55889608170948E-05 * OSAJIO +
 8.64192189616638E-07 * OSACPIO + 0 * OSACGIO + 0 * OSAGICO + 0 *
 OSAPHIO + 0 * OSAPIF1IO + 0 * OSAPIF2IO + 0 * OSAPIF3IO + 0 *
 OSAJIO

< 1180 >HYO_MDKIO_final = + 0.000155495294638591 * HYO_CPIO + 0 *
 HYOCGIO + 0 * HYOAGICO + 0 * HYOIPHIO + 8.51360302799567E-05 *
 HYOIPF1IO + 0 * HYOIPF2IO + 1.33211006530589E-06 * HYOIPF3IO + -
 0.00019617593107693 * HYOJIO + 0.0202997879425692 * HYOCPIO +
 0.000510827402615075 * HYOCGIO + 0.00631837304210521 * HYOAGICO +
 0.034161746405439 * HYOIPHIO + 0.0211686217328158 * HYOIPF1IO +
 0.0234113190090781 * HYOIPF2IO + 0.0253463352980559 * HYOIPF3IO +
 0.16257465649476 * HYOJIO + 0.042031547247313 * HYOCPIO +
 7.73477015243056E-05 * HYOCGIO + 0.0136948634111708 * HYOAGICO +
 0.000427220593386064 * HYOIPHIO + 0.0512708963814522 * HYOIPF1IO +
 0.0445740183168706 * HYOIPF2IO + 0.0365885264747141 * HYOIPF3IO + -
 0.0011163804087926 * HYOJIO + 0.000204526880033063 * HYOCPIO +
 0.000252903650506017 * HYOCGIO + 0 * HYOAGICO + 0 * HYOIPHIO + 0 *
 HYOIPF1IO + 0 * HYOIPF2IO + 0 * HYOIPF3IO + 0 * HYOJIO +
 2.85395448558909E-05 * HYOCPIO + 0 * HYOCGIO + 0 * HYOAGICO + 0 *
 HYOIPHIO + 6.12518341562233E-05 * HYOIPF1IO + 0 * HYOIPF2IO +

9.58397807950899E-07 * HYO_IPF3IO + - 0.000160897925586167 * HYO_JIO +
 0.00670526944879569 * HYO_CPIO + 0.000150713070414878 * HYO_CGIO +
 0.00210639810120471 * HYO_IGIO + 0.00816513435321239 * HYOIPHIO +
 0.00505959614796664 * HYO_IPF1IO + 0.0055956321092707 * HYO_IPF2IO +
 0.00605812801880777 * HYO_IPF3IO + 0.0201021348877003 * HYO_JIO +
 0.0135739361324052 * HYO_CPIO + - 5.26107440794913E-06 * HYO_CGIO +
 0.000208825706562075 * HYO_IGIO + 1.17697488618915E-05 * HYOIPHIO +
 0.0014124917751529 * HYO_IPF1IO + 0.00122799558232165 * HYO_IPF2IO +
 0.00100799861828033 * HYO_IPF3IO + - 0.000233264532400673 * HYO_JIO +
 0.000733270042481389 * HYO_CPIO + 0.00518853443449296 * HYO_CGIO +
 0 * HYO_IGIO + 0 * HYOIPHIO + 0 * HYO_IPF1IO + 0 * HYO_IPF2IO +
 0 * HYO_IPF3IO + 0 * HYO_JIO + 0.000169104601467983 * HYO_CPIO +
 0 * HYO_CGIO + 0 * HYO_IGIO + 0 * HYOIPHIO + 0.000141379519879996 *
 HYO_IPF1IO + 0 * HYO_IPF2IO + 2.21214309430393E-06 * HYO_IPF3IO +
 - 0.00483083388375629 * HYO_JIO + 0.00146605499490337 * HYO_CPIO +
 3.43138544062471E-05 * HYO_CGIO + 0.000927029733921228 * HYO_IGIO +
 0.0024448176326166 * HYOIPHIO + 0.00151495239898915 * HYO_IPF1IO +
 0.00167545314683014 * HYO_IPF2IO + 0.00181393441434345 * HYO_IPF3IO +
 0.00975086197410808 * HYO_JIO + 0.000776729452597996 * HYO_CPIO +
 - 1.68810540236659E-07 * HYO_CGIO + 3.35246075418444E-05 * HYO_IGIO +
 1.79010169017507E-06 * HYOIPHIO + 0.000214830744795792 * HYO_IPF1IO +
 0.000186770082627593 * HYO_IPF2IO + 0.000153309985748308 * HYO_IPF3IO +
 - 2.82163893890617E-05 * HYO_JIO + 5.89591965868991E-06 * HYO_CPIO +
 1.24182474578641E-05 * HYO_CGIO + 0 * HYO_IGIO + 0 * HYOIPHIO +
 0 * HYO_IPF1IO + 0 * HYO_IPF2IO + 0 * HYO_IPF3IO + 0 * HYO_JIO +
 0.000471171806044881 * HYO_CPIO + 0 * HYO_CGIO + 0 * HYO_IGIO +
 0 * HYOIPHIO + 7.42941726317475E-05 * HYO_IPF1IO + 0 * HYO_IPF2IO +
 1.1624692252021E-06 * HYO_IPF3IO + - 0.00375687328633078 * HYO_JIO +
 0.00282412160418149 * HYO_CPIO + 2.95932026995748E-05 * HYO_CGIO +
 0.000229417250033234 * HYO_IGIO + 0.00133181946856596 * HYOIPHIO +
 0.000825273456803832 * HYO_IPF1IO + 0.000912706571585997 * HYO_IPF2IO +
 0.000988144528857484 * HYO_IPF3IO + 0.00973015349604023 * HYO_JIO +
 0.000800742678723228 * HYO_CPIO + - 5.95824979470608E-07 * HYO_CGIO +
 0.000012266628719137 * HYO_IGIO + 6.88380567885553E-07 * HYOIPHIO +
 8.26127984312113E-05 * HYO_IPF1IO + 7.18221184019106E-05 * HYO_IPF2IO +
 5.89550949150965E-05 * HYO_IPF3IO + - 2.01220762747182E-05 * HYO_JIO +

0.000285124426440014 * HYO_CPIO + 0.00011860448528738 * HYO_CGIO + 0 *
 HYO_IGIO + 0 * HYO_IPHIO + 0 * HYO_IPF1IO + 0 * HYO_IPF2IO + 0 *
 HYO_IPF3IO + 0 * HYO_JIO + 0.000412221392808692 * HYO_CPIO + 0 *
 HYO_CGIO + 0 * HYO_IGIO + 0 * HYO_IPHIO + 0.000123404497864623 *
 HYO_IPF1IO + 0 * HYO_IPF2IO + 1.93089075411336E-06 * HYO_IPF3IO + -
 0.000943461315172628 * HYO_JIO + 0.00747612709425159 * HYO_CPIO +
 3.16406338004212E-05 * HYO_CGIO + 0.00135948626785369 * HYO_IGIO +
 0.00637280981697367 * HYO_IPHIO + 0.00394896674161869 * HYO_IPF1IO +
 0.00436733771858926 * HYO_IPF2IO + 0.00472831138357842 * HYO_IPF3IO +
 0.0325336466624299 * HYO_JIO + 0.000548885525952157 * HYO_CPIO +
 0.000171987969572932 * HYO_CGIO + 1.21426599941302E-05 * HYO_IGIO +
 7.08303150949663E-07 * HYO_IPHIO + 8.50037147581492E-05 * HYO_IPF1IO +
 0.000073900739133605 * HYO_IPF2IO + 6.06613281097758E-05 * HYO_IPF3IO +
 - 2.38850913167007E-05 * HYO_JIO + 0.000426215160218692 * HYO_CPIO +
 0.000576785737032364 * HYO_CGIO + 0 * HYO_IGIO + 0 * HYO_IPHIO + 0 *
 HYO_IPF1IO + 0 * HYO_IPF2IO + 0 * HYO_IPF3IO + 0 * HYO_JIO +
 0.000243228514220666 * HYO_CPIO + 0 * HYO_CGIO + 0 * HYO_IGIO + 0 *
 HYO_IPHIO + 4.23331483613921E-05 * HYO_IPF1IO + 0 * HYO_IPF2IO +
 6.62380109136637E-07 * HYO_IPF3IO + - 0.000839926151966643 * HYO_JIO +
 0.000602555051800342 * HYO_CPIO + 7.56206203339484E-06 * HYO_CGIO +
 0.000572308111786654 * HYO_IGIO + 0.00219470371979203 * HYO_IPHIO +
 0.00135996714888335 * HYO_IPF1IO + 0.00150404807484552 * HYO_IPF2IO +
 0.00162836219499839 * HYO_IPF3IO + - 0.00500763083571009 * HYO_JIO +
 0.00408283985345796 * HYO_CPIO + - 1.16785201609317E-08 * HYO_CGIO +
 7.71494776534137E-06 * HYO_IGIO + 4.39872486350913E-07 * HYO_IPHIO +
 5.27892545862586E-05 * HYO_IPF1IO + 4.58940523168437E-05 * HYO_IPF2IO +
 0.000037672074711541 * HYO_IPF3IO + - 8.80992366155399E-06 * HYO_JIO +
 1.08637892702688E-06 * HYO_CPIO + 0 * HYO_CGIO + 0 * HYO_IGIO + 0 *
 HYO_IPHIO + 0 * HYO_IPF1IO + 0 * HYO_IPF2IO + 0 * HYO_IPF3IO + 0 *
 HYO_JIO

< 1181 > KYO_MDKIO_final = + 0.000137695825977947 * KYO_CPIO + 0 *
 KYO_CGIO + 0 * KYO_IGIO + 0 * KYO_IPHIO + 0.000350233591089634 *
 KYO_IPF1IO + 0 * KYO_IPF2IO + 5.66069647967742E-06 * KYO_IPF3IO +
 0.000065632446763493 * KYO_JIO + 0.0199709714946414 * KYO_CPIO +
 0.000714060092817685 * KYO_CGIO + 0.0078482541646065 * KYO_IGIO +

0.032117333852044 * KYO_IPHIO + 0.0206245331891838 * KYO_IPF1IO +
 0.0239632663209349 * KYO_IPF2IO + 0.0255089204265046 * KYO_IPF3IO +
 0.0548389929808993 * KYO_JIO + 0.040675342870404 * KYO_CPIO +
 0.000150150554672306 * KYO_CGIO + 0.00819626499019819 * KYO_IGIO +
 0.000275656294376484 * KYO_IPHIO + 0.0342829960472515 * KYO_IPF1IO +
 0.0313125352324371 * KYO_IPF2IO + 0.0252719140570402 * KYO_IPF3IO +
 0.00271657961238599 * KYO_JIO + 0.000236130130102877 * KYO_CPIO +
 0.000535312162625599 * KYO_CGIO + 0 * KYO_IGIO + 0 * KYO_IPHIO + 0 *
 KYO_IPF1IO + 0 * KYO_IPF2IO + 0 * KYO_IPF3IO + 0 * KYO_JIO +
 8.80988991625337E-05 * KYO_CPIO + 0 * KYO_CGIO + 0 * KYO_IGIO + 0 *
 KYO_IPHIO + 0.000382807705663384 * KYO_IPF1IO + 0 * KYO_IPF2IO +
 6.18717989071335E-06 * KYO_IPF3IO + 0.00187372006477839 * KYO_JIO +
 0.0143616844848339 * KYO_CPIO + 0.000519406120901271 * KYO_CGIO +
 0.00435843889925778 * KYO_IGIO + 0.0149535784520721 * KYO_IPHIO +
 0.00960262070639455 * KYO_IPF1IO + 0.0111571086363755 * KYO_IPF2IO +
 0.0118767530512538 * KYO_IPF3IO + 0.0449442912818478 * KYO_JIO +
 0.00938386207059376 * KYO_CPIO + 1.19599825838659E-05 * KYO_CGIO +
 0.000628107743714378 * KYO_IGIO + 3.00069835144507E-05 * KYO_IPHIO +
 0.00373192746983257 * KYO_IPF1IO + 0.00340857345790234 * KYO_IPF2IO +
 0.00275101248895303 * KYO_IPF3IO + 0.000920080669872706 * KYO_JIO +
 0.000413117290202021 * KYO_CPIO + 0.00286922916941722 * KYO_CGIO + 0 *
 KYO_IGIO + 0 * KYO_IPHIO + 0 * KYO_IPF1IO + 0 * KYO_IPF2IO + 0 *
 KYO_IPF3IO + 0 * KYO_JIO + 0.000173303171119719 * KYO_CPIO + 0 *
 KYO_CGIO + 0 * KYO_IGIO + 0 * KYO_IPHIO + 0.000705621049089862 *
 KYO_IPF1IO + 0 * KYO_IPF2IO + 1.14046930111481E-05 * KYO_IPF3IO +
 0.0153384329002434 * KYO_JIO + 0.00291609643172231 * KYO_CPIO +
 0.000117732174152456 * KYO_CGIO + 0.00156550841724561 * KYO_IGIO +
 0.00443894755567121 * KYO_IPHIO + 0.00285052369566973 * KYO_IPF1IO +
 0.00331197112908681 * KYO_IPF2IO + 0.00352559650488665 * KYO_IPF3IO +
 0.030666486503236 * KYO_JIO + 0.000865385620006626 * KYO_CPIO +
 2.75597562418869E-07 * KYO_CGIO + 3.32721668253231E-05 * KYO_IGIO +
 1.66005862519419E-06 * KYO_IPHIO + 0.000206459219131813 * KYO_IPF1IO +
 0.000188570496120471 * KYO_IPF2IO + 0.000152192639026983 * KYO_IPF3IO +
 6.72052889081321E-05 * KYO_JIO + 6.68604611123084E-06 * KYO_CPIO +
 1.29332483366996E-05 * KYO_CGIO + 0 * KYO_IGIO + 0 * KYO_IPHIO + 0 *
 KYO_IPF1IO + 0 * KYO_IPF2IO + 0 * KYO_IPF3IO + 0 * KYO_JIO +

0.000463631117462789 * KYO_CPIO + 0 * KYO_CGPIO + 0 * KYO_IGIO + 0 *
 KYOIPHIO + 0.00069498630427611 * KYO_IPF1IO + 0 * KYO_IPF2IO +
 1.12328075493848E-05 * KYO_IPF3IO + 0.00802496121699737 * KYO_JIO +
 0.00122995324374211 * KYO_CPIO + 3.23916537752684E-05 * KYO_CGPIO +
 0.000322939495636568 * KYO_IGIO + 0.00221021215755151 * KYOIPHIO +
 0.00141931438669706 * KYO_IPF1IO + 0.00164907531867886 * KYO_IPF2IO +
 0.00175544228896467 * KYO_IPF3IO + - 0.0100261692706863 * KYO_JIO +
 0.0007866363814438 * KYO_CPIO + 4.44862403600552E-07 * KYO_CGPIO +
 1.26970570050164E-05 * KYO_IGIO + 6.52287679919893E-07 * KYOIPHIO +
 8.11241259806772E-05 * KYO_IPF1IO + 7.40951009494478E-05 * KYO_IPF2IO +
 5.98011310595633E-05 * KYO_IPF3IO + 3.05823740964369E-05 * KYO_JIO +
 0.000328827241660222 * KYO_CPIO + 0.000116102353498434 * KYO_CGPIO +
 0 * KYOIPHIO + 0 * KYO_IPF1IO + 0 * KYO_IPF2IO + 0 *
 KYO_IPF3IO + 0 * KYO_JIO + 0.000433539380913067 * KYO_CPIO + 0 *
 KYO_CGPIO + 0 * KYO_IGIO + 0 * KYOIPHIO + 0.000932689632052844 *
 KYO_IPF1IO + 0 * KYO_IPF2IO + 1.50747188479758E-05 * KYO_IPF3IO +
 0.00183600583861835 * KYO_JIO + 0.00757727069639124 * KYO_CPIO +
 0.000155169421494577 * KYO_CGPIO + 0.0033548884995561 * KYO_IGIO +
 0.0109659737561572 * KYOIPHIO + 0.00704193227020272 * KYO_IPF1IO +
 0.008189177214204 * KYO_IPF2IO + 0.00870963179053388 * KYO_IPF3IO +
 0.0865032616434215 * KYO_JIO + 0.000535358508345793 * KYO_CPIO +
 0.000181023317959972 * KYO_CGPIO + 1.30656912412659E-05 * KYO_IGIO +
 6.8422749917129E-07 * KYOIPHIO + 8.50964375856865E-05 * KYO_IPF1IO +
 7.77232303846534E-05 * KYO_IPF2IO + 6.27293441408008E-05 * KYO_IPF3IO +
 0.000037203980815727 * KYO_JIO + 0.000499144592618884 * KYO_CPIO +
 0.000573070582676197 * KYO_CGPIO + 0 * KYO_IGIO + 0 * KYOIPHIO +
 0 * KYO_IPF1IO + 0 * KYO_IPF2IO + 0 * KYO_IPF3IO + 0 * KYO_JIO +
 0.000255063306840902 * KYO_CPIO + 0 * KYO_CGPIO + 0 * KYO_IGIO +
 0 * KYOIPHIO + 0.000437323388089551 * KYO_IPF1IO + 0 * KYO_IPF2IO +
 7.0682967779797E-06 * KYO_IPF3IO + 0.0017906754552066 * KYO_JIO +
 0.00215907651901349 * KYO_CPIO + 0.000139226105115522 * KYO_CGPIO +
 0.000449256346888404 * KYO_IGIO + 0.00322275017989208 * KYOIPHIO +
 0.00206952788646253 * KYO_IPF1IO + 0.00240454644219105 * KYO_IPF2IO +
 0.00255964203853548 * KYO_IPF3IO + - 0.0177003138582309 * KYO_JIO +
 0.00371781588229012 * KYO_CPIO + 5.30496507703299E-08 * KYO_CGPIO +
 8.38327044528973E-06 * KYO_IGIO + 4.20178332770822E-07 * KYOIPHIO +

5.22570041584064E-05 * KYO_IPF1IO + 4.77291798417045E-05 * KYO_IPF2IO +
 3.85215608387738E-05 * KYO_IPF3IO + 1.82273466100806E-05 * KYO_JIO +
 1.24074589398839E-06 * KYO_CPIO + 0 * KYO_CGIO + 0 * KYO_IGIO + 0 *
 KYOIPHIO + 0 * KYO_IPF1IO + 0 * KYO_IPF2IO + 0 * KYO_IPF3IO + 0 *
 KYO_JIO

< 1182 > NRA_MDKIO_final = + 0.000113728656014385 * NRA_CPIO + 0 *
 NRA_CGIO + 0 * NRA_IGIO + 0 * NRA_IPHIO + 8.85777618424476E-05 *
 NRA_IPF1IO + 0 * NRA_IPF2IO + 1.32986255814513E-06 * NRA_IPF3IO + -
 4.49493632664975E-05 * NRA_JIO + 0.0252490317580663 * NRA_CPIO +
 0.000773030908982699 * NRA_CGIO + 0.0120246343816192 * NRA_IGIO +
 0.050177147601828 * NRA_IPHIO + 0.0359809837862049 * NRA_IPF1IO +
 0.0391395763219343 * NRA_IPF2IO + 0.0413381435800864 * NRA_IPF3IO +
 0.466125151259158 * NRA_JIO + 0.0338714108311321 * NRA_CPIO +
 0.000158163052610226 * NRA_CGIO + 0.0134364492809236 * NRA_IGIO +
 0.000251270265791175 * NRA_IPHIO + 0.0348958978273941 * NRA_IPF1IO +
 0.0298397403449044 * NRA_IPF2IO + 0.0238948180770266 * NRA_IPF3IO + 0 *
 NRA_JIO + 0.000381407406537218 * NRA_CPIO + 0.000198101391598782 *
 NRA_CGIO + 0 * NRA_IGIO + 0 * NRA_IPHIO + 0 * NRA_IPF1IO + 0 *
 NRA_IPF2IO + 0 * NRA_IPF3IO + 0 * NRA_JIO + 8.04985215608369E-05 *
 NRA_CPIO + 0 * NRA_CGIO + 0 * NRA_IGIO + 0 * NRA_IPHIO +
 0.000130806134848593 * NRA_IPF1IO + 0 * NRA_IPF2IO + 1.96385839394134E-06
 * NRA_IPF3IO + - 0.00562721075715264 * NRA_JIO + 0.00947129636542959 *
 NRA_CPIO + 0.000352825224457839 * NRA_CGIO + 0.0117240118747468 *
 NRA_IGIO + 0.0193539309485509 * NRA_IPHIO + 0.0138782993641865 *
 NRA_IPF1IO + 0.0150966065967181 * NRA_IPF2IO + 0.0159446205021253 *
 NRA_IPF3IO + 0.0455142032456862 * NRA_JIO + 0.00778813771637893 *
 NRA_CPIO + 1.85579889786145E-06 * NRA_CGIO + 0.000791457003680356 *
 NRA_IGIO + 2.29643344008615E-05 * NRA_IPHIO + 0.00318923954015541 *
 NRA_IPF1IO + 0.00272714232047161 * NRA_IPF2IO + 0.00218381825259272 *
 NRA_IPF3IO + 0 * NRA_JIO + 0.000557739401433791 * NRA_CPIO +
 0.002897473805584 * NRA_CGIO + 0 * NRA_IGIO + 0 * NRA_IPHIO + 0 *
 NRA_IPF1IO + 0 * NRA_IPF2IO + 0 * NRA_IPF3IO + 0 * NRA_JIO +
 2.48934978083616E-05 * NRA_CPIO + 0 * NRA_CGIO + 0 * NRA_IGIO + 0 *
 NRA_IPHIO + 5.77012386668799E-05 * NRA_IPF1IO + 0 * NRA_IPF2IO +
 8.66297762164809E-07 * NRA_IPF3IO + - 0.000242739956872699 * NRA_JIO +

0.00631779178281839 * NRA_CPIO + 0.000232441754420857 * NRA_CGIO +
 0.00176741016308734 * NRA_IGIO + 0.00445418228787354 * NRAIPHIO +
 0.00319400102119277 * NRA_IPF1IO + 0.00347438656719664 * NRA_IPF2IO +
 0.00366955149402088 * NRA_IPF3IO + - 0.00390888487423515 * NRA_JIO +
 0.0125936267693542 * NRA_CPIO + 8.71860722392453E-07 * NRA_CGIO +
 0.000269125370416217 * NRA_IGIO + 8.39194986015251E-06 * NRAIPHIO +
 0.00116545674025701 * NRA_IPF1IO + 0.000996590679067935 * NRA_IPF2IO +
 0.00079804156129848 * NRA_IPF3IO + 0 * NRA_JIO + 0.00128801964837537 *
 NRA_CPIO + 0.00517940363033062 * NRA_CGIO + 0 * NRA_IGIO + 0 *
 NRAIPHIO + 0 * NRA_IPF1IO + 0 * NRA_IPF2IO + 0 * NRA_IPF3IO + 0 *
 NRA_JIO + 0.000413893409716775 * NRA_CPIO + 0 * NRA_CGIO + 0 *
 NRA_IGIO + 0 * NRAIPHIO + 0.000513195050554726 * NRA_IPF1IO + 0 *
 NRA_IPF2IO + 7.70485580762413E-06 * NRA_IPF3IO + - 0.0235405844169558 *
 NRA_JIO + 0.00274972532352999 * NRA_CPIO + 7.34210064673581E-05 *
 NRA_CGIO + 0.00116998003766738 * NRA_IGIO + 0.00207291082676683 *
 NRAIPHIO + 0.00148644102769661 * NRA_IPF1IO + 0.00161692833073374 *
 NRA_IPF2IO + 0.00170775521290256 * NRA_IPF3IO + - 0.0192488302865218 *
 NRA_JIO + 0.00085129594476655 * NRA_CPIO + 6.60624590730421E-08 *
 NRA_CGIO + 1.57169205072249E-05 * NRA_IGIO + 4.88916185262578E-07 *
 NRAIPHIO + 6.78996744535677E-05 * NRA_IPF1IO + 5.80615138552891E-05 *
 NRA_IPF2IO + 4.64940141842022E-05 * NRA_IPF3IO + 0 * NRA_JIO +
 0.000533305360104296 * NRA_CPIO + 0.000114217961213369 * NRA_CGIO +
 0 * NRA_IGIO + 0 * NRAIPHIO + 0 * NRA_IPF1IO + 0 * NRA_IPF2IO +
 0 * NRA_IPF3IO + 0 * NRA_JIO + 0.00035821104456794 * NRA_CPIO +
 0 * NRA_CGIO + 0 * NRA_IGIO + 0 * NRAIPHIO + 0.00060422773674599 *
 NRA_IPF1IO + 0 * NRA_IPF2IO + 9.07157538164619E-06 * NRA_IPF3IO +
 - 0.00372799653878105 * NRA_JIO + 0.0043750220312697 * NRA_CPIO +
 2.41435069623223E-05 * NRA_CGIO + 0.00305202058937878 * NRA_IGIO +
 0.00739014573611261 * NRAIPHIO + 0.00529931904497242 * NRA_IPF1IO +
 0.00576452004334855 * NRA_IPF2IO + 0.00608832745817653 * NRA_IPF3IO +
 0.0259174964937653 * NRA_JIO + 0.000480631093888004 * NRA_CPIO +
 0.00023981036164125 * NRA_CGIO + 1.58334654901862E-05 * NRA_IGIO +
 5.07703566376068E-07 * NRAIPHIO + 7.05088273102193E-05 * NRA_IPF1IO +
 6.02926197619993E-05 * NRA_IPF2IO + 4.82806205398611E-05 * NRA_IPF3IO +
 0 * NRA_JIO + 0.000772508864212759 * NRA_CPIO + 0.000564289296940133 *
 NRA_CGIO + 0 * NRA_IGIO + 0 * NRAIPHIO + 0 * NRA_IPF1IO + 0 *

NRA_IPF2IO + 0 * NRA_IPF3IO + 0 * NRA_JIO + 0.000213376665133455 *
 NRA_CPIO + 0 * NRA_CGPIO + 0 * NRA_IGIO + 0 * NRAIPHIO +
 0.000338676973451846 * NRA_IPF1IO + 0 * NRA_IPF2IO + 5.08472800544041E-06
 * NRA_IPF3IO + - 0.00443649914662951 * NRA_JIO + 0.00041418398390938 *
 NRA_CPIO + 1.63809444969905E-05 * NRA_CGPIO + 0.0010566682027356 *
 NRA_IGIO + 0.00429297713146626 * NRAIPHIO + 0.00307840417290298 *
 NRA_IPF1IO + 0.0033486420435589 * NRA_IPF2IO + 0.00353674358803358 *
 NRA_IPF3IO + 0.0958207331724766 * NRA_JIO + 0.00430336895297005 *
 NRA_CPIO + 2.07378151710441E-08 * NRA_CGPIO + 1.02971546714859E-05 *
 NRA_IGIO + 3.14761823509904E-07 * NRAIPHIO + 4.37134748060254E-05 *
 NRA_IPF1IO + 0.000037379715639852 * NRA_IPF2IO + 2.99326165261949E-05 *
 NRA_IPF3IO + 0 * NRA_JIO + 2.03073083233274E-06 * NRA_CPIO + 0 *
 NRA_CGPIO + 0 * NRA_IGIO + 0 * NRAIPHIO + 0 * NRA_IPF1IO + 0 *
 NRA_IPF2IO + 0 * NRA_IPF3IO + 0 * NRA_JIO

< 1183 > WAK_MDKIO_final = + 0.000326481425531904 * WAK_CPIO + 0 *
 WAK_CGPIO + 0 * WAK_IGIO + 0 * WAKIPHIO + 0.000157904312471705 *
 WAK_IPF1IO + 0 * WAK_IPF2IO + 2.49603283927414E-06 * WAK_IPF3IO + -
 0.000265441505198917 * WAK_JIO + 0.0186738805146684 * WAK_CPIO +
 0.000739907047307008 * WAK_CGPIO + 0.00540950110851397 * WAK_IGIO +
 0.0293267744658679 * WAKIPHIO + 0.0192199488584094 * WAK_IPF1IO +
 0.021820284833679 * WAK_IPF2IO + 0.0232490071497417 * WAK_IPF3IO +
 0.0144564002097974 * WAK_JIO + 0.037941981805155 * WAK_CPIO +
 0.000152595689708304 * WAK_CGPIO + 0.0071793904457061 * WAK_IGIO +
 0.000306533440229957 * WAKIPHIO + 0.0389073813049446 * WAK_IPF1IO +
 0.0347230419772081 * WAK_IPF2IO + 0.0280501766394022 * WAK_IPF3IO +
 0.00432112736201472 * WAK_JIO + 0.000192087417267814 * WAK_CPIO +
 0.000255321161180264 * WAK_CGPIO + 0 * WAK_IGIO + 0 * WAKIPHIO + 0 *
 WAK_IPF1IO + 0 * WAK_IPF2IO + 0 * WAK_IPF3IO + 0 * WAK_JIO +
 0.00010616151462762 * WAK_CPIO + 0 * WAK_CGPIO + 0 * WAK_IGIO + 0 *
 WAKIPHIO + 0.000313365059955083 * WAK_IPF1IO + 0 * WAK_IPF2IO +
 4.95343963749663E-06 * WAK_IPF3IO + 0.00292826773482115 * WAK_JIO +
 0.0122760942536781 * WAK_CPIO + 0.000355859344591547 * WAK_CGPIO +
 0.00323499281461391 * WAK_IGIO + 0.0208061120406933 * WAKIPHIO +
 0.0136357446956834 * WAK_IPF1IO + 0.0154805736149999 * WAK_IPF2IO +
 0.0164941919594801 * WAK_IPF3IO + 0.0279694427408606 * WAK_JIO +

0.00950102320543151 * WAK_CPIO + 1.86401891650976E-05 * WAK_CGIO +
 0.000422688491515322 * WAK_IGIO + 2.80116551452142E-05 * WAK_IPHIO +
 0.00355543638860369 * WAK_IPF1IO + 0.00317306286951493 * WAK_IPF2IO +
 0.00256328273416379 * WAK_IPF3IO + 0.00158737154012384 * WAK_JIO +
 0.000235337041893596 * WAK_CPIO + 0.00269177747806499 * WAK_CGIO + 0 *
 WAK_IGIO + 0 * WAK_IPHIO + 0 * WAK_IPF1IO + 0 * WAK_IPF2IO + 0 *
 WAK_IPF3IO + 0 * WAK_JIO + 3.29208232239257E-05 * WAK_CPIO + 0 *
 WAK_CGIO + 0 * WAK_IGIO + 0 * WAK_IPHIO + 9.18565408333443E-05 *
 WAK_IPF1IO + 0 * WAK_IPF2IO + 1.45199924456299E-06 * WAK_IPF3IO + -
 4.18991231146734E-05 * WAK_JIO + 0.00629349347168513 * WAK_CPIO +
 0.000163671211420565 * WAK_CGIO + 0.00148142390941489 * WAK_IGIO +
 0.00811844192847062 * WAK_IPHIO + 0.00532060008361217 * WAK_IPF1IO +
 0.0060404431960659 * WAK_IPF2IO + 0.00643595205669304 * WAK_IPF3IO +
 0.020440239635785 * WAK_JIO + 0.0130562655604271 * WAK_CPIO +
 7.08618213197097E-06 * WAK_CGIO + 0.000143742663765284 * WAK_IGIO +
 1.02368116255607E-05 * WAK_IPHIO + 0.00129932816779725 * WAK_IPF1IO +
 0.00115959041702093 * WAK_IPF2IO + 0.000936747305957389 * WAK_IPF3IO +
 0.000812986031563695 * WAK_JIO + 0.000639531324428428 * WAK_CPIO +
 0.00478908143350536 * WAK_CGIO + 0 * WAK_IGIO + 0 * WAK_IPHIO + 0 *
 WAK_IPF1IO + 0 * WAK_IPF2IO + 0 * WAK_IPF3IO + 0 * WAK_JIO +
 0.000188147032663451 * WAK_CPIO + 0 * WAK_CGIO + 0 * WAK_IGIO + 0 *
 WAK_IPHIO + 0.000763245902255663 * WAK_IPF1IO + 0 * WAK_IPF2IO +
 1.20648182855229E-05 * WAK_IPF3IO + 0.0279867864261831 * WAK_JIO +
 0.00384833233895899 * WAK_CPIO + 0.000331635013921484 * WAK_CGIO +
 0.000258215569243886 * WAK_IGIO + 0.00167073498950134 * WAK_IPHIO +
 0.00109495304679838 * WAK_IPF1IO + 0.00124309318077044 * WAK_IPF2IO +
 0.00132448693808614 * WAK_IPF3IO + 0.00327614453861069 * WAK_JIO +
 0.000854448145260445 * WAK_CPIO + 2.67122408542283E-07 * WAK_CGIO +
 2.25061275768513E-05 * WAK_IGIO + 1.53874908153627E-06 * WAK_IPHIO +
 0.000195308861581471 * WAK_IPF1IO + 0.000174304144143268 * WAK_IPF2IO +
 0.000140807422212828 * WAK_IPF3IO + 0.000106913998465159 * WAK_JIO +
 5.50591367556358E-06 * WAK_CPIO + 1.19914619897581E-05 * WAK_CGIO +
 0 * WAK_IGIO + 0 * WAK_IPHIO + 0 * WAK_IPF1IO + 0 * WAK_IPF2IO + 0 *
 WAK_IPF3IO + 0 * WAK_JIO + 0.000491167837808263 * WAK_CPIO + 0 *
 WAK_CGIO + 0 * WAK_IGIO + 0 * WAK_IPHIO + 0.00194604253029496 *
 WAK_IPF1IO + 0 * WAK_IPF2IO + 3.07615795047444E-05 * WAK_IPF3IO +

2.30788202503535E-05 * WAK_JIO + 0.00469726276289979 * WAK_CPIO +
 4.71124402509568E-05 * WAK_CGPIO + 0.000615683843383217 * WAK_IGIO +
 0.00429527459960202 * WAK_IPHIO + 0.00281500300120825 * WAK_IPF1IO +
 0.00319585487695769 * WAK_IPF2IO + 0.00340510921146389 * WAK_IPF3IO +
 -0.00110381835964654 * WAK_JIO + 0.000654089418301579 * WAK_CPIO +
 0.000197863799427683 * WAK_CGPIO + 8.45842775863758E-06 * WAK_IGIO +
 6.19272473979559E-07 * WAK_IPHIO + 7.86024202080658E-05 * WAK_IPF1IO +
 7.01490320050904E-05 * WAK_IPF2IO + 5.66682130015407E-05 * WAK_IPF3IO +
 6.26332438783217E-05 * WAK_JIO + 0.000393840959926168 * WAK_CPIO +
 0.00055642423321866 * WAK_CGPIO + 0 * WAK_IGIO + 0 * WAK_IPHIO + 0 *
 WAK_IPF1IO + 0 * WAK_IPF2IO + 0 * WAK_IPF3IO + 0 * WAK_JIO +
 0.000277621725776276 * WAK_CPIO + 0 * WAK_CGPIO + 0 * WAK_IGIO + 0 *
 WAK_IPHIO + 0.00114176705509503 * WAK_IPF1IO + 0 * WAK_IPF2IO +
 1.80481965293329E-05 * WAK_IPF3IO + 0.00141067721222789 * WAK_JIO +
 0.00037017168882976 * WAK_CPIO + 4.18600481594278E-06 * WAK_CGPIO +
 0.000219204206124627 * WAK_IGIO + 0.0013312324874163 * WAK_IPHIO +
 0.000872452589580657 * WAK_IPF1IO + 0.000990489836823957 * WAK_IPF2IO +
 0.00105534393678142 * WAK_IPF3IO + 0.0178598746671674 * WAK_JIO +
 0.00422307206214412 * WAK_CPIO + 6.79872969881361E-08 * WAK_CGPIO +
 5.50100360570984E-06 * WAK_IGIO + 3.83969388590637E-07 * WAK_IPHIO +
 4.87360967864229E-05 * WAK_IPF1IO + 4.34947168830705E-05 * WAK_IPF2IO +
 3.51361638260766E-05 * WAK_IPF3IO + 0.000029129369307715 * WAK_JIO +
 9.99223105154632E-07 * WAK_CPIO + 0 * WAK_CGPIO + 0 * WAK_IGIO + 0 *
 WAK_IPHIO + 0 * WAK_IPF1IO + 0 * WAK_IPF2IO + 0 * WAK_IPF3IO + 0 *
 WAK_JIO

< 1184 >SGA_MDKIO_final = + 0.000190055533414348 * SGA_CPIO + 0 *
 SGA_CGPIO + 0 * SGA_IGIO + 0 * SGA_IPHIO + 0.000130513452064317 *
 SGA_IPF1IO + 0 * SGA_IPF2IO + 1.81514088693822E-06 * SGA_IPF3IO +
 3.18152879134441E-05 * SGA_JIO + 0.0225858662970755 * SGA_CPIO +
 0.000465180044370823 * SGA_CGPIO + 0.028698469680552 * SGA_IGIO +
 0.114550104370269 * SGA_IPHIO + 0.102091297425644 * SGA_IPF1IO +
 0.106936052939101 * SGA_IPF2IO + 0.10865248543184 * SGA_IPF3IO +
 -0.0461233776088115 * SGA_JIO + 0.0358923409519177 * SGA_CPIO +
 5.84396394498006E-05 * SGA_CGPIO + 0.00263447278129742 * SGA_IGIO +
 5.17049857499603E-05 * SGA_IPHIO + 0.00892466390774882 * SGA_IPF1IO +

0.00734860448511419 * SGA_IPF2IO + 0.00566101399086039 * SGA_IPF3IO +
 0.000701950338087435 * SGA_JIO + 0.000257060033234311 * SGA_CPIO +
 0.000381883589528203 * SGA_CGIO + 0 * SGA_IGIO + 0 * SGAIPHIO + 0 *
 SGA_IPF1IO + 0 * SGA_IPF2IO + 0 * SGA_IPF3IO + 0 * SGA_JIO +
 8.70804043654159E-05 * SGA_CPIO + 0 * SGA_CGIO + 0 * SGA_IGIO + 0 *
 SGAIPHIO + 0.000131612238169323 * SGA_IPF1IO + 0 * SGA_IPF2IO +
 1.83042246560808E-06 * SGA_IPF3IO + 0.000504750985840698 * SGA_JIO +
 0.0092753519430844 * SGA_CPIO + 0.000297845286257851 * SGA_CGIO +
 0.00388600125308204 * SGA_IGIO + 0.0198283551886298 * SGAIPHIO +
 0.0176717648417011 * SGA_IPF1IO + 0.0185103806915163 * SGA_IPF2IO +
 0.0188074911420955 * SGA_IPF3IO + 0.0176563531000571 * SGA_JIO +
 0.0103278917791101 * SGA_CPIO + 8.49229003616618E-07 * SGA_CGIO +
 0.000140908210992391 * SGA_IGIO + 5.28450334427963E-06 * SGAIPHIO +
 0.000912144459243112 * SGA_IPF1IO + 0.000751063449957609 * SGA_IPF2IO +
 0.000578583417687887 * SGA_IPF3IO + 0.000212473624082861 * SGA_JIO +
 0.000264718682819915 * SGA_CPIO + 0.00326241969026337 * SGA_CGIO + 0 *
 SGA_IGIO + 0 * SGAIPHIO + 0 * SGA_IPF1IO + 0 * SGA_IPF2IO + 0 *
 SGA_IPF3IO + 0 * SGA_JIO + 2.65099073449382E-05 * SGA_CPIO + 0 *
 SGA_CGIO + 0 * SGA_IGIO + 0 * SGAIPHIO + 9.34082190793471E-05 *
 SGA_IPF1IO + 0 * SGA_IPF2IO + 1.29909273676595E-06 * SGA_IPF3IO +
 3.51286428282778E-05 * SGA_JIO + 0.0100169644016217 * SGA_CPIO +
 0.000292472139275952 * SGA_CGIO + 0.00594256235247108 * SGA_IGIO +
 0.0200918157266892 * SGAIPHIO + 0.0179065706351904 * SGA_IPF1IO +
 0.0187563292238216 * SGA_IPF2IO + 0.0190573873986789 * SGA_IPF3IO +
 0.0597504576263842 * SGA_JIO + 0.0155766495244495 * SGA_CPIO +
 6.26919869095509E-07 * SGA_CGIO + 6.69940249769712E-05 * SGA_IGIO +
 2.63022071537789E-06 * SGAIPHIO + 0.000453995597280759 * SGA_IPF1IO +
 0.000373821817480746 * SGA_IPF2IO + 0.000287974477757524 * SGA_IPF3IO +
 0.000152727192422947 * SGA_JIO + 0.000759609568169025 * SGA_CPIO +
 0.00529055443447309 * SGA_CGIO + 0 * SGA_IGIO + 0 * SGAIPHIO + 0 *
 SGA_IPF1IO + 0 * SGA_IPF2IO + 0 * SGA_IPF3IO + 0 * SGA_JIO +
 0.000162612281465807 * SGA_CPIO + 0 * SGA_CGIO + 0 * SGA_IGIO + 0 *
 SGAIPHIO + 0.00022804067209873 * SGA_IPF1IO + 0 * SGA_IPF2IO +
 3.17151942013834E-06 * SGA_IPF3IO + 0.00396941303526317 * SGA_JIO +
 0.00239796222824861 * SGA_CPIO + 0.000133851538840034 * SGA_CGIO +
 0.0022363032650693 * SGA_IGIO + 0.0060921586231576 * SGAIPHIO +

0.00542955749695859 * SGA_IPF1IO + 0.00568721783904777 * SGA_IPF2IO +
 0.00577850347400374 * SGA_IPF3IO + 0.0979246830747938 * SGA_JIO +
 0.000933217961086029 * SGA_CPIO + 1.10404910389256E-07 * SGA_CGIO +
 9.67159506957712E-06 * SGA_IGIO + 3.66431331062068E-07 * SGAIPHIO +
 6.32487646512989E-05 * SGA_IPF1IO + 5.20792895283053E-05 * SGA_IPF2IO +
 4.01193978055309E-05 * SGA_IPF3IO + 1.57411024637283E-05 * SGA_JIO +
 7.10024758110679E-06 * SGA_CPIO + 1.06491447538075E-05 * SGA_CGIO + 0 *
 SGA_IGIO + 0 * SGAIPHIO + 0 * SGA_IPF1IO + 0 * SGA_IPF2IO + 0 *
 SGA_IPF3IO + 0 * SGA_JIO + 0.000449779818916707 * SGA_CPIO + 0 *
 SGA_CGIO + 0 * SGA_IGIO + 0 * SGAIPHIO + 0.00014938967818225 *
 SGA_IPF1IO + 0 * SGA_IPF2IO + 2.07766562500788E-06 * SGA_IPF3IO +
 0.00220333804202108 * SGA_JIO + 0.00171847595883479 * SGA_CPIO +
 3.23493069084916E-05 * SGA_CGIO + 0.000241882607779704 * SGA_IGIO +
 0.00183065437384049 * SGAIPHIO + 0.00163154700897691 * SGA_IPF1IO +
 0.00170897227995029 * SGA_IPF2IO + 0.00173640302449226 * SGA_IPF3IO +
 0.00374678636333315 * SGA_JIO + 0.00089773265572874 * SGA_CPIO +
 2.9667588829681E-08 * SGA_CGIO + 3.74792807949218E-06 * SGA_IGIO +
 1.45322626049796E-07 * SGAIPHIO + 2.50837627527417E-05 * SGA_IPF1IO +
 2.06540720607185E-05 * SGA_IPF2IO + 1.59109108594445E-05 * SGA_IPF3IO +
 7.05706822195928E-06 * SGA_JIO + 0.000347381507000324 * SGA_CPIO +
 0.000133230633264892 * SGA_CGIO + 0 * SGA_IGIO + 0 * SGAIPHIO + 0 *
 SGA_IPF1IO + 0 * SGA_IPF2IO + 0 * SGA_IPF3IO + 0 * SGA_JIO +
 0.000235911359887693 * SGA_CPIO + 0 * SGA_CGIO + 0 * SGA_IGIO + 0 *
 SGAIPHIO + 0.000088889714665744 * SGA_IPF1IO + 0 * SGA_IPF2IO +
 1.23625076929658E-06 * SGA_IPF3IO + 0.000579954394504049 * SGA_JIO +
 -0.000281215843885904 * SGA_CPIO + -0.000116803457273872 * SGA_CGIO +
 0.000197893922827539 * SGA_IGIO + 0.00349785915725526 * SGAIPHIO +
 0.00311742168668895 * SGA_IPF1IO + 0.00326535932961444 * SGA_IPF2IO +
 0.00331777167044596 * SGA_IPF3IO + 0.229530492079803 * SGA_JIO +
 0.00351579733943964 * SGA_CPIO + 2.39473559271159E-08 * SGA_CGIO +
 0.0000023080 * SGA_IGIO + 0.0000000899 * SGAIPHIO + 0.0000155214 *
 SGA_IPF1IO + 0.0000127803 * SGA_IPF2IO + 0.0000098454 * SGA_IPF3IO +
 0.0000045957 * SGA_JIO + 0.0000013394 * SGA_CPIO + 0 * SGA_CGIO + 0 *
 SGA_IGIO + 0 * SGAIPHIO + 0 * SGA_IPF1IO + 0 * SGA_IPF2IO + 0 *
 SGA_IPF3IO + 0 * SGA_JIO

<1185>FKI_MDKIO_final = + 0.0003113658 * FKI_CPIO + 0 * FKI_CGIO + 0 *
 FKI_IGIO + 0 * FKIIPHIO + 0.0005080952 * FKI_IPF1IO + 0 * FKI_IPF2IO +
 0.0000070571 * FKI_IPF3IO + 0.0003452647 * FKI_JIO + 0.0099654501 *
 FKI_CPIO + 0.0003856929 * FKI_CGIO + 0.0054787867 * FKI_IGIO +
 0.0184513268 * FKIIPHIO + 0.0173455817 * FKI_IPF1IO + 0.0184513268 *
 FKI_IPF2IO + 0.0184359688 * FKI_IPF3IO + 0.0896436537 * FKI_JIO +
 0.0414532262 * FKI_CPIO + 0.0004179719 * FKI_CGIO + 0.0311758925 *
 FKI_IGIO + 0 * FKIIPHIO + 0 * FKI_IPF1IO + 0 * FKI_IPF2IO + 0 *
 FKI_IPF3IO + 0.0048689577 * FKI_JIO + 0.0001764008 * FKI_CPIO +
 0.0006302929 * FKI_CGIO + 0 * FKI_IGIO + 0 * FKIIPHIO + 0 * FKI_IPF1IO
 + 0 * FKI_IPF2IO + 0 * FKI_IPF3IO + 0 * FKI_JIO + 0.0001461793 * FKI_CPIO
 + 0 * FKI_CGIO + 0 * FKI_IGIO + 0 * FKIIPHIO + 0.0007626152 *
 FKI_IPF1IO + 0 * FKI_IPF2IO + 0.0000105922 * FKI_IPF3IO + 0.0008155213 *
 FKI_JIO + 0.0077652166 * FKI_CPIO + 0.0003682587 * FKI_CGIO + 0.0041029835
 * FKI_IGIO + 0.0137352311 * FKIIPHIO + 0.0129121105 * FKI_IPF1IO +
 0.0137352311 * FKI_IPF2IO + 0.0137237985 * FKI_IPF3IO + 0.0321039264 *
 FKI_JIO + 0.0129654404 * FKI_CPIO + 0.0000890650 * FKI_CGIO + 0.0013967654
 * FKI_IGIO + 0 * FKIIPHIO + 0 * FKI_IPF1IO + 0 * FKI_IPF2IO + 0 *
 FKI_IPF3IO + 0.0020916531 * FKI_JIO + 0.0002314345 * FKI_CPIO +
 0.0027249685 * FKI_CGIO + 0 * FKI_IGIO + 0 * FKIIPHIO + 0 * FKI_IPF1IO
 + 0 * FKI_IPF2IO + 0 * FKI_IPF3IO + 0 * FKI_JIO + 0.0000405377 * FKI_CPIO
 + 0 * FKI_CGIO + 0 * FKI_IGIO + 0 * FKIIPHIO + 0.0003738073 *
 FKI_IPF1IO + 0 * FKI_IPF2IO + 0.0000051919 * FKI_IPF3IO + 0.0001829754 *
 FKI_JIO + 0.0054772929 * FKI_CPIO + 0.0001544947 * FKI_CGIO + 0.0021234614
 * FKI_IGIO + 0.0054223423 * FKIIPHIO + 0.0050973939 * FKI_IPF1IO +
 0.0054223423 * FKI_IPF2IO + 0.0054178290 * FKI_IPF3IO + 0.0026891316 *
 FKI_JIO + 0.0176019008 * FKI_CPIO + 0.0000319986 * FKI_CGIO + 0.0007855115
 * FKI_IGIO + 0 * FKIIPHIO + 0 * FKI_IPF1IO + 0 * FKI_IPF2IO + 0 *
 FKI_IPF3IO + 0.0009880639 * FKI_JIO + 0.0006370414 * FKI_CPIO +
 0.0047979528 * FKI_CGIO + 0 * FKI_IGIO + 0 * FKIIPHIO + 0 * FKI_IPF1IO
 + 0 * FKI_IPF2IO + 0 * FKI_IPF3IO + 0 * FKI_JIO + 0.0003727267 * FKI_CPIO
 + 0 * FKI_CGIO + 0 * FKI_IGIO + 0 * FKIIPHIO + 0.0002970238 *
 FKI_IPF1IO + 0 * FKI_IPF2IO + 0.0000041254 * FKI_IPF3IO + 0.0020729059 *
 FKI_JIO + 0.0007785320 * FKI_CPIO + 0.0000366158 * FKI_CGIO + 0.0004787244
 * FKI_IGIO + 0.0024418190 * FKIIPHIO + 0.0022954864 * FKI_IPF1IO +
 0.0024418190 * FKI_IPF2IO + 0.0024397865 * FKI_IPF3IO + - 0.0088513759 *

$$\begin{aligned}
& \text{FKI_JIO} + 0.0012313426 * \text{FKI_CPIO} + 0.0000013125 * \text{FKI_CGIO} + 0.0000848978 \\
& * \text{FKI_IGIO} + 0 * \text{FKI_IPHIO} + 0 * \text{FKI_IPF1IO} + 0 * \text{FKI_IPF2IO} + 0 * \\
& \text{FKI_IPF3IO} + 0.0001322435 * \text{FKI_JIO} + 0.0000053240 * \text{FKI_CPIO} + \\
& 0.0000119220 * \text{FKI_CGIO} + 0 * \text{FKI_IGIO} + 0 * \text{FKI_IPHIO} + 0 * \text{FKI_IPF1IO} \\
& + 0 * \text{FKI_IPF2IO} + 0 * \text{FKI_IPF3IO} + 0 * \text{FKI_JIO} + 0.0007307302 * \text{FKI_CPIO} \\
& + 0 * \text{FKI_CGIO} + 0 * \text{FKI_IGIO} + 0 * \text{FKI_IPHIO} + 0.0026405996 * \\
& \text{FKI_IPF1IO} + 0 * \text{FKI_IPF2IO} + 0.0000366761 * \text{FKI_IPF3IO} + 0.0050373276 * \\
& \text{FKI_JIO} + 0.0008426221 * \text{FKI_CPIO} + 0.0000182300 * \text{FKI_CGIO} + 0.0002849561 \\
& * \text{FKI_IGIO} + 0.0010909958 * \text{FKI_IPHIO} + 0.0010256150 * \text{FKI_IPF1IO} + \\
& 0.0010909958 * \text{FKI_IPF2IO} + 0.0010900877 * \text{FKI_IPF3IO} + 0.0407156174 * \\
& \text{FKI_JIO} + 0.0009116865 * \text{FKI_CPIO} + 0.0000033361 * \text{FKI_CGIO} + 0.0000286252 \\
& * \text{FKI_IGIO} + 0 * \text{FKI_IPHIO} + 0 * \text{FKI_IPF1IO} + 0 * \text{FKI_IPF2IO} + 0 * \\
& \text{FKI_IPF3IO} + 0.0000714421 * \text{FKI_JIO} + 0.0002426771 * \text{FKI_CPIO} + \\
& 0.0001118099 * \text{FKI_CGIO} + 0 * \text{FKI_IGIO} + 0 * \text{FKI_IPHIO} + 0 * \text{FKI_IPF1IO} \\
& + 0 * \text{FKI_IPF2IO} + 0 * \text{FKI_IPF3IO} + 0 * \text{FKI_JIO} + 0.0005779916 * \text{FKI_CPIO} \\
& + 0 * \text{FKI_CGIO} + 0 * \text{FKI_IGIO} + 0 * \text{FKI_IPHIO} + 0.0006572832 * \\
& \text{FKI_IPF1IO} + 0 * \text{FKI_IPF2IO} + 0.0000091292 * \text{FKI_IPF3IO} + 0.0056654852 * \\
& \text{FKI_JIO} + 0.0029304927 * \text{FKI_CPIO} + 0.0000721816 * \text{FKI_CGIO} + 0.0021738954 \\
& * \text{FKI_IGIO} + 0.0201095191 * \text{FKI_IPHIO} + 0.0189044023 * \text{FKI_IPF1IO} + \\
& 0.0201095191 * \text{FKI_IPF2IO} + 0.0200927808 * \text{FKI_IPF3IO} + 0.0824538516 * \\
& \text{FKI_JIO} + 0.0007789313 * \text{FKI_CPIO} + 0.0003772163 * \text{FKI_CGIO} + 0.0000228853 \\
& * \text{FKI_IGIO} + 0 * \text{FKI_IPHIO} + 0 * \text{FKI_IPF1IO} + 0 * \text{FKI_IPF2IO} + 0 * \\
& \text{FKI_IPF3IO} + 0.0000805288 * \text{FKI_JIO} + 0.0003780706 * \text{FKI_CPIO} + \\
& 0.0005630742 * \text{FKI_CGIO} + 0 * \text{FKI_IGIO} + 0 * \text{FKI_IPHIO} + 0 * \text{FKI_IPF1IO} \\
& + 0 * \text{FKI_IPF2IO} + 0 * \text{FKI_IPF3IO} + 0 * \text{FKI_JIO}
\end{aligned}$$

(17) 県別域内移出(IOベース)

```

<1186>OSA_EDKIO = OSA_EDKIO_inter + OSA_EDKIO_final
<1187>HYO_EDKIO = HYO_EDKIO_inter + HYO_EDKIO_final
<1188>KYO_EDKIO = KYO_EDKIO_inter + KYO_EDKIO_final
<1189>NRA_EDKIO = NRA_EDKIO_inter + NRA_EDKIO_final
<1190>WAK_EDKIO = WAK_EDKIO_inter + WAK_EDKIO_final
<1191>SGA_EDKIO = SGA_EDKIO_inter + SGA_EDKIO_final
<1192>FKI_EDKIO = FKI_EDKIO_inter + FKI_EDKIO_final

```

(18) 県別域内移入(IOベース)

<1193>OSA_MDKIO = OSA_MDKIO_inter + OSA_MDKIO_final
<1194>HYO_MDKIO = HYO_MDKIO_inter + HYO_MDKIO_final
<1195>KYO_MDKIO = KYO_MDKIO_inter + KYO_MDKIO_final
<1196>NRA_MDKIO = NRA_MDKIO_inter + NRA_MDKIO_final
<1197>WAK_MDKIO = WAK_MDKIO_inter + WAK_MDKIO_final
<1198>SGA_MDKIO = SGA_MDKIO_inter + SGA_MDKIO_final
<1199>FKI_MDKIO = FKI_MDKIO_inter + FKI_MDKIO_final

(19) 県別・部門別県内需要 (IOベース)

<1200>KIN_DDIO1 = 0.0649598636 * OSA_XIO1 + 0.0095416625 * OSA_XIO2
+ 0.0018820971 * OSA_XIO3 + 0.0015802881 * OSA_XIO4 + 0.0112239023 *
OSA_CPIO + 0 * OSA_CGIO + 0 * OSA_IGIO + 0 * OSA_IPHIO +
0.1454475189 * OSA_IPF1IO + 0 * OSA_IPF2IO + 0.0027434231 *
OSA_IPF3IO + -0.0060602275 * OSA_JIO

<1201>KIN_DDIO2 = 0.1458192811 * OSA_XIO1 + 0.2775093721 * OSA_XIO2 +
0.0658493161 * OSA_XIO3 + 0.0874625375 * OSA_XIO4 + 0.1356606137 *
OSA_CPIO + 0.0015812802 * OSA_CGIO + 0.7707567070 * OSA_IGIO +
0.8937313685 * OSA_IPHIO + 0.4117444752 * OSA_IPF1IO + 0.5383187133 *
OSA_IPF2IO + 0.5943060347 * OSA_IPF3IO + 0.8049965066 * OSA_JIO

<1202>KIN_DDIO3 = 0.1666743922 * OSA_XIO1 + 0.1822556896 * OSA_XIO2 +
0.2554537162 * OSA_XIO3 + 0.1547549881 * OSA_XIO4 + 0.6984445704 *
OSA_CPIO + 0.0174438580 * OSA_CGIO + 0.1936280088 * OSA_IGIO +
0.0042775020 * OSA_IPHIO + 0.3816605041 * OSA_IPF1IO + 0.3922531978 *
OSA_IPF2IO + 0.3283303240 * OSA_IPF3IO + -0.1211171848 * OSA_JIO

<1203>KIN_DDIO4 = 0.0009592994 * OSA_XIO1 + 0.0316220413 * OSA_XIO2 +
0.0054457883 * OSA_XIO3 + 0.0083531267 * OSA_XIO4 + 0.0728485669 *
OSA_CPIO + 0.9718045900 * OSA_CGIO + 0 * OSA_IGIO + 0 * OSA_IPHIO + 0
* OSA_IPF1IO + 0 * OSA_IPF2IO + 0 * OSA_IPF3IO + 0 * OSA_JIO

<1204>KIN_DDIO5 = 0.0973775863 * HYO_XIO1 + 0.0206333484 * HYO_XIO2 +

0.0027870037 * HYO_XIO3 + 0.0017412790 * HYO_XIO4 + 0.0113332324 *
 HYO_CPIO + 0 * HYO_CGIO + 0 * HYO_IGIO + 0 * HYO_IPHIO +
 0.0173297825 * HYO_IPF1IO + 0 * HYO_IPF2IO + 0.0002711563 * HYO_IPF3IO
 + -0.1225706272 * HYO_JIO

<1205>KIN_DDIO6 = 0.1527922101 * HYO_XIO1 + 0.3344788783 * HYO_XIO2 +
 0.0739222119 * HYO_XIO3 + 0.0928202008 * HYO_XIO4 + 0.1675849529 *
 HYO_CPIO + 0.0041737705 * HYO_CGIO + 0.9047771295 * HYO_IGIO +
 0.9422928546 * HYO_IPHIO + 0.5838999202 * HYO_IPF1IO + 0.6457608565 *
 HYO_IPF2IO + 0.6991349435 * HYO_IPF3IO + 0.9326541173 * HYO_JIO

<1206>KIN_DDIO7 = 0.1329370612 * HYO_XIO1 + 0.1583614696 * HYO_XIO2 +
 0.1950804148 * HYO_XIO3 + 0.1437238635 * HYO_XIO4 + 0.6461639525 *
 HYO_CPIO + 0.0167884118 * HYO_CGIO + 0.0697405200 * HYO_IGIO +
 0.0025934969 * HYO_IPHIO + 0.3112464957 * HYO_IPF1IO + 0.2705922459 *
 HYO_IPF2IO + 0.2221153023 * HYO_IPF3IO + -0.0276084659 * HYO_JIO

<1207>KIN_DDIO8 = 0.0009762534 * HYO_XIO1 + 0.0280203387 * HYO_XIO2 +
 0.0057079339 * HYO_XIO3 + 0.0074357434 * HYO_XIO4 + 0.0705933849 *
 HYO_CPIO + 0.9718806225 * HYO_CGIO + 0 * HYO_IGIO + 0 * HYO_IPHIO +
 0 * HYO_IPF1IO + 0 * HYO_IPF2IO + 0 * HYO_IPF3IO + 0 * HYO_JIO

<1208>KIN_DDIO9 = 0.0594906053 * KYO_XIO1 + 0.0172007831 * KYO_XIO2 +
 0.0032575042 * KYO_XIO3 + 0.0018104719 * KYO_XIO4 + 0.0114748490 *
 KYO_CPIO + 0 * KYO_CGIO + 0 * KYO_IGIO + 0 * KYO_IPHIO + 0.0759728073
 * KYO_IPF1IO + 0 * KYO_IPF2IO + 0.0012279204 * KYO_IPF3IO + 0.3434811267
 * KYO_JIO

<1209>KIN_DDIO10 = 0.1236812394 * KYO_XIO1 + 0.2468916200 * KYO_XIO2 +
 0.0704302025 * KYO_XIO3 + 0.0878695990 * KYO_XIO4 + 0.1453392543 *
 KYO_CPIO + 0.0040807504 * KYO_CGIO + 0.9257020715 * KYO_IGIO +
 0.9298413906 * KYO_IPHIO + 0.5971088605 * KYO_IPF1IO + 0.6937698185 *
 KYO_IPF2IO + 0.7385186501 * KYO_IPF3IO + 0.3757048752 * KYO_JIO

<1210>KIN_DDIO11 = 0.1253306224 * KYO_XIO1 + 0.1525718148 * KYO_XIO2 +
 0.1982730357 * KYO_XIO3 + 0.1361746784 * KYO_XIO4 + 0.6498304015 *

KYO_CPIO + 0.0218956700 * KYO_CGIO + 0.0475068517 * KYO_IGIO +
 0.0019407334 * KYOIPHIO + 0.2413663579 * KYOIPF1IO + 0.2204530951 *
 KYOIPF2IO + 0.1779246436 * KYOIPF3IO + 0.0588681415 * KYOJIO

<1211>KIN_DDIO12 = 0.0006571632 * KYOXIO1 + 0.0274433208 * KYOXIO2 +
 0.0039969502 * KYOXIO3 + 0.0075710780 * KYOXIO4 + 0.0861395630 *
 KYOCPIO + 0.9678950390 * KYOCGIO + 0 * KYOIGIO + 0 * KYOIPHIO + 0
 * KYOIPF1IO + 0 * KYOIPF2IO + 0 * KYOIPF3IO + 0 * KYOJIO

<1212>KIN_DDIO13 = 0.1040258474 * NRA_XIO1 + 0.0141182499 * NRA_XIO2 +
 0.0028664691 * NRA_XIO3 + 0.0020569681 * NRA_XIO4 + 0.0098979198 *
 NRA_CPIO + 0 * NRA_CGIO + 0 * NRA_IGIO + 0 * NRAIPHIO + 0.0235789362
 * NRAIPF1IO + 0 * NRAIPF2IO + 0.0003540024 * NRAIPF3IO + -
 1.0968651324 * NRAJIO

<1213>KIN_DDIO14 = 0.0887487930 * NRA_XIO1 + 0.2799375052 * NRA_XIO2 +
 0.0612037415 * NRA_XIO3 + 0.0819557893 * NRA_XIO4 + 0.1513726291 *
 NRA_CPIO + 0.0047987658 * NRA_CGIO + 0.8866997902 * NRA_IGIO +
 0.9103941486 * NRAIPHIO + 0.6528246157 * NRAIPF1IO + 0.7101328586 *
 NRAIPF2IO + 0.7500227858 * NRAIPF3IO + 1.5242652435 * NRAJIO

<1214>KIN_DDIO15 = 0.1404286751 * NRA_XIO1 + 0.1703857833 * NRA_XIO2 +
 0.1984680357 * NRA_XIO3 + 0.1453504963 * NRA_XIO4 + 0.6219445522 *
 NRA_CPIO + 0.0245352252 * NRA_CGIO + 0.0679666053 * NRA_IGIO +
 0.0015806188 * NRAIPHIO + 0.2195130985 * NRAIPF1IO + 0.1877072742 *
 NRAIPF2IO + 0.1503106635 * NRAIPF3IO + 0 * NRAJIO

<1215>KIN_DDIO16 = 0.0006785393 * NRA_XIO1 + 0.0298588969 * NRA_XIO2 +
 0.0055460401 * NRA_XIO3 + 0.0072215676 * NRA_XIO4 + 0.1035797629 *
 NRA_CPIO + 0.9598394915 * NRA_CGIO + 0 * NRA_IGIO + 0 * NRAIPHIO + 0
 * NRAIPF1IO + 0 * NRAIPF2IO + 0 * NRAIPF3IO + 0 * NRAJIO

<1216>KIN_DDIO17 = 0.0804280792 * WAK_XIO1 + 0.0223312125 * WAK_XIO2 +
 0.0029172383 * WAK_XIO3 + 0.0019587351 * WAK_XIO4 + 0.0137906014 *
 WAK_CPIO + 0 * WAK_CGIO + 0 * WAK_IGIO + 0 * WAKIPHIO +
 0.0530030612 * WAKIPF1IO + 0 * WAKIPF2IO + 0.0008378326 * WAKIPF3IO

+ 0.5623043555 * WAK_JIO

<1217>KIN_DDIO18 = 0.1206857922 * WAK_XIO1 + 0.3553731916 * WAK_XIO2 +
0.0955133084 * WAK_XIO3 + 0.0901600193 * WAK_XIO4 + 0.1810577638 *
WAK_CPIO + 0.0061695132 * WAK_CGIO + 0.9446995988 * WAK_IGIO +
0.9321768836 * WAK_IPHIO + 0.6109226929 * WAK_IPF1IO + 0.6935766202 *
WAK_IPF2IO + 0.7389897944 * WAK_IPF3IO + 0.2220326830 * WAK_JIO

<1218>KIN_DDIO19 = 0.1297619133 * WAK_XIO1 + 0.1446460583 * WAK_XIO2 +
0.2190231874 * WAK_XIO3 + 0.1376351690 * WAK_XIO4 + 0.6219012231 *
WAK_CPIO + 0.0152391676 * WAK_CGIO + 0.0362990925 * WAK_IGIO +
0.0019272219 * WAK_IPHIO + 0.2446165689 * WAK_IPF1IO + 0.2183089970 *
WAK_IPF2IO + 0.1763556871 * WAK_IPF3IO + 0.0938030468 * WAK_JIO

<1219>KIN_DDIO20 = 0.0017903376 * WAK_XIO1 + 0.0162477108 * WAK_XIO2 +
0.0048011308 * WAK_XIO3 + 0.0073073373 * WAK_XIO4 + 0.0679704940 *
WAK_CPIO + 0.9682678313 * WAK_CGIO + 0 * WAK_IGIO + 0 * WAK_IPHIO +
0 * WAK_IPF1IO + 0 * WAK_IPF2IO + 0 * WAK_IPF3IO + 0 * WAK_JIO

<1220>KIN_DDIO21 = 0.1001888098 * SGA_XIO1 + 0.0055559717 * SGA_XIO2 +
0.0026476811 * SGA_XIO3 + 0.0016623920 * SGA_XIO4 + 0.01128394677 *
SGA_CPIO + 0 * SGA_CGIO + 0 * SGA_IGIO + 0 * SGA_IPHIO + 0.0271020646
* SGA_IPF1IO + 0 * SGA_IPF2IO + 0.0003769271 * SGA_IPF3IO + 0.0933220689
* SGA_JIO

<1221>KIN_DDIO22 = 0.0982034695 * SGA_XIO1 + 0.2807182501 * SGA_XIO2 +
0.0622057853 * SGA_XIO3 + 0.0756680821 * SGA_XIO4 + 0.1487121888 *
SGA_CPIO + 0.0035840449 * SGA_CGIO + 0.9411932640 * SGA_IGIO +
0.8336382813 * SGA_IPHIO + 0.7429693250 * SGA_IPF1IO + 0.7782270289 *
SGA_IPF2IO + 0.7907183648 * SGA_IPF3IO + 0.5212867588 * SGA_JIO

<1222>KIN_DDIO23 = 0.1407448972 * SGA_XIO1 + 0.1355844297 * SGA_XIO2 +
0.1864572032 * SGA_XIO3 + 0.1436245799 * SGA_XIO4 + 0.6518703717 *
SGA_CPIO + 0.0109482849 * SGA_CGIO + 0.0147455203 * SGA_IGIO +
0.00041054979 * SGA_IPHIO + 0.0708639393 * SGA_IPF1IO + 0.0583496552 *
SGA_IPF2IO + 0.0449497881 * SGA_IPF3IO + 0.0144868321 * SGA_JIO

<1223>KIN_DDIO24 = 0.0002625669 * SGA_XIO1 + 0.0329428930 * SGA_XIO2 +
0.0061665435 * SGA_XIO3 + 0.0058528951 * SGA_XIO4 + 0.0724872985 *
SGA_CPIO + 0.9752239579 * SGA_CGIO + 0 * SGA_IGIO + 0 * SGA_IPHIO + 0
* SGA_IPF1IO + 0 * SGA_IPF2IO + 0 * SGA_IPF3IO + 0 * SGA_JIO

<1224>KIN_DDIO25 = 0.0738175723 * FKI_XIO1 + 0.0180630513 * FKI_XIO2 +
0.0018848828 * FKI_XIO3 + 0.0019550035 * FKI_XIO4 + 0.0188017382 *
FKI_CPIO + 0 * FKI_CGIO + 0 * FKI_IGIO + 0 * FKI_IPHIO + 0.0546882538 *
FKI_IPF1IO + 0 * FKI_IPF2IO + 0.0007595830 * FKI_IPF3IO + 0.1311073232 *
FKI_JIO

<1225>KIN_DDIO26 = 0.1068002282 * FKI_XIO1 + 0.2925613675 * FKI_XIO2 +
0.0729129296 * FKI_XIO3 + 0.0937912767 * FKI_XIO4 + 0.1743756459 *
FKI_CPIO + 0.0094788205 * FKI_CGIO + 0.7993596184 * FKI_IGIO +
0.9387487656 * FKI_IPHIO + 0.8824917315 * FKI_IPF1IO + 0.9387487656 *
FKI_IPF2IO + 0.9379673933 * FKI_IPF3IO + 0.4813986019 * FKI_JIO

<1226>KIN_DDIO27 = 0.1343607632 * FKI_XIO1 + 0.1685205686 * FKI_XIO2 +
0.2020761566 * FKI_XIO3 + 0.1435509050 * FKI_XIO4 + 0.6267772537 *
FKI_CPIO + 0.0362918547 * FKI_CGIO + 0.1525029956 * FKI_IGIO + 0 *
FKI_IPHIO + 0 * FKI_IPF1IO + 0 * FKI_IPF2IO + 0 * FKI_IPF3IO +
0.1263868999 * FKI_JIO

<1227>KIN_DDIO28 = 0.0005418368 * FKI_XIO1 + 0.0145780823 * FKI_XIO2 +
0.0077808496 * FKI_XIO3 + 0.0076662624 * FKI_XIO4 + 0.0734927469 *
FKI_CPIO + 0.9434329293 * FKI_CGIO + 0 * FKI_IGIO + 0 * FKI_IPHIO + 0 *
FKI_IPF1IO + 0 * FKI_IPF2IO + 0 * FKI_IPF3IO + 0 * FKI_JIO

(20) 県別部門別輸入 (IOベース)

<1228>KIN_MAIO1 = KIN_RMAIO1 * KIN_DDIO1
<1229>KIN_MAIO2 = KIN_RMAIO2 * KIN_DDIO2
<1230>KIN_MAIO3 = KIN_RMAIO3 * KIN_DDIO3
<1231>KIN_MAIO4 = KIN_RMAIO4 * KIN_DDIO4
<1232>KIN_MAIO5 = KIN_RMAIO5 * KIN_DDIO5

```
<1233>KIN_MAIO6 = KIN_RMAIO6 * KIN_DDIO6
<1234>KIN_MAIO7 = KIN_RMAIO7 * KIN_DDIO7
<1235>KIN_MAIO8 = KIN_RMAIO8 * KIN_DDIO8
<1236>KIN_MAIO9 = KIN_RMAIO9 * KIN_DDIO9
<1237>KIN_MAIO10 = KIN_RMAIO10 * KIN_DDIO10
<1238>KIN_MAIO11 = KIN_RMAIO11 * KIN_DDIO11
<1239>KIN_MAIO12 = KIN_RMAIO12 * KIN_DDIO12
<1240>KIN_MAIO13 = KIN_RMAIO13 * KIN_DDIO13
<1241>KIN_MAIO14 = KIN_RMAIO14 * KIN_DDIO14
<1242>KIN_MAIO15 = KIN_RMAIO15 * KIN_DDIO15
<1243>KIN_MAIO16 = KIN_RMAIO16 * KIN_DDIO16
<1244>KIN_MAIO17 = KIN_RMAIO17 * KIN_DDIO17
<1245>KIN_MAIO18 = KIN_RMAIO18 * KIN_DDIO18
<1246>KIN_MAIO19 = KIN_RMAIO19 * KIN_DDIO19
<1247>KIN_MAIO20 = KIN_RMAIO20 * KIN_DDIO20
<1248>KIN_MAIO21 = KIN_RMAIO21 * KIN_DDIO21
<1249>KIN_MAIO22 = KIN_RMAIO22 * KIN_DDIO22
<1250>KIN_MAIO23 = KIN_RMAIO23 * KIN_DDIO23
<1251>KIN_MAIO24 = KIN_RMAIO24 * KIN_DDIO24
<1252>KIN_MAIO25 = KIN_RMAIO25 * KIN_DDIO25
<1253>KIN_MAIO26 = KIN_RMAIO26 * KIN_DDIO26
<1254>KIN_MAIO27 = KIN_RMAIO27 * KIN_DDIO27
<1255>KIN_MAIO28 = KIN_RMAIO28 * KIN_DDIO28
```

(21) 県別輸入 (IOベース)

```
<1256>OSA_MAIO = KIN_MAIO1 + KIN_MAIO2 + KIN_MAIO3 + KIN_MAIO4
<1257>HYO_MAIO = KIN_MAIO5 + KIN_MAIO6 + KIN_MAIO7 + KIN_MAIO8
<1258>KYO_MAIO = KIN_MAIO9 + KIN_MAIO10 + KIN_MAIO11 + KIN_MAIO12
<1259>NRA_MAIO = KIN_MAIO13 + KIN_MAIO14 + KIN_MAIO15 + KIN_MAIO16
<1260>WAK_MAIO = KIN_MAIO17 + KIN_MAIO18 + KIN_MAIO19 + KIN_MAIO20
<1261>SGA_MAIO = KIN_MAIO21 + KIN_MAIO22 + KIN_MAIO23 + KIN_MAIO24
<1262>FKL_MAIO = KIN_MAIO25 + KIN_MAIO26 + KIN_MAIO27 + KIN_MAIO28
```

(22) 県別部門別域外からの移入 (IOベース)

```
<1263>KIN_MDNKIO1 = KIN_RMDNKIO1 * KIN_DDIO1
<1264>KIN_MDNKIO2 = KIN_RMDNKIO2 * KIN_DDIO2
<1265>KIN_MDNKIO3 = KIN_RMDNKIO3 * KIN_DDIO3
<1266>KIN_MDNKIO4 = KIN_RMDNKIO4 * KIN_DDIO4
<1267>KIN_MDNKIO5 = KIN_RMDNKIO5 * KIN_DDIO5
<1268>KIN_MDNKIO6 = KIN_RMDNKIO6 * KIN_DDIO6
<1269>KIN_MDNKIO7 = KIN_RMDNKIO7 * KIN_DDIO7
<1270>KIN_MDNKIO8 = KIN_RMDNKIO8 * KIN_DDIO8
<1271>KIN_MDNKIO9 = KIN_RMDNKIO9 * KIN_DDIO9
<1272>KIN_MDNKIO10 = KIN_RMDNKIO10 * KIN_DDIO10
<1273>KIN_MDNKIO11 = KIN_RMDNKIO11 * KIN_DDIO11
<1274>KIN_MDNKIO12 = KIN_RMDNKIO12 * KIN_DDIO12
<1275>KIN_MDNKIO13 = KIN_RMDNKIO13 * KIN_DDIO13
<1276>KIN_MDNKIO14 = KIN_RMDNKIO14 * KIN_DDIO14
<1277>KIN_MDNKIO15 = KIN_RMDNKIO15 * KIN_DDIO15
<1278>KIN_MDNKIO16 = KIN_RMDNKIO16 * KIN_DDIO16
<1279>KIN_MDNKIO17 = KIN_RMDNKIO17 * KIN_DDIO17
<1280>KIN_MDNKIO18 = KIN_RMDNKIO18 * KIN_DDIO18
<1281>KIN_MDNKIO19 = KIN_RMDNKIO19 * KIN_DDIO19
<1282>KIN_MDNKIO20 = KIN_RMDNKIO20 * KIN_DDIO20
<1283>KIN_MDNKIO21 = KIN_RMDNKIO21 * KIN_DDIO21
<1284>KIN_MDNKIO22 = KIN_RMDNKIO22 * KIN_DDIO22
<1285>KIN_MDNKIO23 = KIN_RMDNKIO23 * KIN_DDIO23
<1286>KIN_MDNKIO24 = KIN_RMDNKIO24 * KIN_DDIO24
<1287>KIN_MDNKIO25 = KIN_RMDNKIO25 * KIN_DDIO25
<1288>KIN_MDNKIO26 = KIN_RMDNKIO26 * KIN_DDIO26
<1289>KIN_MDNKIO27 = KIN_RMDNKIO27 * KIN_DDIO27
<1290>KIN_MDNKIO28 = KIN_RMDNKIO28 * KIN_DDIO28
```

(23) 県別域外からの移入 (IOベース)

```
<1291>OSA_MDNKIO = KIN_MDNKIO1 + KIN_MDNKIO2 + KIN_MDNKIO3
+ KIN_MDNKIO4
<1292>HYO_MDNKIO = KIN_MDNKIO5 + KIN_MDNKIO6 + KIN_MDNKIO7
+ KIN_MDNKIO8
```

<1293> KYO_MDNKIO = KIN_MDNKIO9 + KIN_MDNKIO10 + KIN_MDNKIO11
+ KIN_MDNKIO12

<1294> NRA_MDNKIO = KIN_MDNKIO13 + KIN_MDNKIO14 + KIN_MDNKIO15
+ KIN_MDNKIO16

<1295> WAK_MDNKIO = KIN_MDNKIO17 + KIN_MDNKIO18 + KIN_MDNKIO19
+ KIN_MDNKIO20

<1296> SGA_MDNKIO = KIN_MDNKIO21 + KIN_MDNKIO22 + KIN_MDNKIO23
+ KIN_MDNKIO24

<1297> FKL_MDNKIO = KIN_MDNKIO25 + KIN_MDNKIO26 + KIN_MDNKIO27
+ KIN_MDNKIO28

3. MAPE一覧

表 3-1 ファイナルテストの結果詳細（色つきのセルは 5%以下のもの）

| | | | | | |
|------------|------|------------|------|------------|---------|
| FKI_X1 | 1.7% | FKI_YWTDV2 | 2.0% | FKI_YDGV | 5.3% |
| HYO_X1 | 1.2% | HYO_YWTDV2 | 1.8% | HYO_YDGV | 1.7% |
| KYO_X1 | 1.1% | KIN_YWTDV2 | 1.6% | KIN_YDGV | 2.8% |
| NRA_X1 | 1.1% | KYO_YWTDV2 | 1.8% | KYO_YDGV | 3.5% |
| OSA_X1 | 1.1% | NRA_YWTDV2 | 1.6% | NRA_YDGV | 1.5% |
| SGA_X1 | 1.1% | OSA_YWTDV2 | 1.5% | OSA_YDGV | 4.3% |
| WAK_X1 | 1.1% | SGA_YWTDV2 | 1.9% | SGA_YDGV | 2.7% |
| | | WAK_YWTDV2 | 1.5% | WAK_YDGV | 1.8% |
| FKI_X2 | 2.0% | FKI_YWTDV3 | 1.6% | FKI_YPRRGV | 4.8% |
| HYO_X2 | 1.8% | HYO_YWTDV3 | 0.8% | HYO_YPRRGV | 4.0% |
| KYO_X2 | 1.8% | KIN_YWTDV3 | 1.0% | KYO_YPRRGV | 5.9% |
| NRA_X2 | 1.6% | KYO_YWTDV3 | 0.8% | NRA_YPRRGV | 8.3% |
| OSA_X2 | 1.5% | NRA_YWTDV3 | 1.3% | OSA_YPRRGV | 5.2% |
| SGA_X2 | 1.9% | OSA_YWTDV3 | 1.1% | SGA_YPRRGV | 6.2% |
| WAK_X2 | 1.5% | SGA_YWTDV3 | 1.1% | WAK_YPRRGV | 3.8% |
| | | WAK_YWTDV3 | 0.8% | | |
| FKI_X3 | 1.6% | FKI_YWTW | 1.3% | FKI_YPRPGV | 2.8% |
| HYO_X3 | 0.8% | HYO_YWTW | 0.9% | HYO_YPRPGV | 2.3% |
| KYO_X3 | 0.8% | KYO_YWTW | 0.9% | KYO_YPRPGV | 1.9% |
| NRA_X3 | 1.3% | NRA_YWTW | 0.7% | NRA_YPRPGV | 5.0% |
| OSA_X3 | 1.1% | OSA_YWTW | 1.2% | OSA_YPRPGV | 1.4% |
| SGA_X3 | 1.1% | SGA_YWTW | 1.1% | SGA_YPRPGV | 3.5% |
| WAK_X3 | 0.8% | WAK_YWTW | 0.7% | WAK_YPRPGV | 2.8% |
| FKI_X4 | 0.6% | FKI_CFCA | 1.5% | FKI_SGV | 161.7% |
| HYO_X4 | 0.3% | HYO_CFCA | 1.4% | HYO_SGV | 97.4% |
| KYO_X4 | 0.2% | KIN_CFCA | 0.6% | KIN_SGV | 61.2% |
| NRA_X4 | 0.5% | KYO_CFCA | 0.9% | KYO_SGV | 1207.3% |
| OSA_X4 | 0.3% | NRA_CFCA | 1.5% | NRA_SGV | 10.4% |
| SGA_X4 | 0.4% | OSA_CFCA | 0.6% | OSA_SGV | 28.6% |
| WAK_X4 | 0.2% | SGA_CFCA | 0.5% | SGA_SGV | 275.8% |
| | | WAK_CFCA | 0.9% | WAK_SGV | 24.3% |
| FKI_YWTDV | 1.3% | FKI_CFCA2 | 1.1% | FKI_SCGV | 1.4% |
| HYO_YWTDV | 1.0% | HYO_CFCA2 | 3.7% | HYO_SCGV | 0.8% |
| KIN_YWTDV | 1.0% | KIN_CFCA2 | 1.9% | KIN_SCGV | 0.7% |
| KYO_YWTDV | 0.9% | KYO_CFCA2 | 1.4% | KYO_SCGV | 0.7% |
| NRA_YWTDV | 1.0% | NRA_CFCA2 | 3.4% | NRA_SCGV | 0.7% |
| OSA_YWTDV | 1.1% | OSA_CFCA2 | 1.6% | OSA_SCGV | 1.0% |
| SGA_YWTDV | 1.1% | SGA_CFCA2 | 1.9% | SGA_SCGV | 0.8% |
| WAK_YWTDV | 0.7% | WAK_CFCA2 | 2.4% | WAK_SCGV | 0.5% |
| FKI_YWTDV1 | 1.7% | FKI_CFCA3 | 2.4% | FKI_SCEAMV | 1.3% |
| HYO_YWTDV1 | 1.2% | HYO_CFCA3 | 1.4% | HYO_SCEAMV | 0.9% |
| KIN_YWTDV1 | 1.2% | KIN_CFCA3 | 0.9% | KIN_SCEAMV | 1.0% |
| KYO_YWTDV1 | 1.1% | KYO_CFCA3 | 1.2% | KYO_SCEAMV | 0.9% |
| NRA_YWTDV1 | 1.1% | NRA_CFCA3 | 2.4% | NRA_SCEAMV | 0.7% |
| OSA_YWTDV1 | 1.1% | OSA_CFCA3 | 0.8% | OSA_SCEAMV | 1.2% |
| SGA_YWTDV1 | 1.1% | SGA_CFCA3 | 1.5% | SGA_SCEAMV | 1.1% |
| WAK_YWTDV1 | 1.1% | WAK_CFCA3 | 1.5% | WAK_SCEAMV | 0.7% |

| | | | | | |
|------------|-------|------------|------|-----------|------|
| FKI_SCHAMV | 2.0% | FKI_SBGV | 0.3% | FKI_SCEIV | 1.3% |
| HYO_SCHAMV | 1.0% | HYO_SBGV | 1.3% | HYO_SCEIV | 0.9% |
| KIN_SCHAMV | 0.5% | KIN_SBGV | 0.5% | KIN_SCEIV | 1.1% |
| KYO_SCHAMV | 1.2% | KYO_SBGV | 1.3% | KYO_SCEIV | 0.9% |
| NRA_SCHAMV | 1.1% | NRA_SBGV | 2.2% | NRA_SCEIV | 0.7% |
| OSA_SCHAMV | 1.0% | OSA_SBGV | 0.4% | OSA_SCEIV | 1.2% |
| SGA_SCHAMV | 0.9% | SGA_SBGV | 0.4% | SGA_SCEIV | 1.1% |
| WAK_SCHAMV | 0.7% | WAK_SBGV | 0.8% | WAK_SCEIV | 0.7% |
| FKI_BONDV | 13.3% | FKI_YDHV | 1.3% | FKI_SBHV | 0.3% |
| HYO_BONDV | 12.6% | HYO_YDHV | 0.9% | HYO_SBHV | 1.0% |
| KIN_BONDV | 11.2% | KIN_YDHV | 1.0% | KIN_SBHV | 0.5% |
| KYO_BONDV | 7.8% | KYO_YDHV | 0.8% | KYO_SBHV | 1.0% |
| NRA_BONDV | 4.8% | NRA_YDHV | 1.1% | NRA_SBHV | 1.4% |
| OSA_BONDV | 15.8% | OSA_YDHV | 1.1% | OSA_SBHV | 0.5% |
| SGA_BONDV | 8.0% | SGA_YDHV | 1.1% | SGA_SBHV | 0.4% |
| WAK_BONDV | 6.0% | WAK_YDHV | 0.7% | WAK_SBHV | 0.6% |
| FKI_DEBTPV | 3.9% | FKI_YWV | 1.3% | FKI_SBCAV | 0.3% |
| HYO_DEBTPV | 4.9% | HYO_YWV | 0.9% | HYO_SBCAV | 1.4% |
| KYO_DEBTPV | 2.6% | KYO_YWV | 0.9% | KIN_SBCAV | 0.6% |
| NRA_DEBTPV | 3.5% | NRA_YWV | 0.7% | KYO_SBCAV | 1.7% |
| OSA_DEBTPV | 4.7% | OSA_YWV | 1.2% | NRA_SBCAV | 2.0% |
| SGA_DEBTPV | 1.3% | SGA_YWV | 1.1% | OSA_SBCAV | 0.6% |
| WAK_DEBTPV | 1.9% | WAK_YWV | 0.7% | SGA_SBCAV | 0.4% |
| | | | | WAK_SBCAV | 1.0% |
| FKI_KBONDV | 4.5% | FKI_YPRRHV | 9.7% | FKI_SCHV | 1.5% |
| HYO_KBONDV | 2.6% | HYO_YPRRHV | 5.9% | HYO_SCHV | 0.9% |
| KIN_KBONDV | 3.4% | KYO_YPRRHV | 5.5% | KIN_SCHV | 0.8% |
| KYO_KBONDV | 1.4% | NRA_YPRRHV | 8.3% | KYO_SCHV | 0.8% |
| NRA_KBONDV | 2.5% | OSA_YPRRHV | 5.2% | NRA_SCHV | 0.6% |
| OSA_KBONDV | 5.9% | SGA_YPRRHV | 4.4% | OSA_SCHV | 1.1% |
| SGA_KBONDV | 1.3% | WAK_YPRRHV | 4.8% | SGA_SCHV | 0.9% |
| WAK_KBONDV | 0.7% | | | WAK_SCHV | 0.5% |
| FKI_TDVT | 6.8% | FKI_YPRPHV | 2.7% | FKI_SCHAV | 2.0% |
| HYO_TDVT | 3.6% | HYO_YPRPHV | 2.1% | HYO_SCHAV | 1.0% |
| KIN_TDVT | 2.9% | KYO_YPRPHV | 1.9% | KIN_SCHAV | 0.5% |
| KYO_TDVT | 6.1% | NRA_YPRPHV | 1.0% | KYO_SCHAV | 1.2% |
| NRA_TDVT | 2.8% | OSA_YPRPHV | 1.7% | NRA_SCHAV | 1.1% |
| OSA_TDVT | 3.3% | SGA_YPRPHV | 1.8% | OSA_SCHAV | 1.0% |
| SGA_TDVT | 3.7% | WAK_YPRPHV | 2.3% | SGA_SCHAV | 0.9% |
| WAK_TDVT | 5.6% | | | WAK_SCHAV | 0.7% |
| FKI_TIV | 4.7% | FKI_SCEAV | 1.3% | FKI_TDHV | 8.2% |
| HYO_TIV | 1.6% | HYO_SCEAV | 0.9% | HYO_TDHV | 5.0% |
| KIN_TIV | 1.1% | KIN_SCEAV | 1.0% | KIN_TDHV | 3.3% |
| KYO_TIV | 1.9% | KYO_SCEAV | 0.9% | KYO_TDHV | 5.8% |
| NRA_TIV | 1.9% | NRA_SCEAV | 0.7% | NRA_TDHV | 3.3% |
| OSA_TIV | 1.0% | OSA_SCEAV | 1.2% | OSA_TDHV | 4.4% |
| SGA_TIV | 1.2% | SGA_SCEAV | 1.1% | SGA_TDHV | 5.3% |
| WAK_TIV | 2.9% | WAK_SCEAV | 0.7% | WAK_TDHV | 4.2% |

| | | | | | |
|------------|-------|---------|------|---------|------|
| FKI_SHV | 6.8% | FKI_LN | 1.5% | FKI_LE2 | 2.0% |
| HYO_SHV | 3.3% | HYO_LN | 1.1% | HYO_LE2 | 1.8% |
| KIN_SHV | 3.9% | KIN_LN | 1.1% | KIN_LE2 | 1.6% |
| KYO_SHV | 2.5% | KYO_LN | 1.1% | KYO_LE2 | 1.8% |
| NRA_SHV | 1.5% | NRA_LN | 1.3% | NRA_LE2 | 1.6% |
| OSA_SHV | 17.8% | OSA_LN | 1.2% | OSA_LE2 | 1.5% |
| SGA_SHV | 4.6% | SGA_LN | 1.2% | SGA_LE2 | 1.9% |
| WAK_SHV | 3.8% | WAK_LN | 0.9% | WAK_LE2 | 1.5% |
| FKI_YEICV | 2.0% | FKI_LN1 | 1.7% | FKI_LE3 | 1.6% |
| HYO_YEICV | 1.7% | HYO_LN1 | 1.2% | HYO_LE3 | 0.8% |
| KIN_YEICV | 1.3% | KIN_LN1 | 1.2% | KIN_LE3 | 1.0% |
| KYO_YEICV | 2.1% | KYO_LN1 | 1.1% | KYO_LE3 | 0.8% |
| NRA_YEICV | 1.4% | NRA_LN1 | 1.1% | NRA_LE3 | 1.3% |
| OSA_YEICV | 1.7% | OSA_LN1 | 1.1% | OSA_LE3 | 1.1% |
| SGA_YEICV | 2.7% | SGA_LN1 | 1.1% | SGA_LE3 | 1.1% |
| WAK_YEICV | 2.6% | WAK_LN1 | 1.1% | WAK_LE3 | 0.8% |
| FKI_YEV | 2.0% | FKI_LN2 | 2.0% | | |
| HYO_YEV | 1.7% | HYO_LN2 | 1.8% | | |
| KY0_YEV | 2.1% | KIN_LN2 | 1.6% | | |
| NRA_YEV | 1.4% | KYO_LN2 | 1.8% | | |
| OSA_YEV | 1.7% | NRA_LN2 | 1.6% | | |
| SGA_YEV | 2.7% | OSA_LN2 | 1.5% | | |
| WAK_YEV | 2.6% | SGA_LN2 | 1.9% | | |
| WAK_LN2 | | | 1.5% | | |
| FKI_YECV | 2.0% | FKI_LN3 | 1.6% | | |
| HYO_YECV | 1.7% | HYO_LN3 | 0.8% | | |
| KIN_YECV | 1.3% | KIN_LN3 | 1.0% | | |
| KYO_YECV | 2.1% | KYO_LN3 | 0.8% | | |
| NRA_YECV | 1.4% | NRA_LN3 | 1.3% | | |
| OSA_YECV | 1.7% | OSA_LN3 | 1.1% | | |
| SGA_YECV | 2.7% | SGA_LN3 | 1.1% | | |
| WAK_YECV | 2.6% | WAK_LN3 | 0.8% | | |
| FKI_TDCV | 8.6% | FKI_LE | 1.5% | | |
| HYO_TDCV | 4.3% | HYO_LE | 1.0% | | |
| KIN_TDCV | 3.7% | KIN_LE | 1.1% | | |
| KYO_TDCV | 8.9% | KYO_LE | 1.1% | | |
| NRA_TDCV | 7.6% | NRA_LE | 1.3% | | |
| OSA_TDCV | 5.1% | OSA_LE | 1.2% | | |
| SGA_TDCV | 4.1% | SGA_LE | 1.2% | | |
| WAK_TDCV | 7.8% | WAK_LE | 0.9% | | |
| FKI_YPRNCV | 41.5% | FKI_LE1 | 1.7% | | |
| HYO_YPRNCV | 13.0% | HYO_LE1 | 1.2% | | |
| KYO_YPRNCV | 10.3% | KIN_LE1 | 1.2% | | |
| NRA_YPRNCV | 26.7% | KYO_LE1 | 1.1% | | |
| OSA_YPRNCV | 11.9% | NRA_LE1 | 1.1% | | |
| SGA_YPRNCV | 12.0% | OSA_LE1 | 1.1% | | |
| WAK_YPRNCV | 15.5% | SGA_LE1 | 1.1% | | |
| | | WAK_LE1 | 1.1% | | |

4. シミュレーション結果詳細：大阪湾岸大型設備投資

(1) GRPと雇用への影響

表 5-1 GRP の変化

| | 単位:10億円 | | | | | | | | | | | | |
|---------|-------------------------|-------------------------|--------------------------|--------------------------|--------------------------|--------------------------|-------------------------|-------------------------|------------------------|--------------------------|--------------------------|--------------------------|----------------------------|
| | 2004 | 2005 | 2006 | 2007 | 2008 | 2009 | 2010 | 2011 | 2012 | 2013 | 2014 | 2015 | 2004-2015 |
| OSA_GDP | 40,529 6.9 0.02% | 40,864 7.3 0.02% | 41,027 21.7 0.05% | 41,114 96.6 0.23% | 41,208 199.7 0.48% | 41,099 102.4 0.25% | 40,993 0.00% | 41,012 -0.01% | 41,006 -0.02% | 40,998 -0.02% | 40,986 -0.02% | 40,970 -0.02% | 40,984 397.0 0.97% |
| HYO_GDP | 20,129 25.7 0.13% | 20,347 26.5 0.13% | 20,558 79.5 0.39% | 20,704 73.0 0.35% | 20,783 185.5 0.89% | 20,827 116.1 0.56% | 20,889 3.7 0.02% | 20,983 -0.01% | 21,056 -0.03% | 21,126 -0.04% | 21,195 -0.04% | 21,263 -0.04% | 20,822 478.0 2.30% |
| KYO_GDP | 10,301 0.6 0.01% | 10,375 0.7 0.01% | 10,435 2.1 0.02% | 10,476 4.4 0.04% | 10,505 9.6 0.09% | 10,512 5.8 0.06% | 10,516 1.0 0.01% | 10,536 0.7 0.01% | 10,548 0.0 0.00% | 10,560 0.00 0.00% | 10,571 0.00 0.00% | 10,580 24.3 0.23% | 10,493 24.3 0.23% |
| NRA_GDP | 3,971 0.2 0.01% | 3,990 0.3 0.01% | 3,975 0.7 0.02% | 4,019 2.3 0.06% | 4,021 4.8 0.12% | 4,031 2.7 0.07% | 4,045 0.2 0.00% | 4,059 0.0 0.00% | 4,071 0.00 0.00% | 4,083 -0.01 -0.01% | 4,095 -0.01 -0.01% | 4,106 -0.01 -0.01% | 4,039 10.4 0.26% |
| WAK_GDP | 3,512 0.3 0.01% | 3,529 0.3 0.01% | 3,545 0.8 0.02% | 3,553 17.4 0.49% | 3,559 29.7 0.83% | 3,560 22.7 0.64% | 3,560 20.9 0.59% | 3,563 20.9 0.59% | 3,564 0.8 0.02% | 3,564 0.6 0.02% | 3,564 0.4 0.01% | 3,565 0.3 0.01% | 3,553 114.9 3.23% |
| SGA_GDP | 5,966 0.5 0.01% | 6,028 0.5 0.01% | 6,085 1.5 0.03% | 6,130 2.8 0.05% | 6,161 6.2 0.10% | 6,175 3.7 0.06% | 6,188 0.5 0.01% | 6,209 0.1 0.01% | 6,224 0.0 0.00% | 6,239 0.00 0.00% | 6,254 0.00 0.00% | 6,270 15.6 0.25% | 6,161 15.6 0.25% |
| FKI_GDP | 3,396 0.3 0.01% | 3,422 0.3 0.01% | 3,444 1.0 0.03% | 3,461 1.8 0.05% | 3,474 3.9 0.11% | 3,479 2.4 0.07% | 3,486 0.5 0.01% | 3,496 0.4 0.01% | 3,503 0.1 0.00% | 3,509 0.0 0.00% | 3,515 0.00 0.00% | 3,520 0.00 0.00% | 3,475 10.6 0.30% |
| KIN_GDP | 87,803 34.4 0.04% | 88,554 35.9 0.04% | 89,069 107.2 0.12% | 89,457 198.3 0.22% | 89,711 439.3 0.49% | 89,682 255.8 0.29% | 89,677 26.0 0.03% | 89,857 17.5 0.02% | 89,972 -0.02% | 90,080 -0.02% | 90,180 -0.02% | 90,274 -0.02% | 89,526 1,050.8 1.17% |

表の上段は基準解、中段は基準解からの乖離(基準解 - シミュレーション解)、下段は乖離率

表 4-2 民間最終消費支出の変化

| | 単位:10億円 | | | | | | | | | | | | |
|--------|------------------------|------------------------|-------------------------|-------------------------|-------------------------|-------------------------|-------------------------|-------------------------|-------------------------|------------------------|---------------------------|---------------------------|--------------------------|
| | 2004 | 2005 | 2006 | 2007 | 2008 | 2009 | 2010 | 2011 | 2012 | 2013 | 2014 | 2015 | 2004-2015 |
| OSA_CP | 19,906 0.3 0.00% | 19,846 0.5 0.00% | 19,819 1.3 0.01% | 19,801 4.4 0.02% | 19,780 10.6 0.05% | 19,762 12.0 0.06% | 19,750 9.5 0.05% | 19,738 7.5 0.04% | 19,725 5.7 0.03% | 19,710 4.2 0.02% | 19,690 3.0 0.02% | 19,664 2.1 0.01% | 19,766 61.0 0.31% |
| HYO_CP | 11,050 4.5 0.04% | 11,167 6.6 0.06% | 11,329 17.1 0.15% | 11,459 20.6 0.18% | 11,518 42.2 0.37% | 11,610 39.3 0.34% | 11,748 18.0 0.15% | 11,871 7.5 0.06% | 11,985 2.1 0.02% | 12,095 0.0 0.00% | 12,203 -0.01 -0.01% | 12,311 -0.02 -0.02% | 11,696 153.8 1.32% |
| KYO_CP | 5,118 0.0 0.00% | 5,146 0.0 0.00% | 5,175 0.1 0.00% | 5,202 0.2 0.00% | 5,226 0.4 0.01% | 5,248 0.5 0.01% | 5,268 0.5 0.01% | 5,287 0.4 0.01% | 5,305 0.4 0.01% | 5,321 0.3 0.01% | 5,336 0.3 0.01% | 5,350 0.3 0.01% | 5,248 3.5 0.07% |
| NRA_CP | 2,700 0.1 0.00% | 2,709 0.1 0.00% | 2,720 0.2 0.01% | 2,734 0.7 0.03% | 2,740 1.5 0.06% | 2,766 1.1 0.04% | 2,799 0.2 0.01% | 2,824 0.0 0.00% | 2,848 0.0 0.00% | 2,871 0.00 0.00% | 2,894 0.00 0.00% | 2,918 0.00 0.00% | 2,794 3.7 0.13% |
| WAK_CP | 1,844 0.0 0.00% | 1,852 0.0 0.00% | 1,862 0.0 0.00% | 1,869 0.8 0.04% | 1,874 1.9 0.10% | 1,878 2.4 0.13% | 1,881 2.8 0.15% | 1,883 3.1 0.16% | 1,884 2.4 0.13% | 1,884 1.8 0.10% | 1,884 1.4 0.08% | 1,883 1.1 0.06% | 1,873 17.8 0.95% |
| SGA_CP | 2,678 0.0 0.00% | 2,689 0.0 0.00% | 2,710 0.1 0.00% | 2,734 0.2 0.01% | 2,756 0.3 0.01% | 2,781 0.4 0.01% | 2,807 0.3 0.01% | 2,834 0.3 0.01% | 2,861 0.2 0.01% | 2,888 0.2 0.01% | 2,915 0.2 0.01% | 2,943 0.1 0.00% | 2,800 2.4 0.08% |
| FKI_CP | 1,685 0.0 0.00% | 1,696 0.0 0.00% | 1,709 0.1 0.01% | 1,721 0.2 0.01% | 1,731 0.4 0.02% | 1,742 0.4 0.02% | 1,756 0.3 0.02% | 1,767 0.3 0.02% | 1,778 0.2 0.02% | 1,787 0.2 0.02% | 1,796 0.2 0.01% | 1,803 0.1 0.01% | 1,748 2.6 0.15% |
| KIN_CP | 44,981 4.9 0.01% | 45,105 7.3 0.02% | 45,324 18.9 0.04% | 45,521 27.1 0.06% | 45,626 57.2 0.13% | 45,788 56.1 0.12% | 46,009 31.7 0.07% | 46,205 19.2 0.04% | 46,385 11.0 0.04% | 46,555 6.3 0.02% | 46,717 3.4 0.01% | 46,872 1.6 0.01% | 45,924 244.7 0.53% |

表 4-3 民間住宅投資の変化

| | 単位:10億円 | | | | | | | | | | | | 2004-2015 |
|---------|-----------------------|-----------------------|-----------------------|-----------------------|------------------------|------------------------|-------------------------|--------------------------|-------------------------|-------------------------|--------------------------|--------------------------|------------------------|
| | 2004 | 2005 | 2006 | 2007 | 2008 | 2009 | 2010 | 2011 | 2012 | 2013 | 2014 | 2015 | |
| OSAIPH | 1,208 0.3 0.03% | 1,222 0.3 0.03% | 1,218 1.0 0.09% | 1,163 4.0 0.34% | 1,136 8.0 0.34% | 1,090 3.9 0.70% | 1,010 ▲ 0.1 0.36% | 1,005 ▲ 0.1 -0.01% | 997 ▲ 0.4 -0.01% | 989 ▲ 0.4 -0.04% | 978 ▲ 0.4 -0.04% | 965 ▲ 0.3 -0.04% | 1,082 16.0 1.48% |
| HYOIPH | 758 1.5 0.19% | 759 1.5 0.20% | 759 4.5 0.59% | 716 3.8 0.53% | 692 9.4 1.36% | 666 5.5 0.82% | 619 ▲ 0.2 -0.03% | 627 ▲ 0.5 -0.09% | 633 ▲ 0.8 -0.12% | 640 ▲ 0.8 -0.13% | 647 ▲ 0.8 -0.13% | 653 ▲ 0.8 -0.12% | 681 22.3 3.27% |
| KYODIPH | 336 0.0 0.01% | 333 0.0 0.01% | 327 0.1 0.03% | 309 0.2 0.07% | 297 0.4 0.15% | 283 0.3 0.09% | 266 0.0 0.01% | 264 ▲ 0.0 0.01% | 264 ▲ 0.0 0.00% | 263 ▲ 0.0 -0.01% | 261 ▲ 0.0 -0.01% | 260 ▲ 0.0 -0.01% | 289 1.1 0.37% |
| NRAIPH | 166 0.0 0.00% | 162 0.0 0.00% | 165 0.0 0.01% | 158 0.1 0.03% | 154 0.1 0.03% | 153 0.1 0.07% | 153 ▲ 0.0 0.03% | 153 ▲ 0.0 0.00% | 152 ▲ 0.0 -0.01% | 152 ▲ 0.0 -0.01% | 151 ▲ 0.0 -0.01% | 151 ▲ 0.0 0.00% | 156 0.2 0.13% |
| WAKIPH | 111 0.0 0.01% | 110 0.0 0.01% | 109 0.0 0.02% | 102 0.5 0.47% | 99 0.8 0.47% | 97 0.6 0.79% | 96 0.5 0.61% | 94 0.5 0.56% | 93 0.0 0.56% | 92 ▲ 0.0 0.00% | 91 ▲ 0.0 -0.01% | 90 ▲ 0.0 -0.02% | 99 2.9 2.94% |
| SGAIPH | 209 0.0 0.01% | 207 0.0 0.01% | 208 0.0 0.02% | 201 0.1 0.04% | 198 0.2 0.04% | 194 0.1 0.08% | 185 0.0 0.05% | 187 0.0 0.00% | 189 0.0 0.00% | 190 ▲ 0.0 0.00% | 192 ▲ 0.0 0.00% | 194 ▲ 0.0 0.00% | 196 0.4 0.19% |
| FKIIPH | 116 0.0 0.01% | 116 0.0 0.01% | 115 0.0 0.03% | 110 0.1 0.05% | 108 0.1 0.10% | 105 0.1 0.06% | 99 0.0 0.01% | 98 0.0 0.00% | 97 0.0 0.00% | 97 ▲ 0.0 0.00% | 96 ▲ 0.0 0.00% | 95 ▲ 0.0 -0.01% | 104 0.3 0.26% |
| KINIPH | 2,904 1.9 0.06% | 2,908 1.9 0.07% | 2,900 5.8 0.20% | 2,760 8.7 0.31% | 2,684 19.0 0.31% | 2,588 10.4 0.71% | 2,428 0.3 0.40% | 2,429 ▲ 0.1 0.01% | 2,426 ▲ 1.1 0.01% | 2,422 ▲ 1.2 0.00% | 2,416 ▲ 1.2 -0.05% | 2,408 ▲ 1.2 -0.05% | 2,606 43.0 1.65% |

表の上段は基準解、中段は基準解からの乖離(基準解 - シミュレーション解)、下段は乖離率

表 4-4 民間企業設備投資(二次産業)の変化

| | 単位:10億円 | | | | | | | | | | | | 2004-2015 |
|----------|------------------------|------------------------|--------------------------|-------------------------|--------------------------|--------------------------|---------------------------|---------------------------|---------------------------|---------------------------|---------------------------|---------------------------|----------------------------|
| | 2004 | 2005 | 2006 | 2007 | 2008 | 2009 | 2010 | 2011 | 2012 | 2013 | 2014 | 2015 | |
| OSAPIF2 | 1,261 0.4 0.03% | 1,532 0.5 0.03% | 1,568 1.5 0.10% | 1,567 101.6 6.48% | 1,661 199.1 11.99% | 1,547 87.7 5.67% | 1,447 ▲ 16.3 -1.13% | 1,443 ▲ 14.7 -1.02% | 1,437 ▲ 13.5 -0.94% | 1,433 ▲ 12.1 -0.84% | 1,428 ▲ 10.8 -0.76% | 1,424 ▲ 9.7 -0.68% | 1,479 313.7 21.21% |
| HYOIPF2 | 1,174 49.5 4.22% | 1,206 48.4 4.02% | 1,226 148.1 12.08% | 1,238 116.5 9.41% | 1,248 317.4 25.44% | 1,244 184.7 14.84% | 1,241 ▲ 17.6 -1.42% | 1,246 ▲ 16.6 -1.33% | 1,248 ▲ 15.6 -1.25% | 1,250 ▲ 14.4 -1.16% | 1,253 ▲ 13.4 -1.07% | 1,255 ▲ 12.3 -0.98% | 1,236 774.7 62.70% |
| KYODIPF2 | 382 0.1 0.02% | 395 0.1 0.02% | 399 0.2 0.05% | 401 0.5 0.11% | 404 1.0 0.25% | 399 0.5 0.13% | 395 0.0 0.00% | 395 ▲ 0.0 -0.01% | 394 ▲ 0.0 -0.02% | 394 ▲ 0.1 -0.02% | 394 ▲ 0.1 -0.02% | 393 ▲ 0.1 -0.02% | 392 1.9 0.49% |
| NRAIPF2 | 157 0.0 0.01% | 167 0.0 0.01% | 84 0.0 0.04% | 177 0.2 0.13% | 168 0.5 0.27% | 167 0.2 0.14% | 167 0.0 0.00% | 167 ▲ 0.0 0.00% | 167 ▲ 0.0 -0.01% | 168 ▲ 0.0 -0.01% | 168 ▲ 0.0 -0.01% | 168 ▲ 0.0 -0.01% | 160 0.9 0.57% |
| WAKIPF2 | 147 0.0 0.01% | 146 0.0 0.01% | 149 0.0 0.03% | 150 0.0 24.52% | 150 36.8 40.09% | 150 60.2 31.12% | 150 46.7 31.06% | 150 46.6 31.03% | 150 46.6 0.01% | 150 0.0 0.01% | 150 0.0 0.00% | 150 0.0 0.00% | 150 237.2 158.54% |
| SGAIPF2 | 445 0.1 0.02% | 458 0.1 0.02% | 464 0.2 0.05% | 467 0.4 0.09% | 469 0.9 0.19% | 465 0.5 0.10% | 460 ▲ 0.0 -0.01% | 460 ▲ 0.0 -0.01% | 459 ▲ 0.1 -0.02% | 457 ▲ 0.1 -0.02% | 456 ▲ 0.1 -0.02% | 455 1.8 0.38% | 460 1.8 0.38% |
| FKIIPF2 | 148 0.0 0.01% | 161 0.0 0.01% | 164 0.1 0.03% | 165 0.1 0.06% | 169 0.2 0.13% | 165 0.1 0.07% | 161 0.0 0.00% | 161 ▲ 0.0 0.00% | 160 ▲ 0.0 -0.01% | 160 ▲ 0.0 -0.01% | 160 ▲ 0.0 -0.01% | 160 ▲ 0.0 -0.01% | 161 0.4 0.28% |
| KINIPF2 | 3,714 50.1 1.35% | 4,065 49.1 1.21% | 4,055 150.1 3.70% | 4,165 256.1 6.15% | 4,270 579.3 6.15% | 4,137 320.5 7.75% | 4,020 12.7 0.32% | 4,021 15.4 0.38% | 4,016 ▲ 29.3 -0.73% | 4,012 ▲ 26.7 -0.67% | 4,008 ▲ 24.4 -0.61% | 4,005 ▲ 22.2 -0.56% | 4,041 1,330.6 32.93% |

表 4-5 民間企業設備投資(三次産業)の変化

| | 単位:10億円 | | | | | | | | | | | | |
|----------|---------|-------|-------|-------|-------|-------|--------|--------|--------|--------|--------|--------|-----------|
| | 2004 | 2005 | 2006 | 2007 | 2008 | 2009 | 2010 | 2011 | 2012 | 2013 | 2014 | 2015 | 2004-2015 |
| OSA_IPF3 | 4,124 | 4,177 | 4,180 | 4,169 | 4,159 | 4,092 | 4,035 | 4,016 | 3,991 | 3,968 | 3,945 | 3,923 | 4,065 |
| | 2.8 | 2.9 | 8.6 | 33.1 | 68.5 | 32.5 | ▲ 3.8 | ▲ 4.3 | ▲ 6.3 | ▲ 6.1 | ▲ 5.8 | ▲ 5.4 | 116.7 |
| | 0.07% | 0.07% | 0.21% | 0.79% | 1.65% | 0.79% | -0.09% | -0.11% | -0.16% | -0.15% | -0.15% | -0.14% | 2.87% |
| HYO_IPF3 | 1,827 | 1,885 | 1,951 | 2,003 | 2,029 | 2,055 | 2,094 | 2,135 | 2,171 | 2,206 | 2,241 | 2,276 | 2,073 |
| | 6.8 | 7.4 | 22.5 | 21.2 | 53.6 | 35.7 | 3.5 | 0.4 | ▲ 1.4 | ▲ 2.1 | ▲ 2.4 | ▲ 2.4 | 142.8 |
| | 0.37% | 0.39% | 1.15% | 1.06% | 2.64% | 1.74% | 0.17% | 0.02% | -0.07% | -0.10% | -0.11% | -0.11% | 6.89% |
| KYO_IPF3 | 859 | 870 | 880 | 888 | 894 | 896 | 899 | 903 | 906 | 908 | 911 | 913 | 894 |
| | 0.1 | 0.1 | 0.4 | 0.8 | 1.6 | 1.1 | 0.3 | 0.2 | 0.1 | 0.0 | ▲ 0.0 | ▲ 0.0 | 4.6 |
| | 0.01% | 0.02% | 0.04% | 0.08% | 0.18% | 0.12% | 0.03% | 0.02% | 0.01% | 0.00% | 0.00% | 0.00% | 0.51% |
| NRA_IPF3 | 293 | 297 | 299 | 302 | 304 | 306 | 308 | 310 | 312 | 314 | 316 | 318 | 307 |
| | 0.0 | 0.0 | 0.0 | 0.1 | 0.1 | 0.2 | 0.1 | 0.1 | 0.1 | 0.0 | 0.0 | 0.0 | 0.7 |
| | 0.00% | 0.00% | 0.01% | 0.02% | 0.05% | 0.05% | 0.04% | 0.03% | 0.02% | 0.01% | 0.00% | 0.00% | 0.23% |
| WAK_IPF3 | 218 | 220 | 222 | 223 | 224 | 224 | 224 | 225 | 225 | 225 | 225 | 225 | 223 |
| | 0.0 | 0.0 | 0.0 | 1.5 | 2.5 | 2.0 | 2.0 | 2.0 | 0.2 | 0.2 | 0.1 | 0.1 | 10.8 |
| | 0.01% | 0.01% | 0.02% | 0.67% | 1.13% | 0.91% | 0.89% | 0.90% | 0.11% | 0.08% | 0.06% | 0.05% | 4.83% |
| SGA_IPF3 | 300 | 311 | 320 | 329 | 336 | 343 | 348 | 354 | 358 | 362 | 366 | 369 | 341 |
| | 0.0 | 0.0 | 0.0 | 0.0 | 0.1 | 0.1 | 0.1 | 0.1 | 0.1 | 0.0 | 0.0 | 0.0 | 0.5 |
| | 0.00% | 0.00% | 0.00% | 0.01% | 0.02% | 0.02% | 0.02% | 0.02% | 0.01% | 0.01% | 0.01% | 0.01% | 0.13% |
| FKI_IPF3 | 310 | 312 | 315 | 317 | 318 | 320 | 321 | 322 | 324 | 325 | 326 | 327 | 320 |
| | 0.0 | 0.0 | 0.1 | 0.2 | 0.5 | 0.3 | 0.1 | 0.1 | 0.0 | 0.0 | 0.0 | 0.0 | 1.3 |
| | 0.01% | 0.01% | 0.04% | 0.06% | 0.14% | 0.09% | 0.02% | 0.02% | 0.01% | 0.00% | 0.00% | 0.00% | 0.41% |
| KIN_IPF3 | 7,929 | 8,071 | 8,167 | 8,230 | 8,264 | 8,235 | 8,230 | 8,265 | 8,287 | 8,309 | 8,330 | 8,351 | 8,222 |
| | 9.7 | 10.5 | 31.6 | 56.9 | 126.9 | 71.8 | 2.2 | ▲ 1.5 | ▲ 7.3 | ▲ 7.9 | ▲ 7.9 | ▲ 7.7 | 277.3 |
| | 0.12% | 0.13% | 0.39% | 0.69% | 1.54% | 0.87% | 0.03% | -0.02% | -0.09% | -0.10% | -0.10% | -0.09% | 3.37% |

表の上段は基準解、中段は基準解からの乖離(基準解 - シミュレーション解)、下段は乖離率

表 4-6 輸出の変化

| | 単位:10億円 | | | | | | | | | | | | |
|--------|---------|-------|--------|--------|--------|--------|--------|--------|--------|--------|--------|--------|-----------|
| | 2004 | 2005 | 2006 | 2007 | 2008 | 2009 | 2010 | 2011 | 2012 | 2013 | 2014 | 2015 | 2004-2015 |
| OSA_EA | 3,105 | 3,269 | 3,411 | 3,516 | 3,577 | 3,586 | 3,593 | 3,612 | 3,613 | 3,614 | 3,614 | 3,615 | 3,510 |
| | 0.0 | 0.0 | 0.0 | 0.0 | 0.0 | 0.0 | 0.0 | 0.0 | 0.0 | 0.0 | 0.0 | 0.0 | 0.0 |
| | 0.00% | 0.00% | 0.00% | 0.00% | 0.00% | 0.00% | 0.00% | 0.00% | 0.00% | 0.00% | 0.00% | 0.00% | 0.00% |
| HYO_EA | 3,003 | 3,162 | 3,299 | 3,401 | 3,460 | 3,469 | 3,476 | 3,494 | 3,495 | 3,496 | 3,497 | 3,497 | 3,396 |
| | 0.0 | 0.0 | 0.0 | 0.0 | 0.0 | 0.0 | 0.0 | 0.0 | 0.0 | 0.0 | 0.0 | 0.0 | 0.0 |
| | 0.00% | 0.00% | 0.00% | 0.00% | 0.00% | 0.00% | 0.00% | 0.00% | 0.00% | 0.00% | 0.00% | 0.00% | 0.00% |
| KYO_EA | 1,095 | 1,153 | 1,203 | 1,240 | 1,261 | 1,265 | 1,267 | 1,274 | 1,274 | 1,274 | 1,274 | 1,275 | 1,238 |
| | 0.0 | 0.0 | 0.0 | 0.0 | 0.0 | 0.0 | 0.0 | 0.0 | 0.0 | 0.0 | 0.0 | 0.0 | 0.0 |
| | 0.00% | 0.00% | 0.00% | 0.00% | 0.00% | 0.00% | 0.00% | 0.00% | 0.00% | 0.00% | 0.00% | 0.00% | 0.00% |
| NRA_EA | 185 | 195 | 203 | 209 | 213 | 214 | 214 | 215 | 215 | 215 | 215 | 215 | 209 |
| | 0.0 | 0.0 | 0.0 | 0.0 | 0.0 | 0.0 | 0.0 | 0.0 | 0.0 | 0.0 | 0.0 | 0.0 | 0.0 |
| | 0.00% | 0.00% | 0.00% | 0.00% | 0.00% | 0.00% | 0.00% | 0.00% | 0.00% | 0.00% | 0.00% | 0.00% | 0.00% |
| WAK_EA | 280 | 295 | 308 | 318 | 323 | 324 | 325 | 326 | 326 | 327 | 327 | 327 | 317 |
| | 0.0 | 0.0 | 0.0 | 0.0 | 0.0 | 0.0 | 0.0 | 0.0 | 0.0 | 0.0 | 0.0 | 0.0 | 0.0 |
| | 0.00% | 0.00% | 0.00% | 0.00% | 0.00% | 0.00% | 0.00% | 0.00% | 0.00% | 0.00% | 0.00% | 0.00% | 0.00% |
| SGA_EA | 1,276 | 1,343 | 1,401 | 1,445 | 1,470 | 1,474 | 1,476 | 1,484 | 1,485 | 1,485 | 1,485 | 1,485 | 1,442 |
| | 0.0 | 0.0 | 0.0 | 0.0 | 0.0 | 0.0 | 0.0 | 0.0 | 0.0 | 0.0 | 0.0 | 0.0 | 0.0 |
| | 0.00% | 0.00% | 0.00% | 0.00% | 0.00% | 0.00% | 0.00% | 0.00% | 0.00% | 0.00% | 0.00% | 0.00% | 0.00% |
| FKI_EA | 365 | 385 | 401 | 414 | 421 | 422 | 423 | 425 | 425 | 425 | 425 | 426 | 413 |
| | 0.0 | 0.0 | 0.0 | 0.0 | 0.0 | 0.0 | 0.0 | 0.0 | 0.0 | 0.0 | 0.0 | 0.0 | 0.0 |
| | 0.00% | 0.00% | 0.00% | 0.00% | 0.00% | 0.00% | 0.00% | 0.00% | 0.00% | 0.00% | 0.00% | 0.00% | 0.00% |
| KIN_EA | 9,309 | 9,801 | 10,227 | 10,542 | 10,725 | 10,754 | 10,773 | 10,831 | 10,834 | 10,836 | 10,838 | 10,839 | 10,526 |
| | 0.0 | 0.0 | 0.0 | 0.0 | 0.0 | 0.0 | 0.0 | 0.0 | 0.0 | 0.0 | 0.0 | 0.0 | 0.0 |
| | 0.00% | 0.00% | 0.00% | 0.00% | 0.00% | 0.00% | 0.00% | 0.00% | 0.00% | 0.00% | 0.00% | 0.00% | 0.00% |

表 4-7 移出の変化

| | 単位:10億円 | | | | | | | | | | | | |
|--------|------------------------|------------------------|-------------------------|-------------------------|--------------------------|-------------------------|------------------------|-------------------------|---------------------------|---------------------------|---------------------------|---------------------------|--------------------------|
| | 2004 | 2005 | 2006 | 2007 | 2008 | 2009 | 2010 | 2011 | 2012 | 2013 | 2014 | 2015 | 2004-2015 |
| OSA_ED | 19,275 6.0 0.03% | 19,339 6.2 0.03% | 19,392 18.7 0.10% | 19,443 20.9 0.11% | 19,469 49.8 0.26% | 19,486 32.2 0.17% | 19,508 5.6 0.03% | 19,540 4.2 0.02% | 19,567 ▲ 1.2 -0.01% | 19,592 ▲ 1.5 -0.01% | 19,616 ▲ 1.6 -0.01% | 19,641 ▲ 1.6 -0.01% | 19,489 137.8 0.71% |
| HYO_ED | 12,173 0.5 0.00% | 12,203 0.5 0.00% | 12,214 1.5 0.01% | 12,221 9.6 0.08% | 12,229 10.2 0.16% | 12,219 1.4 0.08% | 12,208 1.2 0.01% | 12,211 0.1 0.01% | 12,212 ▲ 0.7 -0.01% | 12,212 ▲ 0.7 -0.01% | 12,213 ▲ 0.7 -0.01% | 12,212 ▲ 0.7 -0.01% | 12,211 41.2 0.34% |
| KYO_ED | 5,227 0.8 0.02% | 5,242 0.9 0.02% | 5,252 2.5 0.05% | 5,258 5.5 0.10% | 5,263 11.9 0.23% | 5,261 6.9 0.13% | 5,261 0.8 0.02% | 5,266 0.5 0.01% | 5,270 ▲ 0.3 -0.01% | 5,274 ▲ 0.4 -0.01% | 5,278 ▲ 0.4 -0.01% | 5,281 ▲ 0.4 -0.01% | 5,261 28.2 0.54% |
| NRA_ED | 1,927 0.3 0.02% | 1,936 0.3 0.02% | 1,941 1.0 0.05% | 1,942 3.0 0.15% | 1,944 6.3 0.33% | 1,941 3.3 0.17% | 1,937 0.0 0.00% | 1,938 ▲ 0.0 0.00% | 1,939 ▲ 0.3 -0.02% | 1,939 ▲ 0.3 -0.02% | 1,939 ▲ 0.3 -0.02% | 1,940 13.1 0.68% | 1,939 13.1 0.68% |
| WAK_ED | 2,094 0.3 0.02% | 2,102 0.4 0.02% | 2,107 1.1 0.05% | 2,110 2.3 0.11% | 2,113 5.1 0.24% | 2,112 2.8 0.13% | 2,111 0.1 0.00% | 2,113 ▲ 0.0 0.00% | 2,114 ▲ 0.2 -0.01% | 2,115 ▲ 0.2 -0.01% | 2,116 ▲ 0.2 -0.01% | 2,117 ▲ 0.2 -0.01% | 2,110 11.2 0.53% |
| SGA_ED | 4,673 0.7 0.01% | 4,687 0.7 0.02% | 4,695 2.1 0.05% | 4,700 3.9 0.08% | 4,704 8.6 0.18% | 4,703 5.0 0.11% | 4,701 0.5 0.01% | 4,705 0.3 0.01% | 4,707 ▲ 0.3 -0.01% | 4,709 ▲ 0.3 -0.01% | 4,711 ▲ 0.3 -0.01% | 4,713 ▲ 0.3 -0.01% | 4,701 20.5 0.44% |
| FKI_ED | 1,968 0.4 0.02% | 1,976 0.4 0.02% | 1,982 1.2 0.06% | 1,986 2.2 0.11% | 1,989 4.8 0.24% | 1,989 2.9 0.15% | 1,989 0.4 0.02% | 1,991 0.2 0.01% | 1,992 ▲ 0.1 -0.01% | 1,994 ▲ 0.2 -0.01% | 1,995 ▲ 0.2 -0.01% | 1,997 ▲ 0.2 -0.01% | 1,987 11.9 0.60% |
| KIN_ED | 47,337 9.0 0.02% | 47,484 9.4 0.02% | 47,582 28.0 0.06% | 47,661 47.3 0.10% | 47,710 105.6 0.22% | 47,710 63.4 0.13% | 47,715 8.8 0.02% | 47,764 6.4 0.01% | 47,801 ▲ 3.0 -0.01% | 47,836 ▲ 3.6 -0.01% | 47,870 ▲ 3.8 -0.01% | 47,901 ▲ 3.8 -0.01% | 47,698 263.9 0.55% |

表の上段は基準解、中段は基準解からの乖離(基準解 - シミュレーション解)、下段は乖離率

表 4-8 輸入の変化

| | 単位:10億円 | | | | | | | | | | | | |
|--------|-----------------------|-----------------------|------------------------|------------------------|------------------------|------------------------|--------------------------|--------------------------|--------------------------|--------------------------|--------------------------|--------------------------|-------------------------|
| | 2004 | 2005 | 2006 | 2007 | 2008 | 2009 | 2010 | 2011 | 2012 | 2013 | 2014 | 2015 | 2004-2015 |
| OSA_MA | 2,275 0.5 0.02% | 2,304 0.5 0.02% | 2,311 1.5 0.06% | 2,307 11.5 0.50% | 2,312 23.1 1.00% | 2,293 11.0 0.48% | 2,272 ▲ 1.0 -0.04% | 2,271 ▲ 1.0 -0.04% | 2,268 ▲ 1.3 -0.06% | 2,265 ▲ 1.3 -0.06% | 2,261 ▲ 1.2 -0.05% | 2,257 ▲ 1.2 -0.05% | 2,283 41.1 1.80% |
| HYO_MA | 2,524 7.6 0.30% | 2,557 7.7 0.30% | 2,590 23.3 0.90% | 2,608 19.9 0.76% | 2,617 52.1 1.99% | 2,623 31.9 1.22% | 2,630 ▲ 0.3 -0.01% | 2,648 ▲ 1.4 -0.05% | 2,663 ▲ 2.1 -0.08% | 2,678 ▲ 2.3 -0.08% | 2,692 ▲ 2.3 -0.08% | 2,706 ▲ 2.2 -0.08% | 2,628 132.1 5.02% |
| KYO_MA | 618 0.0 0.01% | 623 0.0 0.01% | 627 0.1 0.02% | 628 0.3 0.05% | 630 0.7 0.10% | 629 0.4 0.06% | 628 0.1 0.01% | 630 0.0 0.01% | 631 0.0 0.00% | 632 0.0 0.00% | 632 ▲ 0.0 0.00% | 633 ▲ 0.0 0.00% | 628 1.7 0.26% |
| NRA_MA | 15 0.0 0.01% | 15 0.0 0.01% | 15 0.0 0.02% | 15 0.0 0.06% | 15 0.0 0.13% | 15 0.0 0.07% | 15 0.0 0.01% | 15 0.0 0.01% | 16 0.0 0.00% | 16 0.0 0.00% | 16 0.0 0.00% | 16 0.0 0.00% | 15 0.0 0.28% |
| WAK_MA | 23 0.0 0.01% | 23 0.0 0.01% | 24 0.0 0.02% | 24 0.3 0.02% | 24 0.5 0.12% | 24 0.4 0.21% | 24 0.4 1.65% | 24 0.4 1.61% | 24 0.0 1.61% | 24 0.0 0.05% | 24 0.0 0.04% | 24 0.0 0.03% | 24 0.0 8.44% |
| SGA_MA | 428 0.0 0.01% | 433 0.0 0.01% | 438 0.1 0.02% | 441 0.2 0.04% | 443 0.4 0.09% | 444 0.2 0.05% | 444 0.0 0.01% | 446 0.0 0.00% | 448 0.0 0.00% | 449 0.0 0.00% | 451 0.0 0.00% | 452 0.0 0.00% | 443 1.0 0.22% |
| FKI_MA | 6 0.0 0.01% | 6 0.0 0.01% | 6 0.0 0.02% | 6 0.0 0.04% | 6 0.0 0.10% | 6 0.0 0.06% | 6 0.0 0.01% | 6 0.0 0.01% | 6 0.0 0.00% | 6 0.0 0.00% | 6 0.0 0.00% | 6 0.0 0.00% | 6 0.0 0.27% |
| KIN_MA | 5,890 8.1 0.14% | 5,962 8.3 0.14% | 6,010 25.0 0.42% | 6,029 32.2 0.53% | 6,047 76.7 1.27% | 6,034 44.0 0.73% | 6,020 ▲ 0.8 -0.01% | 6,040 ▲ 2.0 -0.03% | 6,055 ▲ 3.4 -0.06% | 6,069 ▲ 3.6 -0.06% | 6,082 ▲ 3.5 -0.06% | 6,095 ▲ 3.3 -0.05% | 6,028 177.8 2.95% |

表 4-9 移入の変化

| | 単位:10億円 | | | | | | | | | | | | 2004-2015 |
|--------|-------------------------|-------------------------|--------------------------|--------------------------|--------------------------|--------------------------|---------------------------|---------------------------|----------------------------|----------------------------|----------------------------|----------------------------|--------------------------|
| | 2004 | 2005 | 2006 | 2007 | 2008 | 2009 | 2010 | 2011 | 2012 | 2013 | 2014 | 2015 | |
| OSA_MD | 13,933 2.5 0.02% | 14,073 2.6 0.02% | 14,107 7.8 0.06% | 14,096 55.9 0.40% | 14,120 113.1 0.80% | 14,030 54.9 0.39% | 13,935 ▲ 3.4 -0.02% | 13,928 ▲ 3.9 -0.03% | 13,914 ▲ 5.8 -0.04% | 13,899 ▲ 5.8 -0.04% | 13,882 ▲ 5.6 -0.04% | 13,862 ▲ 5.3 -0.04% | 13,982 207.1 1.48% |
| HYO_MD | 11,831 29.4 0.25% | 11,978 30.2 0.25% | 12,132 90.9 0.75% | 12,227 78.9 0.65% | 12,276 204.1 1.66% | 12,314 127.2 1.03% | 12,366 1.6 0.01% | 12,453 ▲ 4.2 -0.03% | 12,526 ▲ 7.7 -0.06% | 12,596 ▲ 8.6 -0.07% | 12,666 ▲ 8.8 -0.07% | 12,735 ▲ 8.5 -0.07% | 12,342 524.7 4.25% |
| KYO_MD | 5,272 0.3 0.01% | 5,314 0.4 0.01% | 5,348 1.1 0.02% | 5,368 5.2 0.04% | 5,384 3.1 0.10% | 5,386 0.5 0.06% | 5,386 0.4 0.01% | 5,399 0.0 0.01% | 5,408 0.0 0.00% | 5,417 0.0 0.00% | 5,425 0.0 0.00% | 5,432 0.1 0.00% | 5,378 13.3 0.25% |
| NRA_MD | 2,943 0.2 0.01% | 2,961 0.2 0.01% | 2,923 0.5 0.02% | 2,991 1.8 0.06% | 2,988 3.7 0.12% | 3,001 2.1 0.07% | 3,019 0.2 0.01% | 3,034 0.1 0.00% | 3,048 0.0 0.00% | 3,062 0.0 -0.01% | 3,075 0.2 -0.01% | 3,089 0.2 -0.01% | 3,011 8.1 0.27% |
| WAK_MD | 2,520 0.1 0.01% | 2,535 0.2 0.01% | 2,550 0.4 0.02% | 2,557 24.1 0.94% | 2,562 40.3 1.57% | 2,563 31.6 1.23% | 2,564 30.8 1.20% | 2,566 31.0 1.21% | 2,566 1.6 0.06% | 2,566 1.2 0.05% | 2,566 0.9 0.04% | 2,565 0.7 0.03% | 2,557 163.0 6.37% |
| SGA_MD | 4,126 0.3 0.01% | 4,173 0.3 0.01% | 4,216 0.9 0.02% | 4,245 1.6 0.04% | 4,270 3.5 0.08% | 4,280 2.1 0.05% | 4,287 0.3 0.01% | 4,308 0.2 0.01% | 4,326 0.0 0.00% | 4,343 0.0 0.00% | 4,361 0.1 0.00% | 4,378 0.1 0.00% | 4,276 8.9 0.21% |
| FKI_MD | 2,197 0.2 0.01% | 2,223 0.2 0.01% | 2,241 0.5 0.02% | 2,250 1.0 0.04% | 2,261 2.1 0.09% | 2,262 1.3 0.06% | 2,261 0.3 0.01% | 2,268 0.2 0.01% | 2,273 0.1 0.00% | 2,278 0.0 0.00% | 2,282 0.0 0.00% | 2,286 0.0 0.00% | 2,257 6.0 0.26% |
| KIN_MD | 42,821 33.0 0.08% | 43,258 34.0 0.08% | 43,516 102.1 0.23% | 43,733 165.6 0.38% | 43,861 372.0 0.85% | 43,836 222.4 0.51% | 43,817 30.4 0.07% | 43,957 23.8 0.05% | 44,062 ▲ 11.9 -0.03% | 44,162 ▲ 13.4 -0.03% | 44,257 ▲ 13.7 -0.03% | 44,348 ▲ 13.4 -0.03% | 43,802 931.0 2.13% |

表の上段は基準解、中段は基準解からの乖離(基準解 - シミュレーション解)、下段は乖離率

表 4-10 産出額(2次産業)の変化

| | 単位:10億円 | | | | | | | | | | | | 2004-2015 |
|--------|-------------------------|-------------------------|-------------------------|--------------------------|--------------------------|--------------------------|---------------------------|---------------------------|----------------------------|----------------------------|----------------------------|----------------------------|--------------------------|
| | 2004 | 2005 | 2006 | 2007 | 2008 | 2009 | 2010 | 2011 | 2012 | 2013 | 2014 | 2015 | |
| OSA_X2 | 22,440 5.0 0.02% | 22,697 5.2 0.02% | 22,816 15.6 0.07% | 22,864 67.7 0.30% | 22,924 139.7 0.61% | 22,835 69.7 0.31% | 22,734 ▲ 3.2 -0.01% | 22,748 ▲ 3.9 -0.02% | 22,744 ▲ 7.9 -0.03% | 22,739 ▲ 7.7 -0.03% | 22,733 ▲ 7.3 -0.03% | 22,724 ▲ 6.8 -0.03% | 22,750 266.1 1.17% |
| HYO_X2 | 16,301 19.9 0.12% | 16,519 20.1 0.12% | 16,704 60.9 0.36% | 16,821 58.0 0.34% | 16,889 147.8 0.87% | 16,894 88.4 0.52% | 16,897 1.2 -0.01% | 16,951 1.3 -0.02% | 16,983 ▲ 3.5 -0.04% | 17,013 ▲ 6.3 -0.04% | 17,043 ▲ 6.5 -0.04% | 17,072 ▲ 6.4 -0.04% | 16,841 365.3 2.17% |
| KYO_X2 | 6,194 0.8 0.01% | 6,270 0.8 0.01% | 6,329 2.4 0.04% | 6,364 5.5 0.09% | 6,388 12.0 0.19% | 6,383 6.7 0.11% | 6,376 0.5 0.01% | 6,388 0.3 0.00% | 6,393 0.0 -0.01% | 6,397 0.0 -0.01% | 6,401 0.1 -0.01% | 6,404 0.1 -0.01% | 6,357 27.3 0.43% |
| NRA_X2 | 2,458 0.3 0.01% | 2,480 0.3 0.01% | 2,468 0.9 0.04% | 2,506 3.1 0.12% | 2,508 6.5 0.26% | 2,508 3.4 0.14% | 2,509 0.0 0.00% | 2,514 0.0 -0.01% | 2,517 0.3 -0.01% | 2,520 0.3 -0.01% | 2,523 0.3 -0.01% | 2,526 0.3 -0.01% | 2,503 13.4 0.54% |
| WAK_X2 | 2,920 0.3 0.01% | 2,947 0.3 0.01% | 2,969 1.0 0.03% | 2,981 19.2 0.65% | 2,989 32.8 1.10% | 2,989 24.6 0.82% | 2,988 22.1 0.74% | 2,991 22.0 0.74% | 2,992 0.4 0.01% | 2,992 0.2 0.01% | 2,992 0.1 0.00% | 2,992 0.0 0.00% | 2,978 123.2 4.14% |
| SGA_X2 | 7,296 0.8 0.01% | 7,396 0.8 0.01% | 7,479 2.4 0.03% | 7,536 4.3 0.06% | 7,574 9.5 0.13% | 7,577 5.5 0.07% | 7,577 0.5 0.01% | 7,595 0.3 0.00% | 7,603 0.0 0.00% | 7,610 0.0 0.00% | 7,617 0.0 0.00% | 7,624 0.0 0.00% | 7,540 22.7 0.30% |
| FKI_X2 | 2,469 0.3 0.01% | 2,506 0.3 0.01% | 2,533 0.8 0.03% | 2,551 1.6 0.06% | 2,564 3.5 0.14% | 2,563 2.0 0.08% | 2,561 0.2 0.01% | 2,566 0.2 0.01% | 2,568 0.0 0.00% | 2,569 0.0 0.00% | 2,571 0.0 0.00% | 2,572 0.0 0.00% | 2,549 8.5 0.33% |
| KIN_X2 | 60,078 27.3 0.05% | 60,816 27.8 0.05% | 61,299 84.0 0.14% | 61,624 159.5 0.26% | 61,837 351.9 0.57% | 61,750 200.5 0.32% | 61,641 19.0 0.03% | 61,753 15.4 0.03% | 61,799 ▲ 14.9 -0.02% | 61,841 ▲ 15.2 -0.02% | 61,879 ▲ 14.8 -0.02% | 61,913 ▲ 14.1 -0.02% | 61,519 826.4 1.34% |

表 4-11 産出額(3 次産業)の変化

| | 単位:10億円 | | | | | | | | | | | | 2004-2015 |
|--------|-------------------------|-------------------------|--------------------------|--------------------------|--------------------------|--------------------------|-------------------------|-------------------------|---------------------------|----------------------------|----------------------------|----------------------------|----------------------------|
| | 2004 | 2005 | 2006 | 2007 | 2008 | 2009 | 2010 | 2011 | 2012 | 2013 | 2014 | 2015 | |
| OSA_X3 | 43,108 8.2 0.02% | 43,404 8.8 0.02% | 43,551 26.0 0.06% | 43,646 99.6 0.23% | 43,739 208.2 0.48% | 43,646 111.1 0.25% | 43,570 4.5 0.01% | 43,593 1.6 0.00% | 43,592 ▲ 6.1 -0.01% | 43,589 ▲ 7.1 -0.02% | 43,580 ▲ 7.5 -0.02% | 43,565 ▲ 7.7 -0.02% | 43,549 439.6 1.01% |
| HYO_X3 | 18,018 23.2 0.13% | 18,215 24.8 0.14% | 18,435 73.2 0.40% | 18,603 68.1 0.37% | 18,687 169.4 0.91% | 18,771 112.2 0.60% | 18,895 11.0 0.06% | 19,024 1.5 0.01% | 19,134 ▲ 4.2 -0.02% | 19,241 ▲ 6.2 -0.03% | 19,346 ▲ 7.0 -0.04% | 19,451 ▲ 7.0 -0.04% | 18,818 459.0 2.44% |
| KYO_X3 | 9,270 0.5 0.01% | 9,331 0.6 0.01% | 9,387 1.7 0.02% | 9,433 3.3 0.04% | 9,468 7.2 0.08% | 9,490 4.8 0.05% | 9,512 1.4 0.01% | 9,538 1.0 0.01% | 9,559 9,579 0.00% | 9,579 9,598 0.00% | 9,615 0.1 0.00% | 9,615 0.1 0.00% | 9,482 21.3 0.22% |
| NRA_X3 | 3,844 0.2 0.00% | 3,864 0.2 0.01% | 3,854 0.6 0.02% | 3,902 1.8 0.05% | 3,907 3.8 0.10% | 3,931 2.3 0.06% | 3,961 0.3 0.01% | 3,987 0.1 0.00% | 4,010 ▲ 0.1 0.00% | 4,032 ▲ 0.2 0.00% | 4,055 ▲ 0.2 0.00% | 4,078 8.7 0.22% | 3,952 8.7 0.22% |
| WAK_X3 | 2,843 0.1 0.00% | 2,860 0.1 0.00% | 2,878 0.4 0.01% | 2,890 13.9 0.48% | 2,898 23.6 0.81% | 2,902 19.0 0.65% | 2,904 18.5 0.64% | 2,907 18.8 0.64% | 2,909 2.2 0.08% | 2,909 1.7 0.06% | 2,910 1.3 0.05% | 2,909 1.0 0.03% | 2,893 100.6 3.48% |
| SGA_X3 | 3,919 0.2 0.00% | 3,949 0.2 0.00% | 3,984 0.6 0.01% | 4,015 1.1 0.03% | 4,042 2.3 0.06% | 4,064 1.5 0.04% | 4,087 0.4 0.01% | 4,113 0.3 0.01% | 4,137 0.00% | 4,162 0.1 0.00% | 4,187 0.1 0.00% | 4,211 0.0 0.00% | 4,073 6.9 0.17% |
| FKI_X3 | 3,209 0.3 0.01% | 3,234 0.4 0.01% | 3,258 1.1 0.03% | 3,277 1.9 0.06% | 3,292 4.3 0.13% | 3,303 2.9 0.09% | 3,316 0.7 0.02% | 3,330 0.5 0.02% | 3,342 0.2 0.01% | 3,352 0.1 0.00% | 3,362 0.1 0.00% | 3,371 0.0 0.00% | 3,304 12.6 0.38% |
| KIN_X3 | 84,212 32.7 0.04% | 84,858 35.1 0.04% | 85,347 103.5 0.12% | 85,767 189.7 0.22% | 86,034 418.9 0.49% | 86,106 253.9 0.29% | 86,245 36.9 0.04% | 86,491 23.7 0.03% | 86,684 ▲ 7.4 -0.01% | 86,865 ▲ 11.3 -0.01% | 87,037 ▲ 13.1 -0.01% | 87,200 ▲ 13.8 -0.02% | 86,070 1,048.7 1.22% |

表の上段は基準解、中段は基準解からの乖離(基準解 - シミュレーション解)、下段は乖離率

表 4-12 就業者数(2 次産業)の変化

| | 単位:10億円 | | | | | | | | | | | | 2004-2015 |
|---------|-----------------------|-----------------------|-----------------------|-----------------------|------------------------|-----------------------|--------------------------|--------------------------|--------------------------|--------------------------|--------------------------|--------------------------|------------------------|
| | 2004 | 2005 | 2006 | 2007 | 2008 | 2009 | 2010 | 2011 | 2012 | 2013 | 2014 | 2015 | |
| OSA_LE2 | 1,073 0.2 0.02% | 1,085 0.2 0.02% | 1,091 0.7 0.07% | 1,093 3.2 0.30% | 1,096 6.7 0.61% | 1,091 3.3 0.30% | 1,087 ▲ 0.2 -0.01% | 1,087 ▲ 0.2 -0.02% | 1,087 ▲ 0.4 -0.03% | 1,087 ▲ 0.4 -0.03% | 1,087 ▲ 0.3 -0.03% | 1,086 ▲ 0.3 -0.03% | 1,087 12.7 1.17% |
| HYO_LE2 | 566 0.7 0.12% | 574 0.7 0.12% | 580 2.1 0.36% | 584 2.0 0.34% | 587 5.1 0.87% | 587 3.1 0.52% | 587 1.5 -0.01% | 589 0.5 -0.02% | 590 0.2 -0.04% | 591 0.2 -0.04% | 592 0.2 -0.04% | 593 0.2 -0.04% | 585 12.7 2.17% |
| KYO_LE2 | 322 0.0 0.01% | 326 0.0 0.01% | 329 0.1 0.04% | 331 0.3 0.09% | 332 0.6 0.19% | 332 0.3 0.11% | 331 0.0 0.01% | 332 0.0 0.00% | 332 0.0 -0.01% | 332 0.0 -0.01% | 333 0.0 -0.01% | 333 0.0 -0.01% | 330 1.4 0.43% |
| NRA_LE2 | 99 0.0 0.01% | 100 0.0 0.01% | 101 0.0 0.04% | 102 0.1 0.12% | 101 0.3 0.26% | 101 0.1 0.14% | 102 0.0 0.00% | 102 0.0 -0.01% | 102 0.0 -0.01% | 102 0.0 -0.01% | 102 0.0 -0.01% | 102 0.0 -0.01% | 101 0.5 0.54% |
| WAK_LE2 | 91 0.0 0.01% | 92 0.0 0.01% | 92 0.0 0.03% | 93 0.6 0.65% | 93 1.0 1.10% | 93 0.8 0.82% | 93 0.7 0.74% | 93 0.7 0.74% | 93 0.0 0.01% | 93 0.0 0.01% | 93 0.0 0.00% | 93 0.0 0.00% | 93 3.8 4.14% |
| SGA_LE2 | 221 0.0 0.01% | 224 0.0 0.01% | 226 0.1 0.03% | 228 0.1 0.06% | 229 0.3 0.13% | 229 0.2 0.07% | 229 0.0 0.01% | 230 0.0 0.00% | 230 0.0 0.00% | 230 0.0 0.00% | 230 0.0 0.00% | 231 0.0 0.00% | 228 0.7 0.30% |
| FKI_LE2 | 143 0.0 0.01% | 145 0.0 0.01% | 146 0.0 0.03% | 148 0.1 0.06% | 148 0.2 0.14% | 148 0.1 0.08% | 148 0.0 0.01% | 148 0.0 0.01% | 148 0.0 0.00% | 148 0.0 0.00% | 149 0.0 0.00% | 149 0.0 0.00% | 147 0.5 0.33% |
| KIN_LE2 | 2,514 1.0 0.04% | 2,545 1.1 0.04% | 2,564 3.2 0.12% | 2,577 6.5 0.25% | 2,586 14.2 0.55% | 2,582 7.9 0.31% | 2,576 0.5 0.02% | 2,581 0.4 0.02% | 2,582 0.4 -0.02% | 2,584 0.4 -0.02% | 2,585 0.4 -0.02% | 2,586 0.4 -0.02% | 2,572 32.4 1.26% |

表 4-13 就業者数(3 次産業)の変化

| | 単位:10億円 | | | | | | | | | | | | 2004-2015 |
|---------|-----------------------|-----------------------|-----------------------|------------------------|------------------------|------------------------|-----------------------|-----------------------|---------------------------|---------------------------|---------------------------|---------------------------|------------------------|
| | 2004 | 2005 | 2006 | 2007 | 2008 | 2009 | 2010 | 2011 | 2012 | 2013 | 2014 | 2015 | |
| OSA_LE3 | 2,511 0.5 0.02% | 2,528 0.5 0.02% | 2,537 1.5 0.06% | 2,542 5.8 0.23% | 2,548 12.1 0.23% | 2,542 6.5 0.48% | 2,538 0.3 0.25% | 2,539 0.1 0.01% | 2,539 0.00% -0.01% | 2,539 0.00% -0.02% | 2,538 0.4 -0.02% | 2,538 0.4 -0.02% | 2,537 25.6 1.01% |
| HYO_LE3 | 1,428 1.8 0.13% | 1,443 2.0 0.14% | 1,461 5.8 0.40% | 1,474 5.4 0.37% | 1,481 13.4 0.91% | 1,487 8.9 0.60% | 1,497 0.9 0.06% | 1,508 0.1 0.01% | 1,516 0.3 -0.02% | 1,525 0.5 -0.03% | 1,533 0.6 -0.04% | 1,541 0.6 -0.04% | 1,491 36.4 2.44% |
| KYO_LE3 | 672 0.0 0.01% | 677 0.0 0.01% | 681 0.1 0.02% | 684 0.2 0.04% | 687 0.5 0.08% | 688 0.4 0.05% | 690 0.1 0.01% | 692 0.1 0.01% | 693 0.0 0.00% | 695 0.0 0.00% | 696 0.0 0.00% | 697 0.0 0.00% | 688 1.5 0.22% |
| NRA_LE3 | 265 0.0 0.00% | 267 0.0 0.01% | 266 0.0 0.02% | 269 0.1 0.05% | 270 0.3 0.10% | 271 0.2 0.06% | 273 0.0 0.01% | 275 0.0 0.00% | 277 0.0 0.00% | 278 0.0 0.00% | 280 0.0 0.00% | 281 0.0 0.00% | 273 0.6 0.22% |
| WAK_LE3 | 244 0.0 0.00% | 245 0.0 0.00% | 247 1.2 0.01% | 248 2.0 0.48% | 248 1.6 0.81% | 249 1.6 0.65% | 249 0.64 0.64% | 249 0.64 0.64% | 249 0.8 0.08% | 249 0.1 0.08% | 249 0.1 0.06% | 249 0.1 0.05% | 248 8.6 3.48% |
| SGA_LE3 | 271 0.0 0.00% | 273 0.0 0.00% | 276 0.0 0.01% | 278 0.1 0.03% | 280 0.2 0.06% | 281 0.1 0.04% | 283 0.0 0.01% | 285 0.0 0.01% | 286 0.0 0.00% | 288 0.0 0.00% | 290 0.0 0.00% | 291 0.0 0.00% | 282 0.5 0.17% |
| FKI_LE3 | 235 0.0 0.01% | 236 0.0 0.01% | 238 0.1 0.03% | 240 0.1 0.06% | 241 0.3 0.13% | 241 0.2 0.09% | 242 0.1 0.02% | 243 0.0 0.02% | 244 0.0 0.01% | 245 0.0 0.00% | 246 0.0 0.00% | 246 0.0 0.00% | 241 0.9 0.38% |
| KIN_LE3 | 5,625 2.4 0.04% | 5,669 2.6 0.05% | 5,705 7.6 0.13% | 5,735 13.0 0.23% | 5,753 28.8 0.50% | 5,760 17.8 0.31% | 5,772 2.9 0.05% | 5,790 2.0 0.03% | 5,805 -0.01% -0.01% | 5,819 -0.01% -0.01% | 5,832 -0.01% -0.01% | 5,844 -0.02% -0.02% | 5,759 74.1 1.29% |

表の上段は基準解、中段は基準解からの乖離(基準解 - シミュレーション解)、下段は乖離率

表 4-14 家計可処分所得の変化

| | 単位:10億円 | | | | | | | | | | | | 2004-2015 |
|----------|-------------------------|-------------------------|-------------------------|-------------------------|--------------------------|--------------------------|-------------------------|---------------------------|----------------------------|----------------------------|----------------------------|----------------------------|--------------------------|
| | 2004 | 2005 | 2006 | 2007 | 2008 | 2009 | 2010 | 2011 | 2012 | 2013 | 2014 | 2015 | |
| OSA_YDHV | 19,454 3.0 0.02% | 19,577 3.1 0.02% | 19,718 9.4 0.05% | 19,713 37.6 0.19% | 19,737 77.8 0.39% | 19,777 40.5 0.20% | 19,796 0.3 0.00% | 19,778 0.00% -0.02% | 19,736 -0.02% -0.02% | 19,675 -0.02% -0.02% | 19,591 -0.02% -0.02% | 19,481 -0.02% -0.02% | 19,670 158.6 0.81% |
| HYO_YDHV | 13,698 10.6 0.08% | 13,799 11.1 0.08% | 14,011 33.8 0.24% | 14,119 31.5 0.22% | 14,205 59.0 0.55% | 14,398 3.2 0.35% | 14,634 0.2 0.02% | 14,788 0.0 0.00% | 14,935 -0.02% -0.02% | 15,081 -0.02% -0.02% | 15,228 -0.02% -0.02% | 15,376 -0.02% -0.02% | 14,523 207.4 1.43% |
| KYO_YDHV | 6,200 0.3 0.00% | 6,228 0.3 0.01% | 6,290 0.9 0.02% | 6,300 2.0 0.03% | 6,317 4.3 0.07% | 6,347 2.7 0.04% | 6,362 0.5 0.01% | 6,377 0.3 0.00% | 6,389 0.0 0.00% | 6,399 0.0 0.00% | 6,409 0.0 0.00% | 6,417 0.0 0.00% | 6,336 11.2 0.18% |
| NRA_YDHV | 3,458 0.1 0.00% | 3,487 0.1 0.00% | 3,533 0.4 0.01% | 3,576 1.4 0.04% | 3,581 2.9 0.08% | 3,635 1.6 0.04% | 3,693 0.1 0.00% | 3,733 0.0 0.00% | 3,773 0.0 0.00% | 3,813 0.0 0.00% | 3,853 0.0 0.00% | 3,894 0.0 0.00% | 3,669 6.2 0.17% |
| WAK_YDHV | 2,466 0.1 0.00% | 2,483 0.1 0.00% | 2,502 0.2 0.01% | 2,513 6.1 0.24% | 2,513 10.4 0.41% | 2,513 8.2 0.33% | 2,510 7.7 0.31% | 2,508 7.7 0.31% | 2,505 0.6 0.03% | 2,502 0.5 0.03% | 2,498 0.4 0.02% | 2,495 0.3 0.01% | 2,501 42.3 1.69% |
| SGA_YDHV | 3,511 0.1 0.00% | 3,524 0.1 0.00% | 3,603 0.4 0.01% | 3,643 0.8 0.02% | 3,694 1.7 0.05% | 3,756 1.0 0.03% | 3,756 0.2 0.00% | 3,806 0.2 0.00% | 3,850 0.0 0.00% | 3,893 0.0 0.00% | 3,937 0.0 0.00% | 3,982 0.0 0.00% | 3,769 4.4 0.12% |
| FKI_YDHV | 1,926 0.1 0.01% | 1,935 0.1 0.01% | 1,955 0.4 0.02% | 1,960 0.7 0.04% | 1,975 1.6 0.08% | 1,998 1.0 0.05% | 2,029 1.0 0.01% | 2,036 0.2 0.01% | 2,042 0.1 0.01% | 2,047 0.0 0.01% | 2,052 0.0 0.01% | 2,057 0.0 0.01% | 2,001 4.2 0.21% |
| KIN_YDHV | 50,714 14.3 0.03% | 51,033 15.0 0.03% | 51,611 45.6 0.09% | 51,825 80.1 0.15% | 52,023 177.4 0.34% | 52,425 105.9 0.20% | 52,829 12.1 0.02% | 53,070 7.6 0.02% | 53,271 5.0 0.01% | 53,453 6.1 0.01% | 53,613 6.5 -0.01% | 53,747 6.5 -0.01% | 52,468 434.2 0.83% |

表 4-15 県民総所得の変化

単位:10億円

| | 2004 | 2005 | 2006 | 2007 | 2008 | 2009 | 2010 | 2011 | 2012 | 2013 | 2014 | 2015 | 2004-2015 |
|----------|--------|--------|--------|--------|--------|--------|--------|--------|--------|--------|--------|--------|-----------|
| OSA_GNIV | 37,270 | 37,181 | 37,103 | 36,947 | 36,990 | 37,019 | 36,925 | 36,945 | 36,941 | 36,934 | 36,924 | 36,909 | 37,007 |
| | 6.4 | 6.7 | 19.6 | 80.5 | 167.3 | 87.3 | 0.9 | ▲ 0.9 | ▲ 6.4 | ▲ 6.9 | ▲ 7.0 | ▲ 6.8 | 340.4 |
| | 0.02% | 0.02% | 0.05% | 0.22% | 0.45% | 0.24% | 0.00% | 0.00% | -0.02% | -0.02% | -0.02% | -0.02% | 0.92% |
| HYO_GNIV | 20,308 | 20,386 | 20,493 | 20,534 | 20,522 | 20,572 | 20,624 | 20,707 | 20,771 | 20,832 | 20,893 | 20,953 | 20,633 |
| | 20.2 | 20.5 | 60.4 | 56.3 | 140.4 | 88.9 | 4.4 | ▲ 0.9 | ▲ 4.7 | ▲ 5.7 | ▲ 6.0 | ▲ 5.9 | 368.1 |
| | 0.10% | 0.10% | 0.29% | 0.27% | 0.68% | 0.43% | 0.02% | 0.00% | -0.02% | -0.03% | -0.03% | -0.03% | 1.78% |
| KYO_GNIV | 9,973 | 9,972 | 9,991 | 9,987 | 10,013 | 10,052 | 10,056 | 10,074 | 10,086 | 10,097 | 10,107 | 10,116 | 10,044 |
| | 0.6 | 0.6 | 1.9 | 3.9 | 8.5 | 5.2 | 0.9 | 0.6 | 0.0 | ▲ 0.1 | ▲ 0.1 | ▲ 0.2 | 21.8 |
| | 0.01% | 0.01% | 0.02% | 0.04% | 0.08% | 0.05% | 0.01% | 0.01% | 0.00% | 0.00% | 0.00% | 0.00% | 0.22% |
| NRA_GNIV | 4,729 | 4,746 | 4,807 | 4,851 | 4,859 | 4,875 | 4,894 | 4,908 | 4,920 | 4,931 | 4,943 | 4,955 | 4,868 |
| | 0.2 | 0.2 | 0.7 | 2.2 | 4.6 | 2.6 | 0.2 | 0.0 | ▲ 0.2 | ▲ 0.2 | ▲ 0.2 | ▲ 0.2 | 9.9 |
| | 0.00% | 0.01% | 0.01% | 0.05% | 0.10% | 0.05% | 0.00% | 0.00% | 0.00% | 0.00% | 0.00% | 0.00% | 0.20% |
| WAK_GNIV | 3,596 | 3,577 | 3,594 | 3,620 | 3,630 | 3,635 | 3,639 | 3,642 | 3,643 | 3,643 | 3,643 | 3,643 | 3,625 |
| | 0.3 | 0.3 | 0.7 | 11.8 | 20.4 | 15.5 | 13.8 | 13.9 | 0.8 | 0.6 | 0.4 | 0.3 | 78.8 |
| | 0.01% | 0.01% | 0.02% | 0.33% | 0.56% | 0.43% | 0.38% | 0.38% | 0.02% | 0.02% | 0.01% | 0.01% | 2.17% |
| SGA_GNIV | 5,914 | 5,935 | 5,982 | 5,992 | 6,010 | 6,049 | 6,062 | 6,084 | 6,099 | 6,114 | 6,129 | 6,145 | 6,043 |
| | 0.5 | 0.5 | 1.4 | 2.6 | 5.7 | 3.5 | 0.5 | 0.3 | ▲ 0.1 | ▲ 0.1 | ▲ 0.1 | ▲ 0.2 | 14.6 |
| | 0.01% | 0.01% | 0.02% | 0.04% | 0.10% | 0.06% | 0.01% | 0.01% | 0.00% | 0.00% | 0.00% | 0.00% | 0.24% |
| FKI_GNIV | 3,317 | 3,346 | 3,378 | 3,403 | 3,440 | 3,463 | 3,469 | 3,478 | 3,486 | 3,492 | 3,498 | 3,503 | 3,439 |
| | 0.3 | 0.3 | 0.9 | 1.7 | 3.7 | 2.3 | 0.5 | 0.4 | 0.1 | 0.0 | ▲ 0.0 | ▲ 0.0 | 10.1 |
| | 0.01% | 0.01% | 0.03% | 0.05% | 0.11% | 0.07% | 0.01% | 0.01% | 0.00% | 0.00% | 0.00% | 0.00% | 0.29% |
| KIN_GNIV | 85,107 | 85,142 | 85,347 | 85,333 | 85,465 | 85,666 | 85,669 | 85,838 | 85,945 | 86,044 | 86,137 | 86,223 | 85,660 |
| | 28.4 | 29.1 | 85.6 | 159.0 | 350.6 | 205.3 | 21.1 | 13.4 | ▲ 10.4 | ▲ 12.3 | ▲ 13.0 | ▲ 13.0 | 843.7 |
| | 0.03% | 0.03% | 0.10% | 0.19% | 0.41% | 0.24% | 0.02% | 0.02% | -0.01% | -0.01% | -0.02% | -0.02% | 0.98% |

表の上段は基準解、中段は基準解からの乖離(基準解 - シミュレーション解)、下段は乖離率

(2) 財政への影響

表 4-16 直接税の変化

単位:10億円

| | 2004 | 2005 | 2006 | 2007 | 2008 | 2009 | 2010 | 2011 | 2012 | 2013 | 2014 | 2015 | 2004-2015 |
|---------|-------|-------|-------|-------|-------|-------|--------|--------|--------|--------|--------|--------|-----------|
| OSA_TDV | 3,547 | 3,523 | 3,518 | 3,467 | 3,441 | 3,434 | 3,408 | 3,226 | 3,218 | 3,209 | 3,201 | 3,192 | 3,365 |
| | 1.1 | 1.1 | 3.2 | 13.3 | 26.9 | 11.3 | ▲ 4.3 | ▲ 5.0 | ▲ 5.9 | ▲ 5.1 | ▲ 3.7 | ▲ 3.0 | 29.7 |
| | 0.03% | 0.03% | 0.09% | 0.38% | 0.78% | 0.33% | -0.13% | -0.16% | -0.18% | -0.16% | -0.12% | -0.10% | 0.88% |
| HYO_TDV | 1,325 | 1,338 | 1,350 | 1,344 | 1,329 | 1,328 | 1,328 | 1,296 | 1,296 | 1,296 | 1,296 | 1,296 | 1,319 |
| | 2.5 | 2.3 | 7.2 | 5.8 | 16.0 | 7.0 | ▲ 5.2 | ▲ 5.8 | ▲ 5.3 | ▲ 4.7 | ▲ 2.9 | ▲ 1.7 | 15.3 |
| | 0.19% | 0.17% | 0.54% | 0.43% | 1.20% | 0.53% | -0.39% | -0.44% | -0.41% | -0.36% | -0.22% | -0.13% | 1.16% |
| KYO_TDV | 741 | 907 | 910 | 906 | 903 | 905 | 903 | 898 | 897 | 896 | 895 | 894 | 888 |
| | 0.1 | 0.1 | 0.2 | 0.5 | 1.1 | 0.6 | 0.1 | 0.0 | ▲ 0.1 | ▲ 0.1 | ▲ 0.1 | ▲ 0.1 | 2.3 |
| | 0.01% | 0.01% | 0.03% | 0.05% | 0.12% | 0.07% | 0.01% | 0.00% | -0.01% | -0.01% | -0.01% | -0.01% | 0.26% |
| NRA_TDV | 277 | 277 | 287 | 289 | 289 | 290 | 291 | 282 | 282 | 283 | 284 | 284 | 285 |
| | 0.0 | 0.0 | 0.1 | 0.2 | 0.3 | 0.2 | 0.0 | ▲ 0.0 | ▲ 0.0 | ▲ 0.0 | ▲ 0.0 | ▲ 0.0 | 0.7 |
| | 0.01% | 0.01% | 0.02% | 0.06% | 0.12% | 0.06% | 0.00% | 0.00% | -0.01% | -0.01% | -0.01% | -0.01% | 0.23% |
| WAK_TDV | 165 | 191 | 195 | 195 | 195 | 196 | 197 | 195 | 195 | 195 | 195 | 195 | 192 |
| | 0.0 | 0.0 | 0.1 | 1.4 | 2.4 | 1.8 | 1.6 | 1.5 | ▲ 0.3 | ▲ 0.3 | ▲ 0.2 | ▲ 0.1 | 7.8 |
| | 0.01% | 0.01% | 0.03% | 0.74% | 1.22% | 0.89% | 0.79% | 0.75% | -0.16% | -0.14% | -0.10% | -0.07% | 4.05% |
| SGA_TDV | 346 | 346 | 348 | 346 | 344 | 345 | 343 | 334 | 333 | 332 | 331 | 330 | 340 |
| | 0.0 | 0.0 | 0.1 | 0.2 | 0.4 | 0.2 | 0.0 | 0.0 | ▲ 0.0 | ▲ 0.0 | ▲ 0.0 | ▲ 0.0 | 1.0 |
| | 0.01% | 0.01% | 0.03% | 0.05% | 0.12% | 0.07% | 0.01% | 0.00% | -0.01% | -0.01% | -0.01% | -0.01% | 0.29% |
| FKI_TDV | 194 | 198 | 205 | 206 | 208 | 210 | 211 | 208 | 209 | 209 | 210 | 210 | 207 |
| | 0.0 | 0.1 | 0.2 | 0.3 | 0.6 | 0.4 | 0.1 | 0.0 | ▲ 0.0 | ▲ 0.0 | ▲ 0.0 | ▲ 0.0 | 1.7 |
| | 0.03% | 0.03% | 0.08% | 0.14% | 0.31% | 0.19% | 0.03% | 0.02% | 0.00% | -0.01% | -0.01% | -0.01% | 0.80% |
| KIN_TDV | 6,595 | 6,781 | 6,812 | 6,754 | 6,710 | 6,707 | 6,680 | 6,439 | 6,430 | 6,420 | 6,412 | 6,402 | 6,595 |
| | 3.8 | 3.6 | 11.1 | 21.6 | 47.7 | 21.5 | ▲ 7.8 | ▲ 9.3 | ▲ 11.6 | ▲ 10.2 | ▲ 6.9 | ▲ 5.0 | 58.5 |
| | 0.06% | 0.05% | 0.16% | 0.32% | 0.71% | 0.32% | -0.12% | -0.14% | -0.18% | -0.16% | -0.11% | -0.08% | 0.89% |

表 4-17 間接税の変化

| | 単位:10億円 | | | | | | | | | | | | |
|---------|---------|-------|-------|-------|-------|-------|-------|-------|--------|--------|--------|--------|-----------|
| | 2004 | 2005 | 2006 | 2007 | 2008 | 2009 | 2010 | 2011 | 2012 | 2013 | 2014 | 2015 | 2004-2015 |
| OSA_TIV | 3,811 | 3,823 | 3,838 | 3,849 | 3,878 | 3,881 | 3,870 | 5,040 | 5,037 | 5,034 | 5,030 | 5,025 | 4,343 |
| | 0.1 | 0.1 | 0.4 | 2.1 | 4.6 | 2.8 | 0.7 | 0.6 | 0.3 | 0.2 | 0.1 | ▲ 0.0 | 12.1 |
| | 0.00% | 0.00% | 0.01% | 0.06% | 0.12% | 0.07% | 0.02% | 0.01% | 0.01% | 0.00% | 0.00% | 0.00% | 0.28% |
| HYO_TIV | 1,695 | 1,742 | 1,797 | 1,839 | 1,888 | 1,910 | 1,922 | 2,243 | 2,264 | 2,284 | 2,303 | 2,323 | 2,018 |
| | 1.7 | 2.1 | 6.4 | 6.4 | 16.0 | 11.5 | 2.1 | 0.7 | ▲ 0.3 | ▲ 0.7 | ▲ 0.8 | ▲ 0.9 | 44.3 |
| | 0.10% | 0.12% | 0.35% | 0.35% | 0.85% | 0.60% | 0.11% | 0.03% | -0.01% | -0.03% | -0.04% | -0.04% | 2.19% |
| KYO_TIV | 708 | 714 | 720 | 725 | 733 | 737 | 737 | 783 | 784 | 786 | 787 | 788 | 750 |
| | 0.0 | 0.0 | 0.0 | 0.1 | 0.1 | 0.1 | 0.0 | 0.0 | 0.0 | 0.0 | 0.0 | 0.0 | 0.5 |
| | 0.00% | 0.00% | 0.00% | 0.01% | 0.02% | 0.01% | 0.01% | 0.01% | 0.00% | 0.00% | 0.00% | 0.00% | 0.07% |
| NRA_TIV | 241 | 242 | 244 | 245 | 245 | 246 | 248 | 375 | 377 | 379 | 380 | 382 | 300 |
| | 0.0 | 0.0 | 0.0 | 0.0 | 0.1 | 0.1 | 0.0 | 0.0 | ▲ 0.0 | ▲ 0.0 | ▲ 0.0 | ▲ 0.0 | 0.2 |
| | 0.00% | 0.00% | 0.01% | 0.02% | 0.03% | 0.02% | 0.00% | 0.00% | 0.00% | 0.00% | 0.00% | 0.00% | 0.06% |
| WAK_TIV | 357 | 361 | 362 | 363 | 363 | 364 | 364 | 468 | 468 | 468 | 467 | 467 | 406 |
| | 0.0 | 0.0 | 0.0 | 0.2 | 0.5 | 0.5 | 0.5 | 0.7 | 0.4 | 0.3 | 0.2 | 0.2 | 3.6 |
| | 0.00% | 0.00% | 0.00% | 0.06% | 0.13% | 0.13% | 0.14% | 0.15% | 0.09% | 0.07% | 0.05% | 0.04% | 0.89% |
| SGA_TIV | 433 | 436 | 440 | 443 | 448 | 451 | 452 | 565 | 568 | 570 | 572 | 574 | 496 |
| | 0.0 | 0.0 | 0.0 | 0.0 | 0.1 | 0.0 | 0.0 | 0.0 | 0.0 | 0.0 | 0.0 | 0.0 | 0.3 |
| | 0.00% | 0.00% | 0.00% | 0.01% | 0.01% | 0.01% | 0.01% | 0.00% | 0.00% | 0.00% | 0.00% | 0.00% | 0.05% |
| FKI_TIV | 253 | 253 | 255 | 256 | 262 | 266 | 268 | 356 | 359 | 362 | 365 | 368 | 302 |
| | 0.0 | 0.0 | 0.0 | 0.1 | 0.1 | 0.1 | 0.1 | 0.1 | 0.1 | 0.1 | 0.1 | 0.1 | 0.9 |
| | 0.00% | 0.00% | 0.01% | 0.02% | 0.05% | 0.05% | 0.04% | 0.03% | 0.03% | 0.02% | 0.02% | 0.01% | 0.30% |
| KIN_TIV | 7,498 | 7,569 | 7,655 | 7,720 | 7,817 | 7,854 | 7,859 | 9,830 | 9,857 | 9,882 | 9,905 | 9,927 | 8,615 |
| | 1.8 | 2.3 | 6.8 | 9.0 | 21.5 | 15.2 | 3.5 | 2.2 | 0.6 | ▲ 0.0 | ▲ 0.4 | ▲ 0.6 | 61.9 |
| | 0.02% | 0.03% | 0.09% | 0.12% | 0.27% | 0.19% | 0.04% | 0.02% | 0.01% | 0.00% | 0.00% | -0.01% | 0.72% |

表の上段は基準解、中段は基準解からの乖離(基準解 - シミュレーション解)、下段は乖離率

表 4-18 公債費の変化

| | 単位:10億円 | | | | | | | | | | | | |
|------------|---------|--------|--------|--------|--------|--------|--------|--------|--------|--------|--------|--------|-----------|
| | 2004 | 2005 | 2006 | 2007 | 2008 | 2009 | 2010 | 2011 | 2012 | 2013 | 2014 | 2015 | 2004-2015 |
| OSA_DEBTPV | 745 | 770 | 784 | 791 | 799 | 824 | 867 | 901 | 909 | 895 | 882 | 877 | 837 |
| | 0.0 | ▲ 0.1 | ▲ 0.1 | ▲ 0.4 | ▲ 1.4 | ▲ 3.5 | ▲ 4.9 | ▲ 5.3 | ▲ 5.6 | ▲ 5.6 | ▲ 5.8 | ▲ 6.3 | ▲ 39.1 |
| | 0.00% | -0.01% | -0.02% | -0.05% | -0.17% | -0.43% | -0.57% | -0.59% | -0.61% | -0.63% | -0.66% | -0.72% | -4.67% |
| HYO_DEBTPV | 713 | 715 | 744 | 745 | 751 | 776 | 801 | 836 | 864 | 897 | 935 | 980 | 813 |
| | 0.0 | ▲ 0.3 | ▲ 0.6 | ▲ 1.5 | ▲ 2.3 | ▲ 4.5 | ▲ 5.9 | ▲ 6.1 | ▲ 6.1 | ▲ 6.1 | ▲ 6.1 | ▲ 6.2 | ▲ 45.7 |
| | 0.00% | -0.04% | -0.08% | -0.20% | -0.31% | -0.58% | -0.74% | -0.73% | -0.71% | -0.68% | -0.65% | -0.63% | -5.62% |
| KYO_DEBTPV | 250 | 253 | 257 | 258 | 260 | 265 | 268 | 273 | 276 | 280 | 284 | 288 | 268 |
| | 0.0 | ▲ 0.0 | ▲ 0.0 | ▲ 0.0 | ▲ 0.0 | ▲ 0.1 | ▲ 0.1 | ▲ 0.1 | ▲ 0.1 | ▲ 0.1 | ▲ 0.1 | ▲ 0.1 | ▲ 0.8 |
| | 0.00% | 0.00% | 0.00% | -0.01% | -0.01% | -0.03% | -0.03% | -0.04% | -0.04% | -0.04% | -0.04% | -0.04% | -0.28% |
| NRA_DEBTPV | 185 | 186 | 189 | 191 | 195 | 199 | 205 | 213 | 219 | 226 | 234 | 244 | 207 |
| | 0.0 | ▲ 0.0 | ▲ 0.0 | ▲ 0.0 | ▲ 0.0 | ▲ 0.0 | ▲ 0.0 | ▲ 0.0 | ▲ 0.1 | ▲ 0.1 | ▲ 0.1 | ▲ 0.1 | ▲ 0.4 |
| | 0.00% | 0.00% | 0.00% | 0.00% | -0.01% | -0.02% | -0.02% | -0.02% | -0.02% | -0.02% | -0.02% | -0.02% | -0.18% |
| WAK_DEBTPV | 171 | 173 | 191 | 203 | 216 | 233 | 249 | 266 | 280 | 296 | 312 | 328 | 243 |
| | 0.0 | ▲ 0.0 | ▲ 0.0 | ▲ 0.0 | ▲ 0.1 | ▲ 0.2 | ▲ 0.2 | ▲ 0.3 | ▲ 0.4 | ▲ 0.4 | ▲ 0.4 | ▲ 0.4 | ▲ 2.4 |
| | 0.00% | 0.00% | 0.00% | 0.00% | -0.03% | -0.06% | -0.09% | -0.11% | -0.14% | -0.14% | -0.13% | -0.13% | -0.98% |
| SGA_DEBTPV | 144 | 135 | 139 | 143 | 147 | 152 | 157 | 163 | 169 | 175 | 181 | 189 | 158 |
| | 0.0 | ▲ 0.0 | ▲ 0.0 | ▲ 0.0 | ▲ 0.0 | ▲ 0.0 | ▲ 0.0 | ▲ 0.0 | ▲ 0.0 | ▲ 0.0 | ▲ 0.0 | ▲ 0.0 | ▲ 0.1 |
| | 0.00% | 0.00% | 0.00% | 0.00% | 0.00% | -0.01% | -0.01% | -0.01% | -0.01% | -0.01% | -0.01% | -0.01% | -0.06% |
| FKI_DEBTPV | 132 | 133 | 135 | 138 | 141 | 143 | 145 | 149 | 150 | 152 | 154 | 156 | 144 |
| | 0.0 | ▲ 0.0 | ▲ 0.0 | ▲ 0.0 | ▲ 0.0 | ▲ 0.1 | ▲ 0.1 | ▲ 0.1 | ▲ 0.1 | ▲ 0.1 | ▲ 0.1 | ▲ 0.1 | ▲ 0.8 |
| | 0.00% | 0.00% | 0.00% | -0.01% | -0.02% | -0.05% | -0.07% | -0.07% | -0.08% | -0.08% | -0.09% | -0.09% | -0.58% |
| KIN_DEBTPV | 2,340 | 2,365 | 2,440 | 2,470 | 2,509 | 2,591 | 2,693 | 2,801 | 2,867 | 2,920 | 2,983 | 3,061 | 2,670 |
| | 0.0 | ▲ 0.3 | ▲ 0.7 | ▲ 1.9 | ▲ 3.8 | ▲ 8.3 | ▲ 11.3 | ▲ 12.0 | ▲ 12.3 | ▲ 12.4 | ▲ 12.7 | ▲ 13.2 | ▲ 89.2 |
| | 0.00% | -0.01% | -0.03% | -0.08% | -0.15% | -0.32% | -0.42% | -0.43% | -0.43% | -0.43% | -0.42% | -0.43% | -3.34% |

表 4-19 公債発行額の変化

| | 単位:10億円 | | | | | | | | | | | | |
|-----------|---------|--------|--------|--------|--------|--------|--------|--------|--------|--------|--------|--------|-----------|
| | 2004 | 2005 | 2006 | 2007 | 2008 | 2009 | 2010 | 2011 | 2012 | 2013 | 2014 | 2015 | 2004-2015 |
| OSA_BONDV | 635 | 657 | 651 | 683 | 716 | 794 | 893 | 464 | 464 | 433 | 393 | 351 | 594 |
| | ▲ 0.8 | ▲ 0.9 | ▲ 2.7 | ▲ 11.3 | ▲ 23.9 | ▲ 14.9 | ▲ 4.4 | ▲ 4.7 | ▲ 4.5 | ▲ 5.1 | ▲ 6.2 | ▲ 7.3 | ▲ 86.9 |
| | -0.13% | -0.14% | -0.42% | -1.65% | -3.35% | -1.87% | -0.50% | -1.02% | -0.97% | -1.18% | -1.58% | -2.08% | -14.62% |
| HYO_BONDV | 545 | 575 | 594 | 618 | 662 | 770 | 896 | 833 | 908 | 990 | 1,079 | 1,175 | 804 |
| | ▲ 3.0 | ▲ 3.4 | ▲ 10.2 | ▲ 10.3 | ▲ 25.1 | ▲ 18.4 | ▲ 5.1 | ▲ 3.9 | ▲ 3.5 | ▲ 3.6 | ▲ 4.4 | ▲ 5.1 | ▲ 96.1 |
| | -0.56% | -0.60% | -1.72% | -1.67% | -3.79% | -2.38% | -0.57% | -0.47% | -0.39% | -0.36% | -0.41% | -0.44% | -11.96% |
| KYO_BONDV | 244 | 242 | 242 | 247 | 256 | 265 | 272 | 266 | 271 | 276 | 281 | 286 | 262 |
| | ▲ 0.0 | ▲ 0.0 | ▲ 0.1 | ▲ 0.3 | ▲ 0.6 | ▲ 0.4 | ▲ 0.1 | ▲ 0.1 | ▲ 0.1 | ▲ 0.1 | ▲ 0.1 | ▲ 0.1 | ▲ 2.1 |
| | -0.01% | -0.02% | -0.05% | -0.10% | -0.22% | -0.15% | -0.05% | -0.05% | -0.04% | -0.04% | -0.04% | -0.04% | -0.79% |
| NRA_BONDV | 152 | 161 | 167 | 179 | 187 | 208 | 233 | 218 | 237 | 257 | 279 | 303 | 215 |
| | ▲ 0.0 | ▲ 0.0 | ▲ 0.0 | ▲ 0.1 | ▲ 0.2 | ▲ 0.2 | ▲ 0.1 | ▲ 0.1 | ▲ 0.1 | ▲ 0.1 | ▲ 0.1 | ▲ 0.1 | ▲ 0.9 |
| | -0.01% | -0.01% | -0.02% | -0.06% | -0.12% | -0.08% | -0.03% | -0.03% | -0.02% | -0.02% | -0.02% | -0.02% | -0.42% |
| WAK_BONDV | 157 | 239 | 256 | 270 | 283 | 301 | 317 | 317 | 331 | 346 | 362 | 378 | 296 |
| | ▲ 0.0 | ▲ 0.0 | ▲ 0.0 | ▲ 0.4 | ▲ 0.8 | ▲ 0.7 | ▲ 0.8 | ▲ 0.9 | ▲ 0.4 | ▲ 0.4 | ▲ 0.4 | ▲ 0.5 | ▲ 5.3 |
| | 0.00% | 0.00% | -0.01% | -0.16% | -0.28% | -0.24% | -0.24% | -0.27% | -0.13% | -0.12% | -0.12% | -0.12% | -1.80% |
| SGA_BONDV | 129 | 120 | 126 | 133 | 141 | 150 | 158 | 160 | 168 | 176 | 186 | 195 | 154 |
| | ▲ 0.0 | ▲ 0.0 | ▲ 0.0 | ▲ 0.0 | ▲ 0.1 | ▲ 0.0 | ▲ 0.0 | ▲ 0.0 | ▲ 0.0 | ▲ 0.0 | ▲ 0.0 | ▲ 0.0 | ▲ 0.2 |
| | 0.00% | 0.00% | -0.01% | -0.02% | -0.04% | -0.03% | -0.01% | -0.01% | -0.01% | -0.01% | -0.01% | -0.01% | -0.15% |
| FKI_BONDV | 122 | 122 | 120 | 124 | 133 | 140 | 153 | 126 | 126 | 128 | 130 | 131 | 130 |
| | ▲ 0.0 | ▲ 0.0 | ▲ 0.1 | ▲ 0.2 | ▲ 0.5 | ▲ 0.4 | ▲ 0.2 | ▲ 0.2 | ▲ 0.2 | ▲ 0.2 | ▲ 0.2 | ▲ 0.2 | ▲ 2.2 |
| | -0.02% | -0.03% | -0.09% | -0.17% | -0.34% | -0.25% | -0.12% | -0.15% | -0.13% | -0.12% | -0.12% | -0.12% | -1.69% |
| KIN_BONDV | 1,985 | 2,117 | 2,156 | 2,255 | 2,378 | 2,628 | 2,922 | 2,384 | 2,504 | 2,606 | 2,708 | 2,818 | 2,455 |
| | ▲ 3.9 | ▲ 4.5 | ▲ 13.3 | ▲ 22.6 | ▲ 51.1 | ▲ 34.9 | ▲ 10.7 | ▲ 9.9 | ▲ 8.8 | ▲ 9.5 | ▲ 11.4 | ▲ 13.2 | ▲ 193.8 |
| | -0.20% | -0.21% | -0.62% | -1.00% | -2.15% | -1.33% | -0.37% | -0.42% | -0.35% | -0.36% | -0.42% | -0.47% | -7.89% |

表の上段は基準解、中段は基準解からの乖離(基準解 - シミュレーション解)、下段は乖離率

表 4-20 公債発行残高の変化

| | 単位:10億円 | | | | | | | | | | | | |
|--------------------|---------|--------|--------|--------|--------|---------|---------|---------|---------|---------|---------|---------|-----------|
| | 2004 | 2005 | 2006 | 2007 | 2008 | 2009 | 2010 | 2011 | 2012 | 2013 | 2014 | 2015 | 2004-2015 |
| OSA_KBONDV | 8,830 | 9,002 | 9,189 | 9,396 | 9,627 | 9,938 | 10,321 | 10,241 | 10,150 | 10,037 | 9,892 | 9,701 | 9,694 |
| | ▲ 0.8 | ▲ 1.8 | ▲ 4.5 | ▲ 16.1 | ▲ 40.1 | ▲ 53.7 | ▲ 55.6 | ▲ 57.4 | ▲ 58.9 | ▲ 61.0 | ▲ 64.1 | ▲ 68.0 | ▲ 482.1 |
| | -0.01% | -0.02% | -0.05% | -0.17% | -0.42% | -0.54% | -0.54% | -0.56% | -0.58% | -0.61% | -0.65% | -0.70% | -4.97% |
| HYO_KBONDV | 8,126 | 8,232 | 8,358 | 8,498 | 8,674 | 8,953 | 9,346 | 9,654 | 10,022 | 10,454 | 10,953 | 11,524 | 9,400 |
| | ▲ 3.1 | ▲ 6.4 | ▲ 16.5 | ▲ 26.1 | ▲ 50.3 | ▲ 66.3 | ▲ 68.0 | ▲ 68.3 | ▲ 68.3 | ▲ 68.3 | ▲ 69.1 | ▲ 70.7 | ▲ 581.4 |
| | -0.04% | -0.08% | -0.20% | -0.31% | -0.58% | -0.74% | -0.73% | -0.71% | -0.68% | -0.65% | -0.63% | -0.61% | -6.19% |
| KYO_KBONDV | 2,923 | 2,957 | 2,997 | 3,037 | 3,083 | 3,140 | 3,203 | 3,257 | 3,315 | 3,377 | 3,442 | 3,510 | 3,187 |
| | ▲ 0.0 | ▲ 0.1 | ▲ 0.2 | ▲ 0.5 | ▲ 1.0 | ▲ 1.4 | ▲ 1.5 | ▲ 1.6 | ▲ 1.7 | ▲ 1.7 | ▲ 1.8 | ▲ 1.8 | ▲ 13.3 |
| | 0.00% | 0.00% | -0.01% | -0.02% | -0.03% | -0.04% | -0.05% | -0.05% | -0.05% | -0.05% | -0.05% | -0.05% | -0.42% |
| NRA_KBONDV | 1,980 | 2,006 | 2,042 | 2,087 | 2,139 | 2,214 | 2,315 | 2,392 | 2,487 | 2,601 | 2,734 | 2,888 | 2,324 |
| | ▲ 0.0 | ▲ 0.0 | ▲ 0.1 | ▲ 0.2 | ▲ 0.4 | ▲ 0.6 | ▲ 0.6 | ▲ 0.7 | ▲ 0.7 | ▲ 0.7 | ▲ 0.8 | ▲ 0.8 | ▲ 5.6 |
| | 0.00% | 0.00% | 0.00% | -0.01% | -0.02% | -0.03% | -0.03% | -0.03% | -0.03% | -0.03% | -0.03% | -0.03% | -0.24% |
| WAK_KBONDV | 1,476 | 1,591 | 1,714 | 1,842 | 1,972 | 2,110 | 2,253 | 2,383 | 2,518 | 2,657 | 2,801 | 2,950 | 2,189 |
| | ▲ 0.0 | ▲ 0.0 | ▲ 0.0 | ▲ 0.5 | ▲ 1.3 | ▲ 2.0 | ▲ 2.6 | ▲ 3.3 | ▲ 3.5 | ▲ 3.7 | ▲ 3.8 | ▲ 4.0 | ▲ 24.8 |
| | 0.00% | 0.00% | 0.00% | -0.03% | -0.07% | -0.09% | -0.12% | -0.14% | -0.14% | -0.14% | -0.14% | -0.14% | -1.13% |
| SGA_KBONDV | 1,637 | 1,674 | 1,720 | 1,768 | 1,820 | 1,880 | 1,945 | 2,008 | 2,077 | 2,150 | 2,229 | 2,313 | 1,935 |
| | ▲ 0.0 | ▲ 0.0 | ▲ 0.0 | ▲ 0.0 | ▲ 0.1 | ▲ 0.1 | ▲ 0.1 | ▲ 0.2 | ▲ 0.2 | ▲ 0.2 | ▲ 0.2 | ▲ 0.2 | ▲ 1.3 |
| | 0.00% | 0.00% | 0.00% | 0.00% | -0.01% | -0.01% | -0.01% | -0.01% | -0.01% | -0.01% | -0.01% | -0.01% | -0.07% |
| FKI_KBONDV | 1,197 | 1,218 | 1,240 | 1,262 | 1,289 | 1,324 | 1,369 | 1,387 | 1,406 | 1,424 | 1,443 | 1,463 | 1,335 |
| | ▲ 0.0 | ▲ 0.1 | ▲ 0.2 | ▲ 0.3 | ▲ 0.7 | ▲ 1.0 | ▲ 1.1 | ▲ 1.3 | ▲ 1.3 | ▲ 1.4 | ▲ 1.5 | ▲ 1.6 | ▲ 10.6 |
| | 0.00% | -0.01% | -0.01% | -0.03% | -0.06% | -0.08% | -0.08% | -0.09% | -0.10% | -0.10% | -0.10% | -0.11% | -0.79% |
| KIN_KBONDV (兆円) | 26,168 | 26,681 | 27,261 | 27,891 | 28,603 | 29,558 | 30,751 | 31,324 | 31,975 | 32,700 | 33,494 | 34,348 | 30,063 |
| | ▲ 4.0 | ▲ 8.4 | ▲ 21.5 | ▲ 43.7 | ▲ 94.0 | ▲ 125.1 | ▲ 129.6 | ▲ 132.8 | ▲ 134.5 | ▲ 137.0 | ▲ 141.3 | ▲ 147.1 | ▲ 1,119.0 |
| | -0.02% | -0.03% | -0.08% | -0.16% | -0.33% | -0.42% | -0.42% | -0.42% | -0.42% | -0.42% | -0.42% | -0.43% | -3.72% |

5. 県民経済計算の用語と概念の説明

県民経済計算は原則として国民経済計算に準拠して作成される。しかし、地域経済と一国全体の経済では概念が異なる部分もあるため、構造が完全に一致しているわけではない。本章では、本稿で使用した項目を中心に県民経済計算独自の項目や概念を説明する。

- 移出および移入

移出は地域内で生産された財やサービスに対する地域外からの需要。移入は地域外で生産された財やサービスに対する地域内からの需要。国家レベルでの輸出と輸入に対応する。

- 営業余剰・混合所得

企業および家計が市場で利益を追求した結果生み出した生産への貢献分。産業連関表では付加価値部門の一部として計上される。93SNA以後は、家計のうち個人企業の取り分を混合所得として営業余剰から分離している。原則として政府および非営利団体は、営業余剰を生産しない。

- 家計最終消費支出と現実最終消費支出

家計の新規の財・サービスに対する支出。農家における農産物の自家消費、現物給与なども含まれる。仕送り金、贈与金、罰金、手数料などの移転支出は除かれる。生命保険、年金基金、非生命保険については、サービスチャージ分（保険料－保険金）のみ消費支出に計上される。なお、政府や家計等の消費には、各制度部門が実際に負担した額と各制度部門が享受した便益の額という2つの消費概念の考え方がある。前者を最終消費支出、後者を現実最終消費と表章している。

- 企業所得

企業所得は、営業余剰・混合所得に企業分の財産所得（受取－支払）の差額を加えたもので、(a) 民間法人企業所得、(b) 公的企業所得、(c) 個人企業所得の3部門別に計上される。

- 逆行列係数

ある産業の生産が他の産業の生産にどの程度波及するかを数値で示したもの。

- 県内概念と県民概念

県内ベースとは、県内での生産活動の結果創出された付加価値額を生産に関わった者の居住地を問わずに把握する概念である。県民ベースは、県内居住者の生産活動の結果創

出された付加価値をその生産活動の行われた地域を問わずに把握する概念である。なお、就業者および雇用者数における従業地ベースと常住地ベースに対応する概念である。

- ・ 現金による社会保障給付

社会保障基金から家計に対して現金で支給される経常移転。具体的には各種年金が該当する。健康保険の医療や介護保険の現物給付などは含まれない。SNA の所得支出勘定では一般政府の支払い、家計の受け取りとして計上される。

- ・ 現物社会移転以外の社会給付

社会給付は、社会保険制度に基づく「社会保険給付（社会保障基金、年金基金、無基金）」と、そうした制度に基づかない「社会扶助給付」とに分類される。ここでは、社会保険給付のうち現物以外による社会給付（現金による社会保障給付）、年金基金による社会給付及び無基金雇用者社会給付が計上される。

「現金による社会保障給付」は、国民年金、厚生年金、共済組合、農業者年金基金からの年金給付、失業給付などで、社会保障基金（一般政府）が家計に対して支払う社会給付のうち、現金により支払われるものが含まれる。「年金基金による社会給付」は、厚生年金基金、適格退職年金などによる退職年金給付などが含まれる。「無基金雇用者社会給付」は、雇主による公務災害補償や労働災害に対する見舞金の支払などが含まれるほか、退職一時金分も含まれる。「社会扶助給付」は、社会保険制度の枠組みの中での給付ではなく、政府部门（中央政府、地方政府）又は対家計民間非営利団体が家計に対して支払う社会給付を指す。

- ・ 固定資本減耗

企業・政府・民間非営利団体が保有する機械などの固定資産（無形資産を含む）について、通常の破損や損害から生じる減耗分を評価した額。

- ・ 雇用者報酬

雇用者が労働の対価として受け取るもの。いわゆるサラリーマンの給与が代表的。産業連関表では付加価値部門に計上される。

- ・ 財産所得

経済主体が所有する金融関係資産、土地及び著作権・特許権などの無形資産を、他の経済団体に使用させたときにその結果として生じる所得のことと、利子、配当及び賃貸料の3つからなる。

家計・受取の財産所得は家計（個人企業を除く）の利子の受取と支払および配当、保険契約者に帰属する財産所得、賃貸料の受取を計上する。

家計・支払の財産所得は家計の持つ負債の支払利子等を計上する。

一般政府・受取の財産所得は、県内に所在する市町村、県、国出先機関等事業所（一般会計、非企業特別会計）の財産所得（利子、法人企業の分配所得、保険契約者に帰属する財産所得）の受取、支払を計上する。

一般政府・支払の財産所得は公債および借入金の支払利子等を計上する。

- 社会負担

「現実社会負担」は、雇主が社会保険制度を管理する基金に対して支払う社会負担である「雇主の現実社会負担」と雇用者本人による社会保険制度を管理する基金に対する負担である「雇用者の社会負担」に分類されて計上されている。

「雇主の現実社会負担」は、社会保障基金に対する「雇主の強制的現実社会負担」と、年金基金に対する「雇主の自発的現実社会負担」に分けられ、これらは雇主が雇用者の利益のために支払う性格のものであるため、まず雇用者報酬の構成要素として計上し、同額を家計が一般政府ないし金融機関に支払ったかのように計上している。現実社会負担は医療保障、年金給付、労働災害補償、雇用保険、児童手当給付などの社会保険基金（雇主の強制的現実社会負担）や金融機関に格付けされる年金基金（雇主の自発的現実社会負担）に対する負担額である。

「雇用者の社会負担」は、雇用者本人による社会保険制度を管理する基金に対する負担を指し、支払先によって「雇用者の強制的社会負担」（対社会保障基金）と「雇用者の自発的社会負担」（対年金基金）とに分けて記録している。

「帰属社会負担」は、「無基金雇用者社会給付」が雇用者報酬の構成要素（「雇主の帰属社会負担」）としても計上されることから、家計による二重受取を回避するために設けられた項目であり、「雇主の帰属社会負担」と同額を家計が雇主に支払ったものとして計上している。具体的には、退職一時金や社会保障基金によらない業務災害補償などの負担額をさす。

- 所得・富等に課される経常税

個人や政府の所得や財産に課される税のこと。所得税、相続税、固定資産税などいわゆる直接税が該当する。

- 生産・輸入品に課される税

財貨・サービスの生産、販売、購入または使用に際して生産者に課せられる租税および税外負担で、税法上損金算入が認められて所得とはならず、かつその負担が最終購入者に転嫁されるものをいう。具体的には、消費税、酒税、関税、印紙税、法人・個人事業税、不動産取得税などがあげられる。家計に対する固定資産税も、持ち家家計は住宅賃貸業を営んでおり帰属家賃の一部を構成するという観点から生産・輸入品に

課される税として扱われる。

- ・ 生産者価格表示および購入者価格表示

生産者価格 + 商業マージン + 運賃 = 購入者価格

によって表される関係である。

- ・ 総固定資本形成

企業、一般政府、対家計民間非営利団体、家計の生産者としての支出のうち、建設物、機械設備等の固定資本ストックの追加となる新規耐久財の購入をさす。93SNA からはコンピューター、ソフトウェアの購入も含むようになった。

- ・ 対家計民間非営利団体

ある特定の目的を遂行するために集まった個人の自発的な団体であり、その活動は通常会員の会費や家計、企業、政府からの寄付、補助金によってまかなわれ、他の方法では効率的に提供し得ない社会的・公共的サービスを、利益追求を旨とすることなく家計へ提供するものである。労働組合、政党、宗教団体のほか、私立学校の全てがこれに含まれる。

- ・ 中間投入

生産の過程で原材料、光熱費、研究調査費等として消費される非耐久財・サービスをさす。ただし、いわゆる人件費や支払利息は含まない。固定資産の維持補修、研究開発調査等もこれに含まれる。

- ・ デフレーター

名目価額から、物価変動の影響を除いた実質価額を算出するために用いられる価格指数のこと。実質値を求めるため、基準年からの物価変動分を除去するために使用される係数（物価調整指数）として利用している。なお、実質値が求められたのち、それによって名目値を除して事後的に求められるデフレーターは、インプレシット・デフレーターと呼ばれる。

- ・ 無基金雇用者社会給付

社会保障基金、年金基金などの外部機関を利用せず、また自己で基金を設けることもせず、雇主がその源泉から雇用者に支払う福祉的な給付である。雇主による公務災害補償や労働災害に対する見舞金の支払等が含まれるほか、退職一時金分も含まれる。なお、この給付分は「雇主の帰属社会負担」として雇用者報酬に計上される。

- ・連鎖方式と固定基準年方式

デフレーターの作成方法において、前年を基準年とし、それを毎年積み重ねて接続する方法を連鎖方式という。価格変動が激しい財・サービスの実態をより正確に表すことが可能だが、加法整合性が成立しないなど問題もある。国民経済計算では平成16年12月から正式導入され、県民経済計算でも順次導入される予定である。一方、固定基準年方式は基準年のある年（通常5年に一度更新）に固定したまま接続する方法である。

執筆者名簿

| | |
|--------------------|--------------|
| 大阪大学大学院経済学研究科 教授 | 福重 元嗣（主査） |
| 関西学院大学経済学部 教授 | 高林喜久生（委員） |
| 日本アプライドリサーチ研究所 研究員 | 下田 充（研究協力者） |
| 関西社会経済研究所 研究員 | 武者 加苗（研究協力者） |

委員名簿

| | |
|--------------------|-------|
| 近畿経済産業局総務企画部 調査課 | 内見 侑人 |
| 近畿財務局総務部 経済調査課 | 秋山 利隆 |
| 大阪府立産業開発研究所 調査研究部 | 江頭 寛昭 |
| 滋賀県総務部 統計課 | 鈴村 悅造 |
| 京都府政策企画部 調査統計課 | 寺本 康伸 |
| 大阪府総務部 統計課 | 堀 篤子 |
| 兵庫県企画県民部政策室 統計課 | 芦谷 恒憲 |
| 奈良県総務部 統計課 | 駒井 希夫 |
| 和歌山県企画部企画計画局 調査統計課 | 永尾 吉賞 |
| 甲南大学経済学部 教授 | 稻田 義久 |
| 桃山学院大学経済学部 准教授 | 井田 憲計 |
| | |
| 関西社会経済研究所 専務理事 | 武田 壽夫 |
| 関西社会経済研究所 次長 | 西山 和弘 |
| 関西社会経済研究所 総括調査役 | 大久保能徳 |
| 関西社会経済研究所 研究員 | 入江 啓彰 |

(敬称略、所属等は原則として 2008 年 11 月当時)

謝 辞

関西マクロモデルの構築に当たっては、関西の行政機関の統計担当の方々をはじめ、専門家の方々に情報提供、ヒアリングなどを通じて、多大なご協力を頂いた。ご多用中にもかかわらずご協力いただいた皆様方に、深く感謝申し上げたい。

また、本報告書の 2008 年版は、福重主査のもと 2006 年度に当研究所から公表した「関西マクロ経済分析モデル（中間報告）」での成果である関西マクロ計量モデルの構造の考え方および方程式・定義式を改善・改良したものであり、中間報告にご協力いただいた方々にも感謝申し上げたい。

関西マクロモデルの構造とその活用 2008年版

発行日 2008(平成20)年11月
発行所 〒530-6691
大阪市北区中之島6丁目2番27号
中之島センタービルディング29階
財団法人 関西社会経済研究所
Kansai Institute for Social and Economic Research(KISER)
TEL(06) 6441-5750(代表)
FAX(06) 6441-5760
電子メール contact@kiser.or.jp
URL <http://www.kiser.or.jp>

発行者 武田壽夫

ISBN978-4-87769-637-5

ISBN978-4-87769-637-5